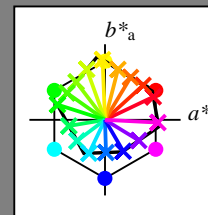


Ein und Ausgabe:
Farbmetrisches Drucker-Reflektiv-System ORS20_95a
Daten für jede Farbe:
 u^*_e und Nummer $Nr.$ = 00 .. 15
Elementar-Bunttontext:
 $u^*_e = 16$ Bunttoene $r00j, r25j, \dots, b75r$
Kontrastreduzierungsfaktor:
 $c_R = 0.96$

ORS20_95a; adaptierte CIELAB-Daten

u^*_e	$L^*=L^*_a$	a^*_a	b^*_a	$C^*_{ab,a}$	$h^*_{ab,a}$	u^*_d
$r00j$	48.83	63.91	30.45	70.79	25	$m84o$
$r25j$	55.53	50.37	45.65	67.97	42	$o17y$
$r50j$	64.76	33.86	56.12	65.55	59	$o42y$
$r75j$	74.12	17.13	66.74	68.9	76	$o67y$
$j00g$	85.5	-3.22	79.65	79.72	92	$o92y$
$j25g$	79.45	-24.05	66.85	71.04	110	$y20l$
$j50g$	69.75	-38.03	49.98	62.8	127	$y46l$
$j75g$	61.38	-50.1	35.41	61.35	145	$y72l$
$g00b$	52.6	-62.77	20.12	65.92	162	$y99l$
$g25b$	55.39	-47.66	-8.06	48.34	190	$l36c$
$g50b$	57.43	-36.92	-27.8	46.22	217	$l72c$
$g75b$	55.19	-21.2	-44.17	48.99	244	$c11v$
$b00r$	41.84	1.31	-43.28	43.3	272	$c56v$
$b25r$	29.72	24.12	-41.48	47.98	300	$v04m$
$b50r$	38.41	44.74	-27.3	52.41	329	$v55m$
$b75r$	49.41	70.07	-3.62	70.16	357	$m11o$



%Umfang

$u^*_{rel} = 83$

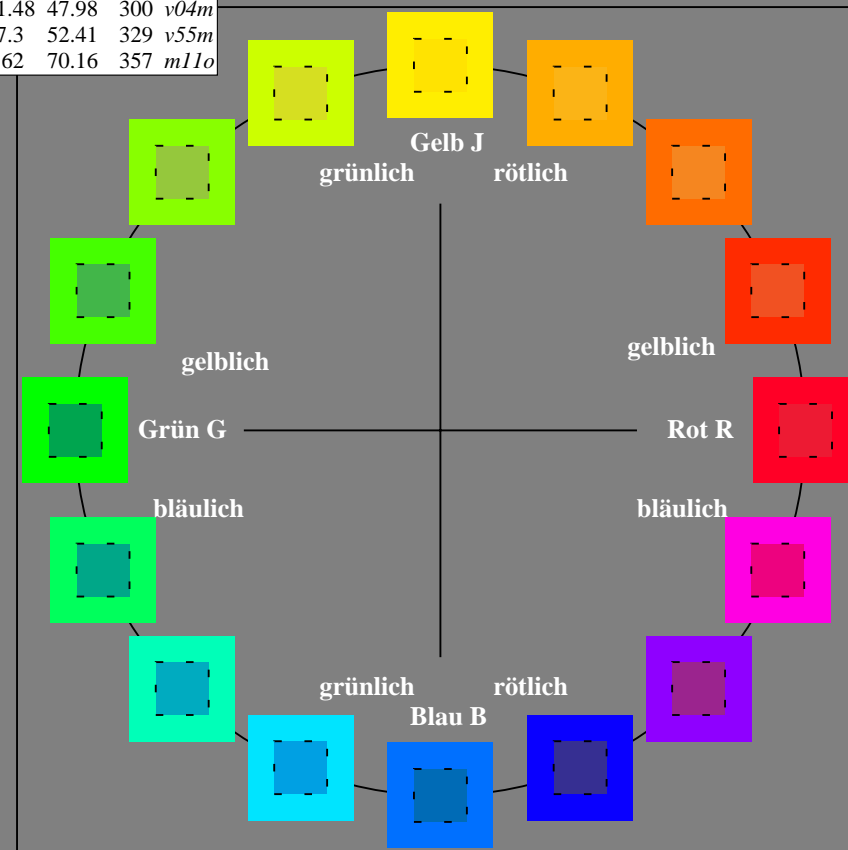
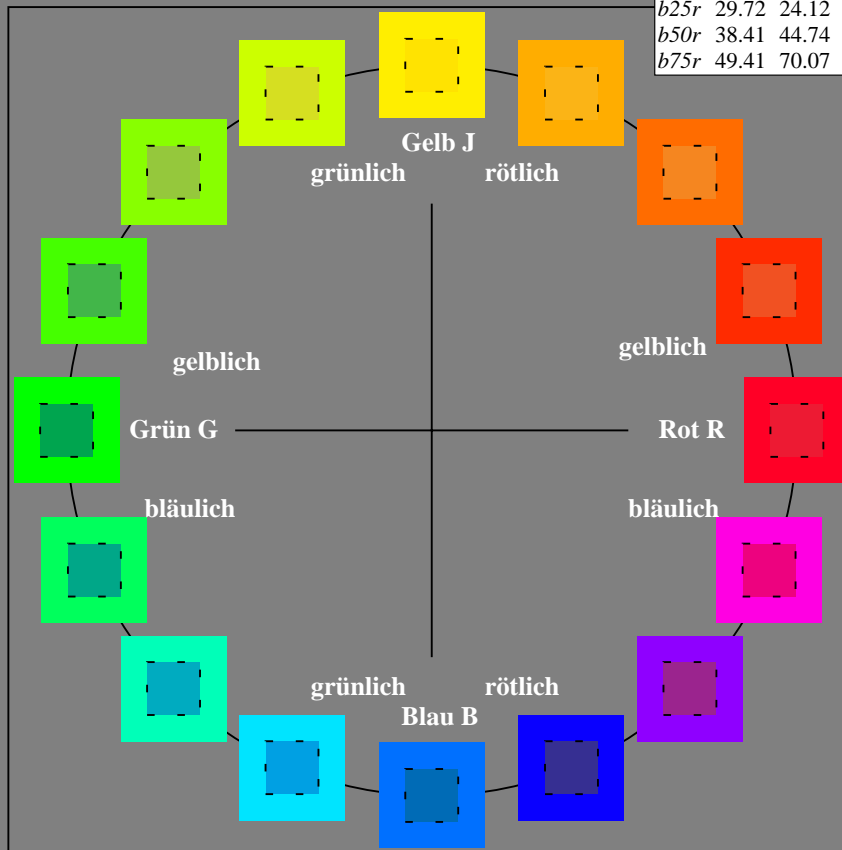
%Regularität

$g^*_{H,rel} = 72$

$g^*_{C,rel} = 57$

ORS20_95a; adaptierte CIELAB-Daten

Name	$L^*=L^*_a$	a^*_a	b^*_a	$C^*_{ab,a}$	$h^*_{ab,a}$
O_{Ma}	48.71	62.56	37.91	73.15	31
Y_{Ma}	89.25	-9.92	83.91	84.49	97
L_{Ma}	52.5	-62.91	19.95	66.0	162
C_{Ma}	59.15	-27.87	-44.43	52.45	238
V_{Ma}	29.13	22.73	-42.44	48.14	298
M_{Ma}	49.51	71.08	-9.19	71.67	353
N_{Ma}	20.0	0.0	0.0	0.0	0
W_{Ma}	95.0	0.0	0.0	0.0	0
R_{CIE}	39.92	58.74	27.99	65.07	25
J_{CIE}	81.26	-2.89	71.56	71.62	92
G_{CIE}	52.23	-42.42	13.6	44.55	162
B_{CIE}	30.57	1.41	-46.47	46.49	272



Ein und Ausgabe: Farbmetrisches Drucker-Reflektiv-System ORS20_95a für relativen CIELAB-Buntton $h^* = lab^*h^* = h_{ab}/360 = 0.071$

Daten für jede Farbe:

lab^*ch^* und lab^*icu^*

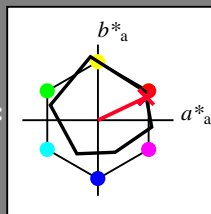
Bunttontexte:

$u^*_e = r00j$ $u^*_d = m84o$

Kontrastreduzierungsfaktor:

$c_R = 0.96$

Dreiecks-Helligkeit i^*



ORS20_95a; adaptierte CIELAB-Daten

u^*_e	$L^*=L^*_a$	a^*_a	b^*_a	$C^*_{ab,a}$	$h^*_{ab,a}$
O _{Ma}	48.71	62.56	37.91	73.15	31
Y _{Ma}	89.25	-9.92	83.91	84.49	97
L _{Ma}	52.5	-62.91	19.95	66.0	162
C _{Ma}	59.15	-27.87	-44.43	52.45	238
V _{Ma}	29.13	22.73	-42.44	48.14	298
M _{Ma}	49.51	71.08	-9.19	71.67	353
N _{Ma}	20.0	0.0	0.0	0.0	0
W _{Ma}	95.0	0.0	0.0	0.0	0
R _{Ma}	39.92	58.74	27.99	65.07	25
J _{Ma}	81.26	-2.89	71.56	71.62	92
G _{Ma}	52.23	-42.42	13.6	44.55	162
B _{Ma}	30.57	1.41	-46.47	46.49	272

Daten für Maximalfarbe (Ma):

$LAB^*LAB^*_{Ma}$: 49 64 30

$LAB^*LCH^*_{Ma}$: 49 71 25

$lab^*rgb^*_{Ma}$: 1.0 0.0 0.0

$lab^*olv^*_{Ma}$: 1.0 0.0 0.15

Dreiecks-Helligkeit i^*

%Umfang

$u^*_{rel} = 83$

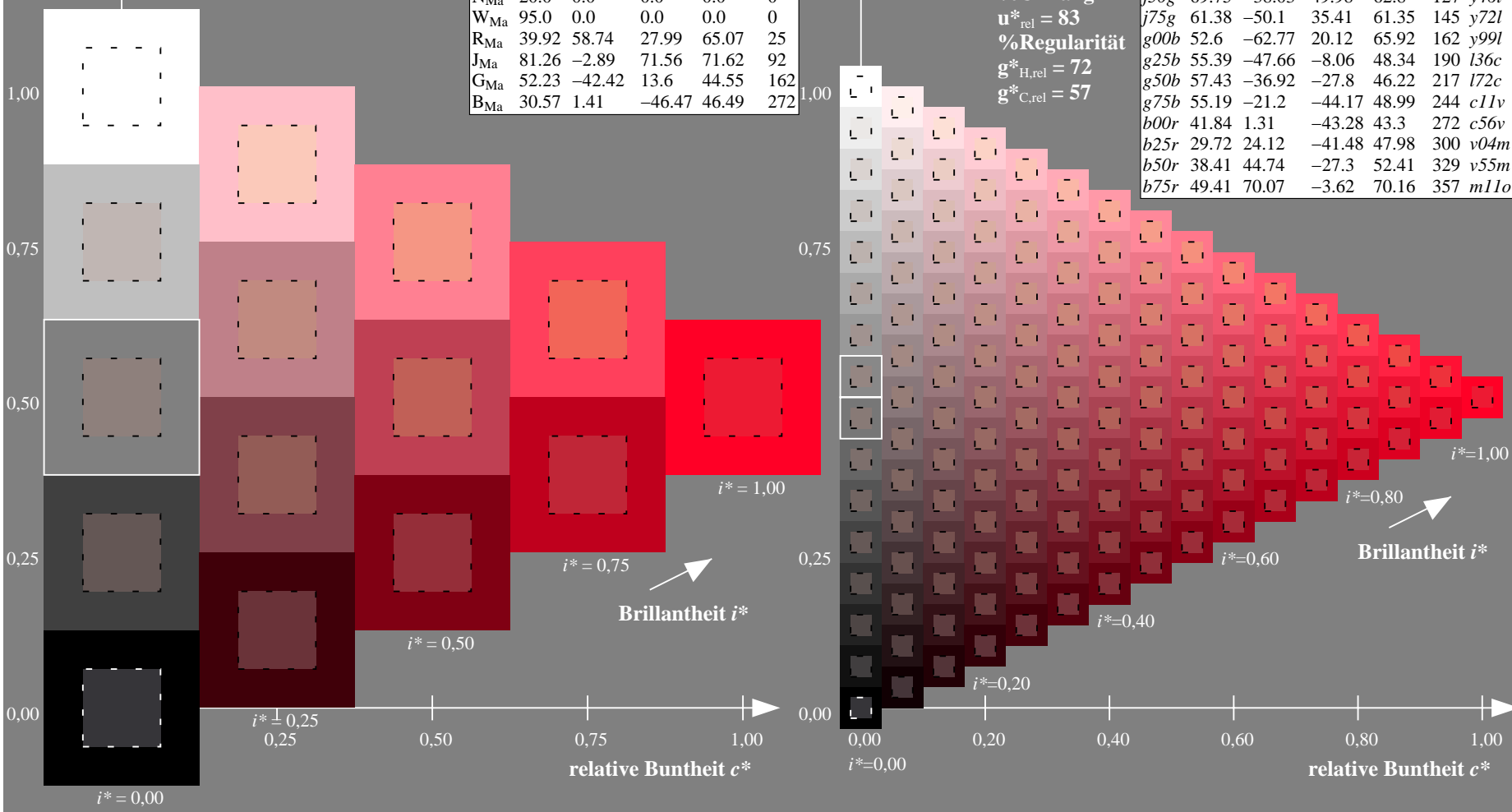
%Regularität

$g^*_{H,rel} = 72$

$g^*_{C,rel} = 57$

ORS20_95a; adaptierte CIELAB-Daten

u^*_e	$L^*=L^*_a$	a^*_a	b^*_a	$C^*_{ab,a}$	$h^*_{ab,a}$	u^*_d
r00j	48.83	63.91	30.45	70.79	25	m84o
r25j	55.53	50.37	45.65	67.97	42	o17y
r50j	64.76	33.86	56.12	65.55	59	o42y
r75j	74.12	17.13	66.74	68.9	76	o67y
j00g	85.5	-3.22	79.65	79.72	92	o92y
j25g	79.45	-24.05	66.85	71.04	110	y20l
j50g	69.75	-38.03	49.98	62.8	127	y46l
j75g	61.38	-50.1	35.41	61.35	145	y72l
g00b	52.6	-62.77	20.12	65.92	162	y99l
g25b	55.39	-47.66	-8.06	48.34	190	l36c
g50b	57.43	-36.92	-27.8	46.22	217	l72c
g75b	55.19	-21.2	-44.17	48.99	244	c11v
b00r	41.84	1.31	-43.28	43.3	272	c56v
b25r	29.72	24.12	-41.48	47.98	300	v04m
b50r	38.41	44.74	-27.3	52.41	329	v55m
b75r	49.41	70.07	-3.62	70.16	357	m11o



Ein und Ausgabe: Farbmetrisches Drucker-Reflektiv-System ORS20_95a für relativen CIELAB-Buntton $h^* = lab^*h^* = h_{ab}/360 = 0.117$

Daten für jede Farbe:

lab^*ch^* und lab^*icu^*

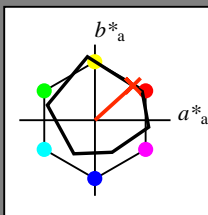
Bunttontexte:

$u^*_e = r25j$ $u^*_d = o17y$

Kontrastreduzierungsfaktor:

$c_R = 0.96$

Dreiecks-Helligkeit i^*



ORS20_95a; adaptierte CIELAB-Daten						
u^*_e	$L^*=L^*_a$	a^*_a	b^*_a	$C^*_{ab,a}$	$h^*_{ab,a}$	
O _{Ma}	48.71	62.56	37.91	73.15	31	
Y _{Ma}	89.25	-9.92	83.91	84.49	97	
L _{Ma}	52.5	-62.91	19.95	66.0	162	
C _{Ma}	59.15	-27.87	-44.43	52.45	238	
V _{Ma}	29.13	22.73	-42.44	48.14	298	
M _{Ma}	49.51	71.08	-9.19	71.67	353	
N _{Ma}	20.0	0.0	0.0	0.0	0	
W _{Ma}	95.0	0.0	0.0	0.0	0	
R _{Ma}	39.92	58.74	27.99	65.07	25	
J _{Ma}	81.26	-2.89	71.56	71.62	92	
G _{Ma}	52.23	-42.42	13.6	44.55	162	
B _{Ma}	30.57	1.41	-46.47	46.49	272	

Daten für Maximalfarbe (Ma):

$LAB^*LAB^*_{Ma}$: 56 50 46

$LAB^*LCH^*_{Ma}$: 56 68 42

$lab^*rgb^*_{Ma}$: 1.0 0.25 0.0

$lab^*olv^*_{Ma}$: 1.0 0.17 0.0

Dreiecks-Helligkeit i^*

%Umfang

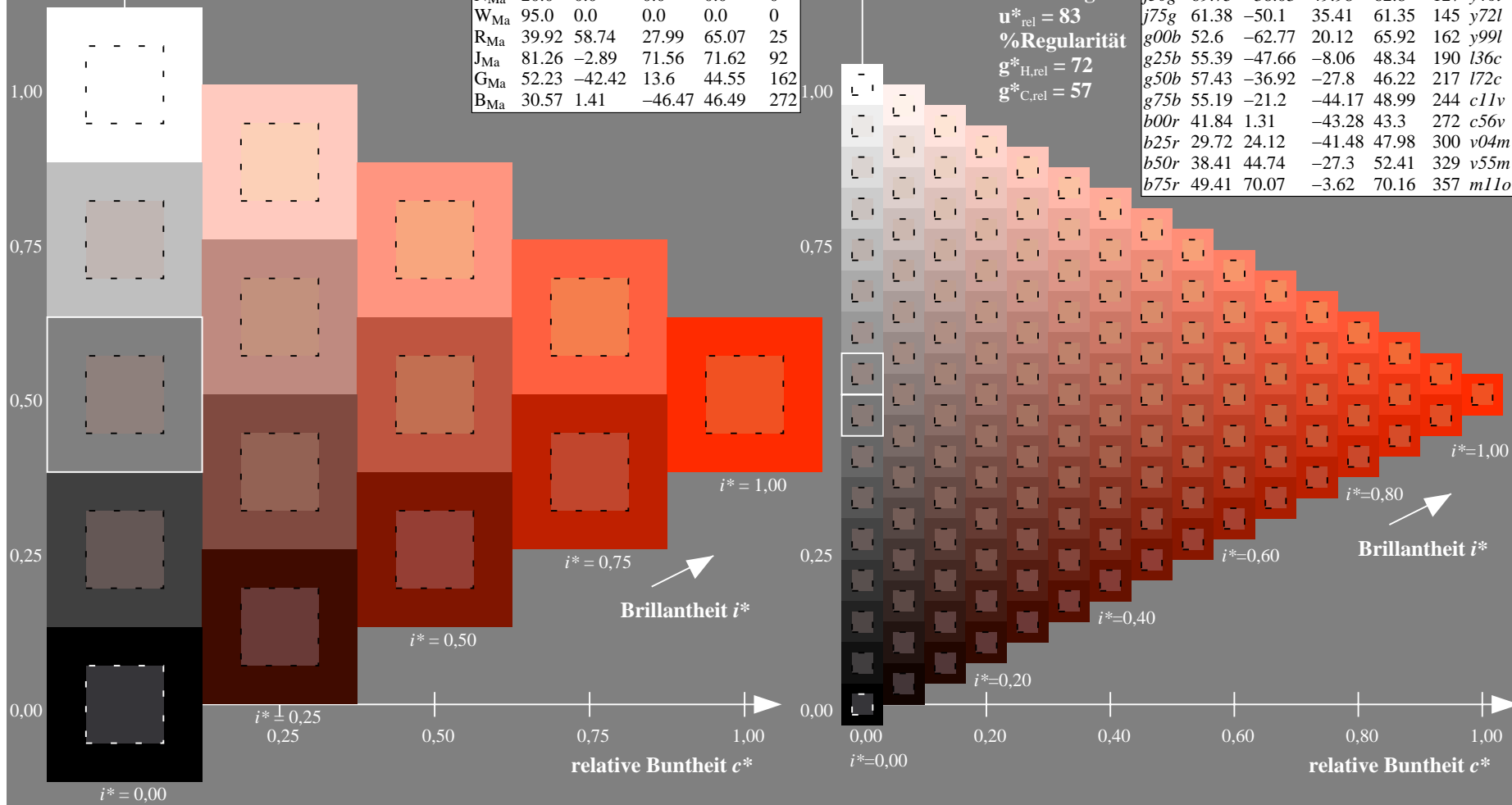
$u^*_{rel} = 83$

%Regularität

$g^*_{H,rel} = 72$

$g^*_{C,rel} = 57$

ORS20_95a; adaptierte CIELAB-Daten									
u^*_e	$L^*=L^*_a$	a^*_a	b^*_a	$C^*_{ab,a}$	$h^*_{ab,a}$	u^*_d			
r00j	48.83	63.91	30.45	70.79	25	m84o			
r25j	55.53	50.37	45.65	67.97	42	o17y			
r50j	64.76	33.86	56.12	65.55	59	o42y			
r75j	74.12	17.13	66.74	68.9	76	o67y			
j00g	85.5	-3.22	79.65	79.72	92	o92y			
j25g	79.45	-24.05	66.85	71.04	110	y20l			
j50g	69.75	-38.03	49.98	62.8	127	y46l			
j75g	61.38	-50.1	35.41	61.35	145	y72l			
g00b	52.6	-62.77	20.12	65.92	162	y99l			
g25b	55.39	-47.66	-8.06	48.34	190	l36c			
g50b	57.43	-36.92	-27.8	46.22	217	l72c			
g75b	55.19	-21.2	-44.17	48.99	244	c11v			
b00r	41.84	1.31	-43.28	43.3	272	c56v			
b25r	29.72	24.12	-41.48	47.98	300	v04m			
b50r	38.41	44.74	-27.3	52.41	329	v55m			
b75r	49.41	70.07	-3.62	70.16	357	m11o			



Ein und Ausgabe: Farbmetrisches Drucker-Reflektiv-System ORS20_95a für relativen CIELAB-Buntton $h^* = lab^*h^* = h_{ab}/360 = 0.164$

Daten für jede Farbe:

lab^*ch^* und lab^*icu^*

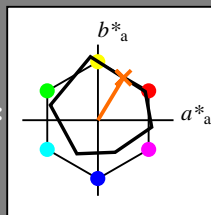
Bunttontexte:

$u^*_e = r50j$ $u^*_d = o42y$

Kontrastreduzierungsfaktor:

$c_R = 0.96$

Dreiecks-Helligkeit i^*



ORS20_95a; adaptierte CIELAB-Daten						
u^*_e	$L^*=L^*_a$	a^*_a	b^*_a	$C^*_{ab,a}$	$h^*_{ab,a}$	
O _{Ma}	48.71	62.56	37.91	73.15	31	
Y _{Ma}	89.25	-9.92	83.91	84.49	97	
L _{Ma}	52.5	-62.91	19.95	66.0	162	
C _{Ma}	59.15	-27.87	-44.43	52.45	238	
V _{Ma}	29.13	22.73	-42.44	48.14	298	
M _{Ma}	49.51	71.08	-9.19	71.67	353	
N _{Ma}	20.0	0.0	0.0	0.0	0	
W _{Ma}	95.0	0.0	0.0	0.0	0	
R _{Ma}	39.92	58.74	27.99	65.07	25	
J _{Ma}	81.26	-2.89	71.56	71.62	92	
G _{Ma}	52.23	-42.42	13.6	44.55	162	
B _{Ma}	30.57	1.41	-46.47	46.49	272	

Daten für Maximalfarbe (Ma):

$LAB^*LAB^*_{Ma}$: 65 34 56

$LAB^*LCH^*_{Ma}$: 65 66 58

$lab^*rgb^*_{Ma}$: 1.0 0.5 0.0

$lab^*olv^*_{Ma}$: 1.0 0.42 0.0

Dreiecks-Helligkeit i^*

%Umfang

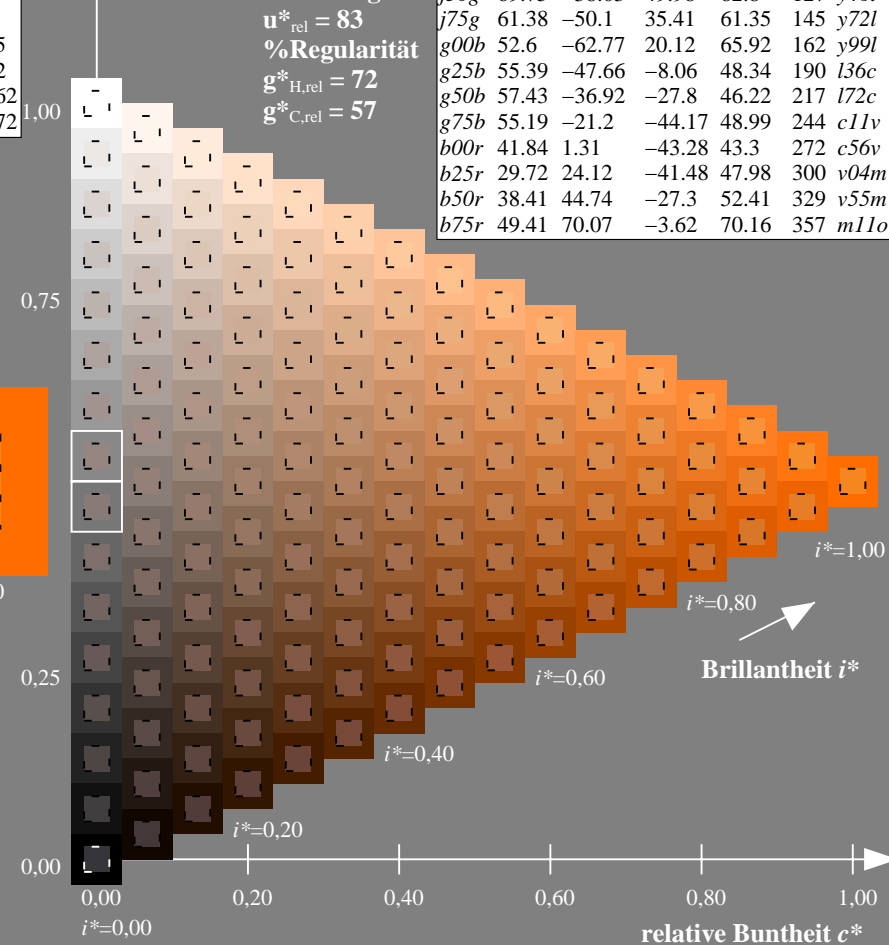
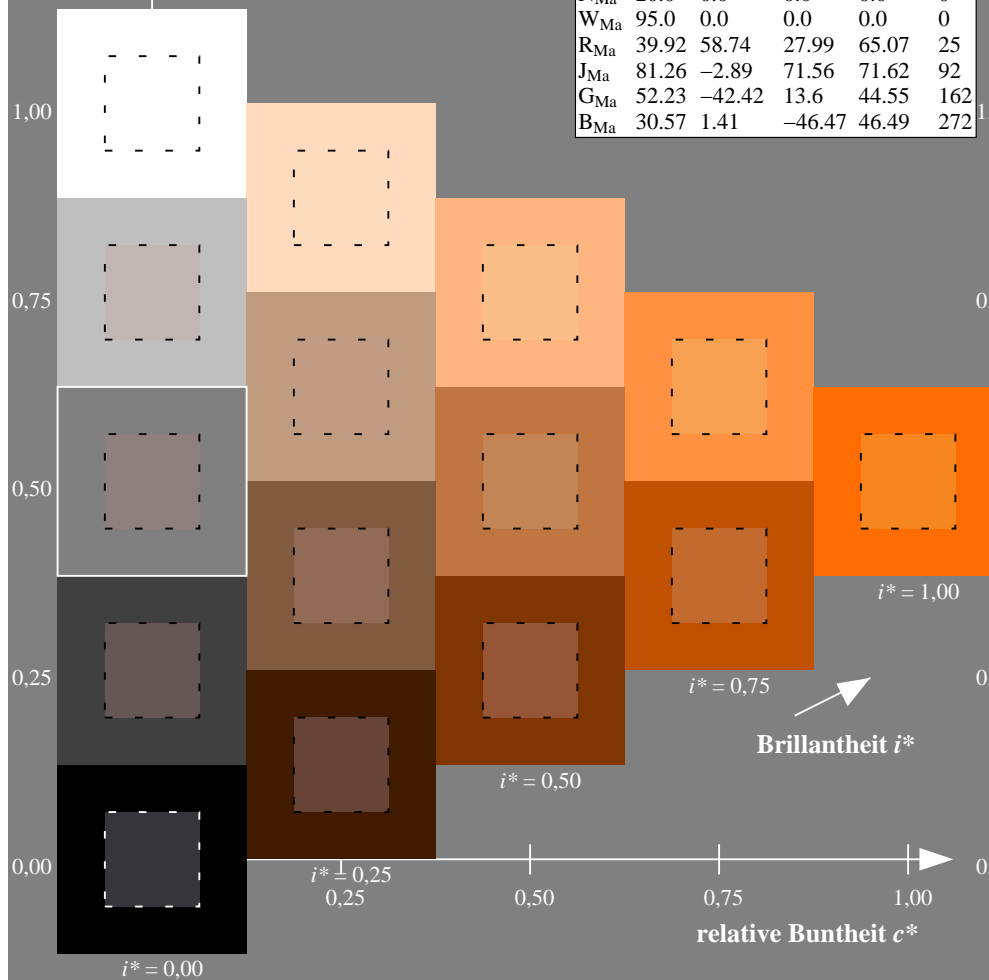
$u^*_{rel} = 83$

%Regularität

$g^*_{H,rel} = 72$

$g^*_{C,rel} = 57$

ORS20_95a; adaptierte CIELAB-Daten									
u^*_e	$L^*=L^*_a$	a^*_a	b^*_a	$C^*_{ab,a}$	$h^*_{ab,a}$	u^*_d			
r00j	48.83	63.91	30.45	70.79	25	m84o			
r25j	55.53	50.37	45.65	67.97	42	o17y			
r50j	64.76	33.86	56.12	65.55	59	o42y			
r75j	74.12	17.13	66.74	68.9	76	o67y			
j00g	85.5	-3.22	79.65	79.72	92	o92y			
j25g	79.45	-24.05	66.85	71.04	110	y20l			
j50g	69.75	-38.03	49.98	62.8	127	y46l			
j75g	61.38	-50.1	35.41	61.35	145	y72l			
g00b	52.6	-62.77	20.12	65.92	162	y99l			
g25b	55.39	-47.66	-8.06	48.34	190	l36c			
g50b	57.43	-36.92	-27.8	46.22	217	l72c			
g75b	55.19	-21.2	-44.17	48.99	244	c11v			
b00r	41.84	1.31	-43.28	43.3	272	c56v			
b25r	29.72	24.12	-41.48	47.98	300	v04m			
b50r	38.41	44.74	-27.3	52.41	329	v55m			
b75r	49.41	70.07	-3.62	70.16	357	m11o			



Ein und Ausgabe: Farbmetrisches Drucker-Reflektiv-System ORS20_95a für relativen CIELAB-Buntton $h^* = lab^*h^* = h_{ab}/360 = 0.21$

Daten für jede Farbe:

lab^*ch^* und lab^*icu^*

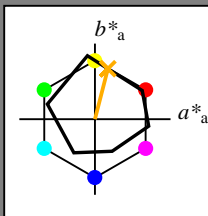
Bunttontexte:

$u^*_e = r75j$ $u^*_d = o67y$

Kontrastreduzierungsfaktor:

$c_R = 0.96$

Dreiecks-Helligkeit i^*



ORS20_95a; adaptierte CIELAB-Daten						
u^*_e	$L^*=L^*_a$	a^*_a	b^*_a	$C^*_{ab,a}$	$h^*_{ab,a}$	
O _{Ma}	48.71	62.56	37.91	73.15	31	
Y _{Ma}	89.25	-9.92	83.91	84.49	97	
L _{Ma}	52.5	-62.91	19.95	66.0	162	
C _{Ma}	59.15	-27.87	-44.43	52.45	238	
V _{Ma}	29.13	22.73	-42.44	48.14	298	
M _{Ma}	49.51	71.08	-9.19	71.67	353	
N _{Ma}	20.0	0.0	0.0	0.0	0	
W _{Ma}	95.0	0.0	0.0	0.0	0	
R _{Ma}	39.92	58.74	27.99	65.07	25	
J _{Ma}	81.26	-2.89	71.56	71.62	92	
G _{Ma}	52.23	-42.42	13.6	44.55	162	
B _{Ma}	30.57	1.41	-46.47	46.49	272	

Daten für Maximalfarbe (Ma):

$LAB^*LAB^*_{Ma}$: 74 17 67

$LAB^*LCH^*_{Ma}$: 74 69 75

$lab^*rgb^*_{Ma}$: 1.0 0.75 0.0

$lab^*olv^*_{Ma}$: 1.0 0.68 0.0

Dreiecks-Helligkeit i^*

%Umfang

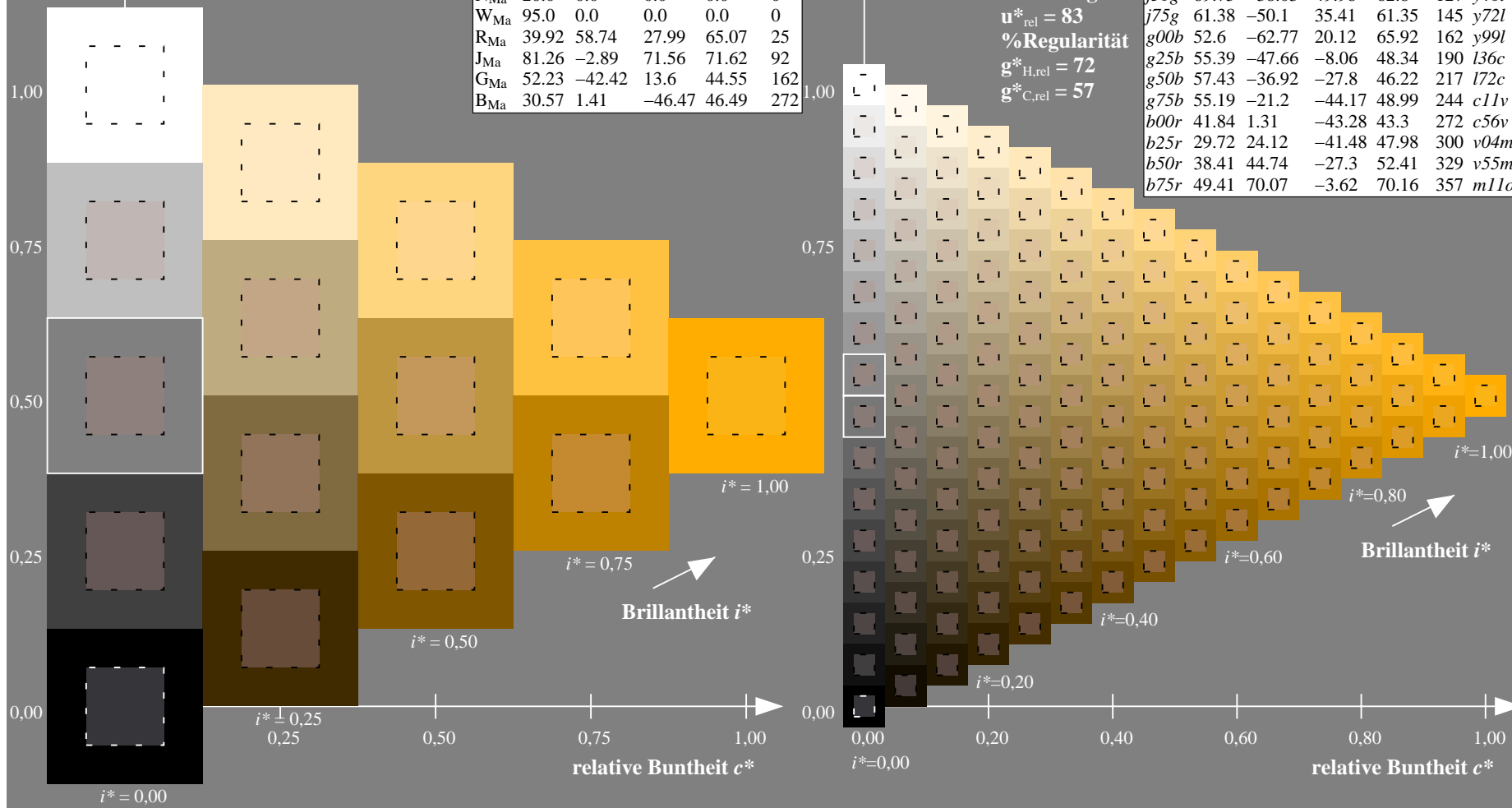
$u^*_{rel} = 83$

%Regularität

$g^*_{H,rel} = 72$

$g^*_{C,rel} = 57$

ORS20_95a; adaptierte CIELAB-Daten									
u^*_e	$L^*=L^*_a$	a^*_a	b^*_a	$C^*_{ab,a}$	$h^*_{ab,a}$	u^*_d			
r00j	48.83	63.91	30.45	70.79	25	m84o			
r25j	55.53	50.37	45.65	67.97	42	o17y			
r50j	64.76	33.86	56.12	65.55	59	o42y			
r75j	74.12	17.13	66.74	68.9	76	o67y			
j00g	85.5	-3.22	79.65	79.72	92	o92y			
j25g	79.45	-24.05	66.85	71.04	110	y20l			
j50g	69.75	-38.03	49.98	62.8	127	y46l			
j75g	61.38	-50.1	35.41	61.35	145	y72l			
g00b	52.6	-62.77	20.12	65.92	162	y99l			
g25b	55.39	-47.66	-8.06	48.34	190	l36c			
g50b	57.43	-36.92	-27.8	46.22	217	l72c			
g75b	55.19	-21.2	-44.17	48.99	244	c11v			
b00r	41.84	1.31	-43.28	43.3	272	c56v			
b25r	29.72	24.12	-41.48	47.98	300	v04m			
b50r	38.41	44.74	-27.3	52.41	329	v55m			
b75r	49.41	70.07	-3.62	70.16	357	m11o			



Ein und Ausgabe: Farbmetrisches Drucker-Reflektiv-System ORS20_95a für relativen CIELAB-Buntton $h^* = lab^*h^* = h_{ab}/360 = 0.256$

Daten für jede Farbe:

lab^*ch^* und lab^*icu^*

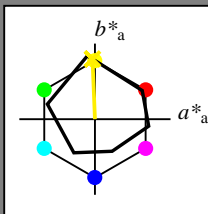
Bunttontexte:

$u^*_e = j00g$ $u^*_d = o92y$

Kontrastreduzierungsfaktor:

$c_R = 0.96$

Dreiecks-Helligkeit i^*



ORS20_95a; adaptierte CIELAB-Daten

u^*_e	$L^*=L^*_a$	a^*_a	b^*_a	$C^*_{ab,a}$	$h^*_{ab,a}$
O _{Ma}	48.71	62.56	37.91	73.15	31
Y _{Ma}	89.25	-9.92	83.91	84.49	97
L _{Ma}	52.5	-62.91	19.95	66.0	162
C _{Ma}	59.15	-27.87	-44.43	52.45	238
V _{Ma}	29.13	22.73	-42.44	48.14	298
M _{Ma}	49.51	71.08	-9.19	71.67	353
N _{Ma}	20.0	0.0	0.0	0.0	0
W _{Ma}	95.0	0.0	0.0	0.0	0
R _{Ma}	39.92	58.74	27.99	65.07	25
J _{Ma}	81.26	-2.89	71.56	71.62	92
G _{Ma}	52.23	-42.42	13.6	44.55	162
B _{Ma}	30.57	1.41	-46.47	46.49	272

Daten für Maximalfarbe (Ma):

$LAB^*LAB^*_{Ma}$: 86 -3 80

$LAB^*LCH^*_{Ma}$: 86 80 92

$lab^*rgb^*_{Ma}$: 1.0 1.0 0.0

$lab^*olv^*_{Ma}$: 1.0 0.93 0.0

Dreiecks-Helligkeit i^*

%Umfang

$u^*_{rel} = 83$

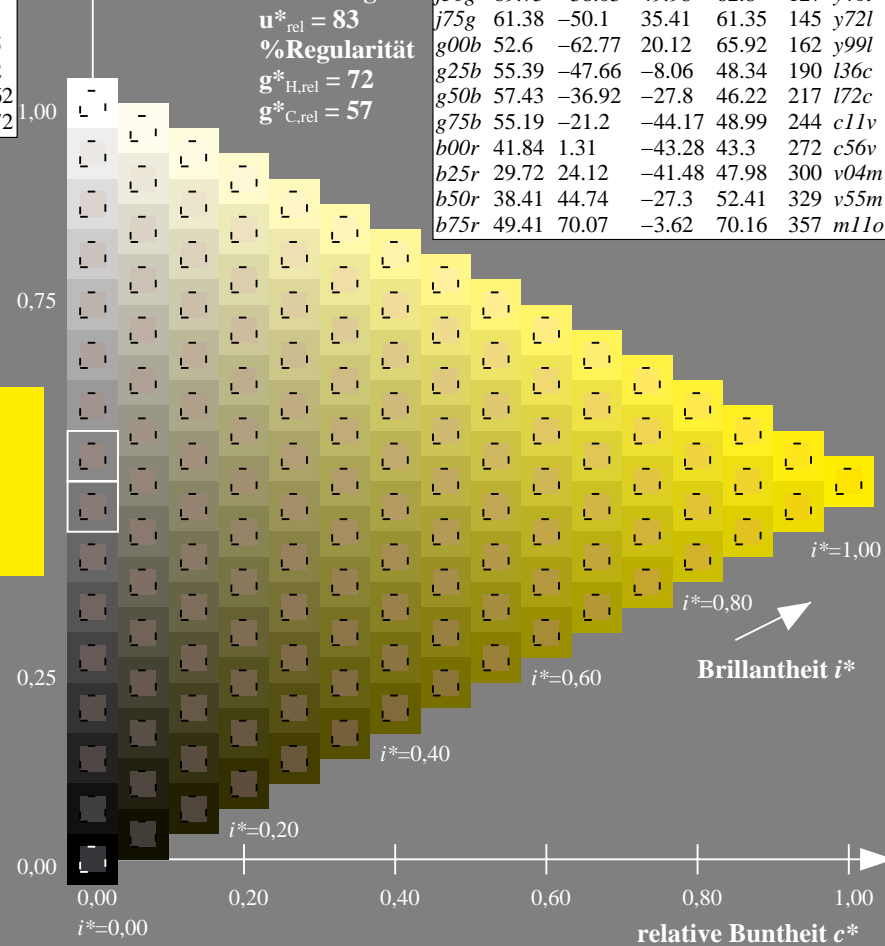
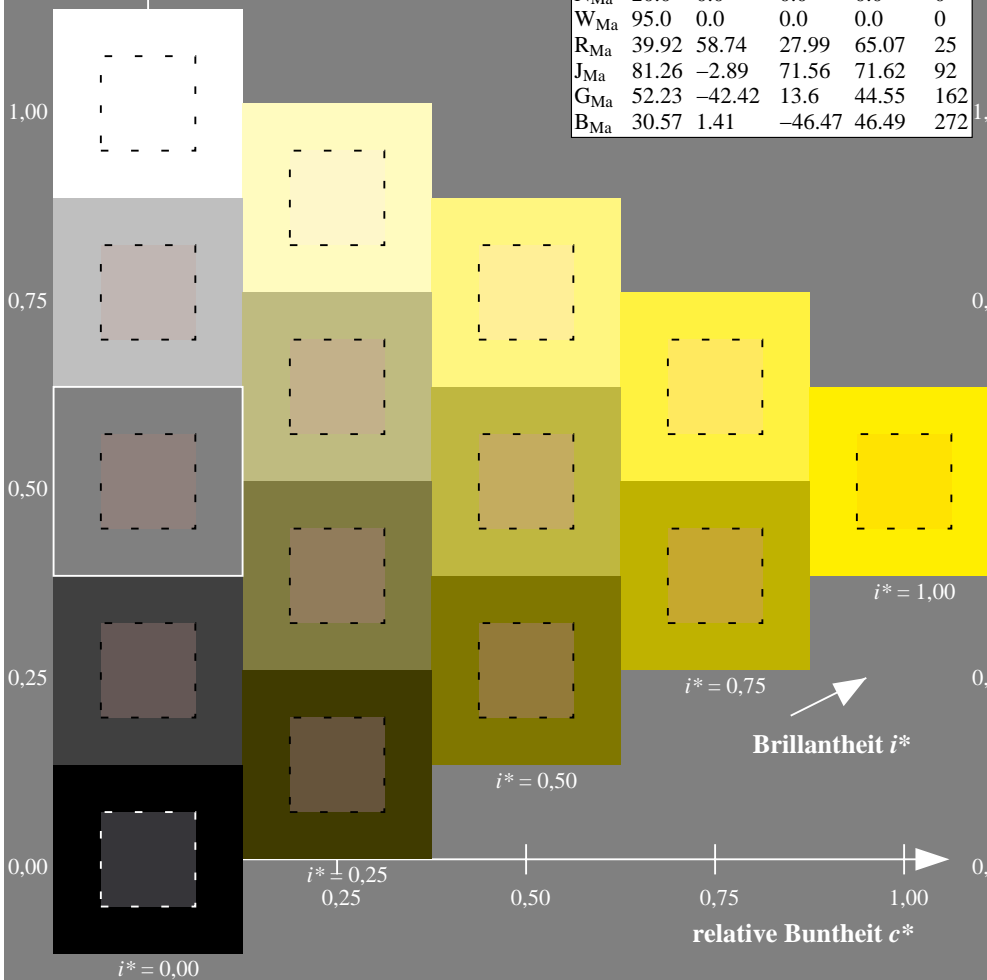
%Regularität

$g^*_{H,rel} = 72$

$g^*_{C,rel} = 57$

ORS20_95a; adaptierte CIELAB-Daten

u^*_e	$L^*=L^*_a$	a^*_a	b^*_a	$C^*_{ab,a}$	$h^*_{ab,a}$	u^*_d
r00j	48.83	63.91	30.45	70.79	25	m84o
r25j	55.53	50.37	45.65	67.97	42	o17y
r50j	64.76	33.86	56.12	65.55	59	o42y
r75j	74.12	17.13	66.74	68.9	76	o67y
j00g	85.5	-3.22	79.65	79.72	92	o92y
j25g	79.45	-24.05	66.85	71.04	110	y20l
j50g	69.75	-38.03	49.98	62.8	127	y46l
j75g	61.38	-50.1	35.41	61.35	145	y72l
g00b	52.6	-62.77	20.12	65.92	162	y99l
g25b	55.39	-47.66	-8.06	48.34	190	l36c
g50b	57.43	-36.92	-27.8	46.22	217	l72c
g75b	55.19	-21.2	-44.17	48.99	244	c11v
b00r	41.84	1.31	-43.28	43.3	272	c56v
b25r	29.72	24.12	-41.48	47.98	300	v04m
b50r	38.41	44.74	-27.3	52.41	329	v55m
b75r	49.41	70.07	-3.62	70.16	357	m11o



Ein und Ausgabe: Farbmetrisches Drucker-Reflektiv-System ORS20_95a für relativen CIELAB-Buntton $h^* = lab^*h^* = h_{ab}/360 = 0.305$

Daten für jede Farbe:

lab^*tch^* und lab^*icu^*

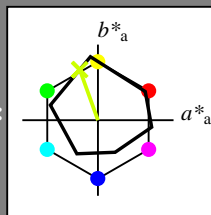
Bunttontexte:

$u^*_e = j25g$ $u^*_d = y20l$

Kontrastreduzierungsfaktor:

$c_R = 0.96$

Dreiecks-Helligkeit i^*



ORS20_95a; adaptierte CIELAB-Daten

u^*_e	$L^*=L^*_a$	a^*_a	b^*_a	$C^*_{ab,a}$	$h^*_{ab,a}$
O _{Ma}	48.71	62.56	37.91	73.15	31
Y _{Ma}	89.25	-9.92	83.91	84.49	97
L _{Ma}	52.5	-62.91	19.95	66.0	162
C _{Ma}	59.15	-27.87	-44.43	52.45	238
V _{Ma}	29.13	22.73	-42.44	48.14	298
M _{Ma}	49.51	71.08	-9.19	71.67	353
N _{Ma}	20.0	0.0	0.0	0.0	0
W _{Ma}	95.0	0.0	0.0	0.0	0
R _{Ma}	39.92	58.74	27.99	65.07	25
J _{Ma}	81.26	-2.89	71.56	71.62	92
G _{Ma}	52.23	-42.42	13.6	44.55	162
B _{Ma}	30.57	1.41	-46.47	46.49	272

Daten für Maximalfarbe (Ma):

LAB^*LAB^*Ma : 79 -24 67

LAB^*LCH^*Ma : 79 71 109

lab^*rgb^*Ma : 0.75 1.0 0.0

lab^*olv^*Ma : 0.8 1.0 0.0

Dreiecks-Helligkeit i^*

%Umfang

$u^*_{rel} = 83$

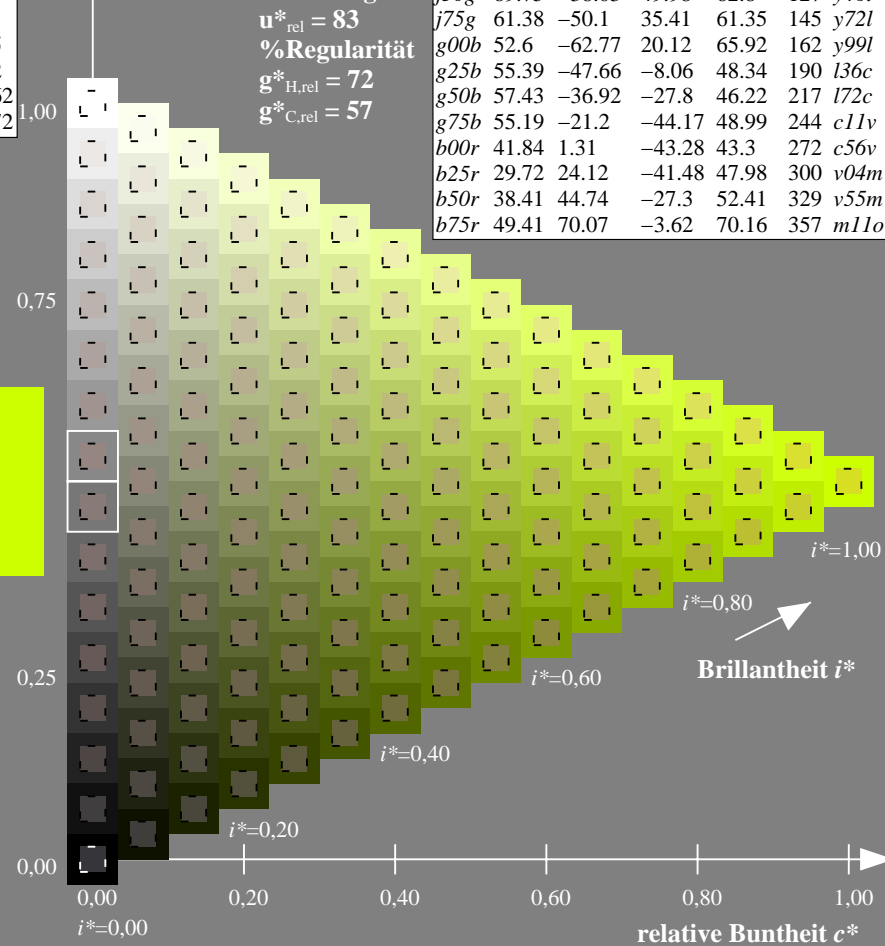
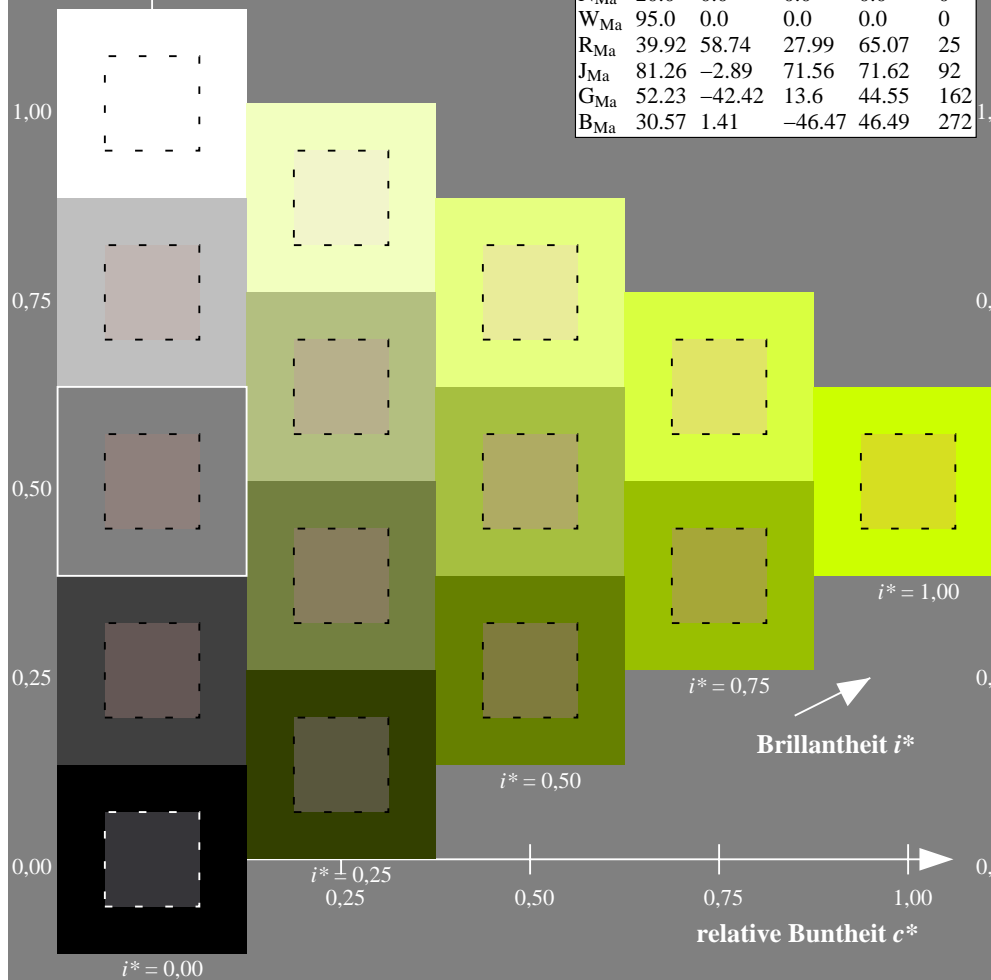
%Regularität

$g^*_{H,rel} = 72$

$g^*_{C,rel} = 57$

ORS20_95a; adaptierte CIELAB-Daten

u^*_e	$L^*=L^*_a$	a^*_a	b^*_a	$C^*_{ab,a}$	$h^*_{ab,a}$	u^*_d
r00j	48.83	63.91	30.45	70.79	25	m84o
r25j	55.53	50.37	45.65	67.97	42	o17y
r50j	64.76	33.86	56.12	65.55	59	o42y
r75j	74.12	17.13	66.74	68.9	76	o67y
j00g	85.5	-3.22	79.65	79.72	92	o92y
j25g	79.45	-24.05	66.85	71.04	110	y20l
j50g	69.75	-38.03	49.98	62.8	127	y46l
j75g	61.38	-50.1	35.41	61.35	145	y72l
g00b	52.6	-62.77	20.12	65.92	162	y99l
g25b	55.39	-47.66	-8.06	48.34	190	l36c
g50b	57.43	-36.92	-27.8	46.22	217	l72c
g75b	55.19	-21.2	-44.17	48.99	244	c11v
b00r	41.84	1.31	-43.28	43.3	272	c56v
b25r	29.72	24.12	-41.48	47.98	300	v04m
b50r	38.41	44.74	-27.3	52.41	329	v55m
b75r	49.41	70.07	-3.62	70.16	357	m11o



Ein und Ausgabe: Farbmetrisches Drucker-Reflektiv-System ORS20_95a für relativen CIELAB-Buntton $h^* = lab^*h^* = h_{ab}/360 = 0.354$

Daten für jede Farbe:

lab^*ch^* und lab^*icu^*

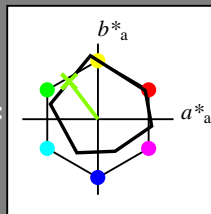
Bunttontexte:

$u^*_e = j50g$ $u^*_d = y46l$

Kontrastreduzierungsfaktor:

$c_R = 0.96$

Dreiecks-Helligkeit i^*



ORS20_95a; adaptierte CIELAB-Daten

u^*_e	$L^*=L^*_a$	a^*_a	b^*_a	$C^*_{ab,a}$	$h^*_{ab,a}$
O _{Ma}	48.71	62.56	37.91	73.15	31
Y _{Ma}	89.25	-9.92	83.91	84.49	97
L _{Ma}	52.5	-62.91	19.95	66.0	162
C _{Ma}	59.15	-27.87	-44.43	52.45	238
V _{Ma}	29.13	22.73	-42.44	48.14	298
M _{Ma}	49.51	71.08	-9.19	71.67	353
N _{Ma}	20.0	0.0	0.0	0.0	0
W _{Ma}	95.0	0.0	0.0	0.0	0
R _{Ma}	39.92	58.74	27.99	65.07	25
J _{Ma}	81.26	-2.89	71.56	71.62	92
G _{Ma}	52.23	-42.42	13.6	44.55	162
B _{Ma}	30.57	1.41	-46.47	46.49	272

Daten für Maximalfarbe (Ma):

LAB^*LAB^*Ma : 70 -38 50

LAB^*LCH^*Ma : 70 63 127

lab^*rgb^*Ma : 0.5 1.0 0.0

lab^*olv^*Ma : 0.54 1.0 0.0

Dreiecks-Helligkeit i^*

%Umfang

$u^*_{rel} = 83$

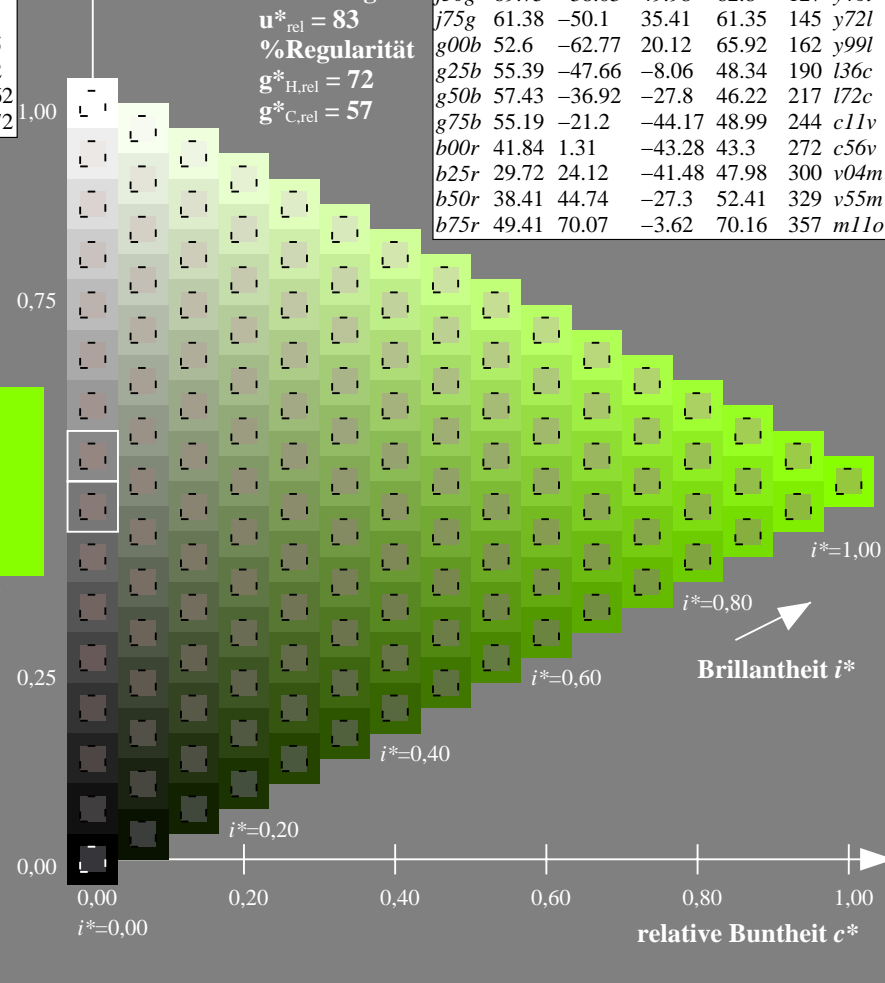
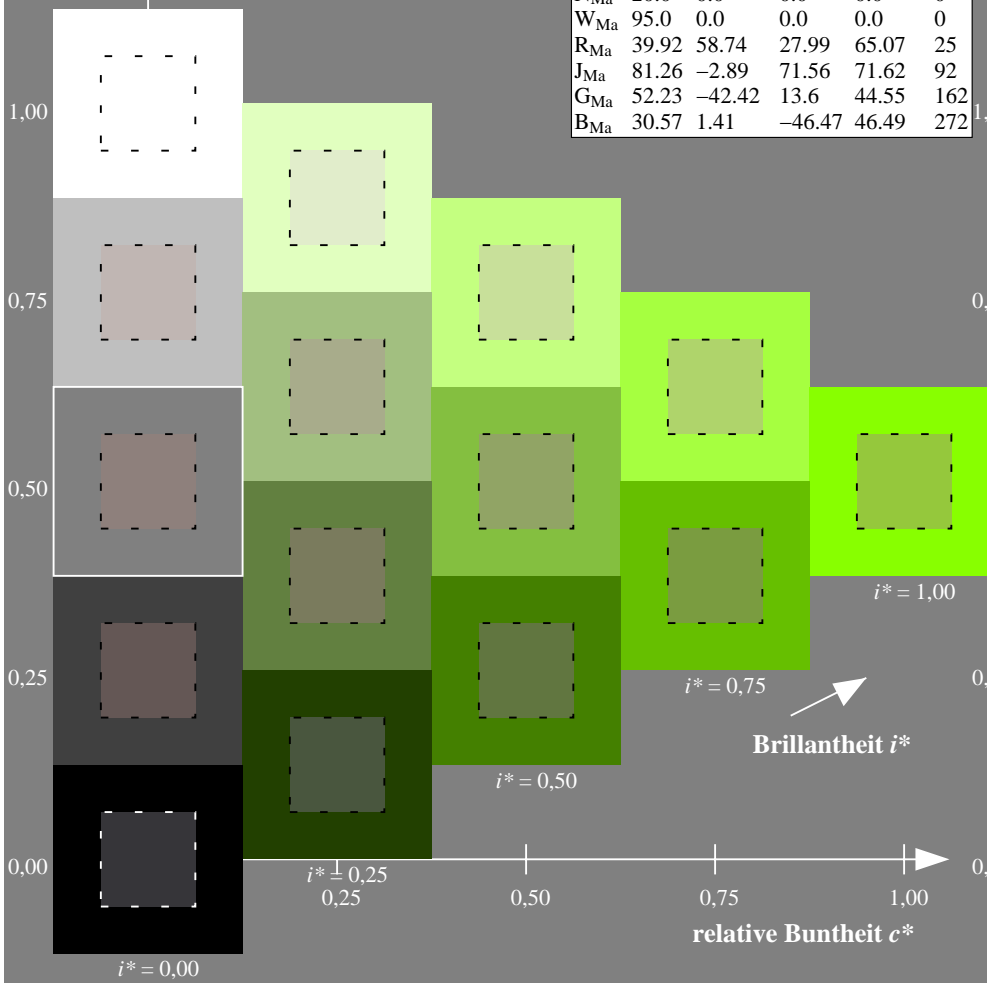
%Regularität

$g^*_{H,rel} = 72$

$g^*_{C,rel} = 57$

ORS20_95a; adaptierte CIELAB-Daten

u^*_e	$L^*=L^*_a$	a^*_a	b^*_a	$C^*_{ab,a}$	$h^*_{ab,a}$	u^*_d
r00j	48.83	63.91	30.45	70.79	25	m84o
r25j	55.53	50.37	45.65	67.97	42	o17y
r50j	64.76	33.86	56.12	65.55	59	o42y
r75j	74.12	17.13	66.74	68.9	76	o67y
j00g	85.5	-3.22	79.65	79.72	92	o92y
j25g	79.45	-24.05	66.85	71.04	110	y20l
j50g	69.75	-38.03	49.98	62.8	127	y46l
j75g	61.38	-50.1	35.41	61.35	145	y72l
g00b	52.6	-62.77	20.12	65.92	162	y99l
g25b	55.39	-47.66	-8.06	48.34	190	l36c
g50b	57.43	-36.92	-27.8	46.22	217	l72c
g75b	55.19	-21.2	-44.17	48.99	244	c11v
b00r	41.84	1.31	-43.28	43.3	272	c56v
b25r	29.72	24.12	-41.48	47.98	300	v04m
b50r	38.41	44.74	-27.3	52.41	329	v55m
b75r	49.41	70.07	-3.62	70.16	357	m11o



Ein und Ausgabe: Farbmetrisches Drucker-Reflektiv-System ORS20_95a für relativen CIELAB-Buntton $h^* = lab^*h^* = h_{ab}/360 = 0.402$

Daten für jede Farbe:

lab^*ch^* und lab^*icu^*

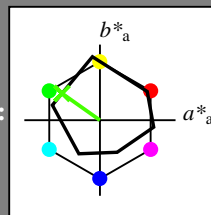
Bunttontexte:

$u^*_e = j75g$ $u^*_d = y72l$

Kontrastreduzierungsfaktor:

$c_R = 0.96$

Dreiecks-Helligkeit i^*



ORS20_95a; adaptierte CIELAB-Daten

u^*_e	$L^*=L^*_a$	a^*_a	b^*_a	$C^*_{ab,a}$	$h^*_{ab,a}$
O _{Ma}	48.71	62.56	37.91	73.15	31
Y _{Ma}	89.25	-9.92	83.91	84.49	97
L _{Ma}	52.5	-62.91	19.95	66.0	162
C _{Ma}	59.15	-27.87	-44.43	52.45	238
V _{Ma}	29.13	22.73	-42.44	48.14	298
M _{Ma}	49.51	71.08	-9.19	71.67	353
N _{Ma}	20.0	0.0	0.0	0.0	0
W _{Ma}	95.0	0.0	0.0	0.0	0
R _{Ma}	39.92	58.74	27.99	65.07	25
J _{Ma}	81.26	-2.89	71.56	71.62	92
G _{Ma}	52.23	-42.42	13.6	44.55	162
B _{Ma}	30.57	1.41	-46.47	46.49	272

Daten für Maximalfarbe (Ma):

LAB^*LAB^*Ma : 61 -50 35

LAB^*LCH^*Ma : 61 61 144

lab^*rgb^*Ma : 0.25 1.0 0.0

lab^*olv^*Ma : 0.27 1.0 0.0

Dreiecks-Helligkeit i^*

%Umfang

$u^*_{rel} = 83$

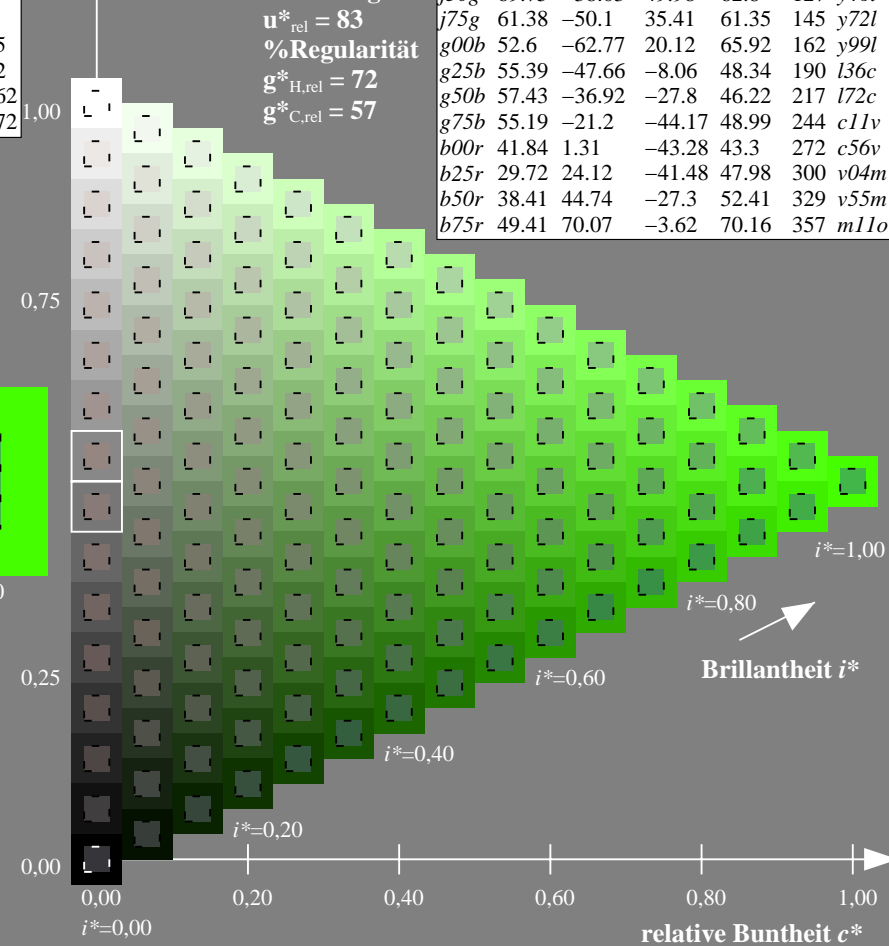
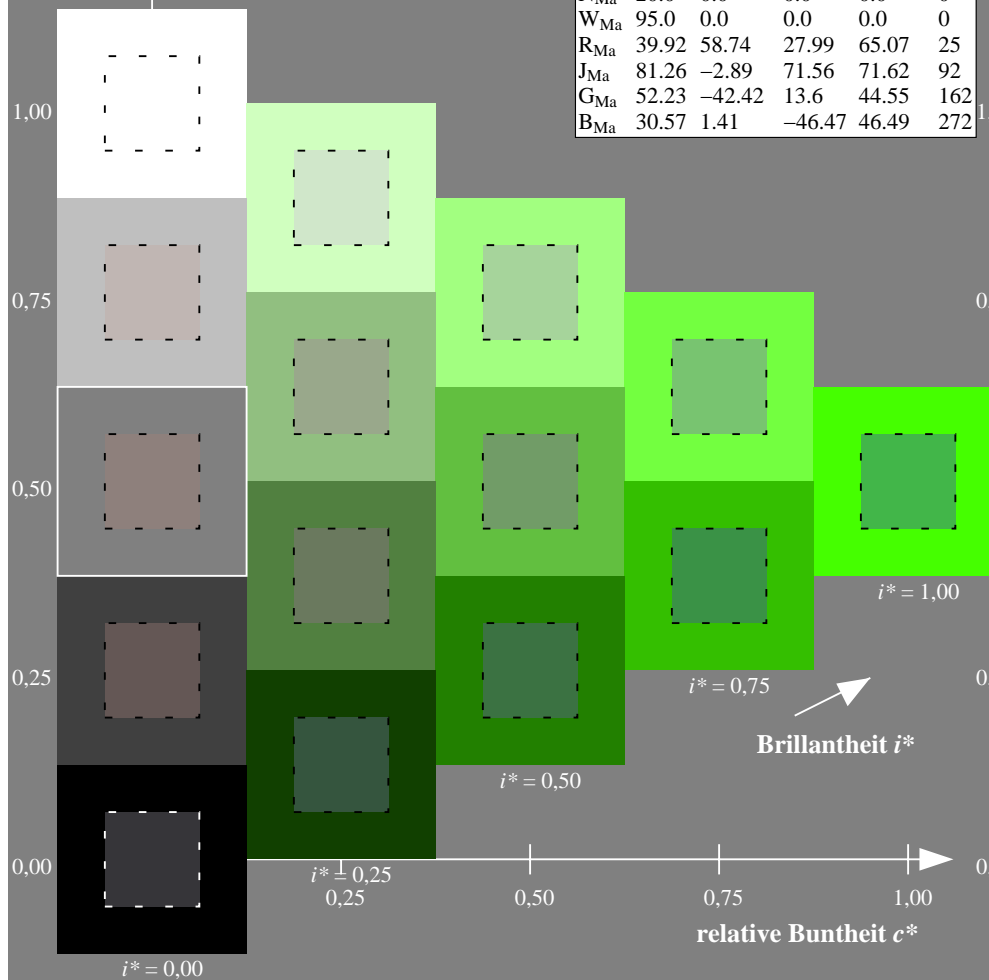
%Regularität

$g^*_{H,rel} = 72$

$g^*_{C,rel} = 57$

ORS20_95a; adaptierte CIELAB-Daten

u^*_e	$L^*=L^*_a$	a^*_a	b^*_a	$C^*_{ab,a}$	$h^*_{ab,a}$	u^*_d
r00j	48.83	63.91	30.45	70.79	25	m84o
r25j	55.53	50.37	45.65	67.97	42	o17y
r50j	64.76	33.86	56.12	65.55	59	o42y
r75j	74.12	17.13	66.74	68.9	76	o67y
j00g	85.5	-3.22	79.65	79.72	92	o92y
j25g	79.45	-24.05	66.85	71.04	110	y20l
j50g	69.75	-38.03	49.98	62.8	127	y46l
j75g	61.38	-50.1	35.41	61.35	145	y72l
g00b	52.6	-62.77	20.12	65.92	162	y99l
g25b	55.39	-47.66	-8.06	48.34	190	l36c
g50b	57.43	-36.92	-27.8	46.22	217	l72c
g75b	55.19	-21.2	-44.17	48.99	244	c11v
b00r	41.84	1.31	-43.28	43.3	272	c56v
b25r	29.72	24.12	-41.48	47.98	300	v04m
b50r	38.41	44.74	-27.3	52.41	329	v55m
b75r	49.41	70.07	-3.62	70.16	357	m11o



Ein und Ausgabe: Farbmetrisches Drucker-Reflektiv-System ORS20_95a für relativen CIELAB-Buntton $h^* = lab^*h^* = h_{ab}/360 = 0.451$

Daten für jede Farbe:

lab^*tch^* und lab^*icu^*

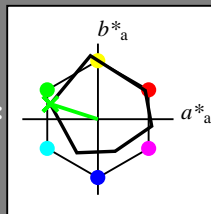
Bunttontexte:

$u^*_e = g00b$ $u^*_d = y99l$

Kontrastreduzierungsfaktor:

$c_R = 0.96$

Dreiecks-Helligkeit i^*



ORS20_95a; adaptierte CIELAB-Daten

u^*_e	$L^*=L^*_a$	a^*_a	b^*_a	$C^*_{ab,a}$	$h^*_{ab,a}$
O _{Ma}	48.71	62.56	37.91	73.15	31
Y _{Ma}	89.25	-9.92	83.91	84.49	97
L _{Ma}	52.5	-62.91	19.95	66.0	162
C _{Ma}	59.15	-27.87	-44.43	52.45	238
V _{Ma}	29.13	22.73	-42.44	48.14	298
M _{Ma}	49.51	71.08	-9.19	71.67	353
N _{Ma}	20.0	0.0	0.0	0.0	0
W _{Ma}	95.0	0.0	0.0	0.0	0
R _{Ma}	39.92	58.74	27.99	65.07	25
J _{Ma}	81.26	-2.89	71.56	71.62	92
G _{Ma}	52.23	-42.42	13.6	44.55	162
B _{Ma}	30.57	1.41	-46.47	46.49	272

Daten für Maximalfarbe (Ma):

$LAB^*LAB^*_{Ma}$: 53 -63 20

$LAB^*LCH^*_{Ma}$: 53 66 162

$lab^*rgb^*_{Ma}$: 0.0 1.0 0.0

$lab^*olv^*_{Ma}$: 0.0 1.0 0.0

Dreiecks-Helligkeit i^*

%Umfang

$u^*_{rel} = 83$

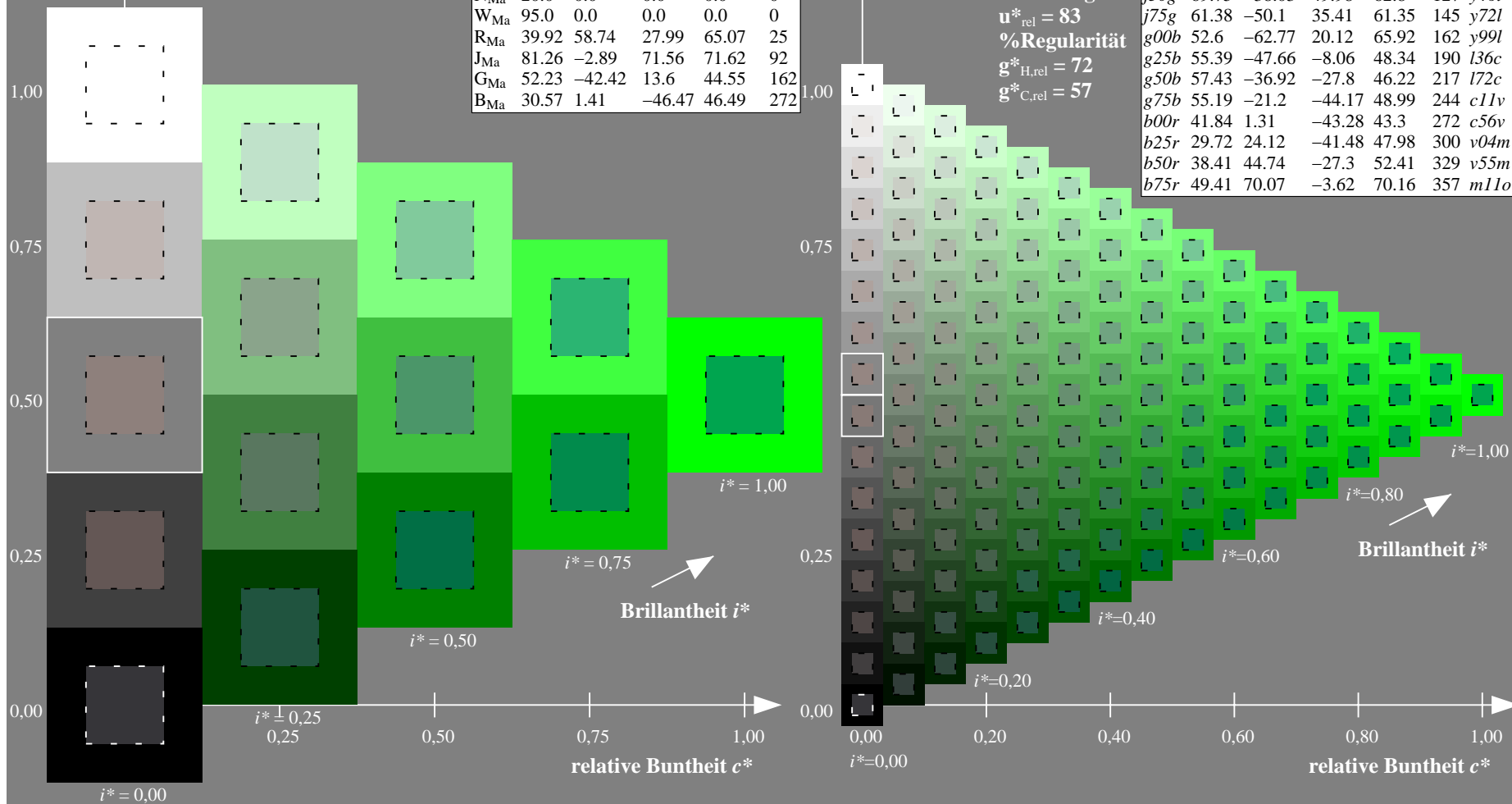
%Regularität

$g^*_{H,rel} = 72$

$g^*_{C,rel} = 57$

ORS20_95a; adaptierte CIELAB-Daten

u^*_e	$L^*=L^*_a$	a^*_a	b^*_a	$C^*_{ab,a}$	$h^*_{ab,a}$	u^*_d
r00j	48.83	63.91	30.45	70.79	25	m84o
r25j	55.53	50.37	45.65	67.97	42	o17y
r50j	64.76	33.86	56.12	65.55	59	o42y
r75j	74.12	17.13	66.74	68.9	76	o67y
j00g	85.5	-3.22	79.65	79.72	92	o92y
j25g	79.45	-24.05	66.85	71.04	110	y20l
j50g	69.75	-38.03	49.98	62.8	127	y46l
j75g	61.38	-50.1	35.41	61.35	145	y72l
g00b	52.6	-62.77	20.12	65.92	162	y99l
g25b	55.39	-47.66	-8.06	48.34	190	l36c
g50b	57.43	-36.92	-27.8	46.22	217	l72c
g75b	55.19	-21.2	-44.17	48.99	244	c11v
b00r	41.84	1.31	-43.28	43.3	272	c56v
b25r	29.72	24.12	-41.48	47.98	300	v04m
b50r	38.41	44.74	-27.3	52.41	329	v55m
b75r	49.41	70.07	-3.62	70.16	357	m11o



Ein und Ausgabe: Farbmetrisches Drucker-Reflektiv-System ORS20_95a für relativen CIELAB-Buntton $h^* = lab^*h^* = h_{ab}/360 = 0.527$

Daten für jede Farbe:

lab^*tch^* und lab^*icu^*

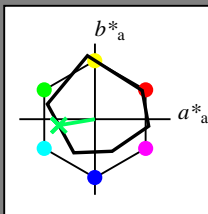
Bunttontexte:

$u^*_e = g25b$ $u^*_d = l36c$

Kontrastreduzierungsfaktor:

$c_R = 0.96$

Dreiecks-Helligkeit i^*



ORS20_95a; adaptierte CIELAB-Daten

u^*_e	$L^*=L^*_a$	a^*_a	b^*_a	$C^*_{ab,a}$	$h^*_{ab,a}$
O _{Ma}	48.71	62.56	37.91	73.15	31
Y _{Ma}	89.25	-9.92	83.91	84.49	97
L _{Ma}	52.5	-62.91	19.95	66.0	162
C _{Ma}	59.15	-27.87	-44.43	52.45	238
V _{Ma}	29.13	22.73	-42.44	48.14	298
M _{Ma}	49.51	71.08	-9.19	71.67	353
N _{Ma}	20.0	0.0	0.0	0.0	0
W _{Ma}	95.0	0.0	0.0	0.0	0
R _{Ma}	39.92	58.74	27.99	65.07	25
J _{Ma}	81.26	-2.89	71.56	71.62	92
G _{Ma}	52.23	-42.42	13.6	44.55	162
B _{Ma}	30.57	1.41	-46.47	46.49	272

Daten für Maximalfarbe (Ma):

$LAB^*LAB^*_{Ma}$: 55 -48 -8

$LAB^*LCH^*_{Ma}$: 55 48 189

$lab^*rgb^*_{Ma}$: 0.0 1.0 0.5

$lab^*olv^*_{Ma}$: 0.0 1.0 0.36

Dreiecks-Helligkeit i^*

%Umfang

$u^*_{rel} = 83$

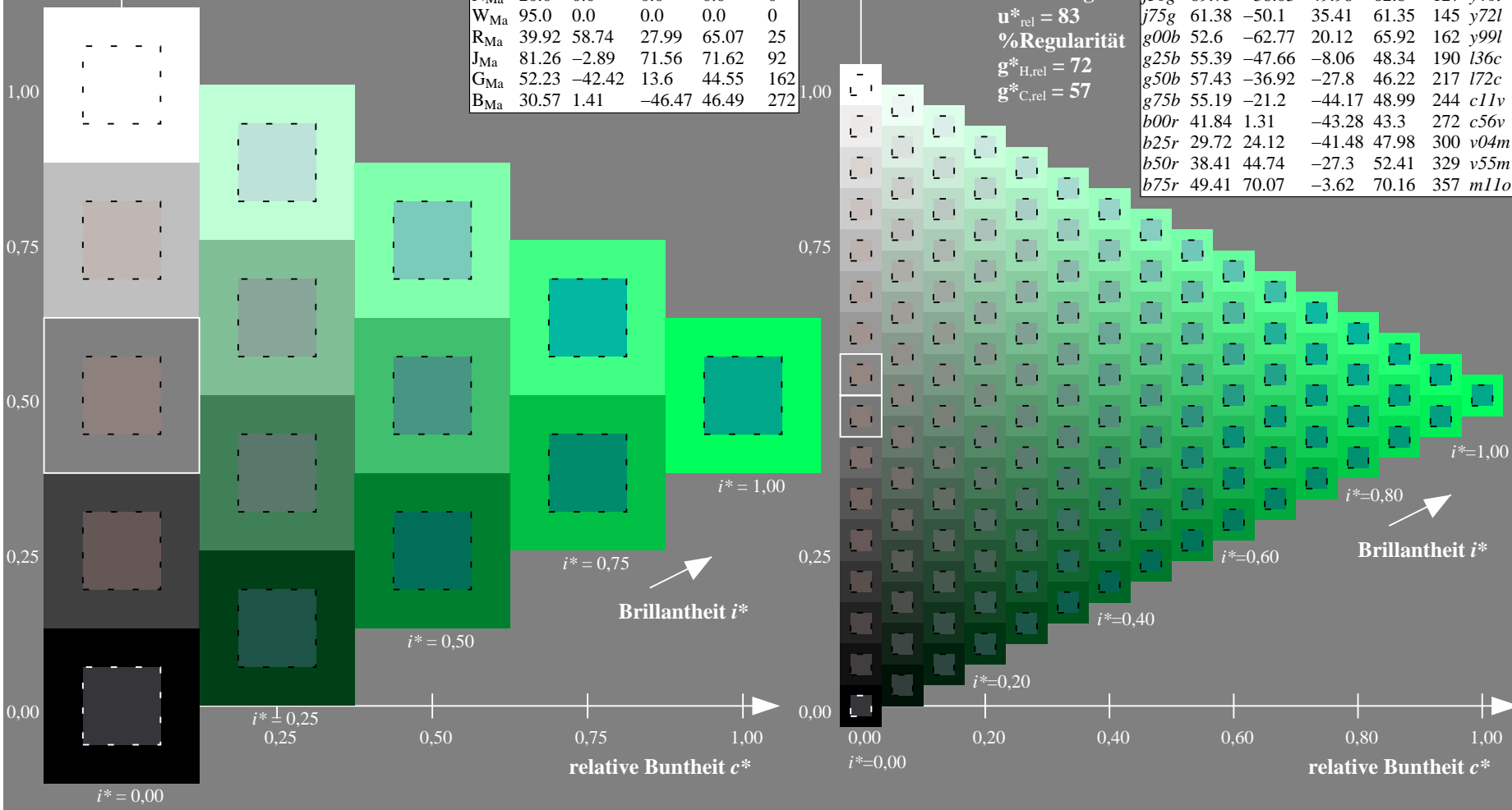
%Regularität

$g^*_{H,rel} = 72$

$g^*_{C,rel} = 57$

ORS20_95a; adaptierte CIELAB-Daten

u^*_e	$L^*=L^*_a$	a^*_a	b^*_a	$C^*_{ab,a}$	$h^*_{ab,a}$	u^*_d
r00j	48.83	63.91	30.45	70.79	25	m84o
r25j	55.53	50.37	45.65	67.97	42	o17y
r50j	64.76	33.86	56.12	65.55	59	o42y
r75j	74.12	17.13	66.74	68.9	76	o67y
j00g	85.5	-3.22	79.65	79.72	92	o92y
j25g	79.45	-24.05	66.85	71.04	110	y20l
j50g	69.75	-38.03	49.98	62.8	127	y46l
j75g	61.38	-50.1	35.41	61.35	145	y72l
g00b	52.6	-62.77	20.12	65.92	162	y99l
g25b	55.39	-47.66	-8.06	48.34	190	l36c
g50b	57.43	-36.92	-27.8	46.22	217	l72c
g75b	55.19	-21.2	-44.17	48.99	244	c11v
b00r	41.84	1.31	-43.28	43.3	272	c56v
b25r	29.72	24.12	-41.48	47.98	300	v04m
b50r	38.41	44.74	-27.3	52.41	329	v55m
b75r	49.41	70.07	-3.62	70.16	357	m11o



Ein und Ausgabe: Farbmetrisches Drucker-Reflektiv-System ORS20_95a für relativen CIELAB-Buntton $h^* = lab^*h^* = h_{ab}/360 = 0.603$

Daten für jede Farbe:

lab^*ch^* und lab^*icu^*

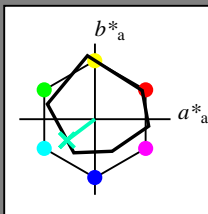
Bunttontexte:

$u^*_e = g50b$ $u^*_d = l72c$

Kontrastreduzierungsfaktor:

$c_R = 0.96$

Dreiecks-Helligkeit i^*



ORS20_95a; adaptierte CIELAB-Daten

u^*_e	$L^*=L^*_a$	a^*_a	b^*_a	$C^*_{ab,a}$	$h^*_{ab,a}$
O _{Ma}	48.71	62.56	37.91	73.15	31
Y _{Ma}	89.25	-9.92	83.91	84.49	97
L _{Ma}	52.5	-62.91	19.95	66.0	162
C _{Ma}	59.15	-27.87	-44.43	52.45	238
V _{Ma}	29.13	22.73	-42.44	48.14	298
M _{Ma}	49.51	71.08	-9.19	71.67	353
N _{Ma}	20.0	0.0	0.0	0.0	0
W _{Ma}	95.0	0.0	0.0	0.0	0
R _{Ma}	39.92	58.74	27.99	65.07	25
J _{Ma}	81.26	-2.89	71.56	71.62	92
G _{Ma}	52.23	-42.42	13.6	44.55	162
B _{Ma}	30.57	1.41	-46.47	46.49	272

Daten für Maximalfarbe (Ma):

$LAB^*LAB^*_{Ma}$: 57 -37 -28

$LAB^*LCH^*_{Ma}$: 57 46 216

$lab^*rgb^*_{Ma}$: 0.0 1.0 1.0

$lab^*olv^*_{Ma}$: 0.0 1.0 0.72

Dreiecks-Helligkeit i^*

%Umfang

$u^*_{rel} = 83$

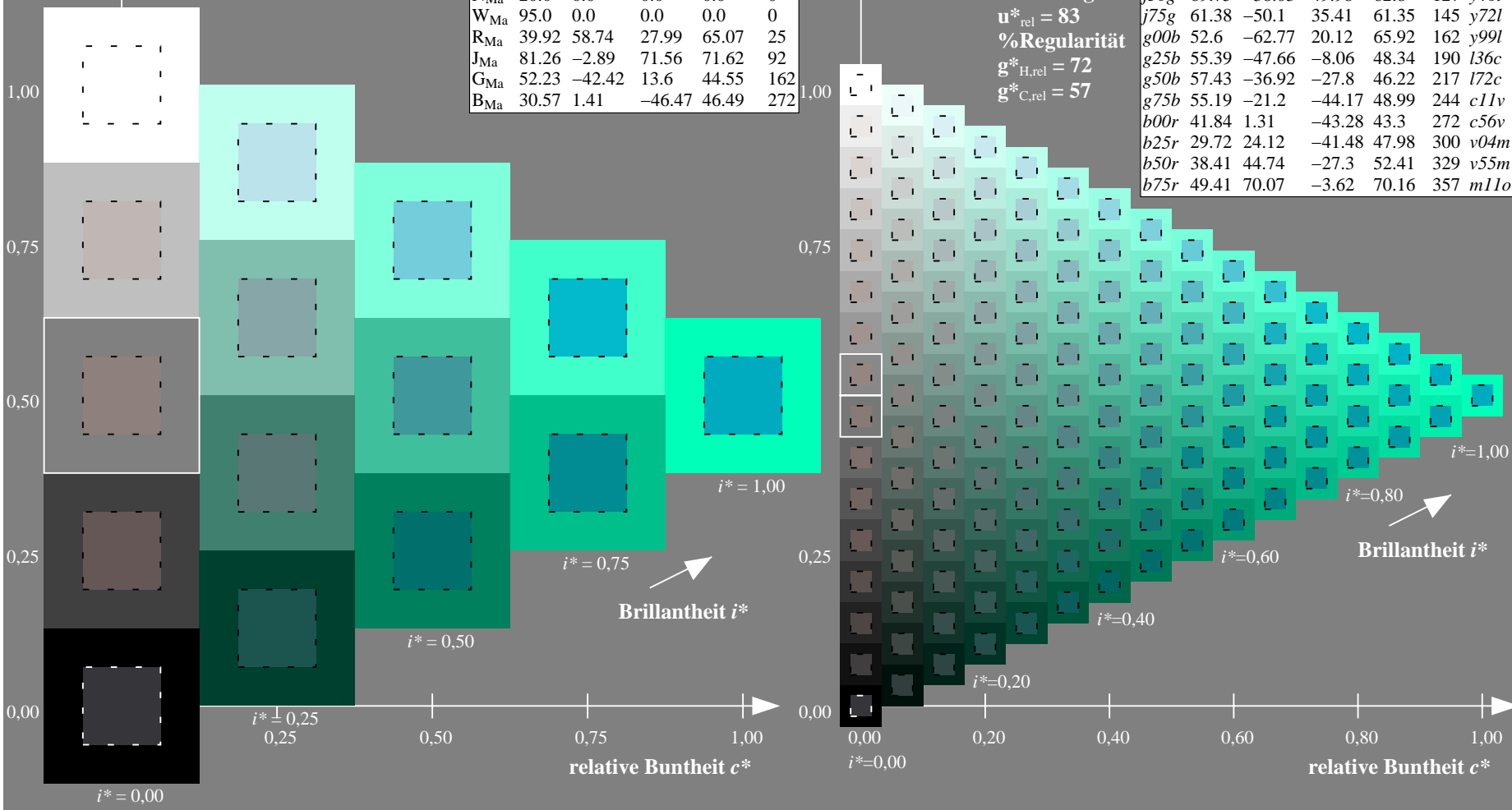
%Regularität

$g^*_{H,rel} = 72$

$g^*_{C,rel} = 57$

ORS20_95a; adaptierte CIELAB-Daten

u^*_e	$L^*=L^*_a$	a^*_a	b^*_a	$C^*_{ab,a}$	$h^*_{ab,a}$	u^*_d
r00j	48.83	63.91	30.45	70.79	25	m84o
r25j	55.53	50.37	45.65	67.97	42	o17y
r50j	64.76	33.86	56.12	65.55	59	o42y
r75j	74.12	17.13	66.74	68.9	76	o67y
j00g	85.5	-3.22	79.65	79.72	92	o92y
j25g	79.45	-24.05	66.85	71.04	110	y20l
j50g	69.75	-38.03	49.98	62.8	127	y46l
j75g	61.38	-50.1	35.41	61.35	145	y72l
g00b	52.6	-62.77	20.12	65.92	162	y99l
g25b	55.39	-47.66	-8.06	48.34	190	l36c
g50b	57.43	-36.92	-27.8	46.22	217	l72c
g75b	55.19	-21.2	-44.17	48.99	244	c11v
b00r	41.84	1.31	-43.28	43.3	272	c56v
b25r	29.72	24.12	-41.48	47.98	300	v04m
b50r	38.41	44.74	-27.3	52.41	329	v55m
b75r	49.41	70.07	-3.62	70.16	357	m11o



Ein und Ausgabe: Farbmetrisches Drucker-Reflektiv-System ORS20_95a für relativen CIELAB-Buntton $h^* = lab^*h^* = h_{ab}/360 = 0.679$

Daten für jede Farbe:

lab^*ch^* und lab^*icu^*

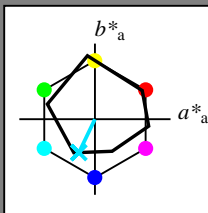
Bunttontexte:

$u^*_e = g75b$ $u^*_d = c11v$

Kontrastreduzierungsfaktor:

$c_R = 0.96$

Dreiecks-Helligkeit i^*



ORS20_95a; adaptierte CIELAB-Daten

u^*_e	$L^*=L^*_a$	a^*_a	b^*_a	$C^*_{ab,a}$	$h^*_{ab,a}$
O _{Ma}	48.71	62.56	37.91	73.15	31
Y _{Ma}	89.25	-9.92	83.91	84.49	97
L _{Ma}	52.5	-62.91	19.95	66.0	162
C _{Ma}	59.15	-27.87	-44.43	52.45	238
V _{Ma}	29.13	22.73	-42.44	48.14	298
M _{Ma}	49.51	71.08	-9.19	71.67	353
N _{Ma}	20.0	0.0	0.0	0.0	0
W _{Ma}	95.0	0.0	0.0	0.0	0
R _{Ma}	39.92	58.74	27.99	65.07	25
J _{Ma}	81.26	-2.89	71.56	71.62	92
G _{Ma}	52.23	-42.42	13.6	44.55	162
B _{Ma}	30.57	1.41	-46.47	46.49	272

Daten für Maximalfarbe (Ma):

$LAB^*LAB^*_{Ma}$: 55 -21 -44

$LAB^*LCH^*_{Ma}$: 55 49 244

$lab^*rgb^*_{Ma}$: 0.0 0.5 1.0

$lab^*olv^*_{Ma}$: 0.0 0.89 1.0

Dreiecks-Helligkeit i^*

%Umfang

$u^*_{rel} = 83$

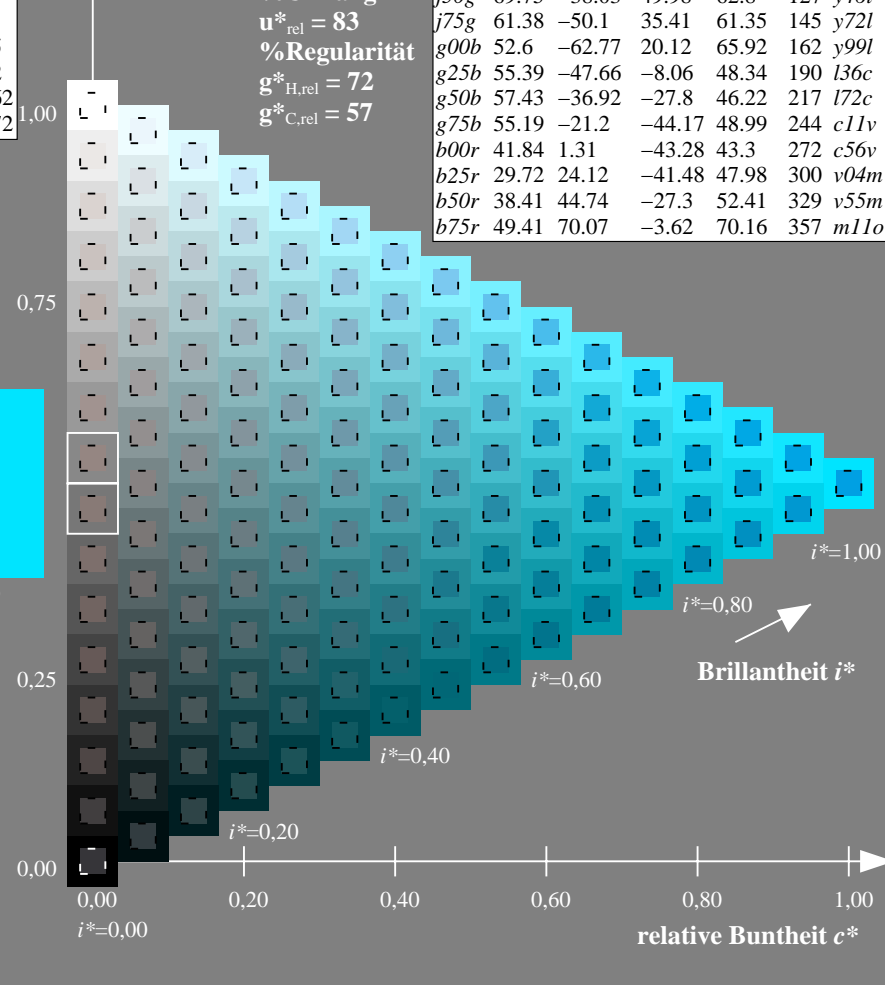
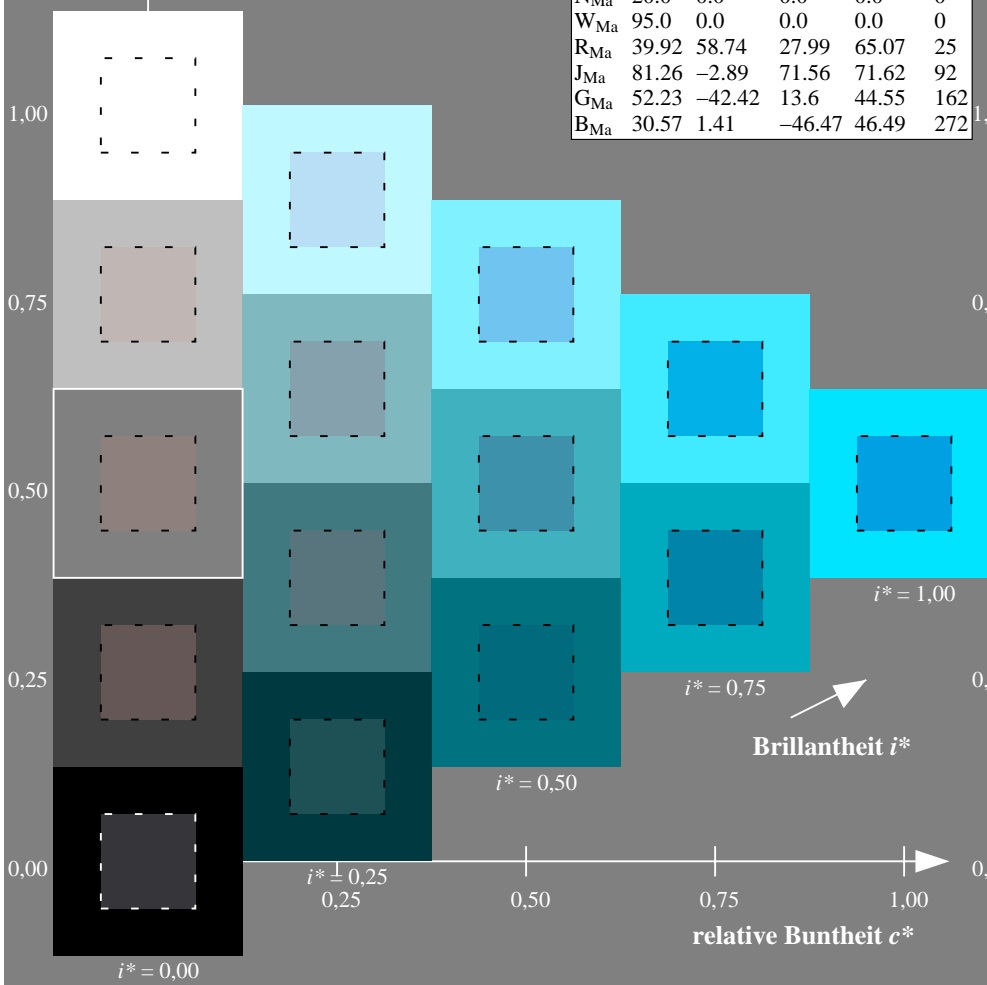
%Regularität

$g^*_{H,rel} = 72$

$g^*_{C,rel} = 57$

ORS20_95a; adaptierte CIELAB-Daten

u^*_e	$L^*=L^*_a$	a^*_a	b^*_a	$C^*_{ab,a}$	$h^*_{ab,a}$	u^*_d
r00j	48.83	63.91	30.45	70.79	25	m84o
r25j	55.53	50.37	45.65	67.97	42	o17y
r50j	64.76	33.86	56.12	65.55	59	o42y
r75j	74.12	17.13	66.74	68.9	76	o67y
j00g	85.5	-3.22	79.65	79.72	92	o92y
j25g	79.45	-24.05	66.85	71.04	110	y20l
j50g	69.75	-38.03	49.98	62.8	127	y46l
j75g	61.38	-50.1	35.41	61.35	145	y72l
g00b	52.6	-62.77	20.12	65.92	162	y99l
g25b	55.39	-47.66	-8.06	48.34	190	l36c
g50b	57.43	-36.92	-27.8	46.22	217	l72c
g75b	55.19	-21.2	-44.17	48.99	244	c11v
b00r	41.84	1.31	-43.28	43.3	272	c56v
b25r	29.72	24.12	-41.48	47.98	300	v04m
b50r	38.41	44.74	-27.3	52.41	329	v55m
b75r	49.41	70.07	-3.62	70.16	357	m11o



Ein und Ausgabe: Farbmetrisches Drucker-Reflektiv-System ORS20_95a für relativen CIELAB-Buntton $h^* = lab^*h^* = h_{ab}/360 = 0.834$

Daten für jede Farbe:

lab^*ch^* und lab^*icu^*

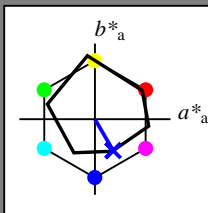
Bunttontexte:

$u^*_e = b25r$ $u^*_d = v04m$

Kontrastreduzierungsfaktor:

$c_R = 0.96$

Dreiecks-Helligkeit i^*



ORS20_95a; adaptierte CIELAB-Daten

u^*_e	$L^*=L^*_a$	a^*_a	b^*_a	$C^*_{ab,a}$	$h^*_{ab,a}$
O _{Ma}	48.71	62.56	37.91	73.15	31
Y _{Ma}	89.25	-9.92	83.91	84.49	97
L _{Ma}	52.5	-62.91	19.95	66.0	162
C _{Ma}	59.15	-27.87	-44.43	52.45	238
V _{Ma}	29.13	22.73	-42.44	48.14	298
M _{Ma}	49.51	71.08	-9.19	71.67	353
N _{Ma}	20.0	0.0	0.0	0.0	0
W _{Ma}	95.0	0.0	0.0	0.0	0
R _{Ma}	39.92	58.74	27.99	65.07	25
J _{Ma}	81.26	-2.89	71.56	71.62	92
G _{Ma}	52.23	-42.42	13.6	44.55	162
B _{Ma}	30.57	1.41	-46.47	46.49	272

Daten für Maximalfarbe (Ma):

$LAB^*LAB^*_{Ma}$: 30 24 -41

$LAB^*LCH^*_{Ma}$: 30 48 300

$lab^*rgb^*_{Ma}$: 0.5 0.0 1.0

$lab^*olv^*_{Ma}$: 0.04 0.0 1.0

Dreiecks-Helligkeit i^*

%Umfang

$u^*_{rel} = 83$

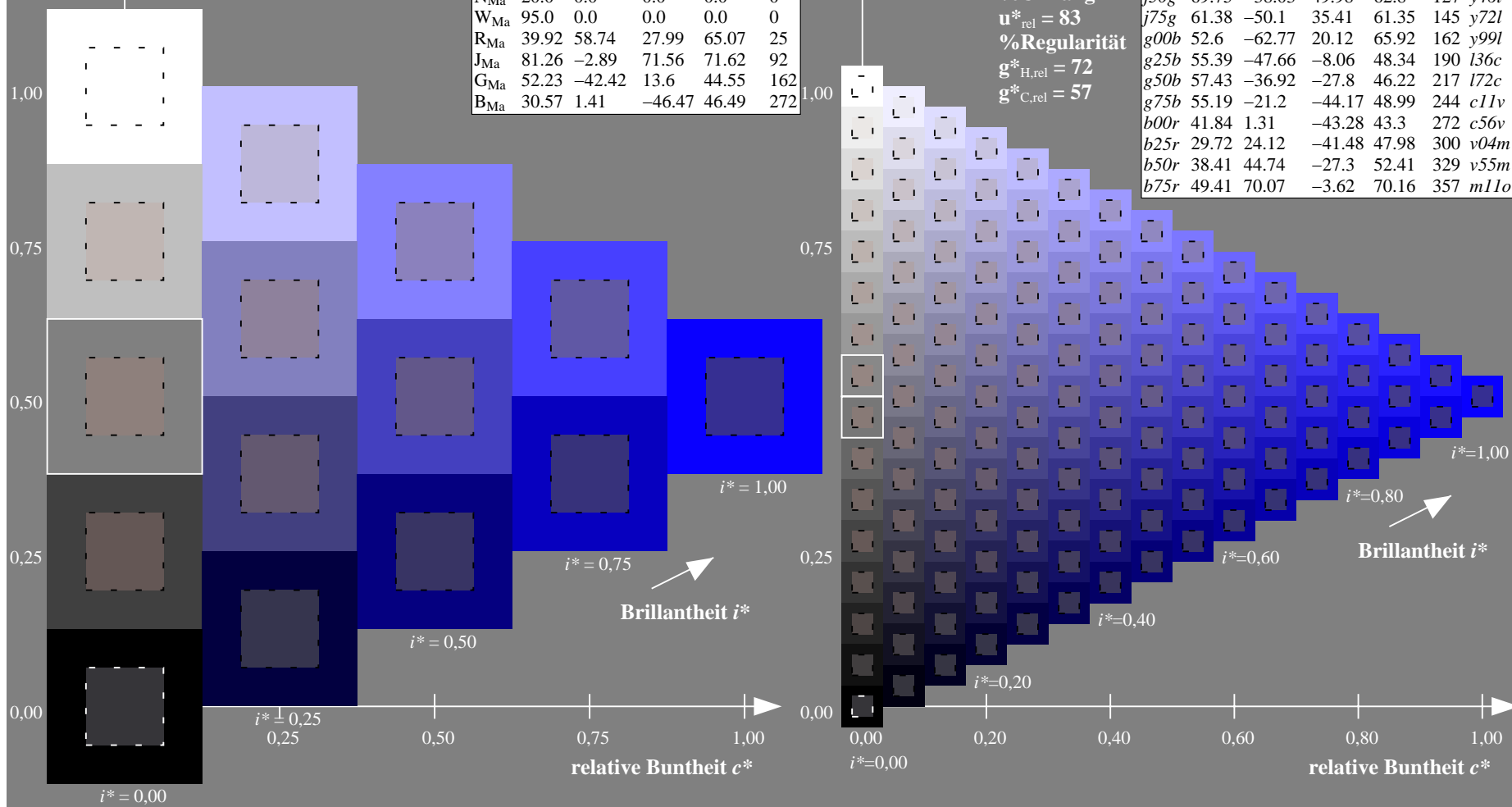
%Regularität

$g^*_{H,rel} = 72$

$g^*_{C,rel} = 57$

ORS20_95a; adaptierte CIELAB-Daten

u^*_e	$L^*=L^*_a$	a^*_a	b^*_a	$C^*_{ab,a}$	$h^*_{ab,a}$	u^*_d
r00j	48.83	63.91	30.45	70.79	25	m84o
r25j	55.53	50.37	45.65	67.97	42	o17y
r50j	64.76	33.86	56.12	65.55	59	o42y
r75j	74.12	17.13	66.74	68.9	76	o67y
j00g	85.5	-3.22	79.65	79.72	92	o92y
j25g	79.45	-24.05	66.85	71.04	110	y20l
j50g	69.75	-38.03	49.98	62.8	127	y46l
j75g	61.38	-50.1	35.41	61.35	145	y72l
g00b	52.6	-62.77	20.12	65.92	162	y99l
g25b	55.39	-47.66	-8.06	48.34	190	l36c
g50b	57.43	-36.92	-27.8	46.22	217	l72c
g75b	55.19	-21.2	-44.17	48.99	244	c11v
b00r	41.84	1.31	-43.28	43.3	272	c56v
b25r	29.72	24.12	-41.48	47.98	300	v04m
b50r	38.41	44.74	-27.3	52.41	329	v55m
b75r	49.41	70.07	-3.62	70.16	357	m11o



Ein und Ausgabe: Farbmetrisches Drucker-Reflektiv-System ORS20_95a für relativen CIELAB-Buntton $h^* = lab^*h^* = h_{ab}/360 = 0.913$

Daten für jede Farbe:

lab^*ch^* und lab^*icu^*

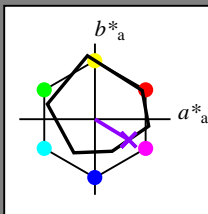
Bunttontexte:

$u^*_e = b50r$ $u^*_d = v55m$

Kontrastreduzierungsfaktor:

$c_R = 0.96$

Dreiecks-Helligkeit i^*



ORS20_95a; adaptierte CIELAB-Daten

u^*_e	$L^*=L^*_a$	a^*_a	b^*_a	$C^*_{ab,a}$	$h^*_{ab,a}$
O _{Ma}	48.71	62.56	37.91	73.15	31
Y _{Ma}	89.25	-9.92	83.91	84.49	97
L _{Ma}	52.5	-62.91	19.95	66.0	162
C _{Ma}	59.15	-27.87	-44.43	52.45	238
V _{Ma}	29.13	22.73	-42.44	48.14	298
M _{Ma}	49.51	71.08	-9.19	71.67	353
N _{Ma}	20.0	0.0	0.0	0.0	0
W _{Ma}	95.0	0.0	0.0	0.0	0
R _{Ma}	39.92	58.74	27.99	65.07	25
J _{Ma}	81.26	-2.89	71.56	71.62	92
G _{Ma}	52.23	-42.42	13.6	44.55	162
B _{Ma}	30.57	1.41	-46.47	46.49	272

Daten für Maximalfarbe (Ma):

$LAB^*LAB^*_{Ma}$: 38 45 -27

$LAB^*LCH^*_{Ma}$: 38 52 328

$lab^*rgb^*_{Ma}$: 1.0 0.0 1.0

$lab^*olv^*_{Ma}$: 0.56 0.0 1.0

Dreiecks-Helligkeit i^*

%Umfang

$u^*_{rel} = 83$

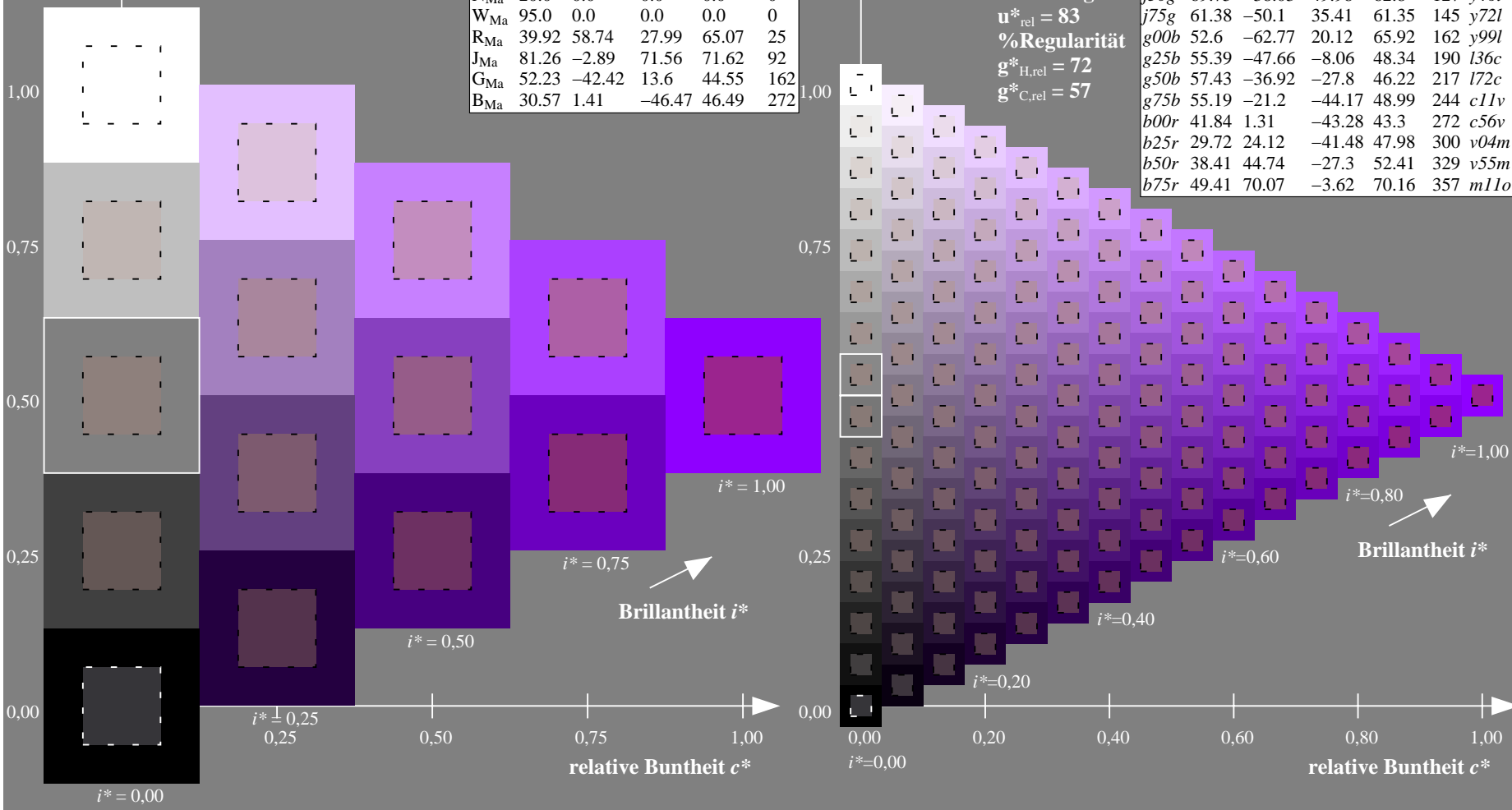
%Regularität

$g^*_{H,rel} = 72$

$g^*_{C,rel} = 57$

ORS20_95a; adaptierte CIELAB-Daten

u^*_e	$L^*=L^*_a$	a^*_a	b^*_a	$C^*_{ab,a}$	$h^*_{ab,a}$	u^*_d
r00j	48.83	63.91	30.45	70.79	25	m84o
r25j	55.53	50.37	45.65	67.97	42	o17y
r50j	64.76	33.86	56.12	65.55	59	o42y
r75j	74.12	17.13	66.74	68.9	76	o67y
j00g	85.5	-3.22	79.65	79.72	92	o92y
j25g	79.45	-24.05	66.85	71.04	110	y20l
j50g	69.75	-38.03	49.98	62.8	127	y46l
j75g	61.38	-50.1	35.41	61.35	145	y72l
g00b	52.6	-62.77	20.12	65.92	162	y99l
g25b	55.39	-47.66	-8.06	48.34	190	l36c
g50b	57.43	-36.92	-27.8	46.22	217	l72c
g75b	55.19	-21.2	-44.17	48.99	244	c11v
b00r	41.84	1.31	-43.28	43.3	272	c56v
b25r	29.72	24.12	-41.48	47.98	300	v04m
b50r	38.41	44.74	-27.3	52.41	329	v55m
b75r	49.41	70.07	-3.62	70.16	357	m11o



Ein und Ausgabe: Farbmetrisches Drucker-Reflektiv-System ORS20_95a für relativen CIELAB-Buntton $h^* = lab^*h^* = h_{ab}/360 = 0.992$

Daten für jede Farbe:

lab^*ch^* und lab^*icu^*

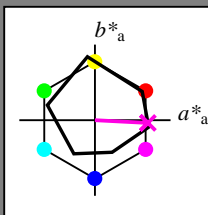
Bunttontexte:

$u^*_e = b75r$ $u^*_d = m11o$

Kontrastreduzierungsfaktor:

$c_R = 0.96$

Dreiecks-Helligkeit i^*



ORS20_95a; adaptierte CIELAB-Daten

	u^*_e	$L^*=L^*_a$	a^*_a	b^*_a	$C^*_{ab,a}$	$h^*_{ab,a}$
O _{Ma}	48.71	62.56	37.91	73.15	31	
Y _{Ma}	89.25	-9.92	83.91	84.49	97	
L _{Ma}	52.5	-62.91	19.95	66.0	162	
C _{Ma}	59.15	-27.87	-44.43	52.45	238	
V _{Ma}	29.13	22.73	-42.44	48.14	298	
M _{Ma}	49.51	71.08	-9.19	71.67	353	
N _{Ma}	20.0	0.0	0.0	0.0	0	
W _{Ma}	95.0	0.0	0.0	0.0	0	
R _{Ma}	39.92	58.74	27.99	65.07	25	
J _{Ma}	81.26	-2.89	71.56	71.62	92	
G _{Ma}	52.23	-42.42	13.6	44.55	162	
B _{Ma}	30.57	1.41	-46.47	46.49	272	

Daten für Maximalfarbe (Ma):

$LAB^*LAB^*_{Ma}$: 49 70 -4

$LAB^*LCH^*_{Ma}$: 49 70 357

$lab^*rgb^*_{Ma}$: 1.0 0.0 0.5

$lab^*olv^*_{Ma}$: 1.0 0.0 0.89

Dreiecks-Helligkeit i^*

%Umfang

$u^*_{rel} = 83$

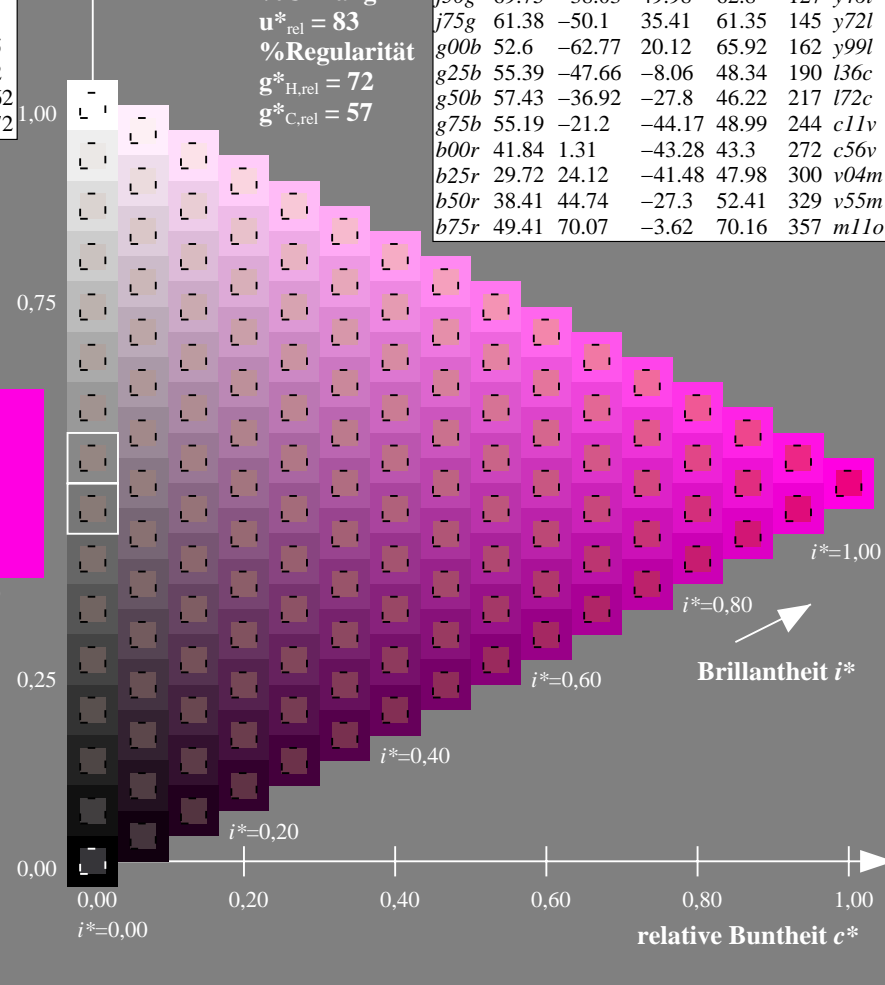
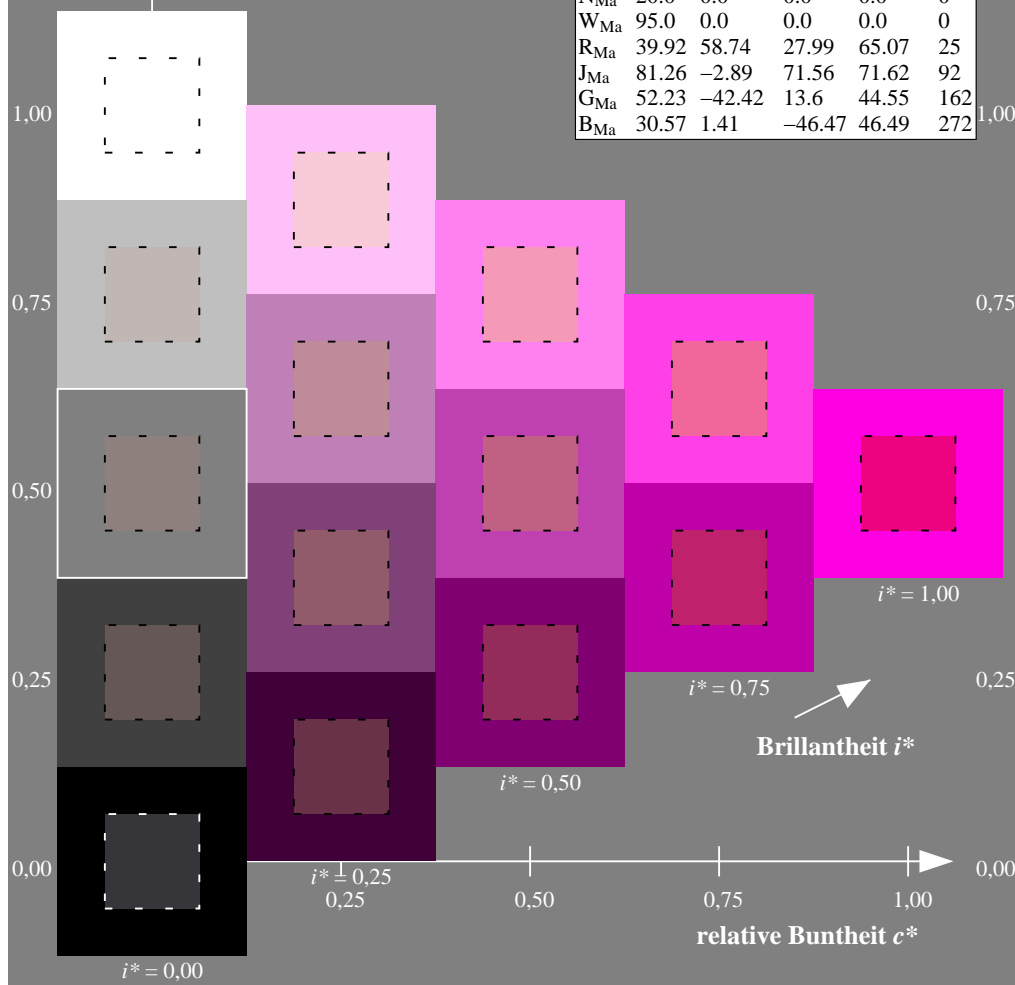
%Regularität

$g^*_{H,rel} = 72$

$g^*_{C,rel} = 57$

ORS20_95a; adaptierte CIELAB-Daten

	u^*_e	$L^*=L^*_a$	a^*_a	b^*_a	$C^*_{ab,a}$	$h^*_{ab,a}$	u^*_d
r00j	48.83	63.91	30.45	70.79	25	m84o	
r25j	55.53	50.37	45.65	67.97	42	o17y	
r50j	64.76	33.86	56.12	65.55	59	o42y	
r75j	74.12	17.13	66.74	68.9	76	o67y	
j00g	85.5	-3.22	79.65	79.72	92	o92y	
j25g	79.45	-24.05	66.85	71.04	110	y20l	
j50g	69.75	-38.03	49.98	62.8	127	y46l	
j75g	61.38	-50.1	35.41	61.35	145	y72l	
g00b	52.6	-62.77	20.12	65.92	162	y99l	
g25b	55.39	-47.66	-8.06	48.34	190	l36c	
g50b	57.43	-36.92	-27.8	46.22	217	l72c	
g75b	55.19	-21.2	-44.17	48.99	244	c11v	
b00r	41.84	1.31	-43.28	43.3	272	c56v	
b25r	29.72	24.12	-41.48	47.98	300	v04m	
b50r	38.41	44.74	-27.3	52.41	329	v55m	
b75r	49.41	70.07	-3.62	70.16	357	m11o	



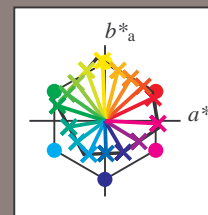
Siehe ähnliche Dateien: <http://www.ps.bam.de/Eg15/>; www.ps.bam.de/Eg.HTM
Technische Information: <http://www.ps.bam.de> Version 2.1, io=1,1, ColSpx=0



Ein und Ausgabe:
Farbmetrisches Drucker-Reflektiv-System ORS20_95a
Daten für jede Farbe:
 u^*_e und Nummer $Nr.$ = 00 .. 15
Elementar-Bunttontext:
 $u^*_e = 16$ Bunttoene $r00j, r25j, ..., b75r$
Kontrastreduzierungsfaktor:
 $c_R = 0.96$

ORS20_95a; adaptierte CIELAB-Daten

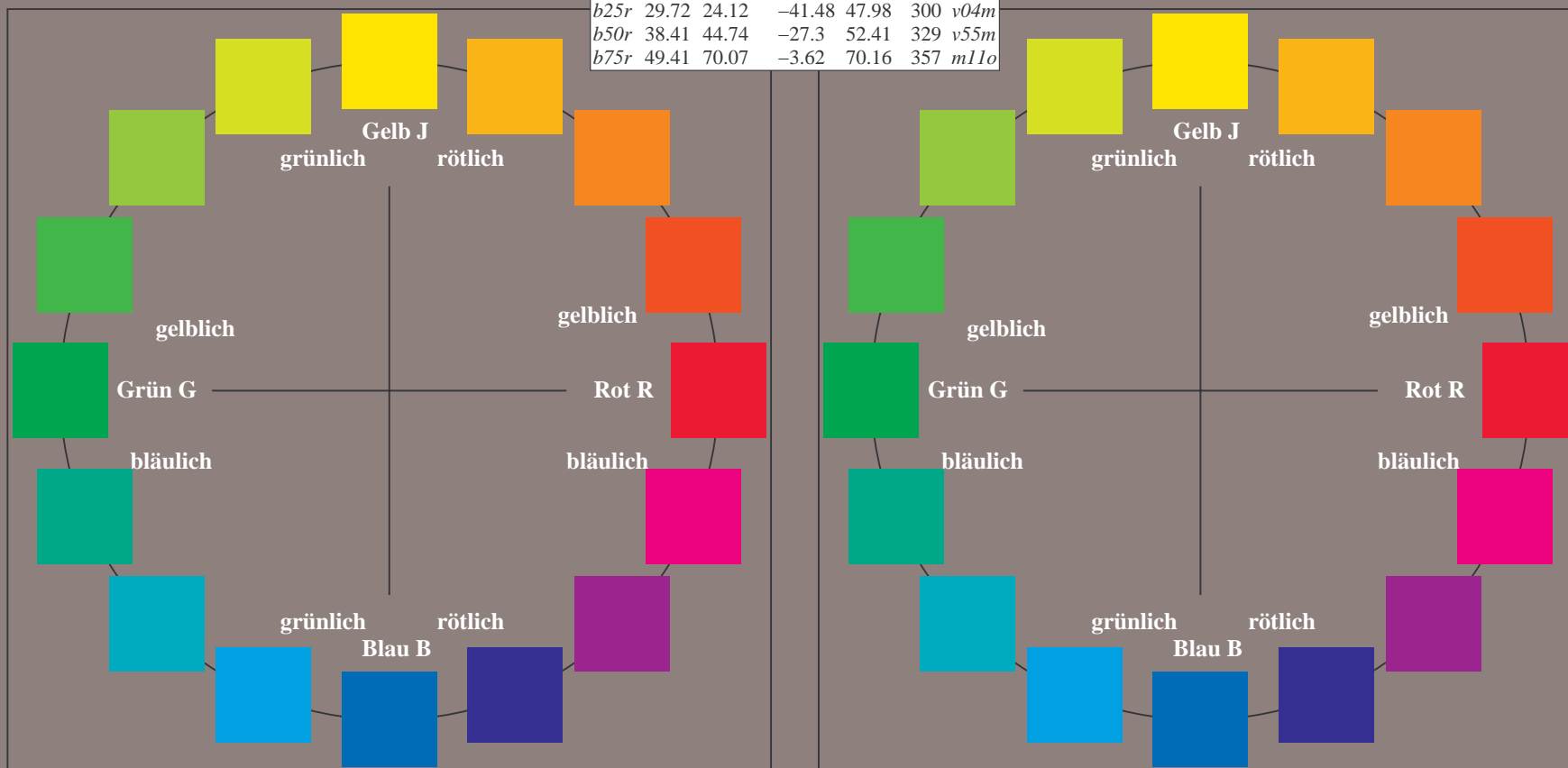
u^*_e	$L^*=L^*_a$	a^*_a	b^*_a	$C^*_{ab,a}$	$h^*_{ab,a}$	u^*_d
$r00j$	48.83	63.91	30.45	70.79	25	$m84o$
$r25j$	55.53	50.37	45.65	67.97	42	$o17y$
$r50j$	64.76	33.86	56.12	65.55	59	$o42y$
$r75j$	74.12	17.13	66.74	68.9	76	$o67y$
$j00g$	85.5	-3.22	79.65	79.72	92	$o92y$
$j25g$	79.45	-24.05	66.85	71.04	110	$y20l$
$j50g$	69.75	-38.03	49.98	62.8	127	$y46l$
$j75g$	61.38	-50.1	35.41	61.35	145	$y72l$
$g00b$	52.6	-62.77	20.12	65.92	162	$y99l$
$g25b$	55.39	-47.66	-8.06	48.34	190	$l36c$
$g50b$	57.43	-36.92	-27.8	46.22	217	$l72c$
$g75b$	55.19	-21.2	-44.17	48.99	244	$c11v$
$b00r$	41.84	1.31	-43.28	43.3	272	$c56v$
$b25r$	29.72	24.12	-41.48	47.98	300	$v04m$
$b50r$	38.41	44.74	-27.3	52.41	329	$v55m$
$b75r$	49.41	70.07	-3.62	70.16	357	$m11o$



%Umfang
 $u^*_{rel} = 83$
%Regularität
 $g^*_{H,rel} = 72$
 $g^*_{C,rel} = 57$

ORS20_95a; adaptierte CIELAB-Daten

Name	$L^*=L^*_a$	a^*_a	b^*_a	$C^*_{ab,a}$	$h^*_{ab,a}$
O_{Ma}	48.71	62.56	37.91	73.15	31
Y_{Ma}	89.25	-9.92	83.91	84.49	97
L_{Ma}	52.5	-62.91	19.95	66.0	162
C_{Ma}	59.15	-27.87	-44.43	52.45	238
V_{Ma}	29.13	22.73	-42.44	48.14	298
M_{Ma}	49.51	71.08	-9.19	71.67	353
N_{Ma}	20.0	0.0	0.0	0.0	0
W_{Ma}	95.0	0.0	0.0	0.0	0
R_{CIE}	39.92	58.74	27.99	65.07	25
J_{CIE}	81.26	-2.89	71.56	71.62	92
G_{CIE}	52.23	-42.42	13.6	44.55	162
B_{CIE}	30.57	1.41	-46.47	46.49	272



Ein und Ausgabe: Farbmetrisches Drucker-Reflektiv-System ORS20_95a für relativen CIELAB-Buntton $h^* = lab^*h^* = h_{ab}/360 = 0.071$

Daten für jede Farbe:

lab^*tch^* und lab^*icu^*

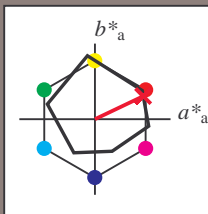
Bunttontexte:

$u_e^* = r00j$ $u_d^* = m84o$

Kontrastreduzierungsfaktor:

$c_R = 0.96$

Dreiecks-Helligkeit i^*



ORS20_95a; adaptierte CIELAB-Daten						
u_e^*	$L^*=L_a^*$	a_a^*	b_a^*	$C_{ab,a}^*$	$h_{ab,a}^*$	u_d^*
O _{Ma}	48.71	62.56	37.91	73.15	31	
Y _{Ma}	89.25	-9.92	83.91	84.49	97	
L _{Ma}	52.5	-62.91	19.95	66.0	162	
C _{Ma}	59.15	-27.87	-44.43	52.45	238	
V _{Ma}	29.13	22.73	-42.44	48.14	298	
M _{Ma}	49.51	71.08	-9.19	71.67	353	
N _{Ma}	20.0	0.0	0.0	0.0	0	
W _{Ma}	95.0	0.0	0.0	0.0	0	
R _{Ma}	39.92	58.74	27.99	65.07	25	
J _{Ma}	81.26	-2.89	71.56	71.62	92	
G _{Ma}	52.23	-42.42	13.6	44.55	162	
B _{Ma}	30.57	1.41	-46.47	46.49	272	

Daten für Maximalfarbe (Ma):

LAB^*LAB^*Ma : 49 64 30

LAB^*LCH^*Ma : 49 71 25

lab^*rgb^*Ma : 1.0 0.0 0.0

lab^*olv^*Ma : 1.0 0.0 0.15

Dreiecks-Helligkeit i^*

%Umfang

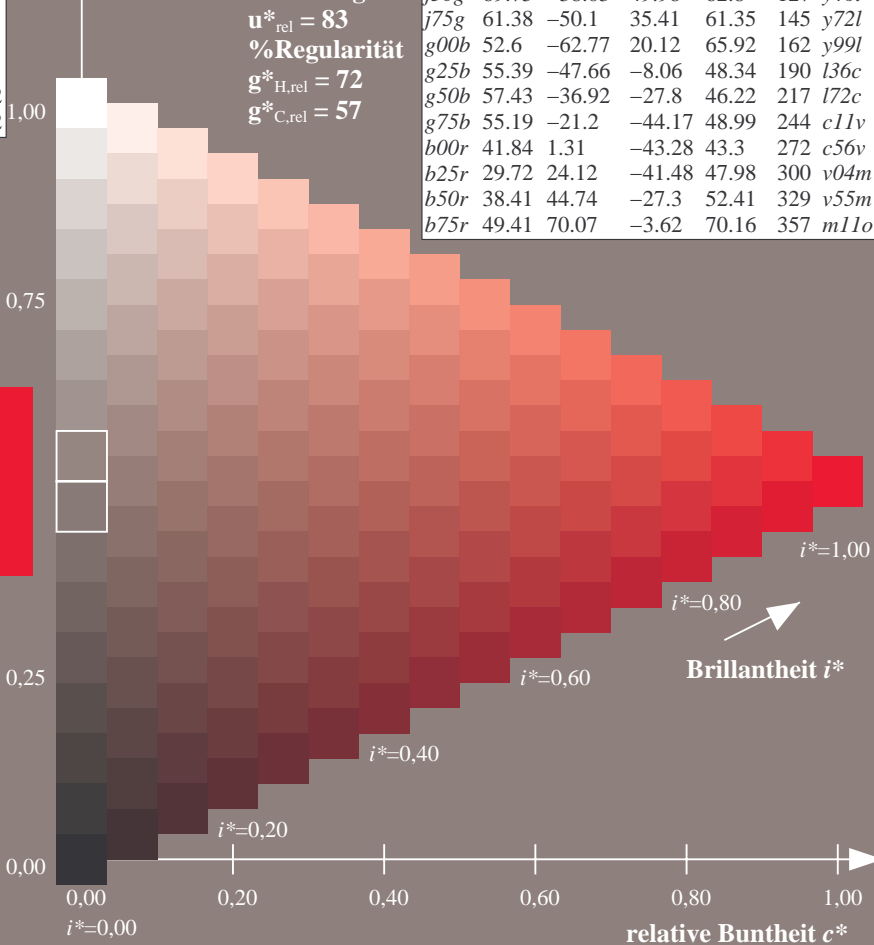
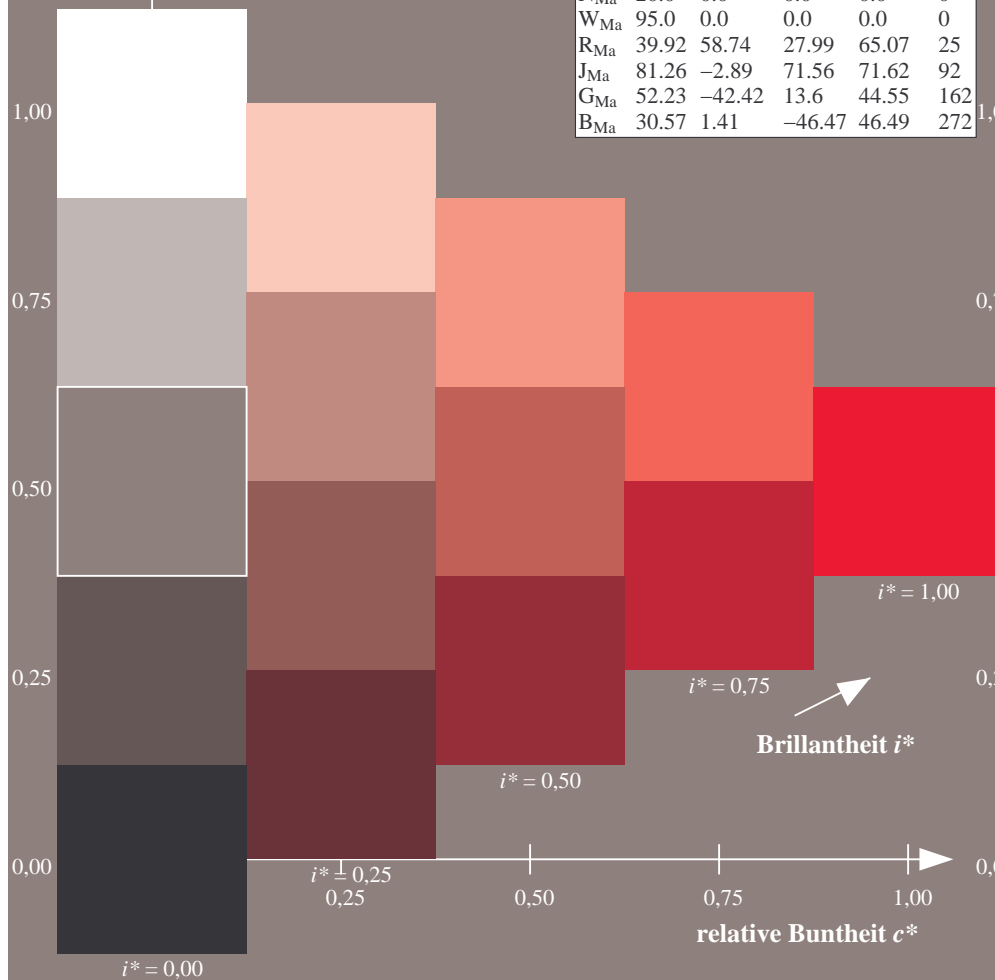
$u_{rel}^* = 83$

%Regularität

$g_{H,rel}^* = 72$

$g_{C,rel}^* = 57$

ORS20_95a; adaptierte CIELAB-Daten						
u_e^*	$L^*=L_a^*$	a_a^*	b_a^*	$C_{ab,a}^*$	$h_{ab,a}^*$	u_d^*
r00j	48.83	63.91	30.45	70.79	25	m84o
r25j	55.53	50.37	45.65	67.97	42	o17y
r50j	64.76	33.86	56.12	65.55	59	o42y
r75j	74.12	17.13	66.74	68.9	76	o67y
j00g	85.5	-3.22	79.65	79.72	92	o92y
j25g	79.45	-24.05	66.85	71.04	110	y20l
j50g	69.75	-38.03	49.98	62.8	127	y46l
j75g	61.38	-50.1	35.41	61.35	145	y72l
g00b	52.6	-62.77	20.12	65.92	162	y99l
g25b	55.39	-47.66	-8.06	48.34	190	l36c
g50b	57.43	-36.92	-27.8	46.22	217	l72c
g75b	55.19	-21.2	-44.17	48.99	244	c11v
b00r	41.84	1.31	-43.28	43.3	272	c56v
b25r	29.72	24.12	-41.48	47.98	300	v04m
b50r	38.41	44.74	-27.3	52.41	329	v55m
b75r	49.41	70.07	-3.62	70.16	357	m11o



Ein und Ausgabe: Farbmetrisches Drucker-Reflektiv-System ORS20_95a für relativen CIELAB-Buntton $h^* = lab^*h^* = h_{ab}/360 = 0.117$

Daten für jede Farbe:

lab^*tch^* und lab^*icu^*

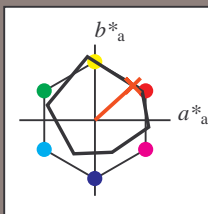
Bunttontexte:

$u^*_e = r25j$ $u^*_d = o17y$

Kontrastreduzierungsfaktor:

$c_R = 0.96$

Dreiecks-Helligkeit i^*



ORS20_95a; adaptierte CIELAB-Daten					
u^*_e	$L^*=L^*_a$	a^*_a	b^*_a	$C^*_{ab,a}$	$h^*_{ab,a}$
O _{Ma}	48.71	62.56	37.91	73.15	31
Y _{Ma}	89.25	-9.92	83.91	84.49	97
L _{Ma}	52.5	-62.91	19.95	66.0	162
C _{Ma}	59.15	-27.87	-44.43	52.45	238
V _{Ma}	29.13	22.73	-42.44	48.14	298
M _{Ma}	49.51	71.08	-9.19	71.67	353
N _{Ma}	20.0	0.0	0.0	0.0	0
W _{Ma}	95.0	0.0	0.0	0.0	0
R _{Ma}	39.92	58.74	27.99	65.07	25
J _{Ma}	81.26	-2.89	71.56	71.62	92
G _{Ma}	52.23	-42.42	13.6	44.55	162
B _{Ma}	30.57	1.41	-46.47	46.49	272

Daten für Maximalfarbe (Ma):

$LAB^*LAB^*_{Ma}$: 56 50 46

$LAB^*LCH^*_{Ma}$: 56 68 42

$lab^*rgb^*_{Ma}$: 1.0 0.25 0.0

$lab^*olv^*_{Ma}$: 1.0 0.17 0.0

Dreiecks-Helligkeit i^*

%Umfang

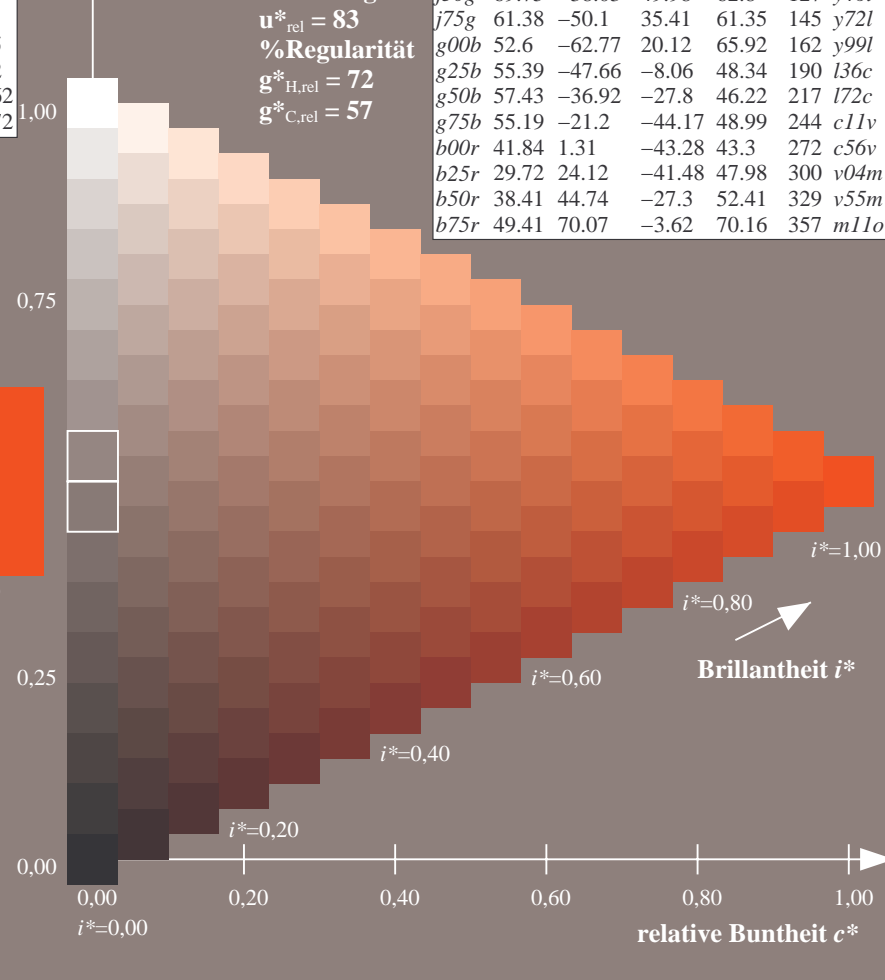
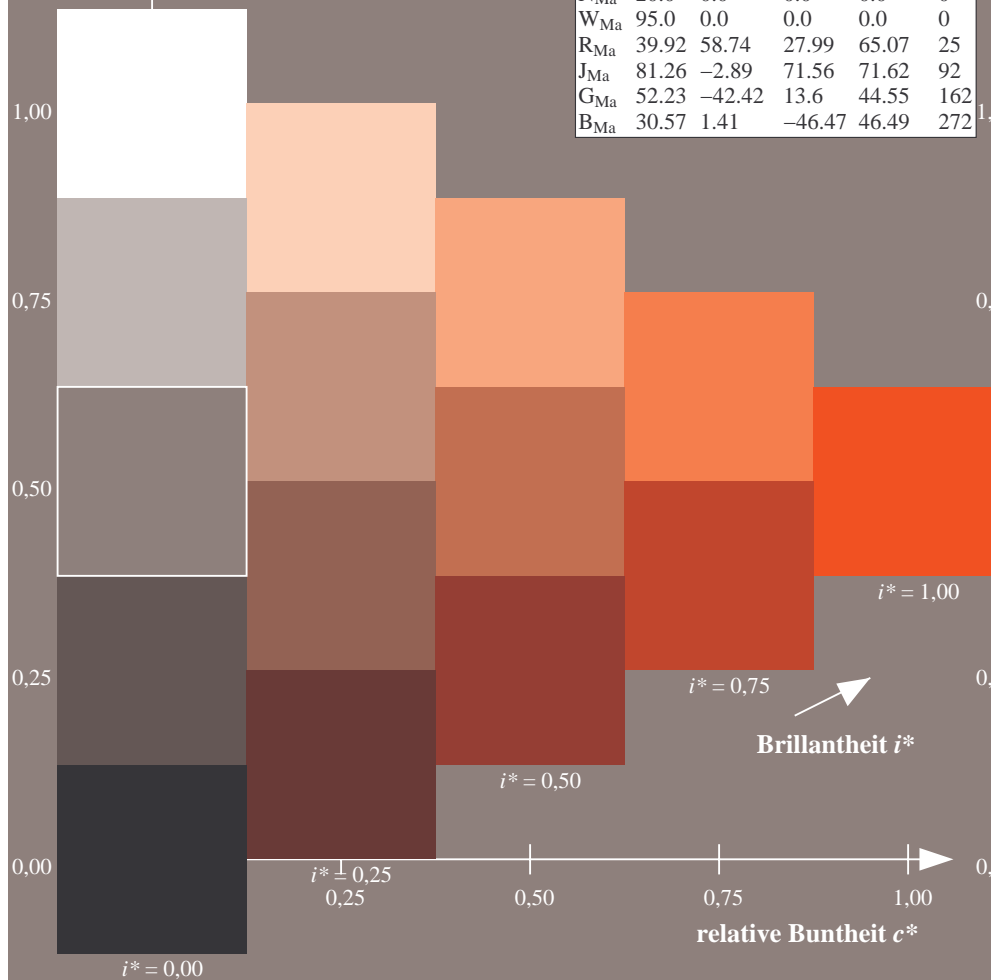
$u^*_{rel} = 83$

%Regularität

$g^*_{H,rel} = 72$

$g^*_{C,rel} = 57$

ORS20_95a; adaptierte CIELAB-Daten					
u^*_e	$L^*=L^*_a$	a^*_a	b^*_a	$C^*_{ab,a}$	$h^*_{ab,a}$
r00j	48.83	63.91	30.45	70.79	25
r25j	55.53	50.37	45.65	67.97	42
r50j	64.76	33.86	56.12	65.55	59
r75j	74.12	17.13	66.74	68.9	76
j00g	85.5	-3.22	79.65	79.72	92
j25g	79.45	-24.05	66.85	71.04	110
j50g	69.75	-38.03	49.98	62.8	127
j75g	61.38	-50.1	35.41	61.35	145
g00b	52.6	-62.77	20.12	65.92	162
g25b	55.39	-47.66	-8.06	48.34	190
g50b	57.43	-36.92	-27.8	46.22	217
g75b	55.19	-21.2	-44.17	48.99	244
b00r	41.84	1.31	-43.28	43.3	272
b25r	29.72	24.12	-41.48	47.98	300
b50r	38.41	44.74	-27.3	52.41	329
b75r	49.41	70.07	-3.62	70.16	357



Ein und Ausgabe: Farbmétrisches Drucker-Reflektiv-System ORS20_95a für relativen CIELAB-Buntton $h^* = lab^*h^* = h_{ab}/360 = 0.164$

Daten für jede Farbe:

*lab*tch** und *lab*icu**

Bunttexte:

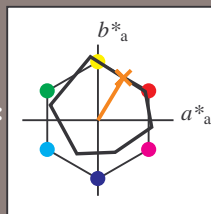
$$u^*_e = r50j \quad u^*_d = o42y$$

Kontrastreduzierungsfaktor:

 $c_D = 0.96$

K Dreiecks-Helligkeit t^*

Dricks-Hemgken



ORS20 95a; adaptierte CIELAB-Daten						
u_e^*	$L^*=L_a^*$	a_a^*	b_a^*	$C^*_{ab,a}$	$h^*_{ab,a}$	
O _{Ma}	48.71	62.56	37.91	73.15	31	
Y _{Ma}	89.25	-9.92	83.91	84.49	97	
L _{Ma}	52.5	-62.91	19.95	66.0	162	
C _{Ma}	59.15	-27.87	-44.43	52.45	238	
V _{Ma}	29.13	22.73	-42.44	48.14	298	
M _{Ma}	49.51	71.08	-9.19	71.67	353	
N _{Ma}	20.0	0.0	0.0	0.0	0	
W _{Ma}	95.0	0.0	0.0	0.0	0	
R _{Ma}	39.92	58.74	27.99	65.07	25	
J _{Ma}	81.26	-2.89	71.56	71.62	92	
G _{Ma}	52.23	-42.42	13.6	44.55	162	
B _{Ma}	30.57	1.41	-46.47	46.49	272	

Daten für Maximalfarbe (Ma):

*LAB*LAB*Me*: 65 34 56

LAD*LGII* 65 66 59

LAB*LCH*Ma: 65 66 58

*lab*rgb*_{Ma}: 1.0 0.5 0.0

***lab*olv**M_a: 1.0 0.42 0.0**

Dreiecks-Helligkeit t^*

Dricks-Hemgkeit:

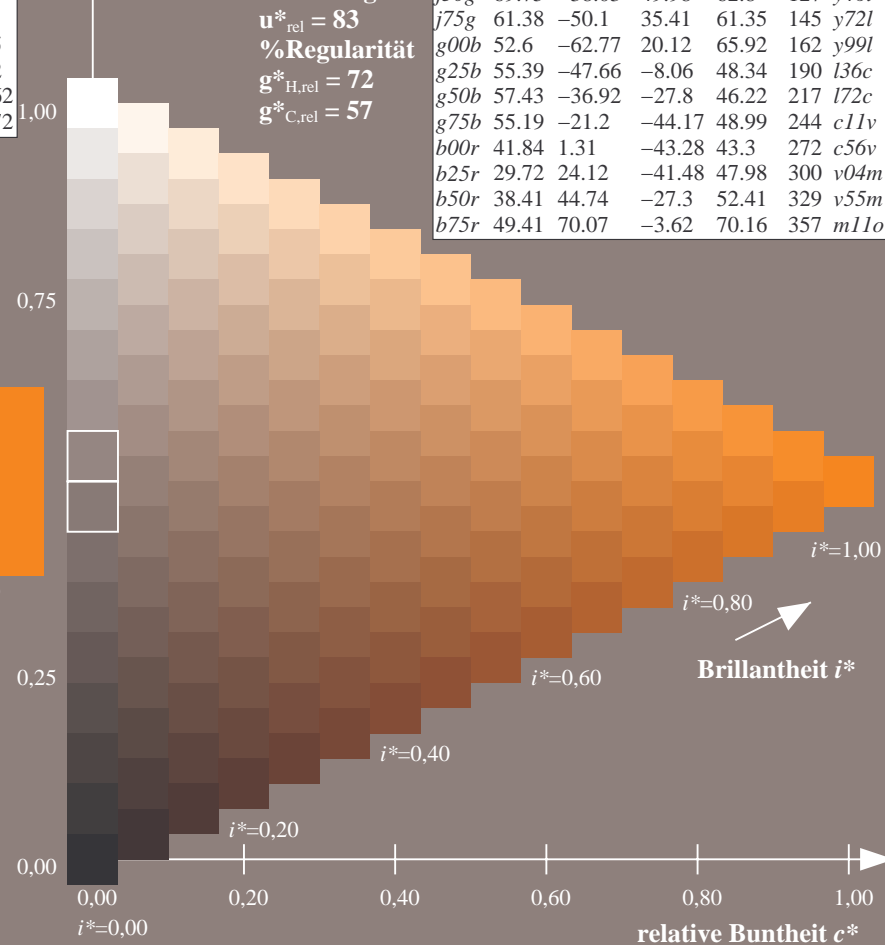
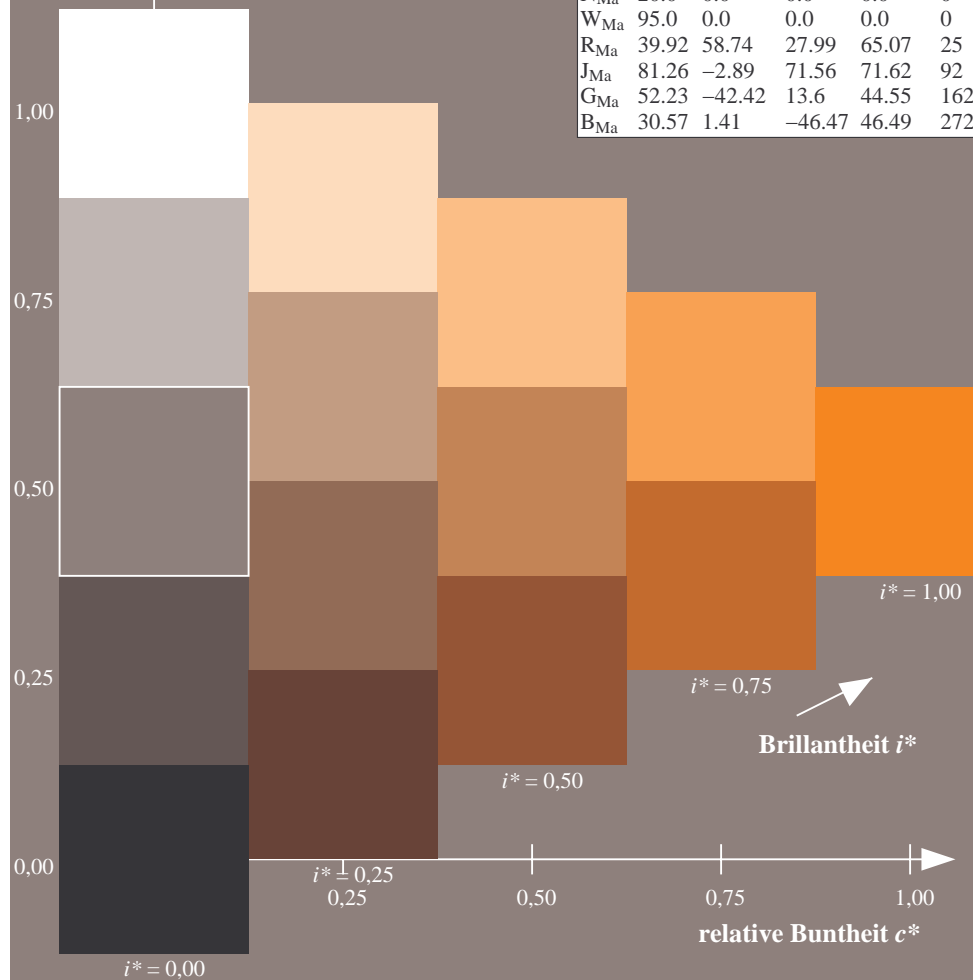
%Umfang

$$\mathbf{u}_{\text{rel}}^* = 83$$

%Regularität

$$g^*_{H,rel} = 72$$
$$g^*_{C,rel} = 57$$

ORS20_95a; adaptierte CIELAB-Daten						
u_e^*	$L^*=L_a^*$	a_a^*	b_a^*	$C_{ab,a}^*$	$h_{ab,a}^*$	u_d^*
<i>r00j</i>	48.83	63.91	30.45	70.79	25	<i>m84d</i>
<i>r25j</i>	55.53	50.37	45.65	67.97	42	<i>o17y</i>
<i>r50j</i>	64.76	33.86	56.12	65.55	59	<i>o42y</i>
<i>r75j</i>	74.12	17.13	66.74	68.9	76	<i>o67y</i>
<i>j00g</i>	85.5	-3.22	79.65	79.72	92	<i>o92y</i>
<i>j25g</i>	79.45	-24.05	66.85	71.04	110	<i>y20l</i>
<i>j50g</i>	69.75	-38.03	49.98	62.8	127	<i>y46l</i>
<i>j75g</i>	61.38	-50.1	35.41	61.35	145	<i>y72l</i>
<i>g00b</i>	52.6	-62.77	20.12	65.92	162	<i>y99l</i>
<i>g25b</i>	55.39	-47.66	-8.06	48.34	190	<i>l36c</i>
<i>g50b</i>	57.43	-36.92	-27.8	46.22	217	<i>l72c</i>
<i>g75b</i>	55.19	-21.2	-44.17	48.99	244	<i>c11v</i>
<i>b00r</i>	41.84	1.31	-43.28	43.3	272	<i>c56v</i>
<i>b25r</i>	29.72	24.12	-41.48	47.98	300	<i>v04m</i>
<i>b50r</i>	38.41	44.74	-27.3	52.41	329	<i>v55m</i>
<i>b75r</i>	49.41	70.07	-3.62	70.16	357	<i>m11o</i>



Ein und Ausgabe: Farbmetrisches Drucker-Reflektiv-System ORS20_95a für relativen CIELAB-Buntton $h^* = lab^*h^* = h_{ab}/360 = 0.21$

Daten für jede Farbe:

lab^*tch^* und lab^*icu^*

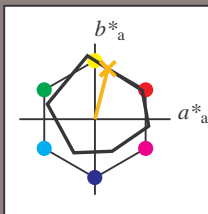
Bunttontexte:

$u^*_e = r75j$ $u^*_d = o67y$

Kontrastreduzierungsfaktor:

$c_R = 0.96$

Dreiecks-Helligkeit i^*



ORS20_95a; adaptierte CIELAB-Daten

	u^*_e	$L^*=L^*_a$	a^*_a	b^*_a	$C^*_{ab,a}$	$h^*_{ab,a}$
O _{Ma}	48.71	62.56	37.91	73.15	31	
Y _{Ma}	89.25	-9.92	83.91	84.49	97	
L _{Ma}	52.5	-62.91	19.95	66.0	162	
C _{Ma}	59.15	-27.87	-44.43	52.45	238	
V _{Ma}	29.13	22.73	-42.44	48.14	298	
M _{Ma}	49.51	71.08	-9.19	71.67	353	
N _{Ma}	20.0	0.0	0.0	0.0	0	
W _{Ma}	95.0	0.0	0.0	0.0	0	
R _{Ma}	39.92	58.74	27.99	65.07	25	
J _{Ma}	81.26	-2.89	71.56	71.62	92	
G _{Ma}	52.23	-42.42	13.6	44.55	162	
B _{Ma}	30.57	1.41	-46.47	46.49	272	

Daten für Maximalfarbe (Ma):

$LAB^*LAB^*_{Ma}$: 74 17 67

$LAB^*LCH^*_{Ma}$: 74 69 75

$lab^*rgb^*_{Ma}$: 1.0 0.75 0.0

$lab^*olv^*_{Ma}$: 1.0 0.68 0.0

Dreiecks-Helligkeit i^*

%Umfang

$u^*_{rel} = 83$

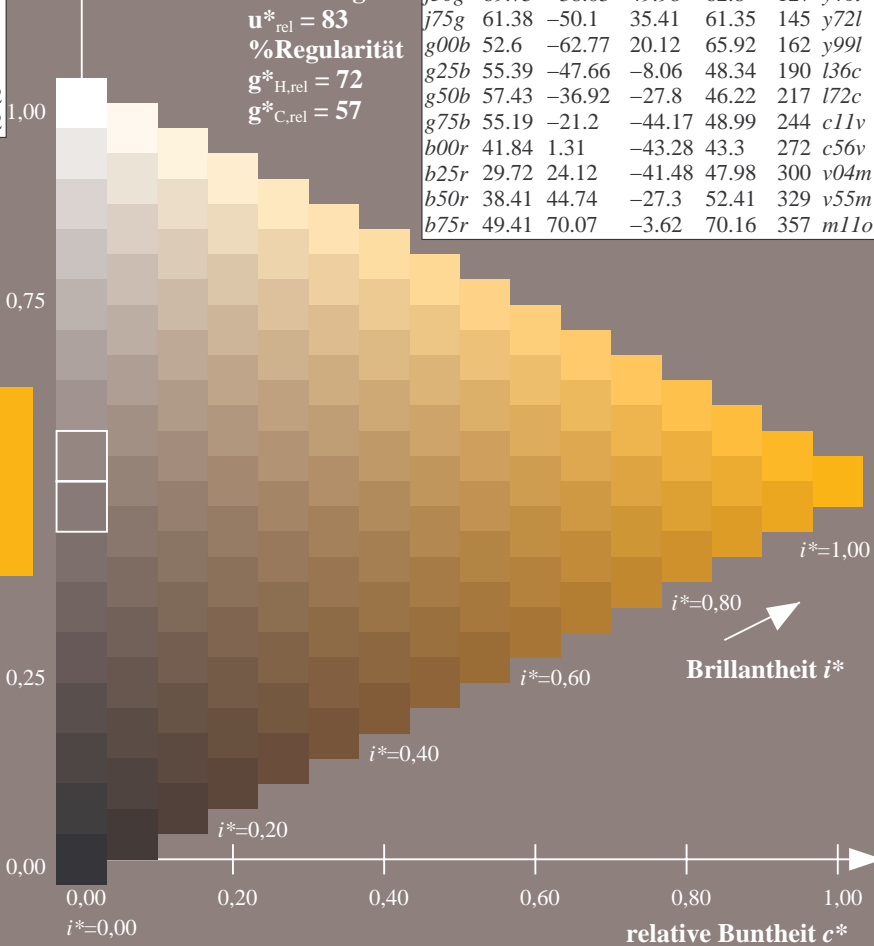
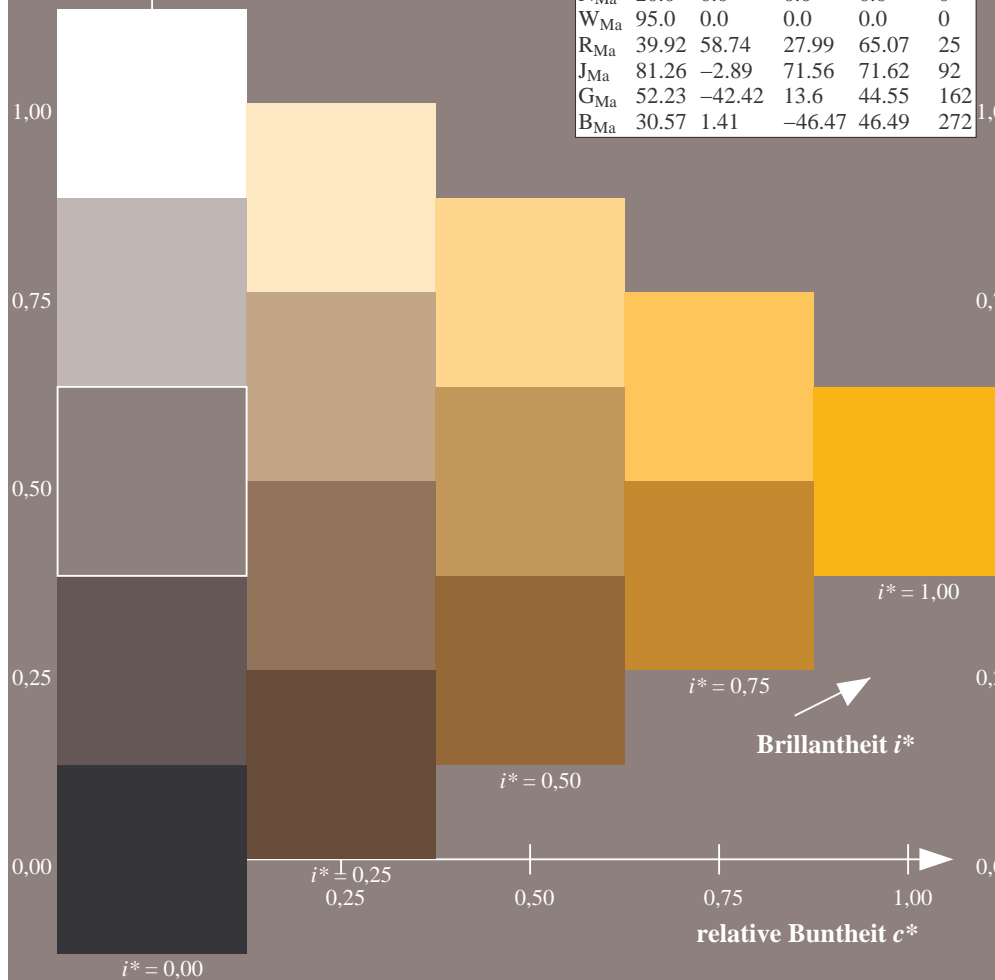
%Regularität

$g^*_{H,rel} = 72$

$g^*_{C,rel} = 57$

ORS20_95a; adaptierte CIELAB-Daten

	u^*_e	$L^*=L^*_a$	a^*_a	b^*_a	$C^*_{ab,a}$	$h^*_{ab,a}$	u^*_d
r00j	48.83	63.91	30.45	70.79	25	m84o	
r25j	55.53	50.37	45.65	67.97	42	o17y	
r50j	64.76	33.86	56.12	65.55	59	o42y	
r75j	74.12	17.13	66.74	68.9	76	o67y	
j00g	85.5	-3.22	79.65	79.72	92	o92y	
j25g	79.45	-24.05	66.85	71.04	110	y20l	
j50g	69.75	-38.03	49.98	62.8	127	y46l	
j75g	61.38	-50.1	35.41	61.35	145	y72l	
g00b	52.6	-62.77	20.12	65.92	162	y99l	
g25b	55.39	-47.66	-8.06	48.34	190	l36c	
g50b	57.43	-36.92	-27.8	46.22	217	l72c	
g75b	55.19	-21.2	-44.17	48.99	244	c11v	
b00r	41.84	1.31	-43.28	43.3	272	c56v	
b25r	29.72	24.12	-41.48	47.98	300	v04m	
b50r	38.41	44.74	-27.3	52.41	329	v55m	
b75r	49.41	70.07	-3.62	70.16	357	m11o	



Ein und Ausgabe: Farbmetrisches Drucker-Reflektiv-System ORS20_95a für relativen CIELAB-Buntton $h^* = lab^*h^* = h_{ab}/360 = 0.256$

Daten für jede Farbe:

lab^*tch^* und lab^*icu^*

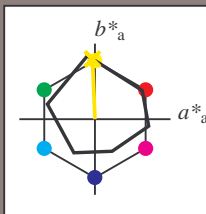
Bunttontexte:

$u_e^* = j00g$ $u_d^* = o92y$

Kontrastreduzierungsfaktor:

$c_R = 0.96$

Dreiecks-Helligkeit i^*



ORS20_95a; adaptierte CIELAB-Daten

u_e^*	$L^*=L_a^*$	a_a^*	b_a^*	$C^*_{ab,a}$	$h^*_{ab,a}$
O _{Ma}	48.71	62.56	37.91	73.15	31
Y _{Ma}	89.25	-9.92	83.91	84.49	97
L _{Ma}	52.5	-62.91	19.95	66.0	162
C _{Ma}	59.15	-27.87	-44.43	52.45	238
V _{Ma}	29.13	22.73	-42.44	48.14	298
M _{Ma}	49.51	71.08	-9.19	71.67	353
N _{Ma}	20.0	0.0	0.0	0.0	0
W _{Ma}	95.0	0.0	0.0	0.0	0
R _{Ma}	39.92	58.74	27.99	65.07	25
J _{Ma}	81.26	-2.89	71.56	71.62	92
G _{Ma}	52.23	-42.42	13.6	44.55	162
B _{Ma}	30.57	1.41	-46.47	46.49	272

Daten für Maximalfarbe (Ma):

$LAB^*LAB^*_{Ma}$: 86 -3 80

$LAB^*LCH^*_{Ma}$: 86 80 92

$lab^*rgb^*_{Ma}$: 1.0 1.0 0.0

$lab^*olv^*_{Ma}$: 1.0 0.93 0.0

Dreiecks-Helligkeit i^*

%Umfang

$u^*_{rel} = 83$

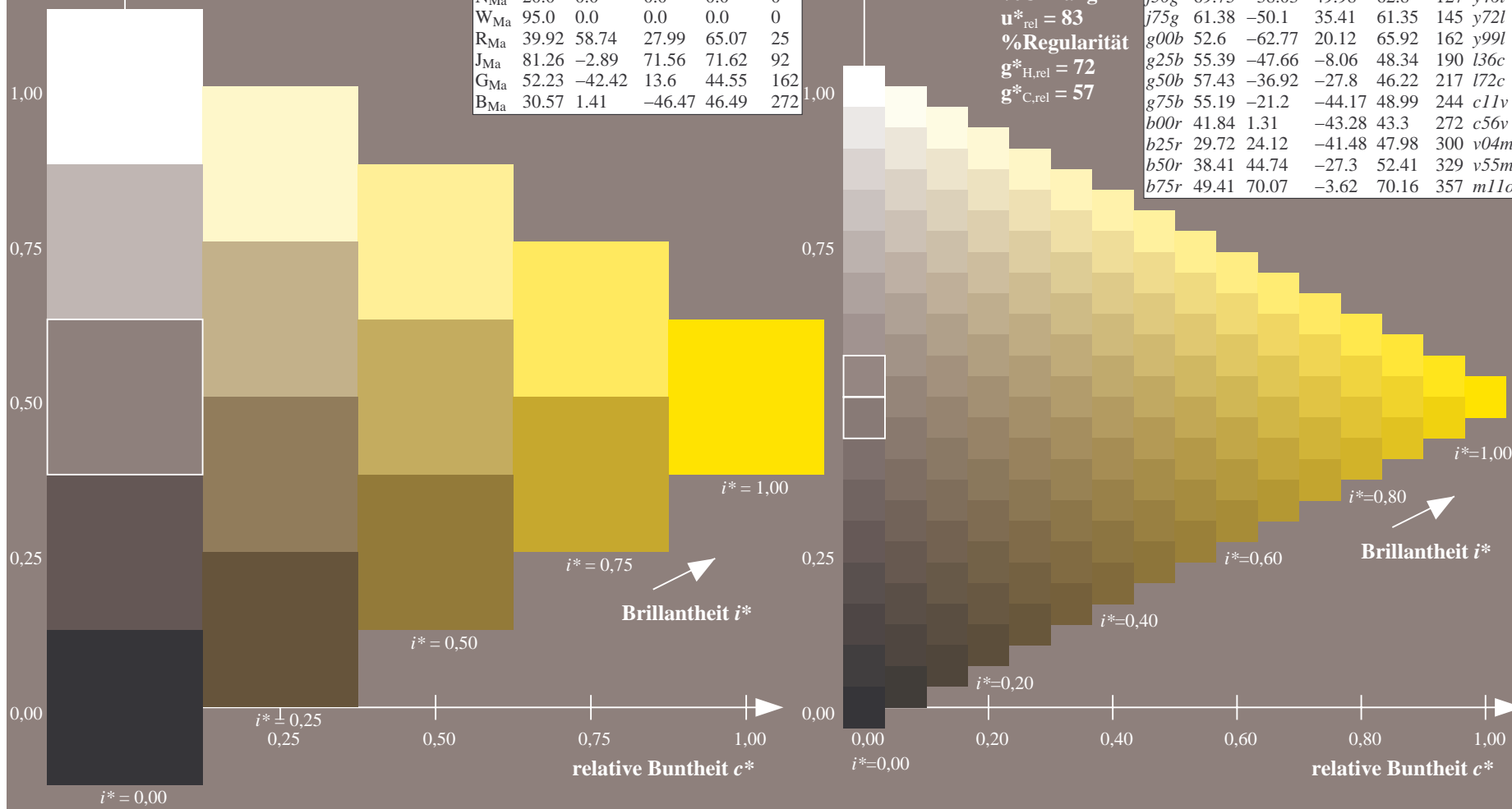
%Regularität

$g^*_{H,rel} = 72$

$g^*_{C,rel} = 57$

ORS20_95a; adaptierte CIELAB-Daten

u_e^*	$L^*=L_a^*$	a_a^*	b_a^*	$C^*_{ab,a}$	$h^*_{ab,a}$	u_d^*
r00j	48.83	63.91	30.45	70.79	25	m84o
r25j	55.53	50.37	45.65	67.97	42	o17y
r50j	64.76	33.86	56.12	65.55	59	o42y
r75j	74.12	17.13	66.74	68.9	76	o67y
j00g	85.5	-3.22	79.65	79.72	92	o92y
j25g	79.45	-24.05	66.85	71.04	110	y20l
j50g	69.75	-38.03	49.98	62.8	127	y46l
j75g	61.38	-50.1	35.41	61.35	145	y72l
g00b	52.6	-62.77	20.12	65.92	162	y99l
g25b	55.39	-47.66	-8.06	48.34	190	l36c
g50b	57.43	-36.92	-27.8	46.22	217	l72c
g75b	55.19	-21.2	-44.17	48.99	244	c11v
b00r	41.84	1.31	-43.28	43.3	272	c56v
b25r	29.72	24.12	-41.48	47.98	300	v04m
b50r	38.41	44.74	-27.3	52.41	329	v55m
b75r	49.41	70.07	-3.62	70.16	357	m11o



Ein und Ausgabe: Farbmetrisches Drucker-Reflektiv-System ORS20_95a für relativen CIELAB-Buntton $h^* = lab^*h^* = h_{ab}/360 = 0.305$

Daten für jede Farbe:

lab^*tch^* und lab^*icu^*

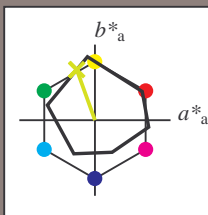
Bunttontexte:

$u^*_e = j25g$ $u^*_d = y20l$

Kontrastreduzierungsfaktor:

$c_R = 0.96$

Dreiecks-Helligkeit i^*



ORS20_95a; adaptierte CIELAB-Daten					
u^*_e	$L^*=L^*_a$	a^*_a	b^*_a	$C^*_{ab,a}$	$h^*_{ab,a}$
O _{Ma}	48.71	62.56	37.91	73.15	31
Y _{Ma}	89.25	-9.92	83.91	84.49	97
L _{Ma}	52.5	-62.91	19.95	66.0	162
C _{Ma}	59.15	-27.87	-44.43	52.45	238
V _{Ma}	29.13	22.73	-42.44	48.14	298
M _{Ma}	49.51	71.08	-9.19	71.67	353
N _{Ma}	20.0	0.0	0.0	0.0	0
W _{Ma}	95.0	0.0	0.0	0.0	0
R _{Ma}	39.92	58.74	27.99	65.07	25
J _{Ma}	81.26	-2.89	71.56	71.62	92
G _{Ma}	52.23	-42.42	13.6	44.55	162
B _{Ma}	30.57	1.41	-46.47	46.49	272

Daten für Maximalfarbe (Ma):

$LAB^*LAB^*_{Ma}$: 79 -24 67

$LAB^*LCH^*_{Ma}$: 79 71 109

$lab^*rgb^*_{Ma}$: 0.75 1.0 0.0

$lab^*olv^*_{Ma}$: 0.8 1.0 0.0

Dreiecks-Helligkeit i^*

%Umfang

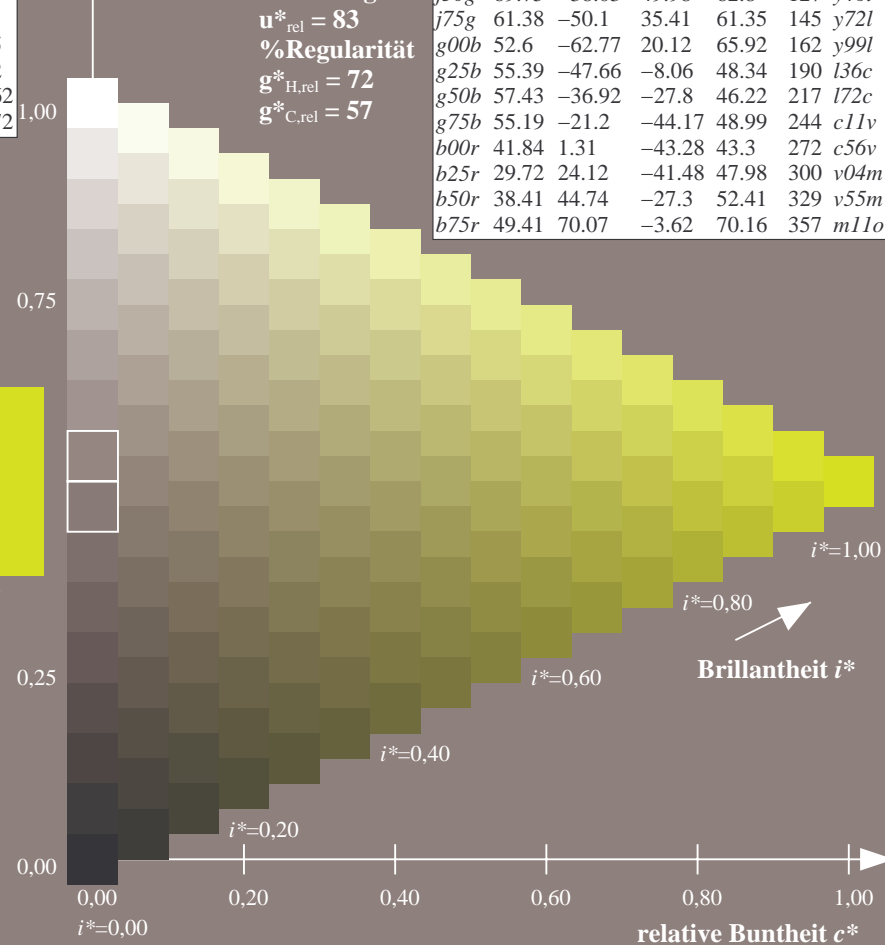
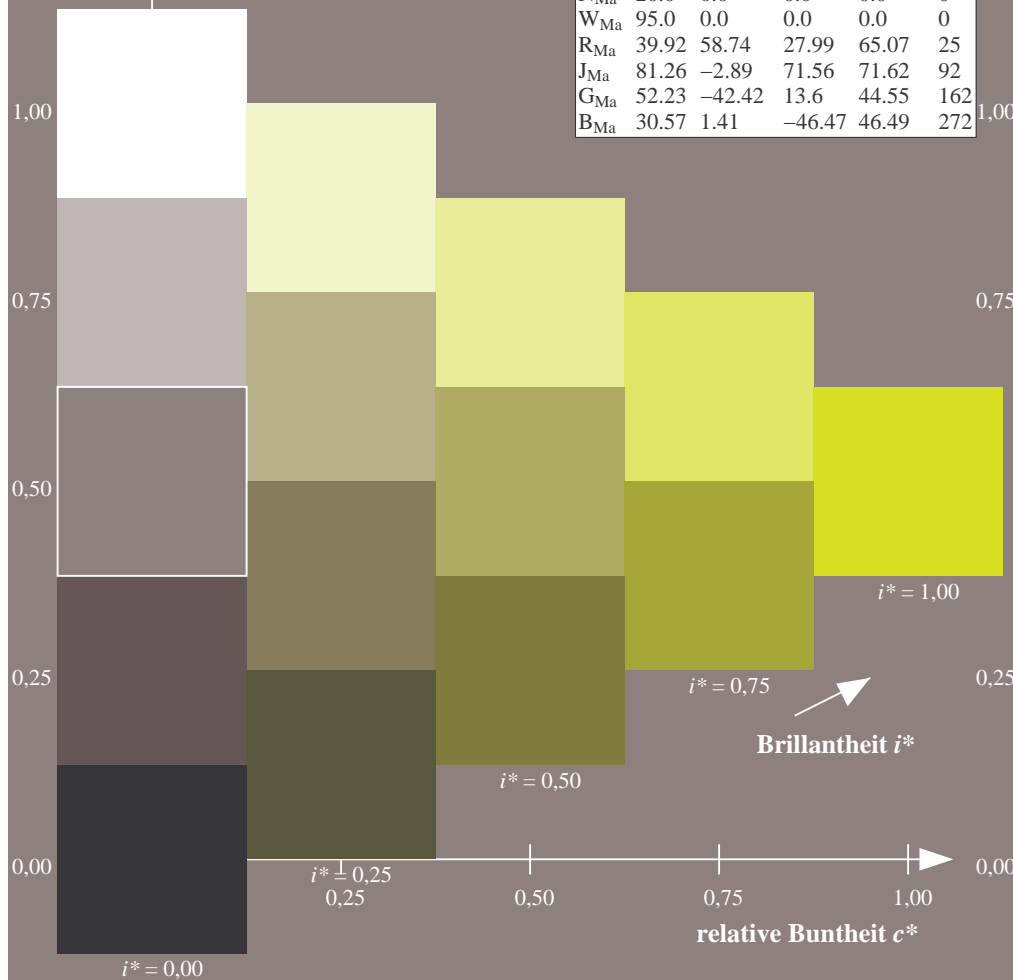
$u^*_{rel} = 83$

%Regularität

$g^*_{H,rel} = 72$

$g^*_{C,rel} = 57$

ORS20_95a; adaptierte CIELAB-Daten					
u^*_e	$L^*=L^*_a$	a^*_a	b^*_a	$C^*_{ab,a}$	$h^*_{ab,a}$
r00j	48.83	63.91	30.45	70.79	25
r25j	55.53	50.37	45.65	67.97	42
r50j	64.76	33.86	56.12	65.55	59
r75j	74.12	17.13	66.74	68.9	76
j00g	85.5	-3.22	79.65	79.72	92
j25g	79.45	-24.05	66.85	71.04	110
j50g	69.75	-38.03	49.98	62.8	127
j75g	61.38	-50.1	35.41	61.35	145
g00b	52.6	-62.77	20.12	65.92	162
g25b	55.39	-47.66	-8.06	48.34	190
g50b	57.43	-36.92	-27.8	46.22	217
g75b	55.19	-21.2	-44.17	48.99	244
b00r	41.84	1.31	-43.28	43.3	272
b25r	29.72	24.12	-41.48	47.98	300
b50r	38.41	44.74	-27.3	52.41	329
b75r	49.41	70.07	-3.62	70.16	357



Ein und Ausgabe: Farbmetrisches Drucker-Reflektiv-System ORS20_95a für relativen CIELAB-Buntton $h^* = lab^*h^* = h_{ab}/360 = 0.354$

Daten für jede Farbe:

lab^*tch^* und lab^*icu^*

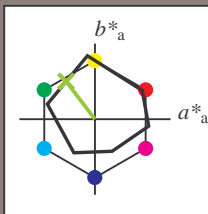
Bunttontexte:

$u^*_e = j50g$ $u^*_d = y46l$

Kontrastreduzierungsfaktor:

$c_R = 0.96$

Dreiecks-Helligkeit i^*



ORS20_95a; adaptierte CIELAB-Daten

	u^*_e	$L^*=L^*_a$	a^*_a	b^*_a	$C^*_{ab,a}$	$h^*_{ab,a}$
O _{Ma}	48.71	62.56	37.91	73.15	31	
Y _{Ma}	89.25	-9.92	83.91	84.49	97	
L _{Ma}	52.5	-62.91	19.95	66.0	162	
C _{Ma}	59.15	-27.87	-44.43	52.45	238	
V _{Ma}	29.13	22.73	-42.44	48.14	298	
M _{Ma}	49.51	71.08	-9.19	71.67	353	
N _{Ma}	20.0	0.0	0.0	0.0	0	
W _{Ma}	95.0	0.0	0.0	0.0	0	
R _{Ma}	39.92	58.74	27.99	65.07	25	
J _{Ma}	81.26	-2.89	71.56	71.62	92	
G _{Ma}	52.23	-42.42	13.6	44.55	162	
B _{Ma}	30.57	1.41	-46.47	46.49	272	

Daten für Maximalfarbe (Ma):

$LAB^*LAB^*_{Ma}$: 70 -38 50

$LAB^*LCH^*_{Ma}$: 70 63 127

$lab^*rgb^*_{Ma}$: 0.5 1.0 0.0

$lab^*olv^*_{Ma}$: 0.54 1.0 0.0

Dreiecks-Helligkeit i^*

%Umfang

$u^*_{rel} = 83$

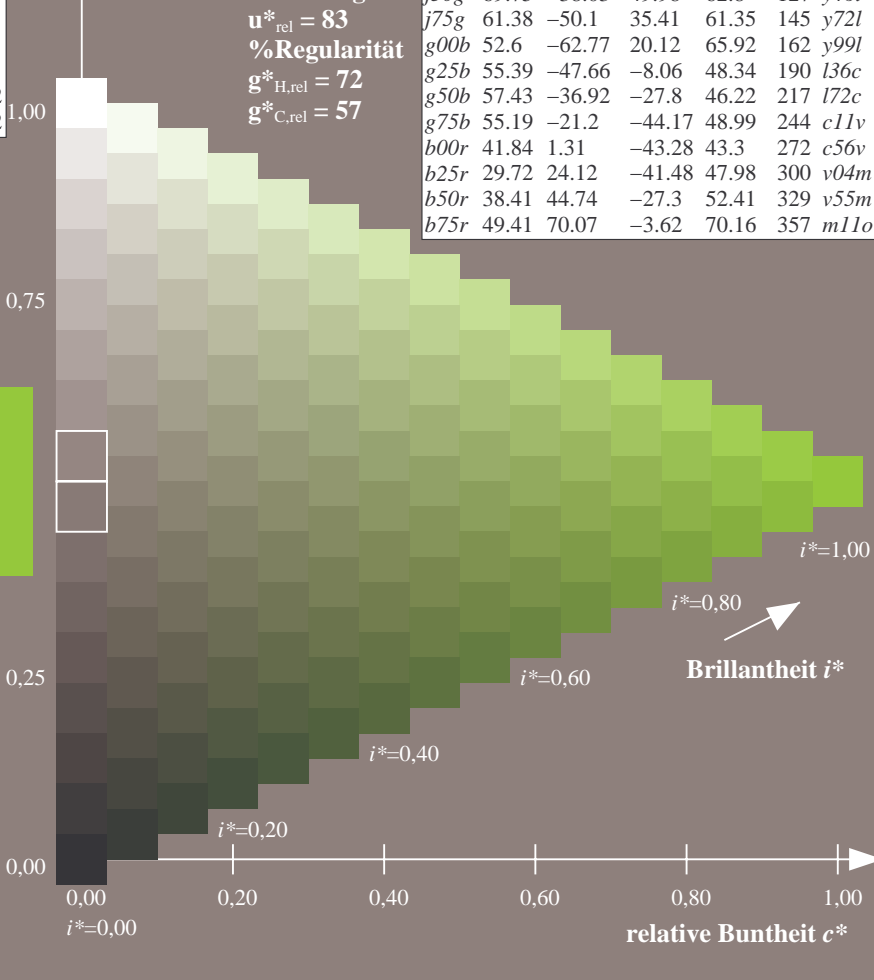
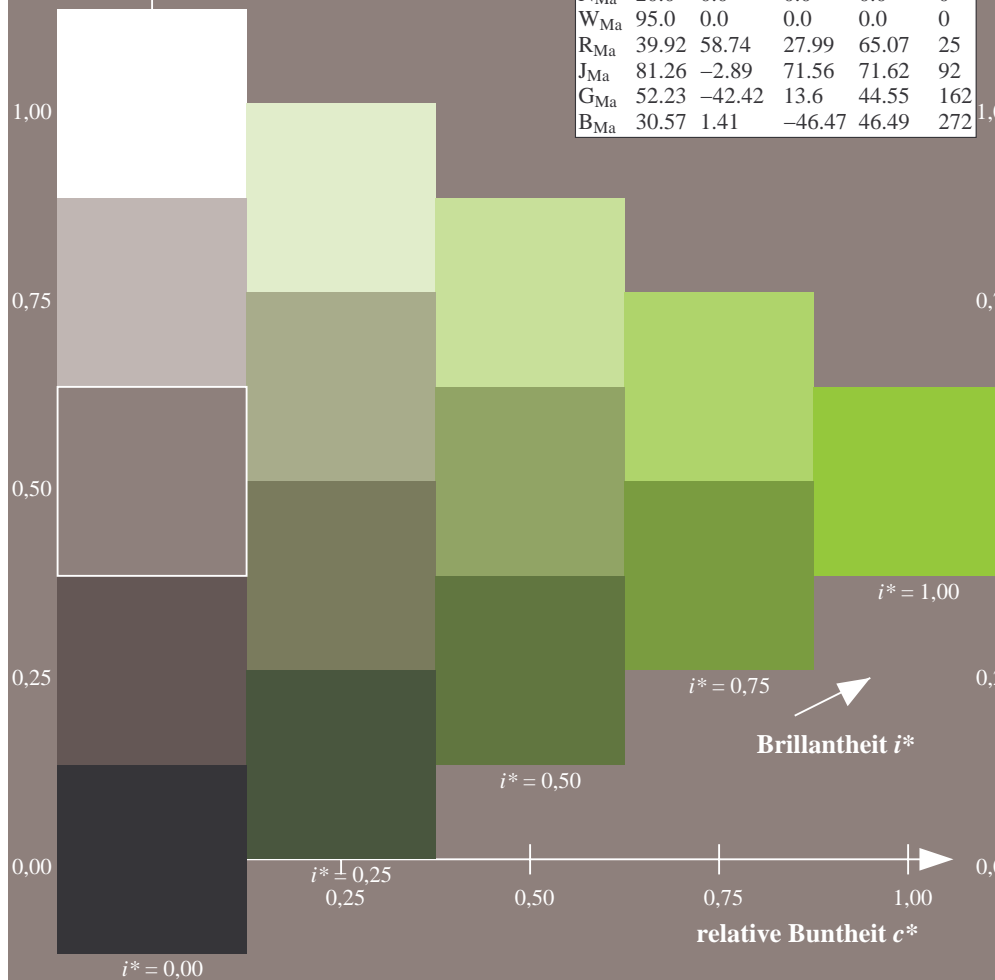
%Regularität

$g^*_{H,rel} = 72$

$g^*_{C,rel} = 57$

ORS20_95a; adaptierte CIELAB-Daten

	u^*_e	$L^*=L^*_a$	a^*_a	b^*_a	$C^*_{ab,a}$	$h^*_{ab,a}$	u^*_d
r00j	48.83	63.91	30.45	70.79	25	m84o	
r25j	55.53	50.37	45.65	67.97	42	o17y	
r50j	64.76	33.86	56.12	65.55	59	o42y	
r75j	74.12	17.13	66.74	68.9	76	o67y	
j00g	85.5	-3.22	79.65	79.72	92	o92y	
j25g	79.45	-24.05	66.85	71.04	110	y20l	
j50g	69.75	-38.03	49.98	62.8	127	y46l	
j75g	61.38	-50.1	35.41	61.35	145	y72l	
g00b	52.6	-62.77	20.12	65.92	162	y99l	
g25b	55.39	-47.66	-8.06	48.34	190	l36c	
g50b	57.43	-36.92	-27.8	46.22	217	l72c	
g75b	55.19	-21.2	-44.17	48.99	244	c11v	
b00r	41.84	1.31	-43.28	43.3	272	c56v	
b25r	29.72	24.12	-41.48	47.98	300	v04m	
b50r	38.41	44.74	-27.3	52.41	329	v55m	
b75r	49.41	70.07	-3.62	70.16	357	m11o	



Ein und Ausgabe: Farbmetrisches Drucker-Reflektiv-System ORS20_95a für relativen CIELAB-Buntton $h^* = lab^*h^* = h_{ab}/360 = 0.402$

Daten für jede Farbe:

lab^*tch^* und lab^*icu^*

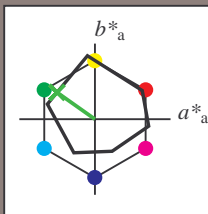
Bunttontexte:

$u^*_e = j75g$ $u^*_d = y72l$

Kontrastreduzierungsfaktor:

$c_R = 0.96$

Dreiecks-Helligkeit i^*



ORS20_95a; adaptierte CIELAB-Daten

	u^*_e	$L^*=L^*_a$	a^*_a	b^*_a	$C^*_{ab,a}$	$h^*_{ab,a}$
O _{Ma}	48.71	62.56	37.91	73.15	31	
Y _{Ma}	89.25	-9.92	83.91	84.49	97	
L _{Ma}	52.5	-62.91	19.95	66.0	162	
C _{Ma}	59.15	-27.87	-44.43	52.45	238	
V _{Ma}	29.13	22.73	-42.44	48.14	298	
M _{Ma}	49.51	71.08	-9.19	71.67	353	
N _{Ma}	20.0	0.0	0.0	0.0	0	
W _{Ma}	95.0	0.0	0.0	0.0	0	
R _{Ma}	39.92	58.74	27.99	65.07	25	
J _{Ma}	81.26	-2.89	71.56	71.62	92	
G _{Ma}	52.23	-42.42	13.6	44.55	162	
B _{Ma}	30.57	1.41	-46.47	46.49	272	

Daten für Maximalfarbe (Ma):

LAB^*LAB^*Ma : 61 -50 35

LAB^*LCH^*Ma : 61 61 144

lab^*rgb^*Ma : 0.25 1.0 0.0

lab^*olv^*Ma : 0.27 1.0 0.0

Dreiecks-Helligkeit i^*

%Umfang

$u^*_{rel} = 83$

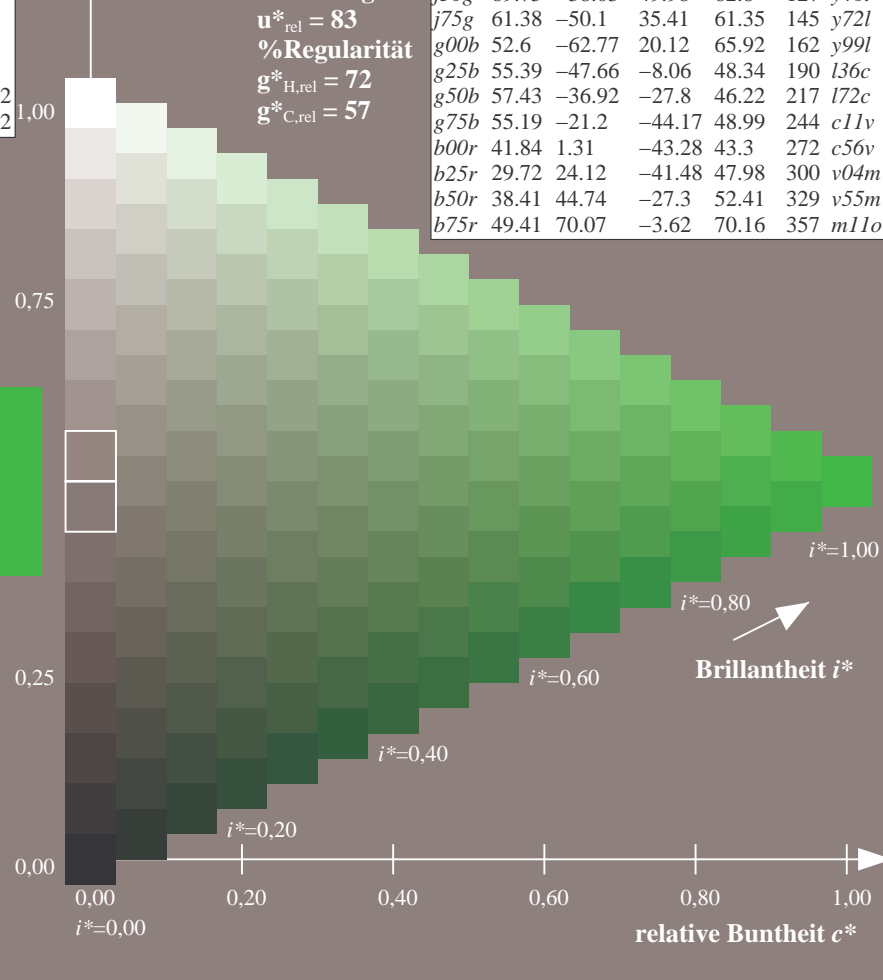
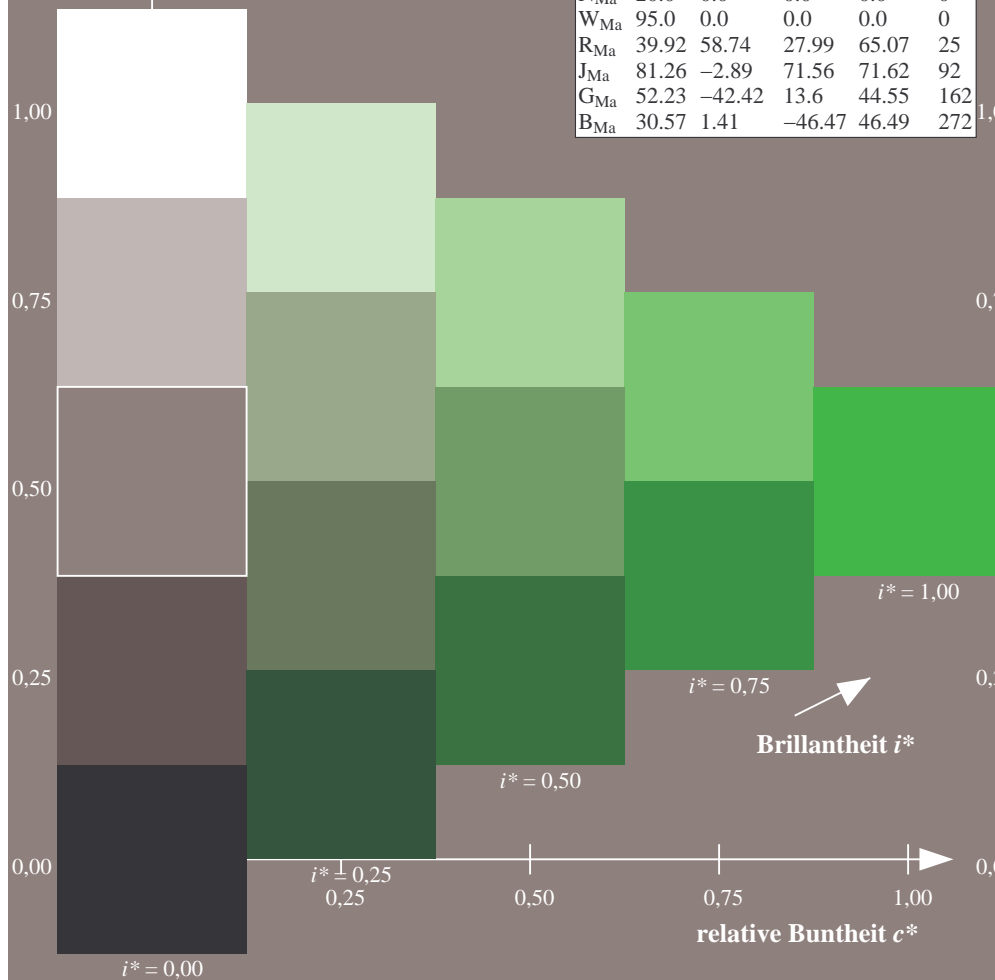
%Regularität

$g^*_{H,rel} = 72$

$g^*_{C,rel} = 57$

ORS20_95a; adaptierte CIELAB-Daten

	u^*_e	$L^*=L^*_a$	a^*_a	b^*_a	$C^*_{ab,a}$	$h^*_{ab,a}$	u^*_d
r00j	48.83	63.91	30.45	70.79	25	m84o	
r25j	55.53	50.37	45.65	67.97	42	o17y	
r50j	64.76	33.86	56.12	65.55	59	o42y	
r75j	74.12	17.13	66.74	68.9	76	o67y	
j00g	85.5	-3.22	79.65	79.72	92	o92y	
j25g	79.45	-24.05	66.85	71.04	110	y20l	
j50g	69.75	-38.03	49.98	62.8	127	y46l	
j75g	61.38	-50.1	35.41	61.35	145	y72l	
g00b	52.6	-62.77	20.12	65.92	162	y99l	
g25b	55.39	-47.66	-8.06	48.34	190	l36c	
g50b	57.43	-36.92	-27.8	46.22	217	l72c	
g75b	55.19	-21.2	-44.17	48.99	244	c11v	
b00r	41.84	1.31	-43.28	43.3	272	c56v	
b25r	29.72	24.12	-41.48	47.98	300	v04m	
b50r	38.41	44.74	-27.3	52.41	329	v55m	
b75r	49.41	70.07	-3.62	70.16	357	m11o	



Ein und Ausgabe: Farbmetrisches Drucker-Reflektiv-System ORS20_95a für relativen CIELAB-Buntton $h^* = lab^*h^* = h_{ab}/360 = 0.451$

Daten für jede Farbe:

lab^*tch^* und lab^*icu^*

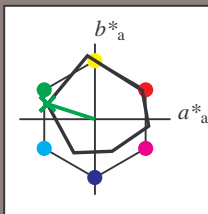
Bunttontexte:

$u^*_e = g00b$ $u^*_d = y99l$

Kontrastreduzierungsfaktor:

$c_R = 0.96$

Dreiecks-Helligkeit i^*



ORS20_95a; adaptierte CIELAB-Daten

	u^*_e	$L^*=L^*_a$	a^*_a	b^*_a	$C^*_{ab,a}$	$h^*_{ab,a}$
O _{Ma}	48.71	62.56	37.91	73.15	31	
Y _{Ma}	89.25	-9.92	83.91	84.49	97	
L _{Ma}	52.5	-62.91	19.95	66.0	162	
C _{Ma}	59.15	-27.87	-44.43	52.45	238	
V _{Ma}	29.13	22.73	-42.44	48.14	298	
M _{Ma}	49.51	71.08	-9.19	71.67	353	
N _{Ma}	20.0	0.0	0.0	0.0	0	
W _{Ma}	95.0	0.0	0.0	0.0	0	
R _{Ma}	39.92	58.74	27.99	65.07	25	
J _{Ma}	81.26	-2.89	71.56	71.62	92	
G _{Ma}	52.23	-42.42	13.6	44.55	162	
B _{Ma}	30.57	1.41	-46.47	46.49	272	

Daten für Maximalfarbe (Ma):

$LAB^*LAB^*_{Ma}$: 53 -63 20

$LAB^*LCH^*_{Ma}$: 53 66 162

$lab^*rgb^*_{Ma}$: 0.0 1.0 0.0

$lab^*olv^*_{Ma}$: 0.0 1.0 0.0

Dreiecks-Helligkeit i^*

%Umfang

$u^*_{rel} = 83$

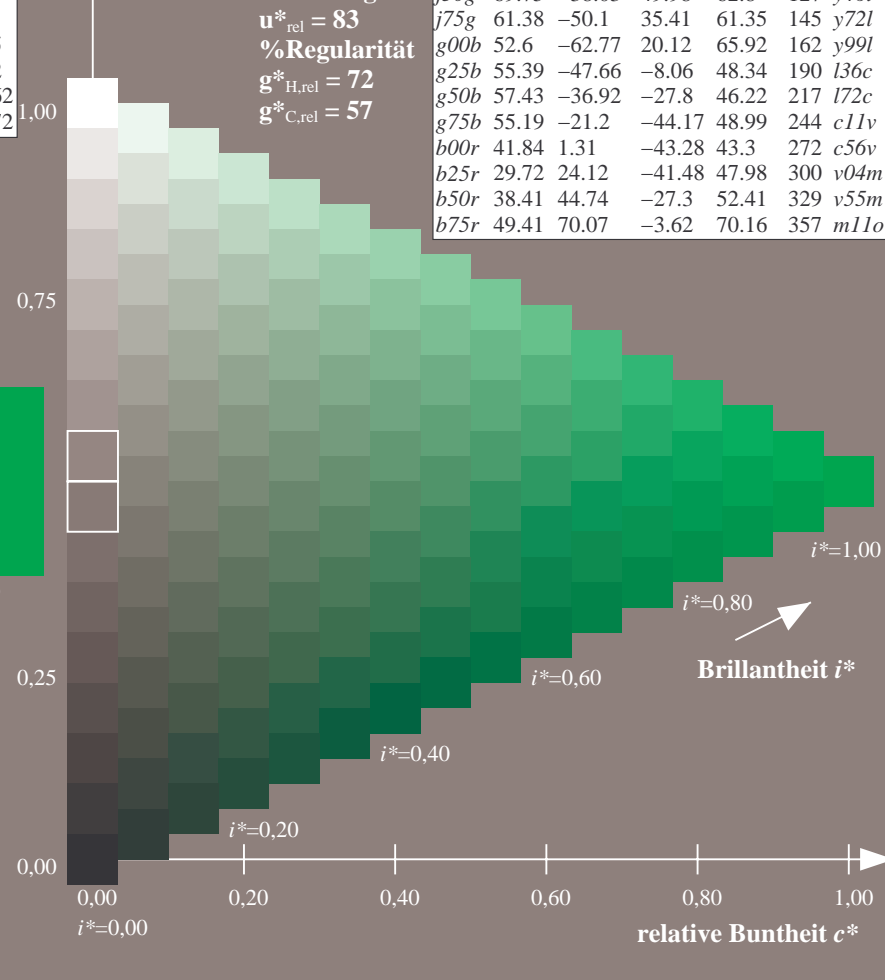
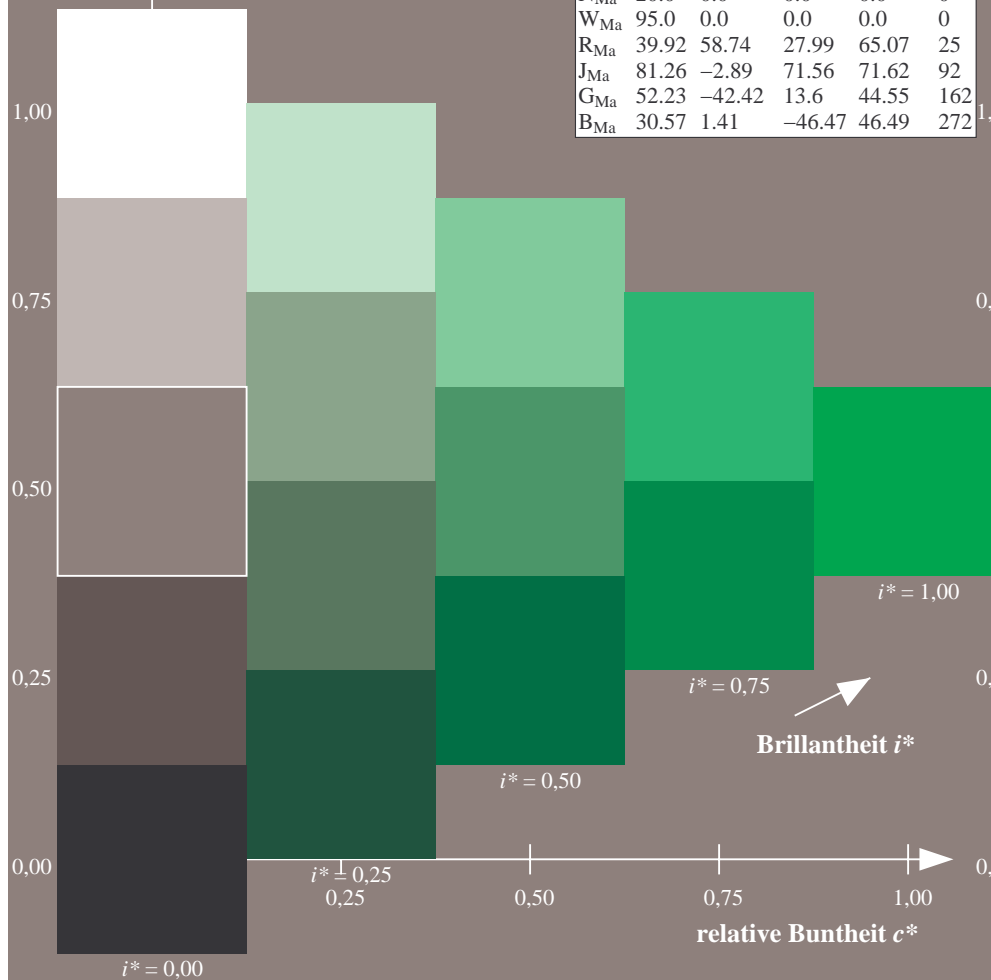
%Regularität

$g^*_{H,rel} = 72$

$g^*_{C,rel} = 57$

ORS20_95a; adaptierte CIELAB-Daten

	u^*_e	$L^*=L^*_a$	a^*_a	b^*_a	$C^*_{ab,a}$	$h^*_{ab,a}$	u^*_d
r00j	48.83	63.91	30.45	70.79	25	m84o	
r25j	55.53	50.37	45.65	67.97	42	o17y	
r50j	64.76	33.86	56.12	65.55	59	o42y	
r75j	74.12	17.13	66.74	68.9	76	o67y	
j00g	85.5	-3.22	79.65	79.72	92	o92y	
j25g	79.45	-24.05	66.85	71.04	110	y20l	
j50g	69.75	-38.03	49.98	62.8	127	y46l	
j75g	61.38	-50.1	35.41	61.35	145	y72l	
g00b	52.6	-62.77	20.12	65.92	162	y99l	
g25b	55.39	-47.66	-8.06	48.34	190	l36c	
g50b	57.43	-36.92	-27.8	46.22	217	l72c	
g75b	55.19	-21.2	-44.17	48.99	244	c11v	
b00r	41.84	1.31	-43.28	43.3	272	c56v	
b25r	29.72	24.12	-41.48	47.98	300	v04m	
b50r	38.41	44.74	-27.3	52.41	329	v55m	
b75r	49.41	70.07	-3.62	70.16	357	m11o	



Ein und Ausgabe: Farbmetrisches Drucker-Reflektiv-System ORS20_95a für relativen CIELAB-Buntton $h^* = lab^*h^* = h_{ab}/360 = 0.527$

Daten für jede Farbe:

lab^*tch^* und lab^*icu^*

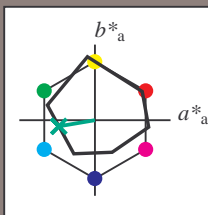
Bunttontexte:

$u^*_e = g25b$ $u^*_d = l36c$

Kontrastreduzierungsfaktor:

$c_R = 0.96$

Dreiecks-Helligkeit i^*



ORS20_95a; adaptierte CIELAB-Daten

	u^*_e	$L^*=L^*_a$	a^*_a	b^*_a	$C^*_{ab,a}$	$h^*_{ab,a}$
O _{Ma}	48.71	62.56	37.91	73.15	31	
Y _{Ma}	89.25	-9.92	83.91	84.49	97	
L _{Ma}	52.5	-62.91	19.95	66.0	162	
C _{Ma}	59.15	-27.87	-44.43	52.45	238	
V _{Ma}	29.13	22.73	-42.44	48.14	298	
M _{Ma}	49.51	71.08	-9.19	71.67	353	
N _{Ma}	20.0	0.0	0.0	0.0	0	
W _{Ma}	95.0	0.0	0.0	0.0	0	
R _{Ma}	39.92	58.74	27.99	65.07	25	
J _{Ma}	81.26	-2.89	71.56	71.62	92	
G _{Ma}	52.23	-42.42	13.6	44.55	162	
B _{Ma}	30.57	1.41	-46.47	46.49	272	

Daten für Maximalfarbe (Ma):

$LAB^*LAB^*_{Ma}$: 55 -48 -8

$LAB^*LCH^*_{Ma}$: 55 48 189

$lab^*rgb^*_{Ma}$: 0.0 1.0 0.5

$lab^*olv^*_{Ma}$: 0.0 1.0 0.36

Dreiecks-Helligkeit i^*

%Umfang

$u^*_{rel} = 83$

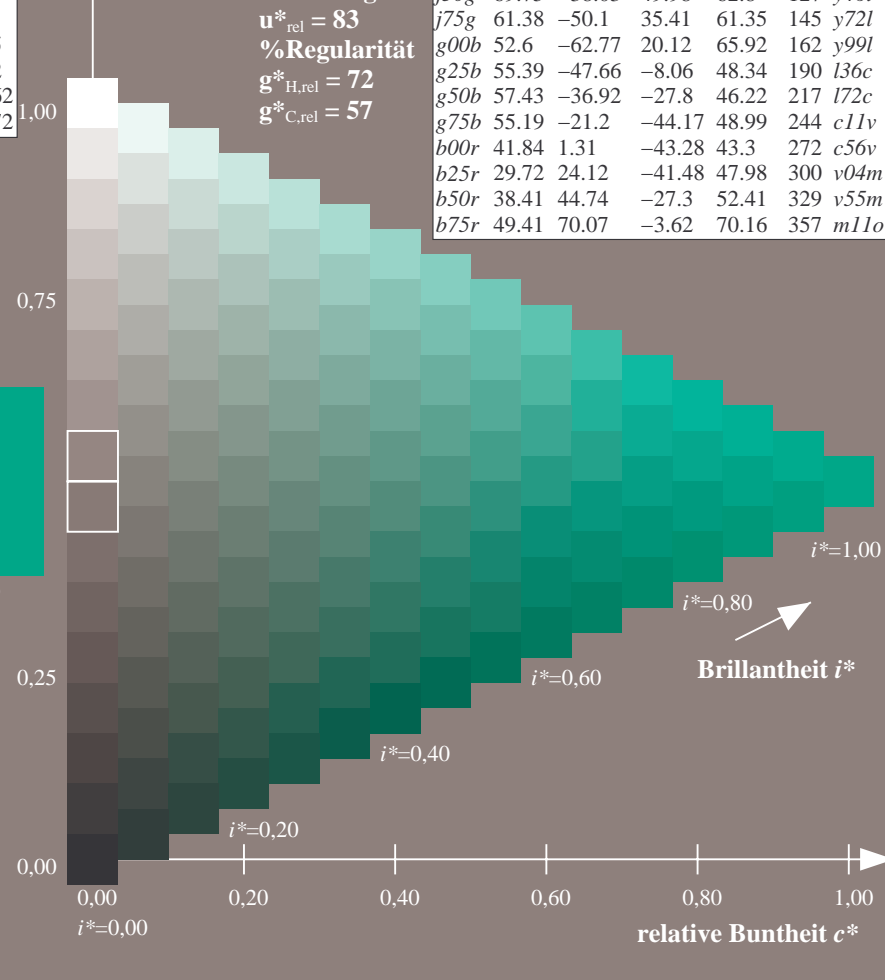
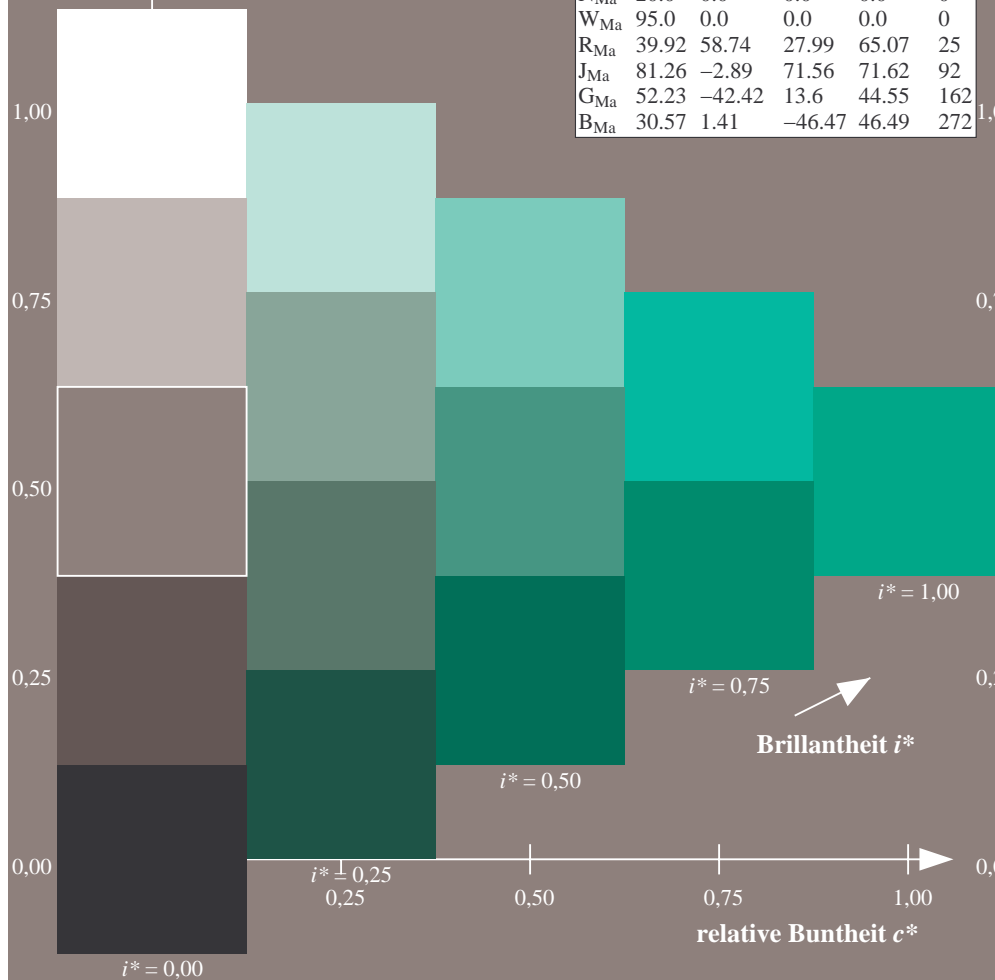
%Regularität

$g^*_{H,rel} = 72$

$g^*_{C,rel} = 57$

ORS20_95a; adaptierte CIELAB-Daten

	u^*_e	$L^*=L^*_a$	a^*_a	b^*_a	$C^*_{ab,a}$	$h^*_{ab,a}$	u^*_d
r00j	48.83	63.91	30.45	70.79	25		m84o
r25j	55.53	50.37	45.65	67.97	42		o17y
r50j	64.76	33.86	56.12	65.55	59		o42y
r75j	74.12	17.13	66.74	68.9	76		o67y
j00g	85.5	-3.22	79.65	79.72	92		o92y
j25g	79.45	-24.05	66.85	71.04	110		y20l
j50g	69.75	-38.03	49.98	62.8	127		y46l
j75g	61.38	-50.1	35.41	61.35	145		y72l
g00b	52.6	-62.77	20.12	65.92	162		y99l
g25b	55.39	-47.66	-8.06	48.34	190		l36c
g50b	57.43	-36.92	-27.8	46.22	217		l72c
g75b	55.19	-21.2	-44.17	48.99	244		c11v
b00r	41.84	1.31	-43.28	43.3	272		c56v
b25r	29.72	24.12	-41.48	47.98	300		v04m
b50r	38.41	44.74	-27.3	52.41	329		v55m
b75r	49.41	70.07	-3.62	70.16	357		m11o



Ein und Ausgabe: Farbmetrisches Drucker-Reflektiv-System ORS20_95a für relativen CIELAB-Buntton $h^* = lab^*h^* = h_{ab}/360 = 0.603$

Daten für jede Farbe:

lab^*tch^* und lab^*icu^*

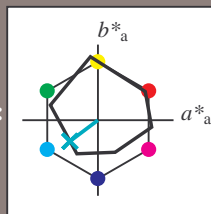
Bunttontexte:

$u^*_e = g50b$ $u^*_d = l72c$

Kontrastreduzierungsfaktor:

$c_R = 0.96$

Dreiecks-Helligkeit i^*



ORS20_95a; adaptierte CIELAB-Daten

	u^*_e	$L^*=L^*_a$	a^*_a	b^*_a	$C^*_{ab,a}$	$h^*_{ab,a}$
O _{Ma}	48.71	62.56	37.91	73.15	31	
Y _{Ma}	89.25	-9.92	83.91	84.49	97	
L _{Ma}	52.5	-62.91	19.95	66.0	162	
C _{Ma}	59.15	-27.87	-44.43	52.45	238	
V _{Ma}	29.13	22.73	-42.44	48.14	298	
M _{Ma}	49.51	71.08	-9.19	71.67	353	
N _{Ma}	20.0	0.0	0.0	0.0	0	
W _{Ma}	95.0	0.0	0.0	0.0	0	
R _{Ma}	39.92	58.74	27.99	65.07	25	
J _{Ma}	81.26	-2.89	71.56	71.62	92	
G _{Ma}	52.23	-42.42	13.6	44.55	162	
B _{Ma}	30.57	1.41	-46.47	46.49	272	

Daten für Maximalfarbe (Ma):

$LAB^*LAB^*_{Ma}$: 57 -37 -28

$LAB^*LCH^*_{Ma}$: 57 46 216

$lab^*rgb^*_{Ma}$: 0.0 1.0 1.0

$lab^*olv^*_{Ma}$: 0.0 1.0 0.72

Dreiecks-Helligkeit i^*

%Umfang

$u^*_{rel} = 83$

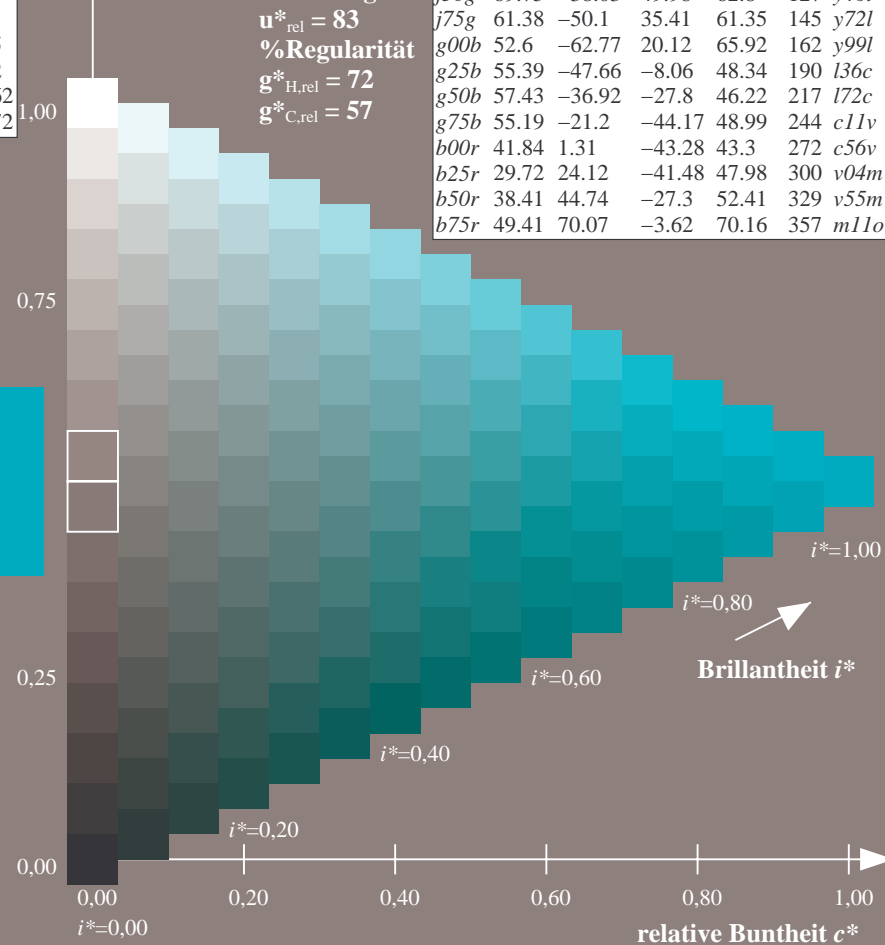
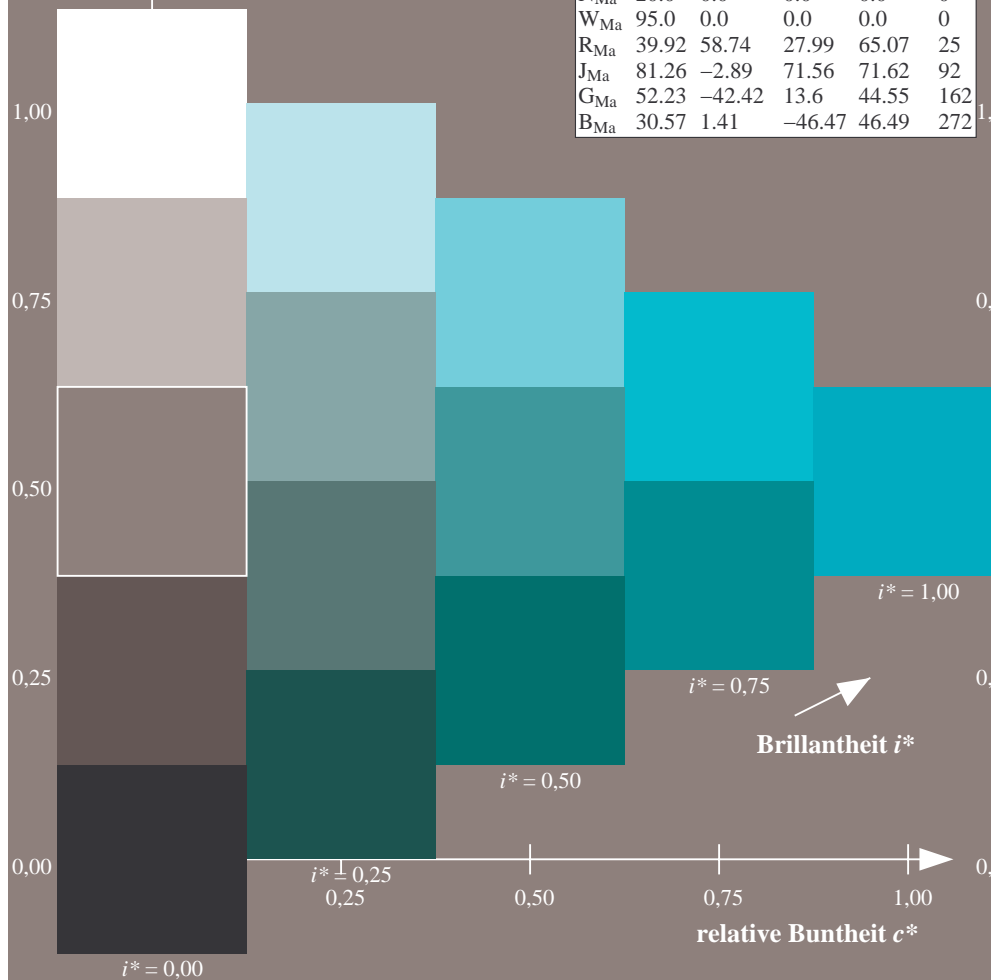
%Regularität

$g^*_{H,rel} = 72$

$g^*_{C,rel} = 57$

ORS20_95a; adaptierte CIELAB-Daten

	u^*_e	$L^*=L^*_a$	a^*_a	b^*_a	$C^*_{ab,a}$	$h^*_{ab,a}$	u^*_d
r00j	48.83	63.91	30.45	70.79	25	m84o	
r25j	55.53	50.37	45.65	67.97	42	o17y	
r50j	64.76	33.86	56.12	65.55	59	o42y	
r75j	74.12	17.13	66.74	68.9	76	o67y	
j00g	85.5	-3.22	79.65	79.72	92	o92y	
j25g	79.45	-24.05	66.85	71.04	110	y20l	
j50g	69.75	-38.03	49.98	62.8	127	y46l	
j75g	61.38	-50.1	35.41	61.35	145	y72l	
g00b	52.6	-62.77	20.12	65.92	162	y99l	
g25b	55.39	-47.66	-8.06	48.34	190	l36c	
g50b	57.43	-36.92	-27.8	46.22	217	l72c	
g75b	55.19	-21.2	-44.17	48.99	244	c11v	
b00r	41.84	1.31	-43.28	43.3	272	c56v	
b25r	29.72	24.12	-41.48	47.98	300	v04m	
b50r	38.41	44.74	-27.3	52.41	329	v55m	
b75r	49.41	70.07	-3.62	70.16	357	m11o	



Ein und Ausgabe: Farbmetrisches Drucker-Reflektiv-System ORS20_95a für relativen CIELAB-Buntton $h^* = lab^*h^* = h_{ab}/360 = 0.679$

Daten für jede Farbe:

lab^*tch^* und lab^*icu^*

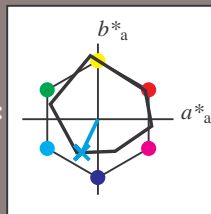
Bunttontexte:

$u_e^* = g75b$ $u_d^* = c11v$

Kontrastreduzierungsfaktor:

$c_R = 0.96$

Dreiecks-Helligkeit i^*



ORS20_95a; adaptierte CIELAB-Daten					
u_e^*	$L^*=L_a^*$	a_a^*	b_a^*	$C^*_{ab,a}$	$h^*_{ab,a}$
O _{Ma}	48.71	62.56	37.91	73.15	31
Y _{Ma}	89.25	-9.92	83.91	84.49	97
L _{Ma}	52.5	-62.91	19.95	66.0	162
C _{Ma}	59.15	-27.87	-44.43	52.45	238
V _{Ma}	29.13	22.73	-42.44	48.14	298
M _{Ma}	49.51	71.08	-9.19	71.67	353
N _{Ma}	20.0	0.0	0.0	0.0	0
W _{Ma}	95.0	0.0	0.0	0.0	0
R _{Ma}	39.92	58.74	27.99	65.07	25
J _{Ma}	81.26	-2.89	71.56	71.62	92
G _{Ma}	52.23	-42.42	13.6	44.55	162
B _{Ma}	30.57	1.41	-46.47	46.49	272

Daten für Maximalfarbe (Ma):

$LAB^*LAB^*_{Ma}$: 55 -21 -44

$LAB^*LCH^*_{Ma}$: 55 49 244

$lab^*rgb^*_{Ma}$: 0.0 0.5 1.0

$lab^*olv^*_{Ma}$: 0.0 0.89 1.0

Dreiecks-Helligkeit i^*

%Umfang

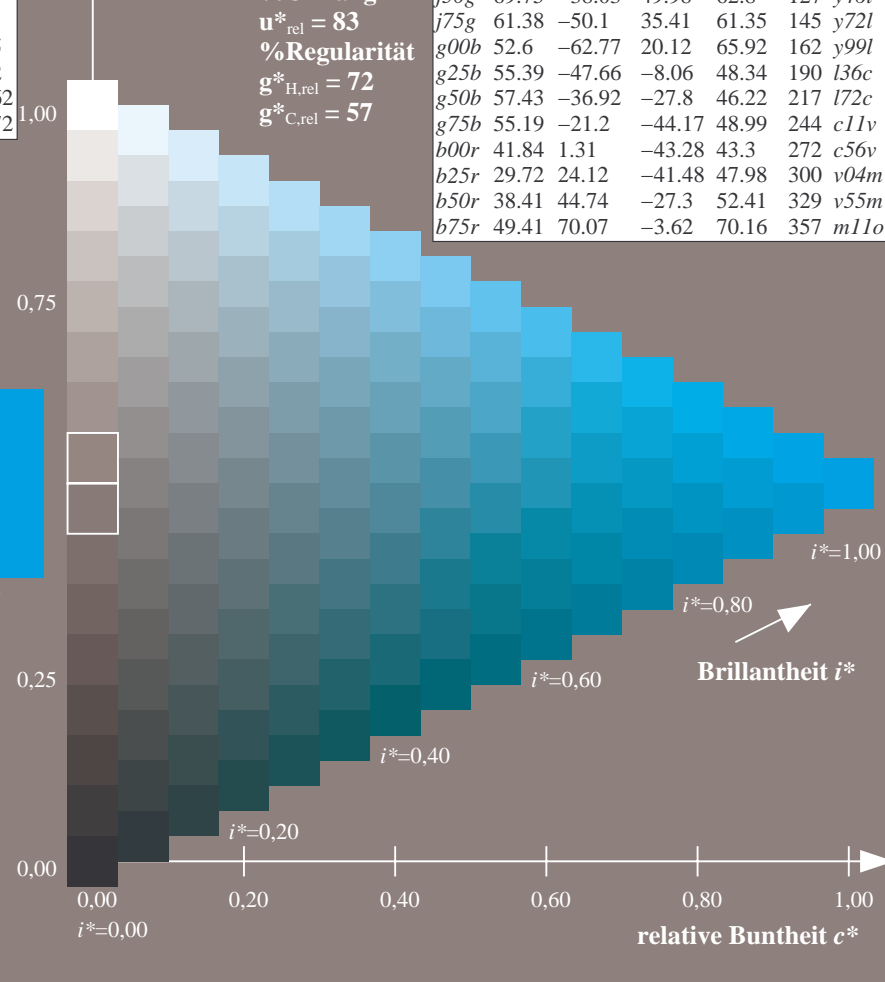
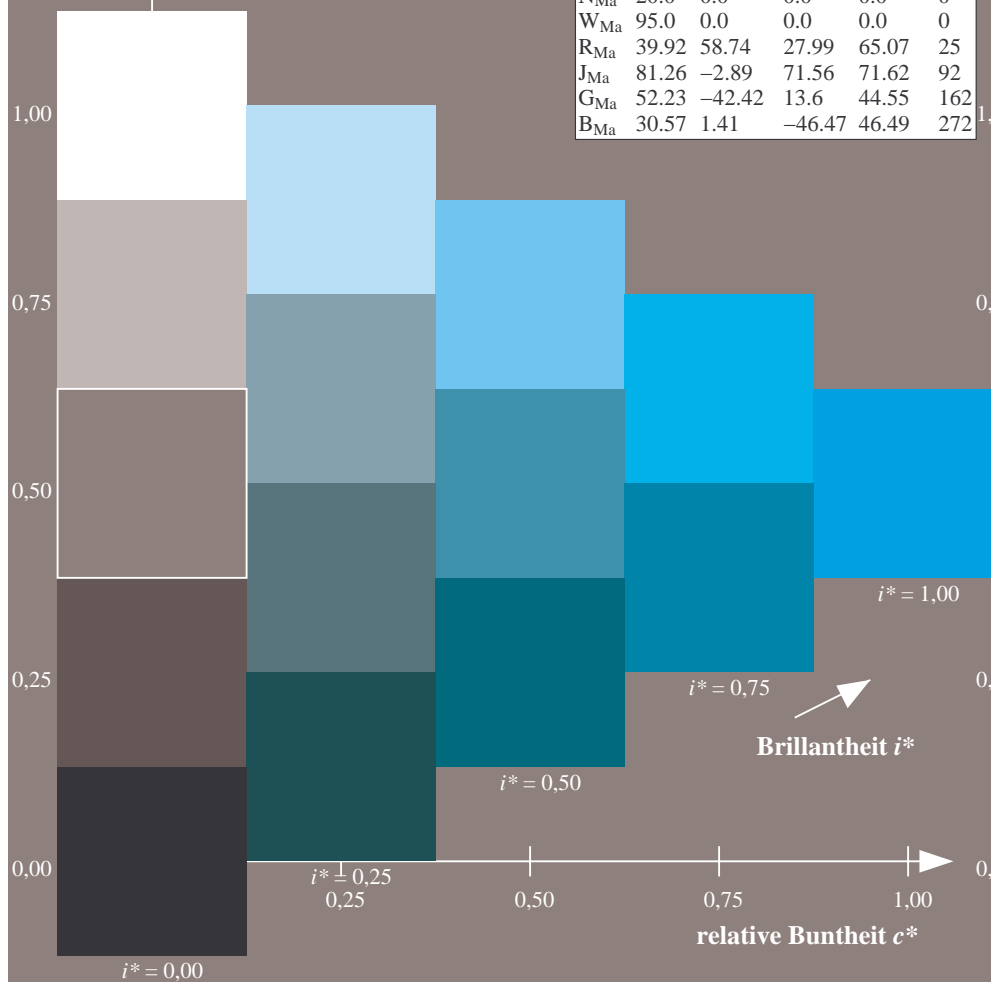
$u^*_{rel} = 83$

%Regularität

$g^*_{H,rel} = 72$

$g^*_{C,rel} = 57$

ORS20_95a; adaptierte CIELAB-Daten					
u_e^*	$L^*=L_a^*$	a_a^*	b_a^*	$C^*_{ab,a}$	$h^*_{ab,a}$
r00j	48.83	63.91	30.45	70.79	25
r25j	55.53	50.37	45.65	67.97	42
r50j	64.76	33.86	56.12	65.55	59
r75j	74.12	17.13	66.74	68.9	76
j00g	85.5	-3.22	79.65	79.72	92
j25g	79.45	-24.05	66.85	71.04	110
j50g	69.75	-38.03	49.98	62.8	127
j75g	61.38	-50.1	35.41	61.35	145
g00b	52.6	-62.77	20.12	65.92	162
g25b	55.39	-47.66	-8.06	48.34	190
g50b	57.43	-36.92	-27.8	46.22	217
g75b	55.19	-21.2	-44.17	48.99	244
b00r	41.84	1.31	-43.28	43.3	272
b25r	29.72	24.12	-41.48	47.98	300
b50r	38.41	44.74	-27.3	52.41	329
b75r	49.41	70.07	-3.62	70.16	357



Ein und Ausgabe: Farbmetrisches Drucker-Reflektiv-System ORS20_95a für relativen CIELAB-Buntton $h^* = lab^*h^* = h_{ab}/360 = 0.755$

Daten für jede Farbe:

lab^*ch^* und lab^*icu^*

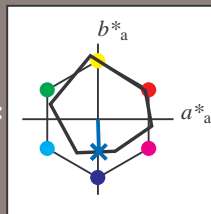
Bunttontexte:

$u^*_e = b00r$ $u^*_d = c56v$

Kontrastreduzierungsfaktor:

$c_R = 0.96$

Dreiecks-Helligkeit i^*



ORS20_95a; adaptierte CIELAB-Daten					
u^*_e	$L^*=L^*_a$	a^*_a	b^*_a	$C^*_{ab,a}$	$h^*_{ab,a}$
O _{Ma}	48.71	62.56	37.91	73.15	31
Y _{Ma}	89.25	-9.92	83.91	84.49	97
L _{Ma}	52.5	-62.91	19.95	66.0	162
C _{Ma}	59.15	-27.87	-44.43	52.45	238
V _{Ma}	29.13	22.73	-42.44	48.14	298
M _{Ma}	49.51	71.08	-9.19	71.67	353
N _{Ma}	20.0	0.0	0.0	0.0	0
W _{Ma}	95.0	0.0	0.0	0.0	0
R _{Ma}	39.92	58.74	27.99	65.07	25
J _{Ma}	81.26	-2.89	71.56	71.62	92
G _{Ma}	52.23	-42.42	13.6	44.55	162
B _{Ma}	30.57	1.41	-46.47	46.49	272

Daten für Maximalfarbe (Ma):

LAB^*LAB^*Ma : 42 1 -43

LAB^*LCH^*Ma : 42 43 271

lab^*rgb^*Ma : 0.0 0.0 1.0

lab^*olv^*Ma : 0.0 0.44 1.0

Dreiecks-Helligkeit i^*

%Umfang

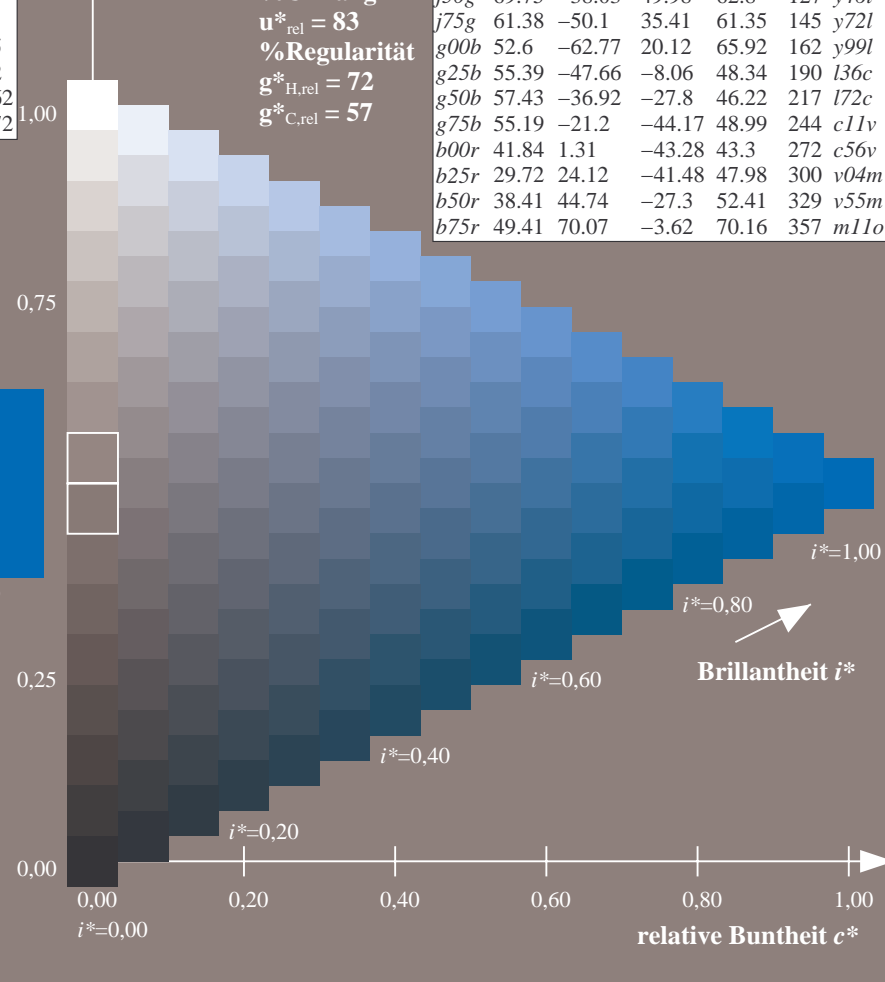
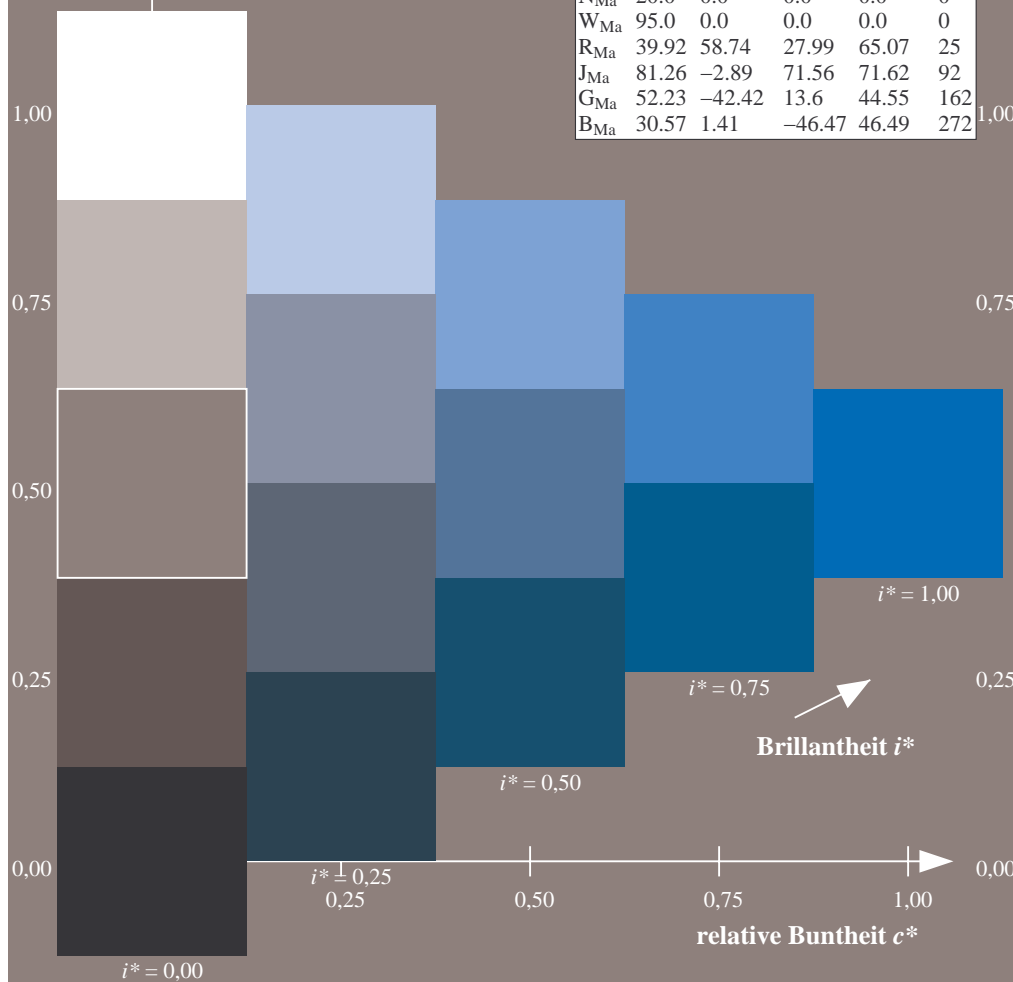
$u^*_{rel} = 83$

%Regularität

$g^*_{H,rel} = 72$

$g^*_{C,rel} = 57$

ORS20_95a; adaptierte CIELAB-Daten					
u^*_e	$L^*=L^*_a$	a^*_a	b^*_a	$C^*_{ab,a}$	$h^*_{ab,a}$
r00j	48.83	63.91	30.45	70.79	25
r25j	55.53	50.37	45.65	67.97	42
r50j	64.76	33.86	56.12	65.55	59
r75j	74.12	17.13	66.74	68.9	76
j00g	85.5	-3.22	79.65	79.72	92
j25g	79.45	-24.05	66.85	71.04	110
j50g	69.75	-38.03	49.98	62.8	127
j75g	61.38	-50.1	35.41	61.35	145
g00b	52.6	-62.77	20.12	65.92	162
g25b	55.39	-47.66	-8.06	48.34	190
g50b	57.43	-36.92	-27.8	46.22	217
g75b	55.19	-21.2	-44.17	48.99	244
b00r	41.84	1.31	-43.28	43.3	272
b25r	29.72	24.12	-41.48	47.98	300
b50r	38.41	44.74	-27.3	52.41	329
b75r	49.41	70.07	-3.62	70.16	357



Ein und Ausgabe: Farbmetrisches Drucker-Reflektiv-System ORS20_95a für relativen CIELAB-Buntton $h^* = lab^*h^* = h_{ab}/360 = 0.834$

Daten für jede Farbe:

lab^*ch^* und lab^*icu^*

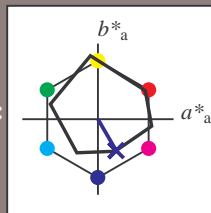
Bunttontexte:

$u^*_e = b25r$ $u^*_d = v04m$

Kontrastreduzierungsfaktor:

$c_R = 0.96$

Dreiecks-Helligkeit i^*



ORS20_95a; adaptierte CIELAB-Daten

	u^*_e	$L^*=L^*_a$	a^*_a	b^*_a	$C^*_{ab,a}$	$h^*_{ab,a}$
O _{Ma}	48.71	62.56	37.91	73.15	31	
Y _{Ma}	89.25	-9.92	83.91	84.49	97	
L _{Ma}	52.5	-62.91	19.95	66.0	162	
C _{Ma}	59.15	-27.87	-44.43	52.45	238	
V _{Ma}	29.13	22.73	-42.44	48.14	298	
M _{Ma}	49.51	71.08	-9.19	71.67	353	
N _{Ma}	20.0	0.0	0.0	0.0	0	
W _{Ma}	95.0	0.0	0.0	0.0	0	
R _{Ma}	39.92	58.74	27.99	65.07	25	
J _{Ma}	81.26	-2.89	71.56	71.62	92	
G _{Ma}	52.23	-42.42	13.6	44.55	162	
B _{Ma}	30.57	1.41	-46.47	46.49	272	

Daten für Maximalfarbe (Ma):

$LAB^*LAB^*_{Ma}$: 30 24 -41

$LAB^*LCH^*_{Ma}$: 30 48 300

$lab^*rgb^*_{Ma}$: 0.5 0.0 1.0

$lab^*olv^*_{Ma}$: 0.04 0.0 1.0

Dreiecks-Helligkeit i^*

%Umfang

$u^*_{rel} = 83$

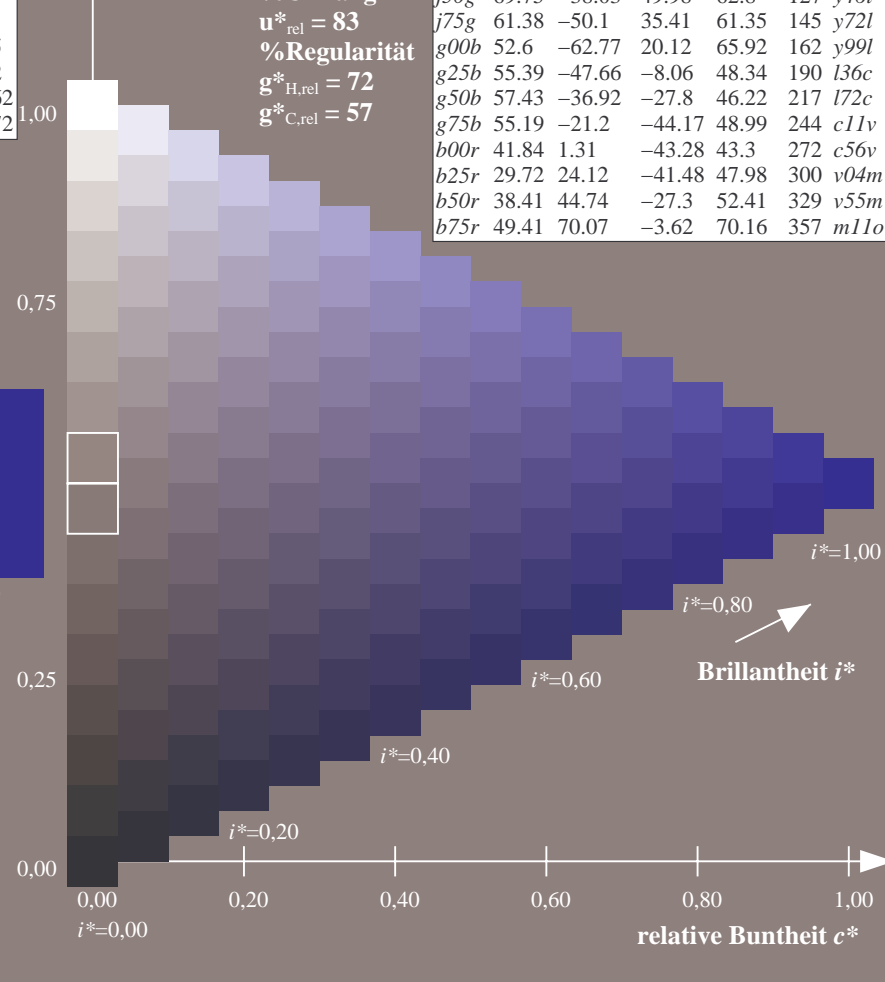
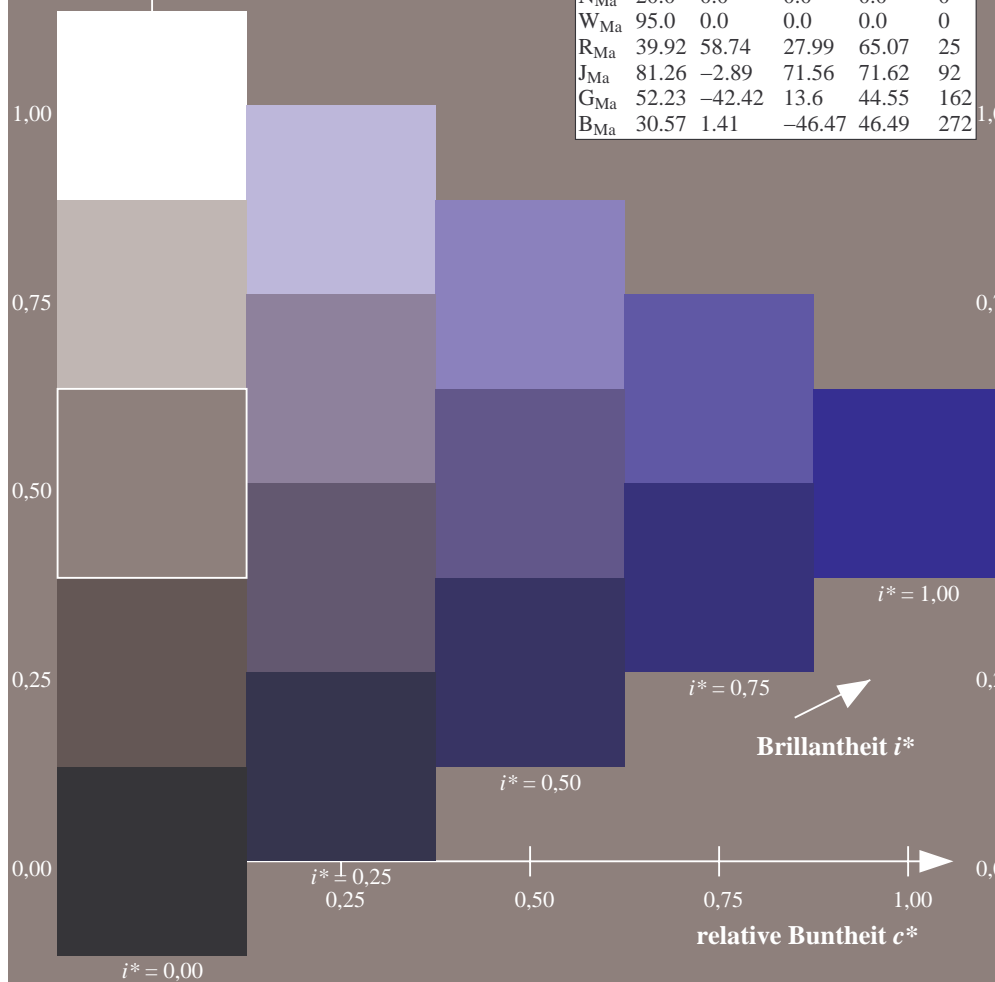
%Regularität

$g^*_{H,rel} = 72$

$g^*_{C,rel} = 57$

ORS20_95a; adaptierte CIELAB-Daten

	u^*_e	$L^*=L^*_a$	a^*_a	b^*_a	$C^*_{ab,a}$	$h^*_{ab,a}$	u^*_d
r00j	48.83	63.91	30.45	70.79	25		m84o
r25j	55.53	50.37	45.65	67.97	42		o17y
r50j	64.76	33.86	56.12	65.55	59		o42y
r75j	74.12	17.13	66.74	68.9	76		o67y
j00g	85.5	-3.22	79.65	79.72	92		o92y
j25g	79.45	-24.05	66.85	71.04	110		y20l
j50g	69.75	-38.03	49.98	62.8	127		y46l
j75g	61.38	-50.1	35.41	61.35	145		y72l
g00b	52.6	-62.77	20.12	65.92	162		y99l
g25b	55.39	-47.66	-8.06	48.34	190		l36c
g50b	57.43	-36.92	-27.8	46.22	217		l72c
g75b	55.19	-21.2	-44.17	48.99	244		c11v
b00r	41.84	1.31	-43.28	43.3	272		c56v
b25r	29.72	24.12	-41.48	47.98	300		v04m
b50r	38.41	44.74	-27.3	52.41	329		v55m
b75r	49.41	70.07	-3.62	70.16	357		m11o



Ein und Ausgabe: Farbmetrisches Drucker-Reflektiv-System ORS20_95a für relativen CIELAB-Buntton $h^* = lab^*h^* = h_{ab}/360 = 0.913$

Daten für jede Farbe:

lab^*tch^* und lab^*icu^*

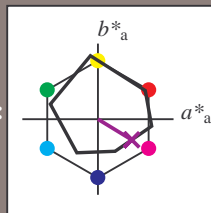
Bunttontexte:

$u^*_e = b50r$ $u^*_d = v55m$

Kontrastreduzierungsfaktor:

$c_R = 0.96$

Dreiecks-Helligkeit i^*



ORS20_95a; adaptierte CIELAB-Daten

	u^*_e	$L^*=L^*_a$	a^*_a	b^*_a	$C^*_{ab,a}$	$h^*_{ab,a}$
O _{Ma}	48.71	62.56	37.91	73.15	31	
Y _{Ma}	89.25	-9.92	83.91	84.49	97	
L _{Ma}	52.5	-62.91	19.95	66.0	162	
C _{Ma}	59.15	-27.87	-44.43	52.45	238	
V _{Ma}	29.13	22.73	-42.44	48.14	298	
M _{Ma}	49.51	71.08	-9.19	71.67	353	
N _{Ma}	20.0	0.0	0.0	0.0	0	
W _{Ma}	95.0	0.0	0.0	0.0	0	
R _{Ma}	39.92	58.74	27.99	65.07	25	
J _{Ma}	81.26	-2.89	71.56	71.62	92	
G _{Ma}	52.23	-42.42	13.6	44.55	162	
B _{Ma}	30.57	1.41	-46.47	46.49	272	

Daten für Maximalfarbe (Ma):

LAB^*LAB^*Ma : 38 45 -27

LAB^*LCH^*Ma : 38 52 328

lab^*rgb^*Ma : 1.0 0.0 1.0

lab^*olv^*Ma : 0.56 0.0 1.0

Dreiecks-Helligkeit i^*

%Umfang

$u^*_{rel} = 83$

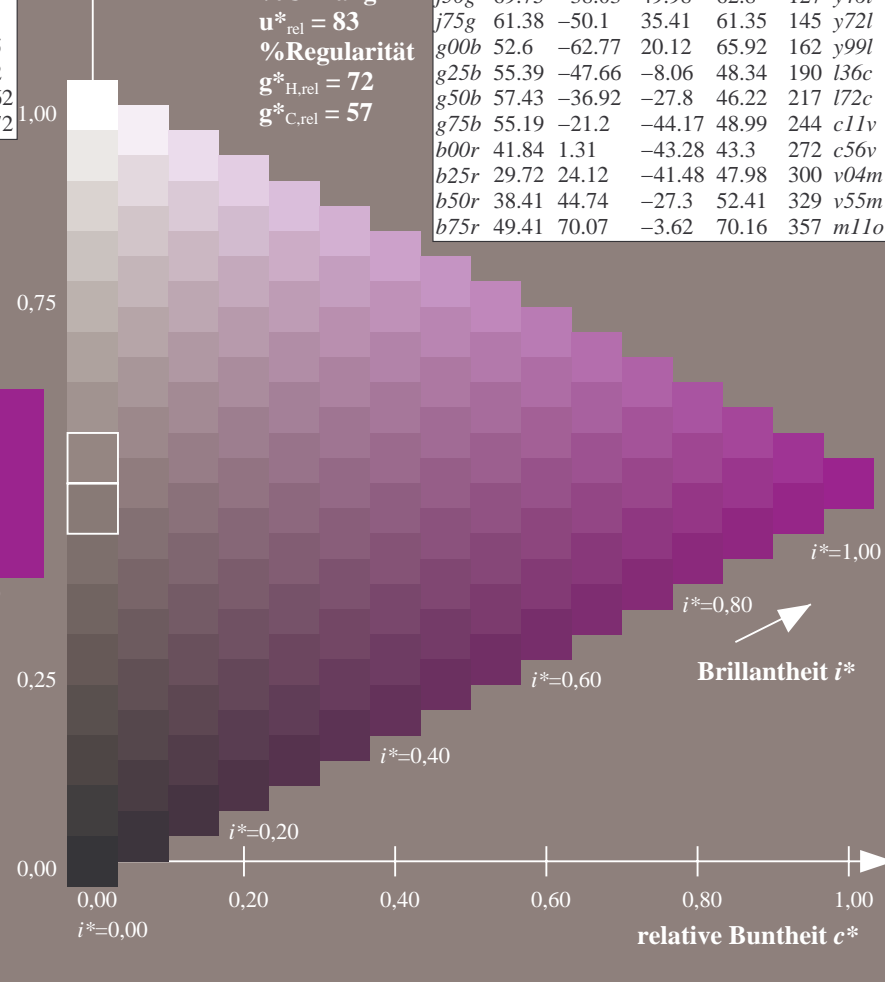
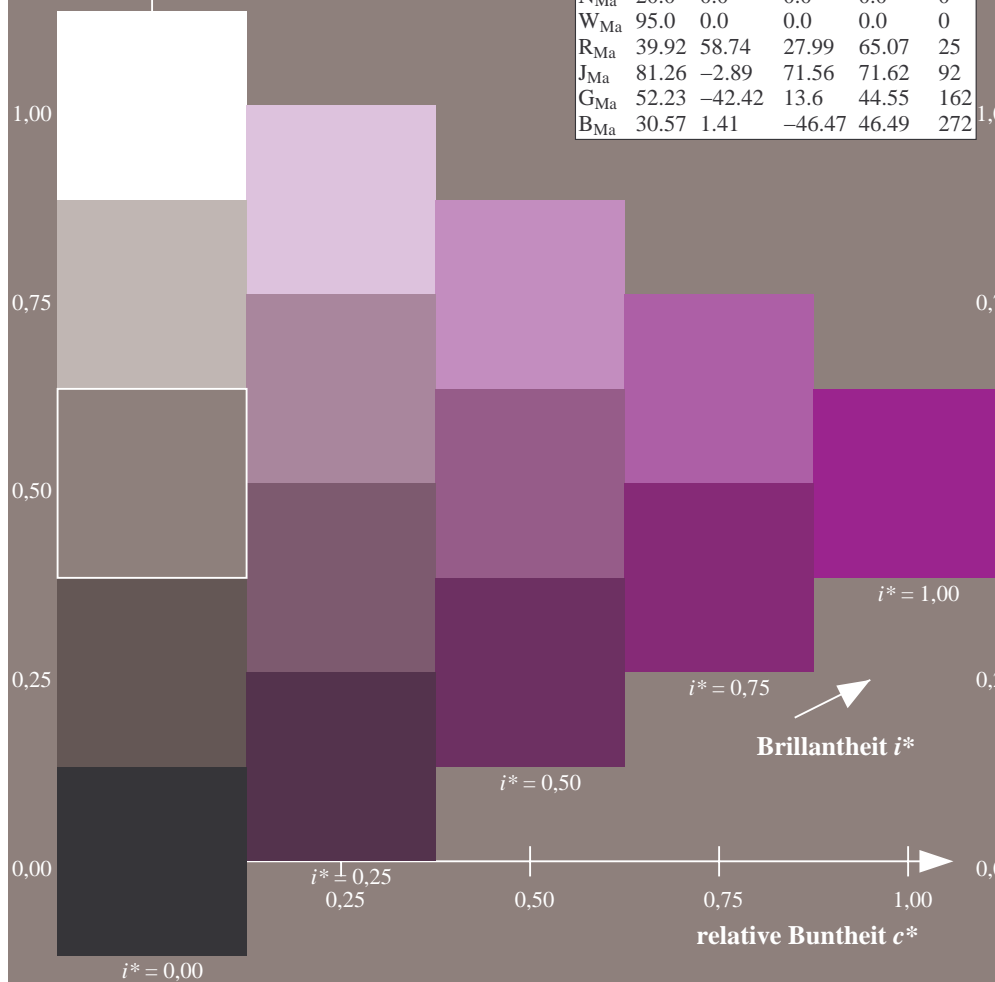
%Regularität

$g^*_{H,rel} = 72$

$g^*_{C,rel} = 57$

ORS20_95a; adaptierte CIELAB-Daten

	u^*_e	$L^*=L^*_a$	a^*_a	b^*_a	$C^*_{ab,a}$	$h^*_{ab,a}$	u^*_d
r00j	48.83	63.91	30.45	70.79	25	m84o	
r25j	55.53	50.37	45.65	67.97	42	o17y	
r50j	64.76	33.86	56.12	65.55	59	o42y	
r75j	74.12	17.13	66.74	68.9	76	o67y	
j00g	85.5	-3.22	79.65	79.72	92	o92y	
j25g	79.45	-24.05	66.85	71.04	110	y20l	
j50g	69.75	-38.03	49.98	62.8	127	y46l	
j75g	61.38	-50.1	35.41	61.35	145	y72l	
g00b	52.6	-62.77	20.12	65.92	162	y99l	
g25b	55.39	-47.66	-8.06	48.34	190	l36c	
g50b	57.43	-36.92	-27.8	46.22	217	l72c	
g75b	55.19	-21.2	-44.17	48.99	244	c11v	
b00r	41.84	1.31	-43.28	43.3	272	c56v	
b25r	29.72	24.12	-41.48	47.98	300	v04m	
b50r	38.41	44.74	-27.3	52.41	329	v55m	
b75r	49.41	70.07	-3.62	70.16	357	m11o	



Ein und Ausgabe: Farbmetrisches Drucker-Reflektiv-System ORS20_95a für relativen CIELAB-Buntton $h^* = lab^*h^* = h_{ab}/360 = 0.992$

Daten für jede Farbe:

lab^*tch^* und lab^*icu^*

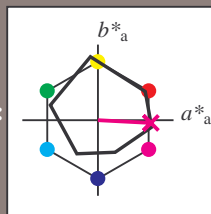
Bunttontexte:

$u^*_e = b75r$ $u^*_d = m11o$

Kontrastreduzierungsfaktor:

$c_R = 0.96$

Dreiecks-Helligkeit i^*



ORS20_95a; adaptierte CIELAB-Daten

	u^*_e	$L^*=L^*_a$	a^*_a	b^*_a	$C^*_{ab,a}$	$h^*_{ab,a}$
O _{Ma}	48.71	62.56	37.91	73.15	31	
Y _{Ma}	89.25	-9.92	83.91	84.49	97	
L _{Ma}	52.5	-62.91	19.95	66.0	162	
C _{Ma}	59.15	-27.87	-44.43	52.45	238	
V _{Ma}	29.13	22.73	-42.44	48.14	298	
M _{Ma}	49.51	71.08	-9.19	71.67	353	
N _{Ma}	20.0	0.0	0.0	0.0	0	
W _{Ma}	95.0	0.0	0.0	0.0	0	
R _{Ma}	39.92	58.74	27.99	65.07	25	
J _{Ma}	81.26	-2.89	71.56	71.62	92	
G _{Ma}	52.23	-42.42	13.6	44.55	162	
B _{Ma}	30.57	1.41	-46.47	46.49	272	

Daten für Maximalfarbe (Ma):

$LAB^*LAB^*_{Ma}$: 49 70 -4

$LAB^*LCH^*_{Ma}$: 49 70 357

$lab^*rgb^*_{Ma}$: 1.0 0.0 0.5

$lab^*olv^*_{Ma}$: 1.0 0.0 0.89

Dreiecks-Helligkeit i^*

%Umfang

$u^*_{rel} = 83$

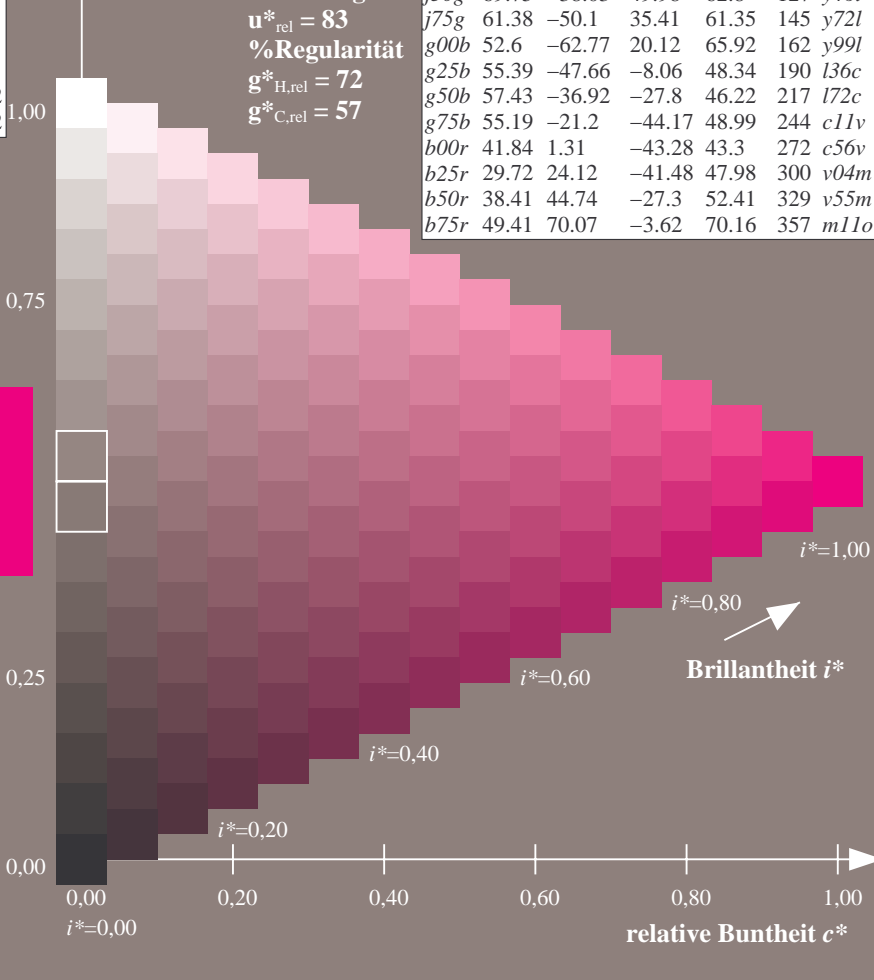
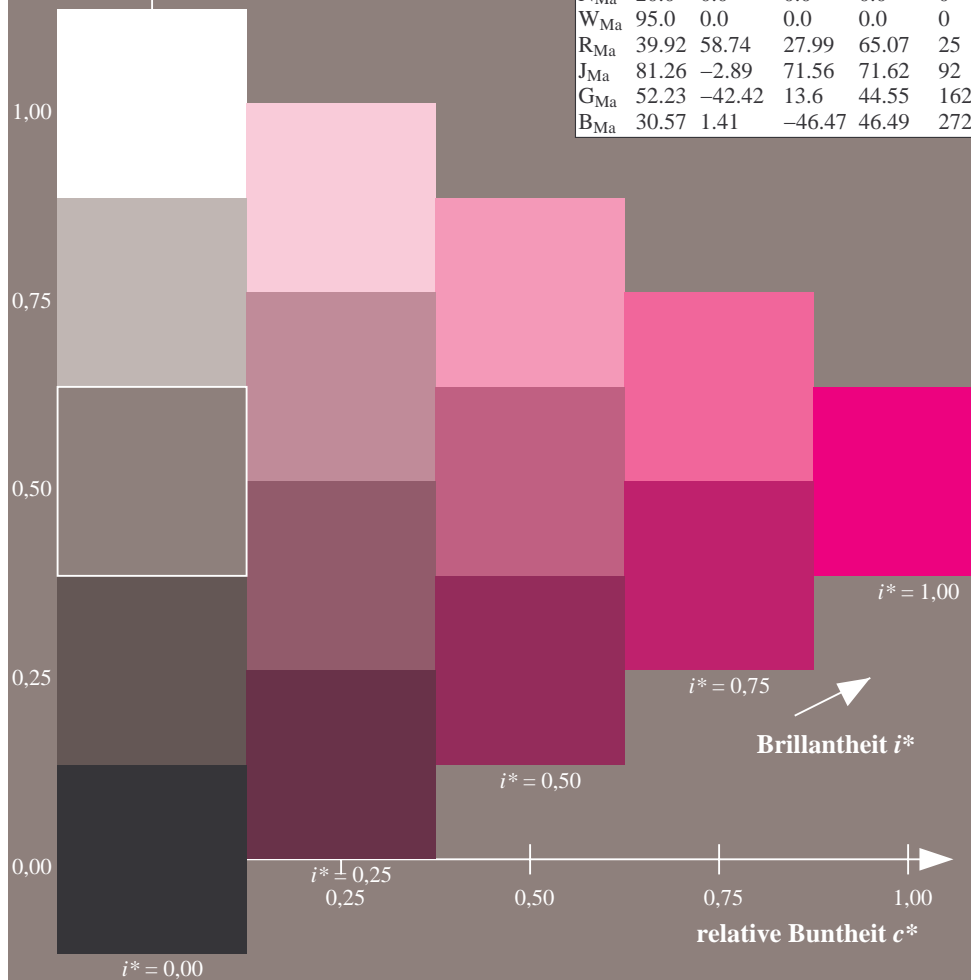
%Regularität

$g^*_{H,rel} = 72$

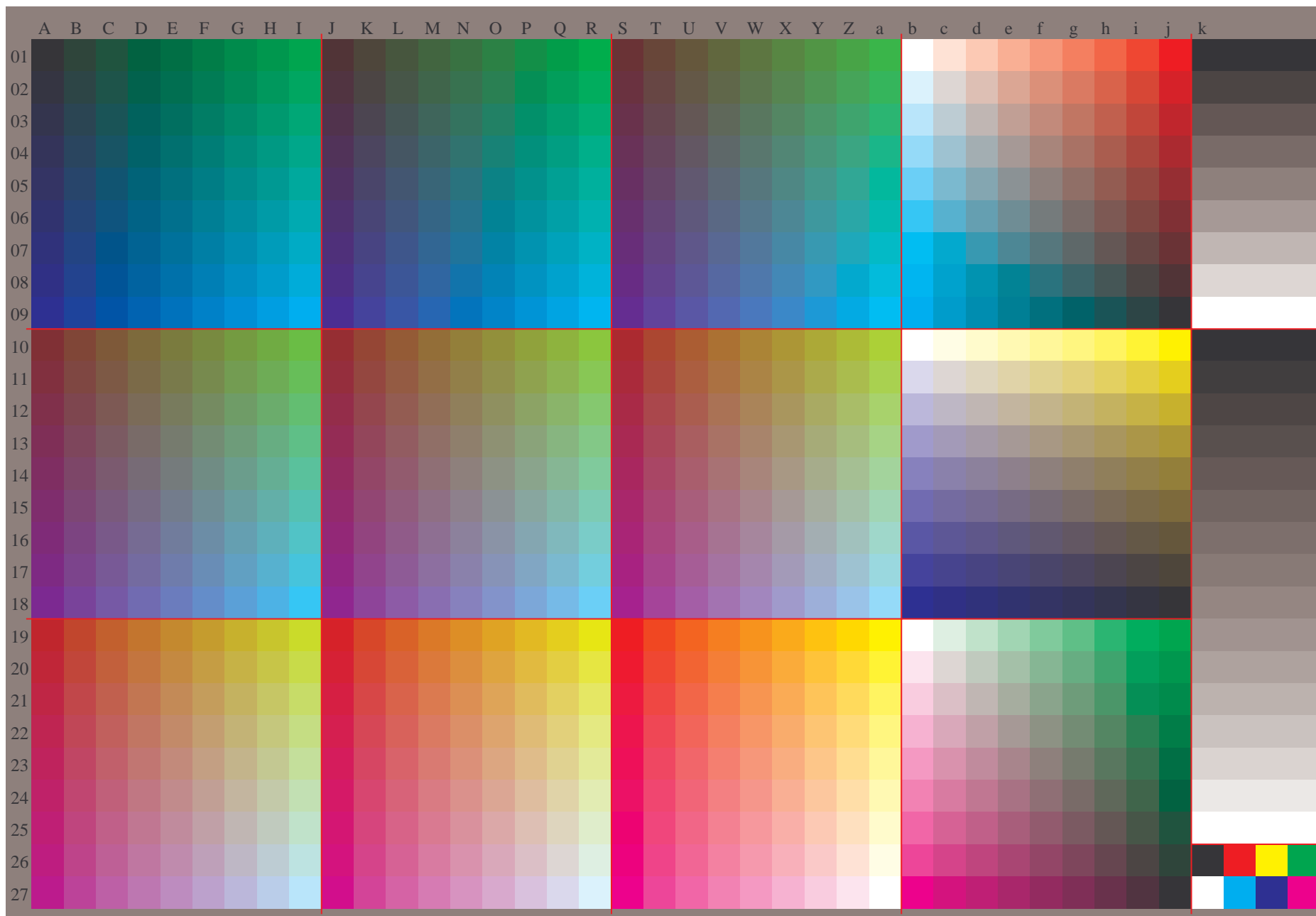
$g^*_{C,rel} = 57$

ORS20_95a; adaptierte CIELAB-Daten

	u^*_e	$L^*=L^*_a$	a^*_a	b^*_a	$C^*_{ab,a}$	$h^*_{ab,a}$	u^*_d
r00j	48.83	63.91	30.45	70.79	25		m84o
r25j	55.53	50.37	45.65	67.97	42		o17y
r50j	64.76	33.86	56.12	65.55	59		o42y
r75j	74.12	17.13	66.74	68.9	76		o67y
j00g	85.5	-3.22	79.65	79.72	92		o92y
j25g	79.45	-24.05	66.85	71.04	110		y20l
j50g	69.75	-38.03	49.98	62.8	127		y46l
j75g	61.38	-50.1	35.41	61.35	145		y72l
g00b	52.6	-62.77	20.12	65.92	162		y99l
g25b	55.39	-47.66	-8.06	48.34	190		l36c
g50b	57.43	-36.92	-27.8	46.22	217		l72c
g75b	55.19	-21.2	-44.17	48.99	244		c11v
b00r	41.84	1.31	-43.28	43.3	272		c56v
b25r	29.72	24.12	-41.48	47.98	300		v04m
b50r	38.41	44.74	-27.3	52.41	329		v55m
b75r	49.41	70.07	-3.62	70.16	357		m11o



Siehe ähnliche Dateien: <http://www.ps.bam.de/Eg15/>; www.ps.bam.de/Eg.HTM
Technische Information: [http://www.ps.bam.de/Version 2.1, io=1,1, Col5px=0](http://www.ps.bam.de/Version%202.1,io=1,1,Col5px=0)



BAM-Registrierung: 20081001-Eg15/10L/L15G00NP.PS/.PDF BAM-Material: Code=rh4ta
Anwendung für Beurteilung und Messung von Drucker- oder Monitorsystemen

Ein und Ausgabe:
Farbmetrisches Drucker-Reflektiv-System ORS20_95a
Daten für jede Farbe:

u^*_e und Nummer *Nr.* = 00 .. 15

Elementar-Bunttontext:

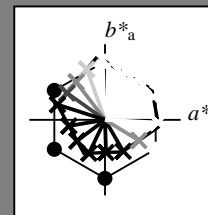
u^*_e = 16 Bunttoene *r00j*, *r25j*, ..., *b75r*

Kontrastreduzierungsfaktor:

$c_R = 0.96$

ORS20_95a; adaptierte CIELAB-Daten

u^*_e	$L^*=L^*_a$	a^*_a	b^*_a	$C^*_{ab,a}$	$h^*_{ab,a}$	u^*_d
<i>r00j</i>	48.83	63.91	30.45	70.79	25	<i>m84o</i>
<i>r25j</i>	55.53	50.37	45.65	67.97	42	<i>o17y</i>
<i>r50j</i>	64.76	33.86	56.12	65.55	59	<i>o42y</i>
<i>r75j</i>	74.12	17.13	66.74	68.9	76	<i>o67y</i>
<i>j00g</i>	85.5	-3.22	79.65	79.72	92	<i>o92y</i>
<i>j25g</i>	79.45	-24.05	66.85	71.04	110	<i>y20l</i>
<i>j50g</i>	69.75	-38.03	49.98	62.8	127	<i>y46l</i>
<i>j75g</i>	61.38	-50.1	35.41	61.35	145	<i>y72l</i>
<i>g00b</i>	52.6	-62.77	20.12	65.92	162	<i>y99l</i>
<i>g25b</i>	55.39	-47.66	-8.06	48.34	190	<i>l36c</i>
<i>g50b</i>	57.43	-36.92	-27.8	46.22	217	<i>l72c</i>
<i>g75b</i>	55.19	-21.2	-44.17	48.99	244	<i>c11v</i>
<i>b00r</i>	41.84	1.31	-43.28	43.3	272	<i>c56v</i>
<i>b25r</i>	29.72	24.12	-41.48	47.98	300	<i>v04m</i>
<i>b50r</i>	38.41	44.74	-27.3	52.41	329	<i>v55m</i>
<i>b75r</i>	49.41	70.07	-3.62	70.16	357	<i>m11o</i>



%Umfang

$u^*_{rel} = 83$

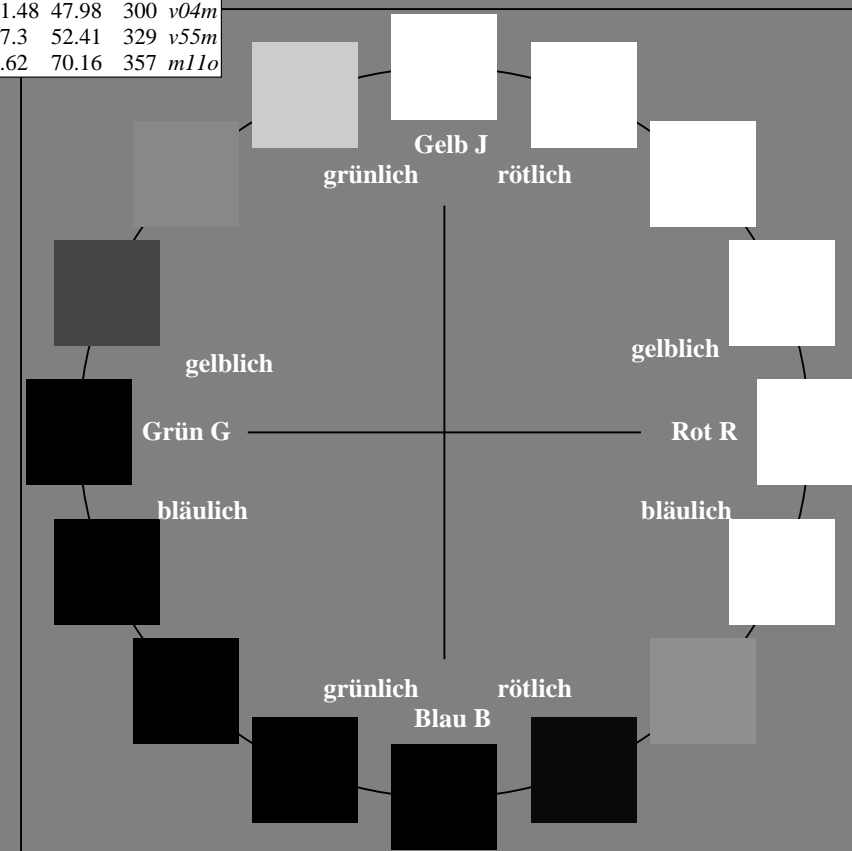
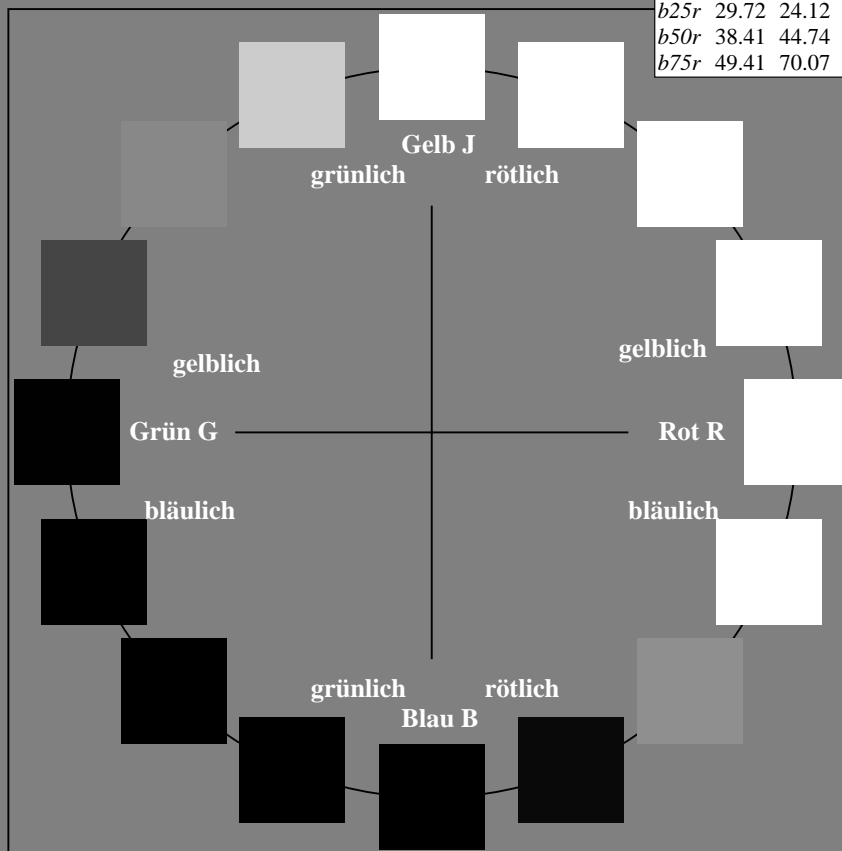
%Regularität

$g^*_{H,rel} = 72$

$g^*_{C,rel} = 57$

ORS20_95a; adaptierte CIELAB-Daten

Name	$L^*=L^*_a$	a^*_a	b^*_a	$C^*_{ab,a}$	$h^*_{ab,a}$
O _{Ma}	48.71	62.56	37.91	73.15	31
Y _{Ma}	89.25	-9.92	83.91	84.49	97
L _{Ma}	52.5	-62.91	19.95	66.0	162
C _{Ma}	59.15	-27.87	-44.43	52.45	238
V _{Ma}	29.13	22.73	-42.44	48.14	298
M _{Ma}	49.51	71.08	-9.19	71.67	353
N _{Ma}	20.0	0.0	0.0	0.0	0
W _{Ma}	95.0	0.0	0.0	0.0	0
R _{CIE}	39.92	58.74	27.99	65.07	25
J _{CIE}	81.26	-2.89	71.56	71.62	92
G _{CIE}	52.23	-42.42	13.6	44.55	162
B _{CIE}	30.57	1.41	-46.47	46.49	272



Ein und Ausgabe: Farbmetrisches Drucker-Reflektiv-System ORS20_95a für relativen CIELAB-Buntton $h^* = lab^*h^* = h_{ab}/360 = 0.071$

Daten für jede Farbe:

lab^*ch^* und lab^*icu^*

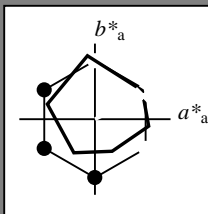
Bunttontexte:

$u^*_e = r00j$ $u^*_d = m84o$

Kontrastreduzierungsfaktor:

$c_R = 0.96$

Dreiecks-Helligkeit i^*



ORS20_95a; adaptierte CIELAB-Daten

u^*_e	$L^*=L^*_a$	a^*_a	b^*_a	$C^*_{ab,a}$	$h^*_{ab,a}$
O _{Ma}	48.71	62.56	37.91	73.15	31
Y _{Ma}	89.25	-9.92	83.91	84.49	97
L _{Ma}	52.5	-62.91	19.95	66.0	162
C _{Ma}	59.15	-27.87	-44.43	52.45	238
V _{Ma}	29.13	22.73	-42.44	48.14	298
M _{Ma}	49.51	71.08	-9.19	71.67	353
N _{Ma}	20.0	0.0	0.0	0.0	0
W _{Ma}	95.0	0.0	0.0	0.0	0
R _{Ma}	39.92	58.74	27.99	65.07	25
J _{Ma}	81.26	-2.89	71.56	71.62	92
G _{Ma}	52.23	-42.42	13.6	44.55	162
B _{Ma}	30.57	1.41	-46.47	46.49	272

Daten für Maximalfarbe (Ma):

$LAB^*LAB^*_{Ma}$: 49 64 30

$LAB^*LCH^*_{Ma}$: 49 71 25

$lab^*rgb^*_{Ma}$: 1.0 0.0 0.0

$lab^*olv^*_{Ma}$: 1.0 0.0 0.15

Dreiecks-Helligkeit i^*

%Umfang

$u^*_{rel} = 83$

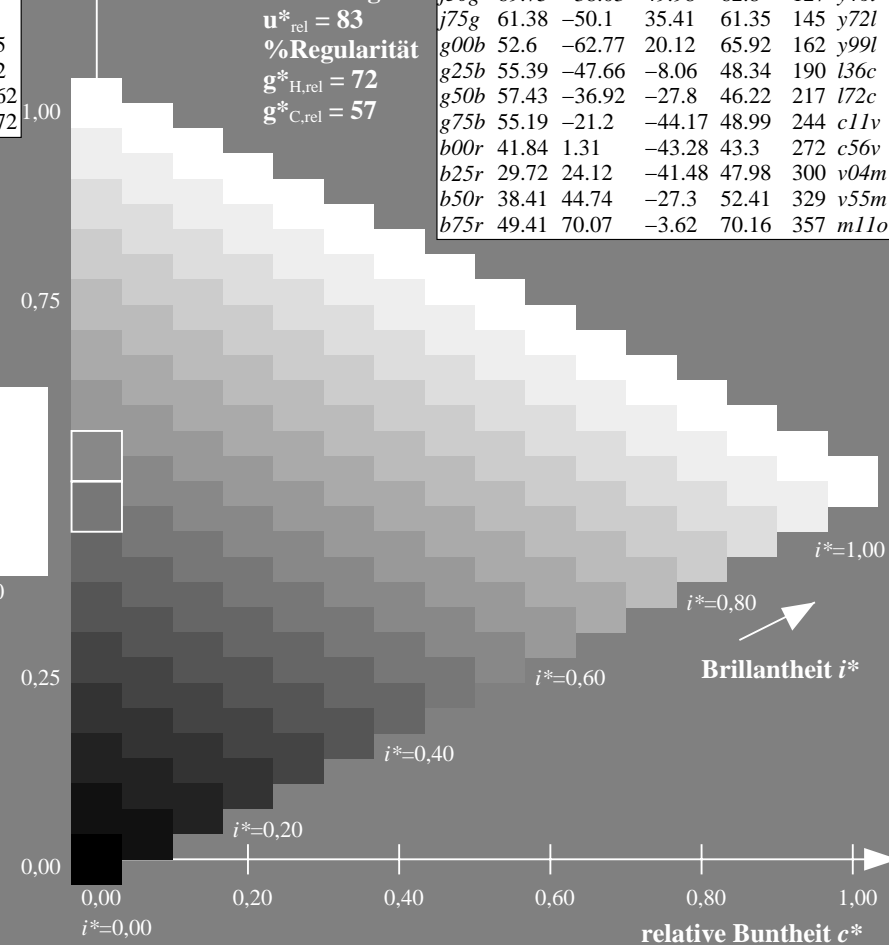
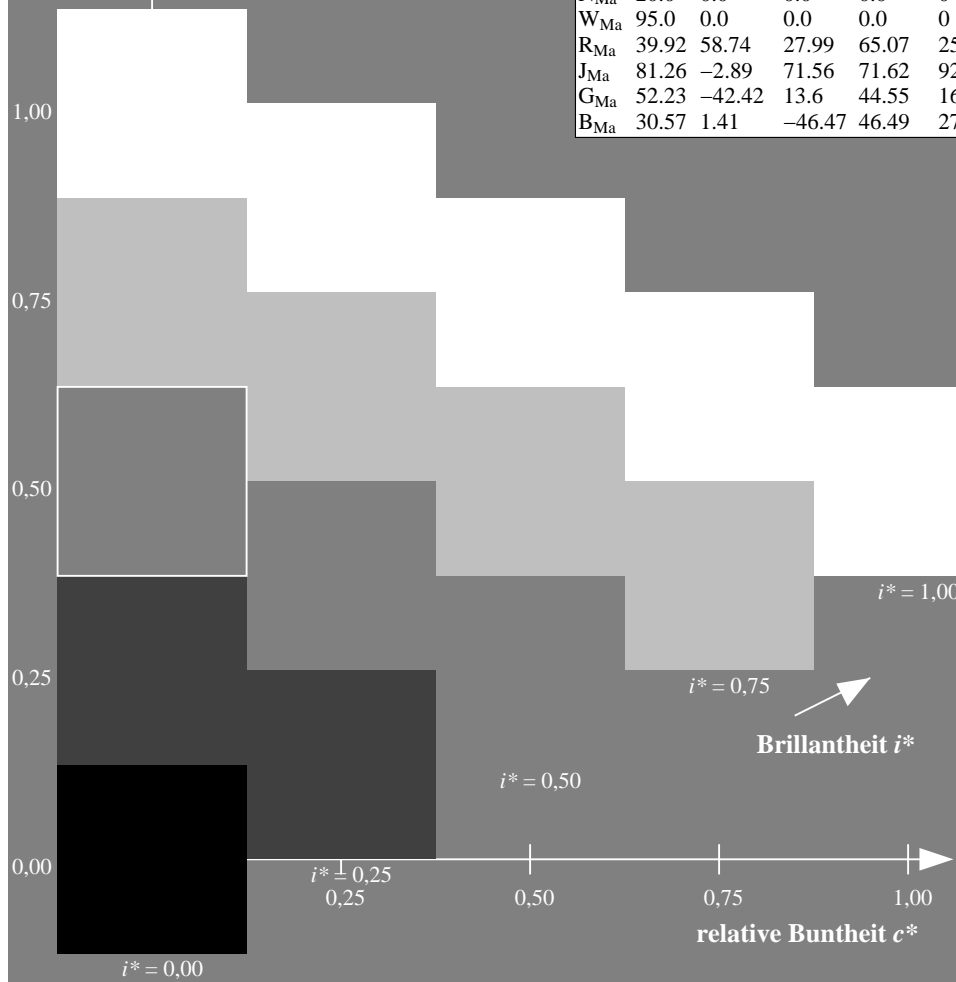
%Regularität

$g^*_{H,rel} = 72$

$g^*_{C,rel} = 57$

ORS20_95a; adaptierte CIELAB-Daten

u^*_e	$L^*=L^*_a$	a^*_a	b^*_a	$C^*_{ab,a}$	$h^*_{ab,a}$	u^*_d
r00j	48.83	63.91	30.45	70.79	25	m84o
r25j	55.53	50.37	45.65	67.97	42	o17y
r50j	64.76	33.86	56.12	65.55	59	o42y
r75j	74.12	17.13	66.74	68.9	76	o67y
j00g	85.5	-3.22	79.65	79.72	92	o92y
j25g	79.45	-24.05	66.85	71.04	110	y20l
j50g	69.75	-38.03	49.98	62.8	127	y46l
j75g	61.38	-50.1	35.41	61.35	145	y72l
g00b	52.6	-62.77	20.12	65.92	162	y99l
g25b	55.39	-47.66	-8.06	48.34	190	l36c
g50b	57.43	-36.92	-27.8	46.22	217	l72c
g75b	55.19	-21.2	-44.17	48.99	244	c11v
b00r	41.84	1.31	-43.28	43.3	272	c56v
b25r	29.72	24.12	-41.48	47.98	300	v04m
b50r	38.41	44.74	-27.3	52.41	329	v55m
b75r	49.41	70.07	-3.62	70.16	357	m11o



Ein und Ausgabe: Farbmetrisches Drucker-Reflektiv-System ORS20_95a für relativen CIELAB-Buntton $h^* = lab^*h^* = h_{ab}/360 = 0.117$

Daten für jede Farbe:

lab^*ch^* und lab^*icu^*

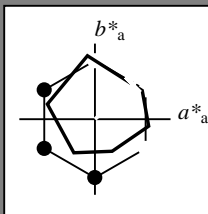
Bunttontexte:

$u^*_e = r25j$ $u^*_d = o17y$

Kontrastreduzierungsfaktor:

$c_R = 0.96$

Dreiecks-Helligkeit i^*



ORS20_95a; adaptierte CIELAB-Daten

u^*_e	$L^*=L^*_a$	a^*_a	b^*_a	$C^*_{ab,a}$	$h^*_{ab,a}$
O _{Ma}	48.71	62.56	37.91	73.15	31
Y _{Ma}	89.25	-9.92	83.91	84.49	97
L _{Ma}	52.5	-62.91	19.95	66.0	162
C _{Ma}	59.15	-27.87	-44.43	52.45	238
V _{Ma}	29.13	22.73	-42.44	48.14	298
M _{Ma}	49.51	71.08	-9.19	71.67	353
N _{Ma}	20.0	0.0	0.0	0.0	0
W _{Ma}	95.0	0.0	0.0	0.0	0
R _{Ma}	39.92	58.74	27.99	65.07	25
J _{Ma}	81.26	-2.89	71.56	71.62	92
G _{Ma}	52.23	-42.42	13.6	44.55	162
B _{Ma}	30.57	1.41	-46.47	46.49	272

Daten für Maximalfarbe (Ma):

$LAB^*LAB^*_{Ma}$: 56 50 46

$LAB^*LCH^*_{Ma}$: 56 68 42

$lab^*rgb^*_{Ma}$: 1.0 0.25 0.0

$lab^*olv^*_{Ma}$: 1.0 0.17 0.0

Dreiecks-Helligkeit i^*

%Umfang

$u^*_{rel} = 83$

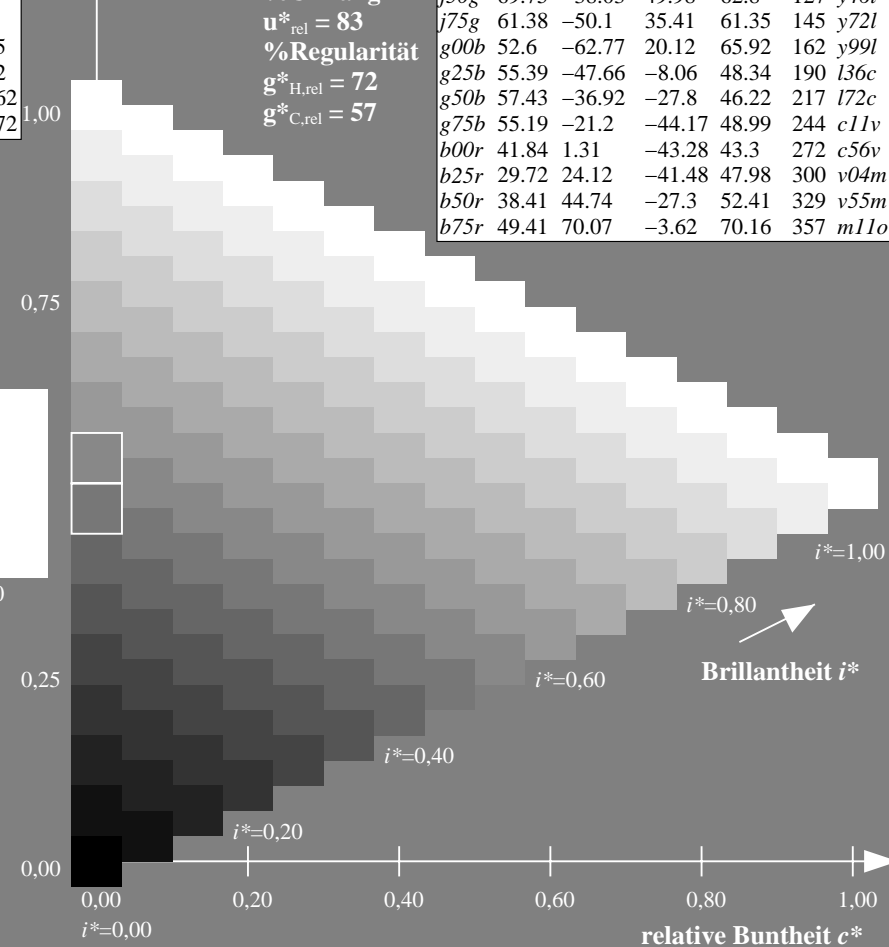
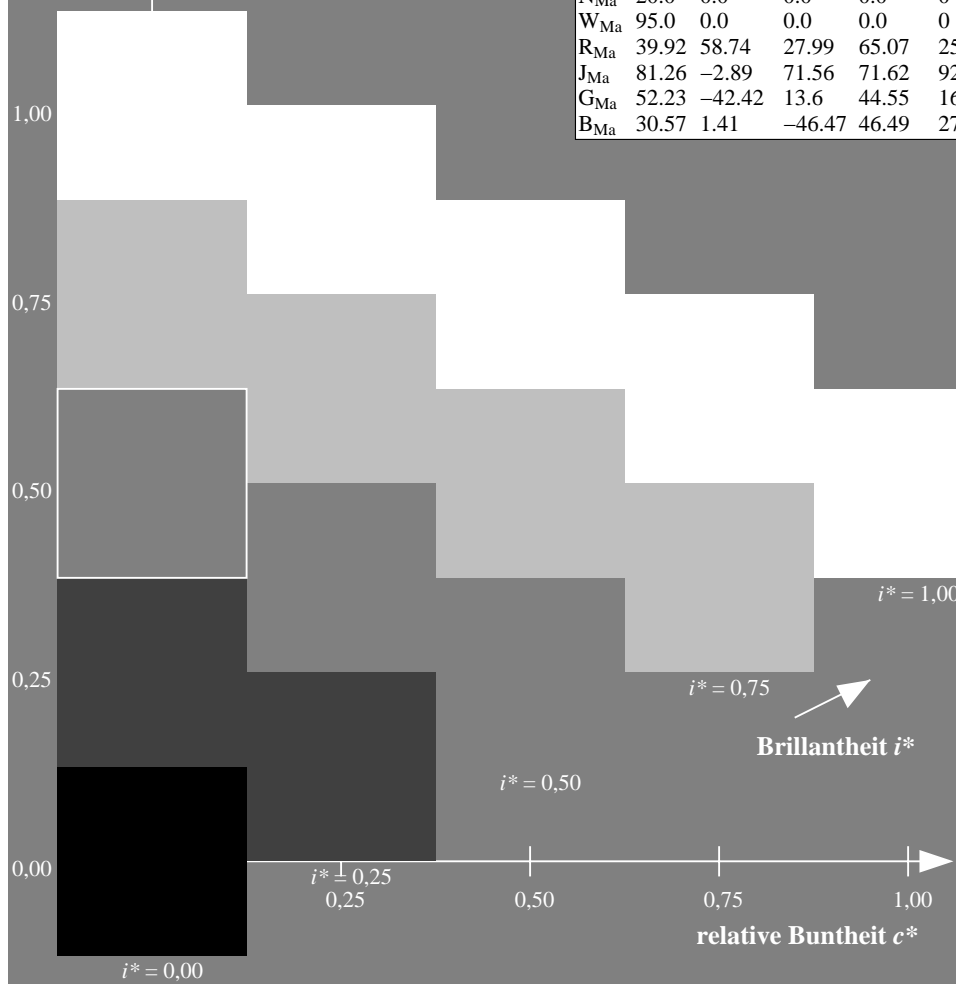
%Regularität

$g^*_{H,rel} = 72$

$g^*_{C,rel} = 57$

ORS20_95a; adaptierte CIELAB-Daten

u^*_e	$L^*=L^*_a$	a^*_a	b^*_a	$C^*_{ab,a}$	$h^*_{ab,a}$	u^*_d
r00j	48.83	63.91	30.45	70.79	25	m84o
r25j	55.53	50.37	45.65	67.97	42	o17y
r50j	64.76	33.86	56.12	65.55	59	o42y
r75j	74.12	17.13	66.74	68.9	76	o67y
j00g	85.5	-3.22	79.65	79.72	92	o92y
j25g	79.45	-24.05	66.85	71.04	110	y20l
j50g	69.75	-38.03	49.98	62.8	127	y46l
j75g	61.38	-50.1	35.41	61.35	145	y72l
g00b	52.6	-62.77	20.12	65.92	162	y99l
g25b	55.39	-47.66	-8.06	48.34	190	l36c
g50b	57.43	-36.92	-27.8	46.22	217	l72c
g75b	55.19	-21.2	-44.17	48.99	244	c11v
b00r	41.84	1.31	-43.28	43.3	272	c56v
b25r	29.72	24.12	-41.48	47.98	300	v04m
b50r	38.41	44.74	-27.3	52.41	329	v55m
b75r	49.41	70.07	-3.62	70.16	357	m11o



Siehe ähnliche Dateien: <http://www.ps.bam.de/Eg15/>; [www.ps.bam.de/Version 2.1, io=1,1, Col5px=0](http://www.ps.bam.de/Version2.1,io=1,1,Col5px=0)
Technische Information: [http://www.ps.bam.de/Version 2.1, io=1,1, Col5px=0](http://www.ps.bam.de/Version2.1,io=1,1,Col5px=0)

Ein und Ausgabe: Farbmetrisches Drucker-Reflektiv-System ORS20_95a für relativen CIELAB-Buntton $h^* = lab^*h^* = h_{ab}/360 = 0.164$

Daten für jede Farbe:

lab^*tch^* und lab^*icu^*

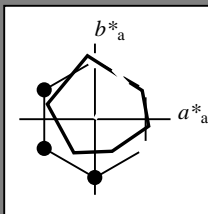
Bunttontexte:

$u^*_e = r50j$ $u^*_d = o42y$

Kontrastreduzierungsfaktor:

$c_R = 0.96$

Dreiecks-Helligkeit i^*



ORS20_95a; adaptierte CIELAB-Daten

u^*_e	$L^*=L^*_a$	a^*_a	b^*_a	$C^*_{ab,a}$	$h^*_{ab,a}$
O _{Ma}	48.71	62.56	37.91	73.15	31
Y _{Ma}	89.25	-9.92	83.91	84.49	97
L _{Ma}	52.5	-62.91	19.95	66.0	162
C _{Ma}	59.15	-27.87	-44.43	52.45	238
V _{Ma}	29.13	22.73	-42.44	48.14	298
M _{Ma}	49.51	71.08	-9.19	71.67	353
N _{Ma}	20.0	0.0	0.0	0.0	0
W _{Ma}	95.0	0.0	0.0	0.0	0
R _{Ma}	39.92	58.74	27.99	65.07	25
J _{Ma}	81.26	-2.89	71.56	71.62	92
G _{Ma}	52.23	-42.42	13.6	44.55	162
B _{Ma}	30.57	1.41	-46.47	46.49	272

Daten für Maximalfarbe (Ma):

$LAB^*LAB^*_{Ma}$: 65 34 56

$LAB^*LCH^*_{Ma}$: 65 66 58

$lab^*rgb^*_{Ma}$: 1.0 0.5 0.0

$lab^*olv^*_{Ma}$: 1.0 0.42 0.0

Dreiecks-Helligkeit i^*

%Umfang

$u^*_{rel} = 83$

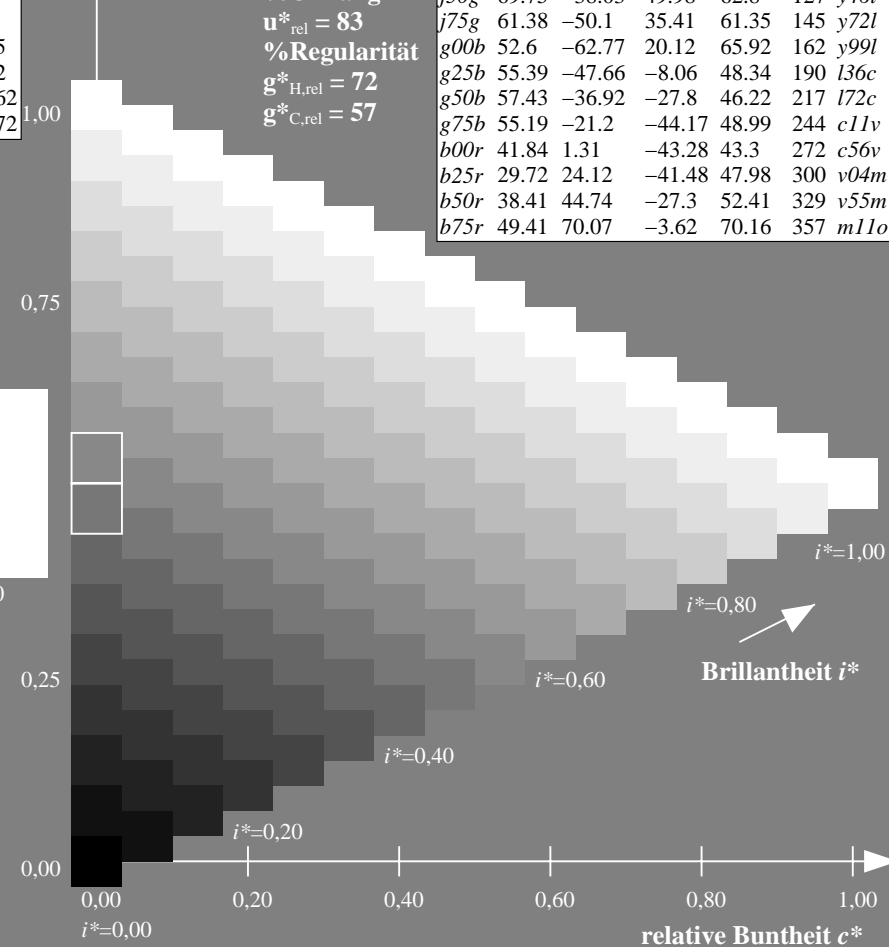
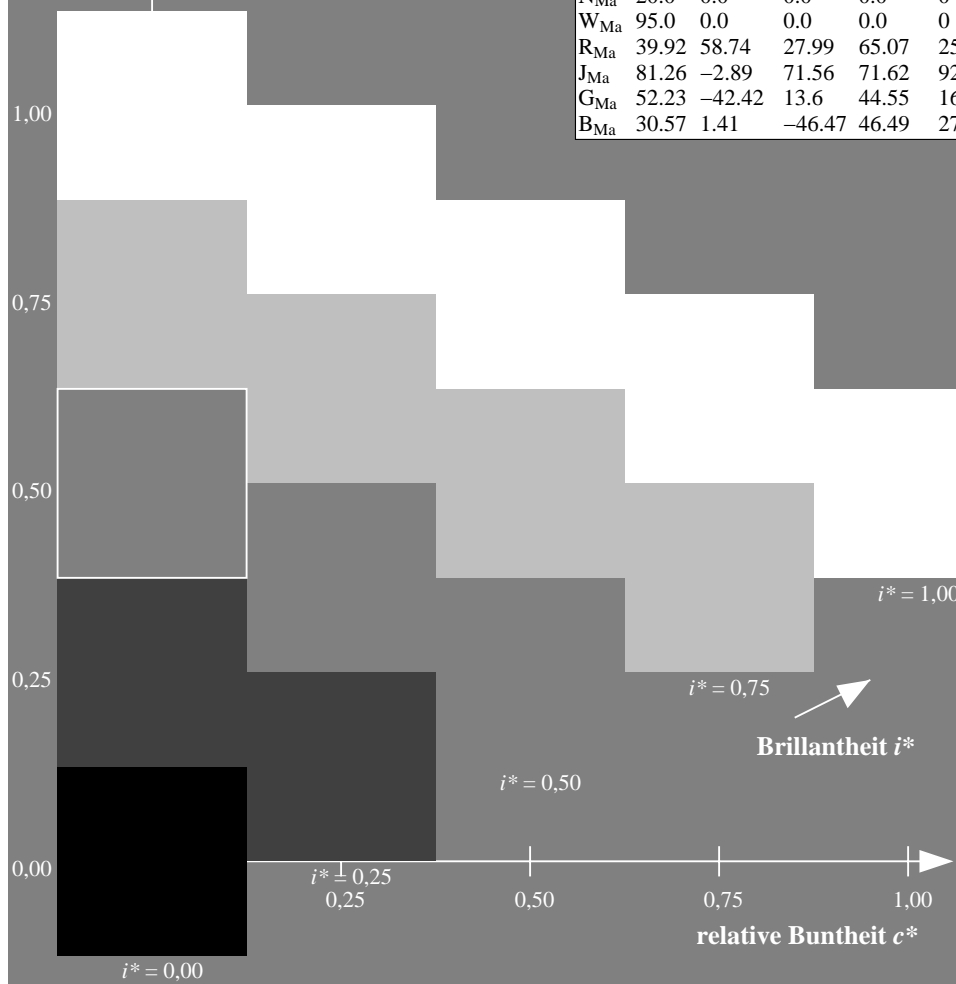
%Regularität

$g^*_{H,rel} = 72$

$g^*_{C,rel} = 57$

ORS20_95a; adaptierte CIELAB-Daten

u^*_e	$L^*=L^*_a$	a^*_a	b^*_a	$C^*_{ab,a}$	$h^*_{ab,a}$	u^*_d
r00j	48.83	63.91	30.45	70.79	25	m84o
r25j	55.53	50.37	45.65	67.97	42	o17y
r50j	64.76	33.86	56.12	65.55	59	o42y
r75j	74.12	17.13	66.74	68.9	76	o67y
j00g	85.5	-3.22	79.65	79.72	92	o92y
j25g	79.45	-24.05	66.85	71.04	110	y20l
j50g	69.75	-38.03	49.98	62.8	127	y46l
j75g	61.38	-50.1	35.41	61.35	145	y72l
g00b	52.6	-62.77	20.12	65.92	162	y99l
g25b	55.39	-47.66	-8.06	48.34	190	l36c
g50b	57.43	-36.92	-27.8	46.22	217	l72c
g75b	55.19	-21.2	-44.17	48.99	244	c11v
b00r	41.84	1.31	-43.28	43.3	272	c56v
b25r	29.72	24.12	-41.48	47.98	300	v04m
b50r	38.41	44.74	-27.3	52.41	329	v55m
b75r	49.41	70.07	-3.62	70.16	357	m11o



Ein und Ausgabe: Farbmetrisches Drucker-Reflektiv-System ORS20_95a für relativen CIELAB-Buntton $h^* = lab^*h^* = h_{ab}/360 = 0.21$

Daten für jede Farbe:

lab^*ch^* und lab^*icu^*

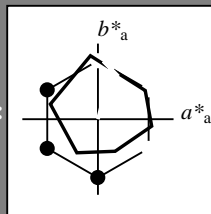
Bunttontexte:

$u^*_e = r75j$ $u^*_d = o67y$

Kontrastreduzierungsfaktor:

$c_R = 0.96$

Dreiecks-Helligkeit i^*



ORS20_95a; adaptierte CIELAB-Daten

u^*_e	$L^*=L^*_a$	a^*_a	b^*_a	$C^*_{ab,a}$	$h^*_{ab,a}$
O _{Ma}	48.71	62.56	37.91	73.15	31
Y _{Ma}	89.25	-9.92	83.91	84.49	97
L _{Ma}	52.5	-62.91	19.95	66.0	162
C _{Ma}	59.15	-27.87	-44.43	52.45	238
V _{Ma}	29.13	22.73	-42.44	48.14	298
M _{Ma}	49.51	71.08	-9.19	71.67	353
N _{Ma}	20.0	0.0	0.0	0.0	0
W _{Ma}	95.0	0.0	0.0	0.0	0
R _{Ma}	39.92	58.74	27.99	65.07	25
J _{Ma}	81.26	-2.89	71.56	71.62	92
G _{Ma}	52.23	-42.42	13.6	44.55	162
B _{Ma}	30.57	1.41	-46.47	46.49	272

Daten für Maximalfarbe (Ma):

LAB^*LAB^*Ma : 74 17 67

LAB^*LCH^*Ma : 74 69 75

lab^*rgb^*Ma : 1.0 0.75 0.0

lab^*olv^*Ma : 1.0 0.68 0.0

Dreiecks-Helligkeit i^*

%Umfang

$u^*_{rel} = 83$

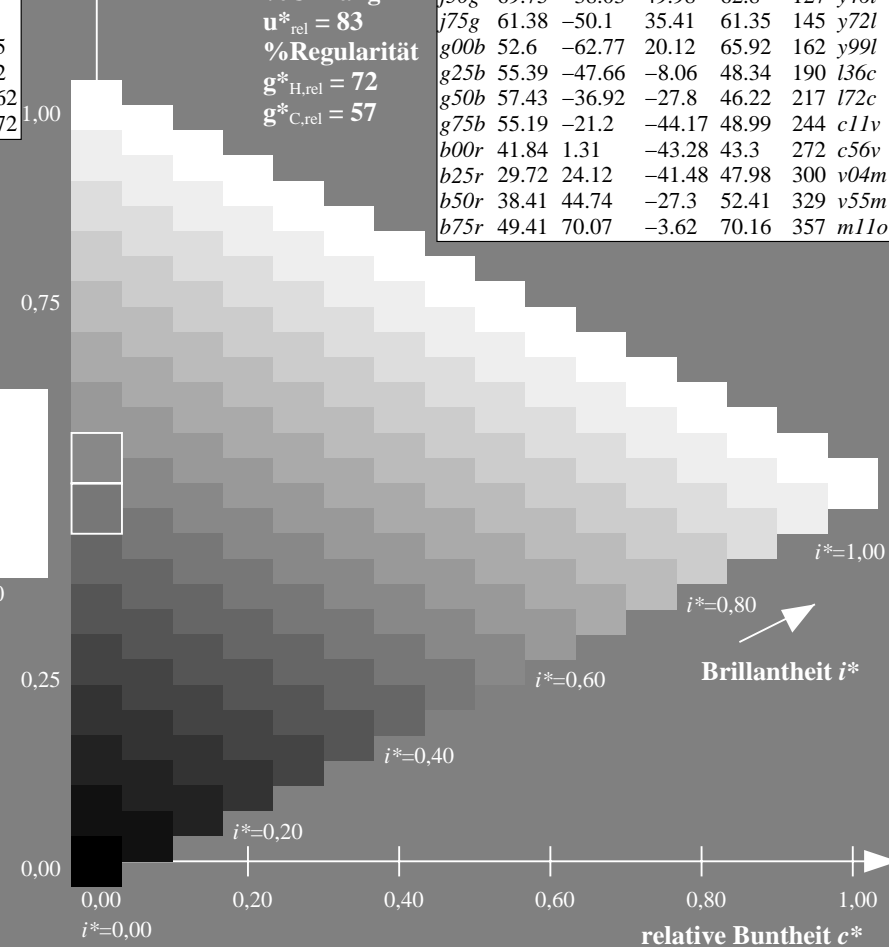
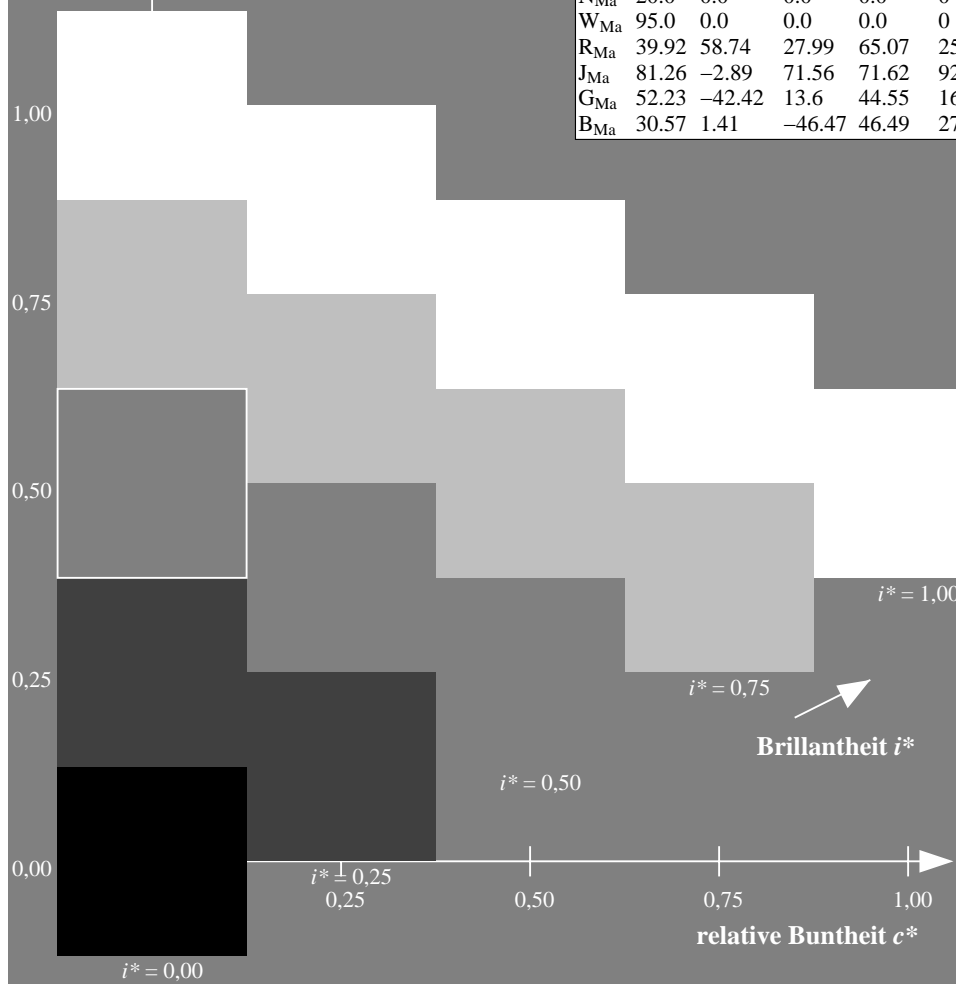
%Regularität

$g^*_{H,rel} = 72$

$g^*_{C,rel} = 57$

ORS20_95a; adaptierte CIELAB-Daten

u^*_e	$L^*=L^*_a$	a^*_a	b^*_a	$C^*_{ab,a}$	$h^*_{ab,a}$	u^*_d
r00j	48.83	63.91	30.45	70.79	25	m84o
r25j	55.53	50.37	45.65	67.97	42	o17y
r50j	64.76	33.86	56.12	65.55	59	o42y
r75j	74.12	17.13	66.74	68.9	76	o67y
j00g	85.5	-3.22	79.65	79.72	92	o92y
j25g	79.45	-24.05	66.85	71.04	110	y20l
j50g	69.75	-38.03	49.98	62.8	127	y46l
j75g	61.38	-50.1	35.41	61.35	145	y72l
g00b	52.6	-62.77	20.12	65.92	162	y99l
g25b	55.39	-47.66	-8.06	48.34	190	l36c
g50b	57.43	-36.92	-27.8	46.22	217	l72c
g75b	55.19	-21.2	-44.17	48.99	244	c11v
b00r	41.84	1.31	-43.28	43.3	272	c56v
b25r	29.72	24.12	-41.48	47.98	300	v04m
b50r	38.41	44.74	-27.3	52.41	329	v55m
b75r	49.41	70.07	-3.62	70.16	357	m11o



Ein und Ausgabe: Farbmetrisches Drucker-Reflektiv-System ORS20_95a für relativen CIELAB-Buntton $h^* = lab^*h^* = h_{ab}/360 = 0.256$

Daten für jede Farbe:

lab^*tch^* und lab^*icu^*

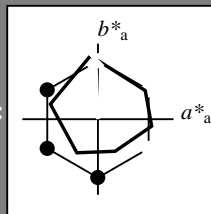
Bunttontexte:

$u_e^* = j00g$ $u_d^* = o92y$

Kontrastreduzierungsfaktor:

$c_R = 0.96$

Dreiecks-Helligkeit i^*



ORS20_95a; adaptierte CIELAB-Daten						
u_e^*	$L^*=L_a^*$	a_a^*	b_a^*	$C_{ab,a}^*$	$h_{ab,a}^*$	
O _{Ma}	48.71	62.56	37.91	73.15	31	
Y _{Ma}	89.25	-9.92	83.91	84.49	97	
L _{Ma}	52.5	-62.91	19.95	66.0	162	
C _{Ma}	59.15	-27.87	-44.43	52.45	238	
V _{Ma}	29.13	22.73	-42.44	48.14	298	
M _{Ma}	49.51	71.08	-9.19	71.67	353	
N _{Ma}	20.0	0.0	0.0	0.0	0	
W _{Ma}	95.0	0.0	0.0	0.0	0	
R _{Ma}	39.92	58.74	27.99	65.07	25	
J _{Ma}	81.26	-2.89	71.56	71.62	92	
G _{Ma}	52.23	-42.42	13.6	44.55	162	
B _{Ma}	30.57	1.41	-46.47	46.49	272	

Daten für Maximalfarbe (Ma):

LAB^*LAB^*Ma : 86 -3 80

LAB^*LCH^*Ma : 86 80 92

lab^*rgb^*Ma : 1.0 1.0 0.0

lab^*olv^*Ma : 1.0 0.93 0.0

Dreiecks-Helligkeit i^*

%Umfang

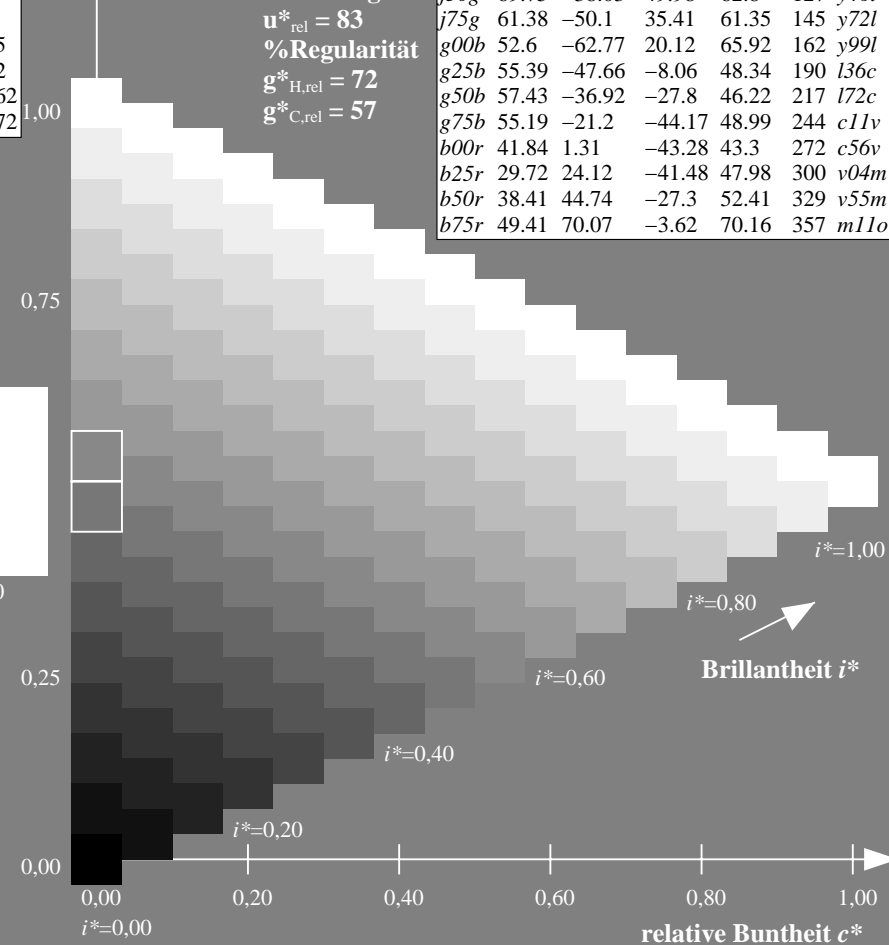
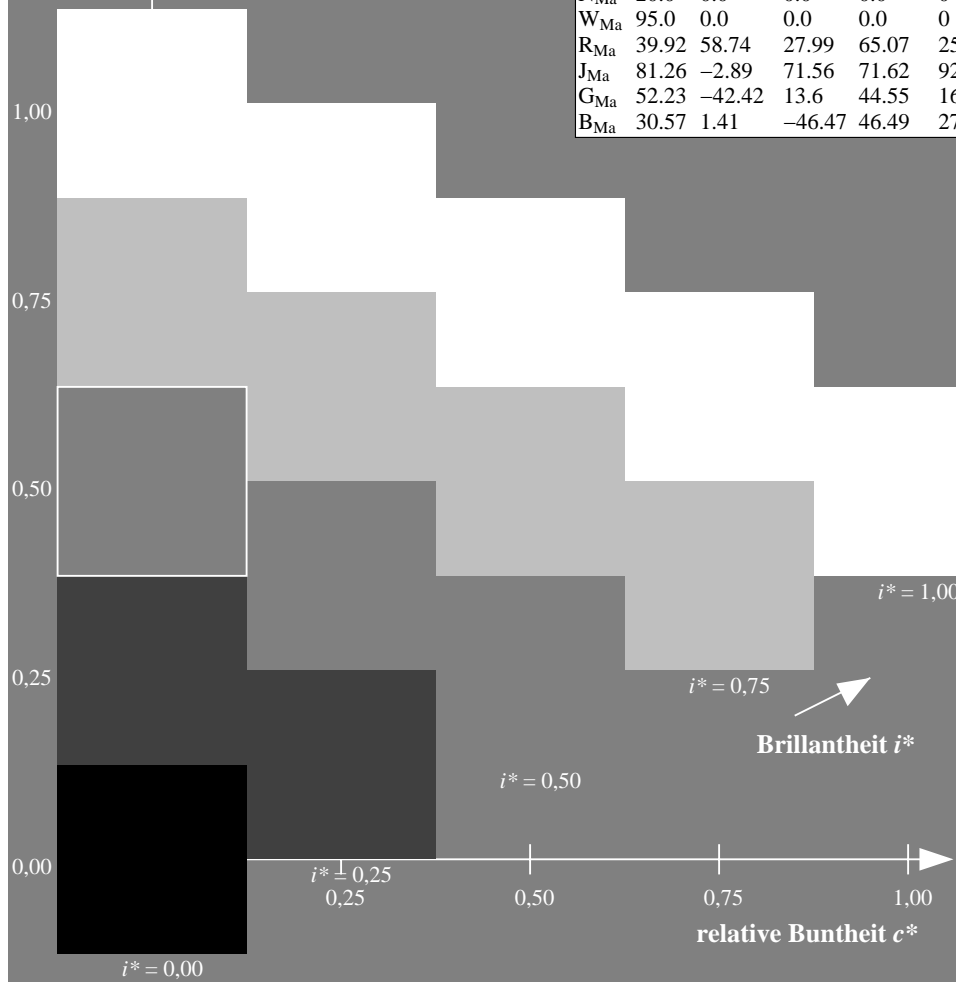
$u_{rel}^* = 83$

%Regularität

$g_{H,rel}^* = 72$

$g_{C,rel}^* = 57$

ORS20_95a; adaptierte CIELAB-Daten						
u_e^*	$L^*=L_a^*$	a_a^*	b_a^*	$C_{ab,a}^*$	$h_{ab,a}^*$	u_d^*
r00j	48.83	63.91	30.45	70.79	25	m84o
r25j	55.53	50.37	45.65	67.97	42	o17y
r50j	64.76	33.86	56.12	65.55	59	o42y
r75j	74.12	17.13	66.74	68.9	76	o67y
j00g	85.5	-3.22	79.65	79.72	92	o92y
j25g	79.45	-24.05	66.85	71.04	110	y20l
j50g	69.75	-38.03	49.98	62.8	127	y46l
j75g	61.38	-50.1	35.41	61.35	145	y72l
g00b	52.6	-62.77	20.12	65.92	162	y99l
g25b	55.39	-47.66	-8.06	48.34	190	l36c
g50b	57.43	-36.92	-27.8	46.22	217	l72c
g75b	55.19	-21.2	-44.17	48.99	244	c11v
b00r	41.84	1.31	-43.28	43.3	272	c56v
b25r	29.72	24.12	-41.48	47.98	300	v04m
b50r	38.41	44.74	-27.3	52.41	329	v55m
b75r	49.41	70.07	-3.62	70.16	357	m11o



Ein und Ausgabe: Farbmetrisches Drucker-Reflektiv-System ORS20_95a für relativen CIELAB-Buntton $h^* = lab^*h^* = h_{ab}/360 = 0.305$

Daten für jede Farbe:

lab^*tch^* und lab^*icu^*

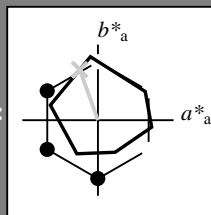
Bunttontexte:

$u^*_e = j25g$ $u^*_d = y20l$

Kontrastreduzierungsfaktor:

$c_R = 0.96$

Dreiecks-Helligkeit i^*



ORS20_95a; adaptierte CIELAB-Daten						
u^*_e	$L^*=L^*_a$	a^*_a	b^*_a	$C^*_{ab,a}$	$h^*_{ab,a}$	
O _{Ma}	48.71	62.56	37.91	73.15	31	
Y _{Ma}	89.25	-9.92	83.91	84.49	97	
L _{Ma}	52.5	-62.91	19.95	66.0	162	
C _{Ma}	59.15	-27.87	-44.43	52.45	238	
V _{Ma}	29.13	22.73	-42.44	48.14	298	
M _{Ma}	49.51	71.08	-9.19	71.67	353	
N _{Ma}	20.0	0.0	0.0	0.0	0	
W _{Ma}	95.0	0.0	0.0	0.0	0	
R _{Ma}	39.92	58.74	27.99	65.07	25	
J _{Ma}	81.26	-2.89	71.56	71.62	92	
G _{Ma}	52.23	-42.42	13.6	44.55	162	
B _{Ma}	30.57	1.41	-46.47	46.49	272	

Daten für Maximalfarbe (Ma):

$LAB^*LAB^*_{Ma}$: 79 -24 67

$LAB^*LCH^*_{Ma}$: 79 71 109

$lab^*rgb^*_{Ma}$: 0.75 1.0 0.0

$lab^*olv^*_{Ma}$: 0.8 1.0 0.0

Dreiecks-Helligkeit i^*

%Umfang

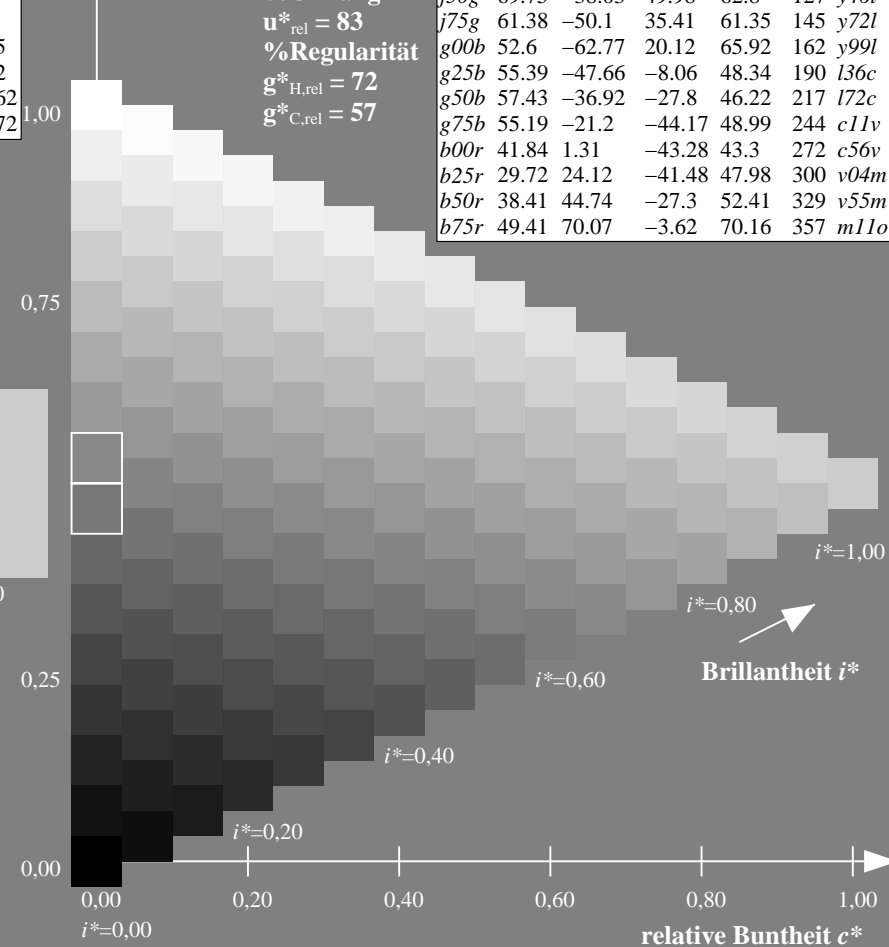
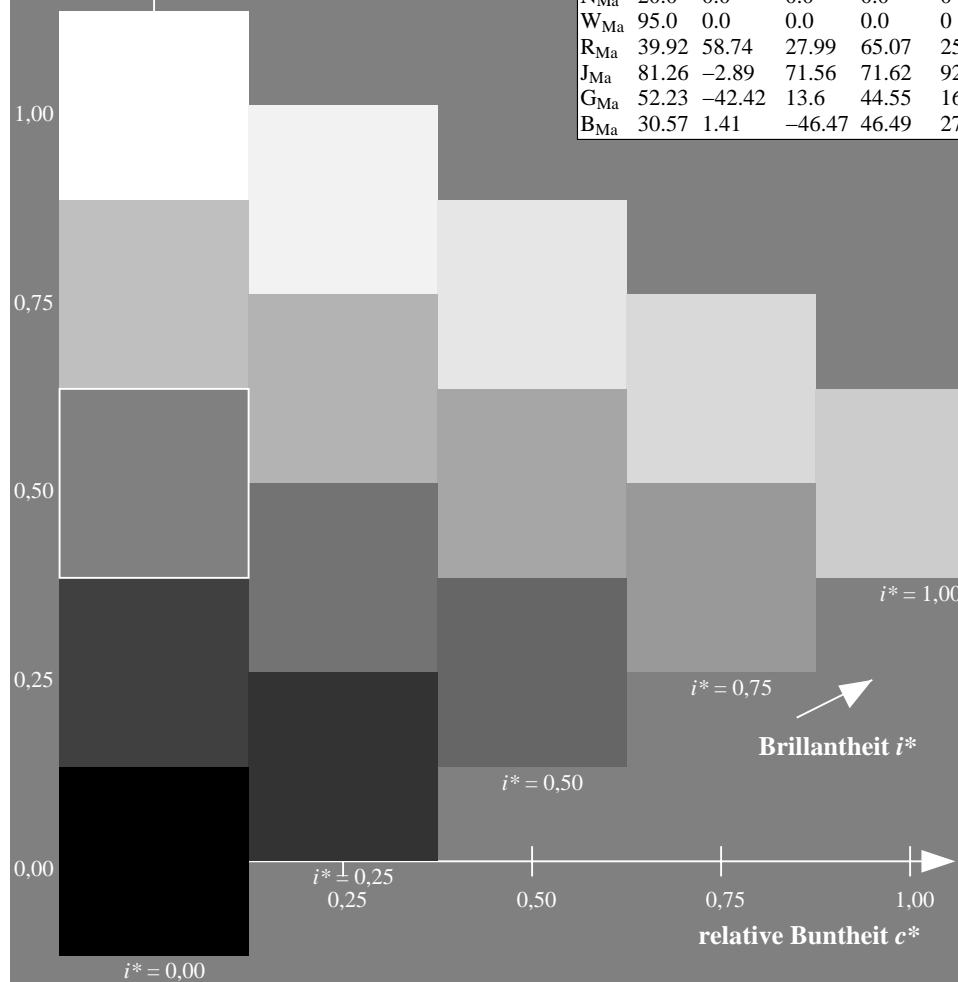
$u^*_{rel} = 83$

%Regularität

$g^*_{H,rel} = 72$

$g^*_{C,rel} = 57$

ORS20_95a; adaptierte CIELAB-Daten						
u^*_e	$L^*=L^*_a$	a^*_a	b^*_a	$C^*_{ab,a}$	$h^*_{ab,a}$	u^*_d
r00j	48.83	63.91	30.45	70.79	25	m84o
r25j	55.53	50.37	45.65	67.97	42	o17y
r50j	64.76	33.86	56.12	65.55	59	o42y
r75j	74.12	17.13	66.74	68.9	76	o67y
j00g	85.5	-3.22	79.65	79.72	92	o92y
j25g	79.45	-24.05	66.85	71.04	110	y20l
j50g	69.75	-38.03	49.98	62.8	127	y46l
j75g	61.38	-50.1	35.41	61.35	145	y72l
g00b	52.6	-62.77	20.12	65.92	162	y99l
g25b	55.39	-47.66	-8.06	48.34	190	l36c
g50b	57.43	-36.92	-27.8	46.22	217	l72c
g75b	55.19	-21.2	-44.17	48.99	244	c11v
b00r	41.84	1.31	-43.28	43.3	272	c56v
b25r	29.72	24.12	-41.48	47.98	300	v04m
b50r	38.41	44.74	-27.3	52.41	329	v55m
b75r	49.41	70.07	-3.62	70.16	357	m11o



Ein und Ausgabe: Farbmetrisches Drucker-Reflektiv-System ORS20_95a für relativen CIELAB-Buntton $h^* = lab^*h^* = h_{ab}/360 = 0.354$

Daten für jede Farbe:

lab^*tch^* und lab^*icu^*

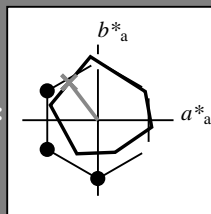
Bunttontexte:

$u^*_e = j50g$ $u^*_d = y46l$

Kontrastreduzierungsfaktor:

$c_R = 0.96$

Dreiecks-Helligkeit i^*



ORS20_95a; adaptierte CIELAB-Daten						
u^*_e	$L^*=L^*_a$	a^*_a	b^*_a	$C^*_{ab,a}$	$h^*_{ab,a}$	
O _{Ma}	48.71	62.56	37.91	73.15	31	
Y _{Ma}	89.25	-9.92	83.91	84.49	97	
L _{Ma}	52.5	-62.91	19.95	66.0	162	
C _{Ma}	59.15	-27.87	-44.43	52.45	238	
V _{Ma}	29.13	22.73	-42.44	48.14	298	
M _{Ma}	49.51	71.08	-9.19	71.67	353	
N _{Ma}	20.0	0.0	0.0	0.0	0	
W _{Ma}	95.0	0.0	0.0	0.0	0	
R _{Ma}	39.92	58.74	27.99	65.07	25	
J _{Ma}	81.26	-2.89	71.56	71.62	92	
G _{Ma}	52.23	-42.42	13.6	44.55	162	
B _{Ma}	30.57	1.41	-46.47	46.49	272	

Daten für Maximalfarbe (Ma):

$LAB^*LAB^*_{Ma}$: 70 -38 50

$LAB^*LCH^*_{Ma}$: 70 63 127

$lab^*rgb^*_{Ma}$: 0.5 1.0 0.0

$lab^*olv^*_{Ma}$: 0.54 1.0 0.0

Dreiecks-Helligkeit i^*

%Umfang

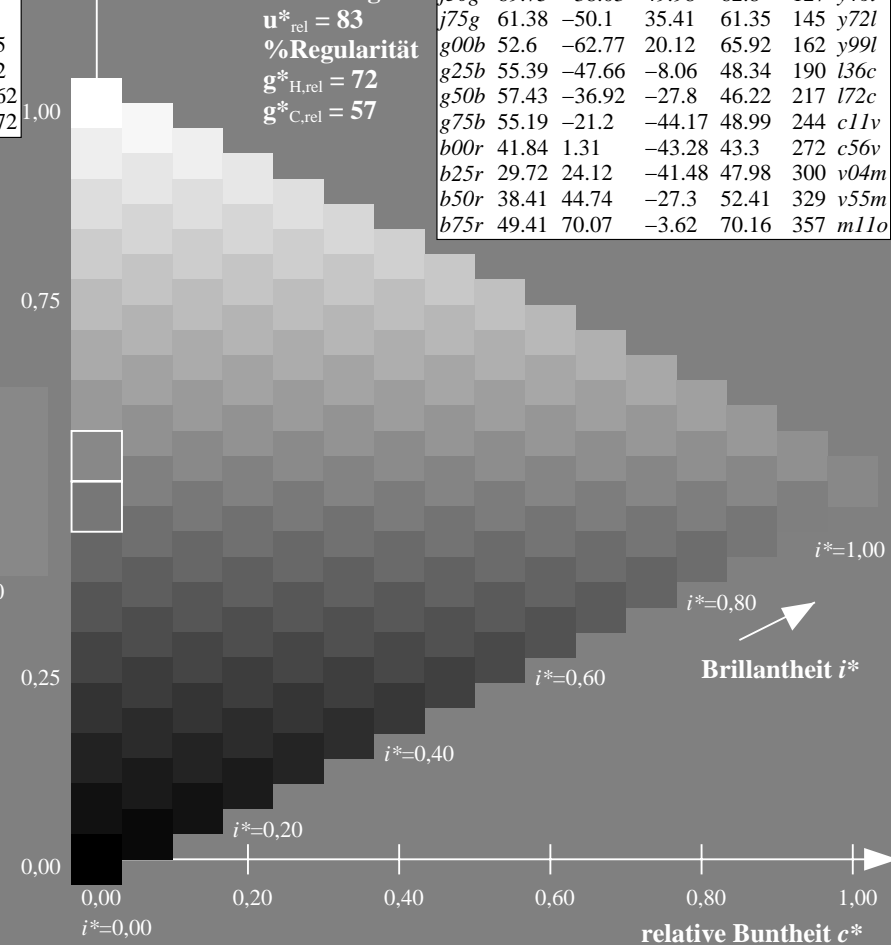
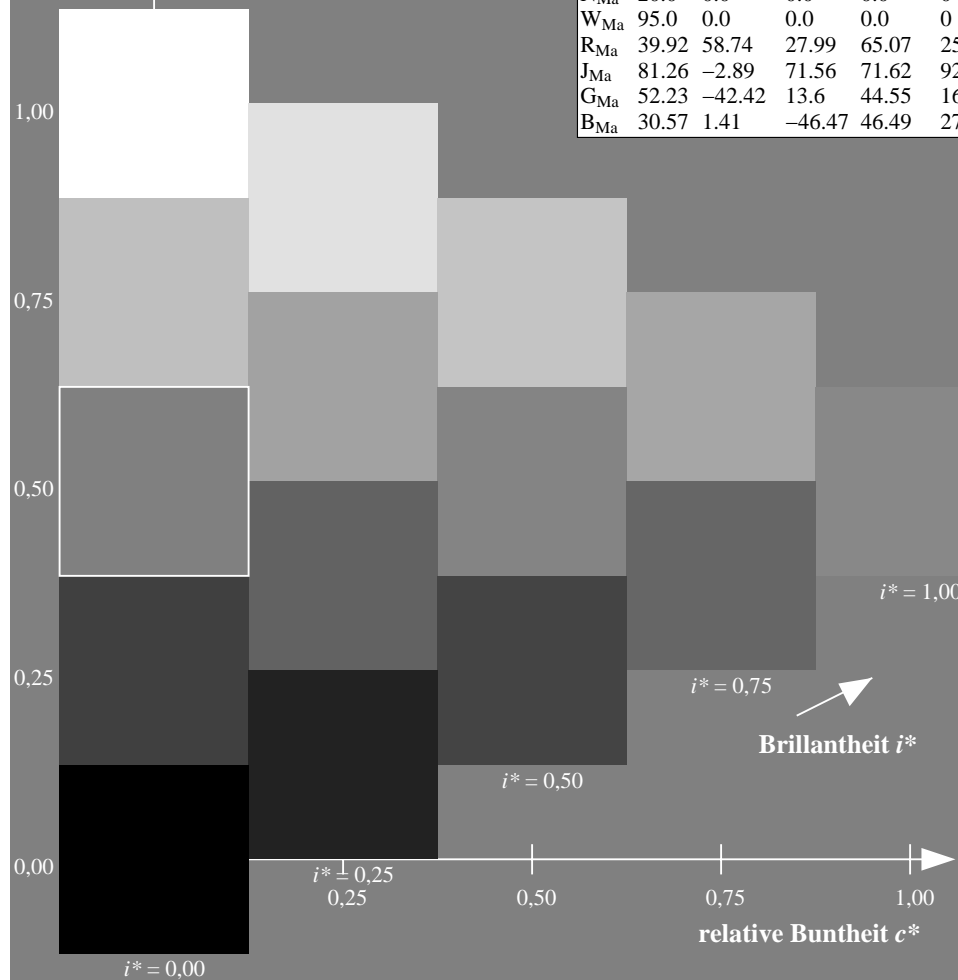
$u^*_{rel} = 83$

%Regularität

$g^*_{H,rel} = 72$

$g^*_{C,rel} = 57$

ORS20_95a; adaptierte CIELAB-Daten						
u^*_e	$L^*=L^*_a$	a^*_a	b^*_a	$C^*_{ab,a}$	$h^*_{ab,a}$	u^*_d
r00j	48.83	63.91	30.45	70.79	25	m84o
r25j	55.53	50.37	45.65	67.97	42	o17y
r50j	64.76	33.86	56.12	65.55	59	o42y
r75j	74.12	17.13	66.74	68.9	76	o67y
j00g	85.5	-3.22	79.65	79.72	92	o92y
j25g	79.45	-24.05	66.85	71.04	110	y20l
j50g	69.75	-38.03	49.98	62.8	127	y46l
j75g	61.38	-50.1	35.41	61.35	145	y72l
g00b	52.6	-62.77	20.12	65.92	162	y99l
g25b	55.39	-47.66	-8.06	48.34	190	l36c
g50b	57.43	-36.92	-27.8	46.22	217	l72c
g75b	55.19	-21.2	-44.17	48.99	244	c11v
b00r	41.84	1.31	-43.28	43.3	272	c56v
b25r	29.72	24.12	-41.48	47.98	300	v04m
b50r	38.41	44.74	-27.3	52.41	329	v55m
b75r	49.41	70.07	-3.62	70.16	357	m11o



Ein und Ausgabe: Farbmetrisches Drucker-Reflektiv-System ORS20_95a für relativen CIELAB-Buntton $h^* = lab^*h^* = h_{ab}/360 = 0.402$

Daten für jede Farbe:

lab^*tch^* und lab^*icu^*

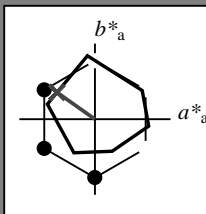
Bunttontexte:

$u^*_e = j75g$ $u^*_d = y72l$

Kontrastreduzierungsfaktor:

$c_R = 0.96$

Dreiecks-Helligkeit i^*



ORS20_95a; adaptierte CIELAB-Daten						
u^*_e	$L^*=L^*_a$	a^*_a	b^*_a	$C^*_{ab,a}$	$h^*_{ab,a}$	
O _{Ma}	48.71	62.56	37.91	73.15	31	
Y _{Ma}	89.25	-9.92	83.91	84.49	97	
L _{Ma}	52.5	-62.91	19.95	66.0	162	
C _{Ma}	59.15	-27.87	-44.43	52.45	238	
V _{Ma}	29.13	22.73	-42.44	48.14	298	
M _{Ma}	49.51	71.08	-9.19	71.67	353	
N _{Ma}	20.0	0.0	0.0	0.0	0	
W _{Ma}	95.0	0.0	0.0	0.0	0	
R _{Ma}	39.92	58.74	27.99	65.07	25	
J _{Ma}	81.26	-2.89	71.56	71.62	92	
G _{Ma}	52.23	-42.42	13.6	44.55	162	
B _{Ma}	30.57	1.41	-46.47	46.49	272	

Daten für Maximalfarbe (Ma):

$LAB^*LAB^*_{Ma}$: 61 -50 35

$LAB^*LCH^*_{Ma}$: 61 61 144

$lab^*rgb^*_{Ma}$: 0.25 1.0 0.0

$lab^*olv^*_{Ma}$: 0.27 1.0 0.0

Dreiecks-Helligkeit i^*

%Umfang

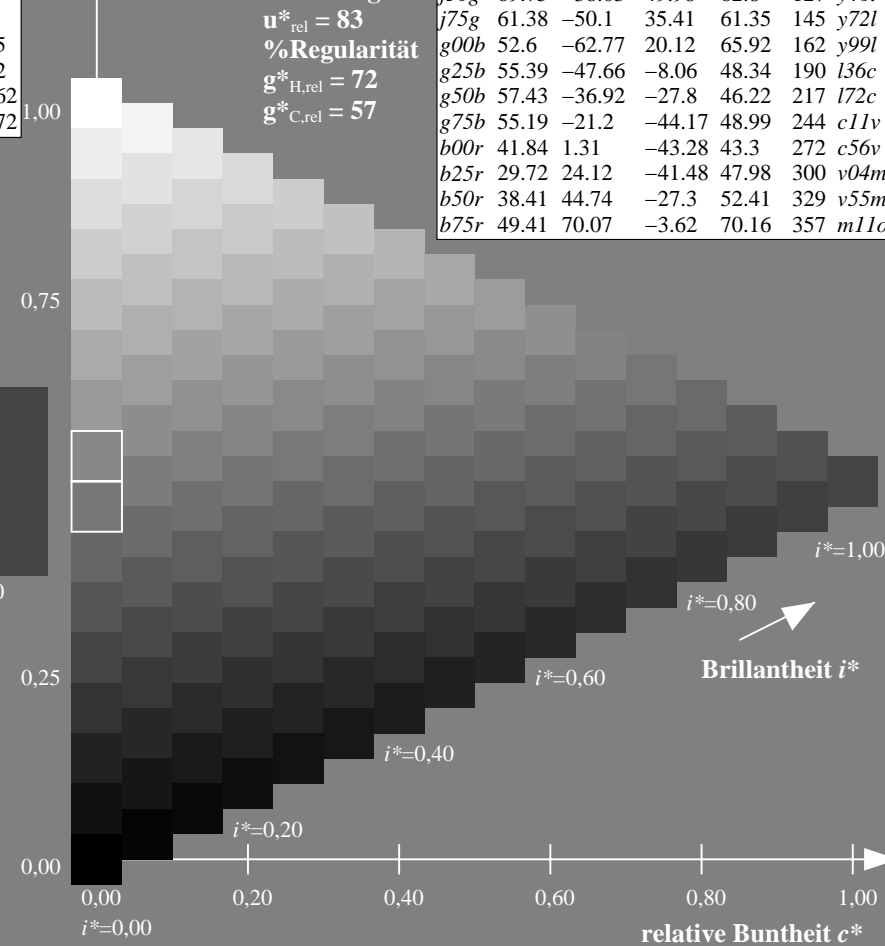
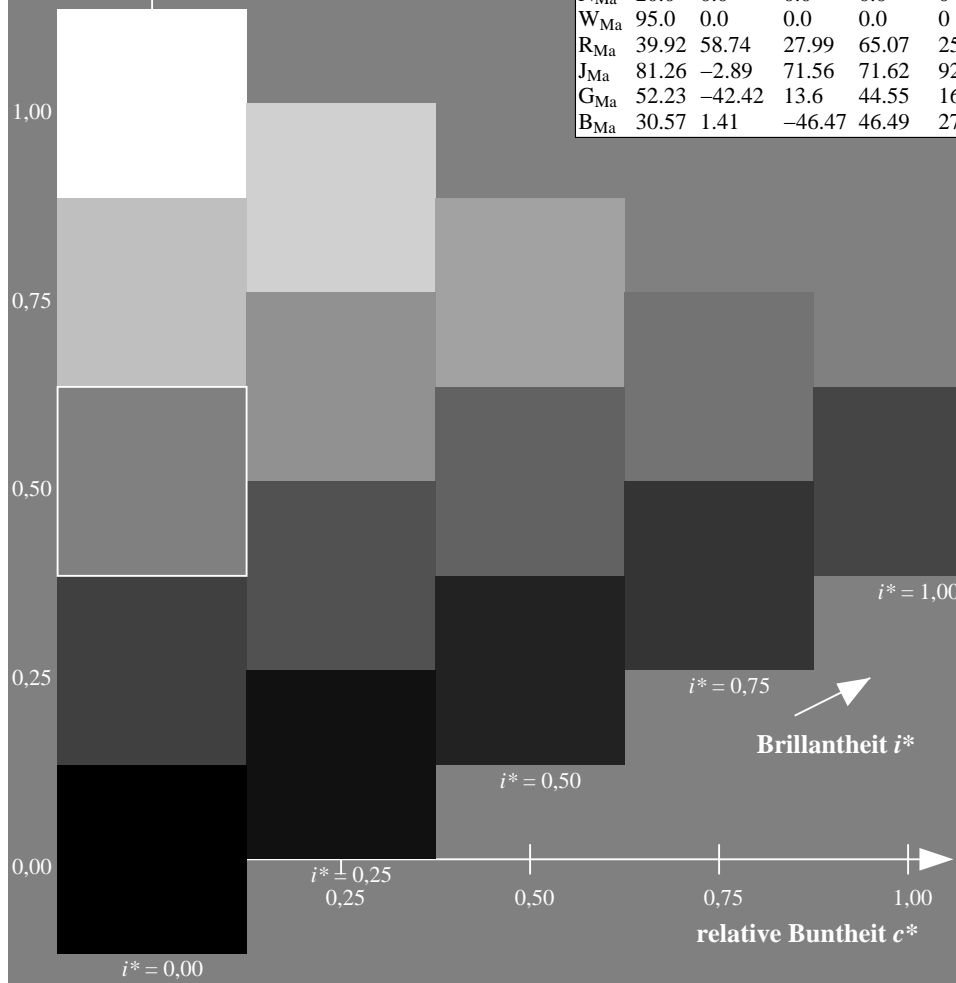
$u^*_{rel} = 83$

%Regularität

$g^*_{H,rel} = 72$

$g^*_{C,rel} = 57$

ORS20_95a; adaptierte CIELAB-Daten						
u^*_e	$L^*=L^*_a$	a^*_a	b^*_a	$C^*_{ab,a}$	$h^*_{ab,a}$	u^*_d
r00j	48.83	63.91	30.45	70.79	25	m84o
r25j	55.53	50.37	45.65	67.97	42	o17y
r50j	64.76	33.86	56.12	65.55	59	o42y
r75j	74.12	17.13	66.74	68.9	76	o67y
j00g	85.5	-3.22	79.65	79.72	92	o92y
j25g	79.45	-24.05	66.85	71.04	110	y20l
j50g	69.75	-38.03	49.98	62.8	127	y46l
j75g	61.38	-50.1	35.41	61.35	145	y72l
g00b	52.6	-62.77	20.12	65.92	162	y99l
g25b	55.39	-47.66	-8.06	48.34	190	l36c
g50b	57.43	-36.92	-27.8	46.22	217	l72c
g75b	55.19	-21.2	-44.17	48.99	244	c11v
b00r	41.84	1.31	-43.28	43.3	272	c56v
b25r	29.72	24.12	-41.48	47.98	300	v04m
b50r	38.41	44.74	-27.3	52.41	329	v55m
b75r	49.41	70.07	-3.62	70.16	357	m11o



Ein und Ausgabe: Farbmetrisches Drucker-Reflektiv-System ORS20_95a für relativen CIELAB-Buntton $h^* = lab^*h^* = h_{ab}/360 = 0.451$

Daten für jede Farbe:

lab^*ch^* und lab^*icu^*

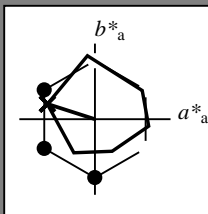
Bunttontexte:

$u^*_e = g00b$ $u^*_d = y99l$

Kontrastreduzierungsfaktor:

$c_R = 0.96$

Dreiecks-Helligkeit i^*



ORS20_95a; adaptierte CIELAB-Daten						
	u^*_e	$L^*=L^*_a$	a^*_a	b^*_a	$C^*_{ab,a}$	$h^*_{ab,a}$
O _{Ma}	48.71	62.56	37.91	73.15	31	
Y _{Ma}	89.25	-9.92	83.91	84.49	97	
L _{Ma}	52.5	-62.91	19.95	66.0	162	
C _{Ma}	59.15	-27.87	-44.43	52.45	238	
V _{Ma}	29.13	22.73	-42.44	48.14	298	
M _{Ma}	49.51	71.08	-9.19	71.67	353	
N _{Ma}	20.0	0.0	0.0	0.0	0	
W _{Ma}	95.0	0.0	0.0	0.0	0	
R _{Ma}	39.92	58.74	27.99	65.07	25	
J _{Ma}	81.26	-2.89	71.56	71.62	92	
G _{Ma}	52.23	-42.42	13.6	44.55	162	
B _{Ma}	30.57	1.41	-46.47	46.49	272	

Daten für Maximalfarbe (Ma):

LAB^*LAB^*Ma : 53 -63 20

LAB^*LCH^*Ma : 53 66 162

lab^*rgb^*Ma : 0.0 1.0 0.0

lab^*olv^*Ma : 0.0 1.0 0.0

Dreiecks-Helligkeit i^*

%Umfang

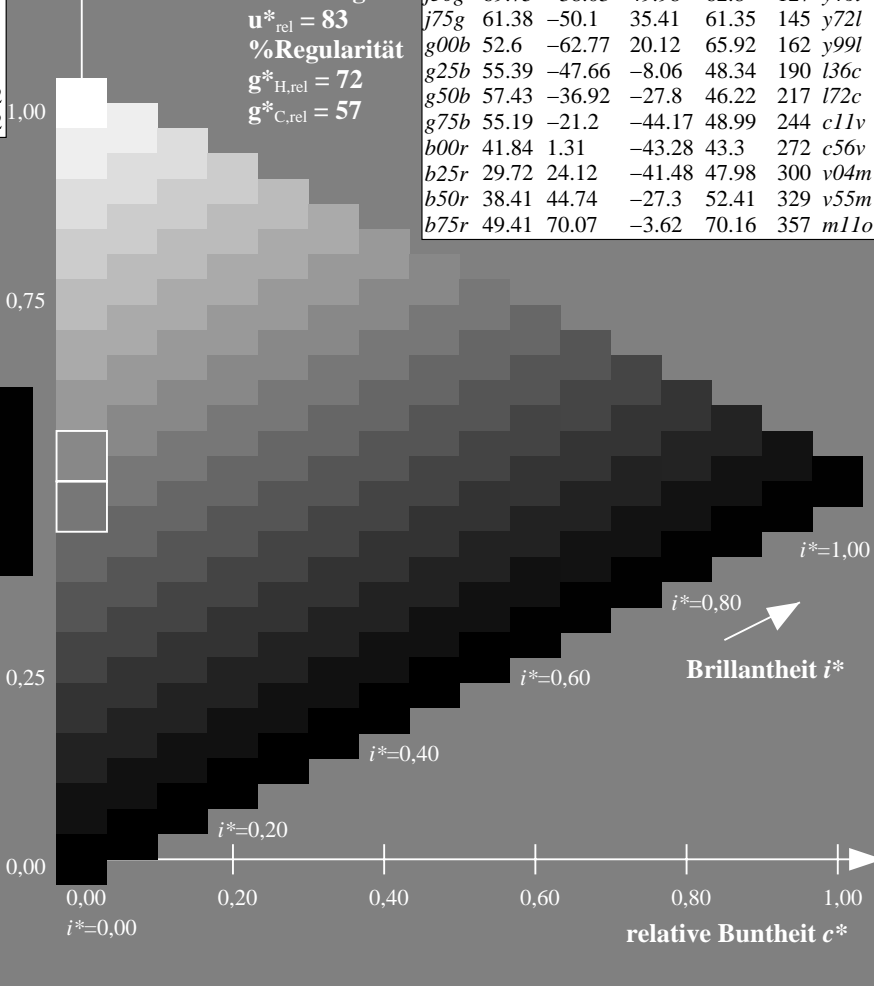
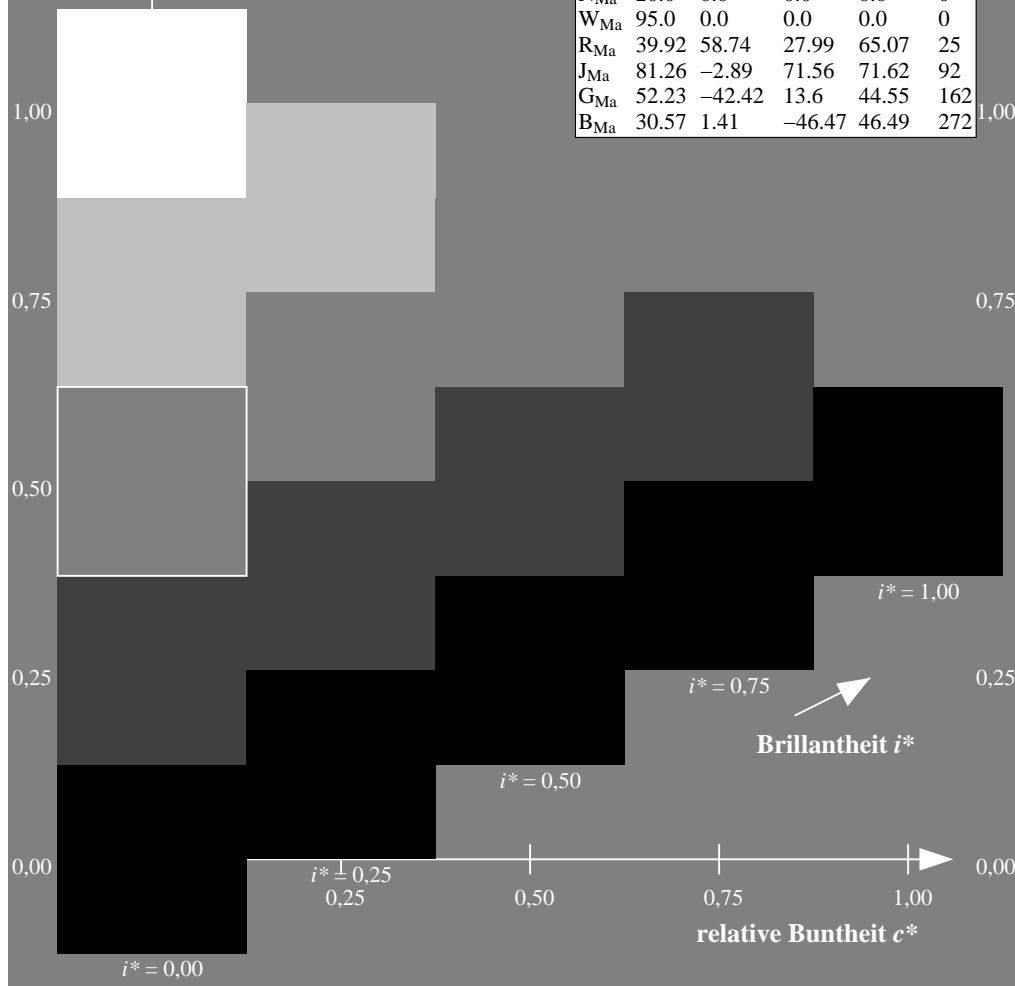
$u^*_{rel} = 83$

%Regularität

$g^*_{H,rel} = 72$

$g^*_{C,rel} = 57$

ORS20_95a; adaptierte CIELAB-Daten						
	u^*_e	$L^*=L^*_a$	a^*_a	b^*_a	$C^*_{ab,a}$	$h^*_{ab,a}$ u^*_d
r00j	48.83	63.91	30.45	70.79	25	m84o
r25j	55.53	50.37	45.65	67.97	42	o17y
r50j	64.76	33.86	56.12	65.55	59	o42y
r75j	74.12	17.13	66.74	68.9	76	o67y
j00g	85.5	-3.22	79.65	79.72	92	o92y
j25g	79.45	-24.05	66.85	71.04	110	y20l
j50g	69.75	-38.03	49.98	62.8	127	y46l
j75g	61.38	-50.1	35.41	61.35	145	y72l
g00b	52.6	-62.77	20.12	65.92	162	y99l
g25b	55.39	-47.66	-8.06	48.34	190	l36c
g50b	57.43	-36.92	-27.8	46.22	217	l72c
g75b	55.19	-21.2	-44.17	48.99	244	c11v
b00r	41.84	1.31	-43.28	43.3	272	c56v
b25r	29.72	24.12	-41.48	47.98	300	v04m
b50r	38.41	44.74	-27.3	52.41	329	v55m
b75r	49.41	70.07	-3.62	70.16	357	m11o



Ein und Ausgabe: Farbmétrisches Drucker-Reflektiv-System ORS20_95a für relativen CIELAB-Buntton $h^* = lab^*h^* = h_{ab}/360 = 0.527$

Daten für jede Farbe:

lab^*ch^* und lab^*icu^*

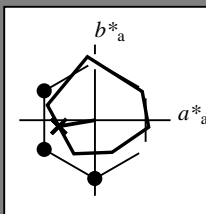
Bunttontexte:

$u^*_e = g25b$ $u^*_d = l36c$

Kontrastreduzierungsfaktor:

$c_R = 0.96$

Dreiecks-Helligkeit i^*



ORS20_95a; adaptierte CIELAB-Daten						
	u^*_e	$L^*=L^*_a$	a^*_a	b^*_a	$C^*_{ab,a}$	$h^*_{ab,a}$
O _{Ma}	48.71	62.56	37.91	73.15	31	
Y _{Ma}	89.25	-9.92	83.91	84.49	97	
L _{Ma}	52.5	-62.91	19.95	66.0	162	
C _{Ma}	59.15	-27.87	-44.43	52.45	238	
V _{Ma}	29.13	22.73	-42.44	48.14	298	
M _{Ma}	49.51	71.08	-9.19	71.67	353	
N _{Ma}	20.0	0.0	0.0	0.0	0	
W _{Ma}	95.0	0.0	0.0	0.0	0	
R _{Ma}	39.92	58.74	27.99	65.07	25	
J _{Ma}	81.26	-2.89	71.56	71.62	92	
G _{Ma}	52.23	-42.42	13.6	44.55	162	
B _{Ma}	30.57	1.41	-46.47	46.49	272	

Daten für Maximalfarbe (Ma):

$LAB^*LAB^*_{Ma}$: 55 -48 -8

$LAB^*LCH^*_{Ma}$: 55 48 189

$lab^*rgb^*_{Ma}$: 0.0 1.0 0.5

$lab^*olv^*_{Ma}$: 0.0 1.0 0.36

Dreiecks-Helligkeit i^*

%Umfang

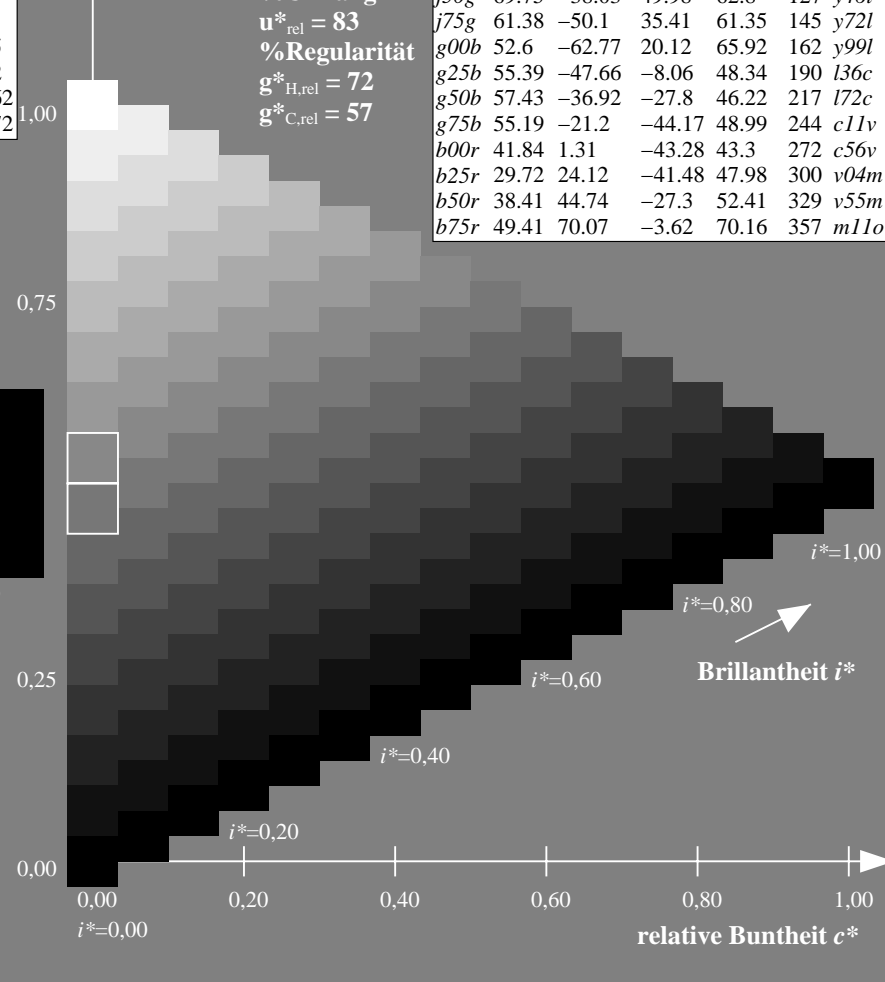
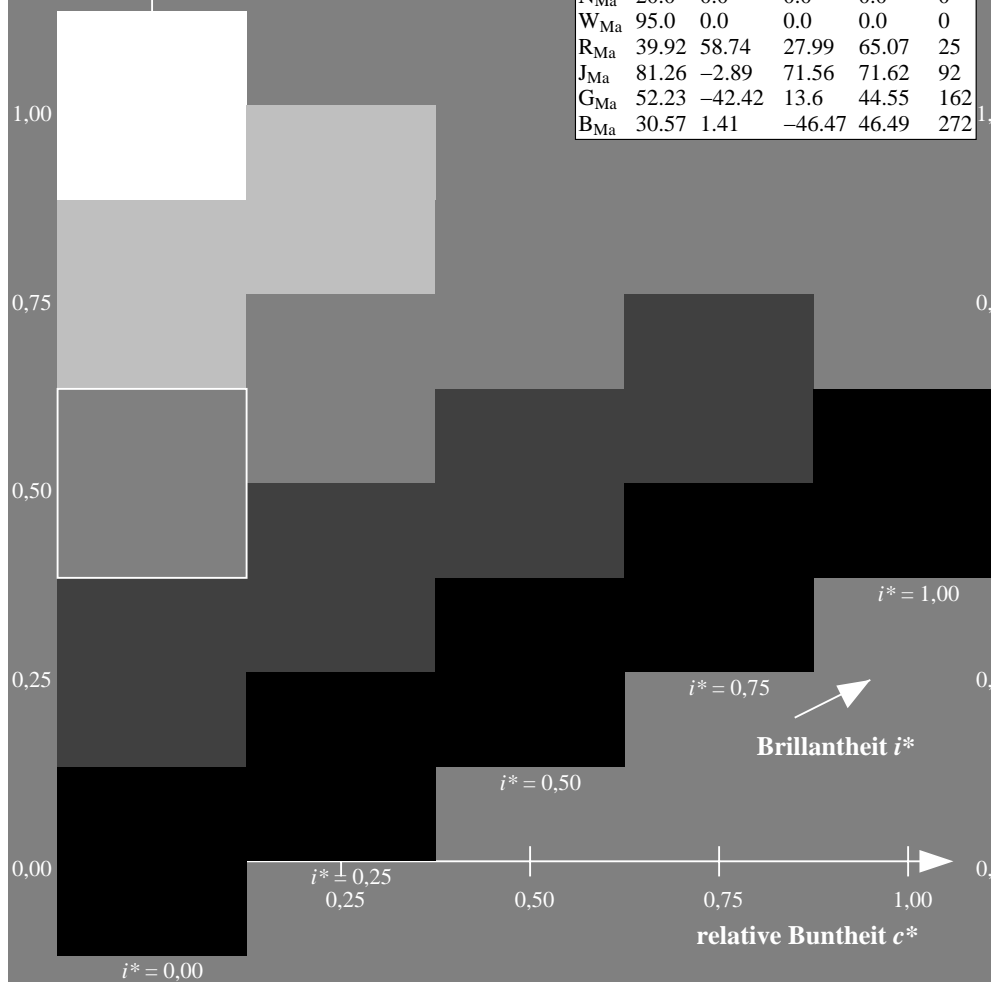
$u^*_{rel} = 83$

%Regularität

$g^*_{H,rel} = 72$

$g^*_{C,rel} = 57$

ORS20_95a; adaptierte CIELAB-Daten						
	u^*_e	$L^*=L^*_a$	a^*_a	b^*_a	$C^*_{ab,a}$	$h^*_{ab,a}$ u^*_d
r00j	48.83	63.91	30.45	70.79	25	m84o
r25j	55.53	50.37	45.65	67.97	42	o17y
r50j	64.76	33.86	56.12	65.55	59	o42y
r75j	74.12	17.13	66.74	68.9	76	o67y
j00g	85.5	-3.22	79.65	79.72	92	o92y
j25g	79.45	-24.05	66.85	71.04	110	y20l
j50g	69.75	-38.03	49.98	62.8	127	y46l
j75g	61.38	-50.1	35.41	61.35	145	y72l
g00b	52.6	-62.77	20.12	65.92	162	y99l
g25b	55.39	-47.66	-8.06	48.34	190	l36c
g50b	57.43	-36.92	-27.8	46.22	217	l72c
g75b	55.19	-21.2	-44.17	48.99	244	c11v
b00r	41.84	1.31	-43.28	43.3	272	c56v
b25r	29.72	24.12	-41.48	47.98	300	v04m
b50r	38.41	44.74	-27.3	52.41	329	v55m
b75r	49.41	70.07	-3.62	70.16	357	m11o



Ein und Ausgabe: Farbmetrisches Drucker-Reflektiv-System ORS20_95a für relativen CIELAB-Buntton $h^* = lab^*h^* = h_{ab}/360 = 0.603$

Daten für jede Farbe:

lab^*ch^* und lab^*icu^*

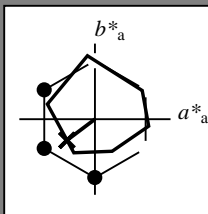
Bunttontexte:

$u^*_e = g50b$ $u^*_d = l72c$

Kontrastreduzierungsfaktor:

$c_R = 0.96$

Dreiecks-Helligkeit i^*



ORS20_95a; adaptierte CIELAB-Daten						
u^*_e	$L^*=L^*_a$	a^*_a	b^*_a	$C^*_{ab,a}$	$h^*_{ab,a}$	
O _{Ma}	48.71	62.56	37.91	73.15	31	
Y _{Ma}	89.25	-9.92	83.91	84.49	97	
L _{Ma}	52.5	-62.91	19.95	66.0	162	
C _{Ma}	59.15	-27.87	-44.43	52.45	238	
V _{Ma}	29.13	22.73	-42.44	48.14	298	
M _{Ma}	49.51	71.08	-9.19	71.67	353	
N _{Ma}	20.0	0.0	0.0	0.0	0	
W _{Ma}	95.0	0.0	0.0	0.0	0	
R _{Ma}	39.92	58.74	27.99	65.07	25	
J _{Ma}	81.26	-2.89	71.56	71.62	92	
G _{Ma}	52.23	-42.42	13.6	44.55	162	
B _{Ma}	30.57	1.41	-46.47	46.49	272	

Daten für Maximalfarbe (Ma):

$LAB^*LAB^*_{Ma}$: 57 -37 -28

$LAB^*LCH^*_{Ma}$: 57 46 216

$lab^*rgb^*_{Ma}$: 0.0 1.0 1.0

$lab^*olv^*_{Ma}$: 0.0 1.0 0.72

Dreiecks-Helligkeit i^*

%Umfang

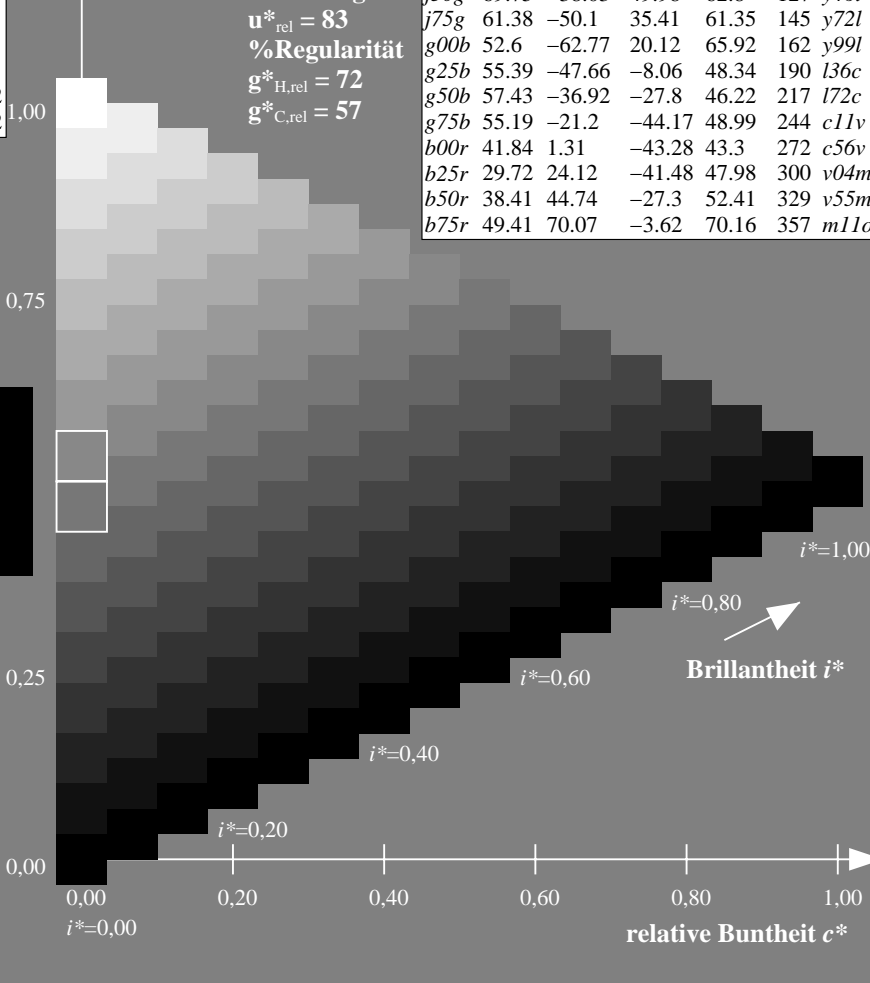
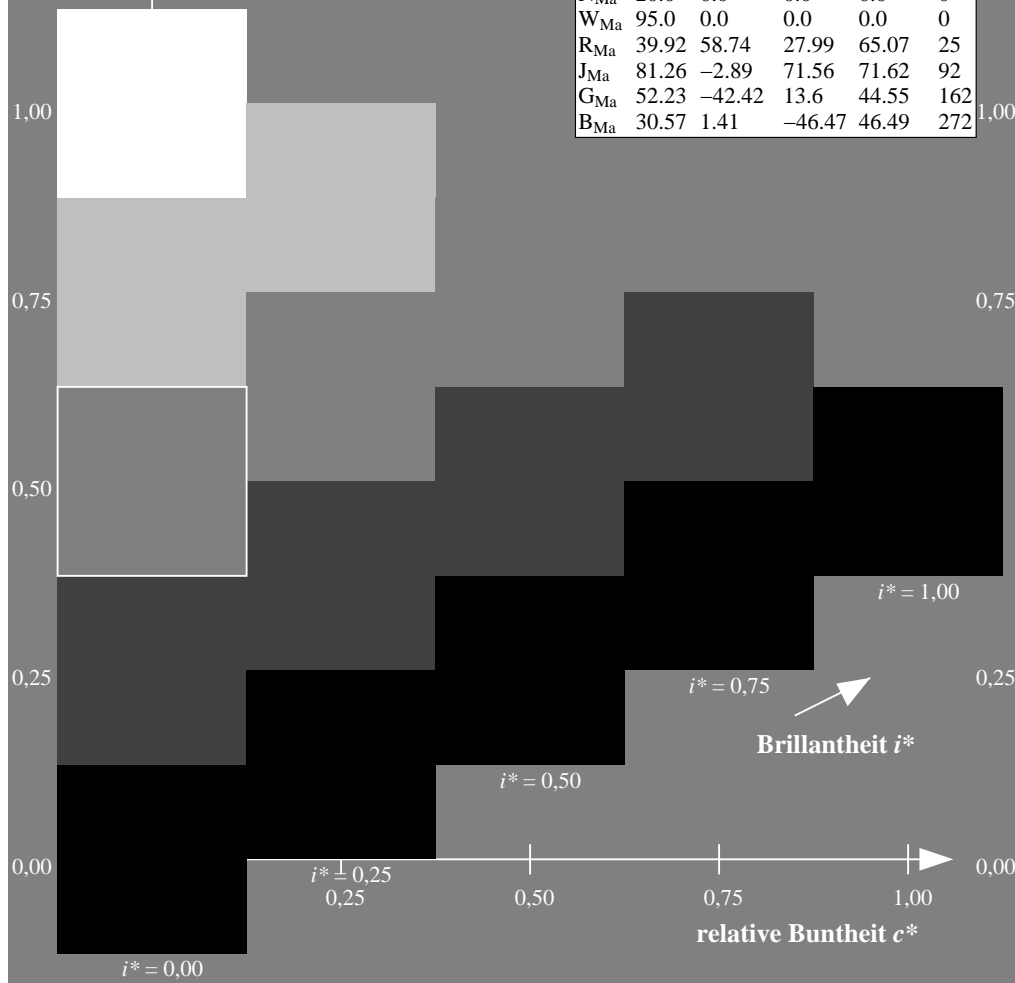
$u^*_{rel} = 83$

%Regularität

$g^*_{H,rel} = 72$

$g^*_{C,rel} = 57$

ORS20_95a; adaptierte CIELAB-Daten						
u^*_e	$L^*=L^*_a$	a^*_a	b^*_a	$C^*_{ab,a}$	$h^*_{ab,a}$	u^*_d
r00j	48.83	63.91	30.45	70.79	25	m84o
r25j	55.53	50.37	45.65	67.97	42	o17y
r50j	64.76	33.86	56.12	65.55	59	o42y
r75j	74.12	17.13	66.74	68.9	76	o67y
j00g	85.5	-3.22	79.65	79.72	92	o92y
j25g	79.45	-24.05	66.85	71.04	110	y20l
j50g	69.75	-38.03	49.98	62.8	127	y46l
j75g	61.38	-50.1	35.41	61.35	145	y72l
g00b	52.6	-62.77	20.12	65.92	162	y99l
g25b	55.39	-47.66	-8.06	48.34	190	l36c
g50b	57.43	-36.92	-27.8	46.22	217	l72c
g75b	55.19	-21.2	-44.17	48.99	244	c11v
b00r	41.84	1.31	-43.28	43.3	272	c56v
b25r	29.72	24.12	-41.48	47.98	300	v04m
b50r	38.41	44.74	-27.3	52.41	329	v55m
b75r	49.41	70.07	-3.62	70.16	357	m11o



Ein und Ausgabe: Farbmatisches Drucker-Reflektiv-System ORS20_95a für relativen CIELAB-Buntton $h^* = lab^*h^* = h_{ab}/360 = 0.679$

Daten für jede Farbe:

lab^*ch^* und lab^*icu^*

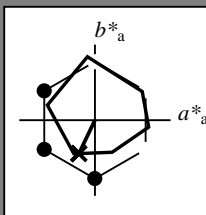
Bunttontexte:

$u^*_e = g75b$ $u^*_d = c11v$

Kontrastreduzierungsfaktor:

$c_R = 0.96$

Dreiecks-Helligkeit i^*



ORS20_95a; adaptierte CIELAB-Daten

u^*_e	$L^*=L^*_a$	a^*_a	b^*_a	$C^*_{ab,a}$	$h^*_{ab,a}$
O _{Ma}	48.71	62.56	37.91	73.15	31
Y _{Ma}	89.25	-9.92	83.91	84.49	97
L _{Ma}	52.5	-62.91	19.95	66.0	162
C _{Ma}	59.15	-27.87	-44.43	52.45	238
V _{Ma}	29.13	22.73	-42.44	48.14	298
M _{Ma}	49.51	71.08	-9.19	71.67	353
N _{Ma}	20.0	0.0	0.0	0.0	0
W _{Ma}	95.0	0.0	0.0	0.0	0
R _{Ma}	39.92	58.74	27.99	65.07	25
J _{Ma}	81.26	-2.89	71.56	71.62	92
G _{Ma}	52.23	-42.42	13.6	44.55	162
B _{Ma}	30.57	1.41	-46.47	46.49	272

Daten für Maximalfarbe (Ma):

$LAB^*LAB^*_{Ma}$: 55 -21 -44

$LAB^*LCH^*_{Ma}$: 55 49 244

$lab^*rgb^*_{Ma}$: 0.0 0.5 1.0

$lab^*olv^*_{Ma}$: 0.0 0.89 1.0

Dreiecks-Helligkeit i^*

%Umfang

$u^*_{rel} = 83$

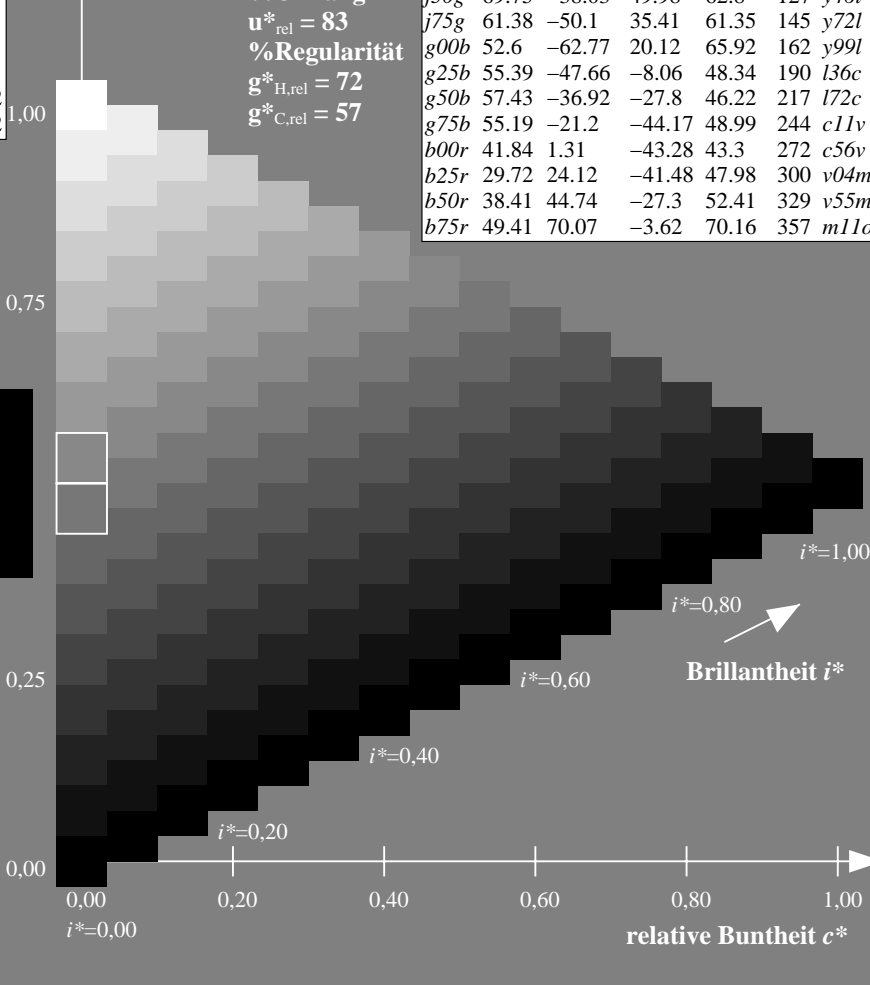
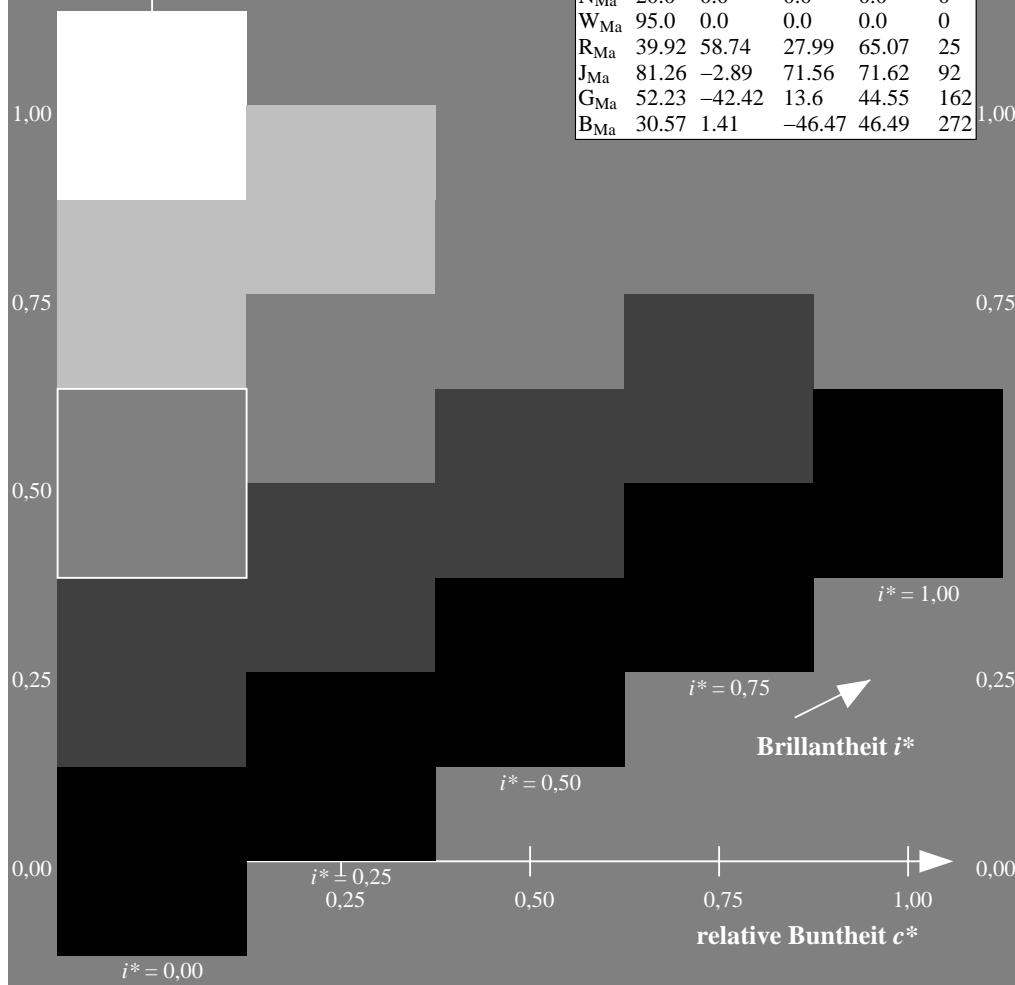
%Regularität

$g^*_{H,rel} = 72$

$g^*_{C,rel} = 57$

ORS20_95a; adaptierte CIELAB-Daten

u^*_e	$L^*=L^*_a$	a^*_a	b^*_a	$C^*_{ab,a}$	$h^*_{ab,a}$	u^*_d
r00j	48.83	63.91	30.45	70.79	25	m84o
r25j	55.53	50.37	45.65	67.97	42	o17y
r50j	64.76	33.86	56.12	65.55	59	o42y
r75j	74.12	17.13	66.74	68.9	76	o67y
j00g	85.5	-3.22	79.65	79.72	92	o92y
j25g	79.45	-24.05	66.85	71.04	110	y20l
j50g	69.75	-38.03	49.98	62.8	127	y46l
j75g	61.38	-50.1	35.41	61.35	145	y72l
g00b	52.6	-62.77	20.12	65.92	162	y99l
g25b	55.39	-47.66	-8.06	48.34	190	l36c
g50b	57.43	-36.92	-27.8	46.22	217	l72c
g75b	55.19	-21.2	-44.17	48.99	244	c11v
b00r	41.84	1.31	-43.28	43.3	272	c56v
b25r	29.72	24.12	-41.48	47.98	300	v04m
b50r	38.41	44.74	-27.3	52.41	329	v55m
b75r	49.41	70.07	-3.62	70.16	357	m11o



Ein und Ausgabe: Farbmetrisches Drucker-Reflektiv-System ORS20_95a für relativen CIELAB-Buntton $h^* = lab^*h^* = h_{ab}/360 = 0.755$

Daten für jede Farbe:

lab^*ch^* und lab^*icu^*

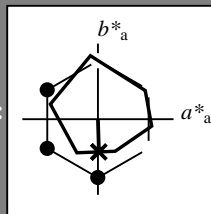
Bunttontexte:

$u^*_e = b00r$ $u^*_d = c56v$

Kontrastreduzierungsfaktor:

$c_R = 0.96$

Dreiecks-Helligkeit i^*



ORS20_95a; adaptierte CIELAB-Daten						
u^*_e	$L^*=L^*_a$	a^*_a	b^*_a	$C^*_{ab,a}$	$h^*_{ab,a}$	
O _{Ma}	48.71	62.56	37.91	73.15	31	
Y _{Ma}	89.25	-9.92	83.91	84.49	97	
L _{Ma}	52.5	-62.91	19.95	66.0	162	
C _{Ma}	59.15	-27.87	-44.43	52.45	238	
V _{Ma}	29.13	22.73	-42.44	48.14	298	
M _{Ma}	49.51	71.08	-9.19	71.67	353	
N _{Ma}	20.0	0.0	0.0	0.0	0	
W _{Ma}	95.0	0.0	0.0	0.0	0	
R _{Ma}	39.92	58.74	27.99	65.07	25	
J _{Ma}	81.26	-2.89	71.56	71.62	92	
G _{Ma}	52.23	-42.42	13.6	44.55	162	
B _{Ma}	30.57	1.41	-46.47	46.49	272	

Daten für Maximalfarbe (Ma):

LAB^*LAB^*Ma : 42 1 -43

LAB^*LCH^*Ma : 42 43 271

lab^*rgb^*Ma : 0.0 0.0 1.0

lab^*olv^*Ma : 0.0 0.44 1.0

Dreiecks-Helligkeit i^*

%Umfang

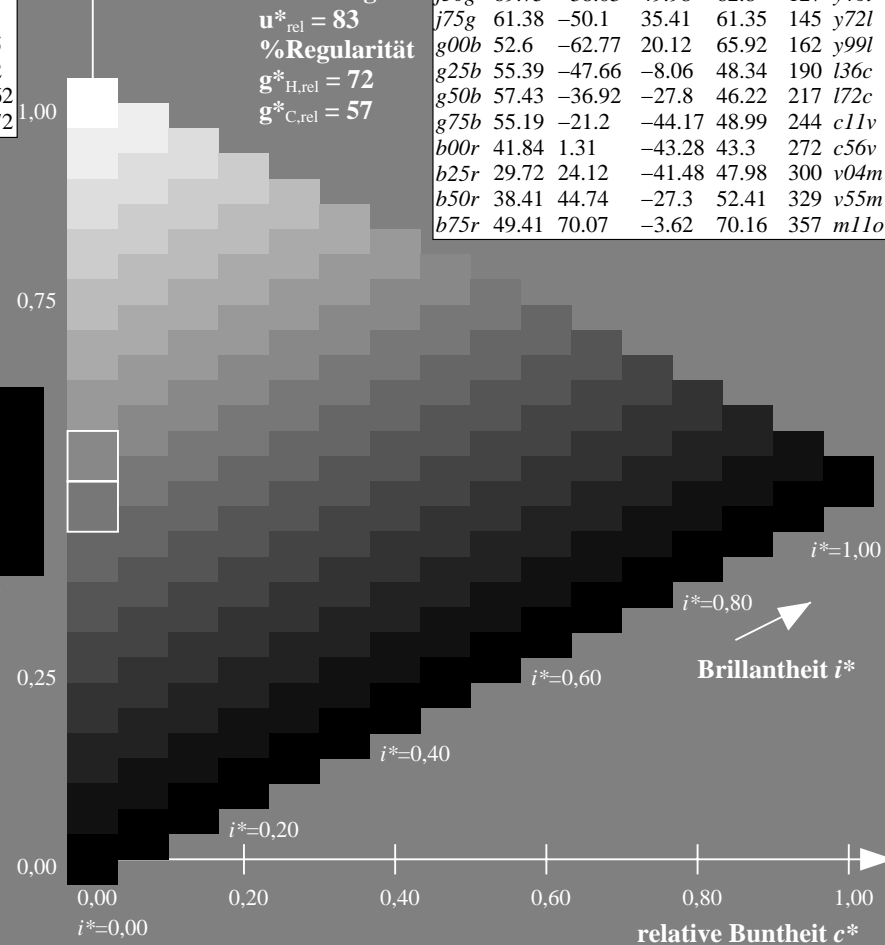
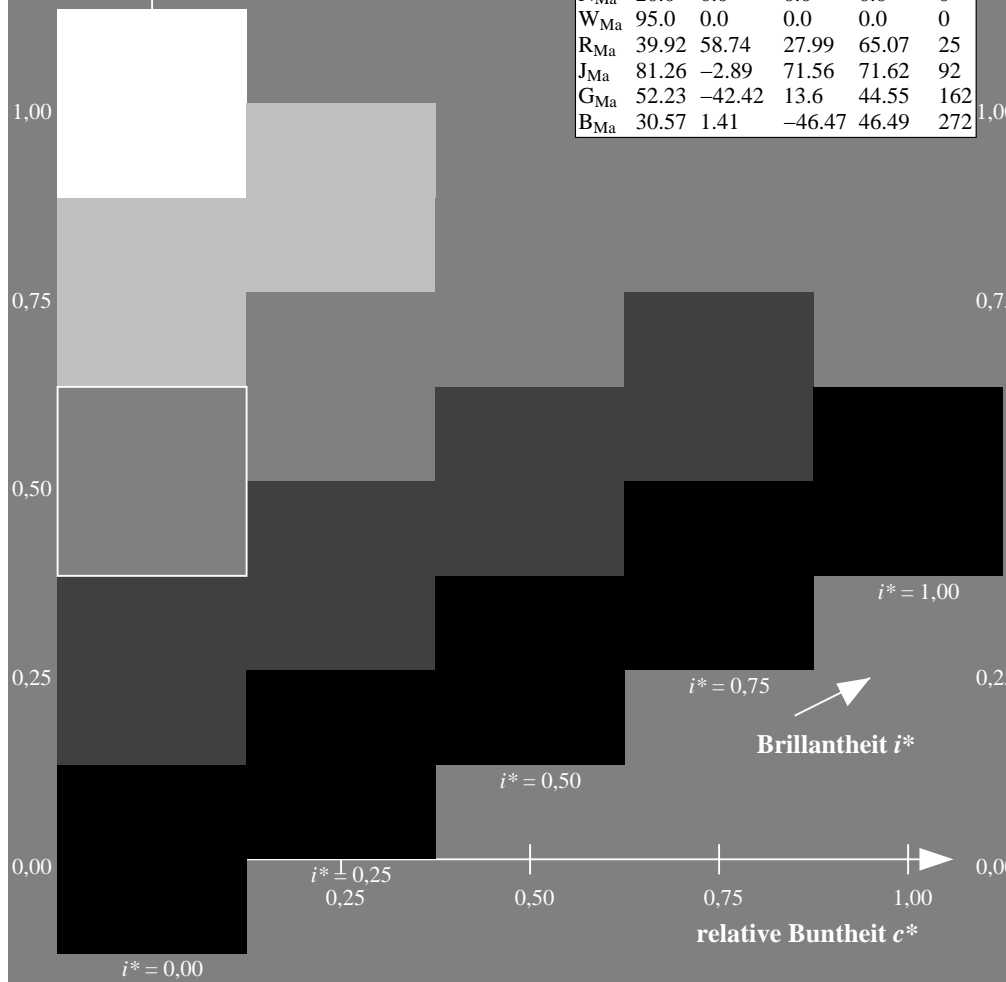
$u^*_{rel} = 83$

%Regularität

$g^*_{H,rel} = 72$

$g^*_{C,rel} = 57$

ORS20_95a; adaptierte CIELAB-Daten						
u^*_e	$L^*=L^*_a$	a^*_a	b^*_a	$C^*_{ab,a}$	$h^*_{ab,a}$	u^*_d
r00j	48.83	63.91	30.45	70.79	25	m84o
r25j	55.53	50.37	45.65	67.97	42	o17y
r50j	64.76	33.86	56.12	65.55	59	o42y
r75j	74.12	17.13	66.74	68.9	76	o67y
j00g	85.5	-3.22	79.65	79.72	92	o92y
j25g	79.45	-24.05	66.85	71.04	110	y20l
j50g	69.75	-38.03	49.98	62.8	127	y46l
j75g	61.38	-50.1	35.41	61.35	145	y72l
g00b	52.6	-62.77	20.12	65.92	162	y99l
g25b	55.39	-47.66	-8.06	48.34	190	l36c
g50b	57.43	-36.92	-27.8	46.22	217	l72c
g75b	55.19	-21.2	-44.17	48.99	244	c11v
b00r	41.84	1.31	-43.28	43.3	272	c56v
b25r	29.72	24.12	-41.48	47.98	300	v04m
b50r	38.41	44.74	-27.3	52.41	329	v55m
b75r	49.41	70.07	-3.62	70.16	357	m11o



Ein und Ausgabe: Farbmetrisches Drucker-Reflektiv-System ORS20_95a für relativen CIELAB-Buntton $h^* = lab^*h^* = h_{ab}/360 = 0.834$

Daten für jede Farbe:

$lab^*_{tch^*}$ und $lab^*_{icu^*}$

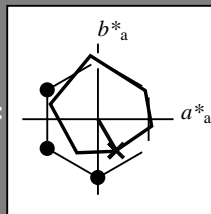
Bunttontexte:

$u^*_e = b25r$ $u^*_d = v04m$

Kontrastreduzierungsfaktor:

$c_R = 0.96$

Dreiecks-Helligkeit i^*



ORS20_95a; adaptierte CIELAB-Daten						
	u^*_e	$L^*=L^*_a$	a^*_a	b^*_a	$C^*_{ab,a}$	$h^*_{ab,a}$
O _{Ma}	48.71	62.56	37.91	73.15	31	
Y _{Ma}	89.25	-9.92	83.91	84.49	97	
L _{Ma}	52.5	-62.91	19.95	66.0	162	
C _{Ma}	59.15	-27.87	-44.43	52.45	238	
V _{Ma}	29.13	22.73	-42.44	48.14	298	
M _{Ma}	49.51	71.08	-9.19	71.67	353	
N _{Ma}	20.0	0.0	0.0	0.0	0	
W _{Ma}	95.0	0.0	0.0	0.0	0	
R _{Ma}	39.92	58.74	27.99	65.07	25	
J _{Ma}	81.26	-2.89	71.56	71.62	92	
G _{Ma}	52.23	-42.42	13.6	44.55	162	
B _{Ma}	30.57	1.41	-46.47	46.49	272	

Daten für Maximalfarbe (Ma):

$LAB^*_{LAB^*Ma}$: 30 24 -41

$LAB^*_{LCH^*Ma}$: 30 48 300

$lab^*_{rgb^*Ma}$: 0.5 0.0 1.0

$lab^*_{olv^*Ma}$: 0.04 0.0 1.0

Dreiecks-Helligkeit i^*

%Umfang

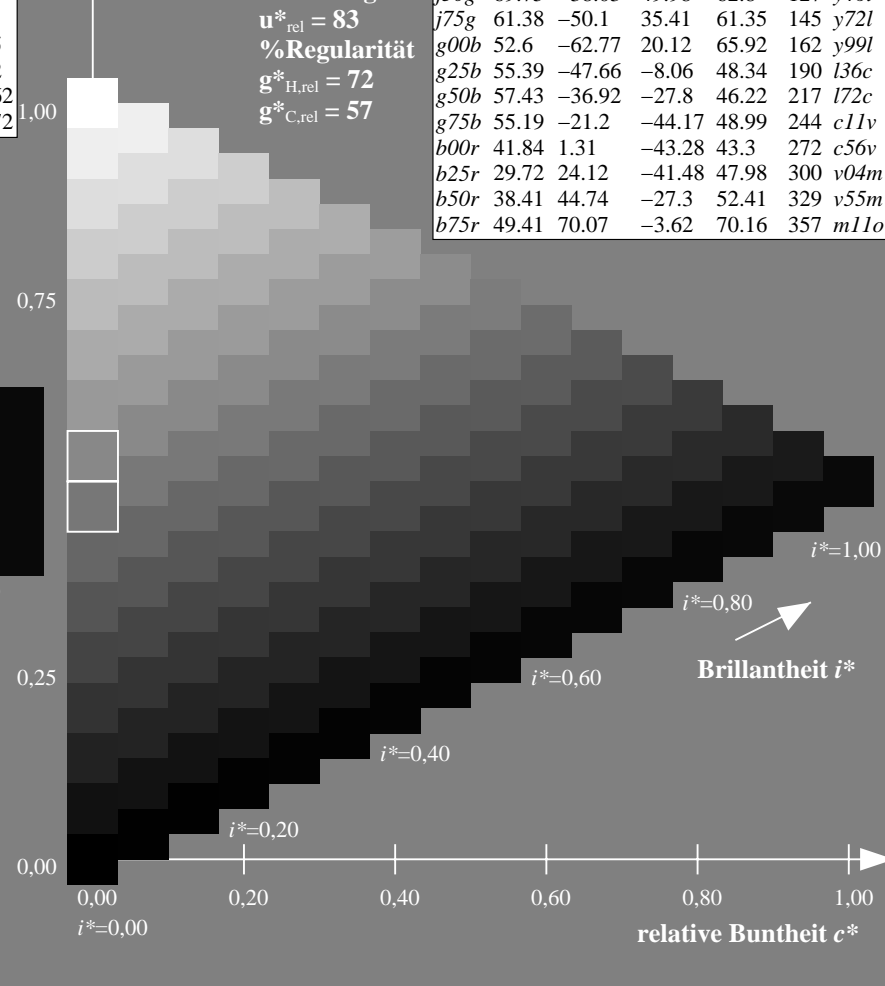
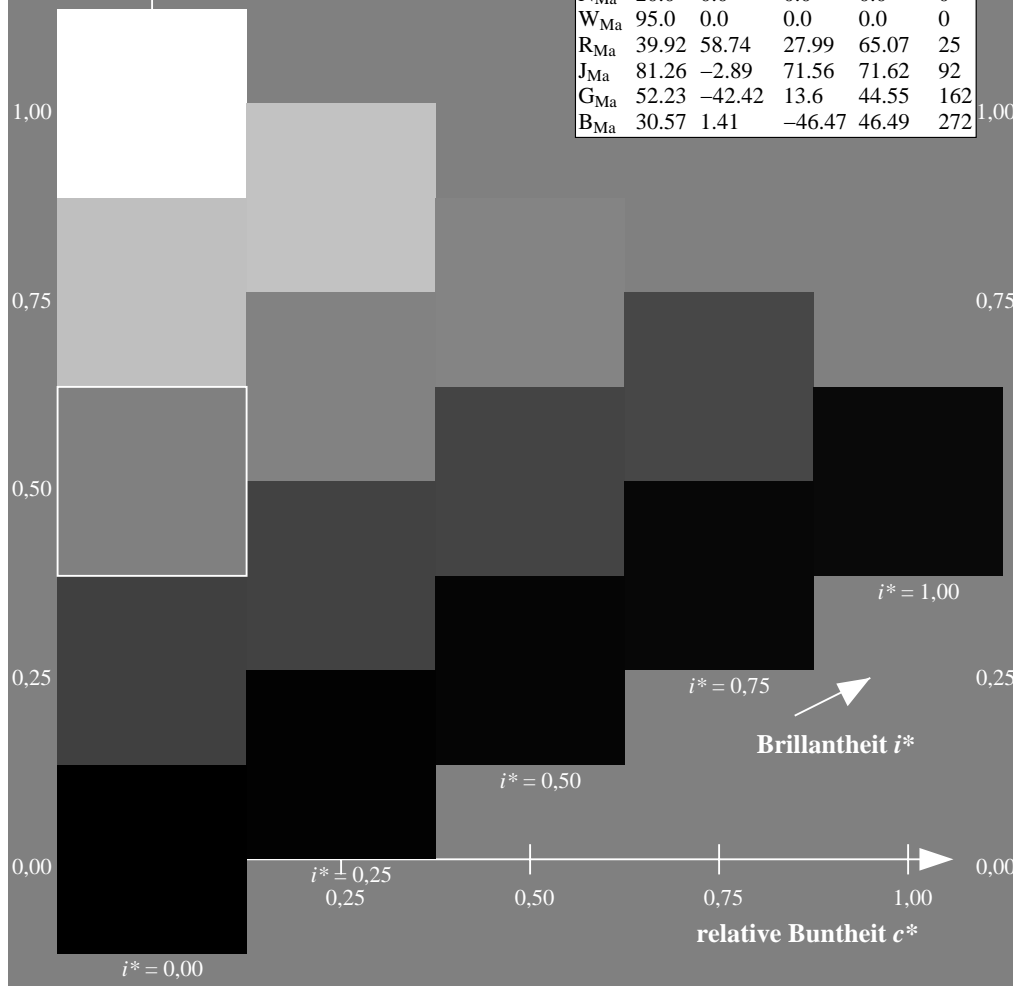
$u^*_{rel} = 83$

%Regularität

$g^*_{H,rel} = 72$

$g^*_{C,rel} = 57$

ORS20_95a; adaptierte CIELAB-Daten						
	u^*_e	$L^*=L^*_a$	a^*_a	b^*_a	$C^*_{ab,a}$	$h^*_{ab,a}$ u^*_d
r00j	48.83	63.91	30.45	70.79	25	m84o
r25j	55.53	50.37	45.65	67.97	42	o17y
r50j	64.76	33.86	56.12	65.55	59	o42y
r75j	74.12	17.13	66.74	68.9	76	o67y
j00g	85.5	-3.22	79.65	79.72	92	o92y
j25g	79.45	-24.05	66.85	71.04	110	y20l
j50g	69.75	-38.03	49.98	62.8	127	y46l
j75g	61.38	-50.1	35.41	61.35	145	y72l
g00b	52.6	-62.77	20.12	65.92	162	y99l
g25b	55.39	-47.66	-8.06	48.34	190	l36c
g50b	57.43	-36.92	-27.8	46.22	217	l72c
g75b	55.19	-21.2	-44.17	48.99	244	c11v
b00r	41.84	1.31	-43.28	43.3	272	c56v
b25r	29.72	24.12	-41.48	47.98	300	v04m
b50r	38.41	44.74	-27.3	52.41	329	v55m
b75r	49.41	70.07	-3.62	70.16	357	m11o



Ein und Ausgabe: Farbmetrisches Drucker-Reflektiv-System ORS20_95a für relativen CIELAB-Buntton $h^* = lab^*h^* = h_{ab}/360 = 0.913$

Daten für jede Farbe:

lab^*ch^* und lab^*icu^*

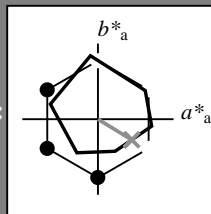
Bunttontexte:

$u^*_e = b50r$ $u^*_d = v55m$

Kontrastreduzierungsfaktor:

$c_R = 0.96$

Dreiecks-Helligkeit i^*



ORS20_95a; adaptierte CIELAB-Daten						
u^*_e	$L^*=L^*_a$	a^*_a	b^*_a	$C^*_{ab,a}$	$h^*_{ab,a}$	
O _{Ma}	48.71	62.56	37.91	73.15	31	
Y _{Ma}	89.25	-9.92	83.91	84.49	97	
L _{Ma}	52.5	-62.91	19.95	66.0	162	
C _{Ma}	59.15	-27.87	-44.43	52.45	238	
V _{Ma}	29.13	22.73	-42.44	48.14	298	
M _{Ma}	49.51	71.08	-9.19	71.67	353	
N _{Ma}	20.0	0.0	0.0	0.0	0	
W _{Ma}	95.0	0.0	0.0	0.0	0	
R _{Ma}	39.92	58.74	27.99	65.07	25	
J _{Ma}	81.26	-2.89	71.56	71.62	92	
G _{Ma}	52.23	-42.42	13.6	44.55	162	
B _{Ma}	30.57	1.41	-46.47	46.49	272	

Daten für Maximalfarbe (Ma):

$LAB^*LAB^*_{Ma}$: 38 45 -27

$LAB^*LCH^*_{Ma}$: 38 52 328

$lab^*rgb^*_{Ma}$: 1.0 0.0 1.0

$lab^*olv^*_{Ma}$: 0.56 0.0 1.0

Dreiecks-Helligkeit i^*

%Umfang

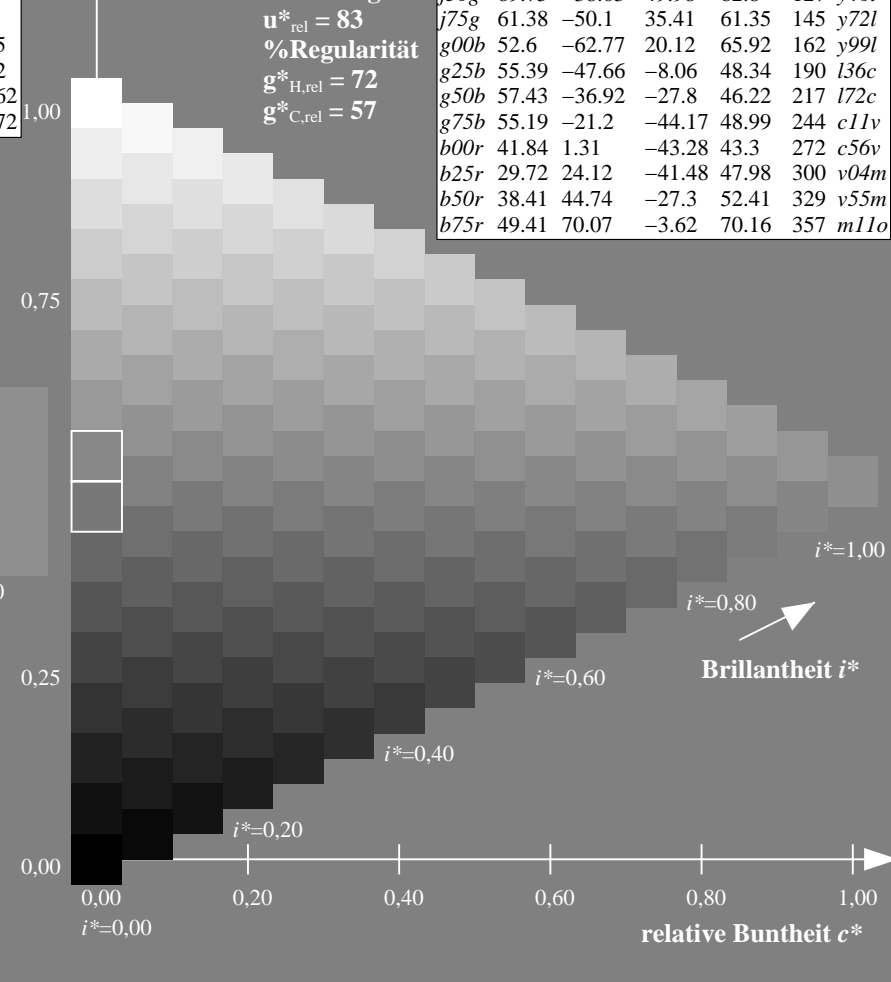
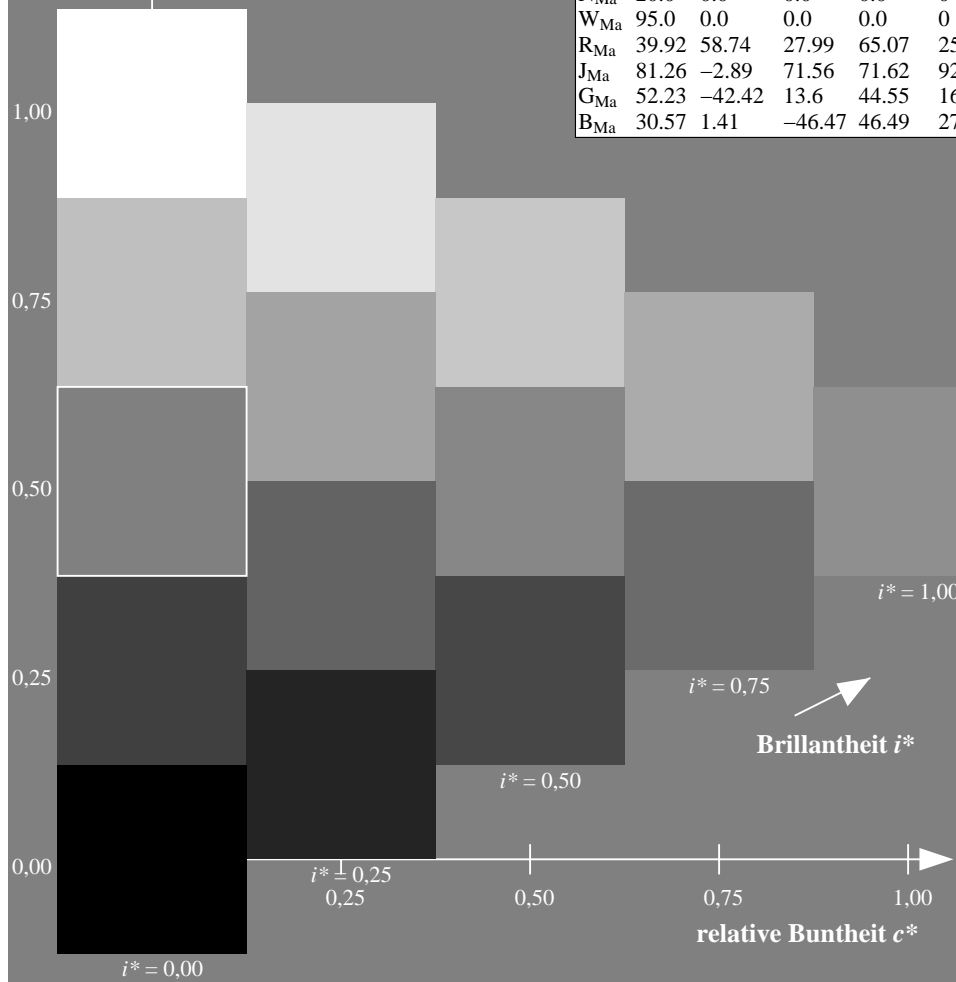
$u^*_{rel} = 83$

%Regularität

$g^*_{H,rel} = 72$

$g^*_{C,rel} = 57$

ORS20_95a; adaptierte CIELAB-Daten						
u^*_e	$L^*=L^*_a$	a^*_a	b^*_a	$C^*_{ab,a}$	$h^*_{ab,a}$	u^*_d
r00j	48.83	63.91	30.45	70.79	25	m84o
r25j	55.53	50.37	45.65	67.97	42	o17y
r50j	64.76	33.86	56.12	65.55	59	o42y
r75j	74.12	17.13	66.74	68.9	76	o67y
j00g	85.5	-3.22	79.65	79.72	92	o92y
j25g	79.45	-24.05	66.85	71.04	110	y20l
j50g	69.75	-38.03	49.98	62.8	127	y46l
j75g	61.38	-50.1	35.41	61.35	145	y72l
g00b	52.6	-62.77	20.12	65.92	162	y99l
g25b	55.39	-47.66	-8.06	48.34	190	l36c
g50b	57.43	-36.92	-27.8	46.22	217	l72c
g75b	55.19	-21.2	-44.17	48.99	244	c11v
b00r	41.84	1.31	-43.28	43.3	272	c56v
b25r	29.72	24.12	-41.48	47.98	300	v04m
b50r	38.41	44.74	-27.3	52.41	329	v55m
b75r	49.41	70.07	-3.62	70.16	357	m11o



Ein und Ausgabe: Farbmetrisches Drucker-Reflektiv-System ORS20_95a für relativen CIELAB-Buntton $h^* = lab^*h^* = h_{ab}/360 = 0.992$

Daten für jede Farbe:

lab^*tch^* und lab^*icu^*

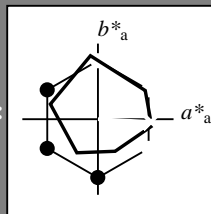
Bunttontexte:

$u^*_e = b75r$ $u^*_d = m11o$

Kontrastreduzierungsfaktor:

$c_R = 0.96$

Dreiecks-Helligkeit i^*



ORS20_95a; adaptierte CIELAB-Daten						
u^*_e	$L^*=L^*_a$	a^*_a	b^*_a	$C^*_{ab,a}$	$h^*_{ab,a}$	
O _{Ma}	48.71	62.56	37.91	73.15	31	
Y _{Ma}	89.25	-9.92	83.91	84.49	97	
L _{Ma}	52.5	-62.91	19.95	66.0	162	
C _{Ma}	59.15	-27.87	-44.43	52.45	238	
V _{Ma}	29.13	22.73	-42.44	48.14	298	
M _{Ma}	49.51	71.08	-9.19	71.67	353	
N _{Ma}	20.0	0.0	0.0	0.0	0	
W _{Ma}	95.0	0.0	0.0	0.0	0	
R _{Ma}	39.92	58.74	27.99	65.07	25	
J _{Ma}	81.26	-2.89	71.56	71.62	92	
G _{Ma}	52.23	-42.42	13.6	44.55	162	
B _{Ma}	30.57	1.41	-46.47	46.49	272	

Daten für Maximalfarbe (Ma):

$LAB^*LAB^*_{Ma}$: 49 70 -4

$LAB^*LCH^*_{Ma}$: 49 70 357

$lab^*rgb^*_{Ma}$: 1.0 0.0 0.5

$lab^*olv^*_{Ma}$: 1.0 0.0 0.89

Dreiecks-Helligkeit i^*

%Umfang

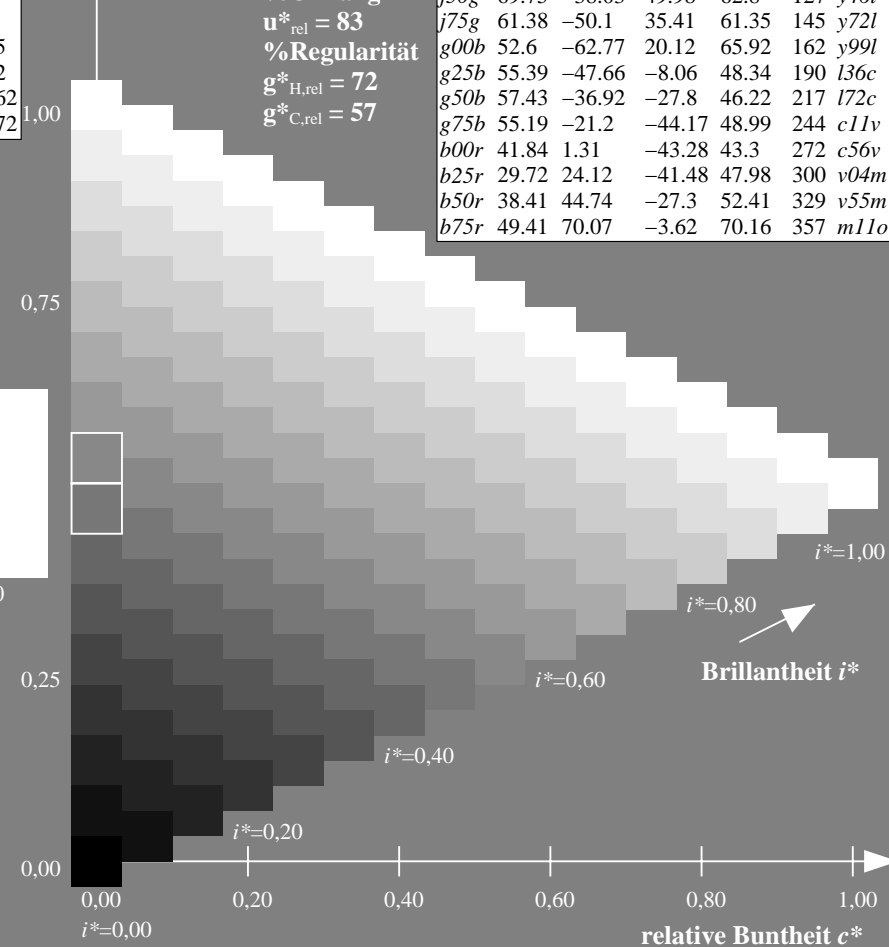
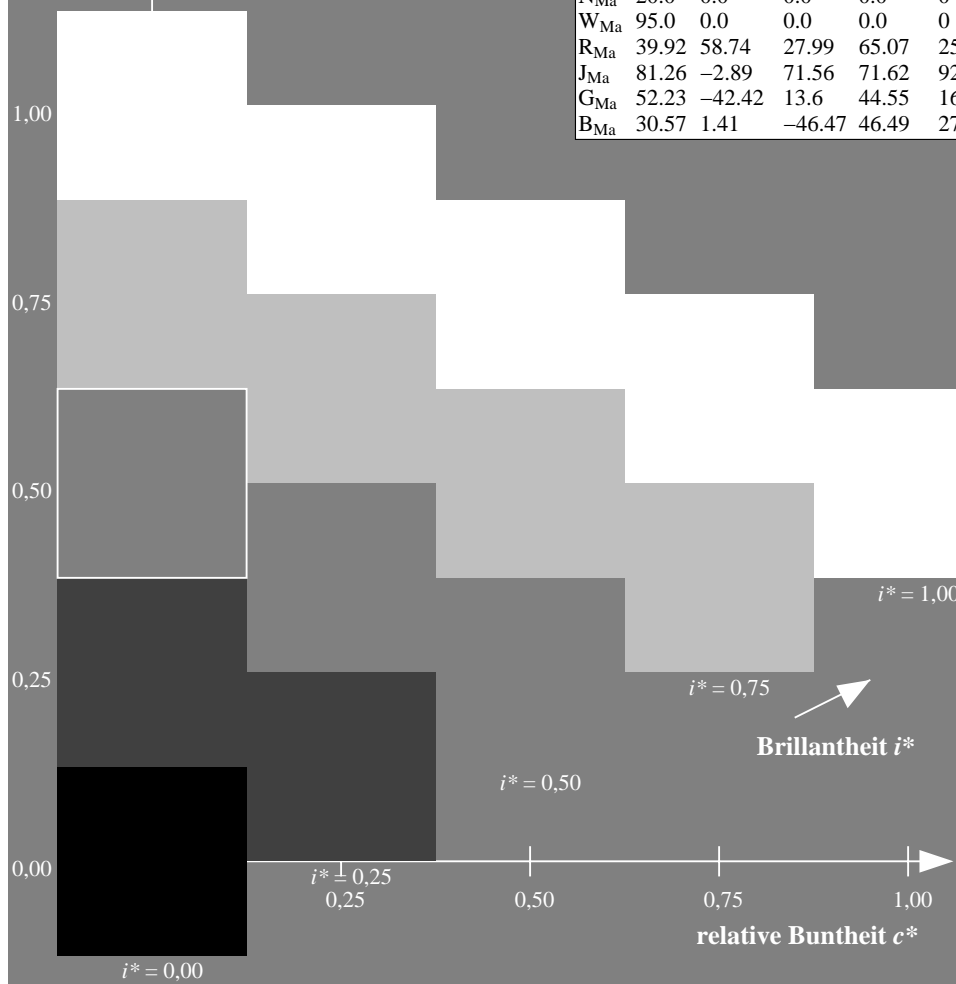
$u^*_{rel} = 83$

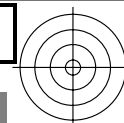
%Regularität

$g^*_{H,rel} = 72$

$g^*_{C,rel} = 57$

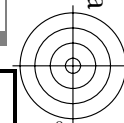
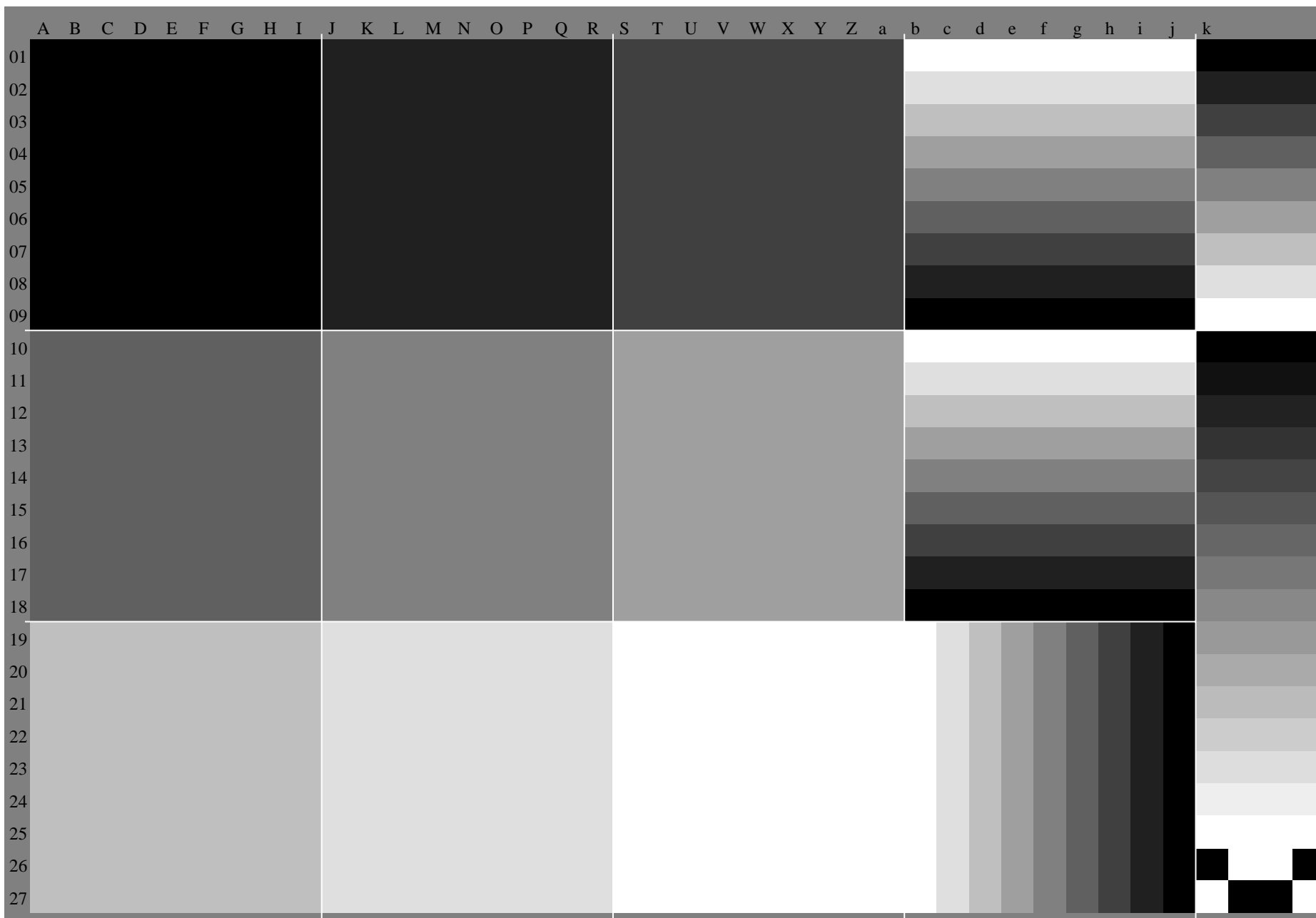
ORS20_95a; adaptierte CIELAB-Daten						
u^*_e	$L^*=L^*_a$	a^*_a	b^*_a	$C^*_{ab,a}$	$h^*_{ab,a}$	u^*_d
r00j	48.83	63.91	30.45	70.79	25	m84o
r25j	55.53	50.37	45.65	67.97	42	o17y
r50j	64.76	33.86	56.12	65.55	59	o42y
r75j	74.12	17.13	66.74	68.9	76	o67y
j00g	85.5	-3.22	79.65	79.72	92	o92y
j25g	79.45	-24.05	66.85	71.04	110	y20l
j50g	69.75	-38.03	49.98	62.8	127	y46l
j75g	61.38	-50.1	35.41	61.35	145	y72l
g00b	52.6	-62.77	20.12	65.92	162	y99l
g25b	55.39	-47.66	-8.06	48.34	190	l36c
g50b	57.43	-36.92	-27.8	46.22	217	l72c
g75b	55.19	-21.2	-44.17	48.99	244	c11v
b00r	41.84	1.31	-43.28	43.3	272	c56v
b25r	29.72	24.12	-41.48	47.98	300	v04m
b50r	38.41	44.74	-27.3	52.41	329	v55m
b75r	49.41	70.07	-3.62	70.16	357	m11o





BAM-Registrierung: 20081001-Eg15/10/L15G00NP.PS/.PDF BAM-Material: Code=rha4ta
+ Anwendung für Beurteilung und Messung von Drucker- oder Monitorsystemen

Technische Information: <http://www.ps.bam.de/Eg15/>; www.ps.bam.de/Eg.HTM
Schiefe ähnliche Dateien: <http://www.ps.bam.de/Eg15/>; www.ps.bam.de/Eg.HTM
Technische Information: <http://www.ps.bam.de> Version 2.1, io=1,1, ColSpx=0



Ein und Ausgabe:
Farbmetrisches Drucker-Reflektiv-System ORS20_95a
Daten für jede Farbe:

u^*_e und Nummer $Nr.$ = 00 .. 15

Elementar-Bunttontext:

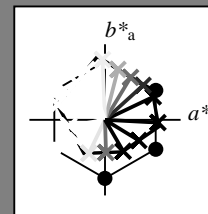
$u^*_e = 16$ Bunttoene $r00j, r25j, ..., b75r$

Kontrastreduzierungsfaktor:

$c_R = 0.96$

ORS20_95a; adaptierte CIELAB-Daten

u^*_e	$L^*=L^*_a$	a^*_a	b^*_a	$C^*_{ab,a}$	$h^*_{ab,a}$	u^*_d
$r00j$	48.83	63.91	30.45	70.79	25	$m84o$
$r25j$	55.53	50.37	45.65	67.97	42	$o17y$
$r50j$	64.76	33.86	56.12	65.55	59	$o42y$
$r75j$	74.12	17.13	66.74	68.9	76	$o67y$
$j00g$	85.5	-3.22	79.65	79.72	92	$o92y$
$j25g$	79.45	-24.05	66.85	71.04	110	$y20l$
$j50g$	69.75	-38.03	49.98	62.8	127	$y46l$
$j75g$	61.38	-50.1	35.41	61.35	145	$y72l$
$g00b$	52.6	-62.77	20.12	65.92	162	$y99l$
$g25b$	55.39	-47.66	-8.06	48.34	190	$l36c$
$g50b$	57.43	-36.92	-27.8	46.22	217	$l72c$
$g75b$	55.19	-21.2	-44.17	48.99	244	$c11v$
$b00r$	41.84	1.31	-43.28	43.3	272	$c56v$
$b25r$	29.72	24.12	-41.48	47.98	300	$v04m$
$b50r$	38.41	44.74	-27.3	52.41	329	$v55m$
$b75r$	49.41	70.07	-3.62	70.16	357	$m11o$



%Umfang

$u^*_{rel} = 83$

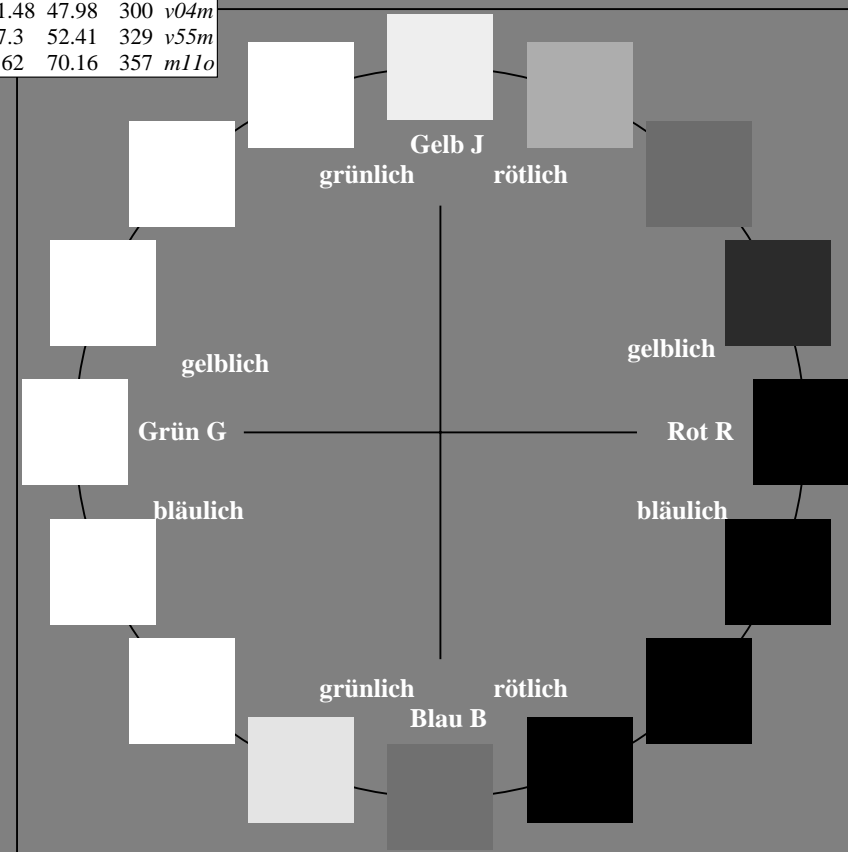
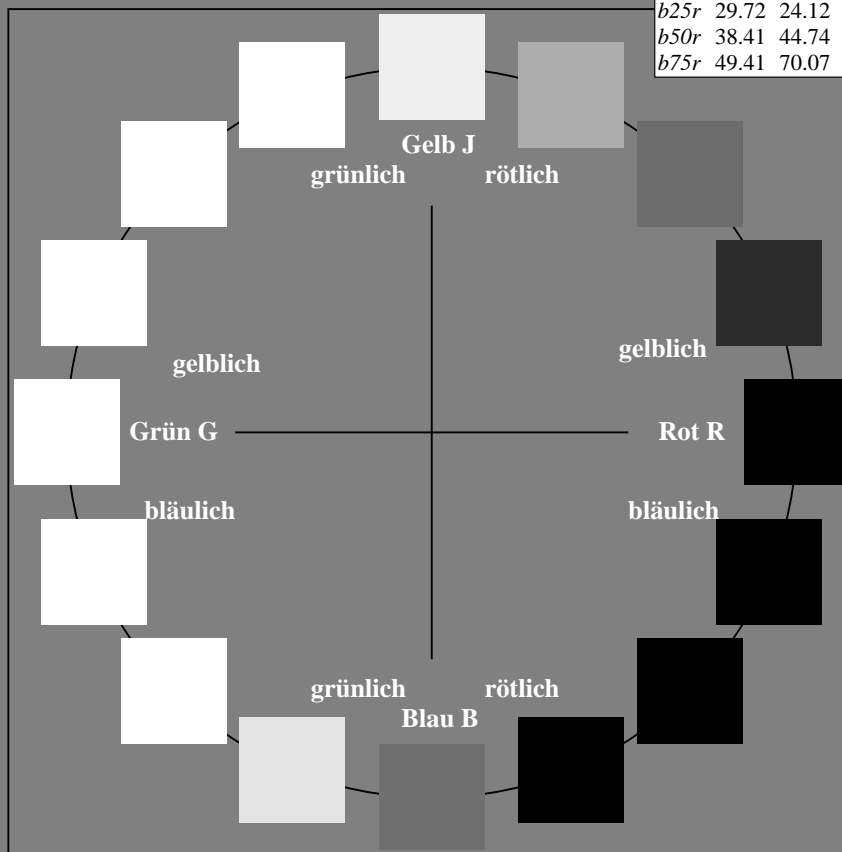
%Regularität

$g^*_{H,rel} = 72$

$g^*_{C,rel} = 57$

ORS20_95a; adaptierte CIELAB-Daten

Name	$L^*=L^*_a$	a^*_a	b^*_a	$C^*_{ab,a}$	$h^*_{ab,a}$
O_{Ma}	48.71	62.56	37.91	73.15	31
Y_{Ma}	89.25	-9.92	83.91	84.49	97
L_{Ma}	52.5	-62.91	19.95	66.0	162
C_{Ma}	59.15	-27.87	-44.43	52.45	238
V_{Ma}	29.13	22.73	-42.44	48.14	298
M_{Ma}	49.51	71.08	-9.19	71.67	353
N_{Ma}	20.0	0.0	0.0	0.0	0
W_{Ma}	95.0	0.0	0.0	0.0	0
R_{CIE}	39.92	58.74	27.99	65.07	25
J_{CIE}	81.26	-2.89	71.56	71.62	92
G_{CIE}	52.23	-42.42	13.6	44.55	162
B_{CIE}	30.57	1.41	-46.47	46.49	272



Ein und Ausgabe: Farbmetrisches Drucker-Reflektiv-System ORS20_95a für relativen CIELAB-Buntton $h^* = lab^*h^* = h_{ab}/360 = 0.071$

Daten für jede Farbe:

lab^*ch^* und lab^*icu^*

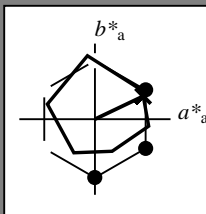
Bunttontexte:

$u_e^* = r00j$ $u_d^* = m84o$

Kontrastreduzierungsfaktor:

$c_R = 0.96$

Dreiecks-Helligkeit i^*



ORS20_95a; adaptierte CIELAB-Daten

	u_e^*	$L^*=L_a^*$	a_a^*	b_a^*	$C^*_{ab,a}$	$h^*_{ab,a}$
O _{Ma}	48.71	62.56	37.91	73.15	31	
Y _{Ma}	89.25	-9.92	83.91	84.49	97	
L _{Ma}	52.5	-62.91	19.95	66.0	162	
C _{Ma}	59.15	-27.87	-44.43	52.45	238	
V _{Ma}	29.13	22.73	-42.44	48.14	298	
M _{Ma}	49.51	71.08	-9.19	71.67	353	
N _{Ma}	20.0	0.0	0.0	0.0	0	
W _{Ma}	95.0	0.0	0.0	0.0	0	
R _{Ma}	39.92	58.74	27.99	65.07	25	
J _{Ma}	81.26	-2.89	71.56	71.62	92	
G _{Ma}	52.23	-42.42	13.6	44.55	162	
B _{Ma}	30.57	1.41	-46.47	46.49	272	

Daten für Maximalfarbe (Ma):

LAB^*LAB^*Ma : 49 64 30

LAB^*LCH^*Ma : 49 71 25

lab^*rgb^*Ma : 1.0 0.0 0.0

lab^*olv^*Ma : 1.0 0.0 0.15

Dreiecks-Helligkeit i^*

%Umfang

$u^*_{rel} = 83$

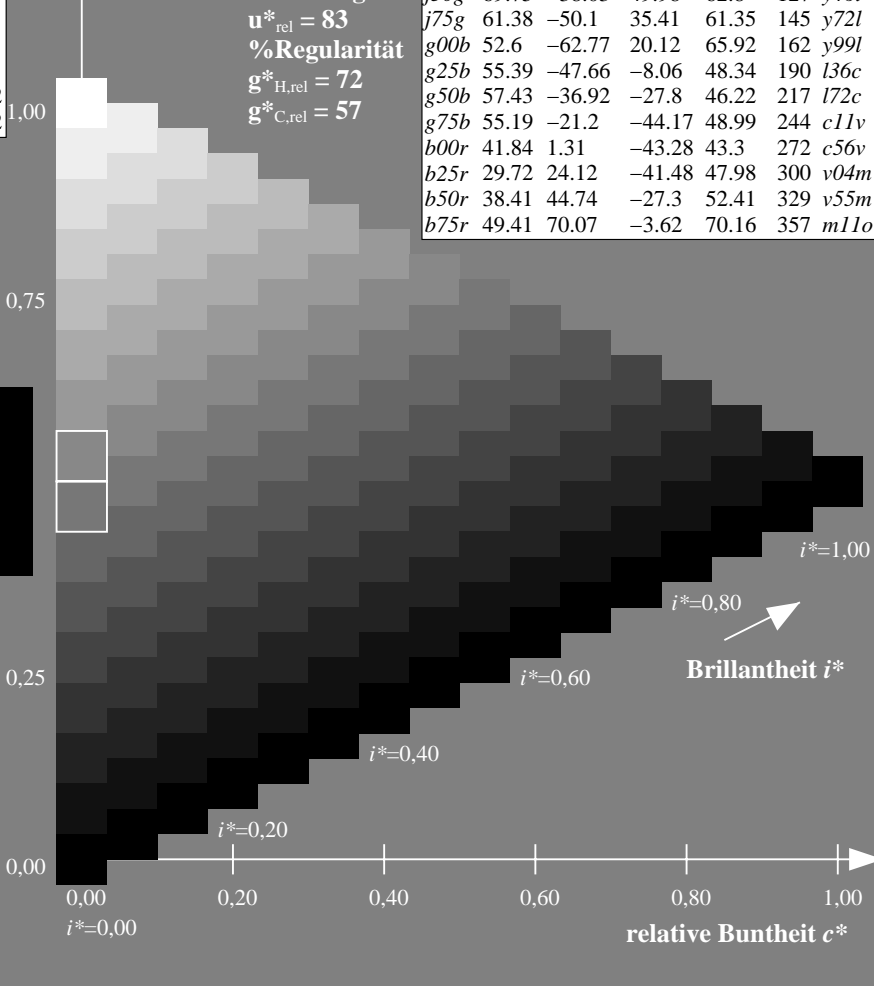
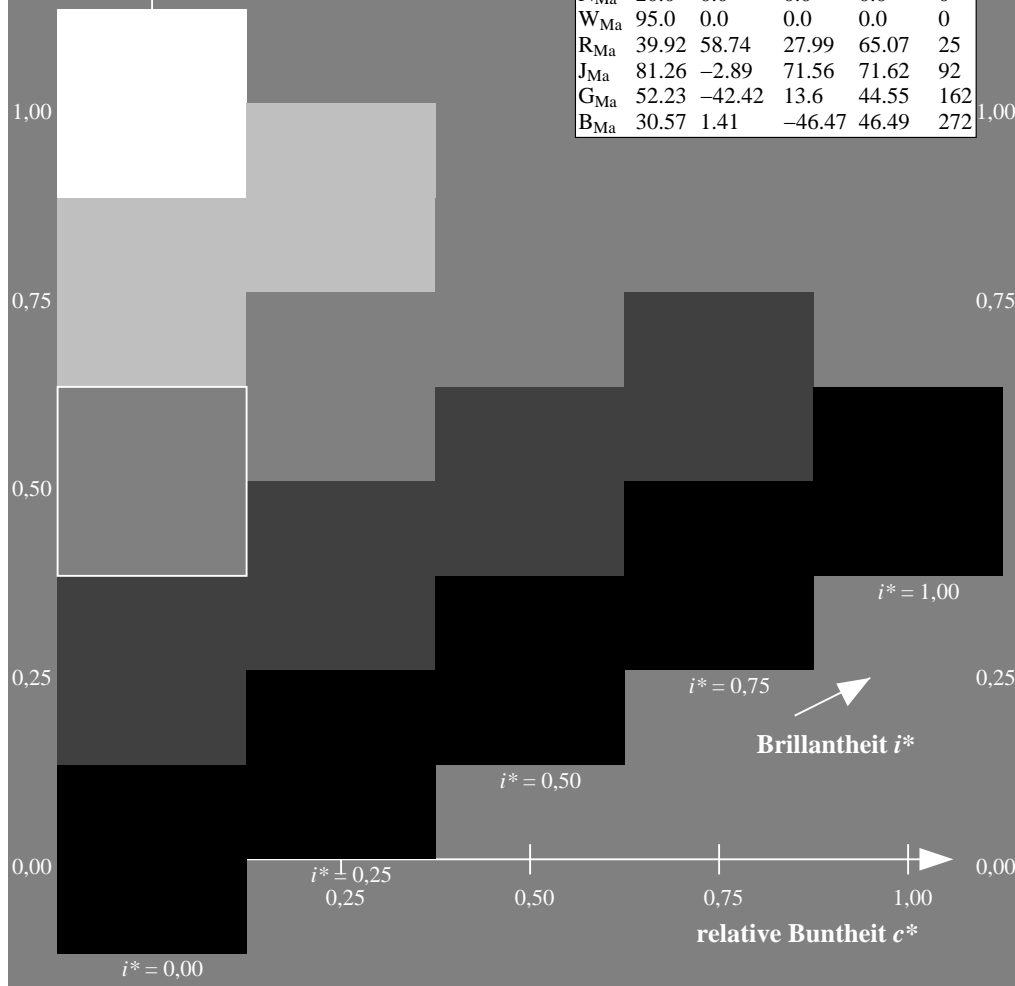
%Regularität

$g^*_{H,rel} = 72$

$g^*_{C,rel} = 57$

ORS20_95a; adaptierte CIELAB-Daten

	u_e^*	$L^*=L_a^*$	a_a^*	b_a^*	$C^*_{ab,a}$	$h^*_{ab,a}$	u_d^*
r00j	48.83	63.91	30.45	70.79	25		m84o
r25j	55.53	50.37	45.65	67.97	42		o17y
r50j	64.76	33.86	56.12	65.55	59		o42y
r75j	74.12	17.13	66.74	68.9	76		o67y
j00g	85.5	-3.22	79.65	79.72	92		o92y
j25g	79.45	-24.05	66.85	71.04	110		y20l
j50g	69.75	-38.03	49.98	62.8	127		y46l
j75g	61.38	-50.1	35.41	61.35	145		y72l
g00b	52.6	-62.77	20.12	65.92	162		y99l
g25b	55.39	-47.66	-8.06	48.34	190		l36c
g50b	57.43	-36.92	-27.8	46.22	217		l72c
g75b	55.19	-21.2	-44.17	48.99	244		c11v
b00r	41.84	1.31	-43.28	43.3	272		c56v
b25r	29.72	24.12	-41.48	47.98	300		v04m
b50r	38.41	44.74	-27.3	52.41	329		v55m
b75r	49.41	70.07	-3.62	70.16	357		m11o



Ein und Ausgabe: Farbmetrisches Drucker-Reflektiv-System ORS20_95a für relativen CIELAB-Buntton $h^* = lab^*h^* = h_{ab}/360 = 0.117$

Daten für jede Farbe:

lab^*tch^* und lab^*icu^*

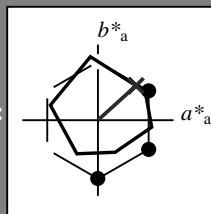
Bunttontexte:

$u^*_e = r25j$ $u^*_d = o17y$

Kontrastreduzierungsfaktor:

$c_R = 0.96$

Dreiecks-Helligkeit t^*



ORS20_95a; adaptierte CIELAB-Daten

u^*_e	$L^*=L^*_a$	a^*_a	b^*_a	$C^*_{ab,a}$	$h^*_{ab,a}$
O _{Ma}	48.71	62.56	37.91	73.15	31
Y _{Ma}	89.25	-9.92	83.91	84.49	97
L _{Ma}	52.5	-62.91	19.95	66.0	162
C _{Ma}	59.15	-27.87	-44.43	52.45	238
V _{Ma}	29.13	22.73	-42.44	48.14	298
M _{Ma}	49.51	71.08	-9.19	71.67	353
N _{Ma}	20.0	0.0	0.0	0.0	0
W _{Ma}	95.0	0.0	0.0	0.0	0
R _{Ma}	39.92	58.74	27.99	65.07	25
J _{Ma}	81.26	-2.89	71.56	71.62	92
G _{Ma}	52.23	-42.42	13.6	44.55	162
B _{Ma}	30.57	1.41	-46.47	46.49	272

Daten für Maximalfarbe (Ma):

$LAB^*LAB^*_{Ma}$: 56 50 46

$LAB^*LCH^*_{Ma}$: 56 68 42

$lab^*rgb^*_{Ma}$: 1.0 0.25 0.0

$lab^*olv^*_{Ma}$: 1.0 0.17 0.0

Dreiecks-Helligkeit t^*

%Umfang

$u^*_{rel} = 83$

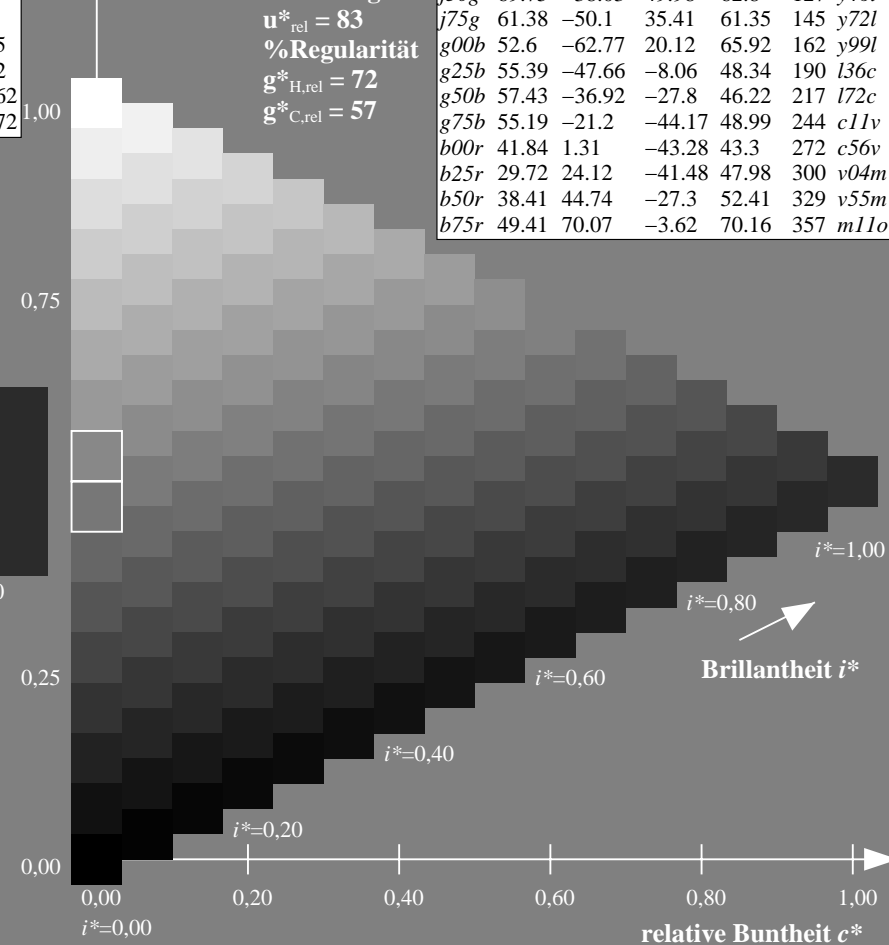
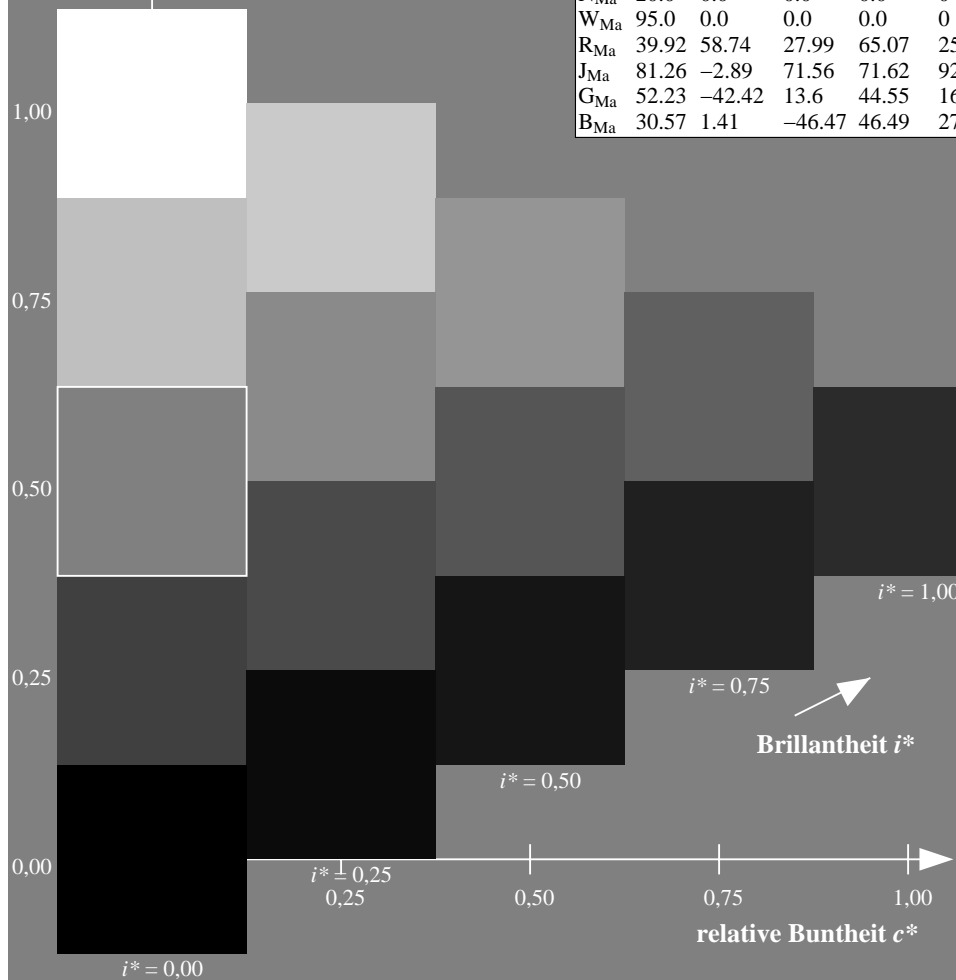
%Regularität

$g^*_{H,rel} = 72$

$g^*_{C,rel} = 57$

ORS20_95a; adaptierte CIELAB-Daten

u^*_e	$L^*=L^*_a$	a^*_a	b^*_a	$C^*_{ab,a}$	$h^*_{ab,a}$	u^*_d
r00j	48.83	63.91	30.45	70.79	25	m84o
r25j	55.53	50.37	45.65	67.97	42	o17y
r50j	64.76	33.86	56.12	65.55	59	o42y
r75j	74.12	17.13	66.74	68.9	76	o67y
j00g	85.5	-3.22	79.65	79.72	92	o92y
j25g	79.45	-24.05	66.85	71.04	110	y20l
j50g	69.75	-38.03	49.98	62.8	127	y46l
j75g	61.38	-50.1	35.41	61.35	145	y72l
g00b	52.6	-62.77	20.12	65.92	162	y99l
g25b	55.39	-47.66	-8.06	48.34	190	l36c
g50b	57.43	-36.92	-27.8	46.22	217	l72c
g75b	55.19	-21.2	-44.17	48.99	244	c11v
b00r	41.84	1.31	-43.28	43.3	272	c56v
b25r	29.72	24.12	-41.48	47.98	300	v04m
b50r	38.41	44.74	-27.3	52.41	329	v55m
b75r	49.41	70.07	-3.62	70.16	357	m11o



Ein und Ausgabe: Farbmetrisches Drucker-Reflektiv-System ORS20_95a für relativen CIELAB-Buntton $h^* = lab^*h^* = h_{ab}/360 = 0.164$

Daten für jede Farbe:

lab^*ch^* und lab^*icu^*

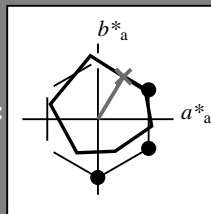
Bunttontexte:

$u^*_e = r50j$ $u^*_d = o42y$

Kontrastreduzierungsfaktor:

$c_R = 0.96$

Dreiecks-Helligkeit i^*



ORS20_95a; adaptierte CIELAB-Daten

u^*_e	$L^*=L^*_a$	a^*_a	b^*_a	$C^*_{ab,a}$	$h^*_{ab,a}$
O _{Ma}	48.71	62.56	37.91	73.15	31
Y _{Ma}	89.25	-9.92	83.91	84.49	97
L _{Ma}	52.5	-62.91	19.95	66.0	162
C _{Ma}	59.15	-27.87	-44.43	52.45	238
V _{Ma}	29.13	22.73	-42.44	48.14	298
M _{Ma}	49.51	71.08	-9.19	71.67	353
N _{Ma}	20.0	0.0	0.0	0.0	0
W _{Ma}	95.0	0.0	0.0	0.0	0
R _{Ma}	39.92	58.74	27.99	65.07	25
J _{Ma}	81.26	-2.89	71.56	71.62	92
G _{Ma}	52.23	-42.42	13.6	44.55	162
B _{Ma}	30.57	1.41	-46.47	46.49	272

Daten für Maximalfarbe (Ma):

$LAB^*LAB^*_{Ma}$: 65 34 56

$LAB^*LCH^*_{Ma}$: 65 66 58

$lab^*rgb^*_{Ma}$: 1.0 0.5 0.0

$lab^*olv^*_{Ma}$: 1.0 0.42 0.0

Dreiecks-Helligkeit i^*

%Umfang

$u^*_{rel} = 83$

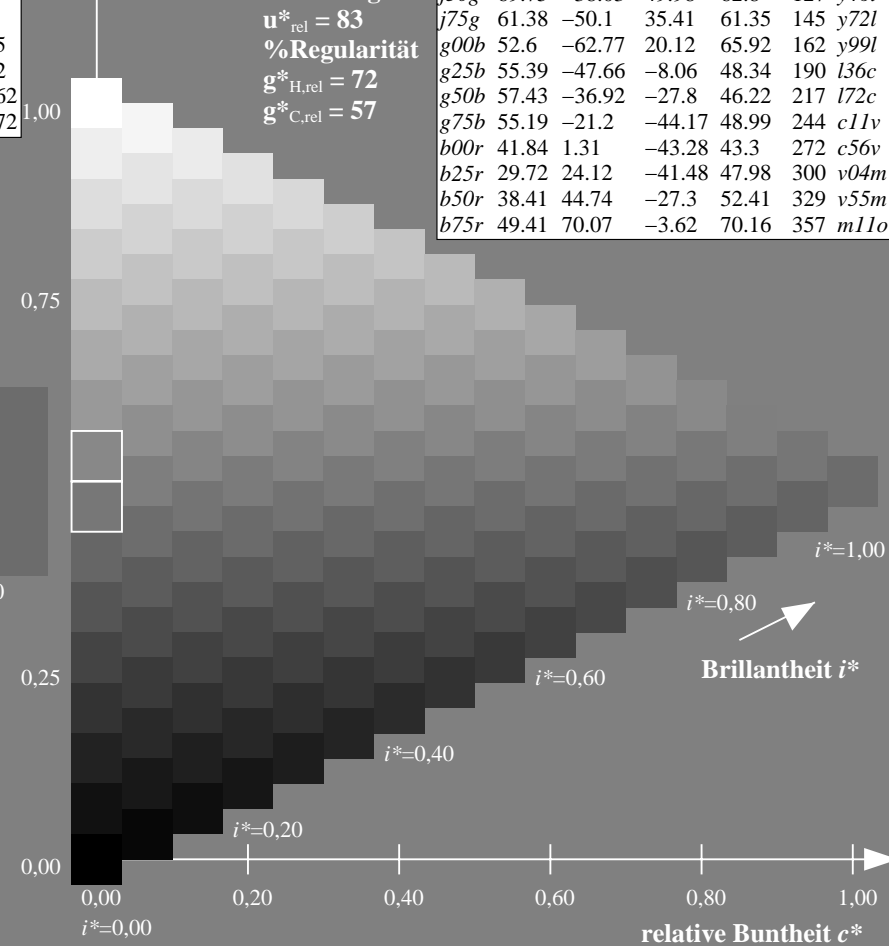
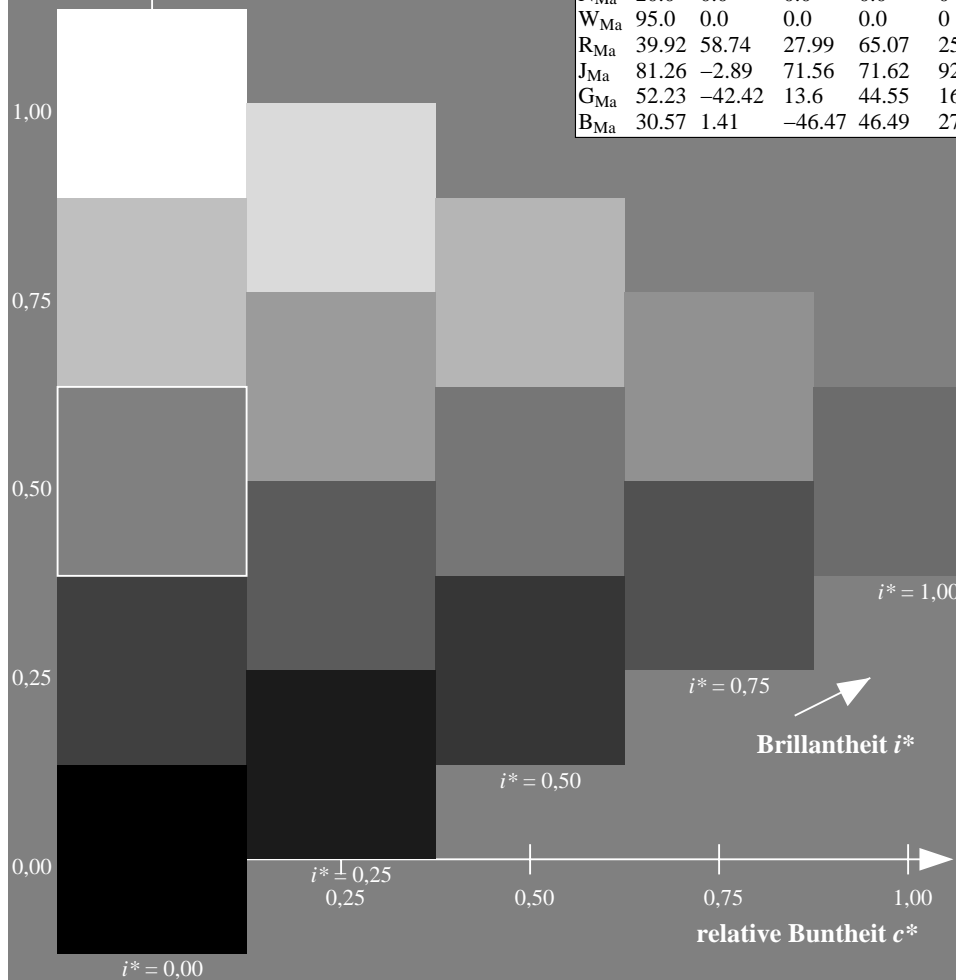
%Regularität

$g^*_{H,rel} = 72$

$g^*_{C,rel} = 57$

ORS20_95a; adaptierte CIELAB-Daten

u^*_e	$L^*=L^*_a$	a^*_a	b^*_a	$C^*_{ab,a}$	$h^*_{ab,a}$	u^*_d
r00j	48.83	63.91	30.45	70.79	25	m84o
r25j	55.53	50.37	45.65	67.97	42	o17y
r50j	64.76	33.86	56.12	65.55	59	o42y
r75j	74.12	17.13	66.74	68.9	76	o67y
j00g	85.5	-3.22	79.65	79.72	92	o92y
j25g	79.45	-24.05	66.85	71.04	110	y20l
j50g	69.75	-38.03	49.98	62.8	127	y46l
j75g	61.38	-50.1	35.41	61.35	145	y72l
g00b	52.6	-62.77	20.12	65.92	162	y99l
g25b	55.39	-47.66	-8.06	48.34	190	l36c
g50b	57.43	-36.92	-27.8	46.22	217	l72c
g75b	55.19	-21.2	-44.17	48.99	244	c11v
b00r	41.84	1.31	-43.28	43.3	272	c56v
b25r	29.72	24.12	-41.48	47.98	300	v04m
b50r	38.41	44.74	-27.3	52.41	329	v55m
b75r	49.41	70.07	-3.62	70.16	357	m11o



Ein und Ausgabe: Farbmetrisches Drucker-Reflektiv-System ORS20_95a für relativen CIELAB-Buntton $h^* = lab^*h^* = h_{ab}/360 = 0.21$

Daten für jede Farbe:

lab^*ch^* und lab^*icu^*

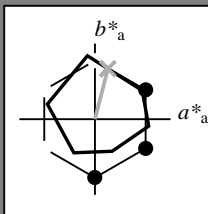
Bunttontexte:

$u^*_e = r75j$ $u^*_d = o67y$

Kontrastreduzierungsfaktor:

$c_R = 0.96$

Dreiecks-Helligkeit i^*



ORS20_95a; adaptierte CIELAB-Daten						
u^*_e	$L^*=L^*_a$	a^*_a	b^*_a	$C^*_{ab,a}$	$h^*_{ab,a}$	
O _{Ma}	48.71	62.56	37.91	73.15	31	
Y _{Ma}	89.25	-9.92	83.91	84.49	97	
L _{Ma}	52.5	-62.91	19.95	66.0	162	
C _{Ma}	59.15	-27.87	-44.43	52.45	238	
V _{Ma}	29.13	22.73	-42.44	48.14	298	
M _{Ma}	49.51	71.08	-9.19	71.67	353	
N _{Ma}	20.0	0.0	0.0	0.0	0	
W _{Ma}	95.0	0.0	0.0	0.0	0	
R _{Ma}	39.92	58.74	27.99	65.07	25	
J _{Ma}	81.26	-2.89	71.56	71.62	92	
G _{Ma}	52.23	-42.42	13.6	44.55	162	
B _{Ma}	30.57	1.41	-46.47	46.49	272	

Daten für Maximalfarbe (Ma):

LAB^*LAB^*Ma : 74 17 67

LAB^*LCH^*Ma : 74 69 75

lab^*rgb^*Ma : 1.0 0.75 0.0

lab^*olv^*Ma : 1.0 0.68 0.0

Dreiecks-Helligkeit i^*

%Umfang

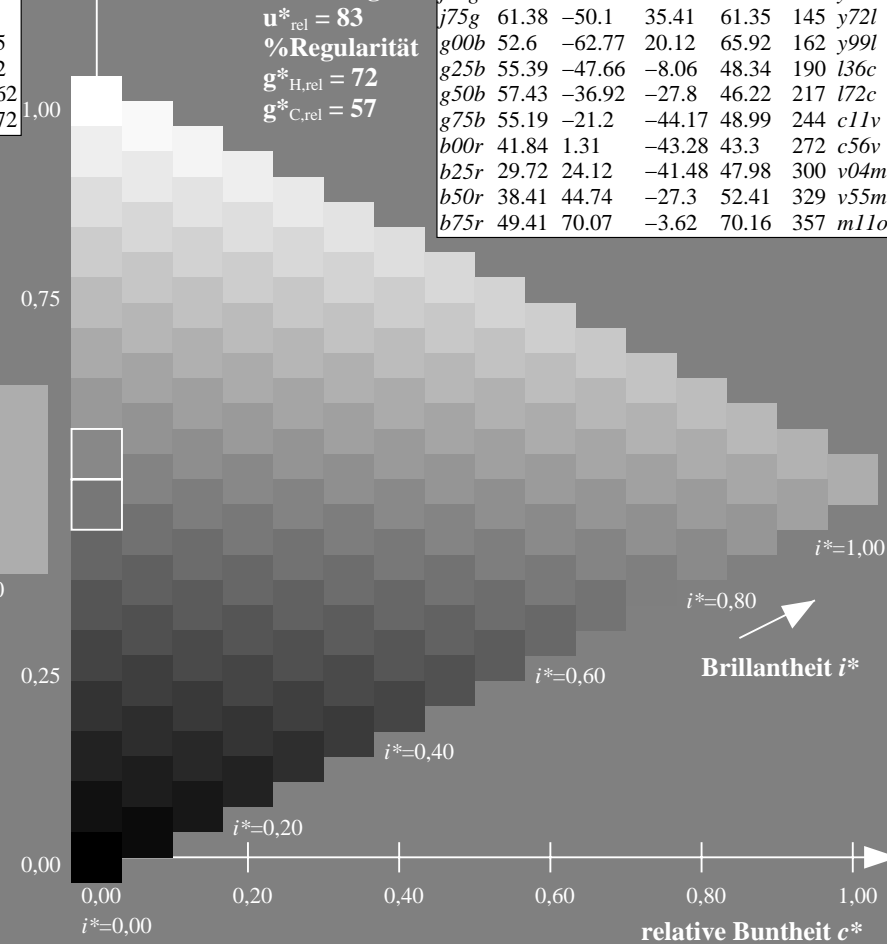
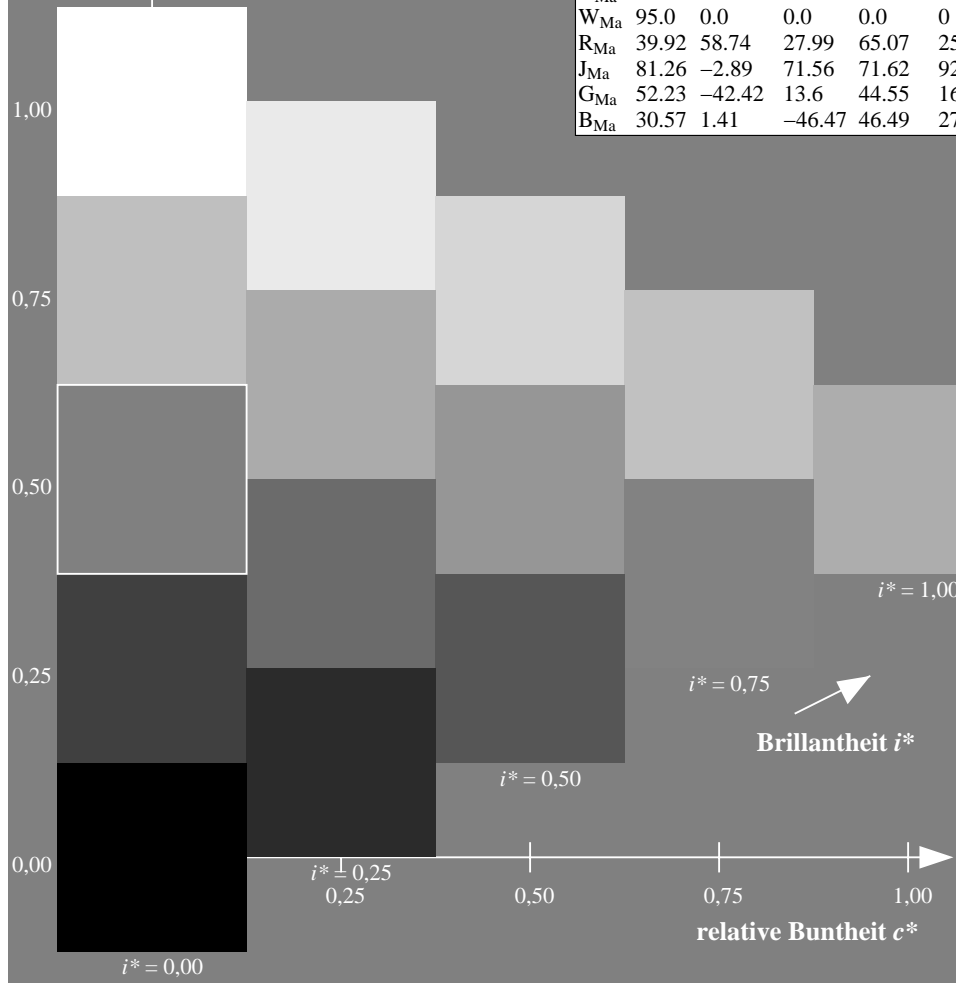
$u^*_{rel} = 83$

%Regularität

$g^*_{H,rel} = 72$

$g^*_{C,rel} = 57$

ORS20_95a; adaptierte CIELAB-Daten						
u^*_e	$L^*=L^*_a$	a^*_a	b^*_a	$C^*_{ab,a}$	$h^*_{ab,a}$	u^*_d
r00j	48.83	63.91	30.45	70.79	25	m84o
r25j	55.53	50.37	45.65	67.97	42	o17y
r50j	64.76	33.86	56.12	65.55	59	o42y
r75j	74.12	17.13	66.74	68.9	76	o67y
j00g	85.5	-3.22	79.65	79.72	92	o92y
j25g	79.45	-24.05	66.85	71.04	110	y20l
j50g	69.75	-38.03	49.98	62.8	127	y46l
j75g	61.38	-50.1	35.41	61.35	145	y72l
g00b	52.6	-62.77	20.12	65.92	162	y99l
g25b	55.39	-47.66	-8.06	48.34	190	l36c
g50b	57.43	-36.92	-27.8	46.22	217	l72c
g75b	55.19	-21.2	-44.17	48.99	244	c11v
b00r	41.84	1.31	-43.28	43.3	272	c56v
b25r	29.72	24.12	-41.48	47.98	300	v04m
b50r	38.41	44.74	-27.3	52.41	329	v55m
b75r	49.41	70.07	-3.62	70.16	357	m11o



Ein und Ausgabe: Farbmetrisches Drucker-Reflektiv-System ORS20_95a für relativen CIELAB-Buntton $h^* = lab^*h^* = h_{ab}/360 = 0.256$

Daten für jede Farbe:

lab^*tch^* und lab^*icu^*

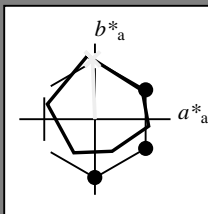
Bunttontexte:

$u^*_e = j00g$ $u^*_d = o92y$

Kontrastreduzierungsfaktor:

$c_R = 0.96$

Dreiecks-Helligkeit i^*



ORS20_95a; adaptierte CIELAB-Daten						
u^*_e	$L^*=L^*_a$	a^*_a	b^*_a	$C^*_{ab,a}$	$h^*_{ab,a}$	
O _{Ma}	48.71	62.56	37.91	73.15	31	
Y _{Ma}	89.25	-9.92	83.91	84.49	97	
L _{Ma}	52.5	-62.91	19.95	66.0	162	
C _{Ma}	59.15	-27.87	-44.43	52.45	238	
V _{Ma}	29.13	22.73	-42.44	48.14	298	
M _{Ma}	49.51	71.08	-9.19	71.67	353	
N _{Ma}	20.0	0.0	0.0	0.0	0	
W _{Ma}	95.0	0.0	0.0	0.0	0	
R _{Ma}	39.92	58.74	27.99	65.07	25	
J _{Ma}	81.26	-2.89	71.56	71.62	92	
G _{Ma}	52.23	-42.42	13.6	44.55	162	
B _{Ma}	30.57	1.41	-46.47	46.49	272	

Daten für Maximalfarbe (Ma):

$LAB^*LAB^*_{Ma}$: 86 -3 80

$LAB^*LCH^*_{Ma}$: 86 80 92

$lab^*rgb^*_{Ma}$: 1.0 1.0 0.0

$lab^*olv^*_{Ma}$: 1.0 0.93 0.0

Dreiecks-Helligkeit i^*

%Umfang

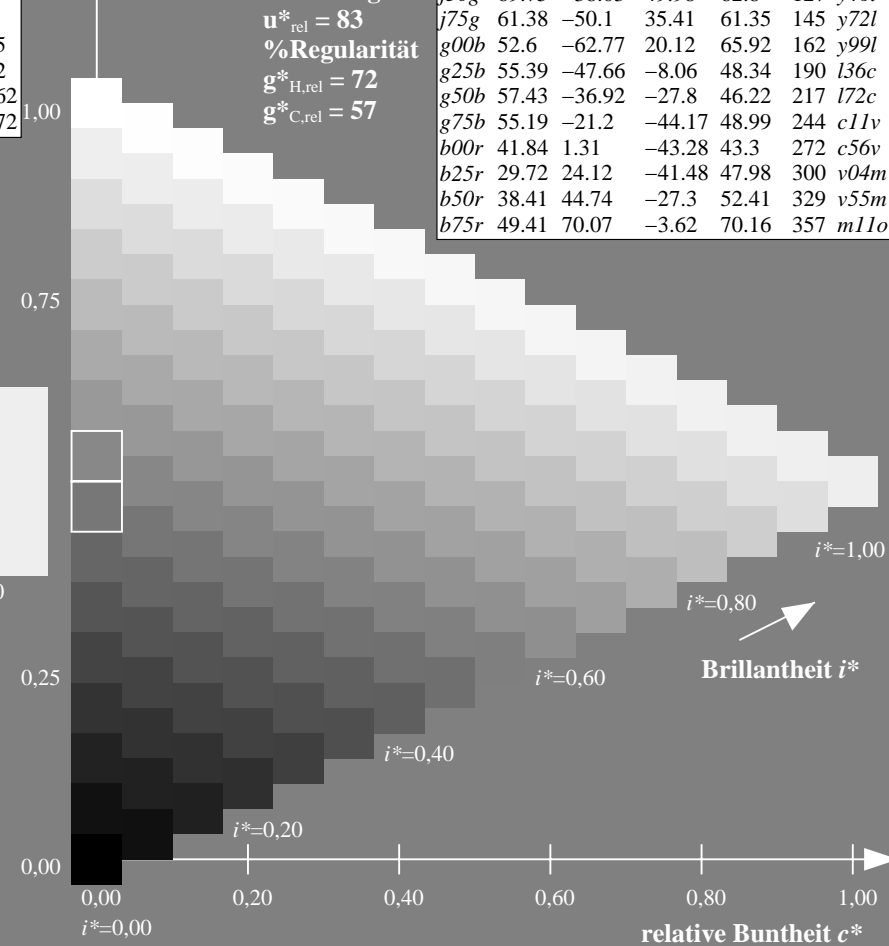
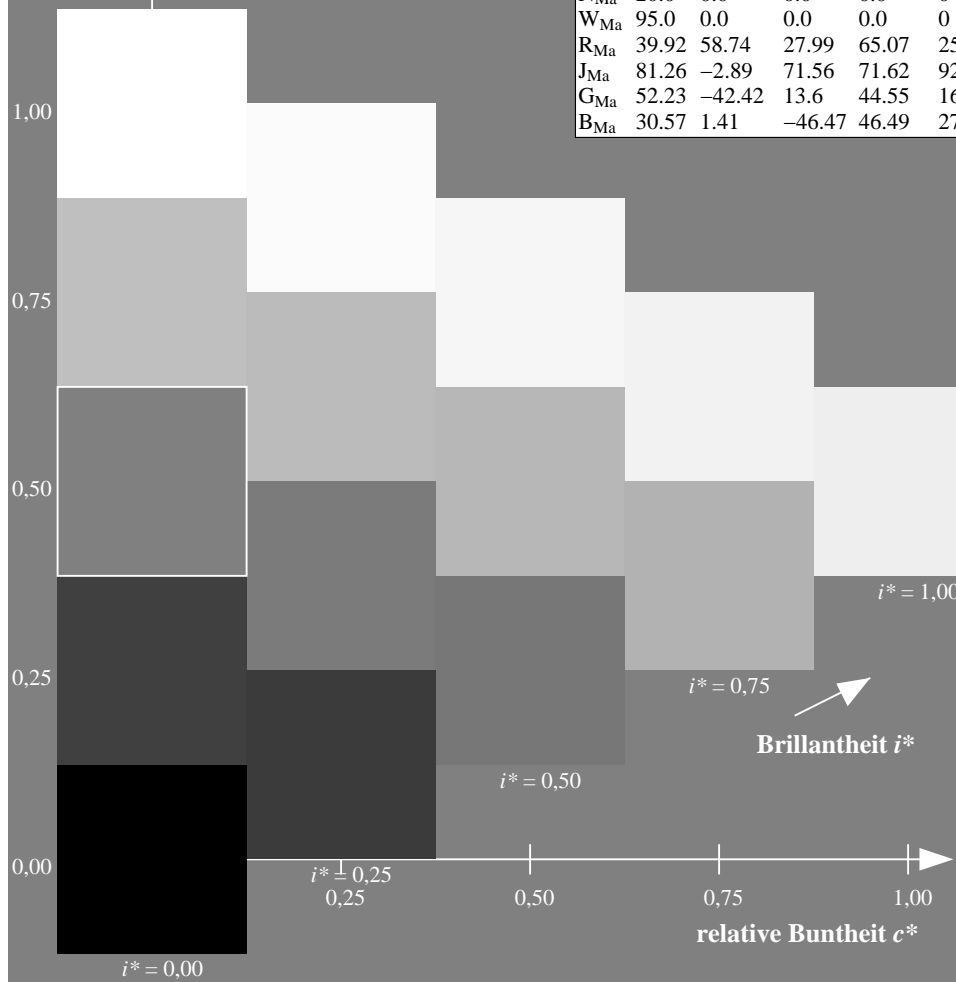
$u^*_{rel} = 83$

%Regularität

$g^*_{H,rel} = 72$

$g^*_{C,rel} = 57$

ORS20_95a; adaptierte CIELAB-Daten						
u^*_e	$L^*=L^*_a$	a^*_a	b^*_a	$C^*_{ab,a}$	$h^*_{ab,a}$	u^*_d
r00j	48.83	63.91	30.45	70.79	25	m84o
r25j	55.53	50.37	45.65	67.97	42	o17y
r50j	64.76	33.86	56.12	65.55	59	o42y
r75j	74.12	17.13	66.74	68.9	76	o67y
j00g	85.5	-3.22	79.65	79.72	92	o92y
j25g	79.45	-24.05	66.85	71.04	110	y20l
j50g	69.75	-38.03	49.98	62.8	127	y46l
j75g	61.38	-50.1	35.41	61.35	145	y72l
g00b	52.6	-62.77	20.12	65.92	162	y99l
g25b	55.39	-47.66	-8.06	48.34	190	l36c
g50b	57.43	-36.92	-27.8	46.22	217	l72c
g75b	55.19	-21.2	-44.17	48.99	244	c11v
b00r	41.84	1.31	-43.28	43.3	272	c56v
b25r	29.72	24.12	-41.48	47.98	300	v04m
b50r	38.41	44.74	-27.3	52.41	329	v55m
b75r	49.41	70.07	-3.62	70.16	357	m11o



Ein und Ausgabe: Farbmetrisches Drucker-Reflektiv-System ORS20_95a für relativen CIELAB-Buntton $h^* = lab^*h^* = h_{ab}/360 = 0.305$

Daten für jede Farbe:

lab^*tch^* und lab^*icu^*

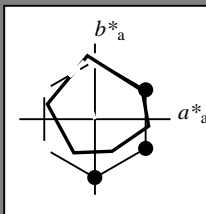
Bunttontexte:

$u^*_e = j25g$ $u^*_d = y20l$

Kontrastreduzierungsfaktor:

$c_R = 0.96$

Dreiecks-Helligkeit i^*



ORS20_95a; adaptierte CIELAB-Daten						
u^*_e	$L^*=L^*_a$	a^*_a	b^*_a	$C^*_{ab,a}$	$h^*_{ab,a}$	
O _{Ma}	48.71	62.56	37.91	73.15	31	
Y _{Ma}	89.25	-9.92	83.91	84.49	97	
L _{Ma}	52.5	-62.91	19.95	66.0	162	
C _{Ma}	59.15	-27.87	-44.43	52.45	238	
V _{Ma}	29.13	22.73	-42.44	48.14	298	
M _{Ma}	49.51	71.08	-9.19	71.67	353	
N _{Ma}	20.0	0.0	0.0	0.0	0	
W _{Ma}	95.0	0.0	0.0	0.0	0	
R _{Ma}	39.92	58.74	27.99	65.07	25	
J _{Ma}	81.26	-2.89	71.56	71.62	92	
G _{Ma}	52.23	-42.42	13.6	44.55	162	
B _{Ma}	30.57	1.41	-46.47	46.49	272	

Daten für Maximalfarbe (Ma):

LAB^*LAB^*Ma : 79 -24 67

LAB^*LCH^*Ma : 79 71 109

lab^*rgb^*Ma : 0.75 1.0 0.0

lab^*olv^*Ma : 0.8 1.0 0.0

Dreiecks-Helligkeit i^*

%Umfang

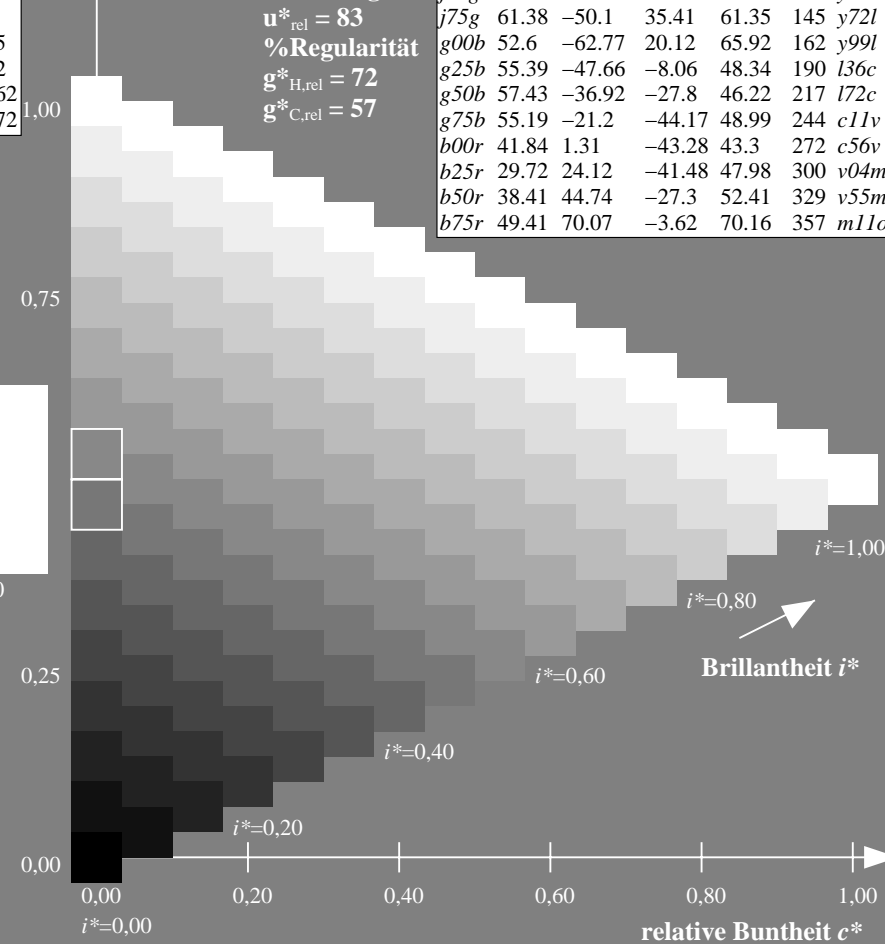
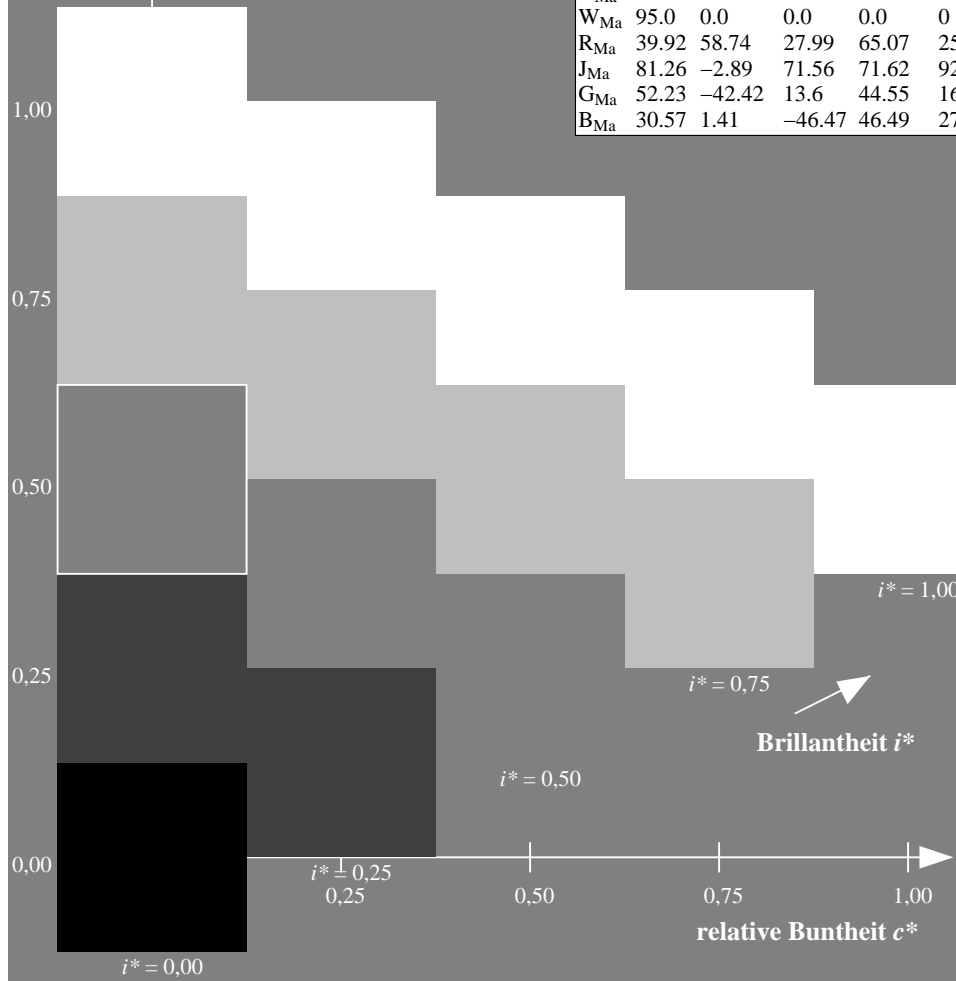
$u^*_{rel} = 83$

%Regularität

$g^*_{H,rel} = 72$

$g^*_{C,rel} = 57$

ORS20_95a; adaptierte CIELAB-Daten						
u^*_e	$L^*=L^*_a$	a^*_a	b^*_a	$C^*_{ab,a}$	$h^*_{ab,a}$	u^*_d
r00j	48.83	63.91	30.45	70.79	25	m84o
r25j	55.53	50.37	45.65	67.97	42	o17y
r50j	64.76	33.86	56.12	65.55	59	o42y
r75j	74.12	17.13	66.74	68.9	76	o67y
j00g	85.5	-3.22	79.65	79.72	92	o92y
j25g	79.45	-24.05	66.85	71.04	110	y20l
j50g	69.75	-38.03	49.98	62.8	127	y46l
j75g	61.38	-50.1	35.41	61.35	145	y72l
g00b	52.6	-62.77	20.12	65.92	162	y99l
g25b	55.39	-47.66	-8.06	48.34	190	l36c
g50b	57.43	-36.92	-27.8	46.22	217	l72c
g75b	55.19	-21.2	-44.17	48.99	244	c11v
b00r	41.84	1.31	-43.28	43.3	272	c56v
b25r	29.72	24.12	-41.48	47.98	300	v04m
b50r	38.41	44.74	-27.3	52.41	329	v55m
b75r	49.41	70.07	-3.62	70.16	357	m11o



Ein und Ausgabe: Farbmetrisches Drucker-Reflektiv-System ORS20_95a für relativen CIELAB-Buntton $h^* = lab^*h^* = h_{ab}/360 = 0.354$

Daten für jede Farbe:

lab^*tch^* und lab^*icu^*

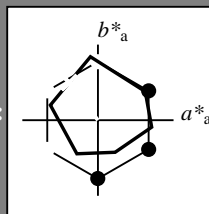
Bunttontexte:

$u^*_e = j50g$ $u^*_d = y46l$

Kontrastreduzierungsfaktor:

$c_R = 0.96$

Dreiecks-Helligkeit i^*



ORS20_95a; adaptierte CIELAB-Daten						
u^*_e	$L^*=L^*_a$	a^*_a	b^*_a	$C^*_{ab,a}$	$h^*_{ab,a}$	
O _{Ma}	48.71	62.56	37.91	73.15	31	
Y _{Ma}	89.25	-9.92	83.91	84.49	97	
L _{Ma}	52.5	-62.91	19.95	66.0	162	
C _{Ma}	59.15	-27.87	-44.43	52.45	238	
V _{Ma}	29.13	22.73	-42.44	48.14	298	
M _{Ma}	49.51	71.08	-9.19	71.67	353	
N _{Ma}	20.0	0.0	0.0	0.0	0	
W _{Ma}	95.0	0.0	0.0	0.0	0	
R _{Ma}	39.92	58.74	27.99	65.07	25	
J _{Ma}	81.26	-2.89	71.56	71.62	92	
G _{Ma}	52.23	-42.42	13.6	44.55	162	
B _{Ma}	30.57	1.41	-46.47	46.49	272	

Daten für Maximalfarbe (Ma):

$LAB^*LAB^*_{Ma}$: 70 -38 50

$LAB^*LCH^*_{Ma}$: 70 63 127

$lab^*rgb^*_{Ma}$: 0.5 1.0 0.0

$lab^*olv^*_{Ma}$: 0.54 1.0 0.0

Dreiecks-Helligkeit i^*

%Umfang

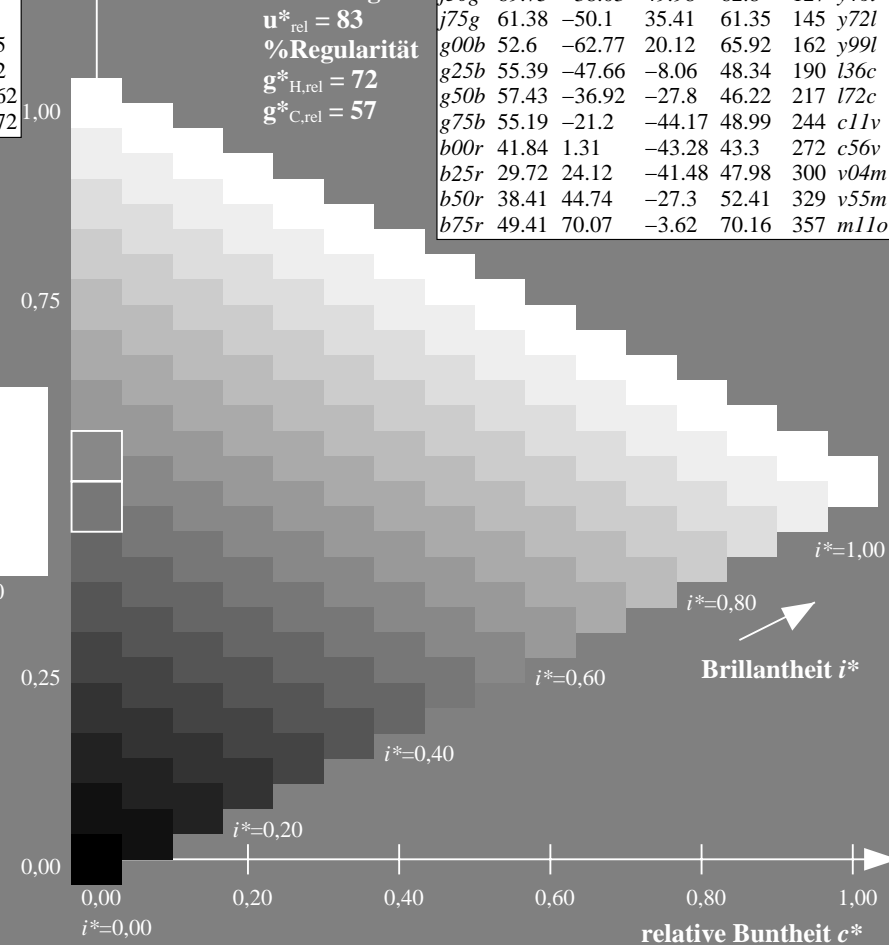
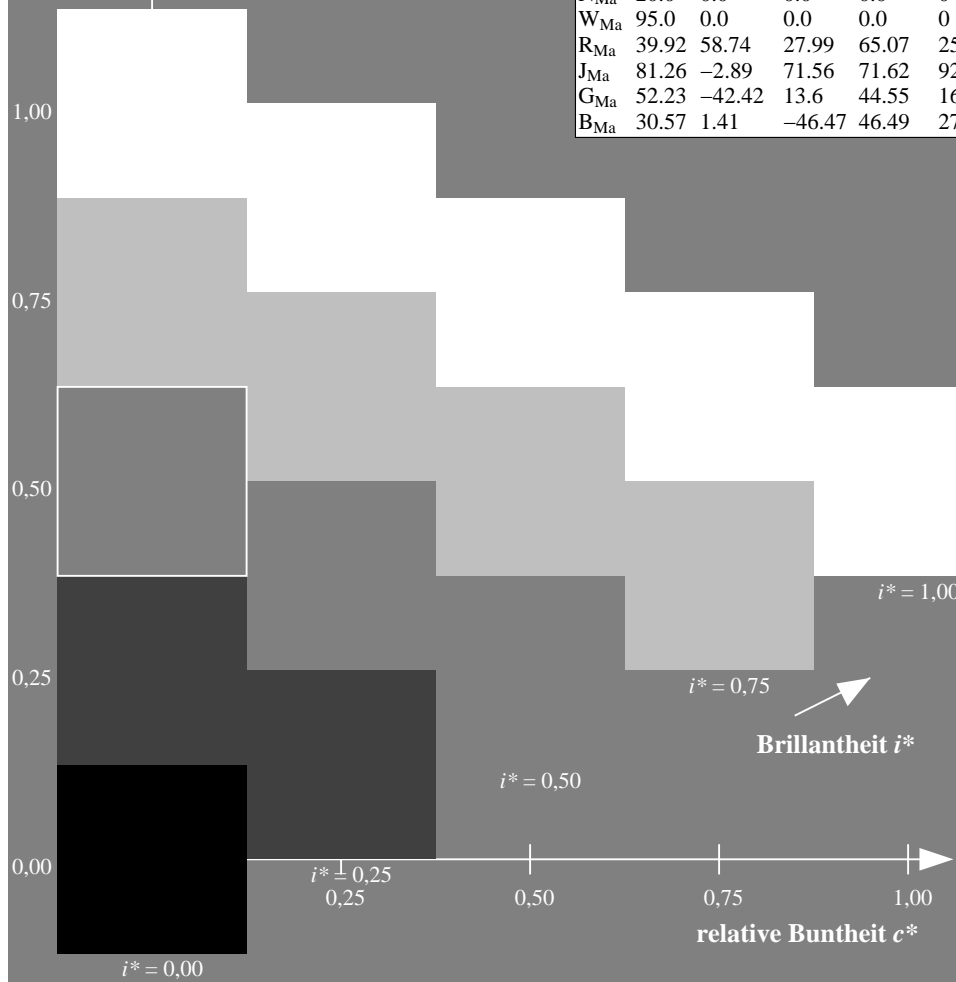
$u^*_{rel} = 83$

%Regularität

$g^*_{H,rel} = 72$

$g^*_{C,rel} = 57$

ORS20_95a; adaptierte CIELAB-Daten						
u^*_e	$L^*=L^*_a$	a^*_a	b^*_a	$C^*_{ab,a}$	$h^*_{ab,a}$	u^*_d
r00j	48.83	63.91	30.45	70.79	25	m84o
r25j	55.53	50.37	45.65	67.97	42	o17y
r50j	64.76	33.86	56.12	65.55	59	o42y
r75j	74.12	17.13	66.74	68.9	76	o67y
j00g	85.5	-3.22	79.65	79.72	92	o92y
j25g	79.45	-24.05	66.85	71.04	110	y20l
j50g	69.75	-38.03	49.98	62.8	127	y46l
j75g	61.38	-50.1	35.41	61.35	145	y72l
g00b	52.6	-62.77	20.12	65.92	162	y99l
g25b	55.39	-47.66	-8.06	48.34	190	l36c
g50b	57.43	-36.92	-27.8	46.22	217	l72c
g75b	55.19	-21.2	-44.17	48.99	244	c11v
b00r	41.84	1.31	-43.28	43.3	272	c56v
b25r	29.72	24.12	-41.48	47.98	300	v04m
b50r	38.41	44.74	-27.3	52.41	329	v55m
b75r	49.41	70.07	-3.62	70.16	357	m11o



Ein und Ausgabe: Farbmetrisches Drucker-Reflektiv-System ORS20_95a für relativen CIELAB-Buntton $h^* = lab^*h^* = h_{ab}/360 = 0.402$

Daten für jede Farbe:

lab^*tch^* und lab^*icu^*

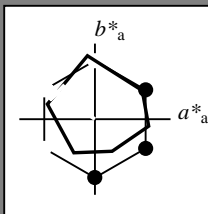
Bunttontexte:

$u^*_e = j75g$ $u^*_d = y72l$

Kontrastreduzierungsfaktor:

$c_R = 0.96$

Dreiecks-Helligkeit i^*



ORS20_95a; adaptierte CIELAB-Daten						
u^*_e	$L^*=L^*_a$	a^*_a	b^*_a	$C^*_{ab,a}$	$h^*_{ab,a}$	
O _{Ma}	48.71	62.56	37.91	73.15	31	
Y _{Ma}	89.25	-9.92	83.91	84.49	97	
L _{Ma}	52.5	-62.91	19.95	66.0	162	
C _{Ma}	59.15	-27.87	-44.43	52.45	238	
V _{Ma}	29.13	22.73	-42.44	48.14	298	
M _{Ma}	49.51	71.08	-9.19	71.67	353	
N _{Ma}	20.0	0.0	0.0	0.0	0	
W _{Ma}	95.0	0.0	0.0	0.0	0	
R _{Ma}	39.92	58.74	27.99	65.07	25	
J _{Ma}	81.26	-2.89	71.56	71.62	92	
G _{Ma}	52.23	-42.42	13.6	44.55	162	
B _{Ma}	30.57	1.41	-46.47	46.49	272	

Daten für Maximalfarbe (Ma):

LAB^*LAB^*Ma : 61 -50 35

LAB^*LCH^*Ma : 61 61 144

lab^*rgb^*Ma : 0.25 1.0 0.0

lab^*olv^*Ma : 0.27 1.0 0.0

Dreiecks-Helligkeit i^*

%Umfang

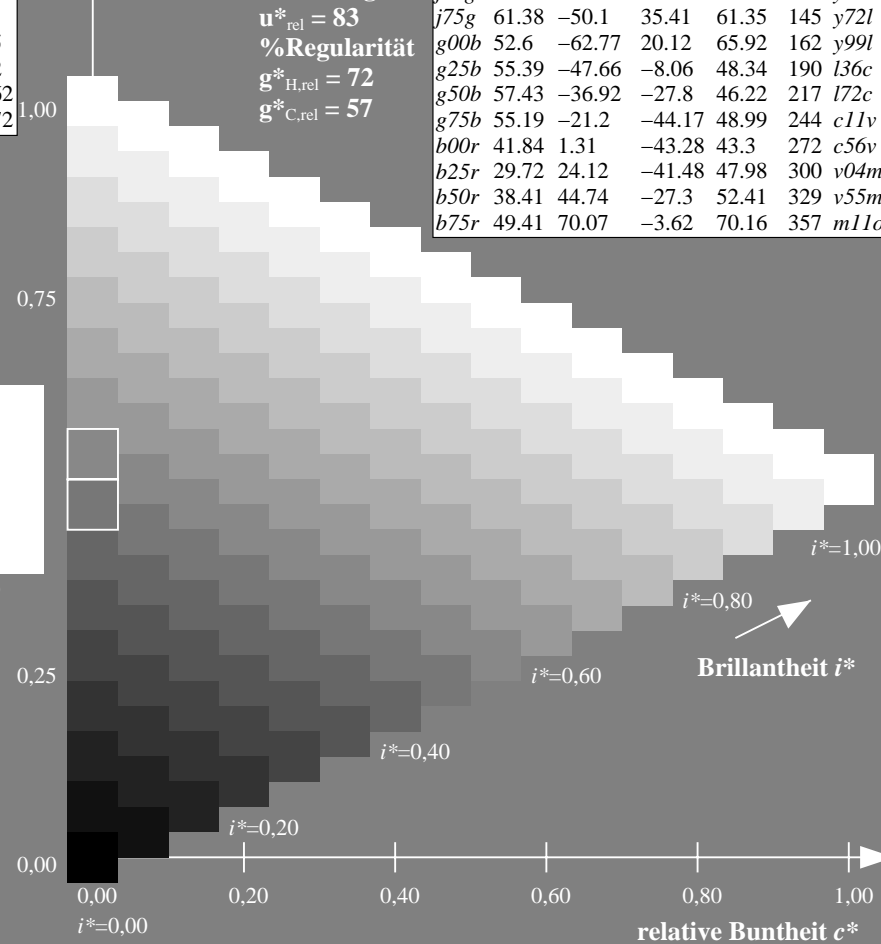
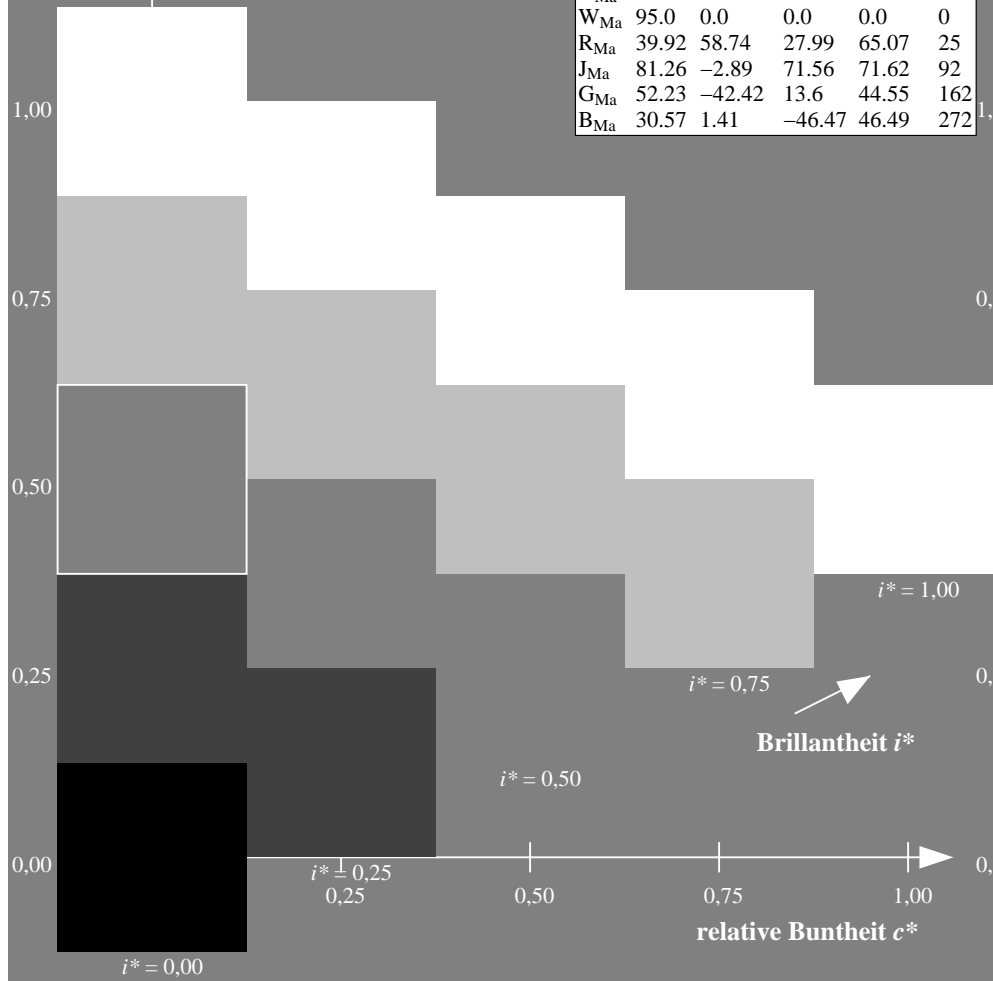
$u^*_{rel} = 83$

%Regularität

$g^*_{H,rel} = 72$

$g^*_{C,rel} = 57$

ORS20_95a; adaptierte CIELAB-Daten						
u^*_e	$L^*=L^*_a$	a^*_a	b^*_a	$C^*_{ab,a}$	$h^*_{ab,a}$	u^*_d
r00j	48.83	63.91	30.45	70.79	25	m84o
r25j	55.53	50.37	45.65	67.97	42	o17y
r50j	64.76	33.86	56.12	65.55	59	o42y
r75j	74.12	17.13	66.74	68.9	76	o67y
j00g	85.5	-3.22	79.65	79.72	92	o92y
j25g	79.45	-24.05	66.85	71.04	110	y20l
j50g	69.75	-38.03	49.98	62.8	127	y46l
j75g	61.38	-50.1	35.41	61.35	145	y72l
g00b	52.6	-62.77	20.12	65.92	162	y99l
g25b	55.39	-47.66	-8.06	48.34	190	l36c
g50b	57.43	-36.92	-27.8	46.22	217	l72c
g75b	55.19	-21.2	-44.17	48.99	244	c11v
b00r	41.84	1.31	-43.28	43.3	272	c56v
b25r	29.72	24.12	-41.48	47.98	300	v04m
b50r	38.41	44.74	-27.3	52.41	329	v55m
b75r	49.41	70.07	-3.62	70.16	357	m11o



Ein und Ausgabe: Farbmetrisches Drucker-Reflektiv-System ORS20_95a für relativen CIELAB-Buntton $h^* = lab^*h^* = h_{ab}/360 = 0.451$

Daten für jede Farbe:

lab^*ch^* und lab^*icu^*

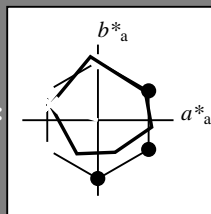
Bunttontexte:

$u^*_e = g00b$ $u^*_d = y99l$

Kontrastreduzierungsfaktor:

$c_R = 0.96$

Dreiecks-Helligkeit i^*



ORS20_95a; adaptierte CIELAB-Daten						
u^*_e	$L^*=L^*_a$	a^*_a	b^*_a	$C^*_{ab,a}$	$h^*_{ab,a}$	
O _{Ma}	48.71	62.56	37.91	73.15	31	
Y _{Ma}	89.25	-9.92	83.91	84.49	97	
L _{Ma}	52.5	-62.91	19.95	66.0	162	
C _{Ma}	59.15	-27.87	-44.43	52.45	238	
V _{Ma}	29.13	22.73	-42.44	48.14	298	
M _{Ma}	49.51	71.08	-9.19	71.67	353	
N _{Ma}	20.0	0.0	0.0	0.0	0	
W _{Ma}	95.0	0.0	0.0	0.0	0	
R _{Ma}	39.92	58.74	27.99	65.07	25	
J _{Ma}	81.26	-2.89	71.56	71.62	92	
G _{Ma}	52.23	-42.42	13.6	44.55	162	
B _{Ma}	30.57	1.41	-46.47	46.49	272	

Daten für Maximalfarbe (Ma):

$LAB^*LAB^*_{Ma}$: 53 -63 20

$LAB^*LCH^*_{Ma}$: 53 66 162

$lab^*rgb^*_{Ma}$: 0.0 1.0 0.0

$lab^*olv^*_{Ma}$: 0.0 1.0 0.0

Dreiecks-Helligkeit i^*

%Umfang

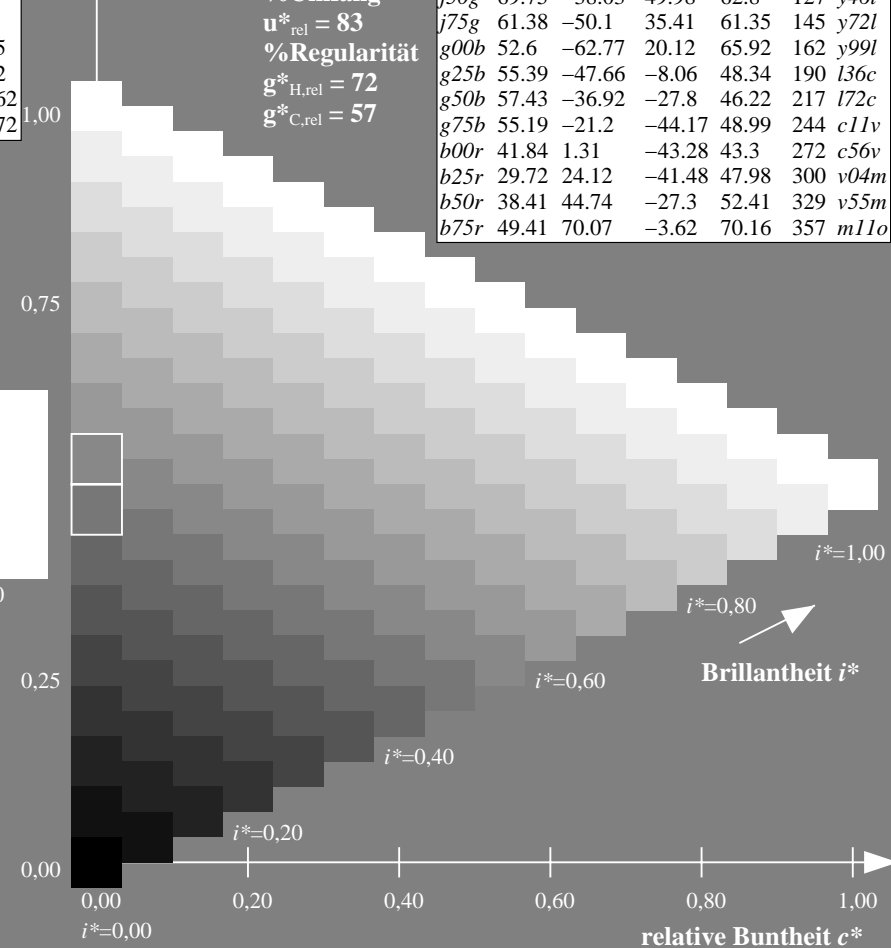
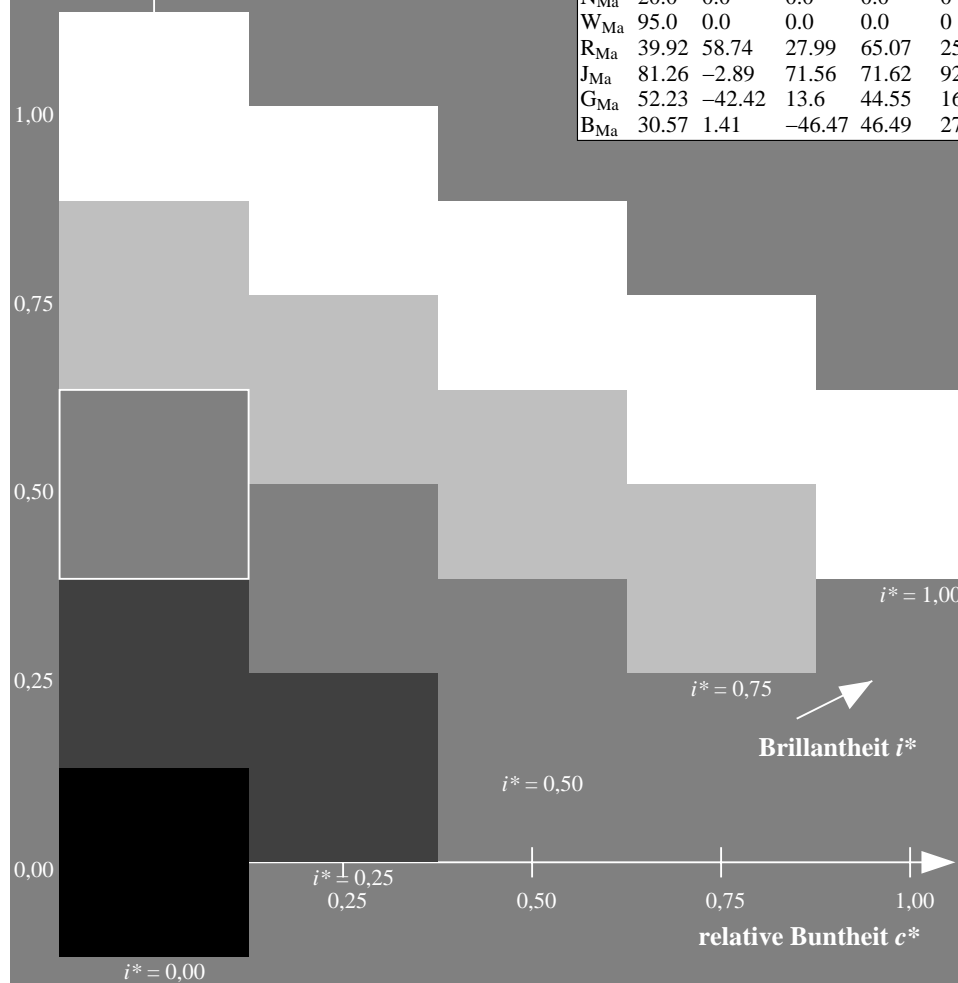
$u^*_{rel} = 83$

%Regularität

$g^*_{H,rel} = 72$

$g^*_{C,rel} = 57$

ORS20_95a; adaptierte CIELAB-Daten						
u^*_e	$L^*=L^*_a$	a^*_a	b^*_a	$C^*_{ab,a}$	$h^*_{ab,a}$	u^*_d
r00j	48.83	63.91	30.45	70.79	25	m84o
r25j	55.53	50.37	45.65	67.97	42	o17y
r50j	64.76	33.86	56.12	65.55	59	o42y
r75j	74.12	17.13	66.74	68.9	76	o67y
j00g	85.5	-3.22	79.65	79.72	92	o92y
j25g	79.45	-24.05	66.85	71.04	110	y20l
j50g	69.75	-38.03	49.98	62.8	127	y46l
j75g	61.38	-50.1	35.41	61.35	145	y72l
g00b	52.6	-62.77	20.12	65.92	162	y99l
g25b	55.39	-47.66	-8.06	48.34	190	l36c
g50b	57.43	-36.92	-27.8	46.22	217	l72c
g75b	55.19	-21.2	-44.17	48.99	244	c11v
b00r	41.84	1.31	-43.28	43.3	272	c56v
b25r	29.72	24.12	-41.48	47.98	300	v04m
b50r	38.41	44.74	-27.3	52.41	329	v55m
b75r	49.41	70.07	-3.62	70.16	357	m11o



Ein und Ausgabe: Farbmetrisches Drucker-Reflektiv-System ORS20_95a für relativen CIELAB-Buntton $h^* = lab^*h^* = h_{ab}/360 = 0.527$

Daten für jede Farbe:

lab^*tch^* und lab^*icu^*

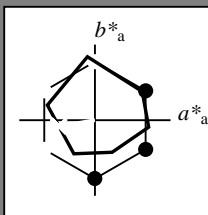
Bunttontexte:

$u^*_e = g25b$ $u^*_d = l36c$

Kontrastreduzierungsfaktor:

$c_R = 0.96$

Dreiecks-Helligkeit i^*



ORS20_95a; adaptierte CIELAB-Daten						
u^*_e	$L^*=L^*_a$	a^*_a	b^*_a	$C^*_{ab,a}$	$h^*_{ab,a}$	
O _{Ma}	48.71	62.56	37.91	73.15	31	
Y _{Ma}	89.25	-9.92	83.91	84.49	97	
L _{Ma}	52.5	-62.91	19.95	66.0	162	
C _{Ma}	59.15	-27.87	-44.43	52.45	238	
V _{Ma}	29.13	22.73	-42.44	48.14	298	
M _{Ma}	49.51	71.08	-9.19	71.67	353	
N _{Ma}	20.0	0.0	0.0	0.0	0	
W _{Ma}	95.0	0.0	0.0	0.0	0	
R _{Ma}	39.92	58.74	27.99	65.07	25	
J _{Ma}	81.26	-2.89	71.56	71.62	92	
G _{Ma}	52.23	-42.42	13.6	44.55	162	
B _{Ma}	30.57	1.41	-46.47	46.49	272	

Daten für Maximalfarbe (Ma):

$LAB^*LAB^*_{Ma}$: 55 -48 -8

$LAB^*LCH^*_{Ma}$: 55 48 189

$lab^*rgb^*_{Ma}$: 0.0 1.0 0.5

$lab^*olv^*_{Ma}$: 0.0 1.0 0.36

Dreiecks-Helligkeit i^*

%Umfang

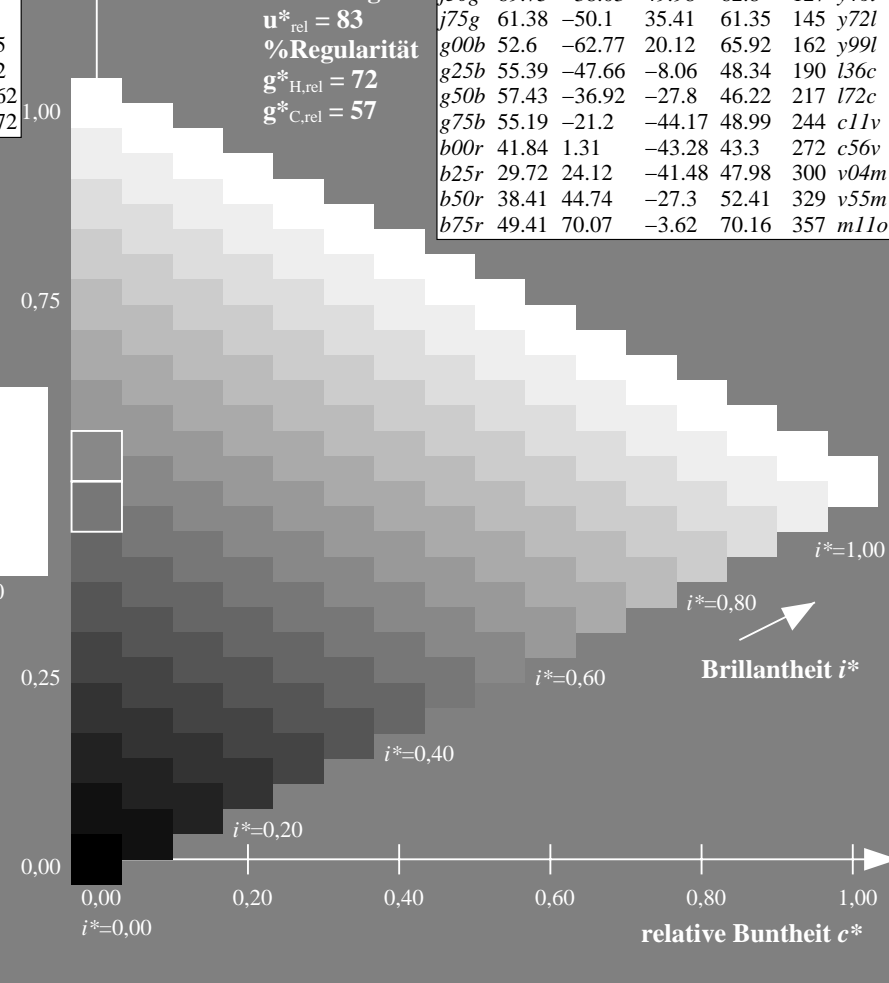
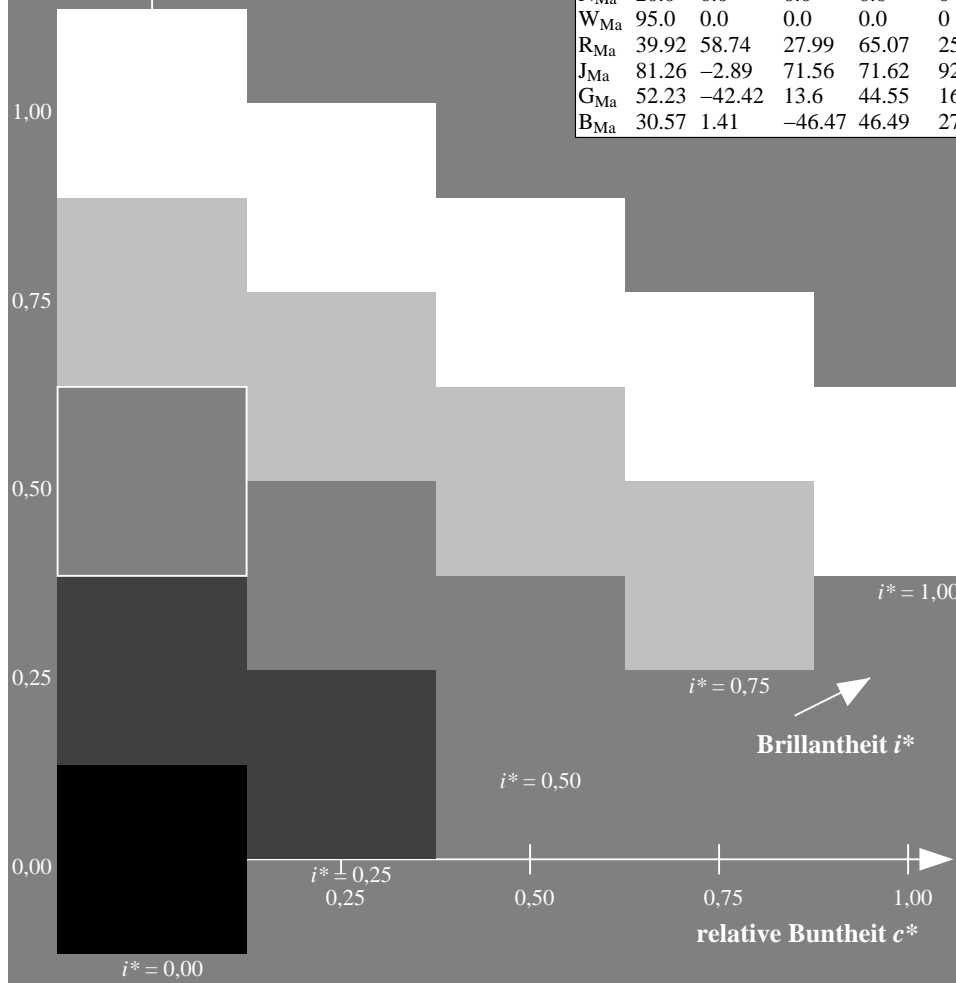
$u^*_{rel} = 83$

%Regularität

$g^*_{H,rel} = 72$

$g^*_{C,rel} = 57$

ORS20_95a; adaptierte CIELAB-Daten						
u^*_e	$L^*=L^*_a$	a^*_a	b^*_a	$C^*_{ab,a}$	$h^*_{ab,a}$	u^*_d
r00j	48.83	63.91	30.45	70.79	25	m84o
r25j	55.53	50.37	45.65	67.97	42	o17y
r50j	64.76	33.86	56.12	65.55	59	o42y
r75j	74.12	17.13	66.74	68.9	76	o67y
j00g	85.5	-3.22	79.65	79.72	92	o92y
j25g	79.45	-24.05	66.85	71.04	110	y20l
j50g	69.75	-38.03	49.98	62.8	127	y46l
j75g	61.38	-50.1	35.41	61.35	145	y72l
g00b	52.6	-62.77	20.12	65.92	162	y99l
g25b	55.39	-47.66	-8.06	48.34	190	l36c
g50b	57.43	-36.92	-27.8	46.22	217	l72c
g75b	55.19	-21.2	-44.17	48.99	244	c11v
b00r	41.84	1.31	-43.28	43.3	272	c56v
b25r	29.72	24.12	-41.48	47.98	300	v04m
b50r	38.41	44.74	-27.3	52.41	329	v55m
b75r	49.41	70.07	-3.62	70.16	357	m11o



Ein und Ausgabe: Farbmetrisches Drucker-Reflektiv-System ORS20_95a für relativen CIELAB-Buntton $h^* = lab^*h^* = h_{ab}/360 = 0.603$

Daten für jede Farbe:

lab^*ch^* und lab^*icu^*

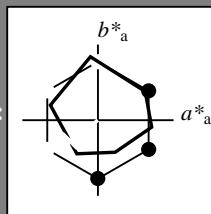
Bunttontexte:

$u^*_e = g50b$ $u^*_d = l72c$

Kontrastreduzierungsfaktor:

$c_R = 0.96$

Dreiecks-Helligkeit i^*



ORS20_95a; adaptierte CIELAB-Daten						
u^*_e	$L^*=L^*_a$	a^*_a	b^*_a	$C^*_{ab,a}$	$h^*_{ab,a}$	
O _{Ma}	48.71	62.56	37.91	73.15	31	
Y _{Ma}	89.25	-9.92	83.91	84.49	97	
L _{Ma}	52.5	-62.91	19.95	66.0	162	
C _{Ma}	59.15	-27.87	-44.43	52.45	238	
V _{Ma}	29.13	22.73	-42.44	48.14	298	
M _{Ma}	49.51	71.08	-9.19	71.67	353	
N _{Ma}	20.0	0.0	0.0	0.0	0	
W _{Ma}	95.0	0.0	0.0	0.0	0	
R _{Ma}	39.92	58.74	27.99	65.07	25	
J _{Ma}	81.26	-2.89	71.56	71.62	92	
G _{Ma}	52.23	-42.42	13.6	44.55	162	
B _{Ma}	30.57	1.41	-46.47	46.49	272	

Daten für Maximalfarbe (Ma):

$LAB^*LAB^*_{Ma}$: 57 -37 -28

$LAB^*LCH^*_{Ma}$: 57 46 216

$lab^*rgb^*_{Ma}$: 0.0 1.0 1.0

$lab^*olv^*_{Ma}$: 0.0 1.0 0.72

Dreiecks-Helligkeit i^*

%Umfang

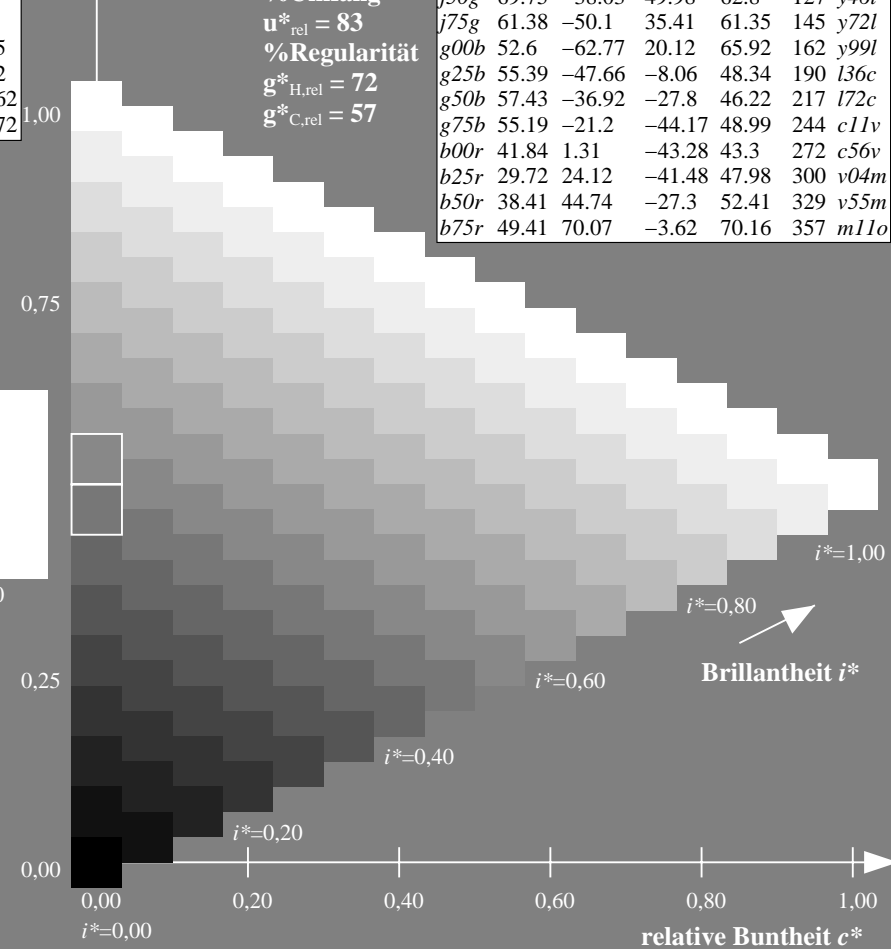
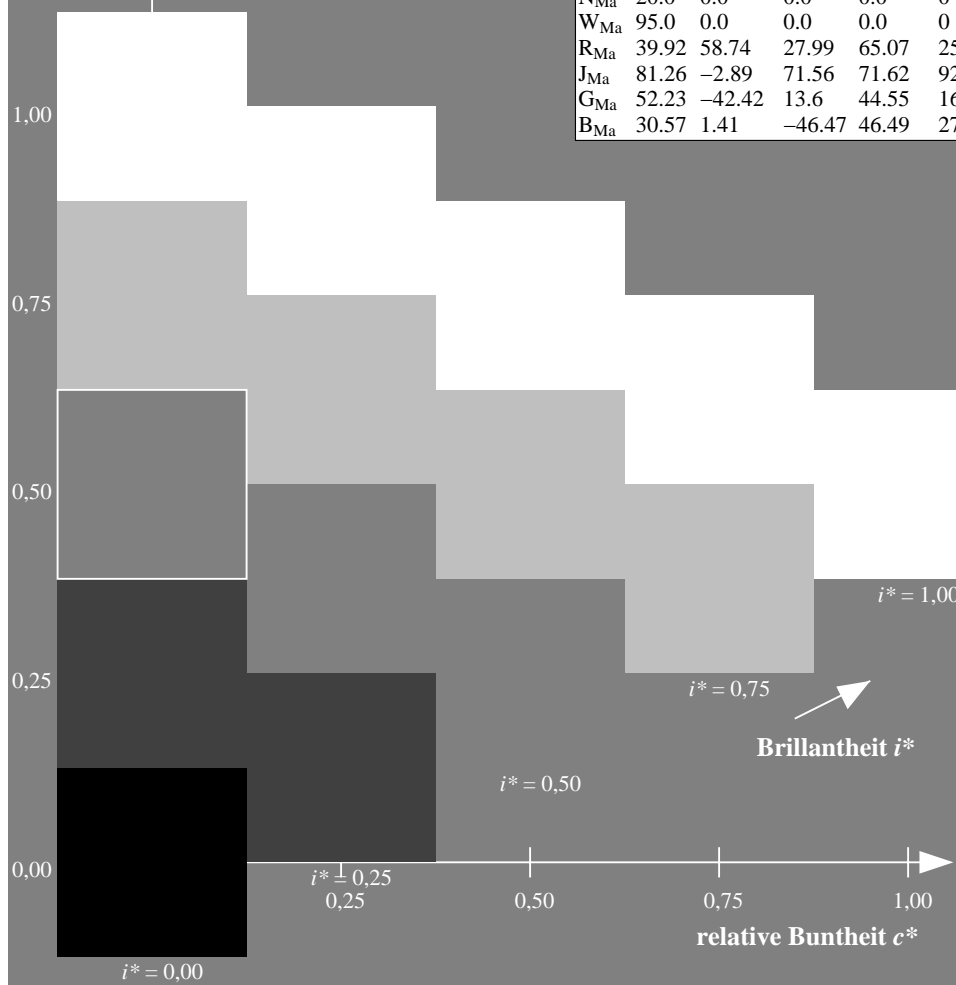
$u^*_{rel} = 83$

%Regularität

$g^*_{H,rel} = 72$

$g^*_{C,rel} = 57$

ORS20_95a; adaptierte CIELAB-Daten						
u^*_e	$L^*=L^*_a$	a^*_a	b^*_a	$C^*_{ab,a}$	$h^*_{ab,a}$	u^*_d
r00j	48.83	63.91	30.45	70.79	25	m84o
r25j	55.53	50.37	45.65	67.97	42	o17y
r50j	64.76	33.86	56.12	65.55	59	o42y
r75j	74.12	17.13	66.74	68.9	76	o67y
j00g	85.5	-3.22	79.65	79.72	92	o92y
j25g	79.45	-24.05	66.85	71.04	110	y20l
j50g	69.75	-38.03	49.98	62.8	127	y46l
j75g	61.38	-50.1	35.41	61.35	145	y72l
g00b	52.6	-62.77	20.12	65.92	162	y99l
g25b	55.39	-47.66	-8.06	48.34	190	l36c
g50b	57.43	-36.92	-27.8	46.22	217	l72c
g75b	55.19	-21.2	-44.17	48.99	244	c11v
b00r	41.84	1.31	-43.28	43.3	272	c56v
b25r	29.72	24.12	-41.48	47.98	300	v04m
b50r	38.41	44.74	-27.3	52.41	329	v55m
b75r	49.41	70.07	-3.62	70.16	357	m11o



Ein und Ausgabe: Farbmetrisches Drucker-Reflektiv-System ORS20_95a für relativen CIELAB-Buntton $h^* = lab^*h^* = h_{ab}/360 = 0.679$

Daten für jede Farbe:

lab^*ch^* und lab^*icu^*

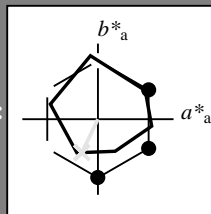
Bunttontexte:

$u^*_e = g75b$ $u^*_d = c11v$

Kontrastreduzierungsfaktor:

$c_R = 0.96$

Dreiecks-Helligkeit i^*



ORS20_95a; adaptierte CIELAB-Daten						
u^*_e	$L^*=L^*_a$	a^*_a	b^*_a	$C^*_{ab,a}$	$h^*_{ab,a}$	
O _{Ma}	48.71	62.56	37.91	73.15	31	
Y _{Ma}	89.25	-9.92	83.91	84.49	97	
L _{Ma}	52.5	-62.91	19.95	66.0	162	
C _{Ma}	59.15	-27.87	-44.43	52.45	238	
V _{Ma}	29.13	22.73	-42.44	48.14	298	
M _{Ma}	49.51	71.08	-9.19	71.67	353	
N _{Ma}	20.0	0.0	0.0	0.0	0	
W _{Ma}	95.0	0.0	0.0	0.0	0	
R _{Ma}	39.92	58.74	27.99	65.07	25	
J _{Ma}	81.26	-2.89	71.56	71.62	92	
G _{Ma}	52.23	-42.42	13.6	44.55	162	
B _{Ma}	30.57	1.41	-46.47	46.49	272	

Daten für Maximalfarbe (Ma):

LAB^*LAB^*Ma : 55 -21 -44

LAB^*LCH^*Ma : 55 49 244

lab^*rgb^*Ma : 0.0 0.5 1.0

lab^*olv^*Ma : 0.0 0.89 1.0

Dreiecks-Helligkeit i^*

%Umfang

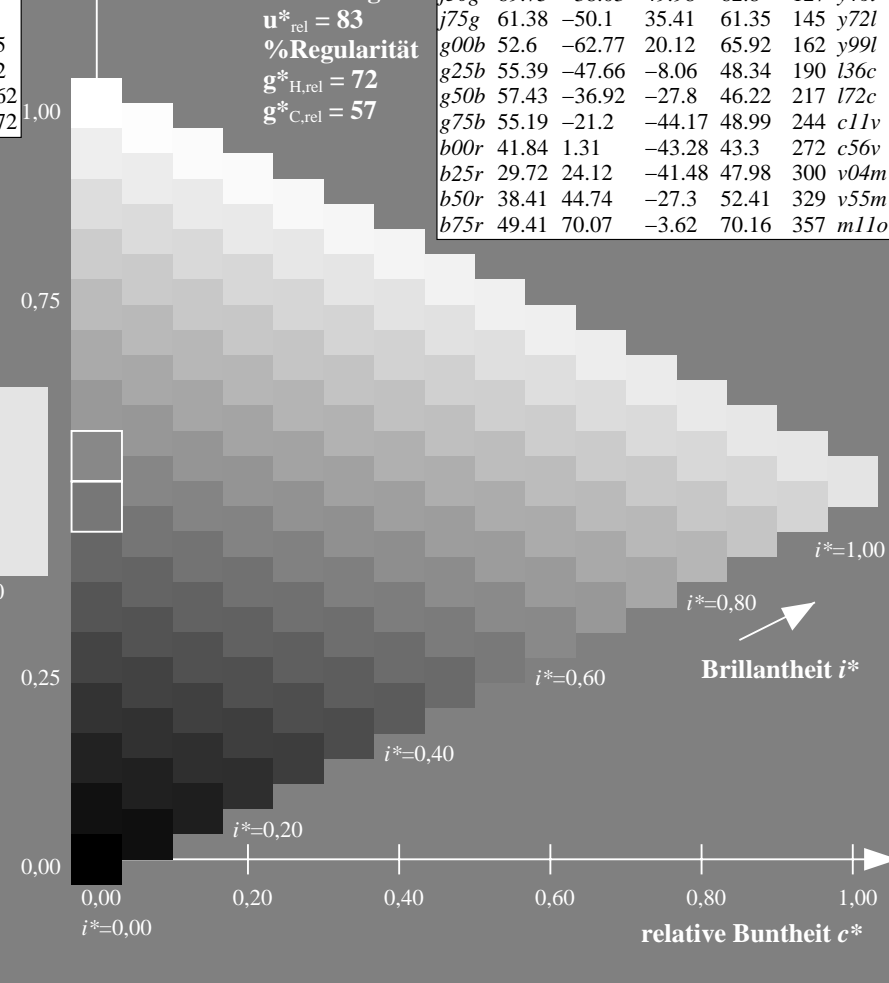
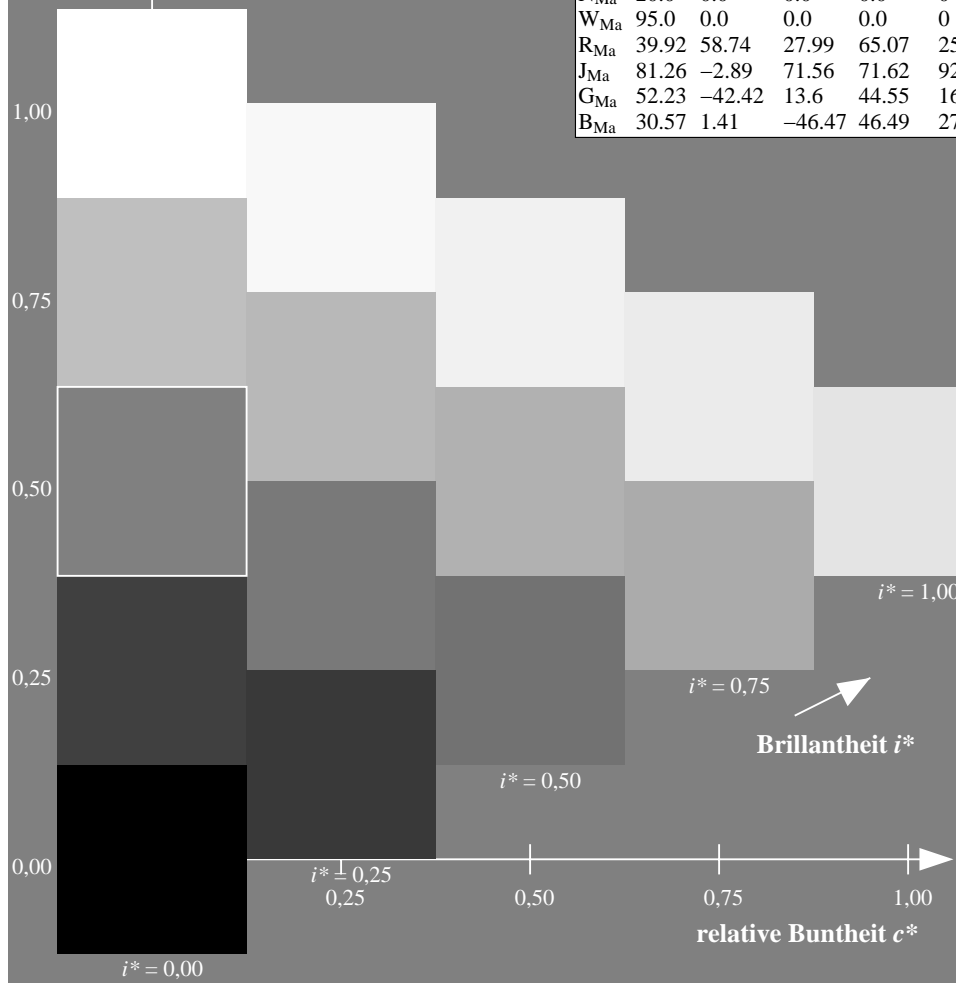
$u^*_{rel} = 83$

%Regularität

$g^*_{H,rel} = 72$

$g^*_{C,rel} = 57$

ORS20_95a; adaptierte CIELAB-Daten						
u^*_e	$L^*=L^*_a$	a^*_a	b^*_a	$C^*_{ab,a}$	$h^*_{ab,a}$	u^*_d
r00j	48.83	63.91	30.45	70.79	25	m84o
r25j	55.53	50.37	45.65	67.97	42	o17y
r50j	64.76	33.86	56.12	65.55	59	o42y
r75j	74.12	17.13	66.74	68.9	76	o67y
j00g	85.5	-3.22	79.65	79.72	92	o92y
j25g	79.45	-24.05	66.85	71.04	110	y20l
j50g	69.75	-38.03	49.98	62.8	127	y46l
j75g	61.38	-50.1	35.41	61.35	145	y72l
g00b	52.6	-62.77	20.12	65.92	162	y99l
g25b	55.39	-47.66	-8.06	48.34	190	l36c
g50b	57.43	-36.92	-27.8	46.22	217	l72c
g75b	55.19	-21.2	-44.17	48.99	244	c11v
b00r	41.84	1.31	-43.28	43.3	272	c56v
b25r	29.72	24.12	-41.48	47.98	300	v04m
b50r	38.41	44.74	-27.3	52.41	329	v55m
b75r	49.41	70.07	-3.62	70.16	357	m11o



Ein und Ausgabe: Farbmetrisches Drucker-Reflektiv-System ORS20_95a für relativen CIELAB-Buntton $h^* = lab^*h^* = h_{ab}/360 = 0.755$

Daten für jede Farbe:

lab^*ch^* und lab^*icu^*

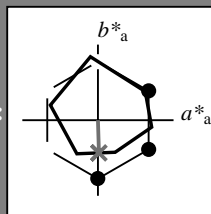
Bunttontexte:

$u^*_e = b00r$ $u^*_d = c56v$

Kontrastreduzierungsfaktor:

$c_R = 0.96$

Dreiecks-Helligkeit i^*



ORS20_95a; adaptierte CIELAB-Daten

u^*_e	$L^*=L^*_a$	a^*_a	b^*_a	$C^*_{ab,a}$	$h^*_{ab,a}$
O _{Ma}	48.71	62.56	37.91	73.15	31
Y _{Ma}	89.25	-9.92	83.91	84.49	97
L _{Ma}	52.5	-62.91	19.95	66.0	162
C _{Ma}	59.15	-27.87	-44.43	52.45	238
V _{Ma}	29.13	22.73	-42.44	48.14	298
M _{Ma}	49.51	71.08	-9.19	71.67	353
N _{Ma}	20.0	0.0	0.0	0.0	0
W _{Ma}	95.0	0.0	0.0	0.0	0
R _{Ma}	39.92	58.74	27.99	65.07	25
J _{Ma}	81.26	-2.89	71.56	71.62	92
G _{Ma}	52.23	-42.42	13.6	44.55	162
B _{Ma}	30.57	1.41	-46.47	46.49	272

Daten für Maximalfarbe (Ma):

$LAB^*LAB^*_{Ma}$: 42 1 -43

$LAB^*LCH^*_{Ma}$: 42 43 271

$lab^*rgb^*_{Ma}$: 0.0 0.0 1.0

$lab^*olv^*_{Ma}$: 0.0 0.44 1.0

Dreiecks-Helligkeit i^*

%Umfang

$u^*_{rel} = 83$

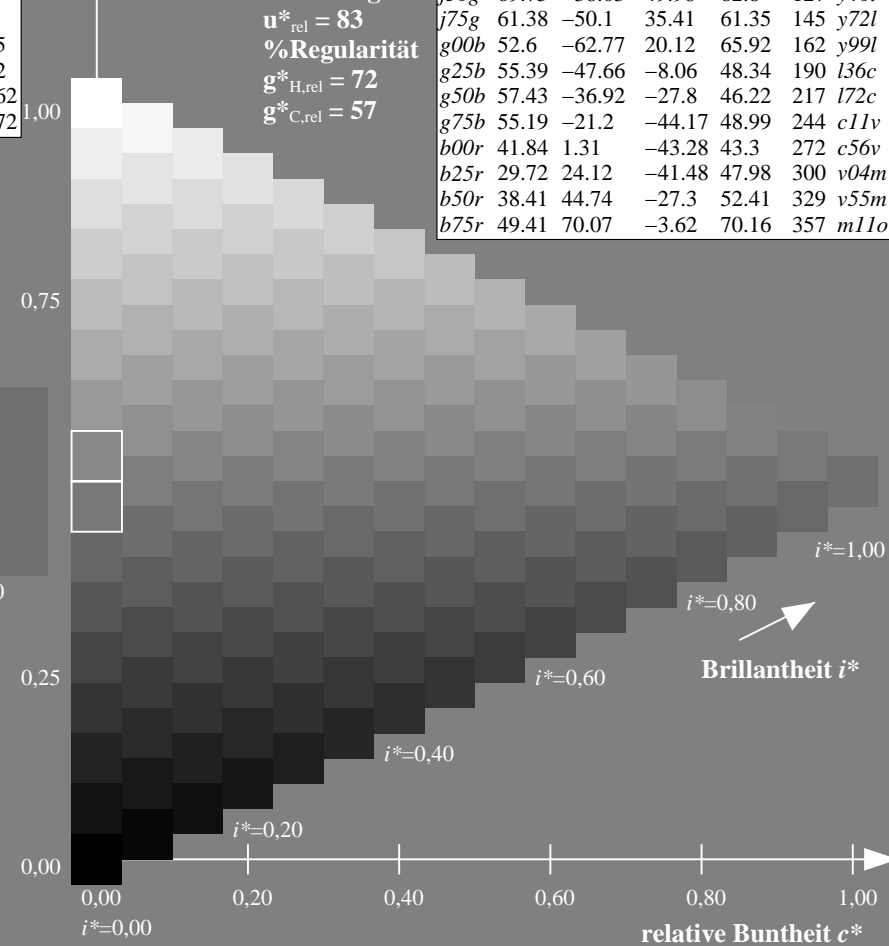
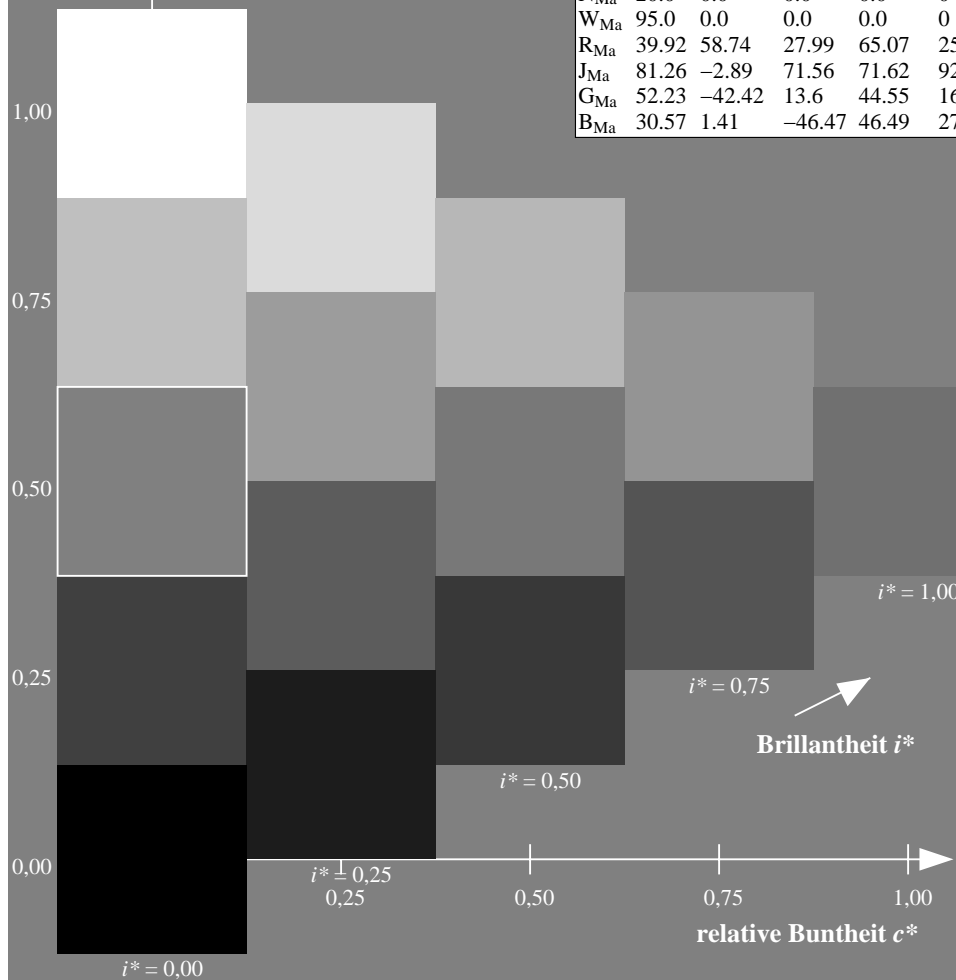
%Regularität

$g^*_{H,rel} = 72$

$g^*_{C,rel} = 57$

ORS20_95a; adaptierte CIELAB-Daten

u^*_e	$L^*=L^*_a$	a^*_a	b^*_a	$C^*_{ab,a}$	$h^*_{ab,a}$	u^*_d
r00j	48.83	63.91	30.45	70.79	25	m84o
r25j	55.53	50.37	45.65	67.97	42	o17y
r50j	64.76	33.86	56.12	65.55	59	o42y
r75j	74.12	17.13	66.74	68.9	76	o67y
j00g	85.5	-3.22	79.65	79.72	92	o92y
j25g	79.45	-24.05	66.85	71.04	110	y20l
j50g	69.75	-38.03	49.98	62.8	127	y46l
j75g	61.38	-50.1	35.41	61.35	145	y72l
g00b	52.6	-62.77	20.12	65.92	162	y99l
g25b	55.39	-47.66	-8.06	48.34	190	l36c
g50b	57.43	-36.92	-27.8	46.22	217	l72c
g75b	55.19	-21.2	-44.17	48.99	244	c11v
b00r	41.84	1.31	-43.28	43.3	272	c56v
b25r	29.72	24.12	-41.48	47.98	300	v04m
b50r	38.41	44.74	-27.3	52.41	329	v55m
b75r	49.41	70.07	-3.62	70.16	357	m11o



Ein und Ausgabe: Farbmetrisches Drucker-Reflektiv-System ORS20_95a für relativen CIELAB-Buntton $h^* = lab^*h^* = h_{ab}/360 = 0.834$

Daten für jede Farbe:

lab^*tch^* und lab^*icu^*

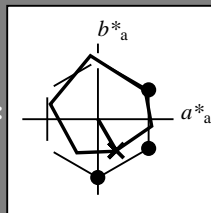
Bunttontexte:

$u^*_e = b25r$ $u^*_d = v04m$

Kontrastreduzierungsfaktor:

$c_R = 0.96$

Dreiecks-Helligkeit i^*



ORS20_95a; adaptierte CIELAB-Daten					
u^*_e	$L^*=L^*_a$	a^*_a	b^*_a	$C^*_{ab,a}$	$h^*_{ab,a}$
O _{Ma}	48.71	62.56	37.91	73.15	31
Y _{Ma}	89.25	-9.92	83.91	84.49	97
L _{Ma}	52.5	-62.91	19.95	66.0	162
C _{Ma}	59.15	-27.87	-44.43	52.45	238
V _{Ma}	29.13	22.73	-42.44	48.14	298
M _{Ma}	49.51	71.08	-9.19	71.67	353
N _{Ma}	20.0	0.0	0.0	0.0	0
W _{Ma}	95.0	0.0	0.0	0.0	0
R _{Ma}	39.92	58.74	27.99	65.07	25
J _{Ma}	81.26	-2.89	71.56	71.62	92
G _{Ma}	52.23	-42.42	13.6	44.55	162
B _{Ma}	30.57	1.41	-46.47	46.49	272

Daten für Maximalfarbe (Ma):

$LAB^*LAB^*_{Ma}$: 30 24 -41

$LAB^*LCH^*_{Ma}$: 30 48 300

$lab^*rgb^*_{Ma}$: 0.5 0.0 1.0

$lab^*olv^*_{Ma}$: 0.04 0.0 1.0

Dreiecks-Helligkeit i^*

%Umfang

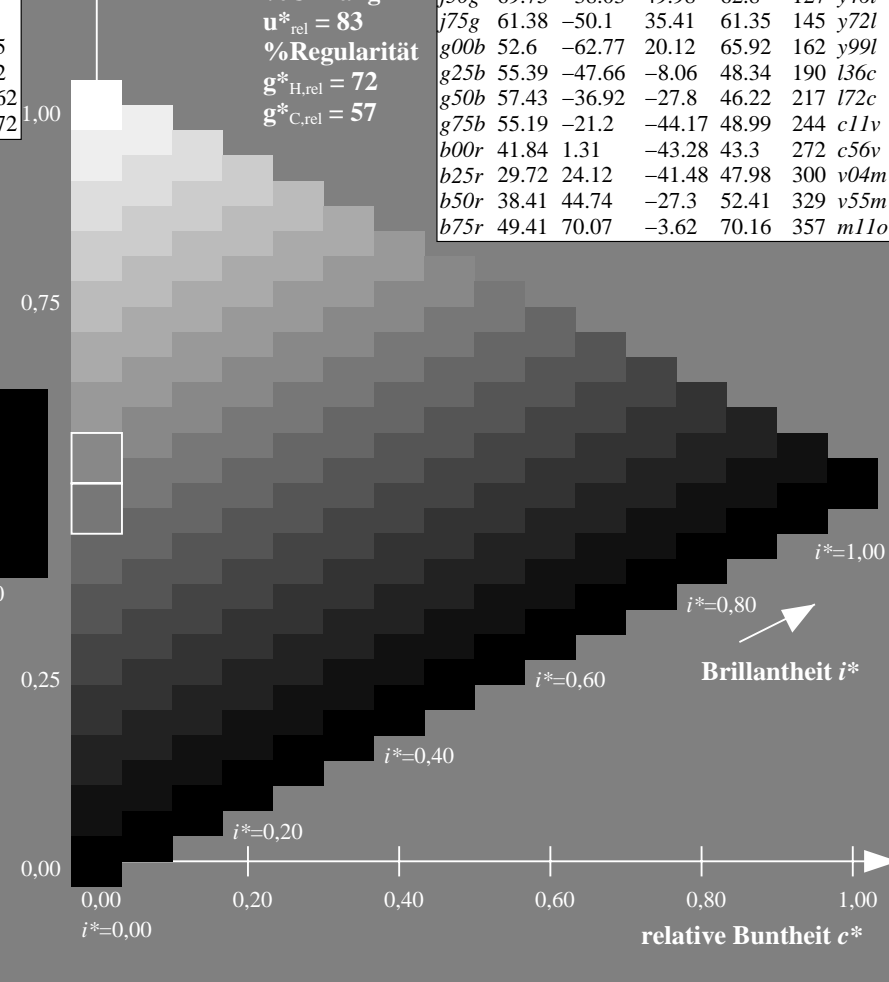
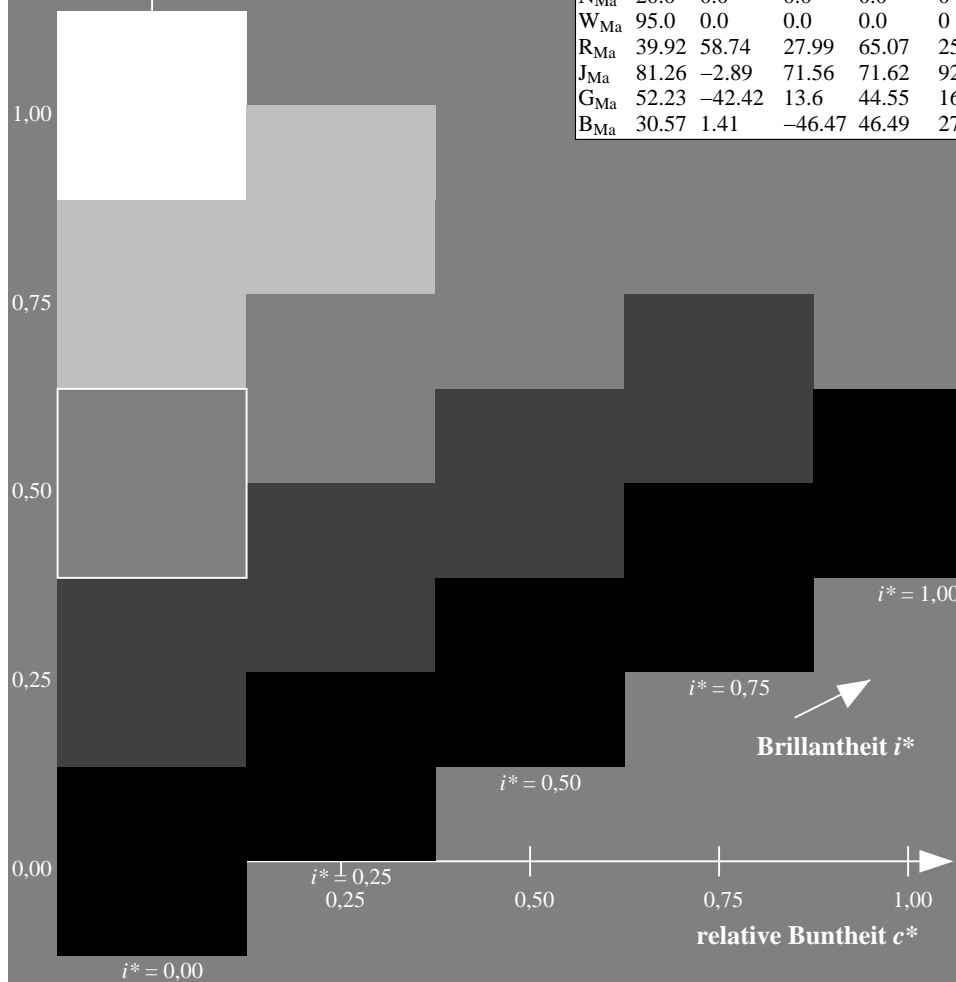
$u^*_{rel} = 83$

%Regularität

$g^*_{H,rel} = 72$

$g^*_{C,rel} = 57$

ORS20_95a; adaptierte CIELAB-Daten					
u^*_e	$L^*=L^*_a$	a^*_a	b^*_a	$C^*_{ab,a}$	$h^*_{ab,a}$
r00j	48.83	63.91	30.45	70.79	25
r25j	55.53	50.37	45.65	67.97	42
r50j	64.76	33.86	56.12	65.55	59
r75j	74.12	17.13	66.74	68.9	76
j00g	85.5	-3.22	79.65	79.72	92
j25g	79.45	-24.05	66.85	71.04	110
j50g	69.75	-38.03	49.98	62.8	127
j75g	61.38	-50.1	35.41	61.35	145
g00b	52.6	-62.77	20.12	65.92	162
g25b	55.39	-47.66	-8.06	48.34	190
g50b	57.43	-36.92	-27.8	46.22	217
g75b	55.19	-21.2	-44.17	48.99	244
b00r	41.84	1.31	-43.28	43.3	272
b25r	29.72	24.12	-41.48	47.98	300
b50r	38.41	44.74	-27.3	52.41	329
b75r	49.41	70.07	-3.62	70.16	357



Ein und Ausgabe: Farbmetrisches Drucker-Reflektiv-System ORS20_95a für relativen CIELAB-Buntton $h^* = lab^*h^* = h_{ab}/360 = 0.913$

Daten für jede Farbe:

lab^*ch^* und lab^*icu^*

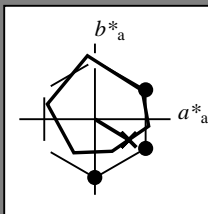
Bunttontexte:

$u^*_e = b50r$ $u^*_d = v55m$

Kontrastreduzierungsfaktor:

$c_R = 0.96$

Dreiecks-Helligkeit i^*



ORS20_95a; adaptierte CIELAB-Daten

	u^*_e	$L^*=L^*_a$	a^*_a	b^*_a	$C^*_{ab,a}$	$h^*_{ab,a}$
O _{Ma}	48.71	62.56	37.91	73.15	31	
Y _{Ma}	89.25	-9.92	83.91	84.49	97	
L _{Ma}	52.5	-62.91	19.95	66.0	162	
C _{Ma}	59.15	-27.87	-44.43	52.45	238	
V _{Ma}	29.13	22.73	-42.44	48.14	298	
M _{Ma}	49.51	71.08	-9.19	71.67	353	
N _{Ma}	20.0	0.0	0.0	0.0	0	
W _{Ma}	95.0	0.0	0.0	0.0	0	
R _{Ma}	39.92	58.74	27.99	65.07	25	
J _{Ma}	81.26	-2.89	71.56	71.62	92	
G _{Ma}	52.23	-42.42	13.6	44.55	162	
B _{Ma}	30.57	1.41	-46.47	46.49	272	

Daten für Maximalfarbe (Ma):

$LAB^*LAB^*_{Ma}$: 38 45 -27

$LAB^*LCH^*_{Ma}$: 38 52 328

$lab^*rgb^*_{Ma}$: 1.0 0.0 1.0

$lab^*olv^*_{Ma}$: 0.56 0.0 1.0

Dreiecks-Helligkeit i^*

%Umfang

$u^*_{rel} = 83$

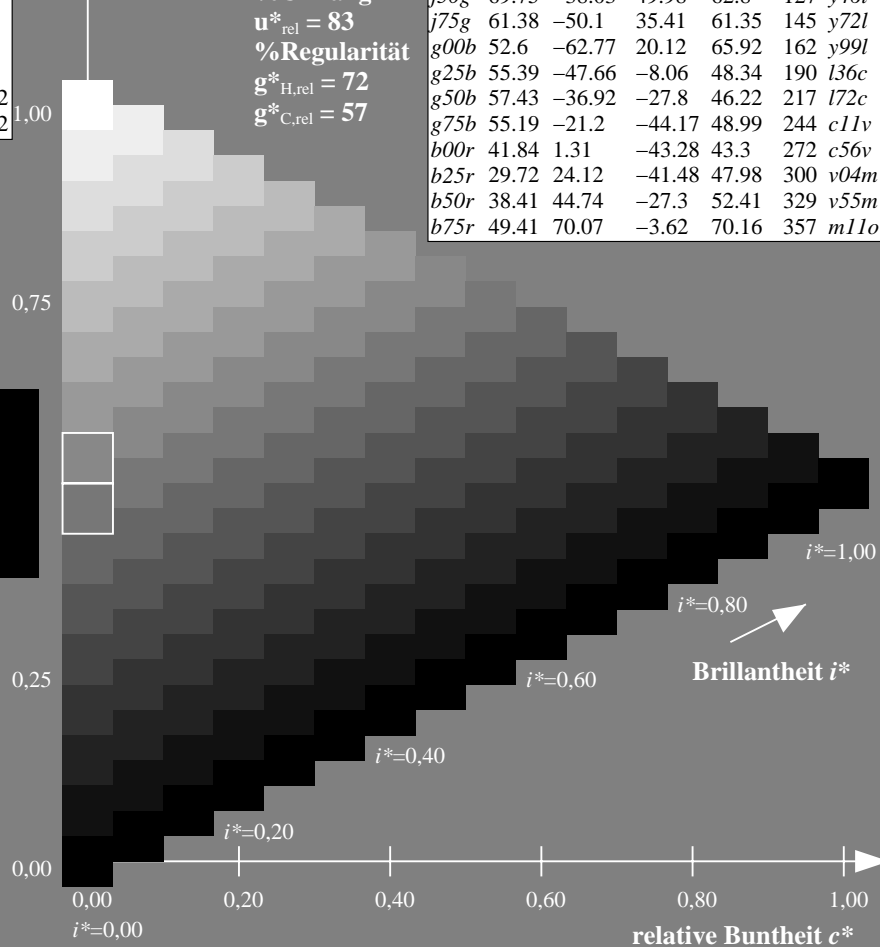
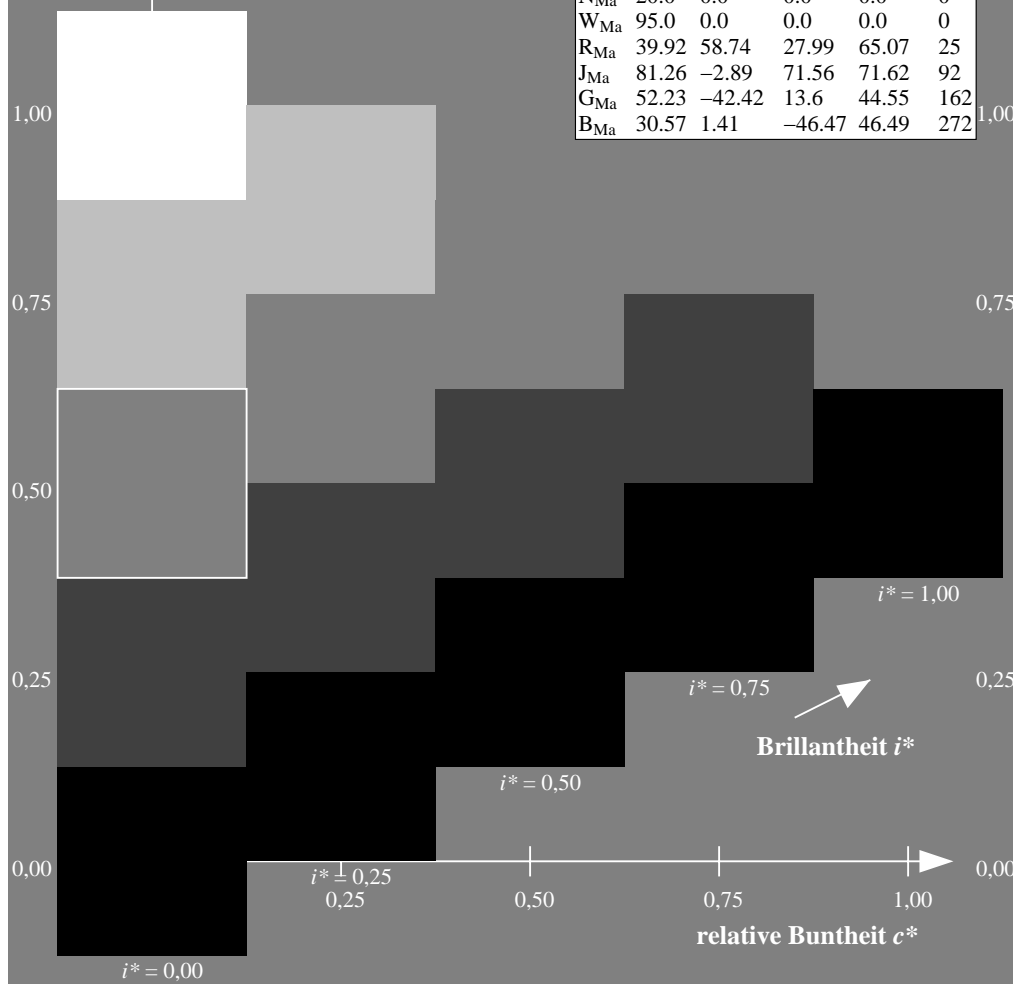
%Regularität

$g^*_{H,rel} = 72$

$g^*_{C,rel} = 57$

ORS20_95a; adaptierte CIELAB-Daten

	u^*_e	$L^*=L^*_a$	a^*_a	b^*_a	$C^*_{ab,a}$	$h^*_{ab,a}$	u^*_d
r00j	48.83	63.91	30.45	70.79	25	m84o	
r25j	55.53	50.37	45.65	67.97	42	o17y	
r50j	64.76	33.86	56.12	65.55	59	o42y	
r75j	74.12	17.13	66.74	68.9	76	o67y	
j00g	85.5	-3.22	79.65	79.72	92	o92y	
j25g	79.45	-24.05	66.85	71.04	110	y20l	
j50g	69.75	-38.03	49.98	62.8	127	y46l	
j75g	61.38	-50.1	35.41	61.35	145	y72l	
g00b	52.6	-62.77	20.12	65.92	162	y99l	
g25b	55.39	-47.66	-8.06	48.34	190	l36c	
g50b	57.43	-36.92	-27.8	46.22	217	l72c	
g75b	55.19	-21.2	-44.17	48.99	244	c11v	
b00r	41.84	1.31	-43.28	43.3	272	c56v	
b25r	29.72	24.12	-41.48	47.98	300	v04m	
b50r	38.41	44.74	-27.3	52.41	329	v55m	
b75r	49.41	70.07	-3.62	70.16	357	m11o	



Ein und Ausgabe: Farbmétrisches Drucker-Reflektiv-System ORS20_95a für relativen CIELAB-Buntton $h^* = lab^*h^* = h_{ab}/360 = 0.992$

Daten für jede Farbe:

$lab^*_{tch^*}$ und $lab^*_{icu^*}$

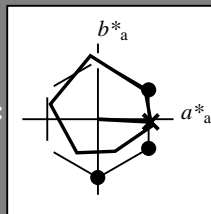
Bunttontexte:

$u^*_e = b75r$ $u^*_d = m11o$

Kontrastreduzierungsfaktor:

$c_R = 0.96$

Dreiecks-Helligkeit i^*



ORS20_95a; adaptierte CIELAB-Daten

	u^*_e	$L^*=L^*_a$	a^*_a	b^*_a	$C^*_{ab,a}$	$h^*_{ab,a}$
O _{Ma}	48.71	62.56	37.91	73.15	31	
Y _{Ma}	89.25	-9.92	83.91	84.49	97	
L _{Ma}	52.5	-62.91	19.95	66.0	162	
C _{Ma}	59.15	-27.87	-44.43	52.45	238	
V _{Ma}	29.13	22.73	-42.44	48.14	298	
M _{Ma}	49.51	71.08	-9.19	71.67	353	
N _{Ma}	20.0	0.0	0.0	0.0	0	
W _{Ma}	95.0	0.0	0.0	0.0	0	
R _{Ma}	39.92	58.74	27.99	65.07	25	
J _{Ma}	81.26	-2.89	71.56	71.62	92	
G _{Ma}	52.23	-42.42	13.6	44.55	162	
B _{Ma}	30.57	1.41	-46.47	46.49	272	

Daten für Maximalfarbe (Ma):

$LAB^*_{LAB^*Ma}$: 49 70 -4

$LAB^*_{LCH^*Ma}$: 49 70 357

$lab^*_{rgb^*Ma}$: 1.0 0.0 0.5

$lab^*_{olv^*Ma}$: 1.0 0.0 0.89

Dreiecks-Helligkeit i^*

%Umfang

$u^*_{rel} = 83$

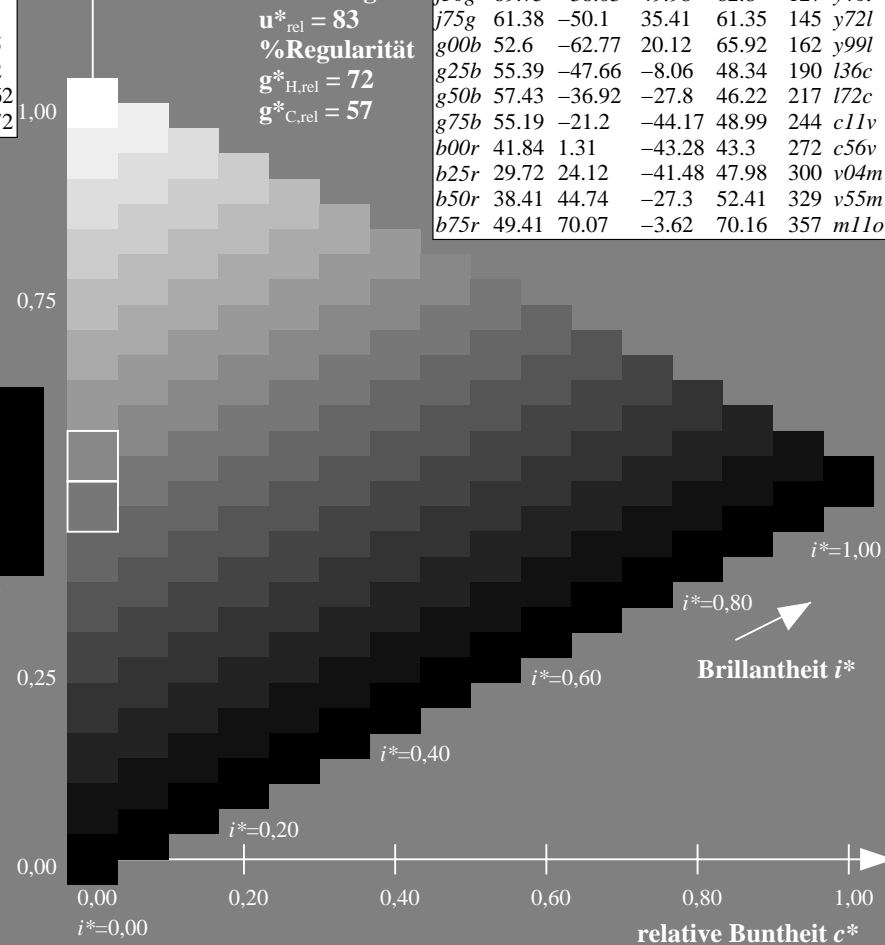
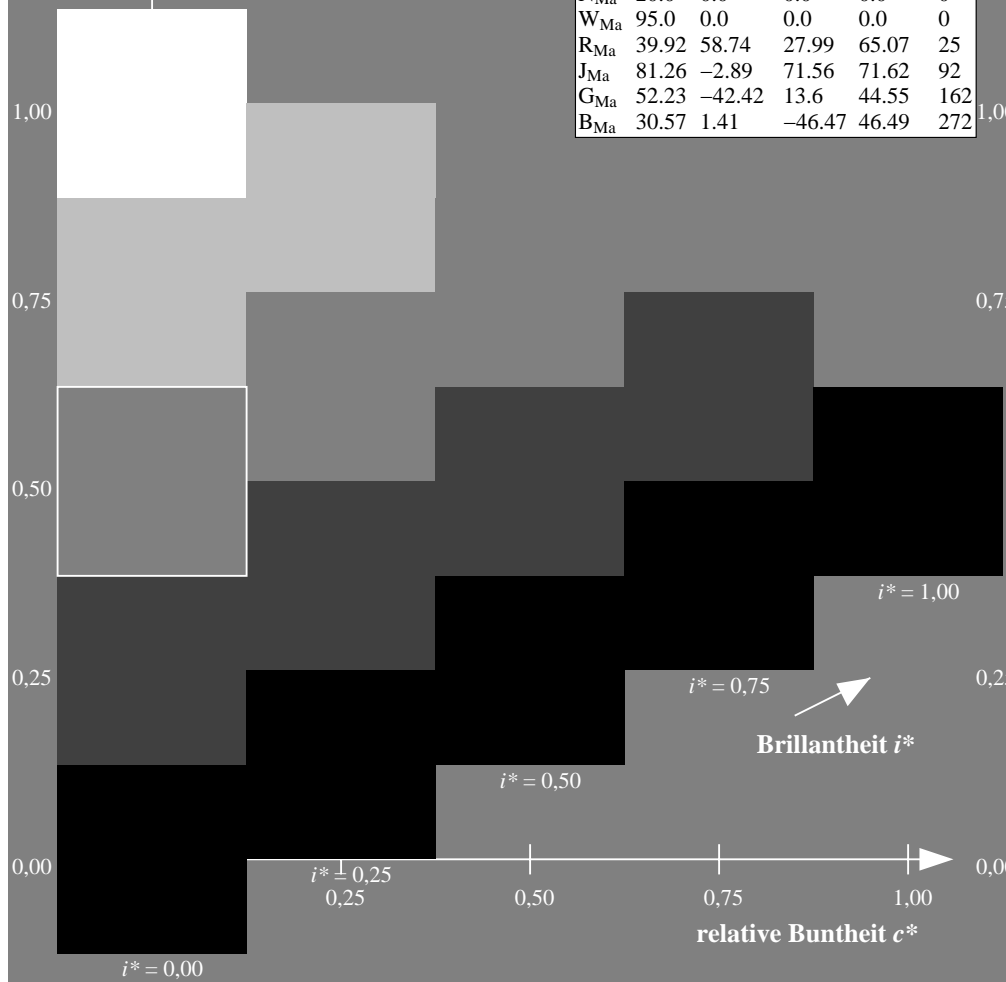
%Regularität

$g^*_{H,rel} = 72$

$g^*_{C,rel} = 57$

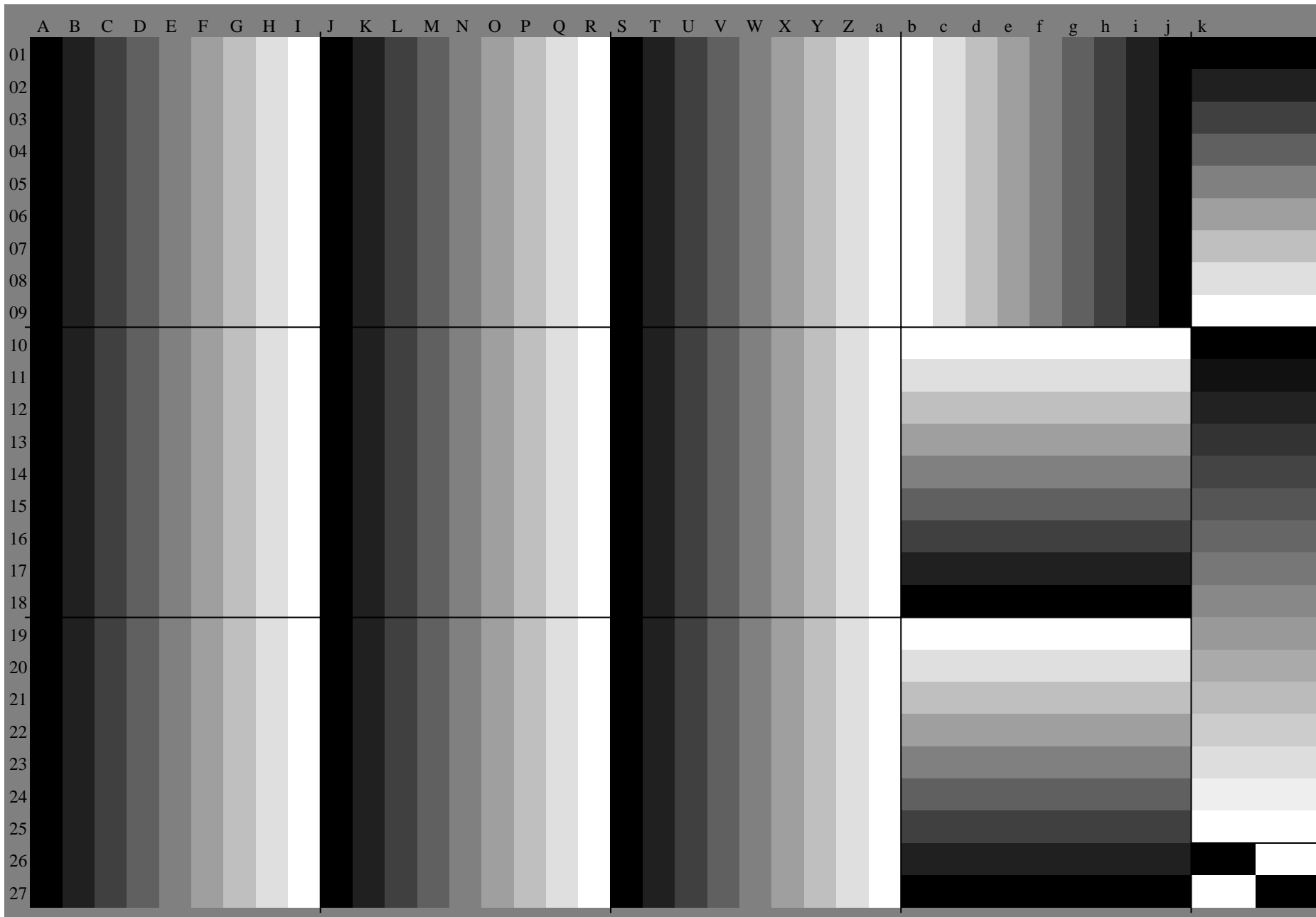
ORS20_95a; adaptierte CIELAB-Daten

	u^*_e	$L^*=L^*_a$	a^*_a	b^*_a	$C^*_{ab,a}$	$h^*_{ab,a}$	u^*_d
r00j	48.83	63.91	30.45	70.79	25	m84o	
r25j	55.53	50.37	45.65	67.97	42	o17y	
r50j	64.76	33.86	56.12	65.55	59	o42y	
r75j	74.12	17.13	66.74	68.9	76	o67y	
j00g	85.5	-3.22	79.65	79.72	92	o92y	
j25g	79.45	-24.05	66.85	71.04	110	y20l	
j50g	69.75	-38.03	49.98	62.8	127	y46l	
j75g	61.38	-50.1	35.41	61.35	145	y72l	
g00b	52.6	-62.77	20.12	65.92	162	y99l	
g25b	55.39	-47.66	-8.06	48.34	190	l36c	
g50b	57.43	-36.92	-27.8	46.22	217	l72c	
g75b	55.19	-21.2	-44.17	48.99	244	c11v	
b00r	41.84	1.31	-43.28	43.3	272	c56v	
b25r	29.72	24.12	-41.48	47.98	300	v04m	
b50r	38.41	44.74	-27.3	52.41	329	v55m	
b75r	49.41	70.07	-3.62	70.16	357	m11o	



Siehe ähnliche Dateien: <http://www.ps.bam.de/Eg15/>; www.ps.bam.de/Eg.HTM
Technische Information: [http://www.ps.bam.de/Version 2.1, io=1,1, Col5px=0](http://www.ps.bam.de/Version%202.1,io=1,1,Col5px=0)

BAM-Registrierung: 20081001-Eg15/10L/L15G00NP.PS/.PDF BAM-Material: Code=rha4ta
Anwendung für Beurteilung und Messung von Drucker- oder Monitorsystemen



Ein und Ausgabe:
Farbmetrisches Drucker-Reflektiv-System ORS20_95a
Daten für jede Farbe:

u^*_e und Nummer $Nr.$ = 00 .. 15

Elementar-Bunttontext:

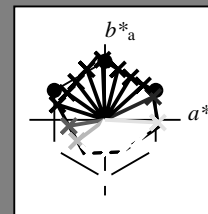
u^*_e = 16 Bunttoene $r00j$, $r25j$, ..., $b75r$

Kontrastreduzierungsfaktor:

$c_R = 0.96$

ORS20_95a; adaptierte CIELAB-Daten

u^*_e	$L^*=L^*_a$	a^*_a	b^*_a	$C^*_{ab,a}$	$h^*_{ab,a}$	u^*_d
$r00j$	48.83	63.91	30.45	70.79	25	$m84o$
$r25j$	55.53	50.37	45.65	67.97	42	$o17y$
$r50j$	64.76	33.86	56.12	65.55	59	$o42y$
$r75j$	74.12	17.13	66.74	68.9	76	$o67y$
$j00g$	85.5	-3.22	79.65	79.72	92	$o92y$
$j25g$	79.45	-24.05	66.85	71.04	110	$y20l$
$j50g$	69.75	-38.03	49.98	62.8	127	$y46l$
$j75g$	61.38	-50.1	35.41	61.35	145	$y72l$
$g00b$	52.6	-62.77	20.12	65.92	162	$y99l$
$g25b$	55.39	-47.66	-8.06	48.34	190	$l36c$
$g50b$	57.43	-36.92	-27.8	46.22	217	$l72c$
$g75b$	55.19	-21.2	-44.17	48.99	244	$c11v$
$b00r$	41.84	1.31	-43.28	43.3	272	$c56v$
$b25r$	29.72	24.12	-41.48	47.98	300	$v04m$
$b50r$	38.41	44.74	-27.3	52.41	329	$v55m$
$b75r$	49.41	70.07	-3.62	70.16	357	$m11o$



%Umfang

$u^*_{rel} = 83$

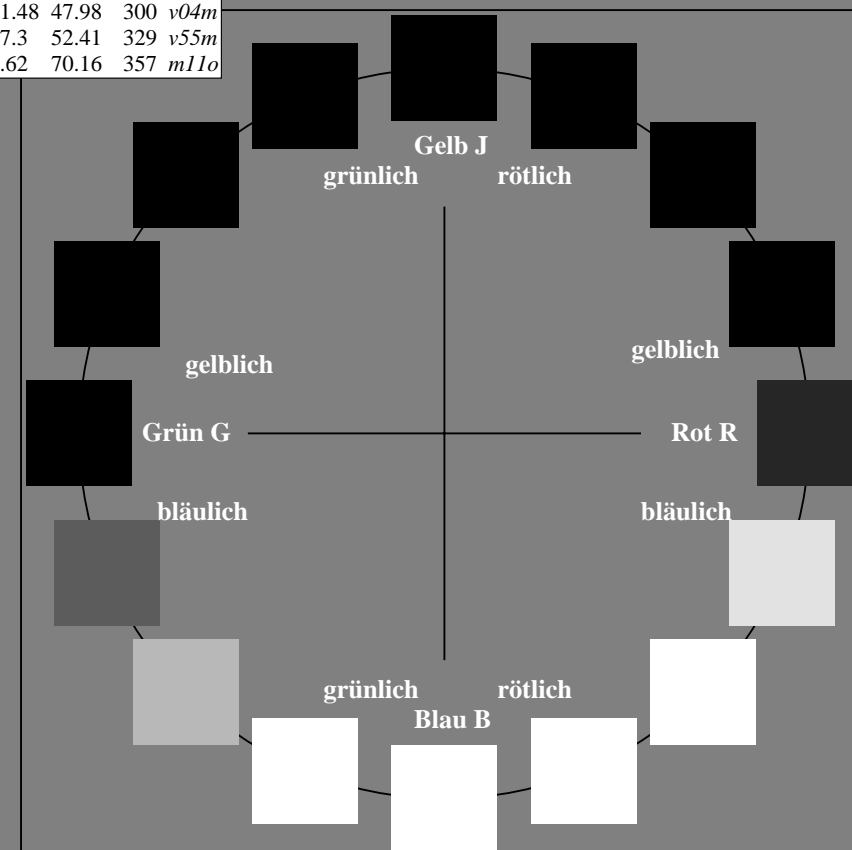
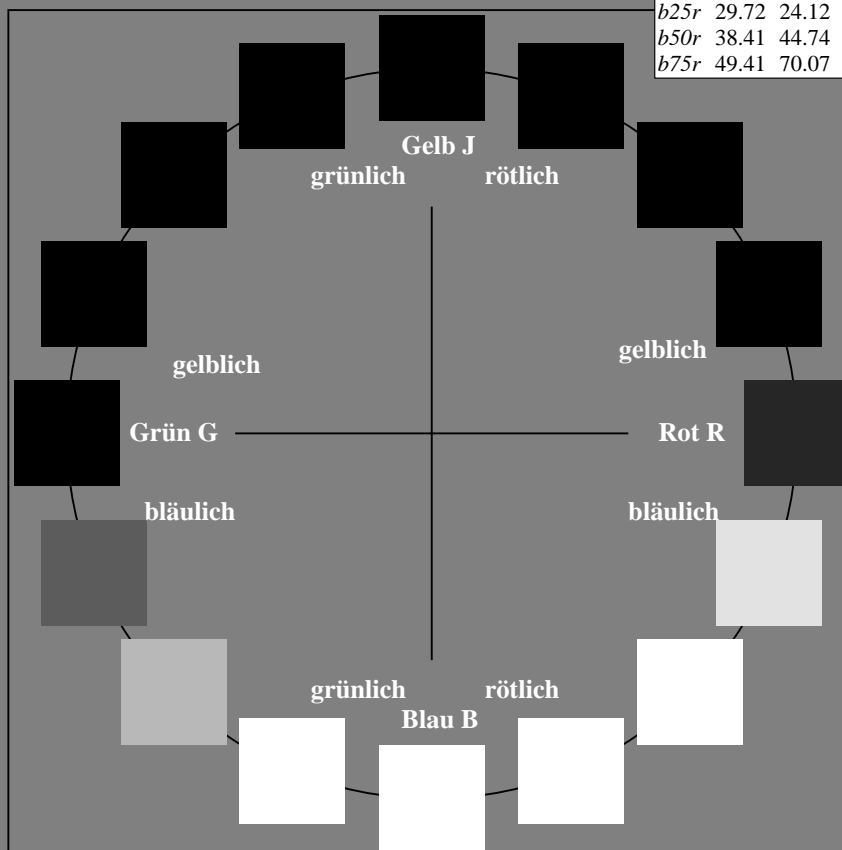
%Regularität

$g^*_{H,rel} = 72$

$g^*_{C,rel} = 57$

ORS20_95a; adaptierte CIELAB-Daten

Name	$L^*=L^*_a$	a^*_a	b^*_a	$C^*_{ab,a}$	$h^*_{ab,a}$
O_{Ma}	48.71	62.56	37.91	73.15	31
Y_{Ma}	89.25	-9.92	83.91	84.49	97
L_{Ma}	52.5	-62.91	19.95	66.0	162
C_{Ma}	59.15	-27.87	-44.43	52.45	238
V_{Ma}	29.13	22.73	-42.44	48.14	298
M_{Ma}	49.51	71.08	-9.19	71.67	353
N_{Ma}	20.0	0.0	0.0	0.0	0
W_{Ma}	95.0	0.0	0.0	0.0	0
R_{CIE}	39.92	58.74	27.99	65.07	25
J_{CIE}	81.26	-2.89	71.56	71.62	92
G_{CIE}	52.23	-42.42	13.6	44.55	162
B_{CIE}	30.57	1.41	-46.47	46.49	272



Ein und Ausgabe: Farbmetrisches Drucker-Reflektiv-System ORS20_95a für relativen CIELAB-Buntton $h^* = lab^*h^* = h_{ab}/360 = 0.071$

Daten für jede Farbe:

lab^*tch^* und lab^*icu^*

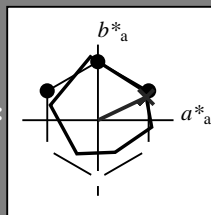
Bunttontexte:

$u_e^* = r00j$ $u_d^* = m84o$

Kontrastreduzierungsfaktor:

$c_R = 0.96$

Dreiecks-Helligkeit i^*



ORS20_95a; adaptierte CIELAB-Daten						
u_e^*	$L^*=L_a^*$	a_a^*	b_a^*	$C_{ab,a}^*$	$h_{ab,a}^*$	
O _{Ma}	48.71	62.56	37.91	73.15	31	
Y _{Ma}	89.25	-9.92	83.91	84.49	97	
L _{Ma}	52.5	-62.91	19.95	66.0	162	
C _{Ma}	59.15	-27.87	-44.43	52.45	238	
V _{Ma}	29.13	22.73	-42.44	48.14	298	
M _{Ma}	49.51	71.08	-9.19	71.67	353	
N _{Ma}	20.0	0.0	0.0	0.0	0	
W _{Ma}	95.0	0.0	0.0	0.0	0	
R _{Ma}	39.92	58.74	27.99	65.07	25	
J _{Ma}	81.26	-2.89	71.56	71.62	92	
G _{Ma}	52.23	-42.42	13.6	44.55	162	
B _{Ma}	30.57	1.41	-46.47	46.49	272	

Daten für Maximalfarbe (Ma):

LAB^*LAB^*Ma : 49 64 30

LAB^*LCH^*Ma : 49 71 25

lab^*rgb^*Ma : 1.0 0.0 0.0

lab^*olv^*Ma : 1.0 0.0 0.15

Dreiecks-Helligkeit i^*

%Umfang

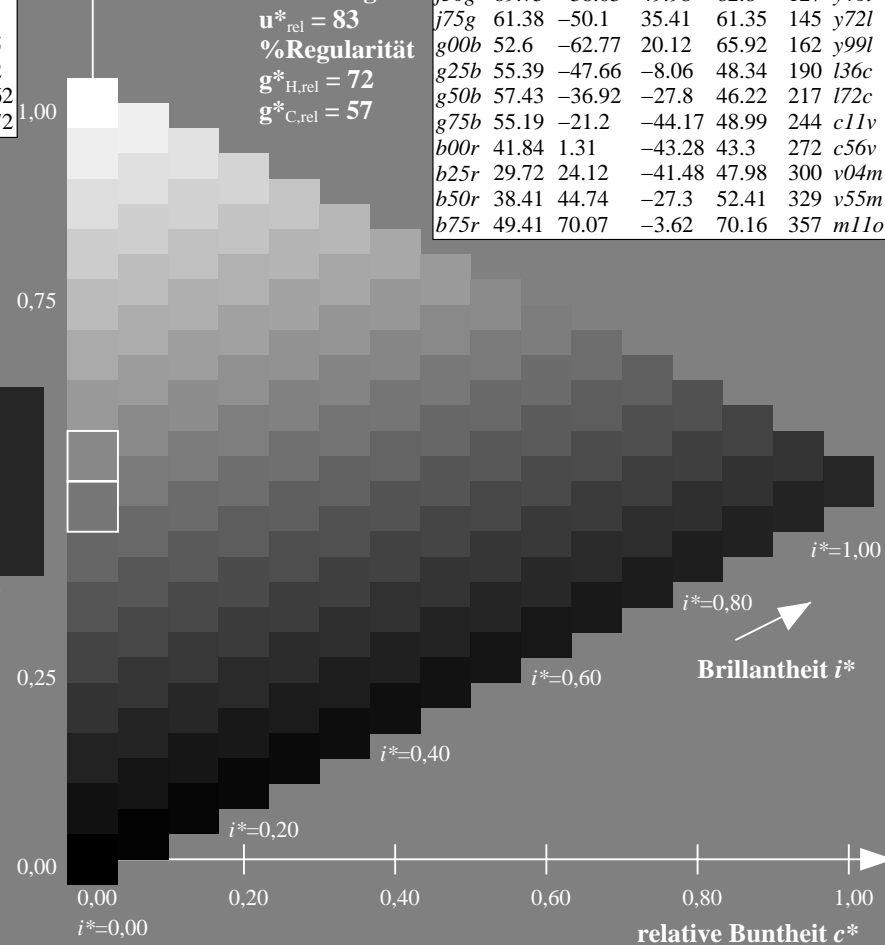
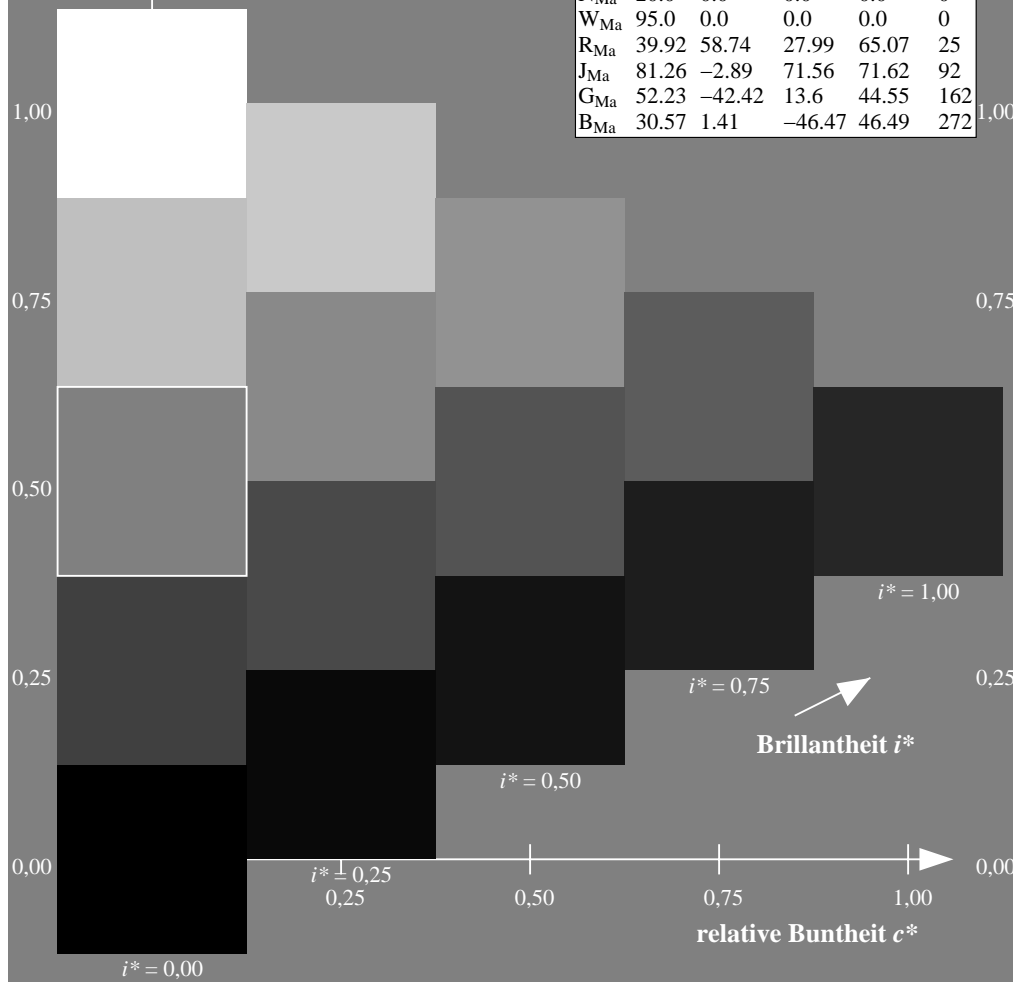
$u_{rel}^* = 83$

%Regularität

$g_{H,rel}^* = 72$

$g_{C,rel}^* = 57$

ORS20_95a; adaptierte CIELAB-Daten						
u_e^*	$L^*=L_a^*$	a_a^*	b_a^*	$C_{ab,a}^*$	$h_{ab,a}^*$	u_d^*
r00j	48.83	63.91	30.45	70.79	25	m84o
r25j	55.53	50.37	45.65	67.97	42	o17y
r50j	64.76	33.86	56.12	65.55	59	o42y
r75j	74.12	17.13	66.74	68.9	76	o67y
j00g	85.5	-3.22	79.65	79.72	92	o92y
j25g	79.45	-24.05	66.85	71.04	110	y20l
j50g	69.75	-38.03	49.98	62.8	127	y46l
j75g	61.38	-50.1	35.41	61.35	145	y72l
g00b	52.6	-62.77	20.12	65.92	162	y99l
g25b	55.39	-47.66	-8.06	48.34	190	l36c
g50b	57.43	-36.92	-27.8	46.22	217	l72c
g75b	55.19	-21.2	-44.17	48.99	244	c11v
b00r	41.84	1.31	-43.28	43.3	272	c56v
b25r	29.72	24.12	-41.48	47.98	300	v04m
b50r	38.41	44.74	-27.3	52.41	329	v55m
b75r	49.41	70.07	-3.62	70.16	357	m11o



Ein und Ausgabe: Farbmetrisches Drucker-Reflektiv-System ORS20_95a für relativen CIELAB-Buntton $h^* = lab^*h^* = h_{ab}/360 = 0.117$

Daten für jede Farbe:

lab^*ch^* und lab^*icu^*

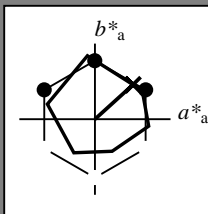
Bunttontexte:

$u_e^* = r25j$ $u_d^* = o17y$

Kontrastreduzierungsfaktor:

$c_R = 0.96$

Dreiecks-Helligkeit i^*



ORS20_95a; adaptierte CIELAB-Daten					
u_e^*	$L^*=L_a^*$	a_a^*	b_a^*	$C^*_{ab,a}$	$h^*_{ab,a}$
O _{Ma}	48.71	62.56	37.91	73.15	31
Y _{Ma}	89.25	-9.92	83.91	84.49	97
L _{Ma}	52.5	-62.91	19.95	66.0	162
C _{Ma}	59.15	-27.87	-44.43	52.45	238
V _{Ma}	29.13	22.73	-42.44	48.14	298
M _{Ma}	49.51	71.08	-9.19	71.67	353
N _{Ma}	20.0	0.0	0.0	0.0	0
W _{Ma}	95.0	0.0	0.0	0.0	0
R _{Ma}	39.92	58.74	27.99	65.07	25
J _{Ma}	81.26	-2.89	71.56	71.62	92
G _{Ma}	52.23	-42.42	13.6	44.55	162
B _{Ma}	30.57	1.41	-46.47	46.49	272

Daten für Maximalfarbe (Ma):

$LAB^*LAB^*_{Ma}$: 56 50 46

$LAB^*LCH^*_{Ma}$: 56 68 42

$lab^*rgb^*_{Ma}$: 1.0 0.25 0.0

$lab^*olv^*_{Ma}$: 1.0 0.17 0.0

Dreiecks-Helligkeit i^*

%Umfang

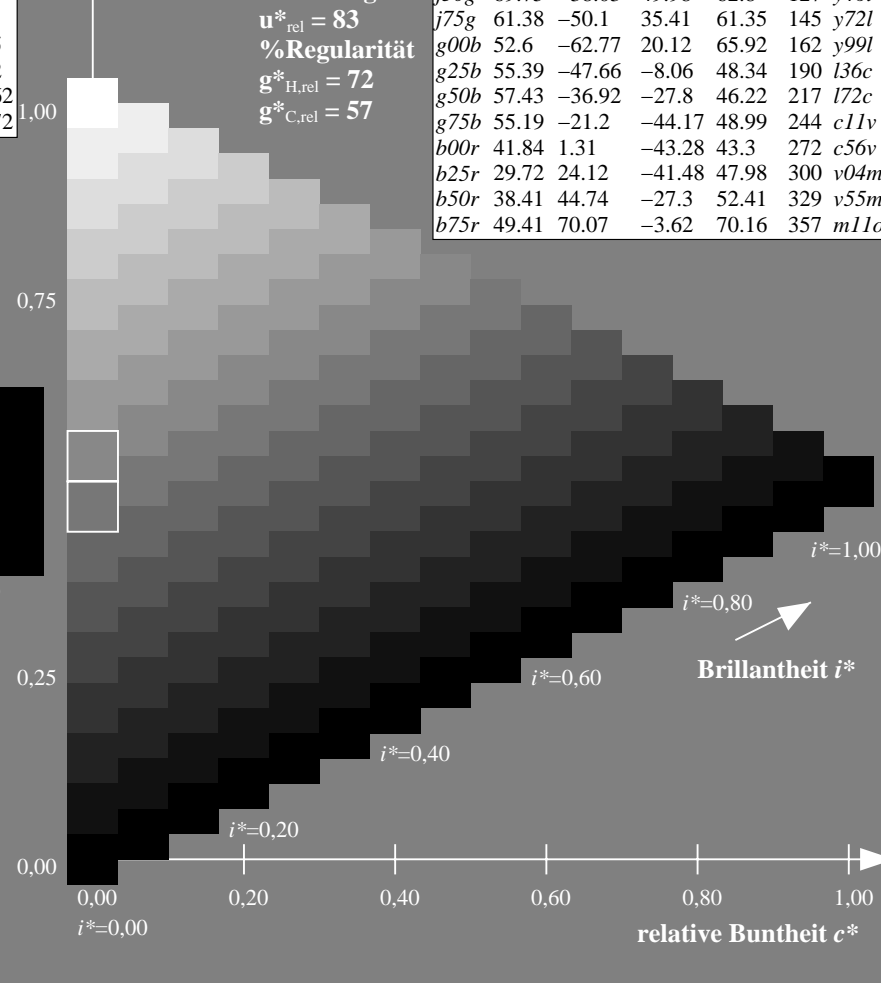
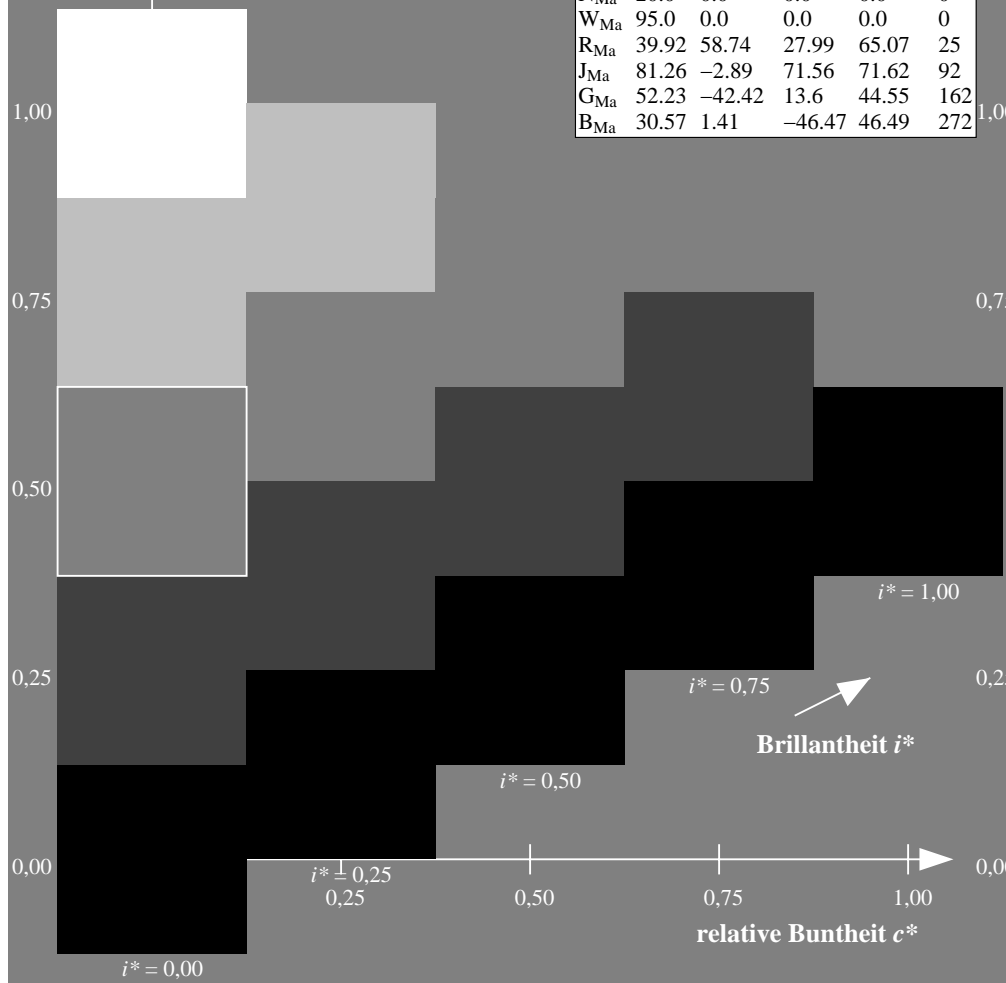
$u^*_{rel} = 83$

%Regularität

$g^*_{H,rel} = 72$

$g^*_{C,rel} = 57$

ORS20_95a; adaptierte CIELAB-Daten					
u_e^*	$L^*=L_a^*$	a_a^*	b_a^*	$C^*_{ab,a}$	$h^*_{ab,a}$
r00j	48.83	63.91	30.45	70.79	25
r25j	55.53	50.37	45.65	67.97	42
r50j	64.76	33.86	56.12	65.55	59
r75j	74.12	17.13	66.74	68.9	76
j00g	85.5	-3.22	79.65	79.72	92
j25g	79.45	-24.05	66.85	71.04	110
j50g	69.75	-38.03	49.98	62.8	127
j75g	61.38	-50.1	35.41	61.35	145
g00b	52.6	-62.77	20.12	65.92	162
g25b	55.39	-47.66	-8.06	48.34	190
g50b	57.43	-36.92	-27.8	46.22	217
g75b	55.19	-21.2	-44.17	48.99	244
b00r	41.84	1.31	-43.28	43.3	272
b25r	29.72	24.12	-41.48	47.98	300
b50r	38.41	44.74	-27.3	52.41	329
b75r	49.41	70.07	-3.62	70.16	357



Ein und Ausgabe: Farbmatisches Drucker-Reflektiv-System ORS20_95a für relativen CIELAB-Buntton $h^* = lab^*h^* = h_{ab}/360 = 0.164$

Daten für jede Farbe:

lab^*ch^* und lab^*icu^*

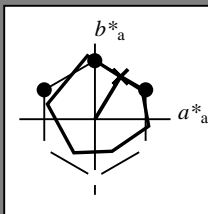
Bunttontexte:

$u^*_e = r50j$ $u^*_d = o42y$

Kontrastreduzierungsfaktor:

$c_R = 0.96$

Dreiecks-Helligkeit i^*



ORS20_95a; adaptierte CIELAB-Daten						
	u^*_e	$L^*=L^*_a$	a^*_a	b^*_a	$C^*_{ab,a}$	$h^*_{ab,a}$
O _{Ma}	48.71	62.56	37.91	73.15	31	
Y _{Ma}	89.25	-9.92	83.91	84.49	97	
L _{Ma}	52.5	-62.91	19.95	66.0	162	
C _{Ma}	59.15	-27.87	-44.43	52.45	238	
V _{Ma}	29.13	22.73	-42.44	48.14	298	
M _{Ma}	49.51	71.08	-9.19	71.67	353	
N _{Ma}	20.0	0.0	0.0	0.0	0	
W _{Ma}	95.0	0.0	0.0	0.0	0	
R _{Ma}	39.92	58.74	27.99	65.07	25	
J _{Ma}	81.26	-2.89	71.56	71.62	92	
G _{Ma}	52.23	-42.42	13.6	44.55	162	
B _{Ma}	30.57	1.41	-46.47	46.49	272	

Daten für Maximalfarbe (Ma):

$LAB^*LAB^*_{Ma}$: 65 34 56

$LAB^*LCH^*_{Ma}$: 65 66 58

$lab^*rgb^*_{Ma}$: 1.0 0.5 0.0

$lab^*olv^*_{Ma}$: 1.0 0.42 0.0

Dreiecks-Helligkeit i^*

%Umfang

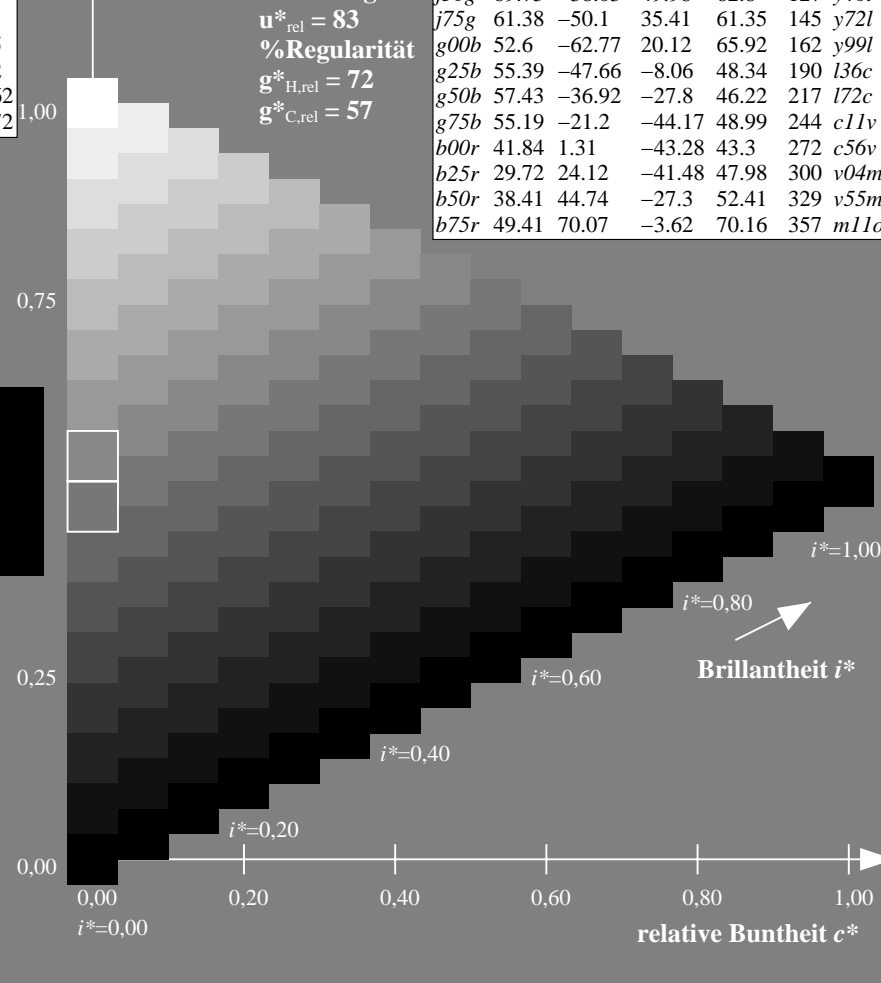
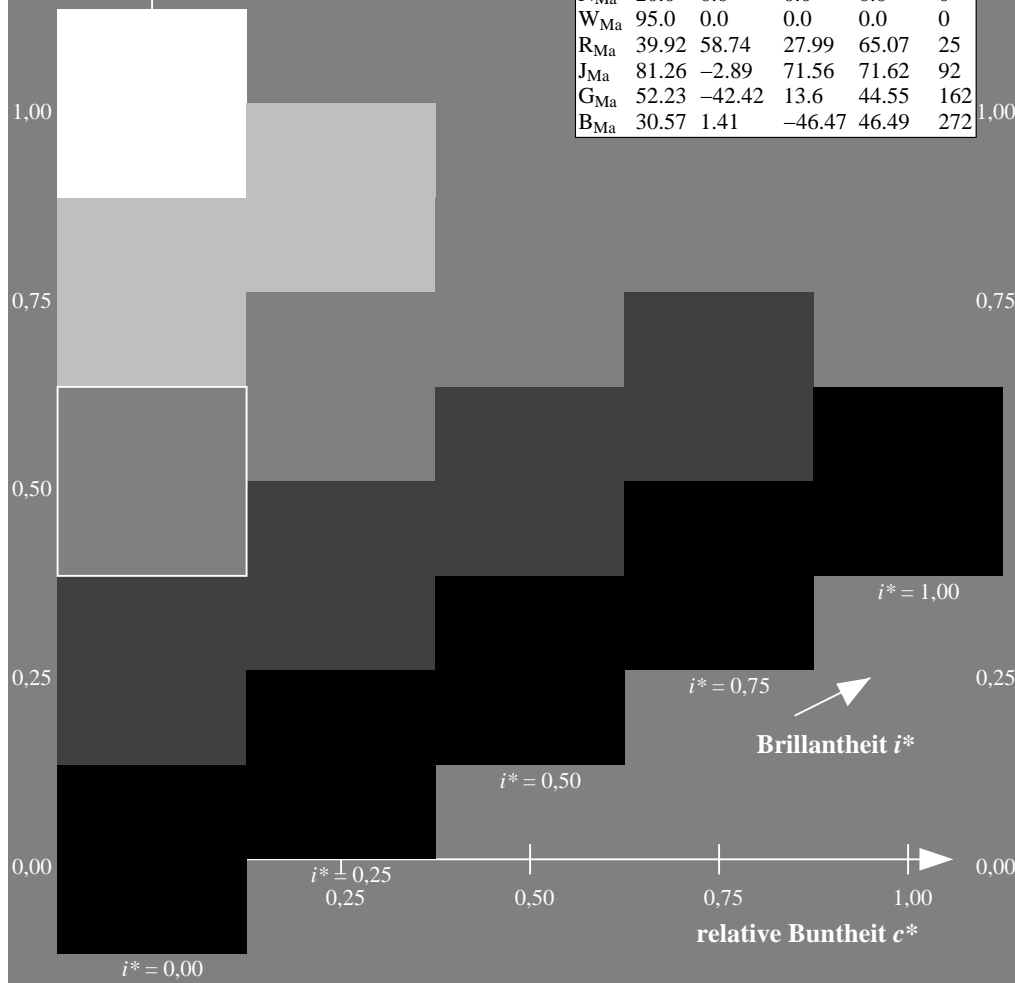
$u^*_{rel} = 83$

%Regularität

$g^*_{H,rel} = 72$

$g^*_{C,rel} = 57$

ORS20_95a; adaptierte CIELAB-Daten						
	u^*_e	$L^*=L^*_a$	a^*_a	b^*_a	$C^*_{ab,a}$	$h^*_{ab,a}$
r00j	48.83	63.91	30.45	70.79	25	m84o
r25j	55.53	50.37	45.65	67.97	42	o17y
r50j	64.76	33.86	56.12	65.55	59	o42y
r75j	74.12	17.13	66.74	68.9	76	o67y
j00g	85.5	-3.22	79.65	79.72	92	o92y
j25g	79.45	-24.05	66.85	71.04	110	y20l
j50g	69.75	-38.03	49.98	62.8	127	y46l
j75g	61.38	-50.1	35.41	61.35	145	y72l
g00b	52.6	-62.77	20.12	65.92	162	y99l
g25b	55.39	-47.66	-8.06	48.34	190	l36c
g50b	57.43	-36.92	-27.8	46.22	217	l72c
g75b	55.19	-21.2	-44.17	48.99	244	c11v
b00r	41.84	1.31	-43.28	43.3	272	c56v
b25r	29.72	24.12	-41.48	47.98	300	v04m
b50r	38.41	44.74	-27.3	52.41	329	v55m
b75r	49.41	70.07	-3.62	70.16	357	m11o



Ein und Ausgabe: Farbmetrisches Drucker-Reflektiv-System ORS20_95a für relativen CIELAB-Buntton $h^* = lab^*h^* = h_{ab}/360 = 0.21$

Daten für jede Farbe:

lab^*ch^* und lab^*icu^*

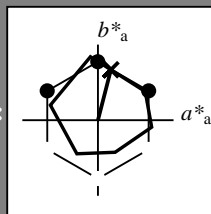
Bunttontexte:

$u^*_e = r75j$ $u^*_d = o67y$

Kontrastreduzierungsfaktor:

$c_R = 0.96$

Dreiecks-Helligkeit i^*



ORS20_95a; adaptierte CIELAB-Daten

	u^*_e	$L^*=L^*_a$	a^*_a	b^*_a	$C^*_{ab,a}$	$h^*_{ab,a}$
O _{Ma}	48.71	62.56	37.91	73.15	31	
Y _{Ma}	89.25	-9.92	83.91	84.49	97	
L _{Ma}	52.5	-62.91	19.95	66.0	162	
C _{Ma}	59.15	-27.87	-44.43	52.45	238	
V _{Ma}	29.13	22.73	-42.44	48.14	298	
M _{Ma}	49.51	71.08	-9.19	71.67	353	
N _{Ma}	20.0	0.0	0.0	0.0	0	
W _{Ma}	95.0	0.0	0.0	0.0	0	
R _{Ma}	39.92	58.74	27.99	65.07	25	
J _{Ma}	81.26	-2.89	71.56	71.62	92	
G _{Ma}	52.23	-42.42	13.6	44.55	162	
B _{Ma}	30.57	1.41	-46.47	46.49	272	

Daten für Maximalfarbe (Ma):

LAB^*LAB^*Ma : 74 17 67

LAB^*LCH^*Ma : 74 69 75

lab^*rgb^*Ma : 1.0 0.75 0.0

lab^*olv^*Ma : 1.0 0.68 0.0

Dreiecks-Helligkeit i^*

%Umfang

$u^*_{rel} = 83$

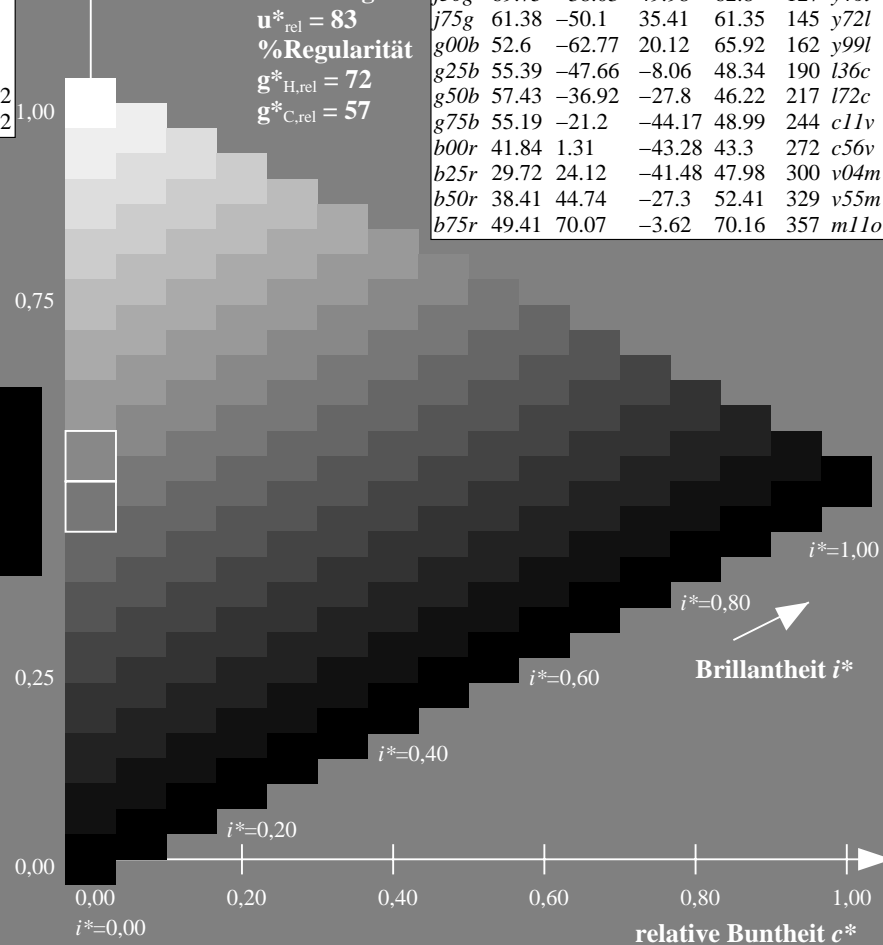
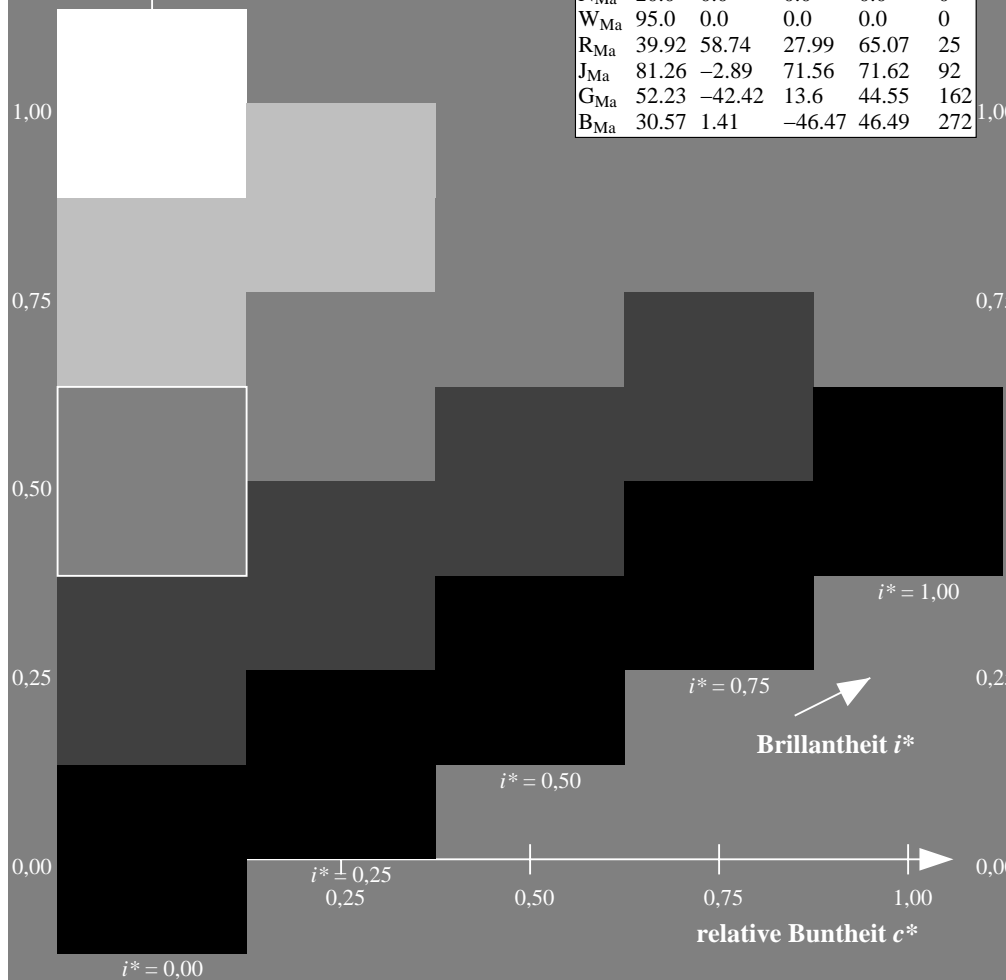
%Regularität

$g^*_{H,rel} = 72$

$g^*_{C,rel} = 57$

ORS20_95a; adaptierte CIELAB-Daten

	u^*_e	$L^*=L^*_a$	a^*_a	b^*_a	$C^*_{ab,a}$	$h^*_{ab,a}$	u^*_d
r00j	48.83	63.91	30.45	70.79	25	m84o	
r25j	55.53	50.37	45.65	67.97	42	o17y	
r50j	64.76	33.86	56.12	65.55	59	o42y	
r75j	74.12	17.13	66.74	68.9	76	o67y	
j00g	85.5	-3.22	79.65	79.72	92	o92y	
j25g	79.45	-24.05	66.85	71.04	110	y20l	
j50g	69.75	-38.03	49.98	62.8	127	y46l	
j75g	61.38	-50.1	35.41	61.35	145	y72l	
g00b	52.6	-62.77	20.12	65.92	162	y99l	
g25b	55.39	-47.66	-8.06	48.34	190	l36c	
g50b	57.43	-36.92	-27.8	46.22	217	l72c	
g75b	55.19	-21.2	-44.17	48.99	244	c11v	
b00r	41.84	1.31	-43.28	43.3	272	c56v	
b25r	29.72	24.12	-41.48	47.98	300	v04m	
b50r	38.41	44.74	-27.3	52.41	329	v55m	
b75r	49.41	70.07	-3.62	70.16	357	m11o	



Ein und Ausgabe: Farbmetrisches Drucker-Reflektiv-System ORS20_95a für relativen CIELAB-Buntton $h^* = lab^*h^* = h_{ab}/360 = 0.256$

Daten für jede Farbe:

lab^*ch^* und lab^*icu^*

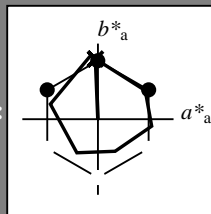
Bunttontexte:

$u^*_e = j00g$ $u^*_d = o92y$

Kontrastreduzierungsfaktor:

$c_R = 0.96$

Dreiecks-Helligkeit i^*



ORS20_95a; adaptierte CIELAB-Daten

u^*_e	$L^*=L^*_a$	a^*_a	b^*_a	$C^*_{ab,a}$	$h^*_{ab,a}$
O _{Ma}	48.71	62.56	37.91	73.15	31
Y _{Ma}	89.25	-9.92	83.91	84.49	97
L _{Ma}	52.5	-62.91	19.95	66.0	162
C _{Ma}	59.15	-27.87	-44.43	52.45	238
V _{Ma}	29.13	22.73	-42.44	48.14	298
M _{Ma}	49.51	71.08	-9.19	71.67	353
N _{Ma}	20.0	0.0	0.0	0.0	0
W _{Ma}	95.0	0.0	0.0	0.0	0
R _{Ma}	39.92	58.74	27.99	65.07	25
J _{Ma}	81.26	-2.89	71.56	71.62	92
G _{Ma}	52.23	-42.42	13.6	44.55	162
B _{Ma}	30.57	1.41	-46.47	46.49	272

Daten für Maximalfarbe (Ma):

$LAB^*LAB^*_{Ma}$: 86 -3 80

$LAB^*LCH^*_{Ma}$: 86 80 92

$lab^*rgb^*_{Ma}$: 1.0 1.0 0.0

$lab^*olv^*_{Ma}$: 1.0 0.93 0.0

Dreiecks-Helligkeit i^*

%Umfang

$u^*_{rel} = 83$

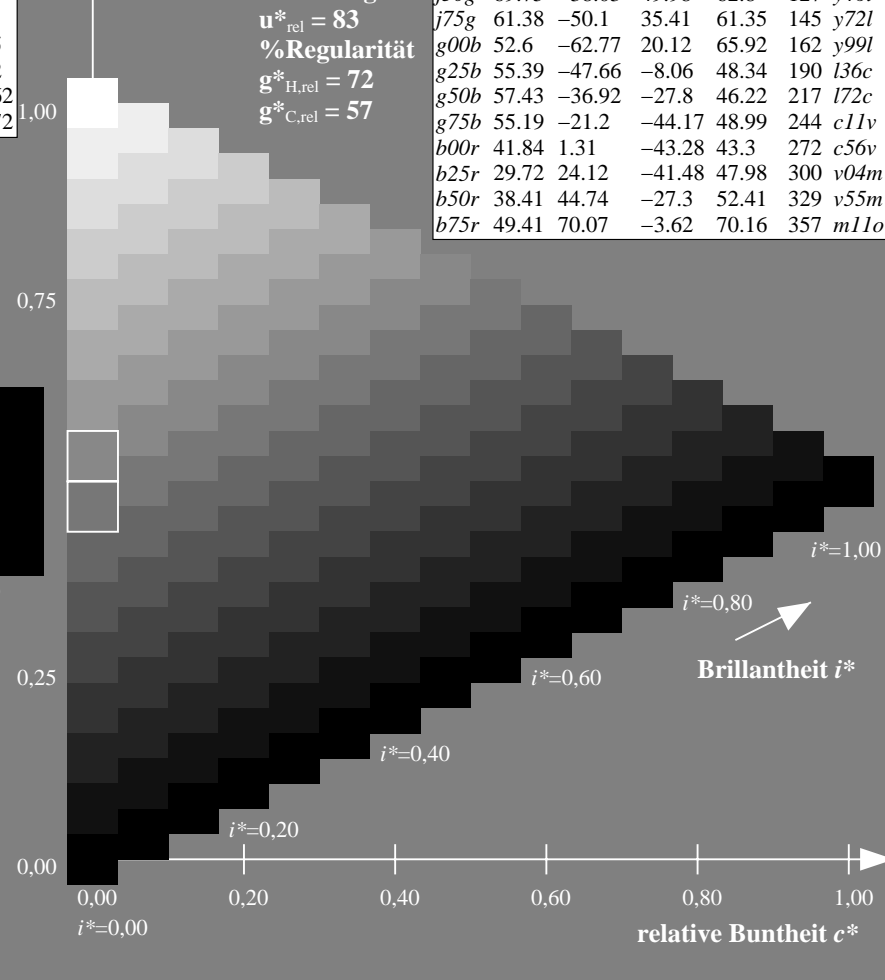
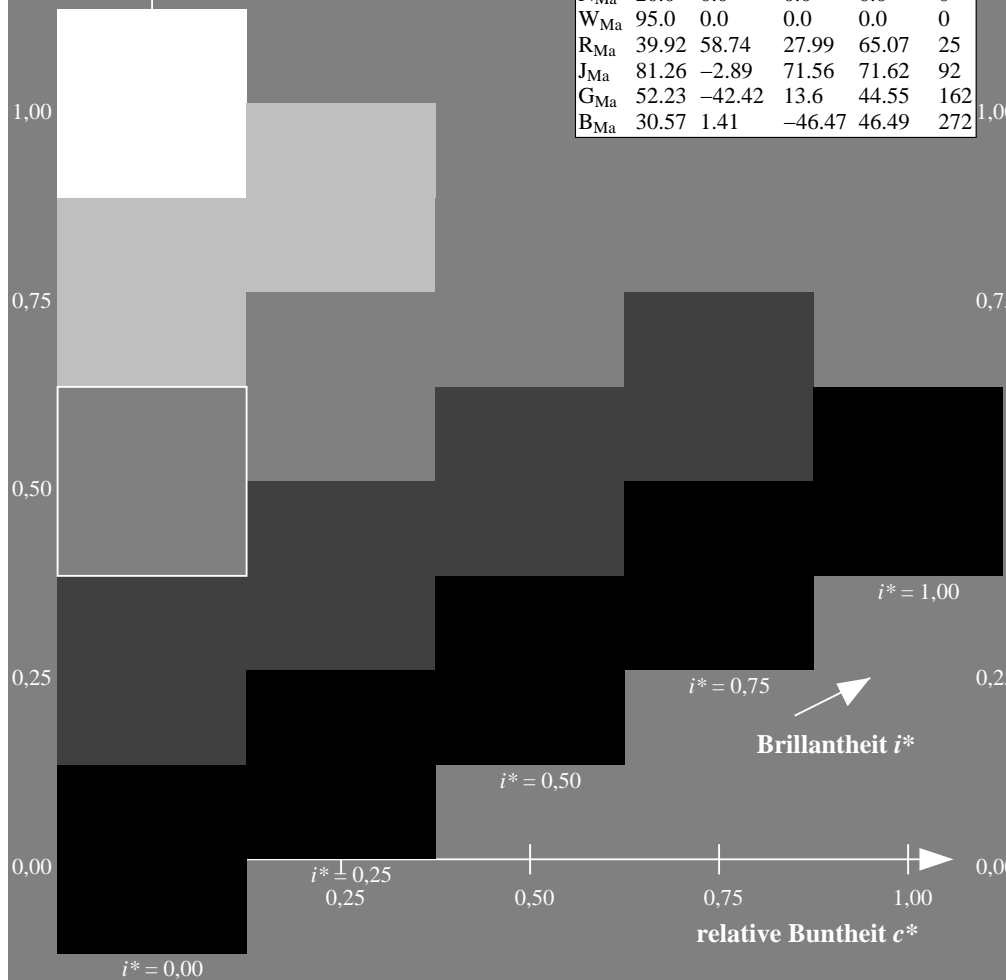
%Regularität

$g^*_{H,rel} = 72$

$g^*_{C,rel} = 57$

ORS20_95a; adaptierte CIELAB-Daten

u^*_e	$L^*=L^*_a$	a^*_a	b^*_a	$C^*_{ab,a}$	$h^*_{ab,a}$	u^*_d
r00j	48.83	63.91	30.45	70.79	25	m84o
r25j	55.53	50.37	45.65	67.97	42	o17y
r50j	64.76	33.86	56.12	65.55	59	o42y
r75j	74.12	17.13	66.74	68.9	76	o67y
j00g	85.5	-3.22	79.65	79.72	92	o92y
j25g	79.45	-24.05	66.85	71.04	110	y20l
j50g	69.75	-38.03	49.98	62.8	127	y46l
j75g	61.38	-50.1	35.41	61.35	145	y72l
g00b	52.6	-62.77	20.12	65.92	162	y99l
g25b	55.39	-47.66	-8.06	48.34	190	l36c
g50b	57.43	-36.92	-27.8	46.22	217	l72c
g75b	55.19	-21.2	-44.17	48.99	244	c11v
b00r	41.84	1.31	-43.28	43.3	272	c56v
b25r	29.72	24.12	-41.48	47.98	300	v04m
b50r	38.41	44.74	-27.3	52.41	329	v55m
b75r	49.41	70.07	-3.62	70.16	357	m11o



Ein und Ausgabe: Farbmetrisches Drucker-Reflektiv-System ORS20_95a für relativen CIELAB-Buntton $h^* = lab^*h^* = h_{ab}/360 = 0.305$

Daten für jede Farbe:

lab^*ch^* und lab^*icu^*

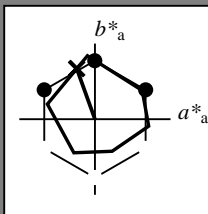
Bunttontexte:

$u^*_e = j25g$ $u^*_d = y20l$

Kontrastreduzierungsfaktor:

$c_R = 0.96$

Dreiecks-Helligkeit i^*



ORS20_95a; adaptierte CIELAB-Daten						
u^*_e	$L^*=L^*_a$	a^*_a	b^*_a	$C^*_{ab,a}$	$h^*_{ab,a}$	
O _{Ma}	48.71	62.56	37.91	73.15	31	
Y _{Ma}	89.25	-9.92	83.91	84.49	97	
L _{Ma}	52.5	-62.91	19.95	66.0	162	
C _{Ma}	59.15	-27.87	-44.43	52.45	238	
V _{Ma}	29.13	22.73	-42.44	48.14	298	
M _{Ma}	49.51	71.08	-9.19	71.67	353	
N _{Ma}	20.0	0.0	0.0	0.0	0	
W _{Ma}	95.0	0.0	0.0	0.0	0	
R _{Ma}	39.92	58.74	27.99	65.07	25	
J _{Ma}	81.26	-2.89	71.56	71.62	92	
G _{Ma}	52.23	-42.42	13.6	44.55	162	
B _{Ma}	30.57	1.41	-46.47	46.49	272	

Daten für Maximalfarbe (Ma):

LAB^*LAB^*Ma : 79 -24 67

LAB^*LCH^*Ma : 79 71 109

lab^*rgb^*Ma : 0.75 1.0 0.0

lab^*olv^*Ma : 0.8 1.0 0.0

Dreiecks-Helligkeit i^*

%Umfang

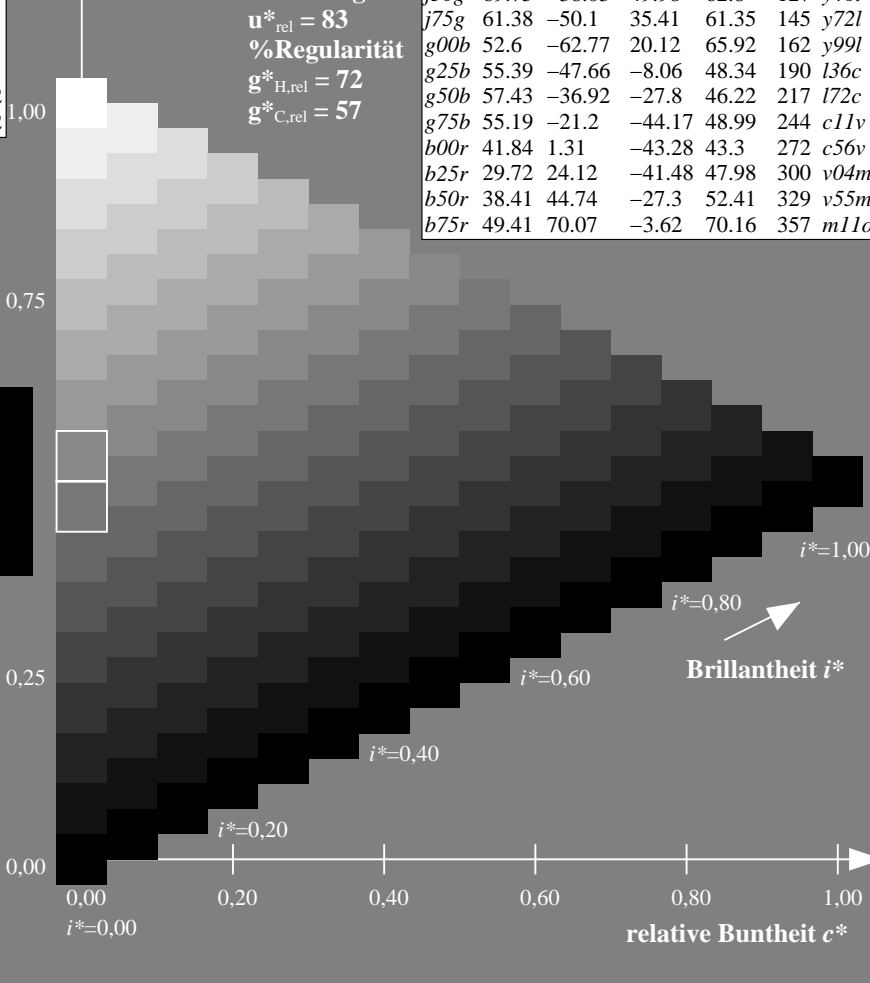
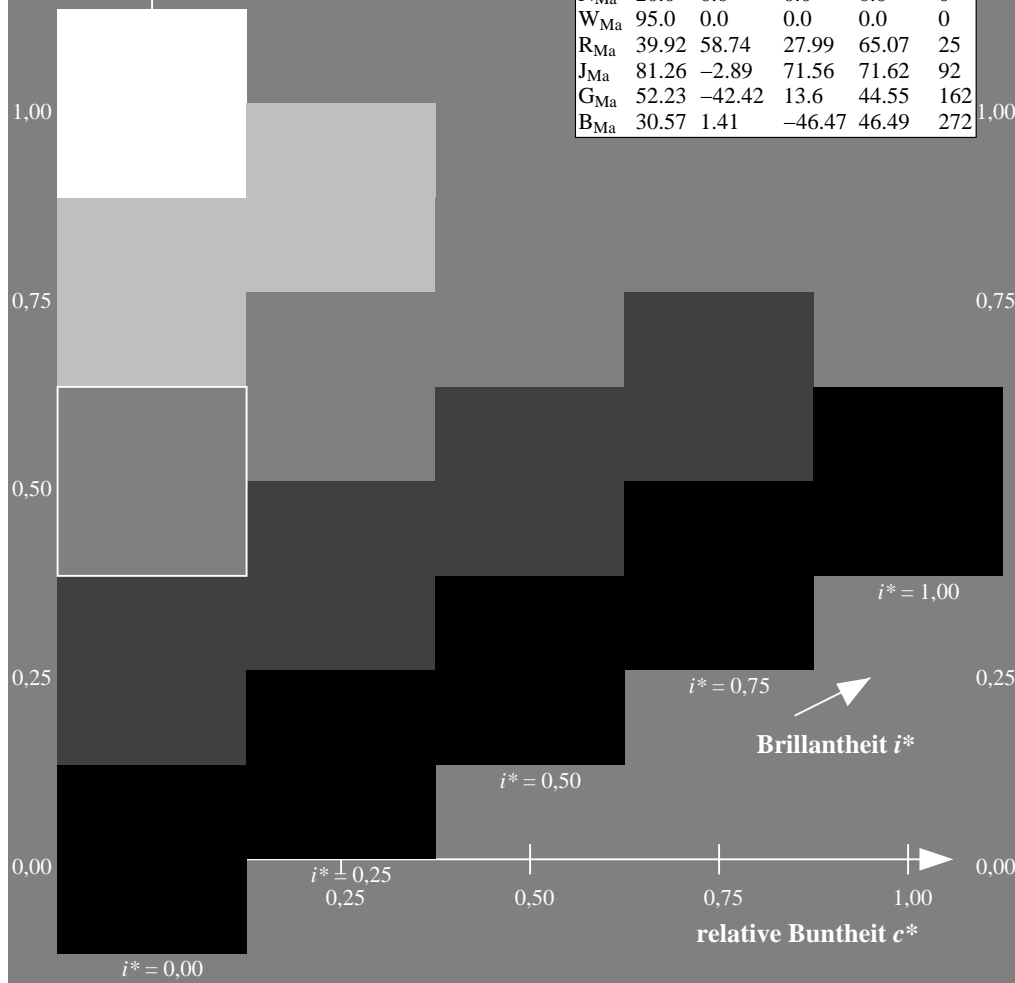
$u^*_{rel} = 83$

%Regularität

$g^*_{H,rel} = 72$

$g^*_{C,rel} = 57$

ORS20_95a; adaptierte CIELAB-Daten						
u^*_e	$L^*=L^*_a$	a^*_a	b^*_a	$C^*_{ab,a}$	$h^*_{ab,a}$	u^*_d
r00j	48.83	63.91	30.45	70.79	25	m84o
r25j	55.53	50.37	45.65	67.97	42	o17y
r50j	64.76	33.86	56.12	65.55	59	o42y
r75j	74.12	17.13	66.74	68.9	76	o67y
j00g	85.5	-3.22	79.65	79.72	92	o92y
j25g	79.45	-24.05	66.85	71.04	110	y20l
j50g	69.75	-38.03	49.98	62.8	127	y46l
j75g	61.38	-50.1	35.41	61.35	145	y72l
g00b	52.6	-62.77	20.12	65.92	162	y99l
g25b	55.39	-47.66	-8.06	48.34	190	l36c
g50b	57.43	-36.92	-27.8	46.22	217	l72c
g75b	55.19	-21.2	-44.17	48.99	244	c11v
b00r	41.84	1.31	-43.28	43.3	272	c56v
b25r	29.72	24.12	-41.48	47.98	300	v04m
b50r	38.41	44.74	-27.3	52.41	329	v55m
b75r	49.41	70.07	-3.62	70.16	357	m11o



Ein und Ausgabe: Farbmetrisches Drucker-Reflektiv-System ORS20_95a für relativen CIELAB-Buntton $h^* = lab^*h^* = h_{ab}/360 = 0.354$

Daten für jede Farbe:

lab^*ch^* und lab^*icu^*

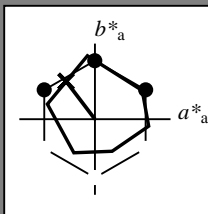
Bunttontexte:

$u^*_e = j50g$ $u^*_d = y46l$

Kontrastreduzierungsfaktor:

$c_R = 0.96$

Dreiecks-Helligkeit i^*



ORS20_95a; adaptierte CIELAB-Daten						
u^*_e	$L^*=L^*_a$	a^*_a	b^*_a	$C^*_{ab,a}$	$h^*_{ab,a}$	
O _{Ma}	48.71	62.56	37.91	73.15	31	
Y _{Ma}	89.25	-9.92	83.91	84.49	97	
L _{Ma}	52.5	-62.91	19.95	66.0	162	
C _{Ma}	59.15	-27.87	-44.43	52.45	238	
V _{Ma}	29.13	22.73	-42.44	48.14	298	
M _{Ma}	49.51	71.08	-9.19	71.67	353	
N _{Ma}	20.0	0.0	0.0	0.0	0	
W _{Ma}	95.0	0.0	0.0	0.0	0	
R _{Ma}	39.92	58.74	27.99	65.07	25	
J _{Ma}	81.26	-2.89	71.56	71.62	92	
G _{Ma}	52.23	-42.42	13.6	44.55	162	
B _{Ma}	30.57	1.41	-46.47	46.49	272	

Daten für Maximalfarbe (Ma):

LAB^*LAB^*Ma : 70 -38 50

LAB^*LCH^*Ma : 70 63 127

lab^*rgb^*Ma : 0.5 1.0 0.0

lab^*olv^*Ma : 0.54 1.0 0.0

Dreiecks-Helligkeit i^*

%Umfang

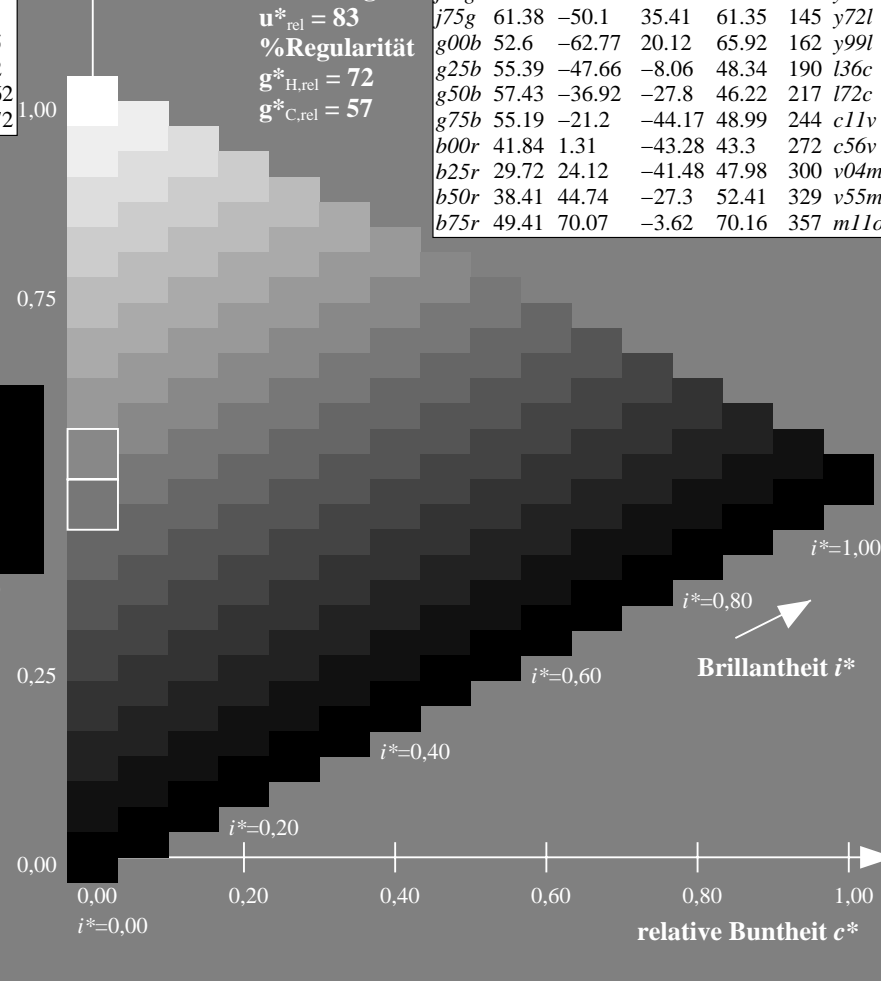
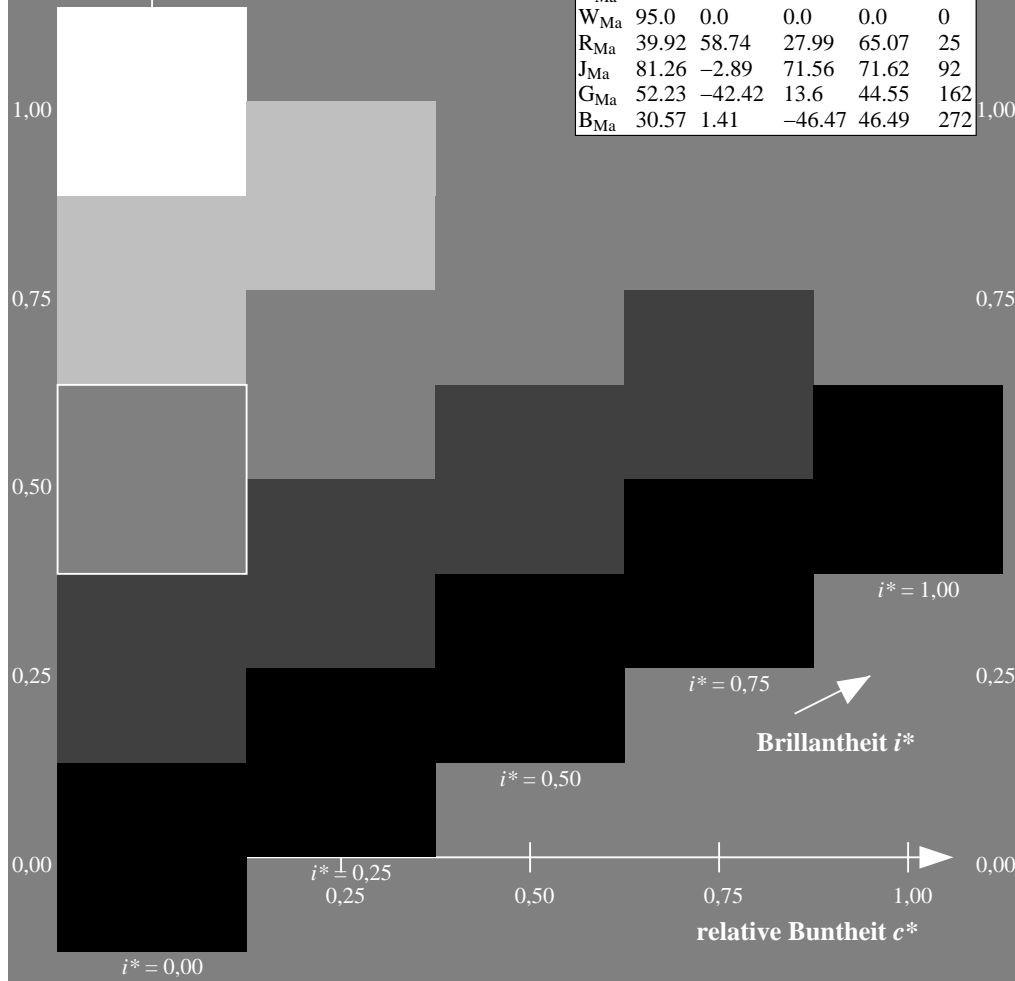
$u^*_{rel} = 83$

%Regularität

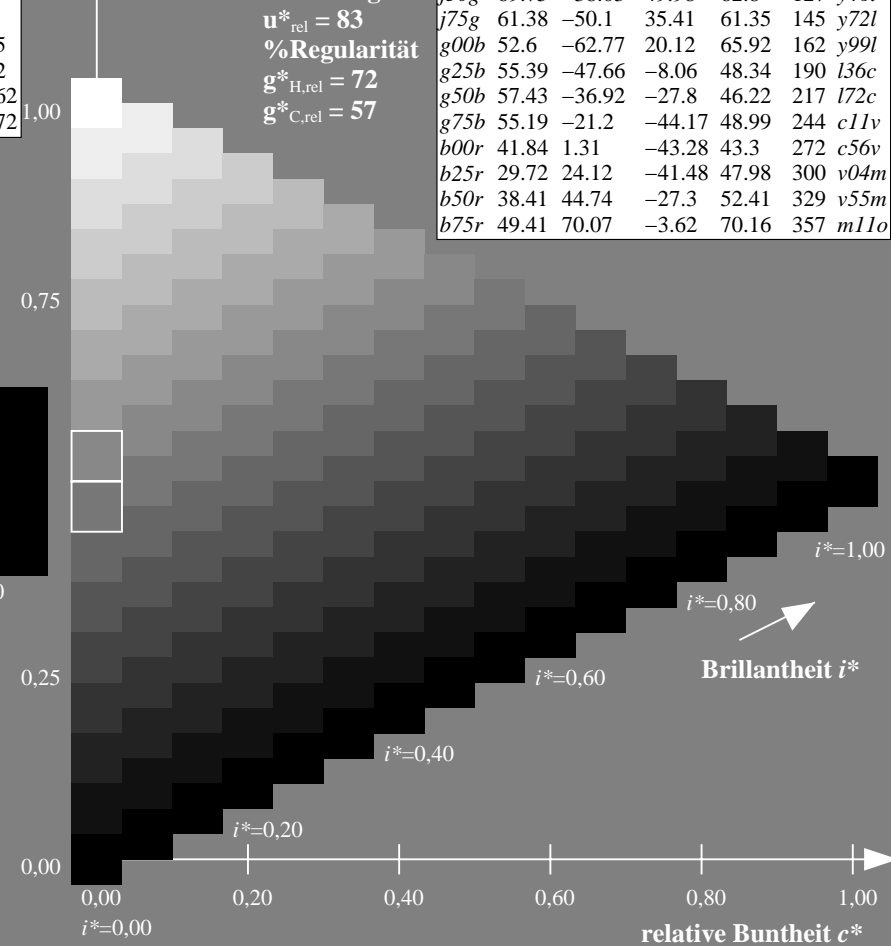
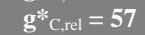
$g^*_{H,rel} = 72$

$g^*_{C,rel} = 57$

ORS20_95a; adaptierte CIELAB-Daten						
u^*_e	$L^*=L^*_a$	a^*_a	b^*_a	$C^*_{ab,a}$	$h^*_{ab,a}$	u^*_d
r00j	48.83	63.91	30.45	70.79	25	m84o
r25j	55.53	50.37	45.65	67.97	42	o17y
r50j	64.76	33.86	56.12	65.55	59	o42y
r75j	74.12	17.13	66.74	68.9	76	o67y
j00g	85.5	-3.22	79.65	79.72	92	o92y
j25g	79.45	-24.05	66.85	71.04	110	y20l
j50g	69.75	-38.03	49.98	62.8	127	y46l
j75g	61.38	-50.1	35.41	61.35	145	y72l
g00b	52.6	-62.77	20.12	65.92	162	y99l
g25b	55.39	-47.66	-8.06	48.34	190	l36c
g50b	57.43	-36.92	-27.8	46.22	217	l72c
g75b	55.19	-21.2	-44.17	48.99	244	c11v
b00r	41.84	1.31	-43.28	43.3	272	c56v
b25r	29.72	24.12	-41.48	47.98	300	v04m
b50r	38.41	44.74	-27.3	52.41	329	v55m
b75r	49.41	70.07	-3.62	70.16	357	m11o



► **Directs** **Strength:**



Ein und Ausgabe: Farbmatisches Drucker-Reflektiv-System ORS20_95a für relativen CIELAB-Buntton $h^* = lab^*h^* = h_{ab}/360 = 0.451$

Daten für jede Farbe:

lab^*ch^* und lab^*icu^*

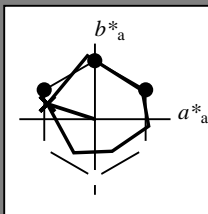
Bunttontexte:

$u^*_e = g00b$ $u^*_d = y99l$

Kontrastreduzierungsfaktor:

$c_R = 0.96$

Dreiecks-Helligkeit i^*



ORS20_95a; adaptierte CIELAB-Daten

u^*_e	$L^*=L^*_a$	a^*_a	b^*_a	$C^*_{ab,a}$	$h^*_{ab,a}$
O _{Ma}	48.71	62.56	37.91	73.15	31
Y _{Ma}	89.25	-9.92	83.91	84.49	97
L _{Ma}	52.5	-62.91	19.95	66.0	162
C _{Ma}	59.15	-27.87	-44.43	52.45	238
V _{Ma}	29.13	22.73	-42.44	48.14	298
M _{Ma}	49.51	71.08	-9.19	71.67	353
N _{Ma}	20.0	0.0	0.0	0.0	0
W _{Ma}	95.0	0.0	0.0	0.0	0
R _{Ma}	39.92	58.74	27.99	65.07	25
J _{Ma}	81.26	-2.89	71.56	71.62	92
G _{Ma}	52.23	-42.42	13.6	44.55	162
B _{Ma}	30.57	1.41	-46.47	46.49	272

Daten für Maximalfarbe (Ma):

LAB^*LAB^*Ma : 53 -63 20

LAB^*LCH^*Ma : 53 66 162

lab^*rgb^*Ma : 0.0 1.0 0.0

lab^*olv^*Ma : 0.0 1.0 0.0

Dreiecks-Helligkeit i^*

%Umfang

$u^*_{rel} = 83$

%Regularität

$g^*_{H,rel} = 72$

$g^*_{C,rel} = 57$

ORS20_95a; adaptierte CIELAB-Daten

u^*_e	$L^*=L^*_a$	a^*_a	b^*_a	$C^*_{ab,a}$	$h^*_{ab,a}$	u^*_d
r00j	48.83	63.91	30.45	70.79	25	m84o
r25j	55.53	50.37	45.65	67.97	42	o17y
r50j	64.76	33.86	56.12	65.55	59	o42y
r75j	74.12	17.13	66.74	68.9	76	o67y
j00g	85.5	-3.22	79.65	79.72	92	o92y
j25g	79.45	-24.05	66.85	71.04	110	y20l
j50g	69.75	-38.03	49.98	62.8	127	y46l
j75g	61.38	-50.1	35.41	61.35	145	y72l
g00b	52.6	-62.77	20.12	65.92	162	y99l
g25b	55.39	-47.66	-8.06	48.34	190	l36c
g50b	57.43	-36.92	-27.8	46.22	217	l72c
g75b	55.19	-21.2	-44.17	48.99	244	c11v
b00r	41.84	1.31	-43.28	43.3	272	c56v
b25r	29.72	24.12	-41.48	47.98	300	v04m
b50r	38.41	44.74	-27.3	52.41	329	v55m
b75r	49.41	70.07	-3.62	70.16	357	m11o

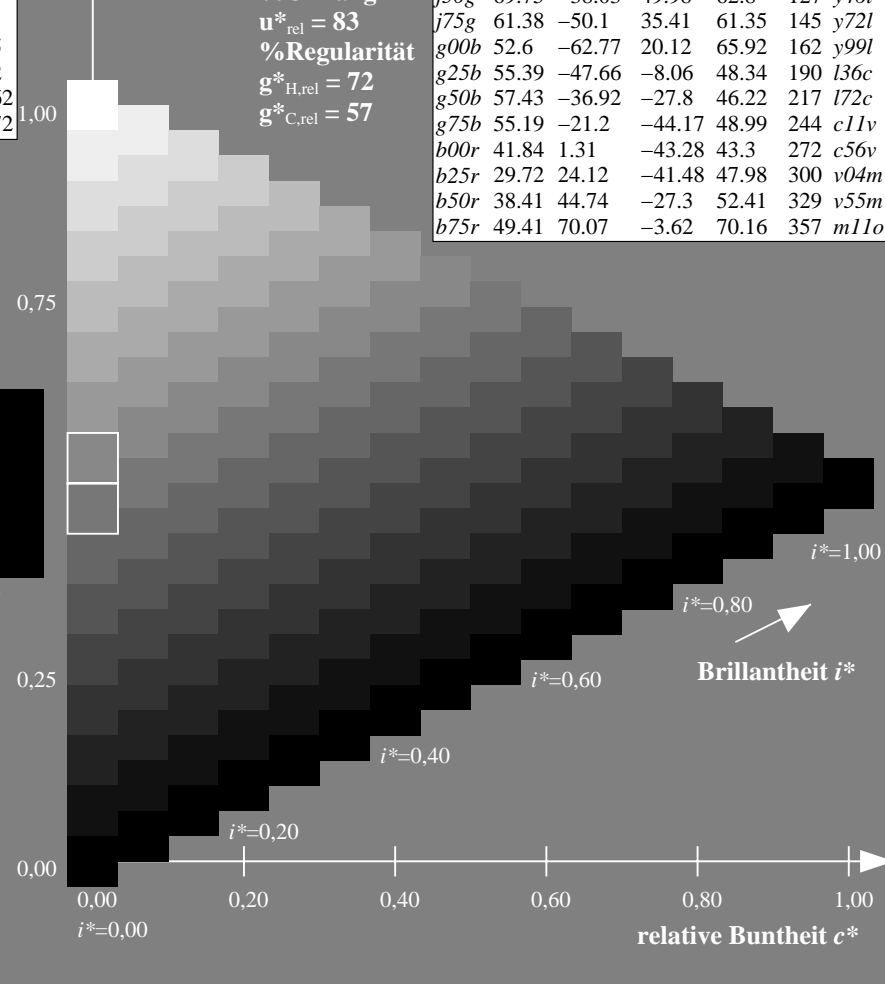
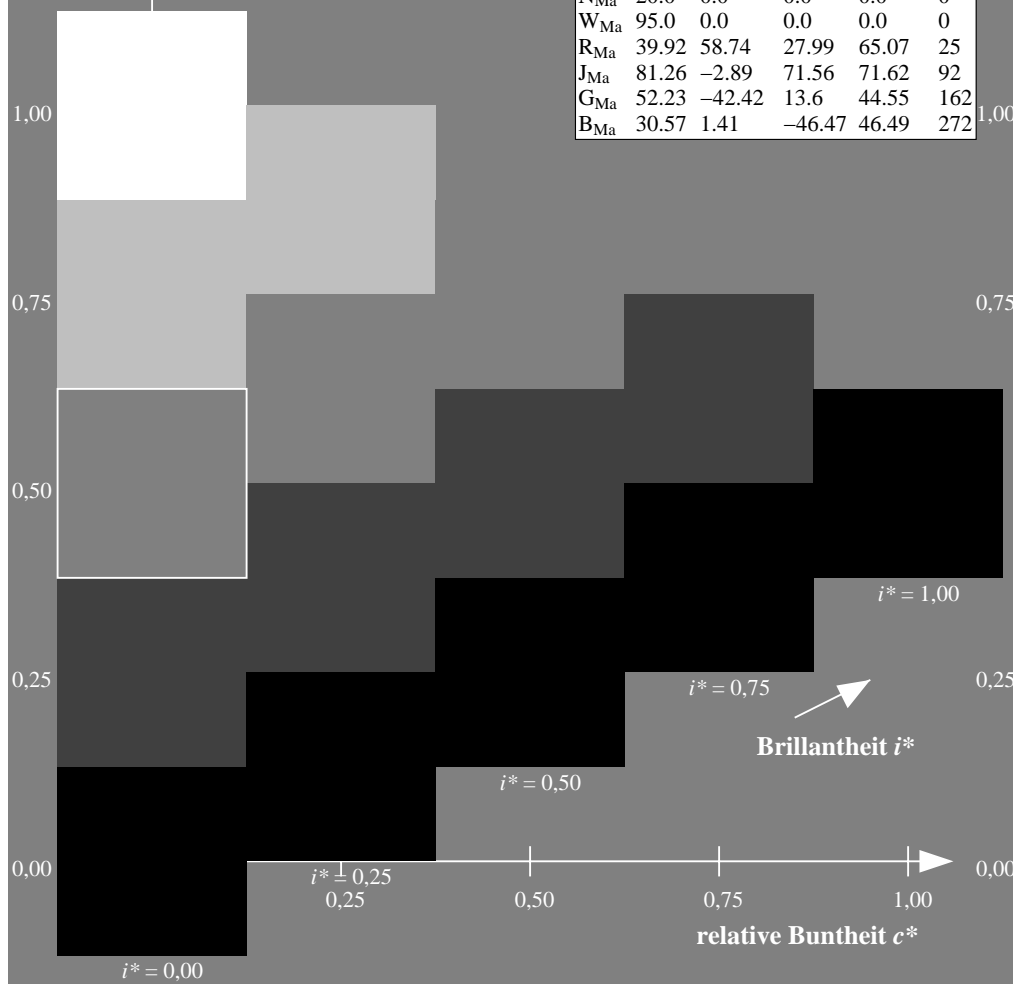


Figure 1


$$g^*_{C,rel} = 57$$

<i>b75r</i>	49.41	70.07	-3.62	70.16	357 <i>m11o</i>
-------------	-------	-------	-------	-------	-----------------



Ein und Ausgabe: Farbmetrisches Drucker-Reflektiv-System ORS20_95a für relativen CIELAB-Buntton $h^* = lab^*h^* = h_{ab}/360 = 0.603$

Daten für jede Farbe:

lab^*ch^* und lab^*icu^*

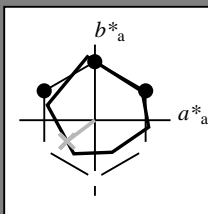
Bunttontexte:

$u^*_e = g50b$ $u^*_d = l72c$

Kontrastreduzierungsfaktor:

$c_R = 0.96$

Dreiecks-Helligkeit i^*



ORS20_95a; adaptierte CIELAB-Daten						
u^*_e	$L^*=L^*_a$	a^*_a	b^*_a	$C^*_{ab,a}$	$h^*_{ab,a}$	
O _{Ma}	48.71	62.56	37.91	73.15	31	
Y _{Ma}	89.25	-9.92	83.91	84.49	97	
L _{Ma}	52.5	-62.91	19.95	66.0	162	
C _{Ma}	59.15	-27.87	-44.43	52.45	238	
V _{Ma}	29.13	22.73	-42.44	48.14	298	
M _{Ma}	49.51	71.08	-9.19	71.67	353	
N _{Ma}	20.0	0.0	0.0	0.0	0	
W _{Ma}	95.0	0.0	0.0	0.0	0	
R _{Ma}	39.92	58.74	27.99	65.07	25	
J _{Ma}	81.26	-2.89	71.56	71.62	92	
G _{Ma}	52.23	-42.42	13.6	44.55	162	
B _{Ma}	30.57	1.41	-46.47	46.49	272	

Daten für Maximalfarbe (Ma):

LAB^*LAB^*Ma : 57 -37 -28

LAB^*LCH^*Ma : 57 46 216

lab^*rgb^*Ma : 0.0 1.0 1.0

lab^*olv^*Ma : 0.0 1.0 0.72

Dreiecks-Helligkeit i^*

%Umfang

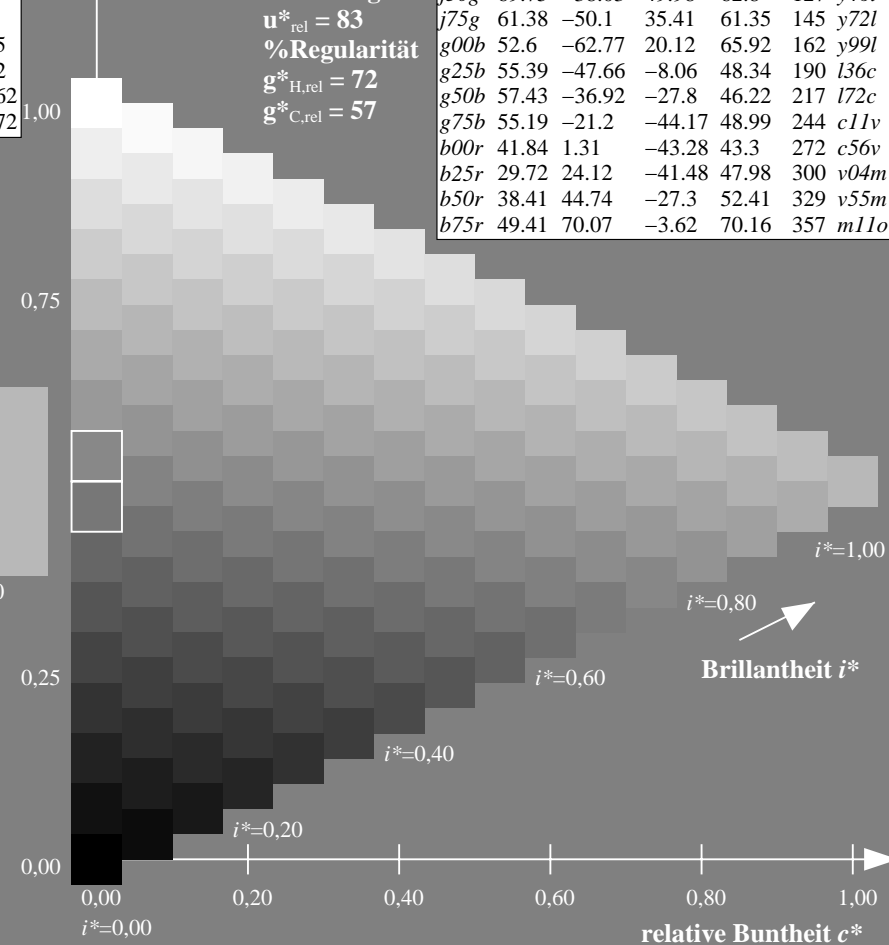
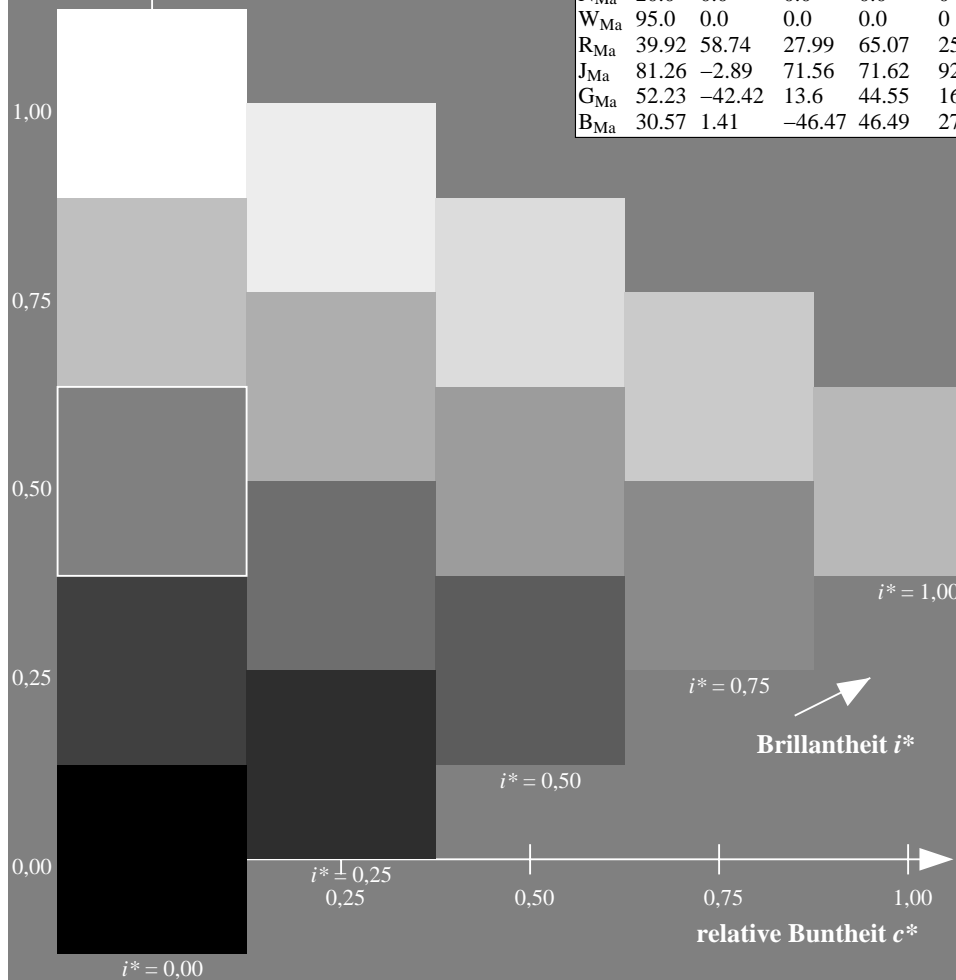
$u^*_{rel} = 83$

%Regularität

$g^*_{H,rel} = 72$

$g^*_{C,rel} = 57$

ORS20_95a; adaptierte CIELAB-Daten						
u^*_e	$L^*=L^*_a$	a^*_a	b^*_a	$C^*_{ab,a}$	$h^*_{ab,a}$	u^*_d
r00j	48.83	63.91	30.45	70.79	25	m84o
r25j	55.53	50.37	45.65	67.97	42	o17y
r50j	64.76	33.86	56.12	65.55	59	o42y
r75j	74.12	17.13	66.74	68.9	76	o67y
j00g	85.5	-3.22	79.65	79.72	92	o92y
j25g	79.45	-24.05	66.85	71.04	110	y20l
j50g	69.75	-38.03	49.98	62.8	127	y46l
j75g	61.38	-50.1	35.41	61.35	145	y72l
g00b	52.6	-62.77	20.12	65.92	162	y99l
g25b	55.39	-47.66	-8.06	48.34	190	l36c
g50b	57.43	-36.92	-27.8	46.22	217	l72c
g75b	55.19	-21.2	-44.17	48.99	244	c11v
b00r	41.84	1.31	-43.28	43.3	272	c56v
b25r	29.72	24.12	-41.48	47.98	300	v04m
b50r	38.41	44.74	-27.3	52.41	329	v55m
b75r	49.41	70.07	-3.62	70.16	357	m11o



Ein und Ausgabe: Farbmetrisches Drucker-Reflektiv-System ORS20_95a für relativen CIELAB-Buntton $h^* = lab^*h^* = h_{ab}/360 = 0.679$

Daten für jede Farbe:

lab^*ch^* und lab^*icu^*

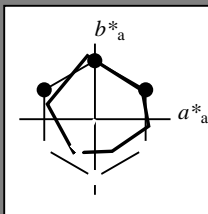
Bunttontexte:

$u^*_e = g75b$ $u^*_d = c11v$

Kontrastreduzierungsfaktor:

$c_R = 0.96$

Dreiecks-Helligkeit i^*



ORS20_95a; adaptierte CIELAB-Daten						
u^*_e	$L^*=L^*_a$	a^*_a	b^*_a	$C^*_{ab,a}$	$h^*_{ab,a}$	
O _{Ma}	48.71	62.56	37.91	73.15	31	
Y _{Ma}	89.25	-9.92	83.91	84.49	97	
L _{Ma}	52.5	-62.91	19.95	66.0	162	
C _{Ma}	59.15	-27.87	-44.43	52.45	238	
V _{Ma}	29.13	22.73	-42.44	48.14	298	
M _{Ma}	49.51	71.08	-9.19	71.67	353	
N _{Ma}	20.0	0.0	0.0	0.0	0	
W _{Ma}	95.0	0.0	0.0	0.0	0	
R _{Ma}	39.92	58.74	27.99	65.07	25	
J _{Ma}	81.26	-2.89	71.56	71.62	92	
G _{Ma}	52.23	-42.42	13.6	44.55	162	
B _{Ma}	30.57	1.41	-46.47	46.49	272	

Daten für Maximalfarbe (Ma):

LAB^*LAB^*Ma : 55 -21 -44

LAB^*LCH^*Ma : 55 49 244

lab^*rgb^*Ma : 0.0 0.5 1.0

lab^*olv^*Ma : 0.0 0.89 1.0

Dreiecks-Helligkeit i^*

%Umfang

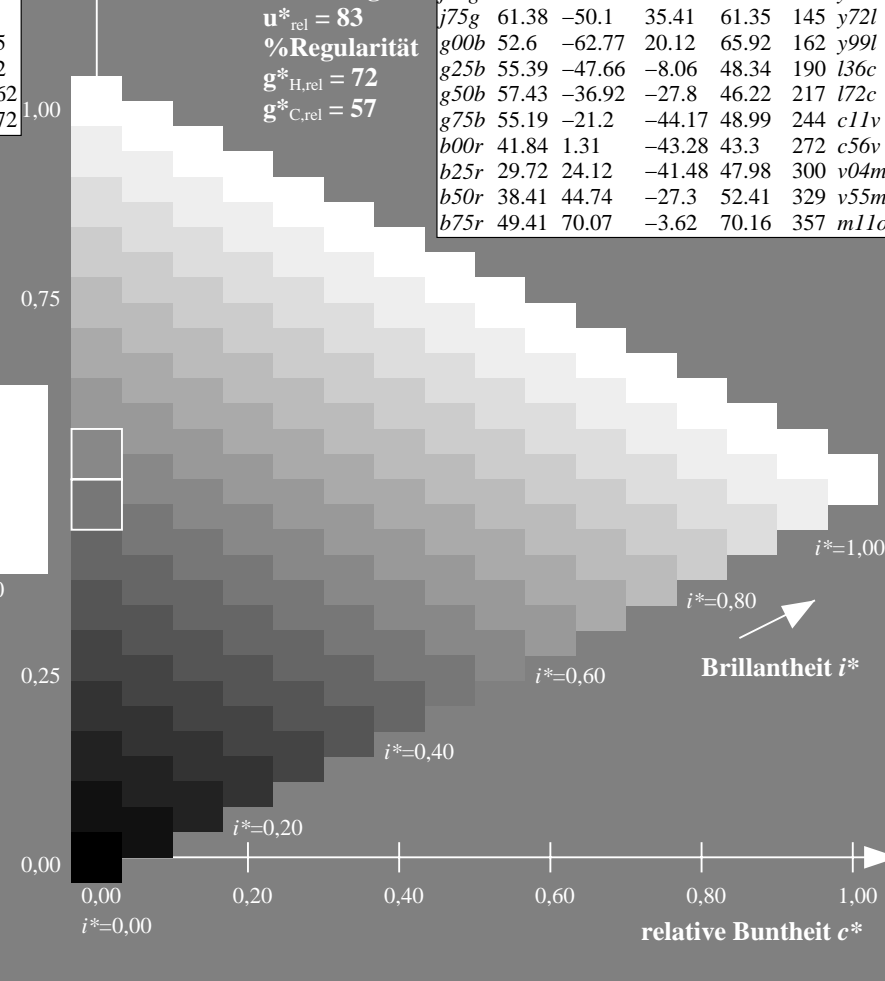
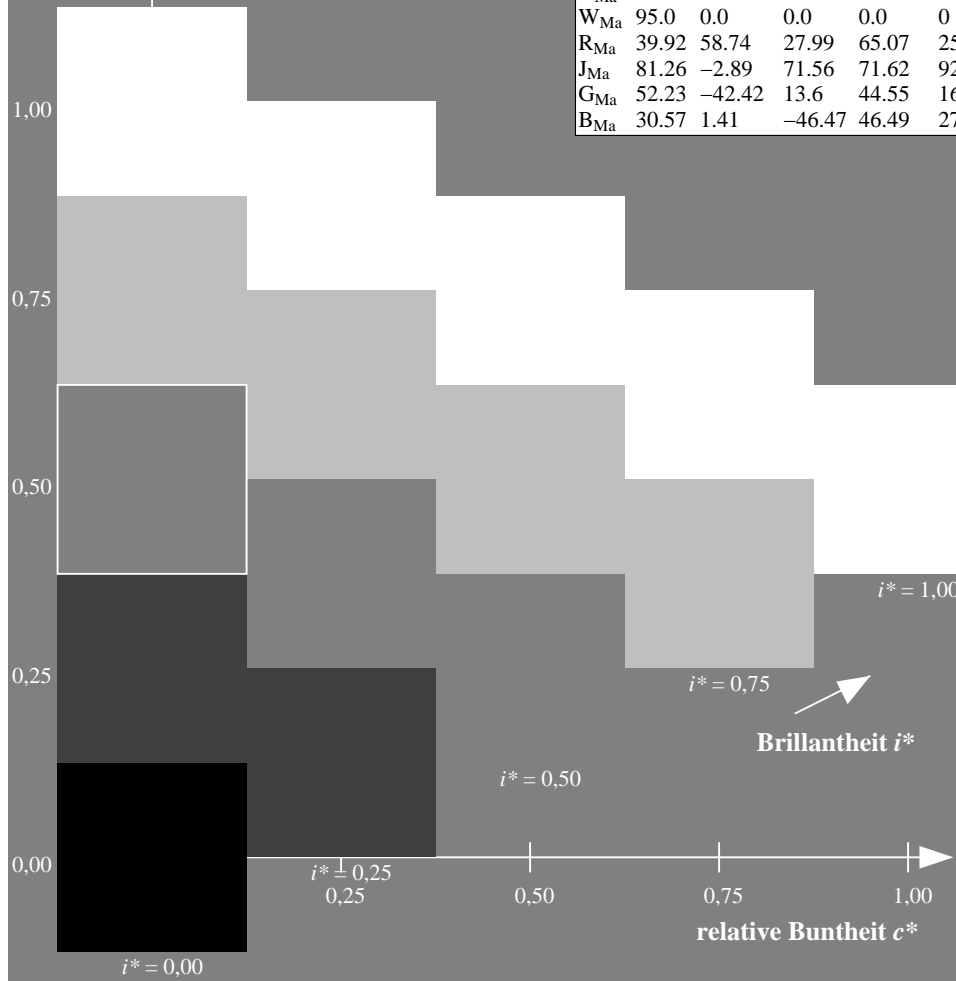
$u^*_{rel} = 83$

%Regularität

$g^*_{H,rel} = 72$

$g^*_{C,rel} = 57$

ORS20_95a; adaptierte CIELAB-Daten						
u^*_e	$L^*=L^*_a$	a^*_a	b^*_a	$C^*_{ab,a}$	$h^*_{ab,a}$	u^*_d
r00j	48.83	63.91	30.45	70.79	25	m84o
r25j	55.53	50.37	45.65	67.97	42	o17y
r50j	64.76	33.86	56.12	65.55	59	o42y
r75j	74.12	17.13	66.74	68.9	76	o67y
j00g	85.5	-3.22	79.65	79.72	92	o92y
j25g	79.45	-24.05	66.85	71.04	110	y20l
j50g	69.75	-38.03	49.98	62.8	127	y46l
j75g	61.38	-50.1	35.41	61.35	145	y72l
g00b	52.6	-62.77	20.12	65.92	162	y99l
g25b	55.39	-47.66	-8.06	48.34	190	l36c
g50b	57.43	-36.92	-27.8	46.22	217	l72c
g75b	55.19	-21.2	-44.17	48.99	244	c11v
b00r	41.84	1.31	-43.28	43.3	272	c56v
b25r	29.72	24.12	-41.48	47.98	300	v04m
b50r	38.41	44.74	-27.3	52.41	329	v55m
b75r	49.41	70.07	-3.62	70.16	357	m11o



Ein und Ausgabe: Farbmetrisches Drucker-Reflektiv-System ORS20_95a für relativen CIELAB-Buntton $h^* = lab^*h^* = h_{ab}/360 = 0.755$

Daten für jede Farbe:

lab^*ch^* und lab^*icu^*

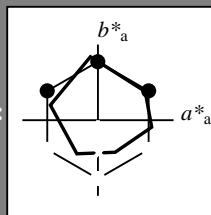
Bunttontexte:

$u^*_e = b00r$ $u^*_d = c56v$

Kontrastreduzierungsfaktor:

$c_R = 0.96$

Dreiecks-Helligkeit i^*



ORS20_95a; adaptierte CIELAB-Daten						
u^*_e	$L^*=L^*_a$	a^*_a	b^*_a	$C^*_{ab,a}$	$h^*_{ab,a}$	
O _{Ma}	48.71	62.56	37.91	73.15	31	
Y _{Ma}	89.25	-9.92	83.91	84.49	97	
L _{Ma}	52.5	-62.91	19.95	66.0	162	
C _{Ma}	59.15	-27.87	-44.43	52.45	238	
V _{Ma}	29.13	22.73	-42.44	48.14	298	
M _{Ma}	49.51	71.08	-9.19	71.67	353	
N _{Ma}	20.0	0.0	0.0	0.0	0	
W _{Ma}	95.0	0.0	0.0	0.0	0	
R _{Ma}	39.92	58.74	27.99	65.07	25	
J _{Ma}	81.26	-2.89	71.56	71.62	92	
G _{Ma}	52.23	-42.42	13.6	44.55	162	
B _{Ma}	30.57	1.41	-46.47	46.49	272	

Daten für Maximalfarbe (Ma):

LAB^*LAB^*Ma : 42 1 -43

LAB^*LCH^*Ma : 42 43 271

lab^*rgb^*Ma : 0.0 0.0 1.0

lab^*olv^*Ma : 0.0 0.44 1.0

Dreiecks-Helligkeit i^*

%Umfang

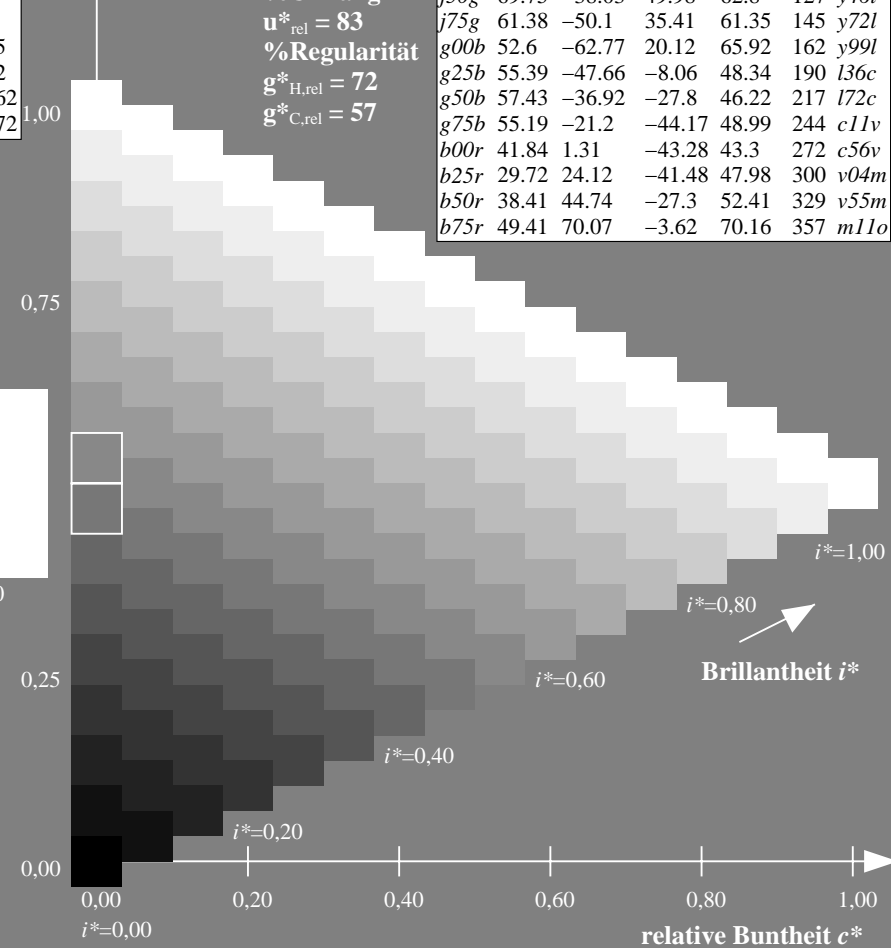
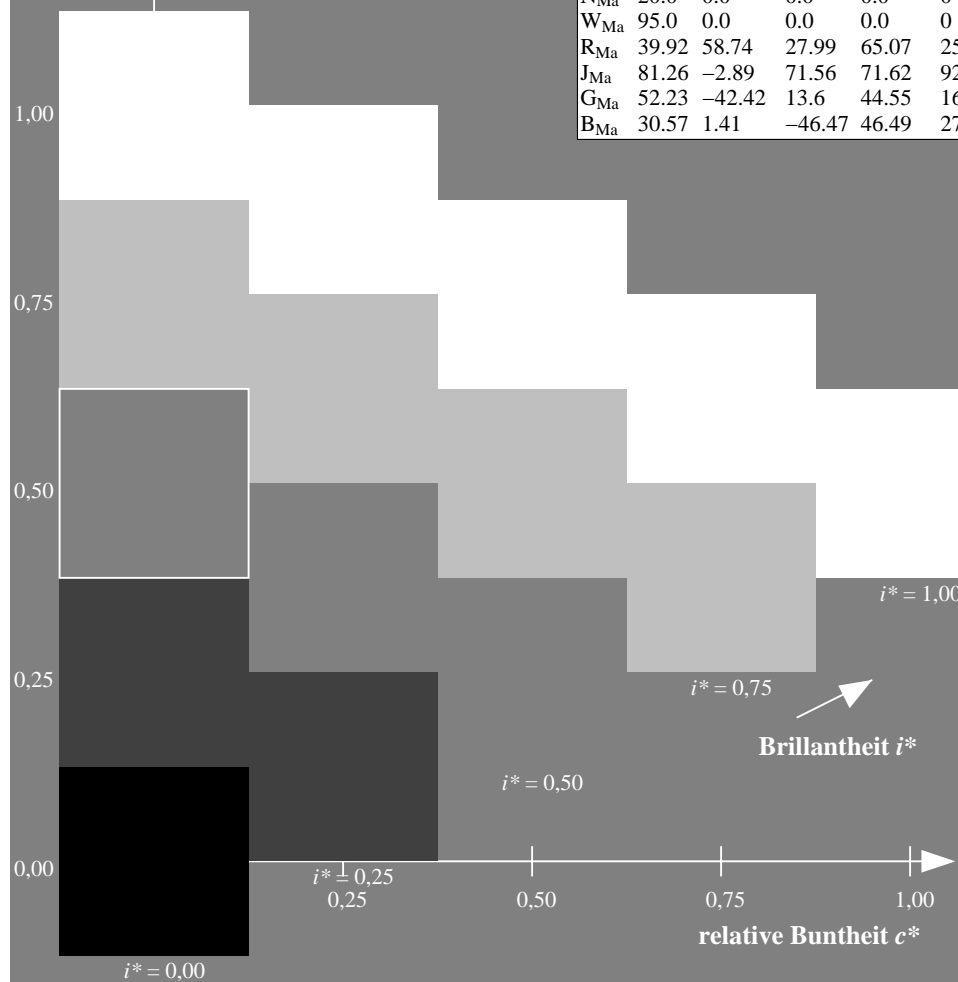
$u^*_{rel} = 83$

%Regularität

$g^*_{H,rel} = 72$

$g^*_{C,rel} = 57$

ORS20_95a; adaptierte CIELAB-Daten						
u^*_e	$L^*=L^*_a$	a^*_a	b^*_a	$C^*_{ab,a}$	$h^*_{ab,a}$	u^*_d
r00j	48.83	63.91	30.45	70.79	25	m84o
r25j	55.53	50.37	45.65	67.97	42	o17y
r50j	64.76	33.86	56.12	65.55	59	o42y
r75j	74.12	17.13	66.74	68.9	76	o67y
j00g	85.5	-3.22	79.65	79.72	92	o92y
j25g	79.45	-24.05	66.85	71.04	110	y20l
j50g	69.75	-38.03	49.98	62.8	127	y46l
j75g	61.38	-50.1	35.41	61.35	145	y72l
g00b	52.6	-62.77	20.12	65.92	162	y99l
g25b	55.39	-47.66	-8.06	48.34	190	l36c
g50b	57.43	-36.92	-27.8	46.22	217	l72c
g75b	55.19	-21.2	-44.17	48.99	244	c11v
b00r	41.84	1.31	-43.28	43.3	272	c56v
b25r	29.72	24.12	-41.48	47.98	300	v04m
b50r	38.41	44.74	-27.3	52.41	329	v55m
b75r	49.41	70.07	-3.62	70.16	357	m11o



Ein und Ausgabe: Farbmetrisches Drucker-Reflektiv-System ORS20_95a für relativen CIELAB-Buntton $h^* = lab^*h^* = h_{ab}/360 = 0.834$

Daten für jede Farbe:

lab^*tch^* und lab^*icu^*

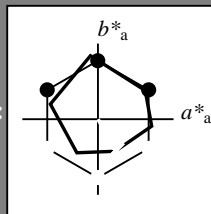
Bunttontexte:

$u^*_e = b25r$ $u^*_d = v04m$

Kontrastreduzierungsfaktor:

$c_R = 0.96$

Dreiecks-Helligkeit i^*



ORS20_95a; adaptierte CIELAB-Daten

u^*_e	$L^*=L^*_a$	a^*_a	b^*_a	$C^*_{ab,a}$	$h^*_{ab,a}$
O _{Ma}	48.71	62.56	37.91	73.15	31
Y _{Ma}	89.25	-9.92	83.91	84.49	97
L _{Ma}	52.5	-62.91	19.95	66.0	162
C _{Ma}	59.15	-27.87	-44.43	52.45	238
V _{Ma}	29.13	22.73	-42.44	48.14	298
M _{Ma}	49.51	71.08	-9.19	71.67	353
N _{Ma}	20.0	0.0	0.0	0.0	0
W _{Ma}	95.0	0.0	0.0	0.0	0
R _{Ma}	39.92	58.74	27.99	65.07	25
J _{Ma}	81.26	-2.89	71.56	71.62	92
G _{Ma}	52.23	-42.42	13.6	44.55	162
B _{Ma}	30.57	1.41	-46.47	46.49	272

Daten für Maximalfarbe (Ma):

$LAB^*LAB^*_{Ma}$: 30 24 -41

$LAB^*LCH^*_{Ma}$: 30 48 300

$lab^*rgb^*_{Ma}$: 0.5 0.0 1.0

$lab^*olv^*_{Ma}$: 0.04 0.0 1.0

Dreiecks-Helligkeit i^*

%Umfang

$u^*_{rel} = 83$

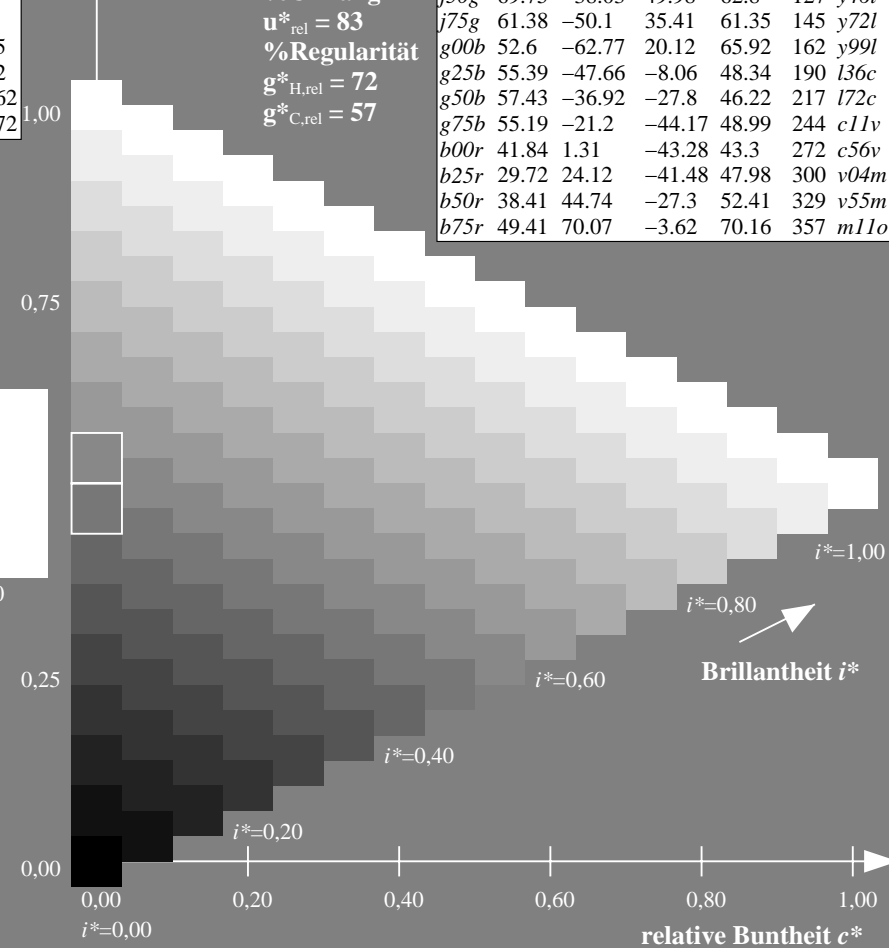
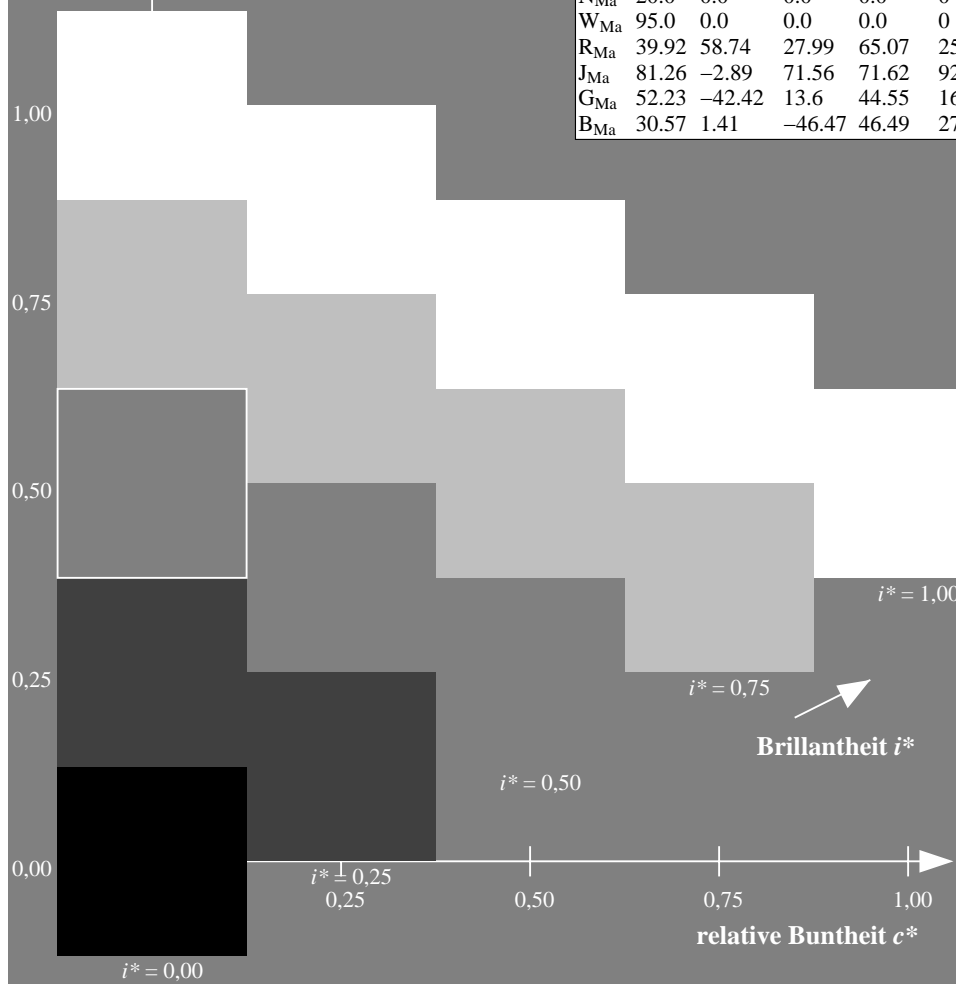
%Regularität

$g^*_{H,rel} = 72$

$g^*_{C,rel} = 57$

ORS20_95a; adaptierte CIELAB-Daten

u^*_e	$L^*=L^*_a$	a^*_a	b^*_a	$C^*_{ab,a}$	$h^*_{ab,a}$	u^*_d
r00j	48.83	63.91	30.45	70.79	25	m84o
r25j	55.53	50.37	45.65	67.97	42	o17y
r50j	64.76	33.86	56.12	65.55	59	o42y
r75j	74.12	17.13	66.74	68.9	76	o67y
j00g	85.5	-3.22	79.65	79.72	92	o92y
j25g	79.45	-24.05	66.85	71.04	110	y20l
j50g	69.75	-38.03	49.98	62.8	127	y46l
j75g	61.38	-50.1	35.41	61.35	145	y72l
g00b	52.6	-62.77	20.12	65.92	162	y99l
g25b	55.39	-47.66	-8.06	48.34	190	l36c
g50b	57.43	-36.92	-27.8	46.22	217	l72c
g75b	55.19	-21.2	-44.17	48.99	244	c11v
b00r	41.84	1.31	-43.28	43.3	272	c56v
b25r	29.72	24.12	-41.48	47.98	300	v04m
b50r	38.41	44.74	-27.3	52.41	329	v55m
b75r	49.41	70.07	-3.62	70.16	357	m11o



Ein und Ausgabe: Farbmetrisches Drucker-Reflektiv-System ORS20_95a für relativen CIELAB-Buntton $h^* = lab^*h^* = h_{ab}/360 = 0.913$

Daten für jede Farbe:

lab^*tch^* und lab^*icu^*

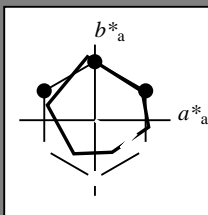
Bunttontexte:

$u^*_e = b50r$ $u^*_d = v55m$

Kontrastreduzierungsfaktor:

$c_R = 0.96$

Dreiecks-Helligkeit i^*



ORS20_95a; adaptierte CIELAB-Daten						
u^*_e	$L^*=L^*_a$	a^*_a	b^*_a	$C^*_{ab,a}$	$h^*_{ab,a}$	
O _{Ma}	48.71	62.56	37.91	73.15	31	
Y _{Ma}	89.25	-9.92	83.91	84.49	97	
L _{Ma}	52.5	-62.91	19.95	66.0	162	
C _{Ma}	59.15	-27.87	-44.43	52.45	238	
V _{Ma}	29.13	22.73	-42.44	48.14	298	
M _{Ma}	49.51	71.08	-9.19	71.67	353	
N _{Ma}	20.0	0.0	0.0	0.0	0	
W _{Ma}	95.0	0.0	0.0	0.0	0	
R _{Ma}	39.92	58.74	27.99	65.07	25	
J _{Ma}	81.26	-2.89	71.56	71.62	92	
G _{Ma}	52.23	-42.42	13.6	44.55	162	
B _{Ma}	30.57	1.41	-46.47	46.49	272	

Daten für Maximalfarbe (Ma):

$LAB^*LAB^*_{Ma}$: 38 45 -27

$LAB^*LCH^*_{Ma}$: 38 52 328

$lab^*rgb^*_{Ma}$: 1.0 0.0 1.0

$lab^*olv^*_{Ma}$: 0.56 0.0 1.0

Dreiecks-Helligkeit i^*

%Umfang

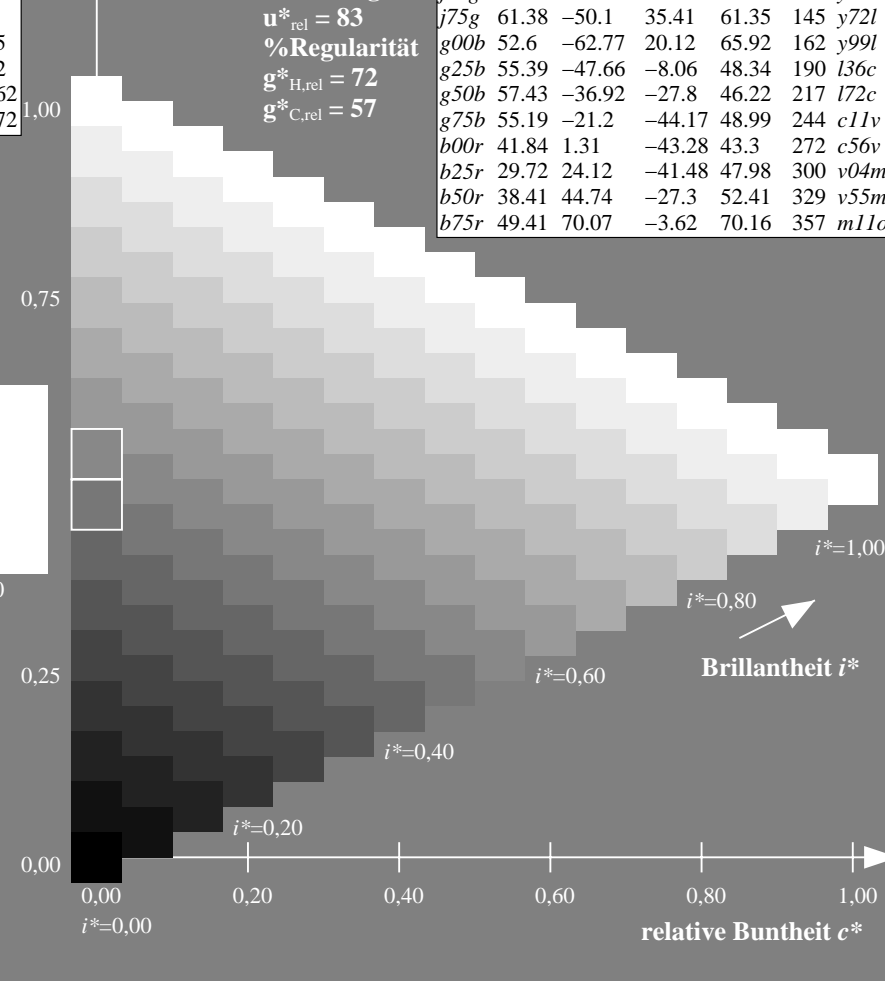
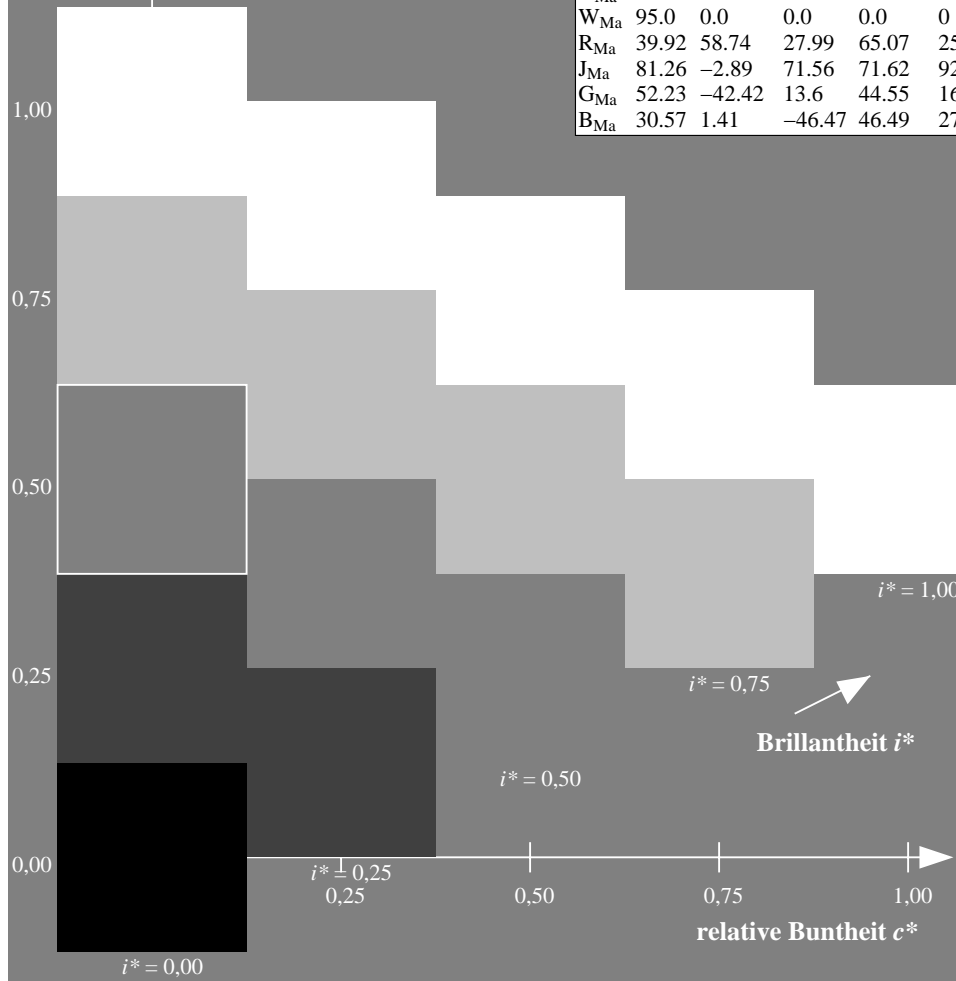
$u^*_{rel} = 83$

%Regularität

$g^*_{H,rel} = 72$

$g^*_{C,rel} = 57$

ORS20_95a; adaptierte CIELAB-Daten						
u^*_e	$L^*=L^*_a$	a^*_a	b^*_a	$C^*_{ab,a}$	$h^*_{ab,a}$	u^*_d
r00j	48.83	63.91	30.45	70.79	25	m84o
r25j	55.53	50.37	45.65	67.97	42	o17y
r50j	64.76	33.86	56.12	65.55	59	o42y
r75j	74.12	17.13	66.74	68.9	76	o67y
j00g	85.5	-3.22	79.65	79.72	92	o92y
j25g	79.45	-24.05	66.85	71.04	110	y20l
j50g	69.75	-38.03	49.98	62.8	127	y46l
j75g	61.38	-50.1	35.41	61.35	145	y72l
g00b	52.6	-62.77	20.12	65.92	162	y99l
g25b	55.39	-47.66	-8.06	48.34	190	l36c
g50b	57.43	-36.92	-27.8	46.22	217	l72c
g75b	55.19	-21.2	-44.17	48.99	244	c11v
b00r	41.84	1.31	-43.28	43.3	272	c56v
b25r	29.72	24.12	-41.48	47.98	300	v04m
b50r	38.41	44.74	-27.3	52.41	329	v55m
b75r	49.41	70.07	-3.62	70.16	357	m11o



Ein und Ausgabe: Farbmetrisches Drucker-Reflektiv-System ORS20_95a für relativen CIELAB-Buntton $h^* = lab^*h^* = h_{ab}/360 = 0.992$

Daten für jede Farbe:

lab^*tch^* und lab^*icu^*

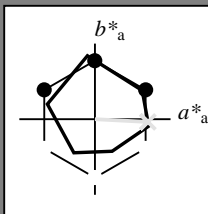
Bunttontexte:

$u^*_e = b75r$ $u^*_d = m11o$

Kontrastreduzierungsfaktor:

$c_R = 0.96$

Dreiecks-Helligkeit i^*



ORS20_95a; adaptierte CIELAB-Daten

u^*_e	$L^*=L^*_a$	a^*_a	b^*_a	$C^*_{ab,a}$	$h^*_{ab,a}$
O _{Ma}	48.71	62.56	37.91	73.15	31
Y _{Ma}	89.25	-9.92	83.91	84.49	97
L _{Ma}	52.5	-62.91	19.95	66.0	162
C _{Ma}	59.15	-27.87	-44.43	52.45	238
V _{Ma}	29.13	22.73	-42.44	48.14	298
M _{Ma}	49.51	71.08	-9.19	71.67	353
N _{Ma}	20.0	0.0	0.0	0.0	0
W _{Ma}	95.0	0.0	0.0	0.0	0
R _{Ma}	39.92	58.74	27.99	65.07	25
J _{Ma}	81.26	-2.89	71.56	71.62	92
G _{Ma}	52.23	-42.42	13.6	44.55	162
B _{Ma}	30.57	1.41	-46.47	46.49	272

Daten für Maximalfarbe (Ma):

$LAB^*LAB^*_{Ma}$: 49 70 -4

$LAB^*LCH^*_{Ma}$: 49 70 357

$lab^*rgb^*_{Ma}$: 1.0 0.0 0.5

$lab^*olv^*_{Ma}$: 1.0 0.0 0.89

Dreiecks-Helligkeit i^*

%Umfang

$u^*_{rel} = 83$

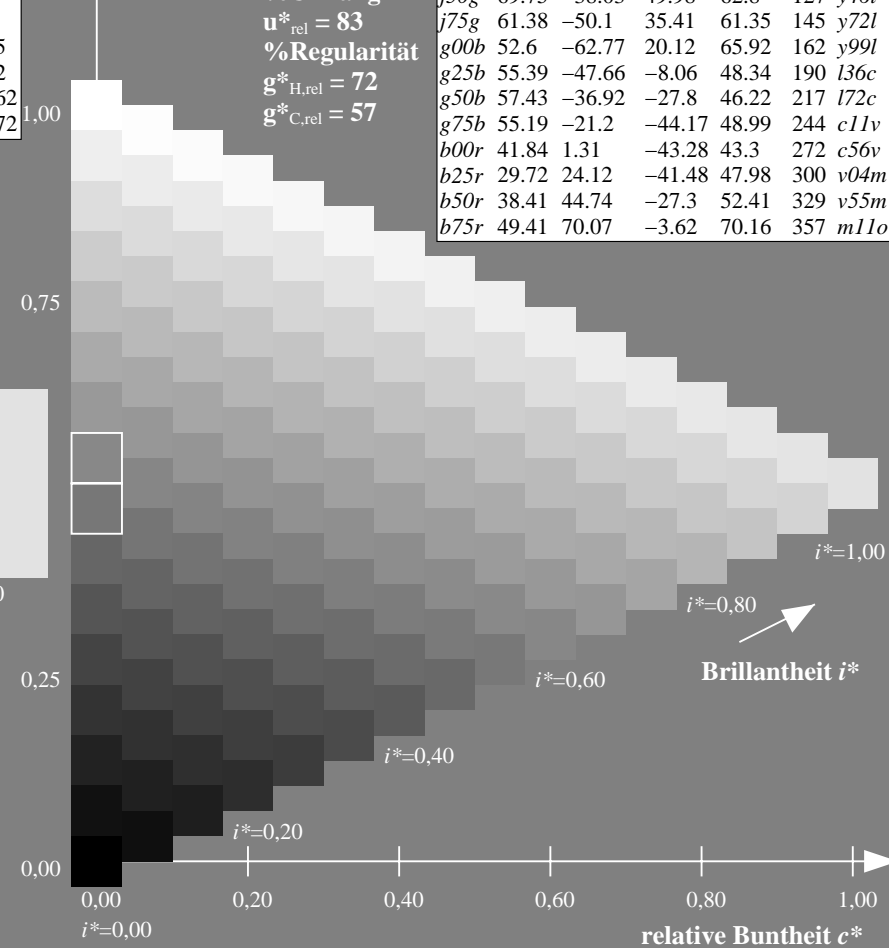
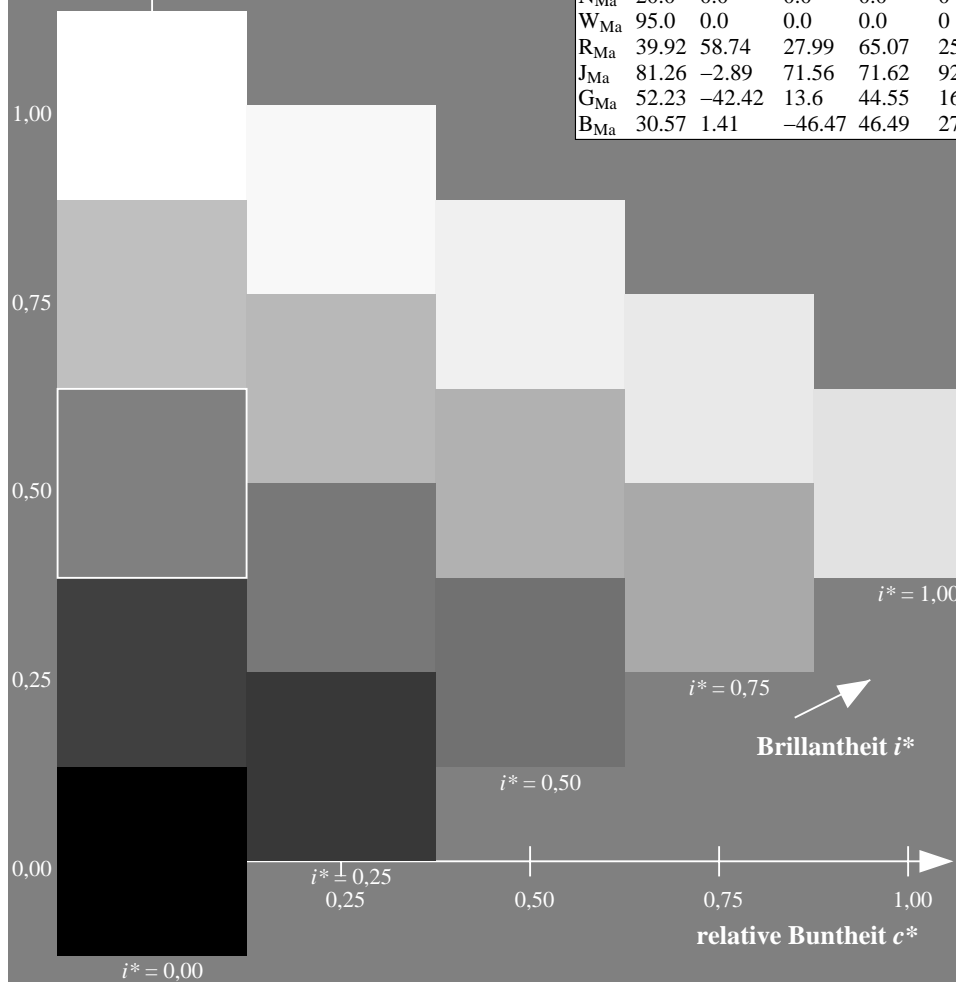
%Regularität

$g^*_{H,rel} = 72$

$g^*_{C,rel} = 57$

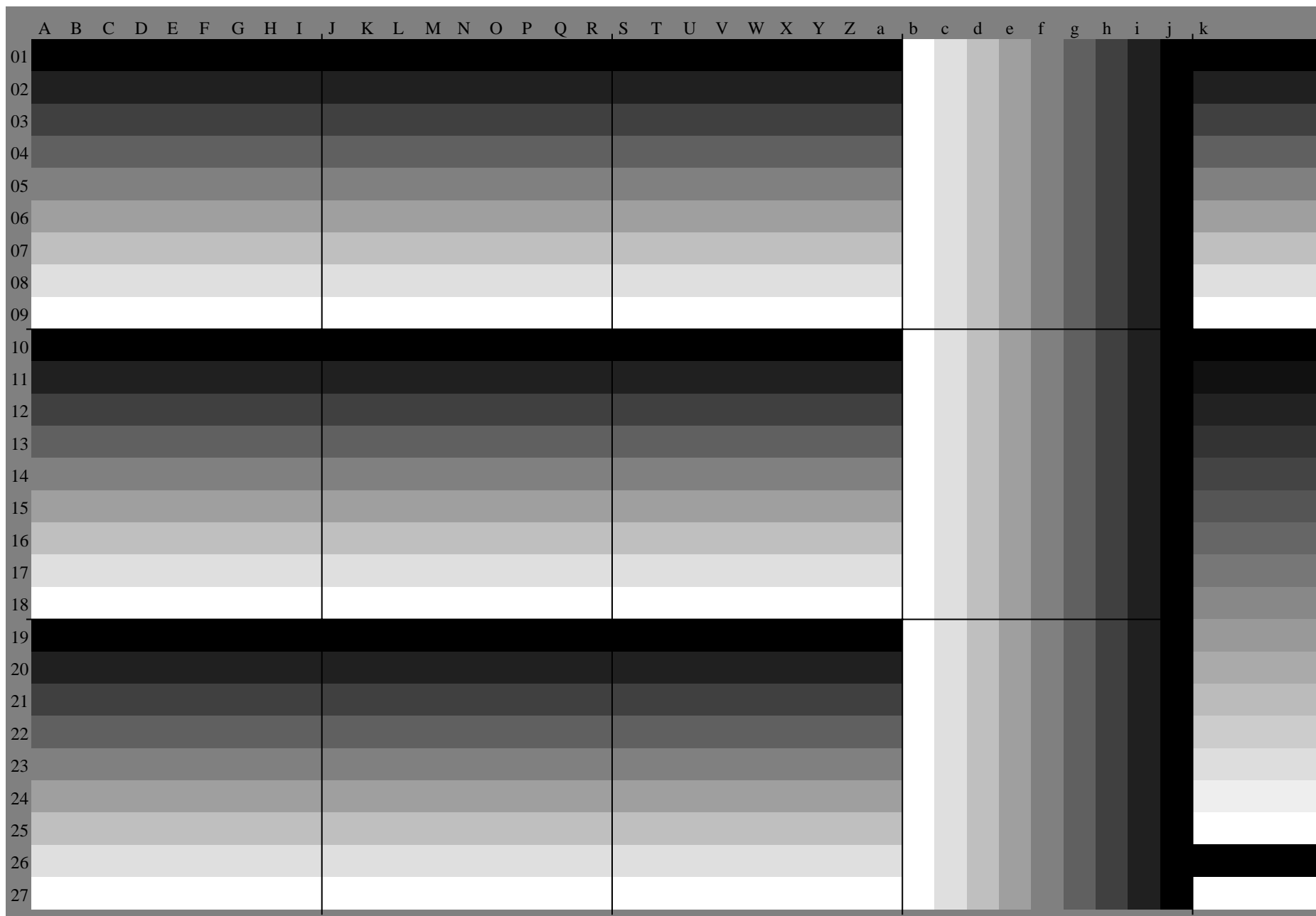
ORS20_95a; adaptierte CIELAB-Daten

u^*_e	$L^*=L^*_a$	a^*_a	b^*_a	$C^*_{ab,a}$	$h^*_{ab,a}$	u^*_d
r00j	48.83	63.91	30.45	70.79	25	m84o
r25j	55.53	50.37	45.65	67.97	42	o17y
r50j	64.76	33.86	56.12	65.55	59	o42y
r75j	74.12	17.13	66.74	68.9	76	o67y
j00g	85.5	-3.22	79.65	79.72	92	o92y
j25g	79.45	-24.05	66.85	71.04	110	y20l
j50g	69.75	-38.03	49.98	62.8	127	y46l
j75g	61.38	-50.1	35.41	61.35	145	y72l
g00b	52.6	-62.77	20.12	65.92	162	y99l
g25b	55.39	-47.66	-8.06	48.34	190	l36c
g50b	57.43	-36.92	-27.8	46.22	217	l72c
g75b	55.19	-21.2	-44.17	48.99	244	c11v
b00r	41.84	1.31	-43.28	43.3	272	c56v
b25r	29.72	24.12	-41.48	47.98	300	v04m
b50r	38.41	44.74	-27.3	52.41	329	v55m
b75r	49.41	70.07	-3.62	70.16	357	m11o



Siehe ähnliche Dateien: <http://www.ps.bam.de/Eg15/>; www.ps.bam.de/Eg.HTM
Technische Information: <http://www.ps.bam.de> Version 2.1, io=1,1, ColSpx=0

BAM-Registrierung: 20081001-Eg15/10L/L15G00NP.PS/.PDF BAM-Material: Code=rh4ta
Anwendung für Beurteilung und Messung von Drucker- oder Monitorsystemen



Schwarz-Separation leer

Schwarz-Separation leer

Schwarz-Separation leer

Schwarz-Separation leer

Schwarz-Separation leer

Schwarz-Separation leer

Schwarz-Separation leer

Schwarz-Separation leer

Schwarz-Separation leer

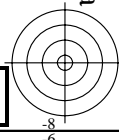
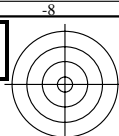
Schwarz-Separation leer

Schwarz-Separation leer

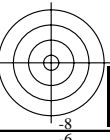
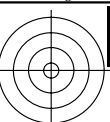
Schwarz-Separation leer

Schwarz-Separation leer

Schwarz-Separation leer



Schwarz-Separation leer



Schwarz-Separation leer

Schwarz-Separation leer

Schwarz-Separation leer

Ein und Ausgabe:
Farbmetrisches Drucker-Reflektiv-System ORS20_95a
Daten für jede Farbe:

u_e^* und Nummer $Nr.$ = 00 .. 15

Elementar-Bunttontext:

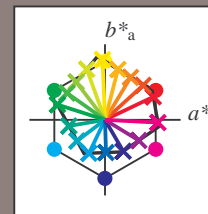
$u_e^* = 16$ Bunttoene $r00j, r25j, ..., b75r$

Kontrastreduzierungsfaktor:

$c_R = 0.96$

ORS20_95a; adaptierte CIELAB-Daten

u_e^*	$L^*=L_a^*$	a^*_a	b^*_a	$C^*_{ab,a}$	$h^*_{ab,a}$	u_d^*
$r00j$	48.83	63.91	30.45	70.79	25	$m84o$
$r25j$	55.53	50.37	45.65	67.97	42	$o17y$
$r50j$	64.76	33.86	56.12	65.55	59	$o42y$
$r75j$	74.12	17.13	66.74	68.9	76	$o67y$
$j00g$	85.5	-3.22	79.65	79.72	92	$o92y$
$j25g$	79.45	-24.05	66.85	71.04	110	$y20l$
$j50g$	69.75	-38.03	49.98	62.8	127	$y46l$
$j75g$	61.38	-50.1	35.41	61.35	145	$y72l$
$g00b$	52.6	-62.77	20.12	65.92	162	$y99l$
$g25b$	55.39	-47.66	-8.06	48.34	190	$l36c$
$g50b$	57.43	-36.92	-27.8	46.22	217	$l72c$
$g75b$	55.19	-21.2	-44.17	48.99	244	$c11v$
$b00r$	41.84	1.31	-43.28	43.3	272	$c56v$
$b25r$	29.72	24.12	-41.48	47.98	300	$v04m$
$b50r$	38.41	44.74	-27.3	52.41	329	$v55m$
$b75r$	49.41	70.07	-3.62	70.16	357	$m11o$



%Umfang

$u_{rel}^* = 83$

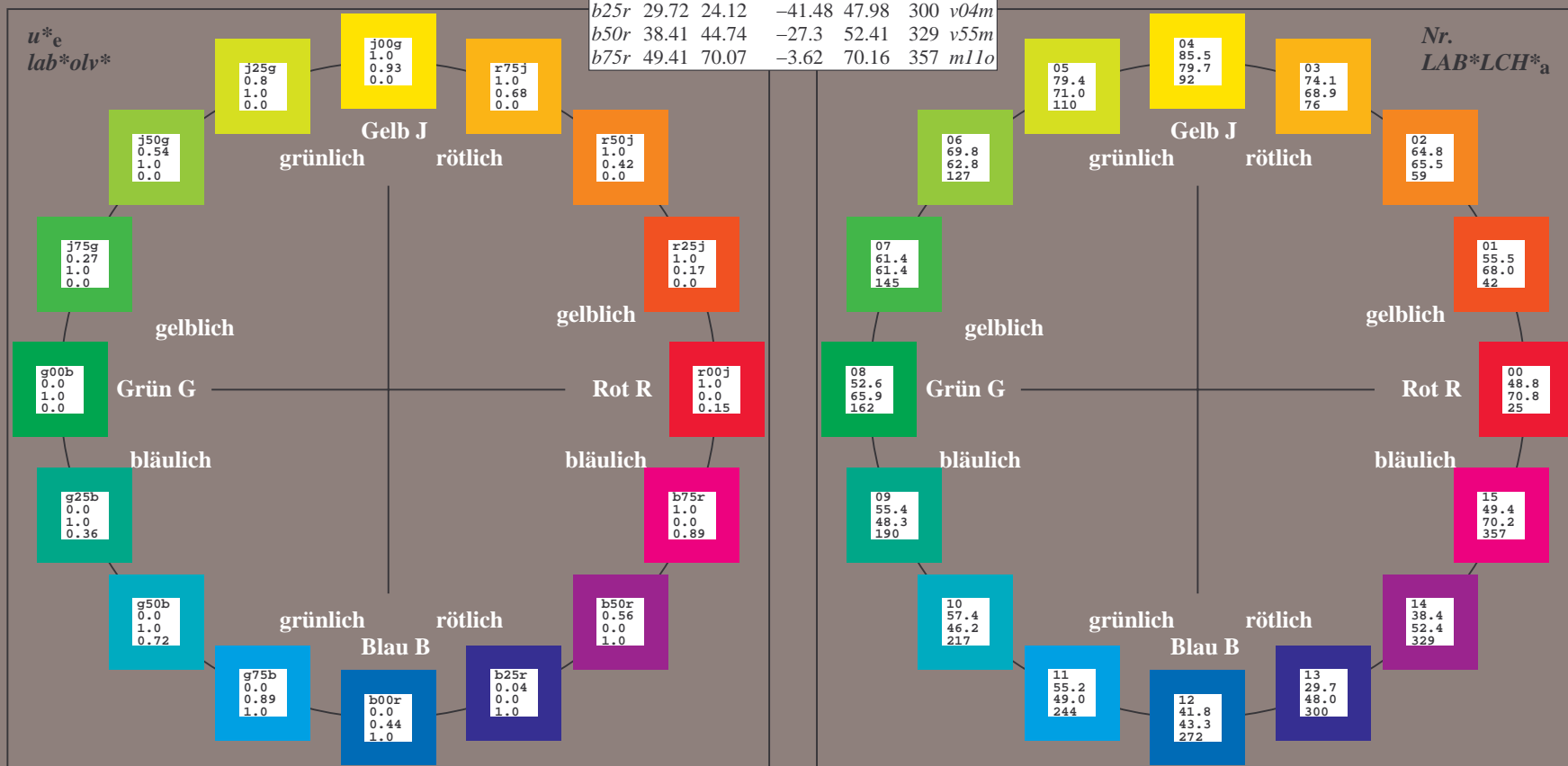
%Regularität

$g_{H,rel}^* = 72$

$g_{C,rel}^* = 57$

ORS20_95a; adaptierte CIELAB-Daten

Name	$L^*=L_a^*$	a^*_a	b^*_a	$C^*_{ab,a}$	$h^*_{ab,a}$
O_{Ma}	48.71	62.56	37.91	73.15	31
Y_{Ma}	89.25	-9.92	83.91	84.49	97
L_{Ma}	52.5	-62.91	19.95	66.0	162
C_{Ma}	59.15	-27.87	-44.43	52.45	238
V_{Ma}	29.13	22.73	-42.44	48.14	298
M_{Ma}	49.51	71.08	-9.19	71.67	353
N_{Ma}	20.0	0.0	0.0	0.0	0
W_{Ma}	95.0	0.0	0.0	0.0	0
R_{CIE}	39.92	58.74	27.99	65.07	25
J_{CIE}	81.26	-2.89	71.56	71.62	92
G_{CIE}	52.23	-42.42	13.6	44.55	162
B_{CIE}	30.57	1.41	-46.47	46.49	272



Ein und Ausgabe: Farbmetrisches Drucker-Reflektiv-System ORS20_95a für relativen CIELAB-Buntton $h^* = lab^*h^* = h_{ab}/360 = 0.071$

Daten für jede Farbe:

lab^*tch^* und lab^*icu^*

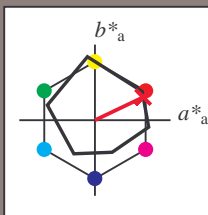
Bunttontexte:

$u^*_e = r00j$ $u^*_d = m84o$

Kontrastreduzierungsfaktor:

$c_R = 0.96$

Dreiecks-Helligkeit i^*



ORS20_95a; adaptierte CIELAB-Daten						
u^*_e	$L^*=L^*_a$	a^*_a	b^*_a	$C^*_{ab,a}$	$h^*_{ab,a}$	
O _{Ma}	48.71	62.56	37.91	73.15	31	
Y _{Ma}	89.25	-9.92	83.91	84.49	97	
L _{Ma}	52.5	-62.91	19.95	66.0	162	
C _{Ma}	59.15	-27.87	-44.43	52.45	238	
V _{Ma}	29.13	22.73	-42.44	48.14	298	
M _{Ma}	49.51	71.08	-9.19	71.67	353	
N _{Ma}	20.0	0.0	0.0	0.0	0	
W _{Ma}	95.0	0.0	0.0	0.0	0	
R _{Ma}	39.92	58.74	27.99	65.07	25	
J _{Ma}	81.26	-2.89	71.56	71.62	92	
G _{Ma}	52.23	-42.42	13.6	44.55	162	
B _{Ma}	30.57	1.41	-46.47	46.49	272	

Daten für Maximalfarbe (Ma):

$LAB^*LAB^*_{Ma}$: 49 64 30

$LAB^*LCH^*_{Ma}$: 49 71 25

$lab^*rgb^*_{Ma}$: 1.0 0.0 0.0

$lab^*olv^*_{Ma}$: 1.0 0.0 0.15

Dreiecks-Helligkeit i^*

%Umfang

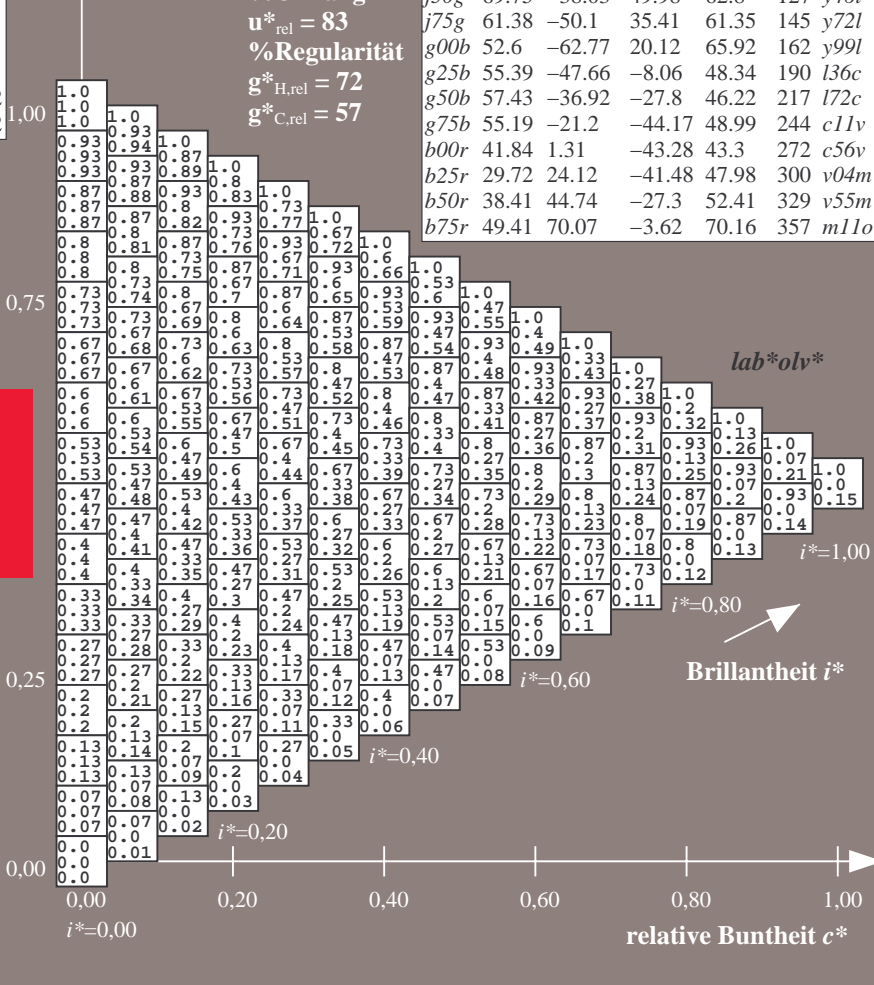
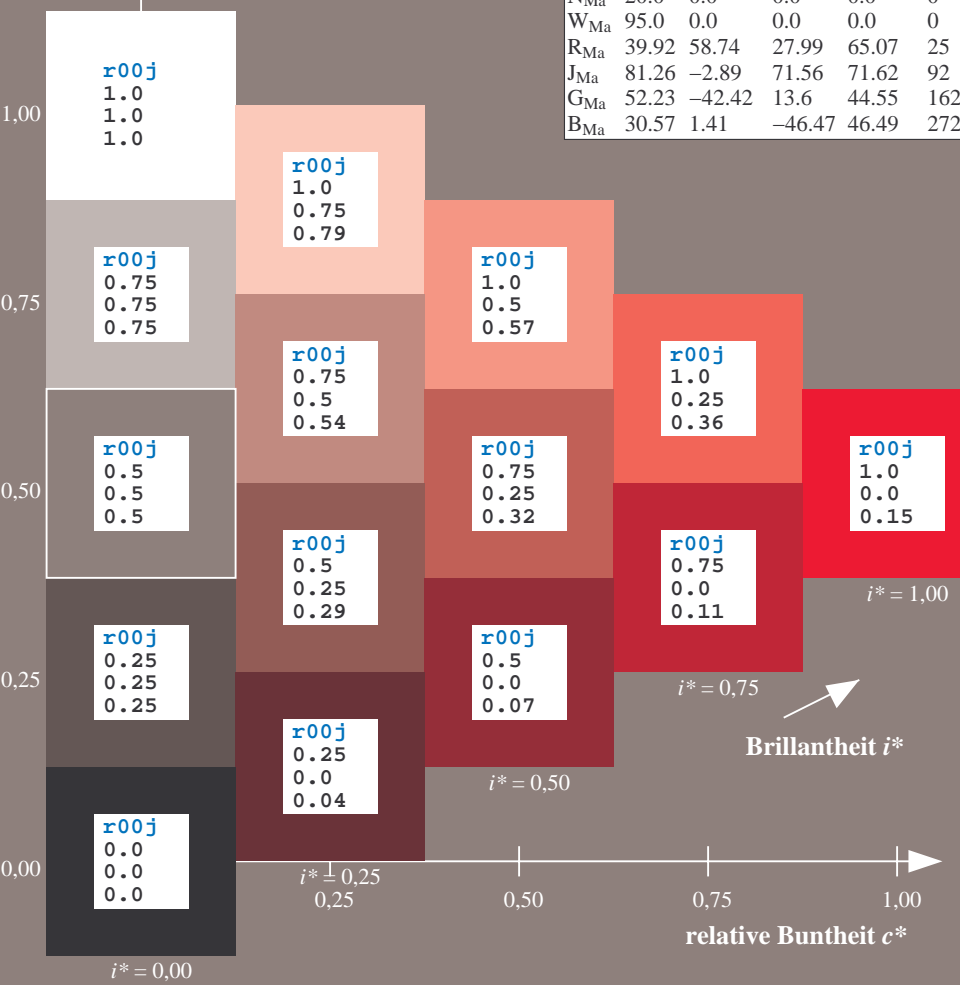
$u^*_{rel} = 83$

%Regularität

$g^*_{H,rel} = 72$

$g^*_{C,rel} = 57$

ORS20_95a; adaptierte CIELAB-Daten						
u^*_e	$L^*=L^*_a$	a^*_a	b^*_a	$C^*_{ab,a}$	$h^*_{ab,a}$	u^*_d
r00j	48.83	63.91	30.45	70.79	25	m84o
r25j	55.53	50.37	45.65	67.97	42	o17y
r50j	64.76	33.86	56.12	65.55	59	o42y
r75j	74.12	17.13	66.74	68.9	76	o67y
j00g	85.5	-3.22	79.65	79.72	92	o92y
j25g	79.45	-24.05	66.85	71.04	110	y20l
j50g	69.75	-38.03	49.98	62.8	127	y46l
j75g	61.38	-50.1	35.41	61.35	145	y72l
g00b	52.6	-62.77	20.12	65.92	162	y99l
g25b	55.39	-47.66	-8.06	48.34	190	l36c
g50b	57.43	-36.92	-27.8	46.22	217	l72c
g75b	55.19	-21.2	-44.17	48.99	244	c11v
b00r	41.84	1.31	-43.28	43.3	272	c56v
b25r	29.72	24.12	-41.48	47.98	300	v04m
b50r	38.41	44.74	-27.3	52.41	329	v55m
b75r	49.41	70.07	-3.62	70.16	357	m11o



Ein und Ausgabe: Farbmetrisches Drucker-Reflektiv-System ORS20_95a für relativen CIELAB-Buntton $h^* = lab^*h^* = h_{ab}/360 = 0.117$

Daten für jede Farbe:

lab^*tch^* und lab^*icu^*

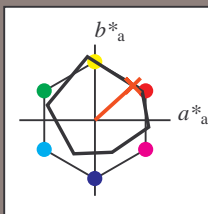
Bunttontexte:

$u^*_e = r25j$ $u^*_d = o17y$

Kontrastreduzierungsfaktor:

$c_R = 0.96$

Dreiecks-Helligkeit i^*



ORS20_95a; adaptierte CIELAB-Daten

u^*_e	$L^*=L^*_a$	a^*_a	b^*_a	$C^*_{ab,a}$	$h^*_{ab,a}$
O _{Ma}	48.71	62.56	37.91	73.15	31
Y _{Ma}	89.25	-9.92	83.91	84.49	97
L _{Ma}	52.5	-62.91	19.95	66.0	162
C _{Ma}	59.15	-27.87	-44.43	52.45	238
V _{Ma}	29.13	22.73	-42.44	48.14	298
M _{Ma}	49.51	71.08	-9.19	71.67	353
N _{Ma}	20.0	0.0	0.0	0.0	0
W _{Ma}	95.0	0.0	0.0	0.0	0
R _{Ma}	39.92	58.74	27.99	65.07	25
J _{Ma}	81.26	-2.89	71.56	71.62	92
G _{Ma}	52.23	-42.42	13.6	44.55	162
B _{Ma}	30.57	1.41	-46.47	46.49	272

Daten für Maximalfarbe (Ma):

$LAB^*LAB^*_{Ma}$: 56 50 46

$LAB^*LCH^*_{Ma}$: 56 68 42

$lab^*rgb^*_{Ma}$: 1.0 0.25 0.0

$lab^*olv^*_{Ma}$: 1.0 0.17 0.0

Dreiecks-Helligkeit i^*

%Umfang

$u^*_{rel} = 83$

%Regularität

$g^*_{H,rel} = 72$

$g^*_{C,rel} = 57$

ORS20_95a; adaptierte CIELAB-Daten

u^*_e	$L^*=L^*_a$	a^*_a	b^*_a	$C^*_{ab,a}$	$h^*_{ab,a}$	u^*_d
r00j	48.83	63.91	30.45	70.79	25	m84o
r25j	55.53	50.37	45.65	67.97	42	o17y
r50j	64.76	33.86	56.12	65.55	59	o42y
r75j	74.12	17.13	66.74	68.9	76	o67y
j00g	85.5	-3.22	79.65	79.72	92	o92y
j25g	79.45	-24.05	66.85	71.04	110	y20l
j50g	69.75	-38.03	49.98	62.8	127	y46l
j75g	61.38	-50.1	35.41	61.35	145	y72l
g00b	52.6	-62.77	20.12	65.92	162	y99l
g25b	55.39	-47.66	-8.06	48.34	190	l36c
g50b	57.43	-36.92	-27.8	46.22	217	l72c
g75b	55.19	-21.2	-44.17	48.99	244	c11v
b00r	41.84	1.31	-43.28	43.3	272	c56v
b25r	29.72	24.12	-41.48	47.98	300	v04m
b50r	38.41	44.74	-27.3	52.41	329	v55m
b75r	49.41	70.07	-3.62	70.16	357	m11o

lab^*olv^*

$i^* = 1.00$

Brillantheit i^*

$i^* = 0.80$

$i^* = 0.60$

$i^* = 0.40$

$i^* = 0.20$

$i^* = 0.00$

Ein und Ausgabe: Farbmetrisches Drucker-Reflektiv-System ORS20_95a für relativen CIELAB-Buntton $h^* = lab^*h^* = h_{ab}/360 = 0.164$

Daten für jede Farbe:

lab^*tch^* und lab^*icu^*

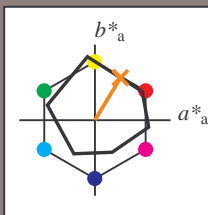
Bunttontexte:

$u^*_e = r50j$ $u^*_d = o42y$

Kontrastreduzierungsfaktor:

$c_R = 0.96$

Dreiecks-Helligkeit t^*



ORS20_95a; adaptierte CIELAB-Daten

	u^*_e	$L^*=L^*_a$	a^*_a	b^*_a	$C^*_{ab,a}$	$h^*_{ab,a}$
O _{Ma}	48.71	62.56	37.91	73.15	31	
Y _{Ma}	89.25	-9.92	83.91	84.49	97	
L _{Ma}	52.5	-62.91	19.95	66.0	162	
C _{Ma}	59.15	-27.87	-44.43	52.45	238	
V _{Ma}	29.13	22.73	-42.44	48.14	298	
M _{Ma}	49.51	71.08	-9.19	71.67	353	
N _{Ma}	20.0	0.0	0.0	0.0	0	
W _{Ma}	95.0	0.0	0.0	0.0	0	
R _{Ma}	39.92	58.74	27.99	65.07	25	
J _{Ma}	81.26	-2.89	71.56	71.62	92	
G _{Ma}	52.23	-42.42	13.6	44.55	162	
B _{Ma}	30.57	1.41	-46.47	46.49	272	

Daten für Maximalfarbe (Ma):

$LAB^*LAB^*_{Ma}$: 65 34 56

$LAB^*LCH^*_{Ma}$: 65 66 58

$lab^*rgb^*_{Ma}$: 1.0 0.5 0.0

$lab^*olv^*_{Ma}$: 1.0 0.42 0.0

Dreiecks-Helligkeit t^*

%Umfang

$u^*_{rel} = 83$

%Regularität

$g^*_{H,rel} = 72$

$g^*_{C,rel} = 57$

ORS20_95a; adaptierte CIELAB-Daten

	u^*_e	$L^*=L^*_a$	a^*_a	b^*_a	$C^*_{ab,a}$	$h^*_{ab,a}$	u^*_d
r00j	48.83	63.91	30.45	70.79	25	m84o	
r25j	55.53	50.37	45.65	67.97	42	o17y	
r50j	64.76	33.86	56.12	65.55	59	o42y	
r75j	74.12	17.13	66.74	68.9	76	o67y	
j00g	85.5	-3.22	79.65	79.72	92	o92y	
j25g	79.45	-24.05	66.85	71.04	110	y20l	
j50g	69.75	-38.03	49.98	62.8	127	y46l	
j75g	61.38	-50.1	35.41	61.35	145	y72l	
g00b	52.6	-62.77	20.12	65.92	162	y99l	
g25b	55.39	-47.66	-8.06	48.34	190	l36c	
g50b	57.43	-36.92	-27.8	46.22	217	l72c	
g75b	55.19	-21.2	-44.17	48.99	244	c11v	
b00r	41.84	1.31	-43.28	43.3	272	c56v	
b25r	29.72	24.12	-41.48	47.98	300	v04m	
b50r	38.41	44.74	-27.3	52.41	329	v55m	
b75r	49.41	70.07	-3.62	70.16	357	m11o	

lab^*olv^*

$i^* = 1.00$

Brillantheit i^*

$i^* = 0.80$

$i^* = 0.60$

$i^* = 0.40$

$i^* = 0.20$

$i^* = 0.00$

Ein und Ausgabe: Farbmetrisches Drucker-Reflektiv-System ORS20_95a für relativen CIELAB-Buntton $h^* = \text{lab}^*h^* = h_{ab}/360 = 0.21$

Daten für jede Farbe:

lab^*tch^* und lab^*icu^*

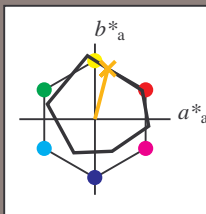
Bunttontexte:

$u^*_e = r75j$ $u^*_d = o67y$

Kontrastreduzierungsfaktor:

$c_R = 0.96$

Dreiecks-Helligkeit i^*



ORS20_95a; adaptierte CIELAB-Daten

u^*_e	$L^*=L^*_a$	a^*_a	b^*_a	$C^*_{ab,a}$	$h^*_{ab,a}$
O _{Ma}	48.71	62.56	37.91	73.15	31
Y _{Ma}	89.25	-9.92	83.91	84.49	97
L _{Ma}	52.5	-62.91	19.95	66.0	162
C _{Ma}	59.15	-27.87	-44.43	52.45	238
V _{Ma}	29.13	22.73	-42.44	48.14	298
M _{Ma}	49.51	71.08	-9.19	71.67	353
N _{Ma}	20.0	0.0	0.0	0.0	0
W _{Ma}	95.0	0.0	0.0	0.0	0
R _{Ma}	39.92	58.74	27.99	65.07	25
J _{Ma}	81.26	-2.89	71.56	71.62	92
G _{Ma}	52.23	-42.42	13.6	44.55	162
B _{Ma}	30.57	1.41	-46.47	46.49	272

Daten für Maximalfarbe (Ma):

$\text{LAB}^*\text{LAB}^*_{\text{Ma}}$: 74 17 67

$\text{LAB}^*\text{LCH}^*_{\text{Ma}}$: 74 69 75

$\text{lab}^*\text{rgb}^*_{\text{Ma}}$: 1.0 0.75 0.0

$\text{lab}^*\text{olv}^*_{\text{Ma}}$: 1.0 0.68 0.0

Dreiecks-Helligkeit i^*

%Umfang

$u^*_{\text{rel}} = 83$

%Regularität

$g^*_{H,\text{rel}} = 72$

$g^*_{C,\text{rel}} = 57$

ORS20_95a; adaptierte CIELAB-Daten

u^*_e	$L^*=L^*_a$	a^*_a	b^*_a	$C^*_{ab,a}$	$h^*_{ab,a}$	u^*_d
r00j	48.83	63.91	30.45	70.79	25	m84o
r25j	55.53	50.37	45.65	67.97	42	o17y
r50j	64.76	33.86	56.12	65.55	59	o42y
r75j	74.12	17.13	66.74	68.9	76	o67y
j00g	85.5	-3.22	79.65	79.72	92	o92y
j25g	79.45	-24.05	66.85	71.04	110	y20l
j50g	69.75	-38.03	49.98	62.8	127	y46l
j75g	61.38	-50.1	35.41	61.35	145	y72l
g00b	52.6	-62.77	20.12	65.92	162	y99l
g25b	55.39	-47.66	-8.06	48.34	190	l36c
g50b	57.43	-36.92	-27.8	46.22	217	l72c
g75b	55.19	-21.2	-44.17	48.99	244	c11v
b00r	41.84	1.31	-43.28	43.3	272	c56v
b25r	29.72	24.12	-41.48	47.98	300	v04m
b50r	38.41	44.74	-27.3	52.41	329	v55m
b75r	49.41	70.07	-3.62	70.16	357	m11o

lab^*olv^*

$i^* = 1.00$

Brillantheit i^*

$i^* = 0.80$

$i^* = 0.60$

$i^* = 0.40$

$i^* = 0.20$

$i^* = 0.00$

relative Buntheit c^*

Ein und Ausgabe: Farbmetrisches Drucker-Reflektiv-System ORS20_95a für relativen CIELAB-Buntton $h^* = lab^*h^* = h_{ab}/360 = 0.256$

Daten für jede Farbe:

lab^*tch^* und lab^*icu^*

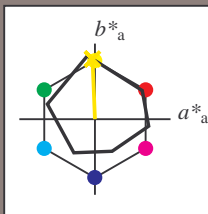
Bunttontexte:

$u^*_e = j00g$ $u^*_d = o92y$

Kontrastreduzierungsfaktor:

$c_R = 0.96$

Dreiecks-Helligkeit i^*



ORS20_95a; adaptierte CIELAB-Daten

u^*_e	$L^*=L^*_a$	a^*_a	b^*_a	$C^*_{ab,a}$	$h^*_{ab,a}$
O _{Ma}	48.71	62.56	37.91	73.15	31
Y _{Ma}	89.25	-9.92	83.91	84.49	97
L _{Ma}	52.5	-62.91	19.95	66.0	162
C _{Ma}	59.15	-27.87	-44.43	52.45	238
V _{Ma}	29.13	22.73	-42.44	48.14	298
M _{Ma}	49.51	71.08	-9.19	71.67	353
N _{Ma}	20.0	0.0	0.0	0.0	0
W _{Ma}	95.0	0.0	0.0	0.0	0
R _{Ma}	39.92	58.74	27.99	65.07	25
J _{Ma}	81.26	-2.89	71.56	71.62	92
G _{Ma}	52.23	-42.42	13.6	44.55	162
B _{Ma}	30.57	1.41	-46.47	46.49	272

Daten für Maximalfarbe (Ma):

$LAB^*LAB^*_{Ma}$: 86 -3 80

$LAB^*LCH^*_{Ma}$: 86 80 92

$lab^*rgb^*_{Ma}$: 1.0 1.0 0.0

$lab^*olv^*_{Ma}$: 1.0 0.93 0.0

Dreiecks-Helligkeit i^*

%Umfang

$u^*_{rel} = 83$

%Regularität

$g^*_{H,rel} = 72$

$g^*_{C,rel} = 57$

ORS20_95a; adaptierte CIELAB-Daten

u^*_e	$L^*=L^*_a$	a^*_a	b^*_a	$C^*_{ab,a}$	$h^*_{ab,a}$	u^*_d
r00j	48.83	63.91	30.45	70.79	25	m84o
r25j	55.53	50.37	45.65	67.97	42	o17y
r50j	64.76	33.86	56.12	65.55	59	o42y
r75j	74.12	17.13	66.74	68.9	76	o67y
j00g	85.5	-3.22	79.65	79.72	92	o92y
j25g	79.45	-24.05	66.85	71.04	110	y20l
j50g	69.75	-38.03	49.98	62.8	127	y46l
j75g	61.38	-50.1	35.41	61.35	145	y72l
g00b	52.6	-62.77	20.12	65.92	162	y99l
g25b	55.39	-47.66	-8.06	48.34	190	l36c
g50b	57.43	-36.92	-27.8	46.22	217	l72c
g75b	55.19	-21.2	-44.17	48.99	244	c11v
b00r	41.84	1.31	-43.28	43.3	272	c56v
b25r	29.72	24.12	-41.48	47.98	300	v04m
b50r	38.41	44.74	-27.3	52.41	329	v55m
b75r	49.41	70.07	-3.62	70.16	357	m11o

lab^*olv^*

$i^* = 1.00$

Brillantheit i^*

$i^* = 0.80$

$i^* = 0.60$

$i^* = 0.40$

$i^* = 0.20$

$i^* = 0.00$

relative Buntheit c^*

relative Buntheit c^*

Ein und Ausgabe: Farbmetrisches Drucker-Reflektiv-System ORS20_95a für relativen CIELAB-Buntton $h^* = lab^*h^* = h_{ab}/360 = 0.305$

Daten für jede Farbe:

lab^*tch^* und lab^*icu^*

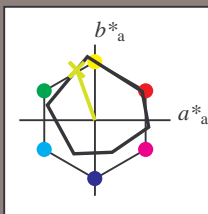
Bunttontexte:

$u^*_e = j25g$ $u^*_d = y20l$

Kontrastreduzierungsfaktor:

$c_R = 0.96$

Dreiecks-Helligkeit i^*



ORS20_95a; adaptierte CIELAB-Daten						
u^*_e	$L^*=L^*_a$	a^*_a	b^*_a	$C^*_{ab,a}$	$h^*_{ab,a}$	
O _{Ma}	48.71	62.56	37.91	73.15	31	
Y _{Ma}	89.25	-9.92	83.91	84.49	97	
L _{Ma}	52.5	-62.91	19.95	66.0	162	
C _{Ma}	59.15	-27.87	-44.43	52.45	238	
V _{Ma}	29.13	22.73	-42.44	48.14	298	
M _{Ma}	49.51	71.08	-9.19	71.67	353	
N _{Ma}	20.0	0.0	0.0	0.0	0	
W _{Ma}	95.0	0.0	0.0	0.0	0	
R _{Ma}	39.92	58.74	27.99	65.07	25	
J _{Ma}	81.26	-2.89	71.56	71.62	92	
G _{Ma}	52.23	-42.42	13.6	44.55	162	
B _{Ma}	30.57	1.41	-46.47	46.49	272	

Daten für Maximalfarbe (Ma):

$LAB^*LAB^*_{Ma}$: 79 -24 67

$LAB^*LCH^*_{Ma}$: 79 71 109

$lab^*rgb^*_{Ma}$: 0.75 1.0 0.0

$lab^*olv^*_{Ma}$: 0.8 1.0 0.0

Dreiecks-Helligkeit i^*

%Umfang

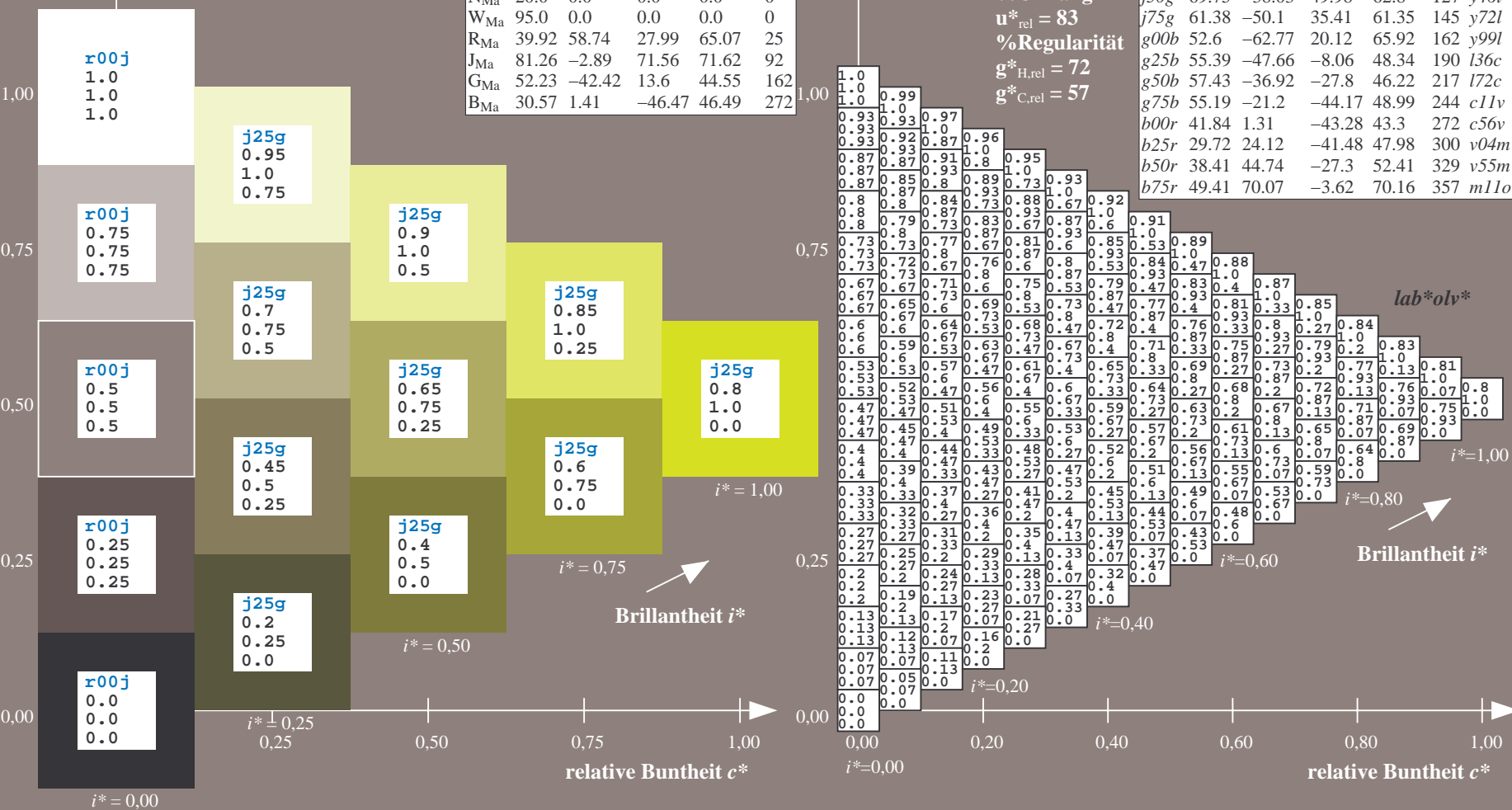
$u^*_{rel} = 83$

%Regularität

$g^*_{H,rel} = 72$

$g^*_{C,rel} = 57$

ORS20_95a; adaptierte CIELAB-Daten						
u^*_e	$L^*=L^*_a$	a^*_a	b^*_a	$C^*_{ab,a}$	$h^*_{ab,a}$	u^*_d
r00j	48.83	63.91	30.45	70.79	25	m84o
r25j	55.53	50.37	45.65	67.97	42	o17y
r50j	64.76	33.86	56.12	65.55	59	o42y
r75j	74.12	17.13	66.74	68.9	76	o67y
j00g	85.5	-3.22	79.65	79.72	92	o92y
j25g	79.45	-24.05	66.85	71.04	110	y20l
j50g	69.75	-38.03	49.98	62.8	127	y46l
j75g	61.38	-50.1	35.41	61.35	145	y72l
g00b	52.6	-62.77	20.12	65.92	162	y99l
g25b	55.39	-47.66	-8.06	48.34	190	l36c
g50b	57.43	-36.92	-27.8	46.22	217	l72c
g75b	55.19	-21.2	-44.17	48.99	244	c11v
b00r	41.84	1.31	-43.28	43.3	272	c56v
b25r	29.72	24.12	-41.48	47.98	300	v04m
b50r	38.41	44.74	-27.3	52.41	329	v55m
b75r	49.41	70.07	-3.62	70.16	357	m11o



Ein und Ausgabe: Farbmetrisches Drucker-Reflektiv-System ORS20_95a für relativen CIELAB-Buntton $h^* = lab^*h^* = h_{ab}/360 = 0.354$

Daten für jede Farbe:

lab^*tch^* und lab^*icu^*

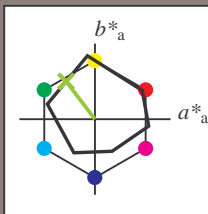
Bunttontexte:

$u^*_e = j50g$ $u^*_d = y46l$

Kontrastreduzierungsfaktor:

$c_R = 0.96$

Dreiecks-Helligkeit i^*



ORS20_95a; adaptierte CIELAB-Daten						
	u^*_e	$L^*=L^*_a$	a^*_a	b^*_a	$C^*_{ab,a}$	$h^*_{ab,a}$
O _{Ma}	48.71	62.56	37.91	73.15	31	
Y _{Ma}	89.25	-9.92	83.91	84.49	97	
L _{Ma}	52.5	-62.91	19.95	66.0	162	
C _{Ma}	59.15	-27.87	-44.43	52.45	238	
V _{Ma}	29.13	22.73	-42.44	48.14	298	
M _{Ma}	49.51	71.08	-9.19	71.67	353	
N _{Ma}	20.0	0.0	0.0	0.0	0	
W _{Ma}	95.0	0.0	0.0	0.0	0	
R _{Ma}	39.92	58.74	27.99	65.07	25	
J _{Ma}	81.26	-2.89	71.56	71.62	92	
G _{Ma}	52.23	-42.42	13.6	44.55	162	
B _{Ma}	30.57	1.41	-46.47	46.49	272	

Daten für Maximalfarbe (Ma):

$LAB^*LAB^*_{Ma}$: 70 -38 50

$LAB^*LCH^*_{Ma}$: 70 63 127

$lab^*rgb^*_{Ma}$: 0.5 1.0 0.0

$lab^*olv^*_{Ma}$: 0.54 1.0 0.0

Dreiecks-Helligkeit i^*

%Umfang

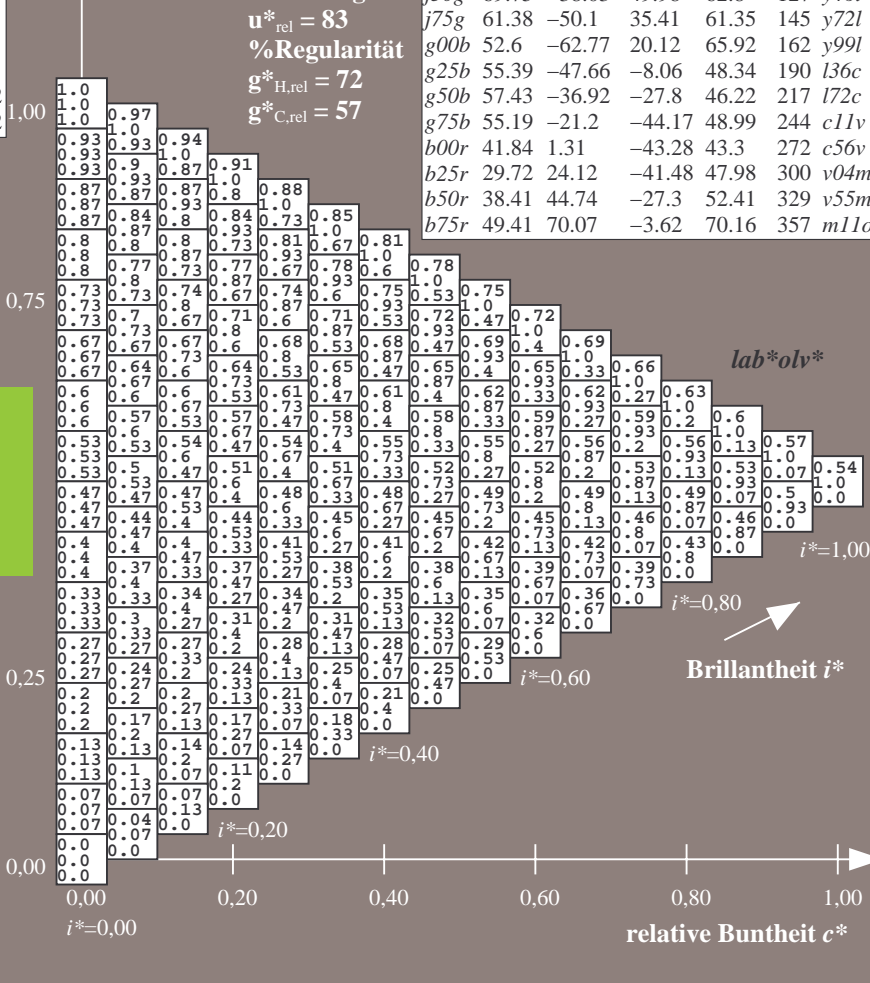
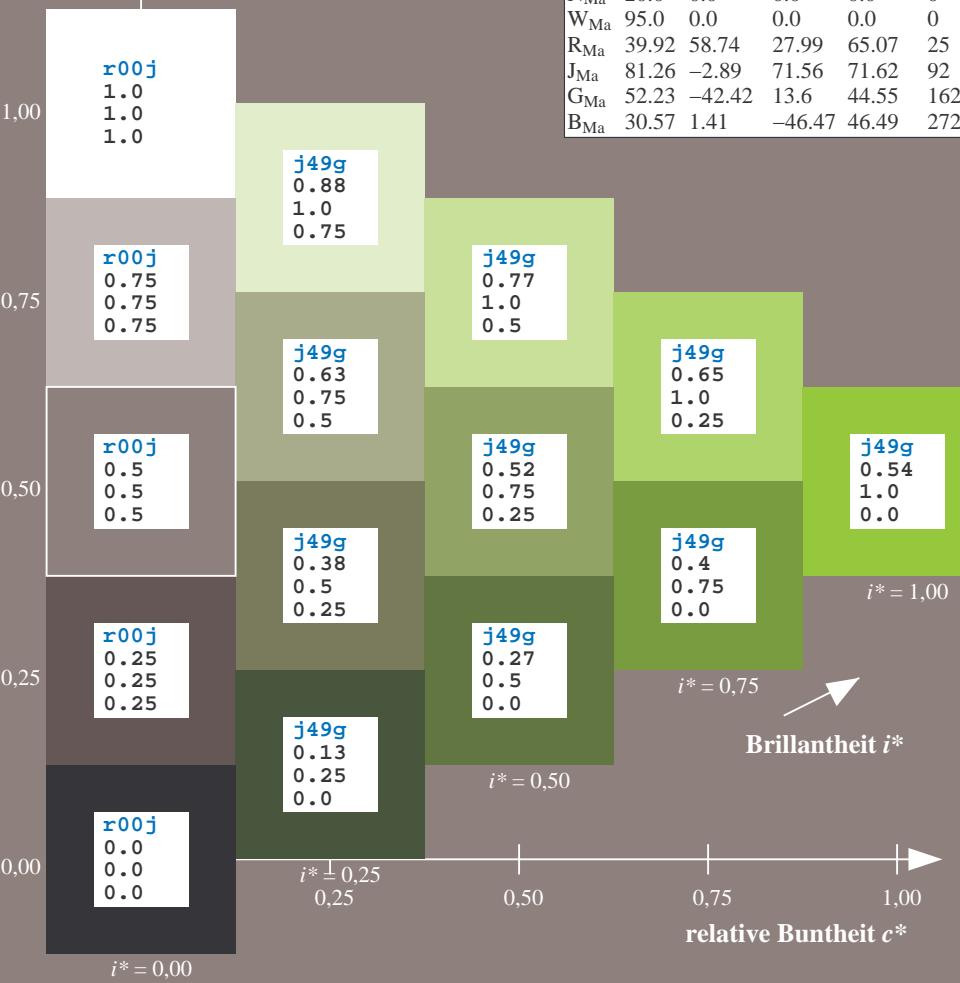
$u^*_{rel} = 83$

%Regularität

$g^*_{H,rel} = 72$

$g^*_{C,rel} = 57$

ORS20_95a; adaptierte CIELAB-Daten						
	u^*_e	$L^*=L^*_a$	a^*_a	b^*_a	$C^*_{ab,a}$	$h^*_{ab,a}$
r00j	48.83	63.91	30.45	70.79	25	m84o
r25j	55.53	50.37	45.65	67.97	42	o17y
r50j	64.76	33.86	56.12	65.55	59	o42y
r75j	74.12	17.13	66.74	68.9	76	o67y
j00g	85.5	-3.22	79.65	79.72	92	o92y
j25g	79.45	-24.05	66.85	71.04	110	y20l
j50g	69.75	-38.03	49.98	62.8	127	y46l
j75g	61.38	-50.1	35.41	61.35	145	y72l
g00b	52.6	-62.77	20.12	65.92	162	y99l
g25b	55.39	-47.66	-8.06	48.34	190	l36c
g50b	57.43	-36.92	-27.8	46.22	217	l72c
g75b	55.19	-21.2	-44.17	48.99	244	c11v
b00r	41.84	1.31	-43.28	43.3	272	c56v
b25r	29.72	24.12	-41.48	47.98	300	v04m
b50r	38.41	44.74	-27.3	52.41	329	v55m
b75r	49.41	70.07	-3.62	70.16	357	m11o



Ein und Ausgabe: Farbmetrisches Drucker-Reflektiv-System ORS20_95a für relativen CIELAB-Buntton $h^* = lab^*h^* = h_{ab}/360 = 0.402$

Daten für jede Farbe:

lab^*tch^* und lab^*icu^*

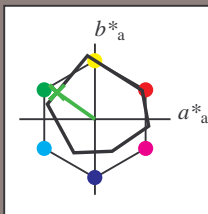
Bunttontexte:

$u^*_e = j75g$ $u^*_d = y72l$

Kontrastreduzierungsfaktor:

$c_R = 0.96$

Dreiecks-Helligkeit i^*



ORS20_95a; adaptierte CIELAB-Daten

u^*_e	$L^*=L^*_a$	a^*_a	b^*_a	$C^*_{ab,a}$	$h^*_{ab,a}$
O _{Ma}	48.71	62.56	37.91	73.15	31
Y _{Ma}	89.25	-9.92	83.91	84.49	97
L _{Ma}	52.5	-62.91	19.95	66.0	162
C _{Ma}	59.15	-27.87	-44.43	52.45	238
V _{Ma}	29.13	22.73	-42.44	48.14	298
M _{Ma}	49.51	71.08	-9.19	71.67	353
N _{Ma}	20.0	0.0	0.0	0.0	0
W _{Ma}	95.0	0.0	0.0	0.0	0
R _{Ma}	39.92	58.74	27.99	65.07	25
J _{Ma}	81.26	-2.89	71.56	71.62	92
G _{Ma}	52.23	-42.42	13.6	44.55	162
B _{Ma}	30.57	1.41	-46.47	46.49	272

Daten für Maximalfarbe (Ma):

$LAB^*LAB^*_{Ma}$: 61 -50 35

$LAB^*LCH^*_{Ma}$: 61 61 144

$lab^*rgb^*_{Ma}$: 0.25 1.0 0.0

$lab^*olv^*_{Ma}$: 0.27 1.0 0.0

Dreiecks-Helligkeit i^*

%Umfang

$u^*_{rel} = 83$

%Regularität

$g^*_{H,rel} = 72$

$g^*_{C,rel} = 57$

ORS20_95a; adaptierte CIELAB-Daten

u^*_e	$L^*=L^*_a$	a^*_a	b^*_a	$C^*_{ab,a}$	$h^*_{ab,a}$	u^*_d
r00j	48.83	63.91	30.45	70.79	25	m84o
r25j	55.53	50.37	45.65	67.97	42	o17y
r50j	64.76	33.86	56.12	65.55	59	o42y
r75j	74.12	17.13	66.74	68.9	76	o67y
j00g	85.5	-3.22	79.65	79.72	92	o92y
j25g	79.45	-24.05	66.85	71.04	110	y20l
j50g	69.75	-38.03	49.98	62.8	127	y46l
j75g	61.38	-50.1	35.41	61.35	145	y72l
g00b	52.6	-62.77	20.12	65.92	162	y99l
g25b	55.39	-47.66	-8.06	48.34	190	l36c
g50b	57.43	-36.92	-27.8	46.22	217	l72c
g75b	55.19	-21.2	-44.17	48.99	244	c11v
b00r	41.84	1.31	-43.28	43.3	272	c56v
b25r	29.72	24.12	-41.48	47.98	300	v04m
b50r	38.41	44.74	-27.3	52.41	329	v55m
b75r	49.41	70.07	-3.62	70.16	357	m11o

lab^*olv^*

$i^* = 1.00$

Brillantheit i^*

$i^* = 0.80$

$i^* = 0.60$

$i^* = 0.40$

$i^* = 0.20$

$i^* = 0.00$

Ein und Ausgabe: Farbmetrisches Drucker-Reflektiv-System ORS20_95a für relativen CIELAB-Buntton $h^* = lab^*h^* = h_{ab}/360 = 0.451$

Daten für jede Farbe:

lab^*tch^* und lab^*icu^*

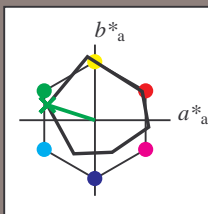
Bunttontexte:

$u^*_e = g00b$ $u^*_d = y99l$

Kontrastreduzierungsfaktor:

$c_R = 0.96$

Dreiecks-Helligkeit i^*



ORS20_95a; adaptierte CIELAB-Daten

u^*_e	$L^*=L^*_a$	a^*_a	b^*_a	$C^*_{ab,a}$	$h^*_{ab,a}$
O _{Ma}	48.71	62.56	37.91	73.15	31
Y _{Ma}	89.25	-9.92	83.91	84.49	97
L _{Ma}	52.5	-62.91	19.95	66.0	162
C _{Ma}	59.15	-27.87	-44.43	52.45	238
V _{Ma}	29.13	22.73	-42.44	48.14	298
M _{Ma}	49.51	71.08	-9.19	71.67	353
N _{Ma}	20.0	0.0	0.0	0.0	0
W _{Ma}	95.0	0.0	0.0	0.0	0
R _{Ma}	39.92	58.74	27.99	65.07	25
J _{Ma}	81.26	-2.89	71.56	71.62	92
G _{Ma}	52.23	-42.42	13.6	44.55	162
B _{Ma}	30.57	1.41	-46.47	46.49	272

Daten für Maximalfarbe (Ma):

$LAB^*LAB^*_{Ma}$: 53 -63 20

$LAB^*LCH^*_{Ma}$: 53 66 162

$lab^*rgb^*_{Ma}$: 0.0 1.0 0.0

$lab^*olv^*_{Ma}$: 0.0 1.0 0.0

Dreiecks-Helligkeit i^*

%Umfang

$u^*_{rel} = 83$

%Regularität

$g^*_{H,rel} = 72$

$g^*_{C,rel} = 57$

ORS20_95a; adaptierte CIELAB-Daten

u^*_e	$L^*=L^*_a$	a^*_a	b^*_a	$C^*_{ab,a}$	$h^*_{ab,a}$	u^*_d
r00j	48.83	63.91	30.45	70.79	25	m84o
r25j	55.53	50.37	45.65	67.97	42	o17y
r50j	64.76	33.86	56.12	65.55	59	o42y
r75j	74.12	17.13	66.74	68.9	76	o67y
j00g	85.5	-3.22	79.65	79.72	92	o92y
j25g	79.45	-24.05	66.85	71.04	110	y20l
j50g	69.75	-38.03	49.98	62.8	127	y46l
j75g	61.38	-50.1	35.41	61.35	145	y72l
g00b	52.6	-62.77	20.12	65.92	162	y99l
g25b	55.39	-47.66	-8.06	48.34	190	l36c
g50b	57.43	-36.92	-27.8	46.22	217	l72c
g75b	55.19	-21.2	-44.17	48.99	244	c11v
b00r	41.84	1.31	-43.28	43.3	272	c56v
b25r	29.72	24.12	-41.48	47.98	300	v04m
b50r	38.41	44.74	-27.3	52.41	329	v55m
b75r	49.41	70.07	-3.62	70.16	357	m11o

lab^*olv^*

$i^* = 1.00$

Brillantheit i^*

$i^* = 0.80$

$i^* = 0.60$

$i^* = 0.40$

$i^* = 0.20$

$i^* = 0.00$

relative Buntheit c^*

relative Buntheit c^*

$i^* = 0.00$

Ein und Ausgabe: Farbmetrisches Drucker-Reflektiv-System ORS20_95a für relativen CIELAB-Buntton $h^* = lab^*h^* = h_{ab}/360 = 0.527$

Daten für jede Farbe:

lab^*ch^* und lab^*icu^*

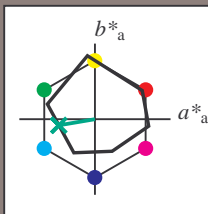
Bunttontexte:

$u^*_e = g25b$ $u^*_d = l36c$

Kontrastreduzierungsfaktor:

$c_R = 0.96$

Dreiecks-Helligkeit i^*



ORS20_95a; adaptierte CIELAB-Daten

	u^*_e	$L^*=L^*_a$	a^*_a	b^*_a	$C^*_{ab,a}$	$h^*_{ab,a}$
O _{Ma}	48.71	62.56	37.91	73.15	31	
Y _{Ma}	89.25	-9.92	83.91	84.49	97	
L _{Ma}	52.5	-62.91	19.95	66.0	162	
C _{Ma}	59.15	-27.87	-44.43	52.45	238	
V _{Ma}	29.13	22.73	-42.44	48.14	298	
M _{Ma}	49.51	71.08	-9.19	71.67	353	
N _{Ma}	20.0	0.0	0.0	0.0	0	
W _{Ma}	95.0	0.0	0.0	0.0	0	
R _{Ma}	39.92	58.74	27.99	65.07	25	
J _{Ma}	81.26	-2.89	71.56	71.62	92	
G _{Ma}	52.23	-42.42	13.6	44.55	162	
B _{Ma}	30.57	1.41	-46.47	46.49	272	

Daten für Maximalfarbe (Ma):

$LAB^*LAB^*_{Ma}$: 55 -48 -8

$LAB^*LCH^*_{Ma}$: 55 48 189

$lab^*rgb^*_{Ma}$: 0.0 1.0 0.5

$lab^*olv^*_{Ma}$: 0.0 1.0 0.36

Dreiecks-Helligkeit i^*

%Umfang

$u^*_{rel} = 83$

%Regularität

$g^*_{H,rel} = 72$

$g^*_{C,rel} = 57$

ORS20_95a; adaptierte CIELAB-Daten

	u^*_e	$L^*=L^*_a$	a^*_a	b^*_a	$C^*_{ab,a}$	$h^*_{ab,a}$	u^*_d
r00j	48.83	63.91	30.45	70.79	25	m84o	
r25j	55.53	50.37	45.65	67.97	42	o17y	
r50j	64.76	33.86	56.12	65.55	59	o42y	
r75j	74.12	17.13	66.74	68.9	76	o67y	
j00g	85.5	-3.22	79.65	79.72	92	o92y	
j25g	79.45	-24.05	66.85	71.04	110	y20l	
j50g	69.75	-38.03	49.98	62.8	127	y46l	
j75g	61.38	-50.1	35.41	61.35	145	y72l	
g00b	52.6	-62.77	20.12	65.92	162	y99l	
g25b	55.39	-47.66	-8.06	48.34	190	l36c	
g50b	57.43	-36.92	-27.8	46.22	217	l72c	
g75b	55.19	-21.2	-44.17	48.99	244	c11v	
b00r	41.84	1.31	-43.28	43.3	272	c56v	
b25r	29.72	24.12	-41.48	47.98	300	v04m	
b50r	38.41	44.74	-27.3	52.41	329	v55m	
b75r	49.41	70.07	-3.62	70.16	357	m11o	

lab^*olv^*

$i^* = 1.00$

Brillantheit i^*

$i^* = 0.80$

$i^* = 0.60$

$i^* = 0.40$

$i^* = 0.20$

$i^* = 0.00$

Ein und Ausgabe: Farbmetrisches Drucker-Reflektiv-System ORS20_95a für relativen CIELAB-Buntton $h^* = lab^*h^* = h_{ab}/360 = 0.603$

Daten für jede Farbe:

lab^*tch^* und lab^*icu^*

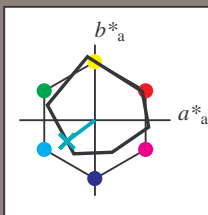
Bunttontexte:

$u^*_e = g50b$ $u^*_d = l72c$

Kontrastreduzierungsfaktor:

$c_R = 0.96$

Dreiecks-Helligkeit i^*



ORS20_95a; adaptierte CIELAB-Daten

	u^*_e	$L^*=L^*_a$	a^*_a	b^*_a	$C^*_{ab,a}$	$h^*_{ab,a}$
O _{Ma}	48.71	62.56	37.91	73.15	31	
Y _{Ma}	89.25	-9.92	83.91	84.49	97	
L _{Ma}	52.5	-62.91	19.95	66.0	162	
C _{Ma}	59.15	-27.87	-44.43	52.45	238	
V _{Ma}	29.13	22.73	-42.44	48.14	298	
M _{Ma}	49.51	71.08	-9.19	71.67	353	
N _{Ma}	20.0	0.0	0.0	0.0	0	
W _{Ma}	95.0	0.0	0.0	0.0	0	
R _{Ma}	39.92	58.74	27.99	65.07	25	
J _{Ma}	81.26	-2.89	71.56	71.62	92	
G _{Ma}	52.23	-42.42	13.6	44.55	162	
B _{Ma}	30.57	1.41	-46.47	46.49	272	

Daten für Maximalfarbe (Ma):

$LAB^*LAB^*_{Ma}$: 57 -37 -28

$LAB^*LCH^*_{Ma}$: 57 46 216

$lab^*rgb^*_{Ma}$: 0.0 1.0 1.0

$lab^*olv^*_{Ma}$: 0.0 1.0 0.72

Dreiecks-Helligkeit i^*

%Umfang

$u^*_{rel} = 83$

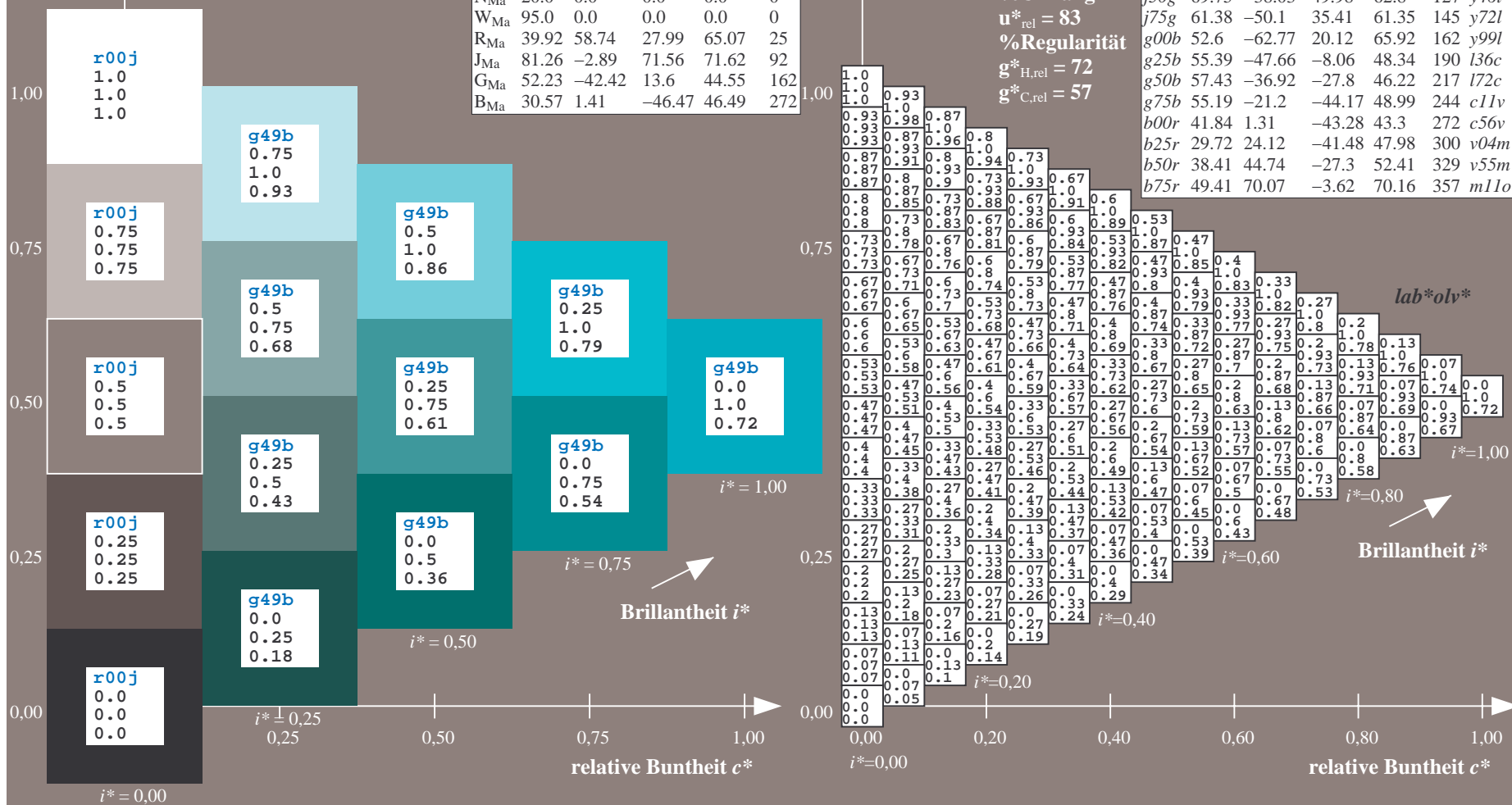
%Regularität

$g^*_{H,rel} = 72$

$g^*_{C,rel} = 57$

ORS20_95a; adaptierte CIELAB-Daten

	u^*_e	$L^*=L^*_a$	a^*_a	b^*_a	$C^*_{ab,a}$	$h^*_{ab,a}$	u^*_d
r00j	48.83	63.91	30.45	70.79	25	m84o	
r25j	55.53	50.37	45.65	67.97	42	o17y	
r50j	64.76	33.86	56.12	65.55	59	o42y	
r75j	74.12	17.13	66.74	68.9	76	o67y	
j00g	85.5	-3.22	79.65	79.72	92	o92y	
j25g	79.45	-24.05	66.85	71.04	110	y20l	
j50g	69.75	-38.03	49.98	62.8	127	y46l	
j75g	61.38	-50.1	35.41	61.35	145	y72l	
g00b	52.6	-62.77	20.12	65.92	162	y99l	
g25b	55.39	-47.66	-8.06	48.34	190	l36c	
g50b	57.43	-36.92	-27.8	46.22	217	l72c	
g75b	55.19	-21.2	-44.17	48.99	244	c11v	
b00r	41.84	1.31	-43.28	43.3	272	c56v	
b25r	29.72	24.12	-41.48	47.98	300	v04m	
b50r	38.41	44.74	-27.3	52.41	329	v55m	
b75r	49.41	70.07	-3.62	70.16	357	m11o	



Ein und Ausgabe: Farbmetrisches Drucker-Reflektiv-System ORS20_95a für relativen CIELAB-Buntton $h^* = lab^*h^* = h_{ab}/360 = 0.679$

Daten für jede Farbe:

lab^*tch^* und lab^*icu^*

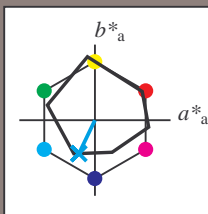
Bunttontexte:

$u^*_e = g75b$ $u^*_d = c11v$

Kontrastreduzierungsfaktor:

$c_R = 0.96$

Dreiecks-Helligkeit i^*



ORS20_95a; adaptierte CIELAB-Daten

	u^*_e	$L^*=L^*_a$	a^*_a	b^*_a	$C^*_{ab,a}$	$h^*_{ab,a}$
O _{Ma}	48.71	62.56	37.91	73.15	31	
Y _{Ma}	89.25	-9.92	83.91	84.49	97	
L _{Ma}	52.5	-62.91	19.95	66.0	162	
C _{Ma}	59.15	-27.87	-44.43	52.45	238	
V _{Ma}	29.13	22.73	-42.44	48.14	298	
M _{Ma}	49.51	71.08	-9.19	71.67	353	
N _{Ma}	20.0	0.0	0.0	0.0	0	
W _{Ma}	95.0	0.0	0.0	0.0	0	
R _{Ma}	39.92	58.74	27.99	65.07	25	
J _{Ma}	81.26	-2.89	71.56	71.62	92	
G _{Ma}	52.23	-42.42	13.6	44.55	162	
B _{Ma}	30.57	1.41	-46.47	46.49	272	

Daten für Maximalfarbe (Ma):

$LAB^*LAB^*_{Ma}$: 55 -21 -44

$LAB^*LCH^*_{Ma}$: 55 49 244

$lab^*rgb^*_{Ma}$: 0.0 0.5 1.0

$lab^*olv^*_{Ma}$: 0.0 0.89 1.0

Dreiecks-Helligkeit i^*

%Umfang

$u^*_{rel} = 83$

%Regularität

$g^*_{H,rel} = 72$

$g^*_{C,rel} = 57$

ORS20_95a; adaptierte CIELAB-Daten

	u^*_e	$L^*=L^*_a$	a^*_a	b^*_a	$C^*_{ab,a}$	$h^*_{ab,a}$	u^*_d
r00j	48.83	63.91	30.45	70.79	25	m84o	
r25j	55.53	50.37	45.65	67.97	42	o17y	
r50j	64.76	33.86	56.12	65.55	59	o42y	
r75j	74.12	17.13	66.74	68.9	76	o67y	
j00g	85.5	-3.22	79.65	79.72	92	o92y	
j25g	79.45	-24.05	66.85	71.04	110	y20l	
j50g	69.75	-38.03	49.98	62.8	127	y46l	
j75g	61.38	-50.1	35.41	61.35	145	y72l	
g00b	52.6	-62.77	20.12	65.92	162	y99l	
g25b	55.39	-47.66	-8.06	48.34	190	l36c	
g50b	57.43	-36.92	-27.8	46.22	217	l72c	
g75b	55.19	-21.2	-44.17	48.99	244	c11v	
b00r	41.84	1.31	-43.28	43.3	272	c56v	
b25r	29.72	24.12	-41.48	47.98	300	v04m	
b50r	38.41	44.74	-27.3	52.41	329	v55m	
b75r	49.41	70.07	-3.62	70.16	357	m11o	

lab^*olv^*

$i^* = 1.00$

Brillantheit i^*

$i^* = 0.80$

$i^* = 0.60$

$i^* = 0.40$

$i^* = 0.20$

$i^* = 0.00$

relative Bunttheit c^*

relative Bunttheit c^*

Ein und Ausgabe: Farbmetrisches Drucker-Reflektiv-System ORS20_95a für relativen CIELAB-Buntton $h^* = lab^*h^* = h_{ab}/360 = 0.755$

Daten für jede Farbe:

lab^*tch^* und lab^*icu^*

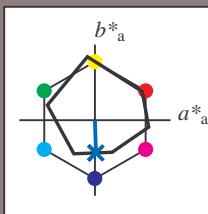
Bunttontexte:

$u^*_e = b00r$ $u^*_d = c56v$

Kontrastreduzierungsfaktor:

$c_R = 0.96$

Dreiecks-Helligkeit i^*



ORS20_95a; adaptierte CIELAB-Daten

	u^*_e	$L^*=L^*_a$	a^*_a	b^*_a	$C^*_{ab,a}$	$h^*_{ab,a}$
O _{Ma}	48.71	62.56	37.91	73.15	31	
Y _{Ma}	89.25	-9.92	83.91	84.49	97	
L _{Ma}	52.5	-62.91	19.95	66.0	162	
C _{Ma}	59.15	-27.87	-44.43	52.45	238	
V _{Ma}	29.13	22.73	-42.44	48.14	298	
M _{Ma}	49.51	71.08	-9.19	71.67	353	
N _{Ma}	20.0	0.0	0.0	0.0	0	
W _{Ma}	95.0	0.0	0.0	0.0	0	
R _{Ma}	39.92	58.74	27.99	65.07	25	
J _{Ma}	81.26	-2.89	71.56	71.62	92	
G _{Ma}	52.23	-42.42	13.6	44.55	162	
B _{Ma}	30.57	1.41	-46.47	46.49	272	

Daten für Maximalfarbe (Ma):

$LAB^*LAB^*_{Ma}$: 42 1 -43

$LAB^*LCH^*_{Ma}$: 42 43 271

$lab^*rgb^*_{Ma}$: 0.0 0.0 1.0

$lab^*olv^*_{Ma}$: 0.0 0.44 1.0

Dreiecks-Helligkeit i^*

%Umfang

$u^*_{rel} = 83$

%Regularität

$g^*_{H,rel} = 72$

$g^*_{C,rel} = 57$

ORS20_95a; adaptierte CIELAB-Daten

	u^*_e	$L^*=L^*_a$	a^*_a	b^*_a	$C^*_{ab,a}$	$h^*_{ab,a}$	u^*_d
r00j	48.83	63.91	30.45	70.79	25	m84o	
r25j	55.53	50.37	45.65	67.97	42	o17y	
r50j	64.76	33.86	56.12	65.55	59	o42y	
r75j	74.12	17.13	66.74	68.9	76	o67y	
j00g	85.5	-3.22	79.65	79.72	92	o92y	
j25g	79.45	-24.05	66.85	71.04	110	y20l	
j50g	69.75	-38.03	49.98	62.8	127	y46l	
j75g	61.38	-50.1	35.41	61.35	145	y72l	
g00b	52.6	-62.77	20.12	65.92	162	y99l	
g25b	55.39	-47.66	-8.06	48.34	190	l36c	
g50b	57.43	-36.92	-27.8	46.22	217	l72c	
g75b	55.19	-21.2	-44.17	48.99	244	c11v	
b00r	41.84	1.31	-43.28	43.3	272	c56v	
b25r	29.72	24.12	-41.48	47.98	300	v04m	
b50r	38.41	44.74	-27.3	52.41	329	v55m	
b75r	49.41	70.07	-3.62	70.16	357	m11o	

lab^*olv^*

$i^* = 1.00$

Brillantheit i^*

$i^* = 0.80$

$i^* = 0.60$

$i^* = 0.40$

$i^* = 0.20$

$i^* = 0.00$

relative Buntheit c^*

relative Buntheit c^*

Ein und Ausgabe: Farbmetrisches Drucker-Reflektiv-System ORS20_95a für relativen CIELAB-Buntton $h^* = lab^*h^* = h_{ab}/360 = 0.834$

Daten für jede Farbe:

lab^*tch^* und lab^*icu^*

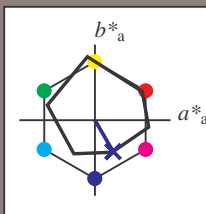
Bunttontexte:

$u^*_e = b25r$ $u^*_d = v04m$

Kontrastreduzierungsfaktor:

$c_R = 0.96$

Dreiecks-Helligkeit i^*



ORS20_95a; adaptierte CIELAB-Daten

u^*_e	$L^*=L^*_a$	a^*_a	b^*_a	$C^*_{ab,a}$	$h^*_{ab,a}$
O _{Ma}	48.71	62.56	37.91	73.15	31
Y _{Ma}	89.25	-9.92	83.91	84.49	97
L _{Ma}	52.5	-62.91	19.95	66.0	162
C _{Ma}	59.15	-27.87	-44.43	52.45	238
V _{Ma}	29.13	22.73	-42.44	48.14	298
M _{Ma}	49.51	71.08	-9.19	71.67	353
N _{Ma}	20.0	0.0	0.0	0.0	0
W _{Ma}	95.0	0.0	0.0	0.0	0
R _{Ma}	39.92	58.74	27.99	65.07	25
J _{Ma}	81.26	-2.89	71.56	71.62	92
G _{Ma}	52.23	-42.42	13.6	44.55	162
B _{Ma}	30.57	1.41	-46.47	46.49	272

Daten für Maximalfarbe (Ma):

$LAB^*LAB^*_{Ma}$: 30 24 -41

$LAB^*LCH^*_{Ma}$: 30 48 300

$lab^*rgb^*_{Ma}$: 0.5 0.0 1.0

$lab^*olv^*_{Ma}$: 0.04 0.0 1.0

Dreiecks-Helligkeit i^*

%Umfang

$u^*_{rel} = 83$

%Regularität

$g^*_{H,rel} = 72$

$g^*_{C,rel} = 57$

ORS20_95a; adaptierte CIELAB-Daten

u^*_e	$L^*=L^*_a$	a^*_a	b^*_a	$C^*_{ab,a}$	$h^*_{ab,a}$	u^*_d
r00j	48.83	63.91	30.45	70.79	25	m84o
r25j	55.53	50.37	45.65	67.97	42	o17y
r50j	64.76	33.86	56.12	65.55	59	o42y
r75j	74.12	17.13	66.74	68.9	76	o67y
j00g	85.5	-3.22	79.65	79.72	92	o92y
j25g	79.45	-24.05	66.85	71.04	110	y20l
j50g	69.75	-38.03	49.98	62.8	127	y46l
j75g	61.38	-50.1	35.41	61.35	145	y72l
g00b	52.6	-62.77	20.12	65.92	162	y99l
g25b	55.39	-47.66	-8.06	48.34	190	l36c
g50b	57.43	-36.92	-27.8	46.22	217	l72c
g75b	55.19	-21.2	-44.17	48.99	244	c11v
b00r	41.84	1.31	-43.28	43.3	272	c56v
b25r	29.72	24.12	-41.48	47.98	300	v04m
b50r	38.41	44.74	-27.3	52.41	329	v55m
b75r	49.41	70.07	-3.62	70.16	357	m11o

lab^*olv^*

$i^* = 1.00$

Brillantheit i^*

$i^* = 0.80$

$i^* = 0.60$

$i^* = 0.40$

$i^* = 0.20$

$i^* = 0.00$

Ein und Ausgabe: Farbmetrisches Drucker-Reflektiv-System ORS20_95a für relativen CIELAB-Buntton $h^* = lab^*h^* = h_{ab}/360 = 0.913$

Daten für jede Farbe:
 lab^*tch^* und lab^*icu^*

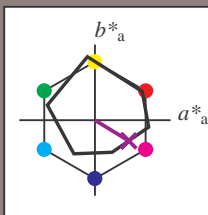
Bunttontexte:

$u^*_e = b50r$ $u^*_d = v55m$

Kontrastreduzierungsfaktor:

$c_R = 0.96$

Dreiecks-Helligkeit i^*



ORS20_95a; adaptierte CIELAB-Daten

u^*_e	$L^*=L^*_a$	a^*_a	b^*_a	$C^*_{ab,a}$	$h^*_{ab,a}$
O _{Ma}	48.71	62.56	37.91	73.15	31
Y _{Ma}	89.25	-9.92	83.91	84.49	97
L _{Ma}	52.5	-62.91	19.95	66.0	162
C _{Ma}	59.15	-27.87	-44.43	52.45	238
V _{Ma}	29.13	22.73	-42.44	48.14	298
M _{Ma}	49.51	71.08	-9.19	71.67	353
N _{Ma}	20.0	0.0	0.0	0.0	0
W _{Ma}	95.0	0.0	0.0	0.0	0
R _{Ma}	39.92	58.74	27.99	65.07	25
J _{Ma}	81.26	-2.89	71.56	71.62	92
G _{Ma}	52.23	-42.42	13.6	44.55	162
B _{Ma}	30.57	1.41	-46.47	46.49	272

Daten für Maximalfarbe (Ma):

$LAB^*LAB^*_{Ma}$: 38 45 -27

$LAB^*LCH^*_{Ma}$: 38 52 328

$lab^*rgb^*_{Ma}$: 1.0 0.0 1.0

$lab^*olv^*_{Ma}$: 0.56 0.0 1.0

Dreiecks-Helligkeit i^*

%Umfang

$u^*_{rel} = 83$

%Regularität

$g^*_{H,rel} = 72$

$g^*_{C,rel} = 57$

ORS20_95a; adaptierte CIELAB-Daten

u^*_e	$L^*=L^*_a$	a^*_a	b^*_a	$C^*_{ab,a}$	$h^*_{ab,a}$	u^*_d
r00j	48.83	63.91	30.45	70.79	25	m84o
r25j	55.53	50.37	45.65	67.97	42	o17y
r50j	64.76	33.86	56.12	65.55	59	o42y
r75j	74.12	17.13	66.74	68.9	76	o67y
j00g	85.5	-3.22	79.65	79.72	92	o92y
j25g	79.45	-24.05	66.85	71.04	110	y20l
j50g	69.75	-38.03	49.98	62.8	127	y46l
j75g	61.38	-50.1	35.41	61.35	145	y72l
g00b	52.6	-62.77	20.12	65.92	162	y99l
g25b	55.39	-47.66	-8.06	48.34	190	l36c
g50b	57.43	-36.92	-27.8	46.22	217	l72c
g75b	55.19	-21.2	-44.17	48.99	244	c11v
b00r	41.84	1.31	-43.28	43.3	272	c56v
b25r	29.72	24.12	-41.48	47.98	300	v04m
b50r	38.41	44.74	-27.3	52.41	329	v55m
b75r	49.41	70.07	-3.62	70.16	357	m11o

lab^*olv^*

$i^* = 1.00$

Brillantheit i^*

$i^* = 0.80$

$i^* = 0.60$

$i^* = 0.40$

$i^* = 0.20$

$i^* = 0.00$

Ein und Ausgabe: Farbmetrisches Drucker-Reflektiv-System ORS20_95a für relativen CIELAB-Buntton $h^* = lab^*h^* = h_{ab}/360 = 0.992$

Daten für jede Farbe:

lab^*tch^* und lab^*icu^*

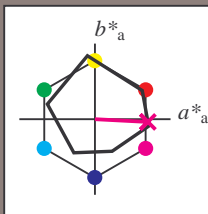
Bunttontexte:

$u^*_e = b75r$ $u^*_d = m11o$

Kontrastreduzierungsfaktor:

$c_R = 0.96$

Dreiecks-Helligkeit i^*



ORS20_95a; adaptierte CIELAB-Daten

u^*_e	$L^*=L^*_a$	a^*_a	b^*_a	$C^*_{ab,a}$	$h^*_{ab,a}$
O _{Ma}	48.71	62.56	37.91	73.15	31
Y _{Ma}	89.25	-9.92	83.91	84.49	97
L _{Ma}	52.5	-62.91	19.95	66.0	162
C _{Ma}	59.15	-27.87	-44.43	52.45	238
V _{Ma}	29.13	22.73	-42.44	48.14	298
M _{Ma}	49.51	71.08	-9.19	71.67	353
N _{Ma}	20.0	0.0	0.0	0.0	0
W _{Ma}	95.0	0.0	0.0	0.0	0
R _{Ma}	39.92	58.74	27.99	65.07	25
J _{Ma}	81.26	-2.89	71.56	71.62	92
G _{Ma}	52.23	-42.42	13.6	44.55	162
B _{Ma}	30.57	1.41	-46.47	46.49	272

Daten für Maximalfarbe (Ma):

$LAB^*LAB^*_{Ma}$: 49 70 -4

$LAB^*LCH^*_{Ma}$: 49 70 357

$lab^*rgb^*_{Ma}$: 1.0 0.0 0.5

$lab^*olv^*_{Ma}$: 1.0 0.0 0.89

Dreiecks-Helligkeit i^*

%Umfang

$u^*_{rel} = 83$

%Regularität

$g^*_{H,rel} = 72$

$g^*_{C,rel} = 57$

ORS20_95a; adaptierte CIELAB-Daten

u^*_e	$L^*=L^*_a$	a^*_a	b^*_a	$C^*_{ab,a}$	$h^*_{ab,a}$	u^*_d
r00j	48.83	63.91	30.45	70.79	25	m84o
r25j	55.53	50.37	45.65	67.97	42	o17y
r50j	64.76	33.86	56.12	65.55	59	o42y
r75j	74.12	17.13	66.74	68.9	76	o67y
j00g	85.5	-3.22	79.65	79.72	92	o92y
j25g	79.45	-24.05	66.85	71.04	110	y20l
j50g	69.75	-38.03	49.98	62.8	127	y46l
j75g	61.38	-50.1	35.41	61.35	145	y72l
g00b	52.6	-62.77	20.12	65.92	162	y99l
g25b	55.39	-47.66	-8.06	48.34	190	l36c
g50b	57.43	-36.92	-27.8	46.22	217	l72c
g75b	55.19	-21.2	-44.17	48.99	244	c11v
b00r	41.84	1.31	-43.28	43.3	272	c56v
b25r	29.72	24.12	-41.48	47.98	300	v04m
b50r	38.41	44.74	-27.3	52.41	329	v55m
b75r	49.41	70.07	-3.62	70.16	357	m11o

lab^*olv^*

$i^* = 1.00$

Brillantheit i^*

$i^* = 0.80$

$i^* = 0.60$

$i^* = 0.40$

$i^* = 0.20$

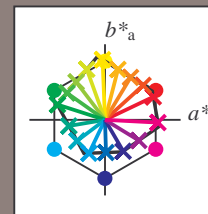
$i^* = 0.00$

Ein und Ausgabe:
Farbmetrisches Drucker-Reflektiv-System ORS20_95a
Daten für jede Farbe:

u^*_e und Nummer $Nr.$ = 00 .. 15
Elementar-Bunttontext:
 $u^*_e = 16$ Bunttoene $r00j, r25j, \dots, b75r$
Kontrastreduzierungsfaktor:
 $c_R = 0.96$

ORS20_95a; adaptierte CIELAB-Daten

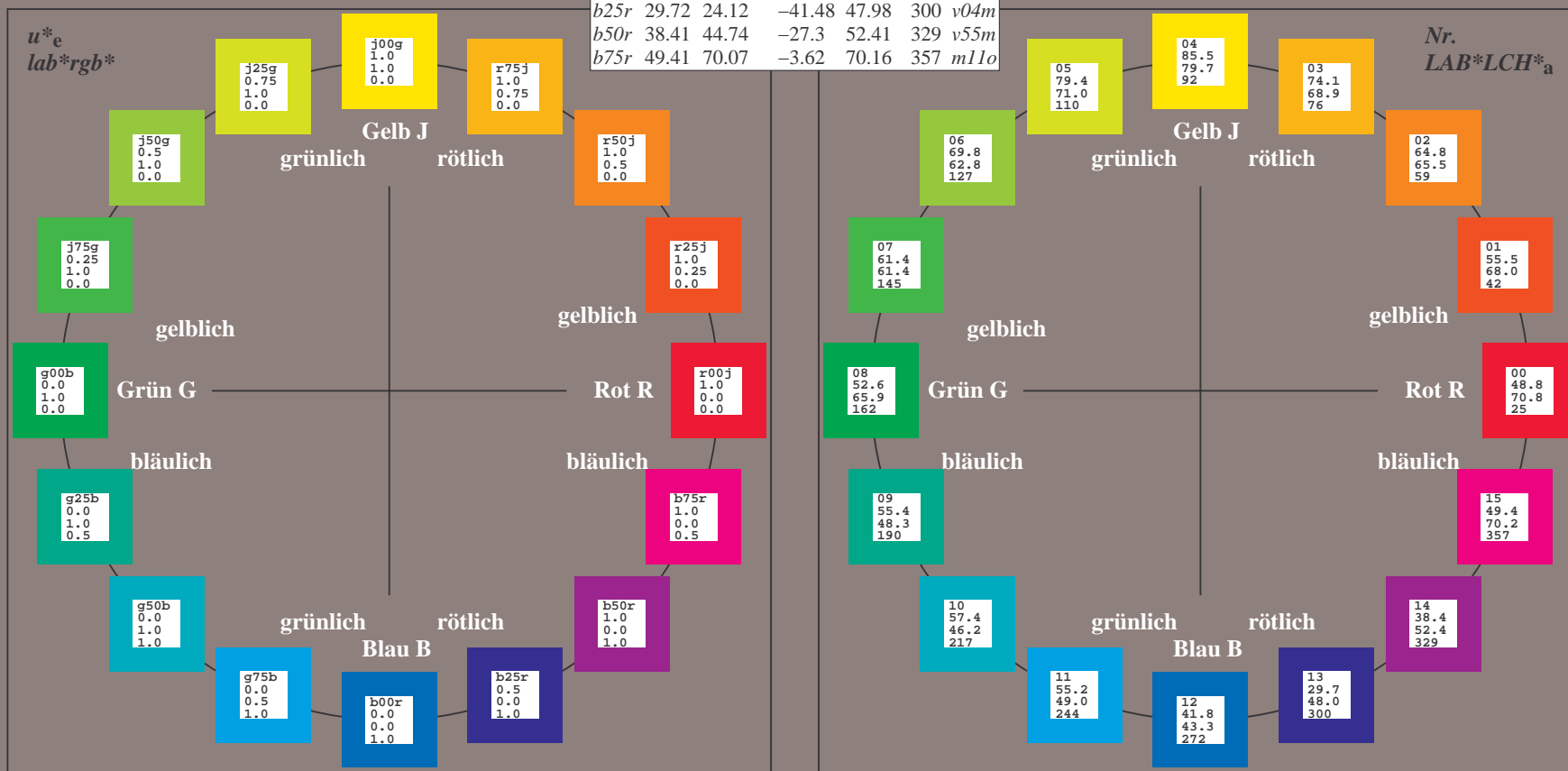
u^*_e	$L^*=L^*_a$	a^*_a	b^*_a	$C^*_{ab,a}$	$h^*_{ab,a}$	u^*_d
$r00j$	48.83	63.91	30.45	70.79	25	$m84o$
$r25j$	55.53	50.37	45.65	67.97	42	$o17y$
$r50j$	64.76	33.86	56.12	65.55	59	$o42y$
$r75j$	74.12	17.13	66.74	68.9	76	$o67y$
$j00g$	85.5	-3.22	79.65	79.72	92	$o92y$
$j25g$	79.45	-24.05	66.85	71.04	110	$y20l$
$j50g$	69.75	-38.03	49.98	62.8	127	$y46l$
$j75g$	61.38	-50.1	35.41	61.35	145	$y72l$
$g00b$	52.6	-62.77	20.12	65.92	162	$y99l$
$g25b$	55.39	-47.66	-8.06	48.34	190	$l36c$
$g50b$	57.43	-36.92	-27.8	46.22	217	$l72c$
$g75b$	55.19	-21.2	-44.17	48.99	244	$c11v$
$b00r$	41.84	1.31	-43.28	43.3	272	$c56v$
$b25r$	29.72	24.12	-41.48	47.98	300	$v04m$
$b50r$	38.41	44.74	-27.3	52.41	329	$v55m$
$b75r$	49.41	70.07	-3.62	70.16	357	$m11o$



%Umfang
 $u^*_{rel} = 83$
%Regularität
 $g^*_{H,rel} = 72$
 $g^*_{C,rel} = 57$

ORS20_95a; adaptierte CIELAB-Daten

Name	$L^*=L^*_a$	a^*_a	b^*_a	$C^*_{ab,a}$	$h^*_{ab,a}$
O_{Ma}	48.71	62.56	37.91	73.15	31
Y_{Ma}	89.25	-9.92	83.91	84.49	97
L_{Ma}	52.5	-62.91	19.95	66.0	162
C_{Ma}	59.15	-27.87	-44.43	52.45	238
V_{Ma}	29.13	22.73	-42.44	48.14	298
M_{Ma}	49.51	71.08	-9.19	71.67	353
N_{Ma}	20.0	0.0	0.0	0.0	0
W_{Ma}	95.0	0.0	0.0	0.0	0
R_{CIE}	39.92	58.74	27.99	65.07	25
J_{CIE}	81.26	-2.89	71.56	71.62	92
G_{CIE}	52.23	-42.42	13.6	44.55	162
B_{CIE}	30.57	1.41	-46.47	46.49	272



Ein und Ausgabe: Farbmetrisches Drucker-Reflektiv-System ORS20_95a für relativen CIELAB-Buntton $h^* = lab^*h^* = h_{ab}/360 = 0.071$

Daten für jede Farbe:

lab^*tch^* und lab^*icu^*

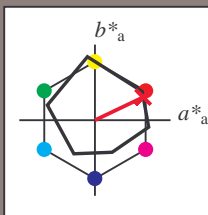
Bunttontexte:

$u^*_e = r00j$ $u^*_d = m84o$

Kontrastreduzierungsfaktor:

$c_R = 0.96$

Dreiecks-Helligkeit i^*



ORS20_95a; adaptierte CIELAB-Daten

u^*_e	$L^*=L^*_a$	a^*_a	b^*_a	$C^*_{ab,a}$	$h^*_{ab,a}$
O _{Ma}	48.71	62.56	37.91	73.15	31
Y _{Ma}	89.25	-9.92	83.91	84.49	97
L _{Ma}	52.5	-62.91	19.95	66.0	162
C _{Ma}	59.15	-27.87	-44.43	52.45	238
V _{Ma}	29.13	22.73	-42.44	48.14	298
M _{Ma}	49.51	71.08	-9.19	71.67	353
N _{Ma}	20.0	0.0	0.0	0.0	0
W _{Ma}	95.0	0.0	0.0	0.0	0
R _{Ma}	39.92	58.74	27.99	65.07	25
J _{Ma}	81.26	-2.89	71.56	71.62	92
G _{Ma}	52.23	-42.42	13.6	44.55	162
B _{Ma}	30.57	1.41	-46.47	46.49	272

Daten für Maximalfarbe (Ma):

$LAB^*LAB^*_{Ma}$: 49 64 30

$LAB^*LCH^*_{Ma}$: 49 71 25

$lab^*rgb^*_{Ma}$: 1.0 0.0 0.0

$lab^*olv^*_{Ma}$: 1.0 0.0 0.15

Dreiecks-Helligkeit i^*

%Umfang

$u^*_{rel} = 83$

%Regularität

$g^*_{H,rel} = 72$

$g^*_{C,rel} = 57$

ORS20_95a; adaptierte CIELAB-Daten

u^*_e	$L^*=L^*_a$	a^*_a	b^*_a	$C^*_{ab,a}$	$h^*_{ab,a}$	u^*_d
r00j	48.83	63.91	30.45	70.79	25	m84o
r25j	55.53	50.37	45.65	67.97	42	o17y
r50j	64.76	33.86	56.12	65.55	59	o42y
r75j	74.12	17.13	66.74	68.9	76	o67y
j00g	85.5	-3.22	79.65	79.72	92	o92y
j25g	79.45	-24.05	66.85	71.04	110	y20l
j50g	69.75	-38.03	49.98	62.8	127	y46l
j75g	61.38	-50.1	35.41	61.35	145	y72l
g00b	52.6	-62.77	20.12	65.92	162	y99l
g25b	55.39	-47.66	-8.06	48.34	190	l36c
g50b	57.43	-36.92	-27.8	46.22	217	l72c
g75b	55.19	-21.2	-44.17	48.99	244	c11v
b00r	41.84	1.31	-43.28	43.3	272	c56v
b25r	29.72	24.12	-41.48	47.98	300	v04m
b50r	38.41	44.74	-27.3	52.41	329	v55m
b75r	49.41	70.07	-3.62	70.16	357	m11o

lab^*rgb^*

$i^* = 1.00$

Brillantheit i^*

$i^* = 0.80$

$i^* = 0.60$

$i^* = 0.40$

$i^* = 0.20$

$i^* = 0.00$

relative Bunttheit c^*

relative Bunttheit c^*

Ein und Ausgabe: Farbmetrisches Drucker-Reflektiv-System ORS20_95a für relativen CIELAB-Buntton $h^* = lab^*h^* = h_{ab}/360 = 0.117$

Daten für jede Farbe:

lab^*tch^* und lab^*icu^*

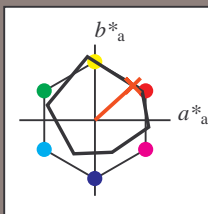
Bunttontexte:

$u^*_e = r25j$ $u^*_d = o17y$

Kontrastreduzierungsfaktor:

$c_R = 0.96$

Dreiecks-Helligkeit i^*



ORS20_95a; adaptierte CIELAB-Daten

u^*_e	$L^*=L^*_a$	a^*_a	b^*_a	$C^*_{ab,a}$	$h^*_{ab,a}$
O _{Ma}	48.71	62.56	37.91	73.15	31
Y _{Ma}	89.25	-9.92	83.91	84.49	97
L _{Ma}	52.5	-62.91	19.95	66.0	162
C _{Ma}	59.15	-27.87	-44.43	52.45	238
V _{Ma}	29.13	22.73	-42.44	48.14	298
M _{Ma}	49.51	71.08	-9.19	71.67	353
N _{Ma}	20.0	0.0	0.0	0.0	0
W _{Ma}	95.0	0.0	0.0	0.0	0
R _{Ma}	39.92	58.74	27.99	65.07	25
J _{Ma}	81.26	-2.89	71.56	71.62	92
G _{Ma}	52.23	-42.42	13.6	44.55	162
B _{Ma}	30.57	1.41	-46.47	46.49	272

Daten für Maximalfarbe (Ma):

$LAB^*LAB^*_{Ma}$: 56 50 46

$LAB^*LCH^*_{Ma}$: 56 68 42

$lab^*rgb^*_{Ma}$: 1.0 0.25 0.0

$lab^*olv^*_{Ma}$: 1.0 0.17 0.0

Dreiecks-Helligkeit i^*

%Umfang

$u^*_{rel} = 83$

%Regularität

$g^*_{H,rel} = 72$

$g^*_{C,rel} = 57$

ORS20_95a; adaptierte CIELAB-Daten

u^*_e	$L^*=L^*_a$	a^*_a	b^*_a	$C^*_{ab,a}$	$h^*_{ab,a}$	u^*_d
r00j	48.83	63.91	30.45	70.79	25	m84o
r25j	55.53	50.37	45.65	67.97	42	o17y
r50j	64.76	33.86	56.12	65.55	59	o42y
r75j	74.12	17.13	66.74	68.9	76	o67y
j00g	85.5	-3.22	79.65	79.72	92	o92y
j25g	79.45	-24.05	66.85	71.04	110	y20l
j50g	69.75	-38.03	49.98	62.8	127	y46l
j75g	61.38	-50.1	35.41	61.35	145	y72l
g00b	52.6	-62.77	20.12	65.92	162	y99l
g25b	55.39	-47.66	-8.06	48.34	190	l36c
g50b	57.43	-36.92	-27.8	46.22	217	l72c
g75b	55.19	-21.2	-44.17	48.99	244	c11v
b00r	41.84	1.31	-43.28	43.3	272	c56v
b25r	29.72	24.12	-41.48	47.98	300	v04m
b50r	38.41	44.74	-27.3	52.41	329	v55m
b75r	49.41	70.07	-3.62	70.16	357	m11o

lab^*rgb^*

$i^* = 1.00$

Brillantheit i^*

$i^* = 0.80$

$i^* = 0.60$

$i^* = 0.40$

$i^* = 0.20$

$i^* = 0.00$

relative Buntheit c^*

Ein und Ausgabe: Farbmetrisches Drucker-Reflektiv-System ORS20_95a für relativen CIELAB-Buntton $h^* = lab^*h^* = h_{ab}/360 = 0.164$

Daten für jede Farbe:

lab^*tch^* und lab^*icu^*

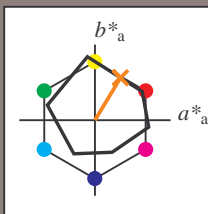
Bunttontexte:

$u^*_e = r50j$ $u^*_d = o42y$

Kontrastreduzierungsfaktor:

$c_R = 0.96$

Dreiecks-Helligkeit i^*



ORS20_95a; adaptierte CIELAB-Daten						
	u^*_e	$L^*=L^*_a$	a^*_a	b^*_a	$C^*_{ab,a}$	$h^*_{ab,a}$
O _{Ma}	48.71	62.56	37.91	73.15	31	
Y _{Ma}	89.25	-9.92	83.91	84.49	97	
L _{Ma}	52.5	-62.91	19.95	66.0	162	
C _{Ma}	59.15	-27.87	-44.43	52.45	238	
V _{Ma}	29.13	22.73	-42.44	48.14	298	
M _{Ma}	49.51	71.08	-9.19	71.67	353	
N _{Ma}	20.0	0.0	0.0	0.0	0	
W _{Ma}	95.0	0.0	0.0	0.0	0	
R _{Ma}	39.92	58.74	27.99	65.07	25	
J _{Ma}	81.26	-2.89	71.56	71.62	92	
G _{Ma}	52.23	-42.42	13.6	44.55	162	
B _{Ma}	30.57	1.41	-46.47	46.49	272	

Daten für Maximalfarbe (Ma):

$LAB^*LAB^*_{Ma}$: 65 34 56

$LAB^*LCH^*_{Ma}$: 65 66 58

$lab^*rgb^*_{Ma}$: 1.0 0.5 0.0

$lab^*olv^*_{Ma}$: 1.0 0.42 0.0

Dreiecks-Helligkeit i^*

%Umfang

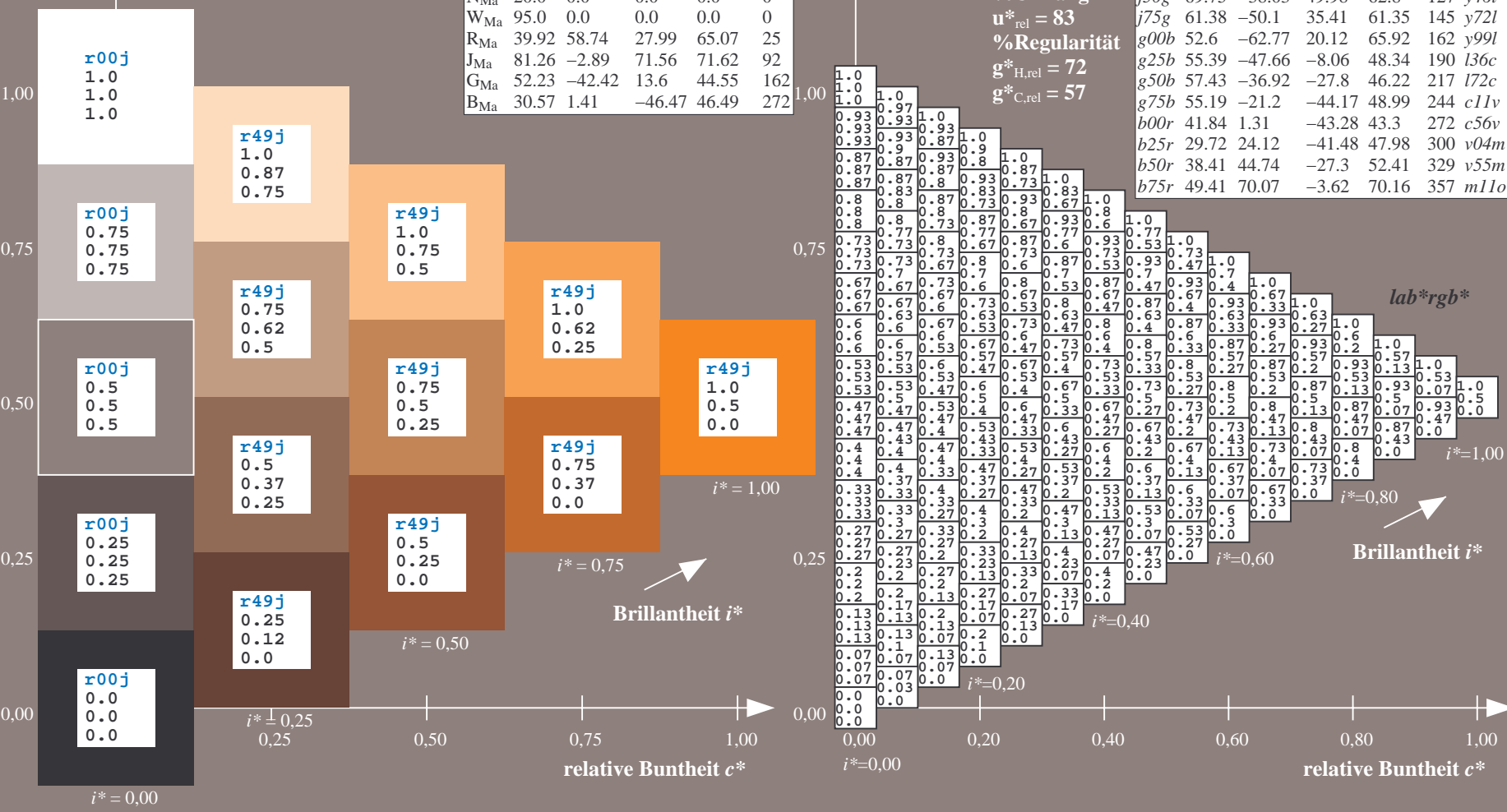
$u^*_{rel} = 83$

%Regularität

$g^*_{H,rel} = 72$

$g^*_{C,rel} = 57$

ORS20_95a; adaptierte CIELAB-Daten									
	u^*_e	$L^*=L^*_a$	a^*_a	b^*_a	$C^*_{ab,a}$	$h^*_{ab,a}$	u^*_d	u^*_e	u^*_d
r00j	48.83	63.91	30.45	70.79	25		m84o		
r25j	55.53	50.37	45.65	67.97	42		o17y		
r50j	64.76	33.86	56.12	65.55	59		o42y		
r75j	74.12	17.13	66.74	68.9	76		o67y		
j00g	85.5	-3.22	79.65	79.72	92		o92y		
j25g	79.45	-24.05	66.85	71.04	110		y20l		
j50g	69.75	-38.03	49.98	62.8	127		y46l		
j75g	61.38	-50.1	35.41	61.35	145		y72l		
g00b	52.6	-62.77	20.12	65.92	162		y99l		
g25b	55.39	-47.66	-8.06	48.34	190		l36c		
g50b	57.43	-36.92	-27.8	46.22	217		l72c		
g75b	55.19	-21.2	-44.17	48.99	244		c11v		
b00r	41.84	1.31	-43.28	43.3	272		c56v		
b25r	29.72	24.12	-41.48	47.98	300		v04m		
b50r	38.41	44.74	-27.3	52.41	329		v55m		
b75r	49.41	70.07	-3.62	70.16	357		m11o		



Ein und Ausgabe: Farbmetrisches Drucker-Reflektiv-System ORS20_95a für relativen CIELAB-Buntton $h^* = lab^*h^* = h_{ab}/360 = 0.21$

Daten für jede Farbe:

lab^*tch^* und lab^*icu^*

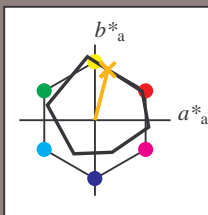
Bunttontexte:

$u^*_e = r75j$ $u^*_d = o67y$

Kontrastreduzierungsfaktor:

$c_R = 0.96$

Dreiecks-Helligkeit t^*



ORS20_95a; adaptierte CIELAB-Daten

	u^*_e	$L^*=L^*_a$	a^*_a	b^*_a	$C^*_{ab,a}$	$h^*_{ab,a}$
O _{Ma}	48.71	62.56	37.91	73.15	31	
Y _{Ma}	89.25	-9.92	83.91	84.49	97	
L _{Ma}	52.5	-62.91	19.95	66.0	162	
C _{Ma}	59.15	-27.87	-44.43	52.45	238	
V _{Ma}	29.13	22.73	-42.44	48.14	298	
M _{Ma}	49.51	71.08	-9.19	71.67	353	
N _{Ma}	20.0	0.0	0.0	0.0	0	
W _{Ma}	95.0	0.0	0.0	0.0	0	
R _{Ma}	39.92	58.74	27.99	65.07	25	
J _{Ma}	81.26	-2.89	71.56	71.62	92	
G _{Ma}	52.23	-42.42	13.6	44.55	162	
B _{Ma}	30.57	1.41	-46.47	46.49	272	

Daten für Maximalfarbe (Ma):

$LAB^*LAB^*_{Ma}$: 74 17 67

$LAB^*LCH^*_{Ma}$: 74 69 75

$lab^*rgb^*_{Ma}$: 1.0 0.75 0.0

$lab^*olv^*_{Ma}$: 1.0 0.68 0.0

Dreiecks-Helligkeit t^*

%Umfang

$u^*_{rel} = 83$

%Regularität

$g^*_{H,rel} = 72$

$g^*_{C,rel} = 57$

ORS20_95a; adaptierte CIELAB-Daten

	u^*_e	$L^*=L^*_a$	a^*_a	b^*_a	$C^*_{ab,a}$	$h^*_{ab,a}$	u^*_d
r00j	48.83	63.91	30.45	70.79	25	m84o	
r25j	55.53	50.37	45.65	67.97	42	o17y	
r50j	64.76	33.86	56.12	65.55	59	o42y	
r75j	74.12	17.13	66.74	68.9	76	o67y	
j00g	85.5	-3.22	79.65	79.72	92	o92y	
j25g	79.45	-24.05	66.85	71.04	110	y20l	
j50g	69.75	-38.03	49.98	62.8	127	y46l	
j75g	61.38	-50.1	35.41	61.35	145	y72l	
g00b	52.6	-62.77	20.12	65.92	162	y99l	
g25b	55.39	-47.66	-8.06	48.34	190	l36c	
g50b	57.43	-36.92	-27.8	46.22	217	l72c	
g75b	55.19	-21.2	-44.17	48.99	244	c11v	
b00r	41.84	1.31	-43.28	43.3	272	c56v	
b25r	29.72	24.12	-41.48	47.98	300	v04m	
b50r	38.41	44.74	-27.3	52.41	329	v55m	
b75r	49.41	70.07	-3.62	70.16	357	m11o	

lab^*rgb^*

$i^* = 1.00$

Brillantheit i^*

$i^* = 0.80$

$i^* = 0.60$

$i^* = 0.40$

$i^* = 0.20$

$i^* = 0.00$

relative Buntheit c^*

Ein und Ausgabe: Farbmetrisches Drucker-Reflektiv-System ORS20_95a für relativen CIELAB-Buntton $h^* = lab^*h^* = h_{ab}/360 = 0.256$

Daten für jede Farbe:

lab^*tch^* und lab^*icu^*

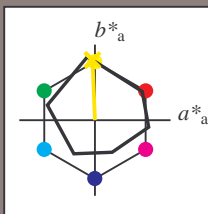
Bunttontexte:

$u^*_e = j00g$ $u^*_d = o92y$

Kontrastreduzierungsfaktor:

$c_R = 0.96$

Dreiecks-Helligkeit i^*



ORS20_95a; adaptierte CIELAB-Daten

	u^*_e	$L^*=L^*_a$	a^*_a	b^*_a	$C^*_{ab,a}$	$h^*_{ab,a}$
O _{Ma}	48.71	62.56	37.91	73.15	31	
Y _{Ma}	89.25	-9.92	83.91	84.49	97	
L _{Ma}	52.5	-62.91	19.95	66.0	162	
C _{Ma}	59.15	-27.87	-44.43	52.45	238	
V _{Ma}	29.13	22.73	-42.44	48.14	298	
M _{Ma}	49.51	71.08	-9.19	71.67	353	
N _{Ma}	20.0	0.0	0.0	0.0	0	
W _{Ma}	95.0	0.0	0.0	0.0	0	
R _{Ma}	39.92	58.74	27.99	65.07	25	
J _{Ma}	81.26	-2.89	71.56	71.62	92	
G _{Ma}	52.23	-42.42	13.6	44.55	162	
B _{Ma}	30.57	1.41	-46.47	46.49	272	

Daten für Maximalfarbe (Ma):

$LAB^*LAB^*_{Ma}$: 86 -3 80

$LAB^*LCH^*_{Ma}$: 86 80 92

$lab^*rgb^*_{Ma}$: 1.0 1.0 0.0

$lab^*olv^*_{Ma}$: 1.0 0.93 0.0

Dreiecks-Helligkeit i^*

%Umfang

$u^*_{rel} = 83$

%Regularität

$g^*_{H,rel} = 72$

$g^*_{C,rel} = 57$

ORS20_95a; adaptierte CIELAB-Daten

	u^*_e	$L^*=L^*_a$	a^*_a	b^*_a	$C^*_{ab,a}$	$h^*_{ab,a}$	u^*_d
r00j	48.83	63.91	30.45	70.79	25	m84o	
r25j	55.53	50.37	45.65	67.97	42	o17y	
r50j	64.76	33.86	56.12	65.55	59	o42y	
r75j	74.12	17.13	66.74	68.9	76	o67y	
j00g	85.5	-3.22	79.65	79.72	92	o92y	
j25g	79.45	-24.05	66.85	71.04	110	y20l	
j50g	69.75	-38.03	49.98	62.8	127	y46l	
j75g	61.38	-50.1	35.41	61.35	145	y72l	
g00b	52.6	-62.77	20.12	65.92	162	y99l	
g25b	55.39	-47.66	-8.06	48.34	190	l36c	
g50b	57.43	-36.92	-27.8	46.22	217	l72c	
g75b	55.19	-21.2	-44.17	48.99	244	c11v	
b00r	41.84	1.31	-43.28	43.3	272	c56v	
b25r	29.72	24.12	-41.48	47.98	300	v04m	
b50r	38.41	44.74	-27.3	52.41	329	v55m	
b75r	49.41	70.07	-3.62	70.16	357	m11o	

lab^*rgb^*

$i^* = 1.00$

Brillantheit i^*

$i^* = 0.80$

$i^* = 0.60$

$i^* = 0.40$

$i^* = 0.20$

$i^* = 0.00$

Ein und Ausgabe: Farbmetrisches Drucker-Reflektiv-System ORS20_95a für relativen CIELAB-Buntton $h^* = lab^*h^* = h_{ab}/360 = 0.305$

Daten für jede Farbe:

lab^*tch^* und lab^*icu^*

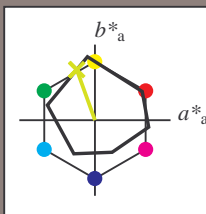
Bunttontexte:

$u^*_e = j25g$ $u^*_d = y20l$

Kontrastreduzierungsfaktor:

$c_R = 0.96$

Dreiecks-Helligkeit i^*



ORS20_95a; adaptierte CIELAB-Daten						
u^*_e	$L^*=L^*_a$	a^*_a	b^*_a	$C^*_{ab,a}$	$h^*_{ab,a}$	
O _{Ma}	48.71	62.56	37.91	73.15	31	
Y _{Ma}	89.25	-9.92	83.91	84.49	97	
L _{Ma}	52.5	-62.91	19.95	66.0	162	
C _{Ma}	59.15	-27.87	-44.43	52.45	238	
V _{Ma}	29.13	22.73	-42.44	48.14	298	
M _{Ma}	49.51	71.08	-9.19	71.67	353	
N _{Ma}	20.0	0.0	0.0	0.0	0	
W _{Ma}	95.0	0.0	0.0	0.0	0	
R _{Ma}	39.92	58.74	27.99	65.07	25	
J _{Ma}	81.26	-2.89	71.56	71.62	92	
G _{Ma}	52.23	-42.42	13.6	44.55	162	
B _{Ma}	30.57	1.41	-46.47	46.49	272	

Daten für Maximalfarbe (Ma):

$LAB^*LAB^*_{Ma}$: 79 -24 67

$LAB^*LCH^*_{Ma}$: 79 71 109

$lab^*rgb^*_{Ma}$: 0.75 1.0 0.0

$lab^*olv^*_{Ma}$: 0.8 1.0 0.0

Dreiecks-Helligkeit i^*

%Umfang

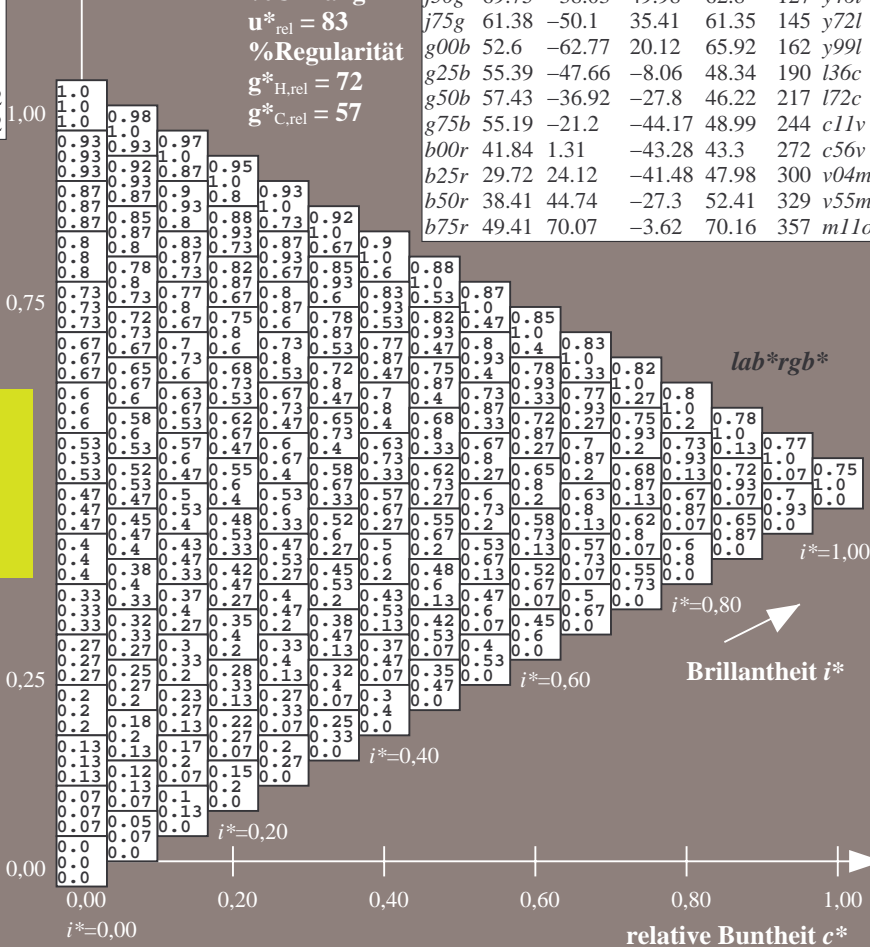
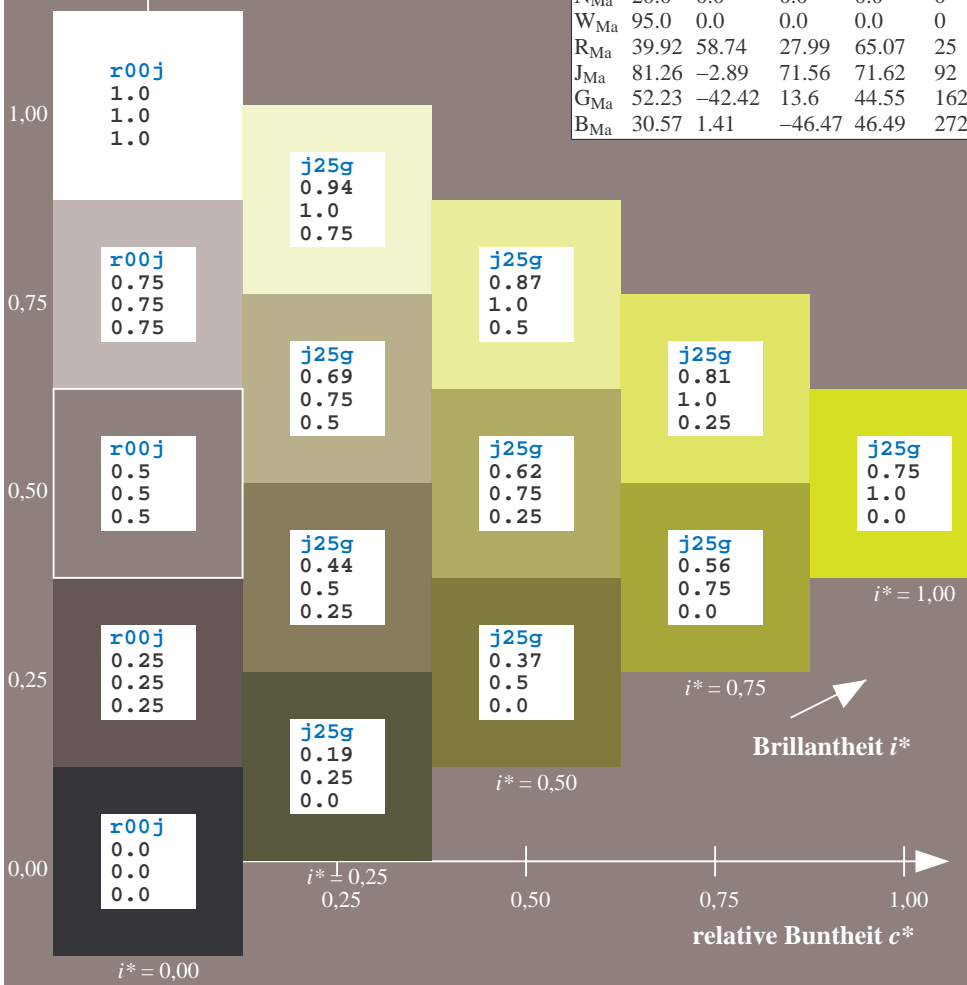
$u^*_{rel} = 83$

%Regularität

$g^*_{H,rel} = 72$

$g^*_{C,rel} = 57$

ORS20_95a; adaptierte CIELAB-Daten						
u^*_e	$L^*=L^*_a$	a^*_a	b^*_a	$C^*_{ab,a}$	$h^*_{ab,a}$	u^*_d
r00j	48.83	63.91	30.45	70.79	25	m84o
r25j	55.53	50.37	45.65	67.97	42	o17y
r50j	64.76	33.86	56.12	65.55	59	o42y
r75j	74.12	17.13	66.74	68.9	76	o67y
j00g	85.5	-3.22	79.65	79.72	92	o92y
j25g	79.45	-24.05	66.85	71.04	110	y20l
j50g	69.75	-38.03	49.98	62.8	127	y46l
j75g	61.38	-50.1	35.41	61.35	145	y72l
g00b	52.6	-62.77	20.12	65.92	162	y99l
g25b	55.39	-47.66	-8.06	48.34	190	l36c
g50b	57.43	-36.92	-27.8	46.22	217	l72c
g75b	55.19	-21.2	-44.17	48.99	244	c11v
b00r	41.84	1.31	-43.28	43.3	272	c56v
b25r	29.72	24.12	-41.48	47.98	300	v04m
b50r	38.41	44.74	-27.3	52.41	329	v55m
b75r	49.41	70.07	-3.62	70.16	357	m11o



Ein und Ausgabe: Farbmetrisches Drucker-Reflektiv-System ORS20_95a für relativen CIELAB-Buntton $h^* = lab^*h^* = h_{ab}/360 = 0.354$

Daten für jede Farbe:
 lab^*tch^* und lab^*icu^*

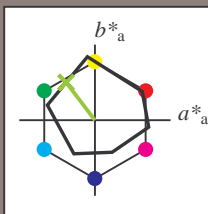
Bunttontexte:

$u^*_e = j50g$ $u^*_d = y46l$

Kontrastreduzierungsfaktor:

$c_R = 0.96$

Dreiecks-Helligkeit i^*



ORS20_95a; adaptierte CIELAB-Daten

	u^*_e	$L^*=L^*_a$	a^*_a	b^*_a	$C^*_{ab,a}$	$h^*_{ab,a}$
O _{Ma}	48.71	62.56	37.91	73.15	31	
Y _{Ma}	89.25	-9.92	83.91	84.49	97	
L _{Ma}	52.5	-62.91	19.95	66.0	162	
C _{Ma}	59.15	-27.87	-44.43	52.45	238	
V _{Ma}	29.13	22.73	-42.44	48.14	298	
M _{Ma}	49.51	71.08	-9.19	71.67	353	
N _{Ma}	20.0	0.0	0.0	0.0	0	
W _{Ma}	95.0	0.0	0.0	0.0	0	
R _{Ma}	39.92	58.74	27.99	65.07	25	
J _{Ma}	81.26	-2.89	71.56	71.62	92	
G _{Ma}	52.23	-42.42	13.6	44.55	162	
B _{Ma}	30.57	1.41	-46.47	46.49	272	

Daten für Maximalfarbe (Ma):

$LAB^*LAB^*_{Ma}$: 70 -38 50

$LAB^*LCH^*_{Ma}$: 70 63 127

$lab^*rgb^*_{Ma}$: 0.5 1.0 0.0

$lab^*olv^*_{Ma}$: 0.54 1.0 0.0

Dreiecks-Helligkeit i^*

%Umfang

$u^*_{rel} = 83$

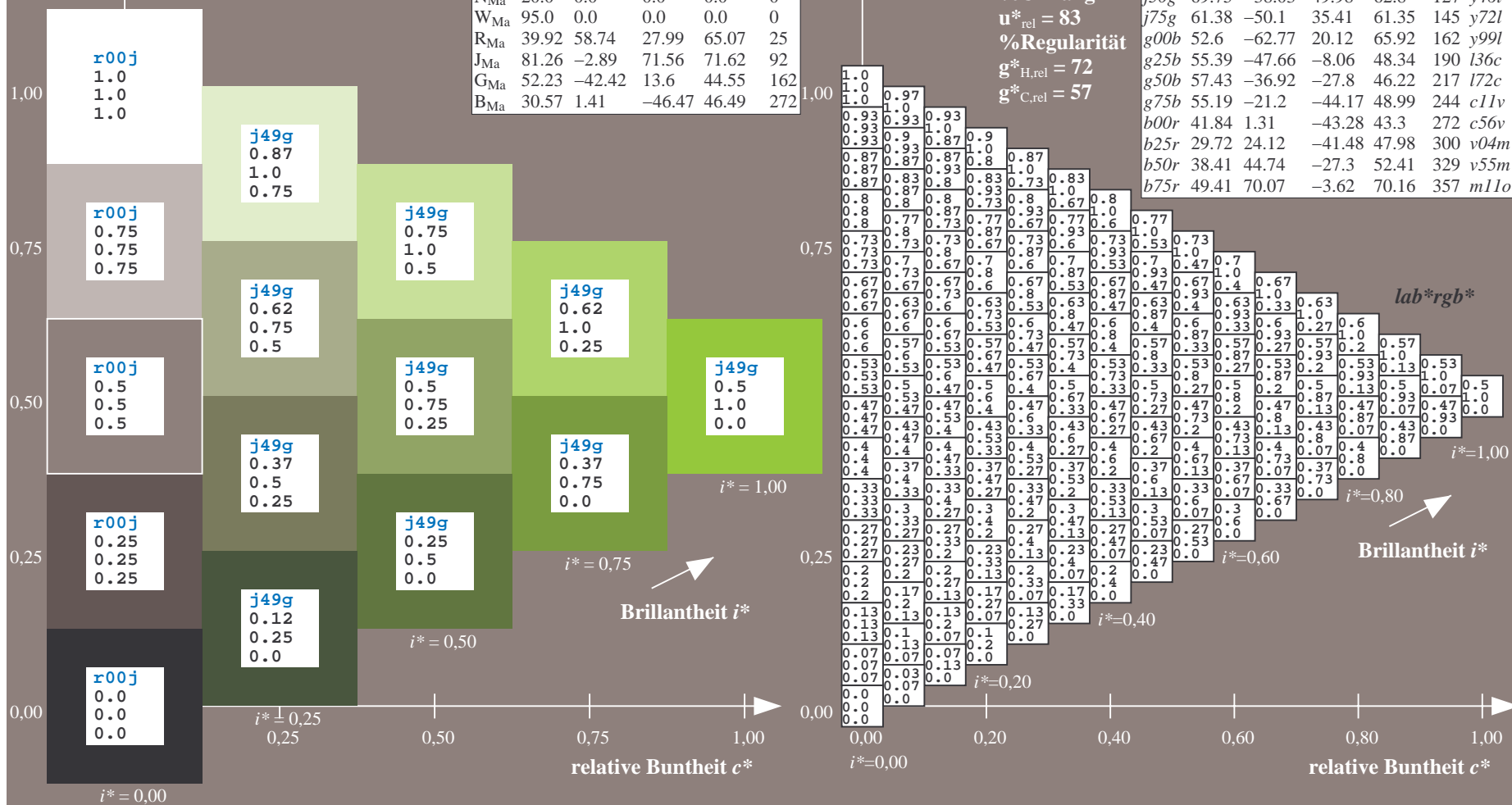
%Regularität

$g^*_{H,rel} = 72$

$g^*_{C,rel} = 57$

ORS20_95a; adaptierte CIELAB-Daten

	u^*_e	$L^*=L^*_a$	a^*_a	b^*_a	$C^*_{ab,a}$	$h^*_{ab,a}$	u^*_d
r00j	48.83	63.91	30.45	70.79	25	m84o	
r25j	55.53	50.37	45.65	67.97	42	o17y	
r50j	64.76	33.86	56.12	65.55	59	o42y	
r75j	74.12	17.13	66.74	68.9	76	o67y	
j00g	85.5	-3.22	79.65	79.72	92	o92y	
j25g	79.45	-24.05	66.85	71.04	110	y20l	
j50g	69.75	-38.03	49.98	62.8	127	y46l	
j75g	61.38	-50.1	35.41	61.35	145	y72l	
g00b	52.6	-62.77	20.12	65.92	162	y99l	
g25b	55.39	-47.66	-8.06	48.34	190	l36c	
g50b	57.43	-36.92	-27.8	46.22	217	l72c	
g75b	55.19	-21.2	-44.17	48.99	244	c11v	
b00r	41.84	1.31	-43.28	43.3	272	c56v	
b25r	29.72	24.12	-41.48	47.98	300	v04m	
b50r	38.41	44.74	-27.3	52.41	329	v55m	
b75r	49.41	70.07	-3.62	70.16	357	m11o	



Ein und Ausgabe: Farbmetrisches Drucker-Reflektiv-System ORS20_95a für relativen CIELAB-Buntton $h^* = lab^*h^* = h_{ab}/360 = 0.402$

Daten für jede Farbe:
 lab^*ch^* und lab^*icu^*

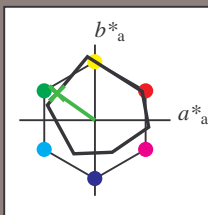
Bunttontexte:

$u^*_e = j75g$ $u^*_d = y72l$

Kontrastreduzierungsfaktor:

$c_R = 0.96$

Dreiecks-Helligkeit i^*



ORS20_95a; adaptierte CIELAB-Daten

	u^*_e	$L^*=L^*_a$	a^*_a	b^*_a	$C^*_{ab,a}$	$h^*_{ab,a}$
O _{Ma}	48.71	62.56	37.91	73.15	31	
Y _{Ma}	89.25	-9.92	83.91	84.49	97	
L _{Ma}	52.5	-62.91	19.95	66.0	162	
C _{Ma}	59.15	-27.87	-44.43	52.45	238	
V _{Ma}	29.13	22.73	-42.44	48.14	298	
M _{Ma}	49.51	71.08	-9.19	71.67	353	
N _{Ma}	20.0	0.0	0.0	0.0	0	
W _{Ma}	95.0	0.0	0.0	0.0	0	
R _{Ma}	39.92	58.74	27.99	65.07	25	
J _{Ma}	81.26	-2.89	71.56	71.62	92	
G _{Ma}	52.23	-42.42	13.6	44.55	162	
B _{Ma}	30.57	1.41	-46.47	46.49	272	

Daten für Maximalfarbe (Ma):

$LAB^*LAB^*_{Ma}$: 61 -50 35

$LAB^*LCH^*_{Ma}$: 61 61 144

$lab^*rgb^*_{Ma}$: 0.25 1.0 0.0

$lab^*olv^*_{Ma}$: 0.27 1.0 0.0

Dreiecks-Helligkeit i^*

%Umfang

$u^*_{rel} = 83$

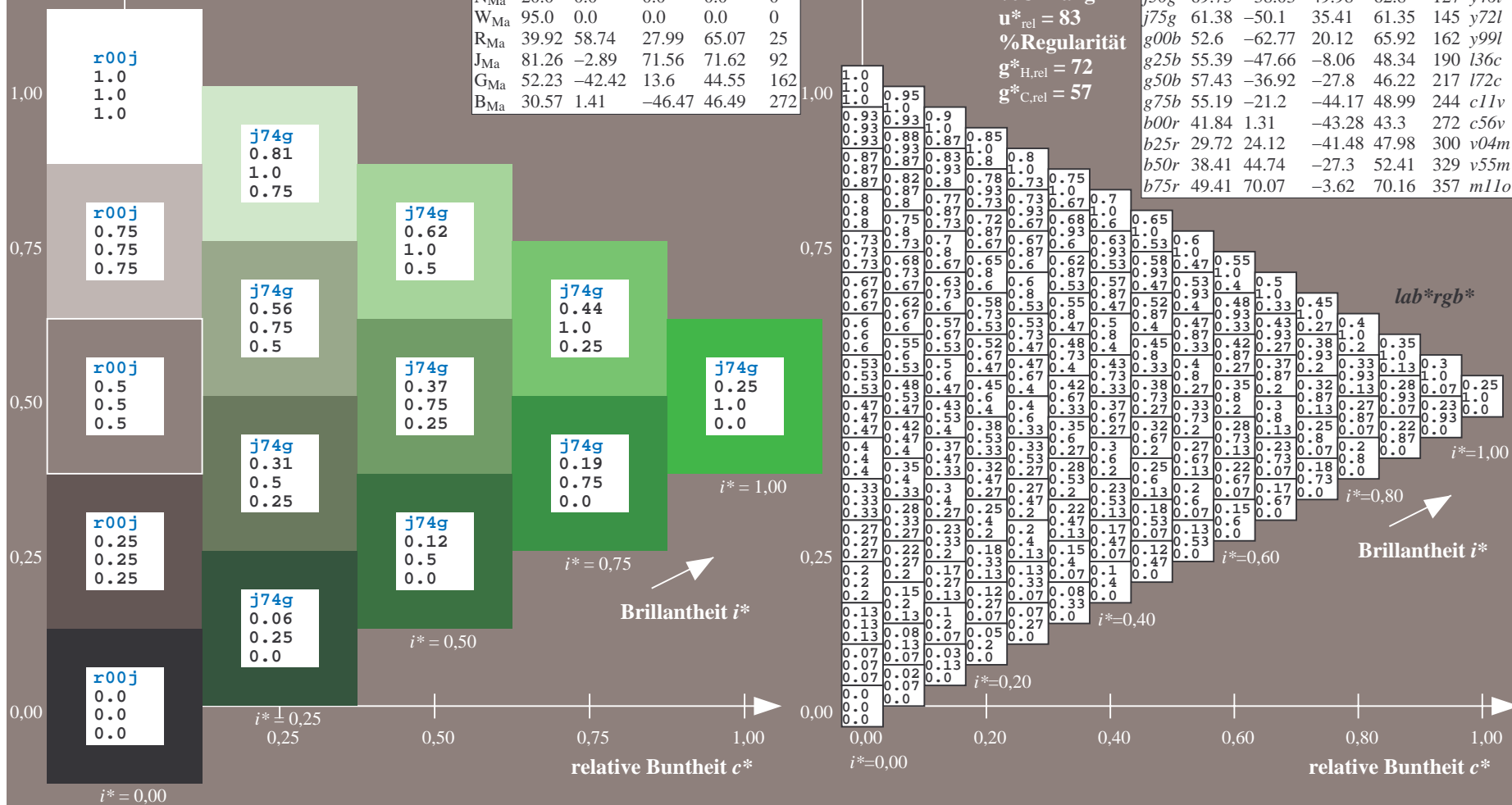
%Regularität

$g^*_{H,rel} = 72$

$g^*_{C,rel} = 57$

ORS20_95a; adaptierte CIELAB-Daten

	u^*_e	$L^*=L^*_a$	a^*_a	b^*_a	$C^*_{ab,a}$	$h^*_{ab,a}$	u^*_d
r00j	48.83	63.91	30.45	70.79	25	m84o	
r25j	55.53	50.37	45.65	67.97	42	o17y	
r50j	64.76	33.86	56.12	65.55	59	o42y	
r75j	74.12	17.13	66.74	68.9	76	o67y	
j00g	85.5	-3.22	79.65	79.72	92	o92y	
j25g	79.45	-24.05	66.85	71.04	110	y20l	
j50g	69.75	-38.03	49.98	62.8	127	y46l	
j75g	61.38	-50.1	35.41	61.35	145	y72l	
g00b	52.6	-62.77	20.12	65.92	162	y99l	
g25b	55.39	-47.66	-8.06	48.34	190	l36c	
g50b	57.43	-36.92	-27.8	46.22	217	l72c	
g75b	55.19	-21.2	-44.17	48.99	244	c11v	
b00r	41.84	1.31	-43.28	43.3	272	c56v	
b25r	29.72	24.12	-41.48	47.98	300	v04m	
b50r	38.41	44.74	-27.3	52.41	329	v55m	
b75r	49.41	70.07	-3.62	70.16	357	m11o	



Ein und Ausgabe: Farbmetrisches Drucker-Reflektiv-System ORS20_95a für relativen CIELAB-Buntton $h^* = lab^*h^* = h_{ab}/360 = 0.451$

Daten für jede Farbe:

lab^*tch^* und lab^*icu^*

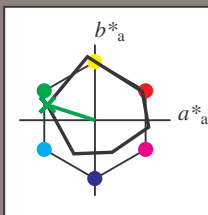
Bunttontexte:

$u^*_e = g00b$ $u^*_d = y99l$

Kontrastreduzierungsfaktor:

$c_R = 0.96$

Dreiecks-Helligkeit i^*



ORS20_95a; adaptierte CIELAB-Daten

u^*_e	$L^*=L^*_a$	a^*_a	b^*_a	$C^*_{ab,a}$	$h^*_{ab,a}$
O _{Ma}	48.71	62.56	37.91	73.15	31
Y _{Ma}	89.25	-9.92	83.91	84.49	97
L _{Ma}	52.5	-62.91	19.95	66.0	162
C _{Ma}	59.15	-27.87	-44.43	52.45	238
V _{Ma}	29.13	22.73	-42.44	48.14	298
M _{Ma}	49.51	71.08	-9.19	71.67	353
N _{Ma}	20.0	0.0	0.0	0.0	0
W _{Ma}	95.0	0.0	0.0	0.0	0
R _{Ma}	39.92	58.74	27.99	65.07	25
J _{Ma}	81.26	-2.89	71.56	71.62	92
G _{Ma}	52.23	-42.42	13.6	44.55	162
B _{Ma}	30.57	1.41	-46.47	46.49	272

Daten für Maximalfarbe (Ma):

$LAB^*LAB^*_{Ma}$: 53 -63 20

$LAB^*LCH^*_{Ma}$: 53 66 162

$lab^*rgb^*_{Ma}$: 0.0 1.0 0.0

$lab^*olv^*_{Ma}$: 0.0 1.0 0.0

Dreiecks-Helligkeit i^*

%Umfang

$u^*_{rel} = 83$

%Regularität

$g^*_{H,rel} = 72$

$g^*_{C,rel} = 57$

ORS20_95a; adaptierte CIELAB-Daten

u^*_e	$L^*=L^*_a$	a^*_a	b^*_a	$C^*_{ab,a}$	$h^*_{ab,a}$	u^*_d
r00j	48.83	63.91	30.45	70.79	25	m84o
r25j	55.53	50.37	45.65	67.97	42	o17y
r50j	64.76	33.86	56.12	65.55	59	o42y
r75j	74.12	17.13	66.74	68.9	76	o67y
j00g	85.5	-3.22	79.65	79.72	92	o92y
j25g	79.45	-24.05	66.85	71.04	110	y20l
j50g	69.75	-38.03	49.98	62.8	127	y46l
j75g	61.38	-50.1	35.41	61.35	145	y72l
g00b	52.6	-62.77	20.12	65.92	162	y99l
g25b	55.39	-47.66	-8.06	48.34	190	l36c
g50b	57.43	-36.92	-27.8	46.22	217	l72c
g75b	55.19	-21.2	-44.17	48.99	244	c11v
b00r	41.84	1.31	-43.28	43.3	272	c56v
b25r	29.72	24.12	-41.48	47.98	300	v04m
b50r	38.41	44.74	-27.3	52.41	329	v55m
b75r	49.41	70.07	-3.62	70.16	357	m11o

lab^*rgb^*

$i^* = 1.00$

Brillantheit i^*

$i^* = 0.80$

$i^* = 0.60$

$i^* = 0.40$

$i^* = 0.20$

$i^* = 0.00$

relative Buntheit c^*

Ein und Ausgabe: Farbmetrisches Drucker-Reflektiv-System ORS20_95a für relativen CIELAB-Buntton $h^* = lab^*h^* = h_{ab}/360 = 0.527$

Daten für jede Farbe:

lab^*tch^* und lab^*icu^*

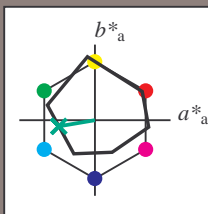
Bunttontexte:

$u^*_e = g25b$ $u^*_d = l36c$

Kontrastreduzierungsfaktor:

$c_R = 0.96$

Dreiecks-Helligkeit i^*



ORS20_95a; adaptierte CIELAB-Daten

	u^*_e	$L^*=L^*_a$	a^*_a	b^*_a	$C^*_{ab,a}$	$h^*_{ab,a}$
O _{Ma}	48.71	62.56	37.91	73.15	31	
Y _{Ma}	89.25	-9.92	83.91	84.49	97	
L _{Ma}	52.5	-62.91	19.95	66.0	162	
C _{Ma}	59.15	-27.87	-44.43	52.45	238	
V _{Ma}	29.13	22.73	-42.44	48.14	298	
M _{Ma}	49.51	71.08	-9.19	71.67	353	
N _{Ma}	20.0	0.0	0.0	0.0	0	
W _{Ma}	95.0	0.0	0.0	0.0	0	
R _{Ma}	39.92	58.74	27.99	65.07	25	
J _{Ma}	81.26	-2.89	71.56	71.62	92	
G _{Ma}	52.23	-42.42	13.6	44.55	162	
B _{Ma}	30.57	1.41	-46.47	46.49	272	

Daten für Maximalfarbe (Ma):

$LAB^*LAB^*_{Ma}$: 55 -48 -8

$LAB^*LCH^*_{Ma}$: 55 48 189

$lab^*rgb^*_{Ma}$: 0.0 1.0 0.5

$lab^*olv^*_{Ma}$: 0.0 1.0 0.36

Dreiecks-Helligkeit i^*

%Umfang

$u^*_{rel} = 83$

%Regularität

$g^*_{H,rel} = 72$

$g^*_{C,rel} = 57$

ORS20_95a; adaptierte CIELAB-Daten

	u^*_e	$L^*=L^*_a$	a^*_a	b^*_a	$C^*_{ab,a}$	$h^*_{ab,a}$	u^*_d
r00j	48.83	63.91	30.45	70.79	25	m84o	
r25j	55.53	50.37	45.65	67.97	42	o17y	
r50j	64.76	33.86	56.12	65.55	59	o42y	
r75j	74.12	17.13	66.74	68.9	76	o67y	
j00g	85.5	-3.22	79.65	79.72	92	o92y	
j25g	79.45	-24.05	66.85	71.04	110	y20l	
j50g	69.75	-38.03	49.98	62.8	127	y46l	
j75g	61.38	-50.1	35.41	61.35	145	y72l	
g00b	52.6	-62.77	20.12	65.92	162	y99l	
g25b	55.39	-47.66	-8.06	48.34	190	l36c	
g50b	57.43	-36.92	-27.8	46.22	217	l72c	
g75b	55.19	-21.2	-44.17	48.99	244	c11v	
b00r	41.84	1.31	-43.28	43.3	272	c56v	
b25r	29.72	24.12	-41.48	47.98	300	v04m	
b50r	38.41	44.74	-27.3	52.41	329	v55m	
b75r	49.41	70.07	-3.62	70.16	357	m11o	

lab^*rgb^*

$i^* = 1.00$

Brillantheit i^*

$i^* = 0.80$

$i^* = 0.60$

$i^* = 0.40$

$i^* = 0.20$

relative Bunttheit c^*

relative Bunttheit c^*

Ein und Ausgabe: Farbmetrisches Drucker-Reflektiv-System ORS20_95a für relativen CIELAB-Buntton $h^* = lab^*h^* = h_{ab}/360 = 0.603$

Daten für jede Farbe:

lab^*tch^* und lab^*icu^*

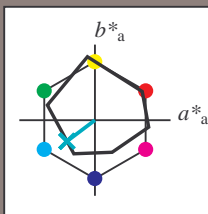
Bunttontexte:

$u^*_e = g50b$ $u^*_d = l72c$

Kontrastreduzierungsfaktor:

$c_R = 0.96$

Dreiecks-Helligkeit i^*



ORS20_95a; adaptierte CIELAB-Daten						
u^*_e	$L^*=L^*_a$	a^*_a	b^*_a	$C^*_{ab,a}$	$h^*_{ab,a}$	
O _{Ma}	48.71	62.56	37.91	73.15	31	
Y _{Ma}	89.25	-9.92	83.91	84.49	97	
L _{Ma}	52.5	-62.91	19.95	66.0	162	
C _{Ma}	59.15	-27.87	-44.43	52.45	238	
V _{Ma}	29.13	22.73	-42.44	48.14	298	
M _{Ma}	49.51	71.08	-9.19	71.67	353	
N _{Ma}	20.0	0.0	0.0	0.0	0	
W _{Ma}	95.0	0.0	0.0	0.0	0	
R _{Ma}	39.92	58.74	27.99	65.07	25	
J _{Ma}	81.26	-2.89	71.56	71.62	92	
G _{Ma}	52.23	-42.42	13.6	44.55	162	
B _{Ma}	30.57	1.41	-46.47	46.49	272	

Daten für Maximalfarbe (Ma):

$LAB^*LAB^*_{Ma}$: 57 -37 -28

$LAB^*LCH^*_{Ma}$: 57 46 216

$lab^*rgb^*_{Ma}$: 0.0 1.0 1.0

$lab^*olv^*_{Ma}$: 0.0 1.0 0.72

Dreiecks-Helligkeit i^*

%Umfang

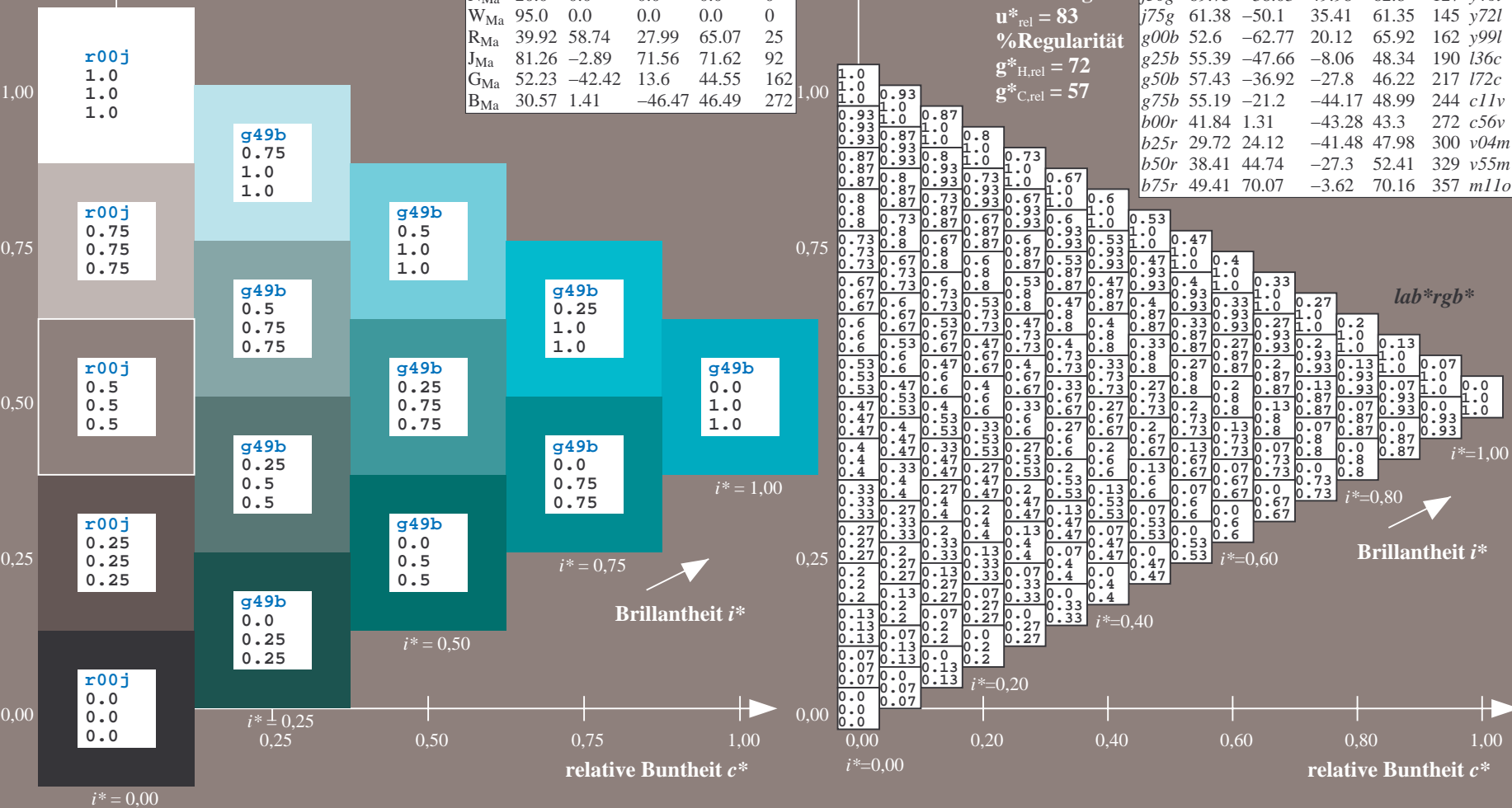
$u^*_{rel} = 83$

%Regularität

$g^*_{H,rel} = 72$

$g^*_{C,rel} = 57$

ORS20_95a; adaptierte CIELAB-Daten						
u^*_e	$L^*=L^*_a$	a^*_a	b^*_a	$C^*_{ab,a}$	$h^*_{ab,a}$	u^*_d
r00j	48.83	63.91	30.45	70.79	25	m84o
r25j	55.53	50.37	45.65	67.97	42	o17y
r50j	64.76	33.86	56.12	65.55	59	o42y
r75j	74.12	17.13	66.74	68.9	76	o67y
j00g	85.5	-3.22	79.65	79.72	92	o92y
j25g	79.45	-24.05	66.85	71.04	110	y20l
j50g	69.75	-38.03	49.98	62.8	127	y46l
j75g	61.38	-50.1	35.41	61.35	145	y72l
g00b	52.6	-62.77	20.12	65.92	162	y99l
g25b	55.39	-47.66	-8.06	48.34	190	l36c
g50b	57.43	-36.92	-27.8	46.22	217	l72c
g75b	55.19	-21.2	-44.17	48.99	244	c11v
b00r	41.84	1.31	-43.28	43.3	272	c56v
b25r	29.72	24.12	-41.48	47.98	300	v04m
b50r	38.41	44.74	-27.3	52.41	329	v55m
b75r	49.41	70.07	-3.62	70.16	357	m11o



Ein und Ausgabe: Farbmetrisches Drucker-Reflektiv-System ORS20_95a für relativen CIELAB-Buntton $h^* = lab^*h^* = h_{ab}/360 = 0.679$

Daten für jede Farbe:

lab^*tch^* und lab^*icu^*

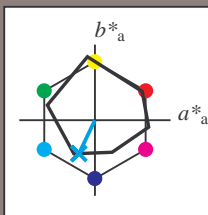
Bunttontexte:

$u^*_e = g75b$ $u^*_d = c11v$

Kontrastreduzierungsfaktor:

$c_R = 0.96$

Dreiecks-Helligkeit i^*



ORS20_95a; adaptierte CIELAB-Daten						
	u^*_e	$L^*=L^*_a$	a^*_a	b^*_a	$C^*_{ab,a}$	$h^*_{ab,a}$
O _{Ma}	48.71	62.56	37.91	73.15	31	
Y _{Ma}	89.25	-9.92	83.91	84.49	97	
L _{Ma}	52.5	-62.91	19.95	66.0	162	
C _{Ma}	59.15	-27.87	-44.43	52.45	238	
V _{Ma}	29.13	22.73	-42.44	48.14	298	
M _{Ma}	49.51	71.08	-9.19	71.67	353	
N _{Ma}	20.0	0.0	0.0	0.0	0	
W _{Ma}	95.0	0.0	0.0	0.0	0	
R _{Ma}	39.92	58.74	27.99	65.07	25	
J _{Ma}	81.26	-2.89	71.56	71.62	92	
G _{Ma}	52.23	-42.42	13.6	44.55	162	
B _{Ma}	30.57	1.41	-46.47	46.49	272	

Daten für Maximalfarbe (Ma):

$LAB^*LAB^*_{Ma}$: 55 -21 -44

$LAB^*LCH^*_{Ma}$: 55 49 244

$lab^*rgb^*_{Ma}$: 0.0 0.5 1.0

$lab^*olv^*_{Ma}$: 0.0 0.89 1.0

Dreiecks-Helligkeit i^*

%Umfang

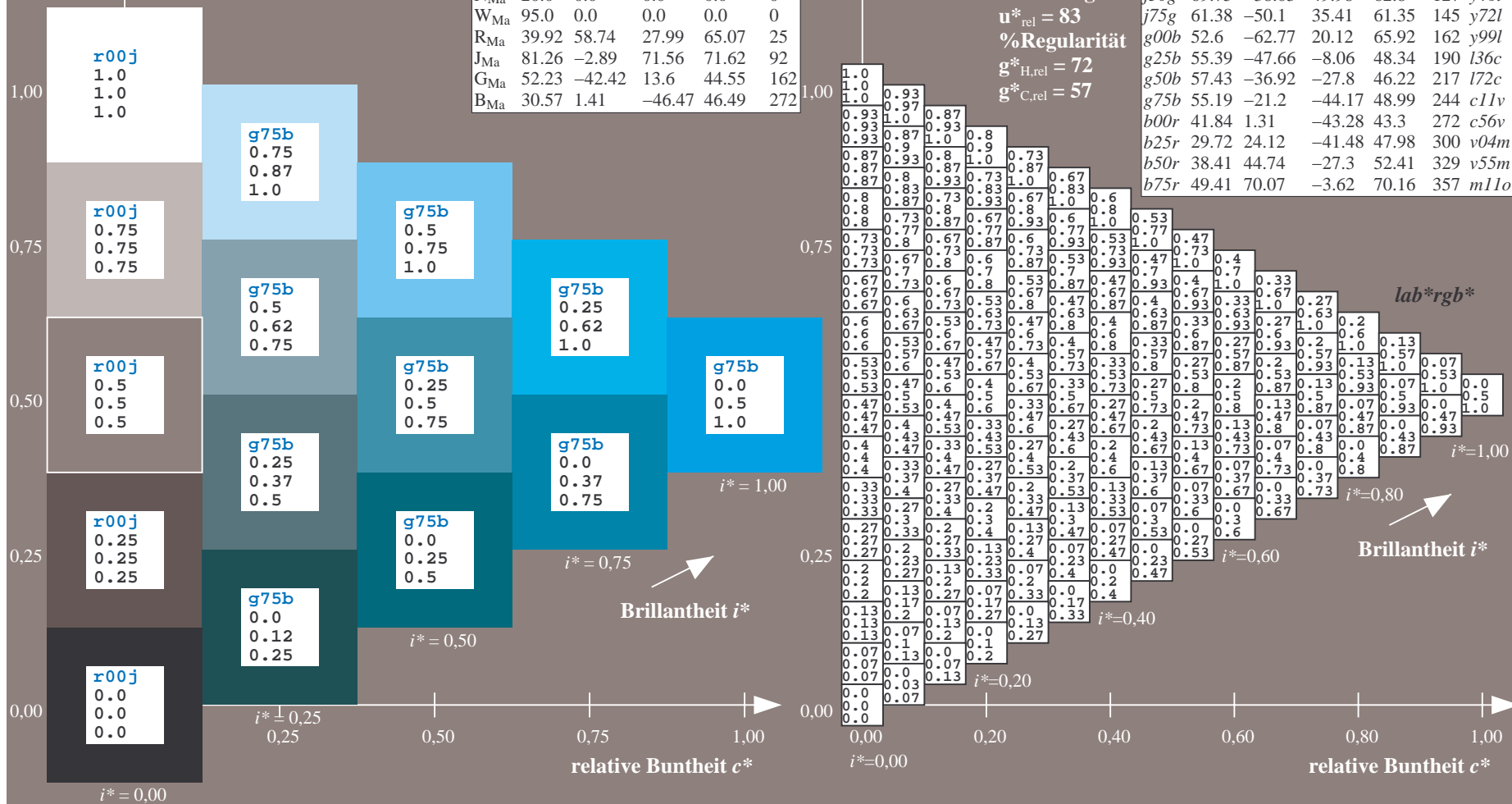
$u^*_{rel} = 83$

%Regularität

$g^*_{H,rel} = 72$

$g^*_{C,rel} = 57$

ORS20_95a; adaptierte CIELAB-Daten						
	u^*_e	$L^*=L^*_a$	a^*_a	b^*_a	$C^*_{ab,a}$	$h^*_{ab,a}$
r00j	48.83	63.91	30.45	70.79	25	m84o
r25j	55.53	50.37	45.65	67.97	42	o17y
r50j	64.76	33.86	56.12	65.55	59	o42y
r75j	74.12	17.13	66.74	68.9	76	o67y
j00g	85.5	-3.22	79.65	79.72	92	o92y
j25g	79.45	-24.05	66.85	71.04	110	y20l
j50g	69.75	-38.03	49.98	62.8	127	y46l
j75g	61.38	-50.1	35.41	61.35	145	y72l
g00b	52.6	-62.77	20.12	65.92	162	y99l
g25b	55.39	-47.66	-8.06	48.34	190	l36c
g50b	57.43	-36.92	-27.8	46.22	217	l72c
g75b	55.19	-21.2	-44.17	48.99	244	c11v
b00r	41.84	1.31	-43.28	43.3	272	c56v
b25r	29.72	24.12	-41.48	47.98	300	v04m
b50r	38.41	44.74	-27.3	52.41	329	v55m
b75r	49.41	70.07	-3.62	70.16	357	m11o



Ein und Ausgabe: Farbmetrisches Drucker-Reflektiv-System ORS20_95a für relativen CIELAB-Buntton $h^* = lab^*h^* = h_{ab}/360 = 0.755$

Daten für jede Farbe:

lab^*tch^* und lab^*icu^*

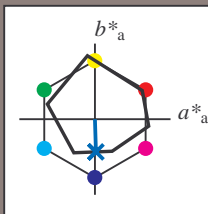
Bunttontexte:

$u^*_e = b00r$ $u^*_d = c56v$

Kontrastreduzierungsfaktor:

$c_R = 0.96$

Dreiecks-Helligkeit i^*



ORS20_95a; adaptierte CIELAB-Daten

u^*_e	$L^*=L^*_a$	a^*_a	b^*_a	$C^*_{ab,a}$	$h^*_{ab,a}$
O _{Ma}	48.71	62.56	37.91	73.15	31
Y _{Ma}	89.25	-9.92	83.91	84.49	97
L _{Ma}	52.5	-62.91	19.95	66.0	162
C _{Ma}	59.15	-27.87	-44.43	52.45	238
V _{Ma}	29.13	22.73	-42.44	48.14	298
M _{Ma}	49.51	71.08	-9.19	71.67	353
N _{Ma}	20.0	0.0	0.0	0.0	0
W _{Ma}	95.0	0.0	0.0	0.0	0
R _{Ma}	39.92	58.74	27.99	65.07	25
J _{Ma}	81.26	-2.89	71.56	71.62	92
G _{Ma}	52.23	-42.42	13.6	44.55	162
B _{Ma}	30.57	1.41	-46.47	46.49	272

Daten für Maximalfarbe (Ma):

$LAB^*LAB^*_{Ma}$: 42 1 -43

$LAB^*LCH^*_{Ma}$: 42 43 271

$lab^*rgb^*_{Ma}$: 0.0 0.0 1.0

$lab^*olv^*_{Ma}$: 0.0 0.44 1.0

Dreiecks-Helligkeit i^*

%Umfang

$u^*_{rel} = 83$

%Regularität

$g^*_{H,rel} = 72$

$g^*_{C,rel} = 57$

ORS20_95a; adaptierte CIELAB-Daten

u^*_e	$L^*=L^*_a$	a^*_a	b^*_a	$C^*_{ab,a}$	$h^*_{ab,a}$	u^*_d
r00j	48.83	63.91	30.45	70.79	25	m84o
r25j	55.53	50.37	45.65	67.97	42	o17y
r50j	64.76	33.86	56.12	65.55	59	o42y
r75j	74.12	17.13	66.74	68.9	76	o67y
j00g	85.5	-3.22	79.65	79.72	92	o92y
j25g	79.45	-24.05	66.85	71.04	110	y20l
j50g	69.75	-38.03	49.98	62.8	127	y46l
j75g	61.38	-50.1	35.41	61.35	145	y72l
g00b	52.6	-62.77	20.12	65.92	162	y99l
g25b	55.39	-47.66	-8.06	48.34	190	l36c
g50b	57.43	-36.92	-27.8	46.22	217	l72c
g75b	55.19	-21.2	-44.17	48.99	244	c11v
b00r	41.84	1.31	-43.28	43.3	272	c56v
b25r	29.72	24.12	-41.48	47.98	300	v04m
b50r	38.41	44.74	-27.3	52.41	329	v55m
b75r	49.41	70.07	-3.62	70.16	357	m11o

lab^*rgb^*

$i^* = 1.00$

Brillantheit i^*

$i^* = 0.80$

$i^* = 0.60$

$i^* = 0.40$

$i^* = 0.20$

$i^* = 0.00$

relative Buntheit c^*

relative Buntheit c^*

Ein und Ausgabe: Farbmetrisches Drucker-Reflektiv-System ORS20_95a für relativen CIELAB-Buntton $h^* = lab^*h^* = h_{ab}/360 = 0.834$

Daten für jede Farbe:

lab^*tch^* und lab^*icu^*

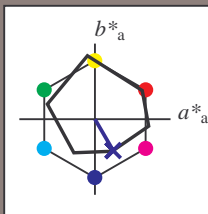
Bunttontexte:

$u^*_e = b25r$ $u^*_d = v04m$

Kontrastreduzierungsfaktor:

$c_R = 0.96$

Dreiecks-Helligkeit i^*



ORS20_95a; adaptierte CIELAB-Daten						
u^*_e	$L^*=L^*_a$	a^*_a	b^*_a	$C^*_{ab,a}$	$h^*_{ab,a}$	
O _{Ma}	48.71	62.56	37.91	73.15	31	
Y _{Ma}	89.25	-9.92	83.91	84.49	97	
L _{Ma}	52.5	-62.91	19.95	66.0	162	
C _{Ma}	59.15	-27.87	-44.43	52.45	238	
V _{Ma}	29.13	22.73	-42.44	48.14	298	
M _{Ma}	49.51	71.08	-9.19	71.67	353	
N _{Ma}	20.0	0.0	0.0	0.0	0	
W _{Ma}	95.0	0.0	0.0	0.0	0	
R _{Ma}	39.92	58.74	27.99	65.07	25	
J _{Ma}	81.26	-2.89	71.56	71.62	92	
G _{Ma}	52.23	-42.42	13.6	44.55	162	
B _{Ma}	30.57	1.41	-46.47	46.49	272	

Daten für Maximalfarbe (Ma):

$LAB^*LAB^*_{Ma}$: 30 24 -41

$LAB^*LCH^*_{Ma}$: 30 48 300

$lab^*rgb^*_{Ma}$: 0.5 0.0 1.0

$lab^*olv^*_{Ma}$: 0.04 0.0 1.0

Dreiecks-Helligkeit i^*

%Umfang

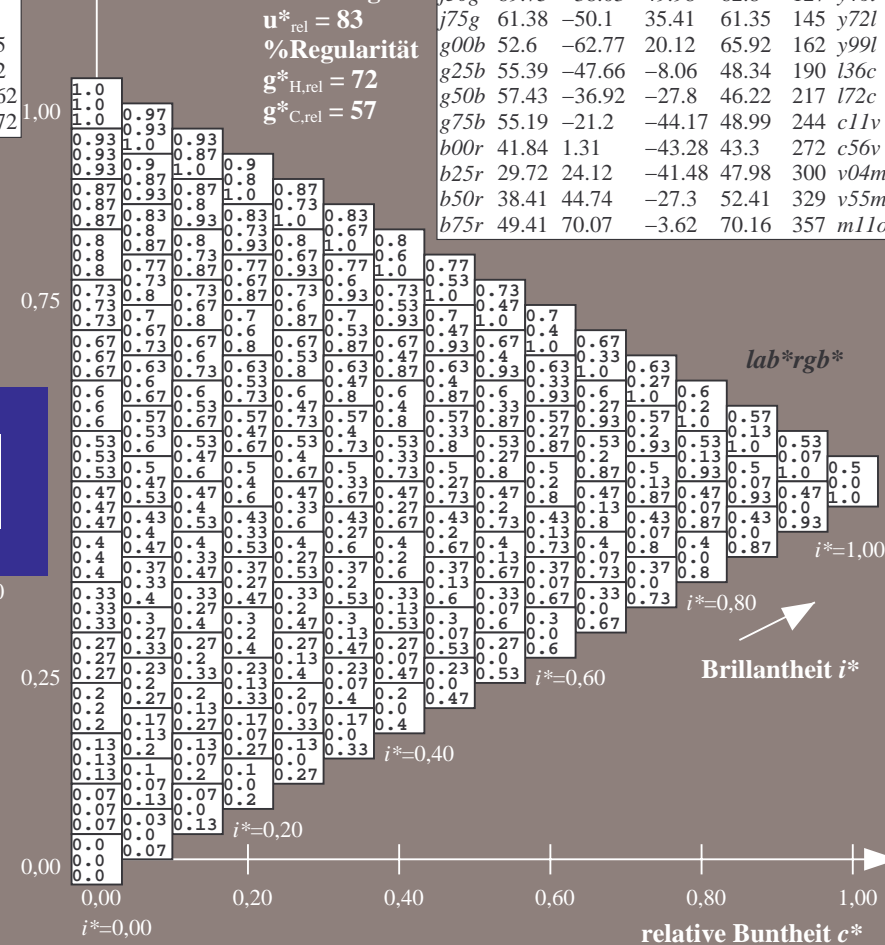
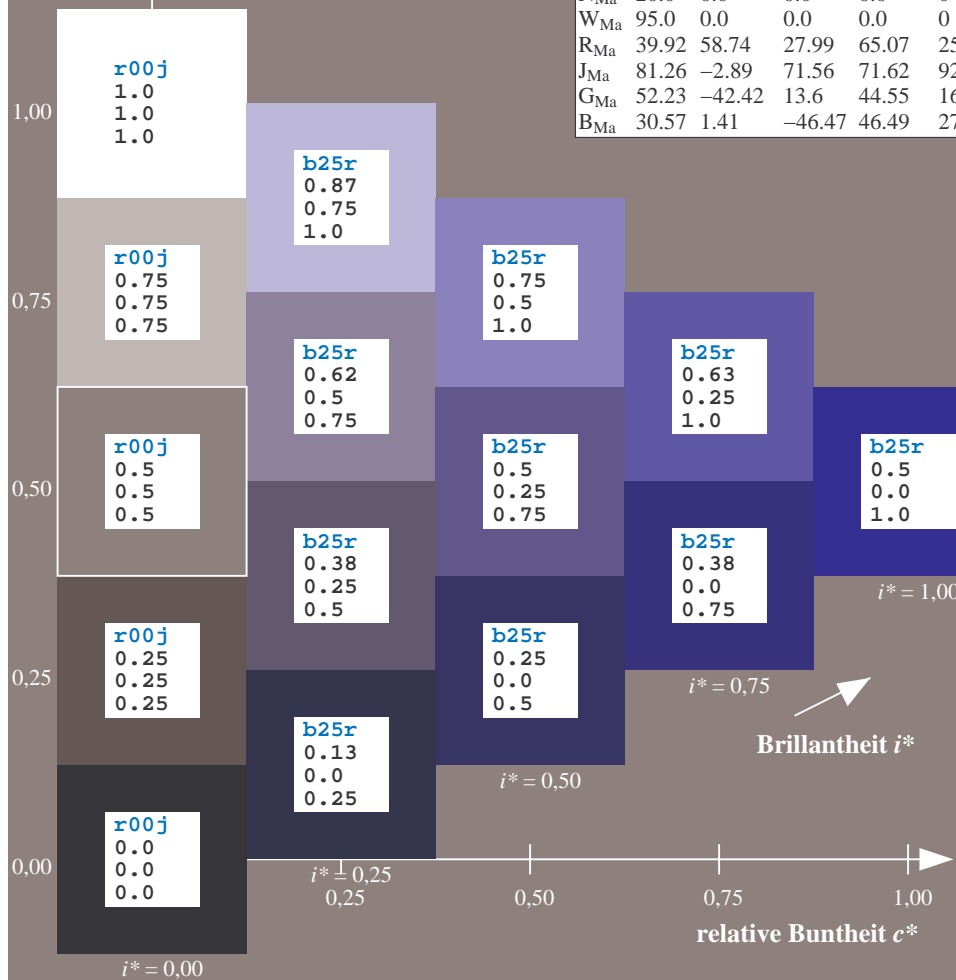
$u^*_{rel} = 83$

%Regularität

$g^*_{H,rel} = 72$

$g^*_{C,rel} = 57$

ORS20_95a; adaptierte CIELAB-Daten						
u^*_e	$L^*=L^*_a$	a^*_a	b^*_a	$C^*_{ab,a}$	$h^*_{ab,a}$	u^*_d
r00j	48.83	63.91	30.45	70.79	25	m84o
r25j	55.53	50.37	45.65	67.97	42	o17y
r50j	64.76	33.86	56.12	65.55	59	o42y
r75j	74.12	17.13	66.74	68.9	76	o67y
j00g	85.5	-3.22	79.65	79.72	92	o92y
j25g	79.45	-24.05	66.85	71.04	110	y20l
j50g	69.75	-38.03	49.98	62.8	127	y46l
j75g	61.38	-50.1	35.41	61.35	145	y72l
g00b	52.6	-62.77	20.12	65.92	162	y99l
g25b	55.39	-47.66	-8.06	48.34	190	l36c
g50b	57.43	-36.92	-27.8	46.22	217	l72c
g75b	55.19	-21.2	-44.17	48.99	244	c11v
b00r	41.84	1.31	-43.28	43.3	272	c56v
b25r	29.72	24.12	-41.48	47.98	300	v04m
b50r	38.41	44.74	-27.3	52.41	329	v55m
b75r	49.41	70.07	-3.62	70.16	357	m11o



Ein und Ausgabe: Farbmetrisches Drucker-Reflektiv-System ORS20_95a für relativen CIELAB-Buntton $h^* = lab^*h^* = h_{ab}/360 = 0.913$

Daten für jede Farbe:

lab^*tch^* und lab^*icu^*

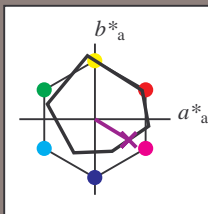
Bunttontexte:

$u^*_e = b50r$ $u^*_d = v55m$

Kontrastreduzierungsfaktor:

$c_R = 0.96$

Dreiecks-Helligkeit i^*



ORS20_95a; adaptierte CIELAB-Daten

u^*_e	$L^*=L^*_a$	a^*_a	b^*_a	$C^*_{ab,a}$	$h^*_{ab,a}$
O _{Ma}	48.71	62.56	37.91	73.15	31
Y _{Ma}	89.25	-9.92	83.91	84.49	97
L _{Ma}	52.5	-62.91	19.95	66.0	162
C _{Ma}	59.15	-27.87	-44.43	52.45	238
V _{Ma}	29.13	22.73	-42.44	48.14	298
M _{Ma}	49.51	71.08	-9.19	71.67	353
N _{Ma}	20.0	0.0	0.0	0.0	0
W _{Ma}	95.0	0.0	0.0	0.0	0
R _{Ma}	39.92	58.74	27.99	65.07	25
J _{Ma}	81.26	-2.89	71.56	71.62	92
G _{Ma}	52.23	-42.42	13.6	44.55	162
B _{Ma}	30.57	1.41	-46.47	46.49	272

Daten für Maximalfarbe (Ma):

$LAB^*LAB^*_{Ma}$: 38 45 -27

$LAB^*LCH^*_{Ma}$: 38 52 328

$lab^*rgb^*_{Ma}$: 1.0 0.0 1.0

$lab^*olv^*_{Ma}$: 0.56 0.0 1.0

Dreiecks-Helligkeit i^*

%Umfang

$u^*_{rel} = 83$

%Regularität

$g^*_{H,rel} = 72$

$g^*_{C,rel} = 57$

ORS20_95a; adaptierte CIELAB-Daten

u^*_e	$L^*=L^*_a$	a^*_a	b^*_a	$C^*_{ab,a}$	$h^*_{ab,a}$	u^*_d
r00j	48.83	63.91	30.45	70.79	25	m84o
r25j	55.53	50.37	45.65	67.97	42	o17y
r50j	64.76	33.86	56.12	65.55	59	o42y
r75j	74.12	17.13	66.74	68.9	76	o67y
j00g	85.5	-3.22	79.65	79.72	92	o92y
j25g	79.45	-24.05	66.85	71.04	110	y20l
j50g	69.75	-38.03	49.98	62.8	127	y46l
j75g	61.38	-50.1	35.41	61.35	145	y72l
g00b	52.6	-62.77	20.12	65.92	162	y99l
g25b	55.39	-47.66	-8.06	48.34	190	l36c
g50b	57.43	-36.92	-27.8	46.22	217	l72c
g75b	55.19	-21.2	-44.17	48.99	244	c11v
b00r	41.84	1.31	-43.28	43.3	272	c56v
b25r	29.72	24.12	-41.48	47.98	300	v04m
b50r	38.41	44.74	-27.3	52.41	329	v55m
b75r	49.41	70.07	-3.62	70.16	357	m11o

lab^*rgb^*

$i^* = 1.00$

Brillantheit i^*

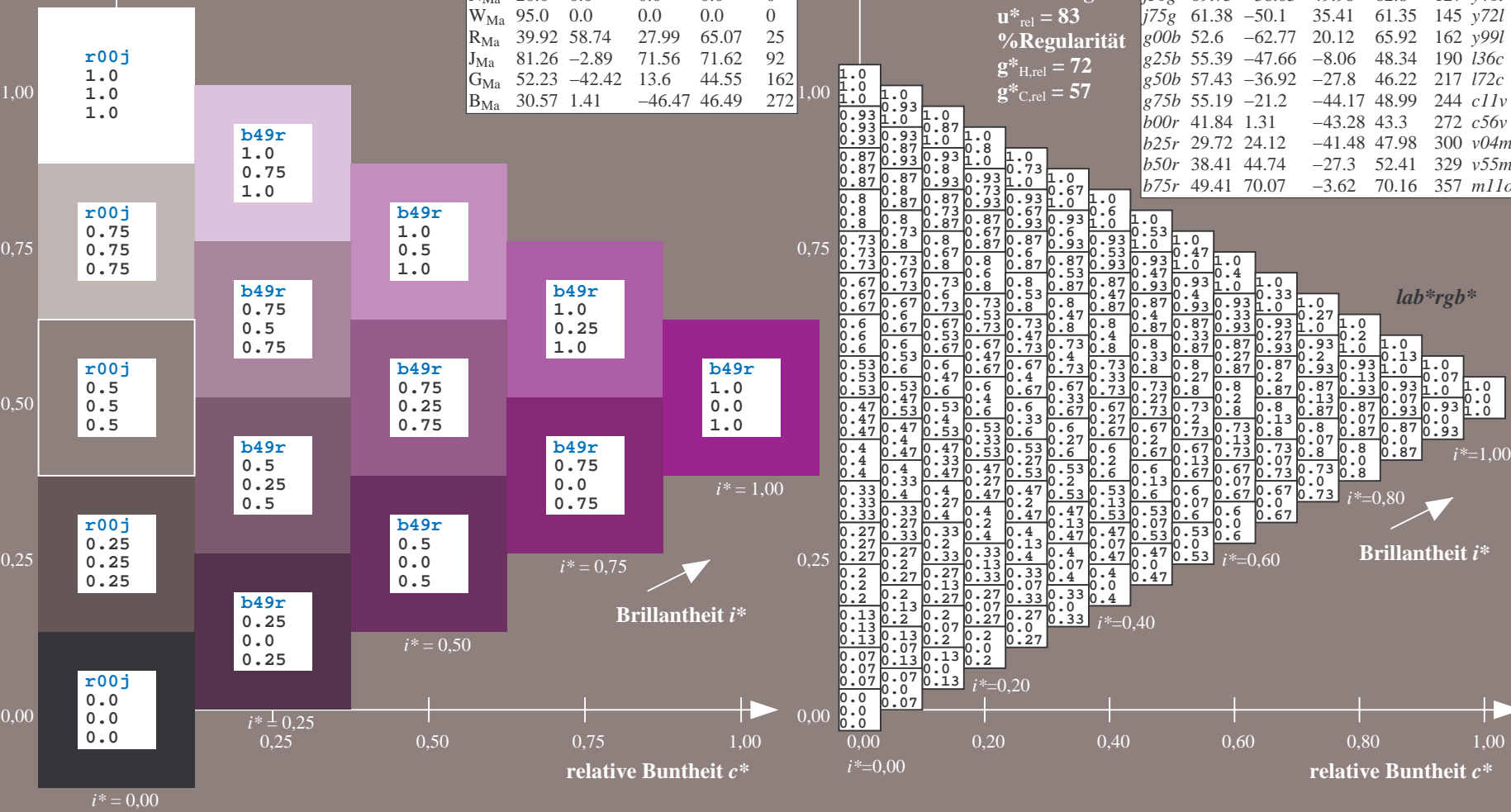
$i^* = 0.80$

$i^* = 0.60$

$i^* = 0.40$

$i^* = 0.20$

$i^* = 0.00$



Ein und Ausgabe: Farbmetrisches Drucker-Reflektiv-System ORS20_95a für relativen CIELAB-Buntton $h^* = lab^*h^* = h_{ab}/360 = 0.992$

Daten für jede Farbe:

lab^*tch^* und lab^*icu^*

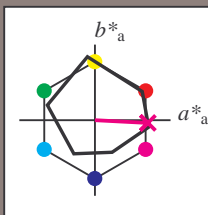
Bunttontexte:

$u^*_e = b75r$ $u^*_d = m11o$

Kontrastreduzierungsfaktor:

$c_R = 0.96$

Dreiecks-Helligkeit i^*



ORS20_95a; adaptierte CIELAB-Daten						
u^*_e	$L^*=L^*_a$	a^*_a	b^*_a	$C^*_{ab,a}$	$h^*_{ab,a}$	
O _{Ma}	48.71	62.56	37.91	73.15	31	
Y _{Ma}	89.25	-9.92	83.91	84.49	97	
L _{Ma}	52.5	-62.91	19.95	66.0	162	
C _{Ma}	59.15	-27.87	-44.43	52.45	238	
V _{Ma}	29.13	22.73	-42.44	48.14	298	
M _{Ma}	49.51	71.08	-9.19	71.67	353	
N _{Ma}	20.0	0.0	0.0	0.0	0	
W _{Ma}	95.0	0.0	0.0	0.0	0	
R _{Ma}	39.92	58.74	27.99	65.07	25	
J _{Ma}	81.26	-2.89	71.56	71.62	92	
G _{Ma}	52.23	-42.42	13.6	44.55	162	
B _{Ma}	30.57	1.41	-46.47	46.49	272	

Daten für Maximalfarbe (Ma):

$LAB^*LAB^*_{Ma}$: 49 70 -4

$LAB^*LCH^*_{Ma}$: 49 70 357

$lab^*rgb^*_{Ma}$: 1.0 0.0 0.5

$lab^*olv^*_{Ma}$: 1.0 0.0 0.89

Dreiecks-Helligkeit i^*

%Umfang

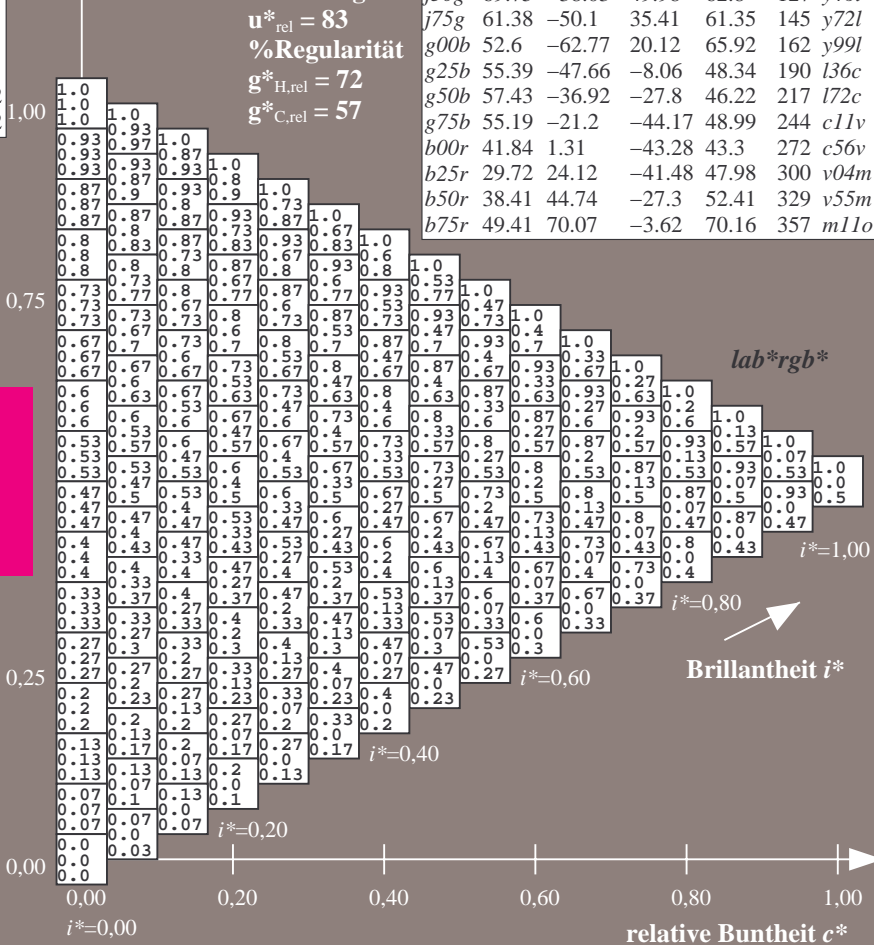
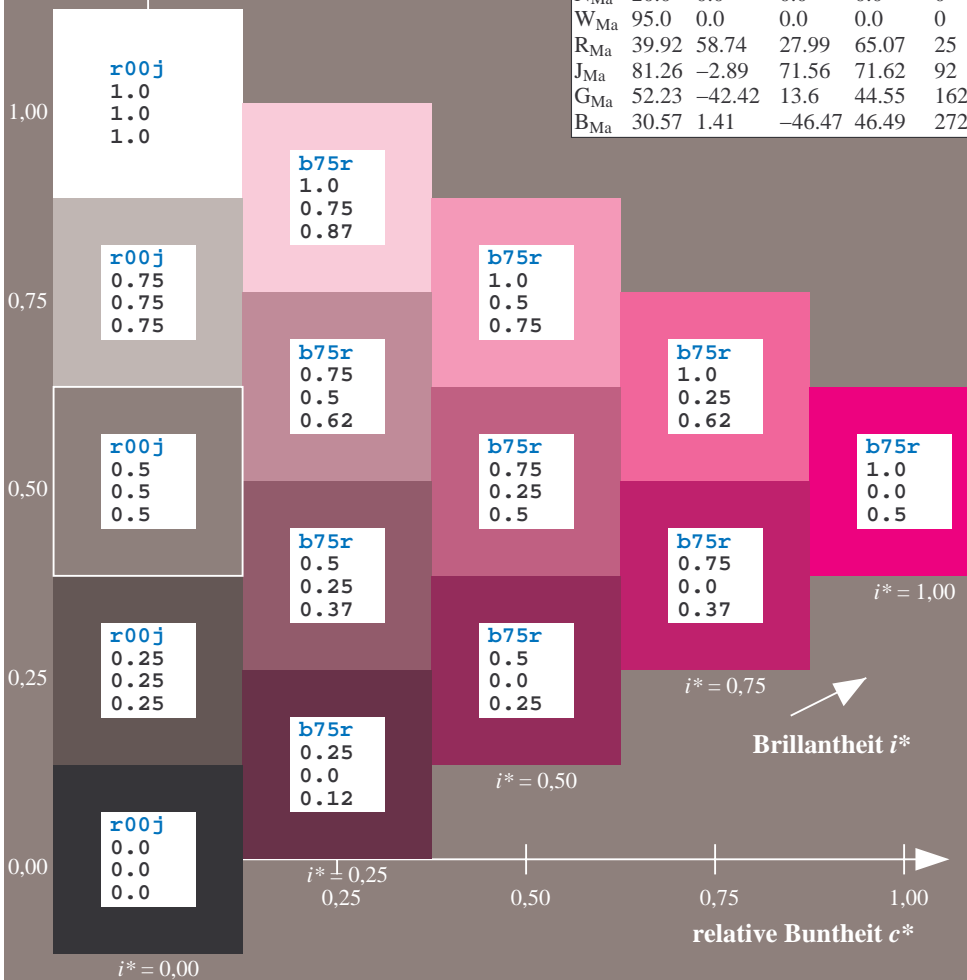
$u^*_{rel} = 83$

%Regularität

$g^*_{H,rel} = 72$

$g^*_{C,rel} = 57$

ORS20_95a; adaptierte CIELAB-Daten						
u^*_e	$L^*=L^*_a$	a^*_a	b^*_a	$C^*_{ab,a}$	$h^*_{ab,a}$	u^*_d
r00j	48.83	63.91	30.45	70.79	25	m84o
r25j	55.53	50.37	45.65	67.97	42	o17y
r50j	64.76	33.86	56.12	65.55	59	o42y
r75j	74.12	17.13	66.74	68.9	76	o67y
j00g	85.5	-3.22	79.65	79.72	92	o92y
j25g	79.45	-24.05	66.85	71.04	110	y20l
j50g	69.75	-38.03	49.98	62.8	127	y46l
j75g	61.38	-50.1	35.41	61.35	145	y72l
g00b	52.6	-62.77	20.12	65.92	162	y99l
g25b	55.39	-47.66	-8.06	48.34	190	l36c
g50b	57.43	-36.92	-27.8	46.22	217	l72c
g75b	55.19	-21.2	-44.17	48.99	244	c11v
b00r	41.84	1.31	-43.28	43.3	272	c56v
b25r	29.72	24.12	-41.48	47.98	300	v04m
b50r	38.41	44.74	-27.3	52.41	329	v55m
b75r	49.41	70.07	-3.62	70.16	357	m11o

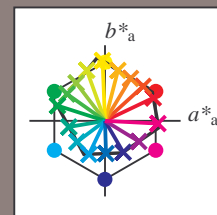


Siehe ähnliche Dateien: <http://www.ps.bam.de/Eg15/>; www.ps.bam.de/Eg15/10L/L15G00NP.PS/.PDF BAM-Material: Code=rh4ta
Technische Information: <http://www.ps.bam.de> Version 2.1, io=1,1, ColSp=0

	A	B	C	D	E	F	G	H	I	J	K	L	M	N	O	P	Q	R	S	T	U	V	W	X	Y	Z	a	b	c	d	e	f	g	h	i	j	k	lab*rgb*				
01	0.0	0.0	0.0	0.0	0.0	0.0	0.0	0.0	0.0	0.13	0.12	0.12	0.12	0.12	0.12	0.12	0.12	0.11	0.25	0.25	0.23	0.23	0.23	0.23	0.23	0.23	0.23	0.23	1.0	1.0	1.0	1.0	1.0	1.0	1.0	1.0	1.0	0.0	0.0	0.0		
	0.0	0.13	0.25	0.38	0.5	0.63	0.75	0.88	1.0	0.01	0.13	0.25	0.38	0.5	0.63	0.75	0.88	1.0	0.02	0.14	0.25	0.38	0.5	0.63	0.75	0.88	1.0	0.89	0.77	0.66	0.54	0.43	0.31	0.2	0.09	0.0	0.0	0.0	0.0			
	0.0	0.0	0.0	0.0	0.0	0.0	0.0	0.0	0.0	0.0	0.0	0.0	0.0	0.0	0.0	0.0	0.0	0.0	0.0	0.0	0.0	0.0	0.0	0.0	0.0	0.0	0.0	1.0	0.88	0.75	0.63	0.5	0.38	0.25	0.13	0.0	0.0	0.0	0.0	0.0		
02	0.06	0.0	0.0	0.0	0.0	0.0	0.0	0.0	0.0	0.13	0.13	0.13	0.13	0.13	0.13	0.13	0.13	0.13	0.25	0.25	0.24	0.24	0.24	0.24	0.24	0.24	0.24	0.88	0.88	0.88	0.88	0.88	0.88	0.88	0.88	0.88	0.88	0.13	0.13	0.13	0.13	
	0.0	0.08	0.25	0.38	0.5	0.63	0.75	0.88	1.0	0.0	0.13	0.25	0.38	0.5	0.63	0.75	0.88	1.0	0.0	0.14	0.25	0.38	0.5	0.63	0.75	0.88	1.0	0.95	0.88	0.76	0.65	0.53	0.42	0.3	0.19	0.08	0.13	0.13	0.13	0.13		
	0.13	0.13	0.17	0.17	0.17	0.17	0.17	0.18	0.18	0.07	0.13	0.13	0.13	0.13	0.13	0.13	0.13	0.13	0.06	0.13	0.13	0.13	0.13	0.13	0.13	0.13	1.0	0.88	0.75	0.63	0.5	0.38	0.25	0.13	0.0	0.0	0.0	0.0	0.0	0.0		
03	0.12	0.0	0.0	0.0	0.0	0.0	0.0	0.0	0.0	0.24	0.18	0.13	0.13	0.13	0.13	0.13	0.13	0.13	0.25	0.25	0.25	0.25	0.25	0.25	0.25	0.25	0.25	0.75	0.75	0.75	0.75	0.75	0.75	0.75	0.75	0.75	0.75	0.25	0.25	0.25	0.25	
	0.0	0.02	0.15	0.38	0.5	0.63	0.75	0.88	1.0	0.0	0.13	0.2	0.38	0.5	0.63	0.75	0.88	1.0	0.0	0.13	0.25	0.38	0.5	0.63	0.75	0.88	1.0	0.9	0.83	0.75	0.64	0.52	0.41	0.29	0.18	0.06	0.25	0.25	0.25	0.25		
	0.25	0.25	0.25	0.35	0.35	0.35	0.35	0.35	0.35	0.25	0.25	0.25	0.3	0.3	0.3	0.3	0.3	0.3	0.14	0.2	0.25	0.25	0.25	0.25	0.25	0.25	0.25	0.25	1.0	0.88	0.75	0.63	0.5	0.38	0.25	0.13	0.0	0.25	0.25	0.25	0.25	
04	0.17	0.04	0.0	0.0	0.0	0.0	0.0	0.0	0.29	0.24	0.13	0.13	0.13	0.13	0.13	0.13	0.13	0.13	0.38	0.36	0.31	0.25	0.25	0.25	0.25	0.25	0.25	0.25	0.63	0.63	0.63	0.63	0.63	0.63	0.63	0.63	0.38	0.38	0.38	0.38		
	0.0	0.0	0.09	0.23	0.48	0.63	0.75	0.88	1.0	0.0	0.13	0.14	0.28	0.5	0.63	0.75	0.88	1.0	0.0	0.13	0.25	0.33	0.5	0.63	0.75	0.88	1.0	0.86	0.78	0.7	0.63	0.51	0.4	0.28	0.17	0.05	0.38	0.38	0.38	0.38		
	0.38	0.38	0.38	0.38	0.5	0.52	0.52	0.52	0.38	0.38	0.38	0.38	0.47	0.47	0.47	0.47	0.47	0.34	0.38	0.38	0.38	0.42	0.42	0.42	0.42	0.42	1.0	0.88	0.75	0.63	0.5	0.38	0.25	0.13	0.0	0.38	0.38	0.38	0.38	0.38		
05	0.23	0.1	0.0	0.0	0.0	0.0	0.0	0.0	0.35	0.3	0.17	0.13	0.13	0.13	0.13	0.13	0.13	0.13	0.47	0.42	0.37	0.25	0.25	0.25	0.25	0.25	0.25	0.5	0.5	0.5	0.5	0.5	0.5	0.5	0.5	0.5	0.5	0.5	0.5	0.5	0.5	
	0.0	0.0	0.03	0.17	0.31	0.56	0.75	0.88	1.0	0.0	0.13	0.22	0.36	0.61	0.75	0.88	1.0	0.0	0.13	0.25	0.27	0.4	0.63	0.75	0.88	1.0	0.81	0.73	0.65	0.58	0.5	0.39	0.27	0.16	0.04	0.5	0.5	0.5	0.5			
	0.5	0.5	0.5	0.5	0.5	0.63	0.69	0.69	0.69	0.5	0.5	0.5	0.5	0.5	0.63	0.64	0.64	0.64	0.5	0.5	0.5	0.5	0.5	0.5	0.5	0.5	0.5	1.0	0.88	0.75	0.63	0.5	0.38	0.25	0.13	0.0	0.5	0.5	0.5	0.5		
06	0.29	0.16	0.03	0.0	0.0	0.0	0.0	0.0	0.41	0.36	0.22	0.13	0.13	0.13	0.13	0.13	0.13	0.13	0.53	0.48	0.42	0.29	0.25	0.25	0.25	0.25	0.25	0.25	0.38	0.38	0.38	0.38	0.38	0.38	0.38	0.38	0.38	0.38	0.63	0.63	0.63	0.63
	0.0	0.0	0.0	0.11	0.25	0.39	0.64	0.88	1.0	0.0	0.13	0.16	0.3	0.43	0.68	0.88	1.0	0.0	0.13	0.25	0.34	0.48	0.73	0.88	1.0	0.76	0.68	0.61	0.53	0.45	0.38	0.26	0.15	0.03	0.63	0.63	0.63	0.63	0.63	0.63		
	0.63	0.63	0.63	0.63	0.63	0.63	0.63	0.63	0.63	0.63	0.63	0.63	0.63	0.63	0.63	0.63	0.63	0.63	0.63	0.63	0.63	0.63	0.63	0.63	0.63	0.63	0.63	0.63	0.63	0.63	0.63	0.63	0.63	0.63	0.63	0.63	0.63	0.63	0.63	0.63		
07	0.35	0.22	0.08	0.0	0.0	0.0	0.0	0.0	0.47	0.42	0.28	0.15	0.13	0.13	0.13	0.13	0.13	0.13	0.59	0.54	0.48	0.35	0.25	0.25	0.25	0.25	0.25	0.25	0.25	0.25	0.25	0.25	0.25	0.25	0.25	0.25	0.25	0.25	0.25	0.25		
	0.0	0.0	0.0	0.05	0.19	0.33	0.46	0.71	0.96	0.0	0.13	0.13	0.13	0.24	0.37	0.51	0.76	1.0	0.0	0.13	0.25	0.25	0.28	0.42	0.56	0.81	1.0	0.71	0.64	0.56	0.48	0.4	0.33	0.25	0.14	0.02	0.75	0.75	0.75	0.75		
	0.75	0.75	0.75	0.75	0.75	0.75	0.75	0.88	1.0	0.75	0.75	0.75	0.75	0.75	0.75	0.75	0.88	0.99	0.75	0.75	0.75	0.75	0.75	0.75	0.75	0.75	0.75	0.88	0.94	1.0	0.88	0.75	0.63	0.5	0.38	0.25	0.13	0.0	0.75	0.75	0.75	
08	0.41	0.27	0.14	0.01	0.0	0.0	0.0	0.0	0.53	0.47	0.34	0.21	0.13	0.13	0.13	0.13	0.13	0.13	0.65	0.59	0.54	0.41	0.28	0.25	0.25	0.25	0.25	0.25	0.13	0.13	0.13	0.13	0.13	0.13	0.13	0.13	0.88	0.88	0.88	0.88		
	0.0	0.0	0.0	0.0	0.13	0.27	0.4	0.54	0.79	0.0	0.13	0.13	0.18	0.31	0.45	0.59	0.84	0.0	0.13	0.25	0.25	0.25	0.25	0.25	0.25	0.25	0.36	0.5	0.64	0.89	0.67	0.59	0.51	0.43	0.36	0.28	0.2	0.13	0.01	0.88	0.88	0.88
	0.88	0.88	0.88	0.88	0.88	0.88	0.88	0.88	0.88	1.0	0.88	0.88	0.88	0.88	0.88	0.88	0.88	0.88	1.0	0.88	0.88	0.88	0.88	0.88	0.88	0.88	0.88	1.0	0.88	0.75	0.63	0.5	0.38	0.25	0.13	0.0	0.88	0.88	0.88	0.88		
09	0.46	0.33	0.2	0.07	0.0	0.0	0.0	0.0	0.88	0.53	0.4	0.27	0.13	0.13	0.13	0.13	0.13	0.13	0.7	0.65	0.6	0.47	0.33	0.25	0.25	0.25	0.25	0.25	0.25	0.25	0.25	0.25	0.25	0.25	0.25	0.25	0.25	0.25	0.25	0.25	0.25	
	0.0	0.0	0.0	0.0	0.07	0.21	0.34	0.48	0.62	0.0	0.13	0.13	0.13	0.25	0.39	0.53	0.67	0.0	0.13	0.25	0.25	0.25	0.25	0.25	0.25	0.25	0.44	0.58	0.71	0.62	0.54	0.46	0.39	0.31	0.23	0.15	0.08	0.0	1.0	1.0	1.0	
	1.0	1.0	1.0	1.0	1.0	1.0	1.0	1.0	1.0	1.0	1.0	1.0	1.0	1.0	1.0	1.0	1.0	1.0	1.0	1.0	1.0	1.0	1.0	1.0	1.0	1.0	1.0	1.0	1.0	1.0	1.0	1.0	1.0	1.0	1.0	1.0	1.0	1.0	1.0	1.0		
10	0.38	0.38	0.38	0.35	0.35	0.35	0.35	0.35	0.35	0.5	0.5	0.5	0.5	0																												

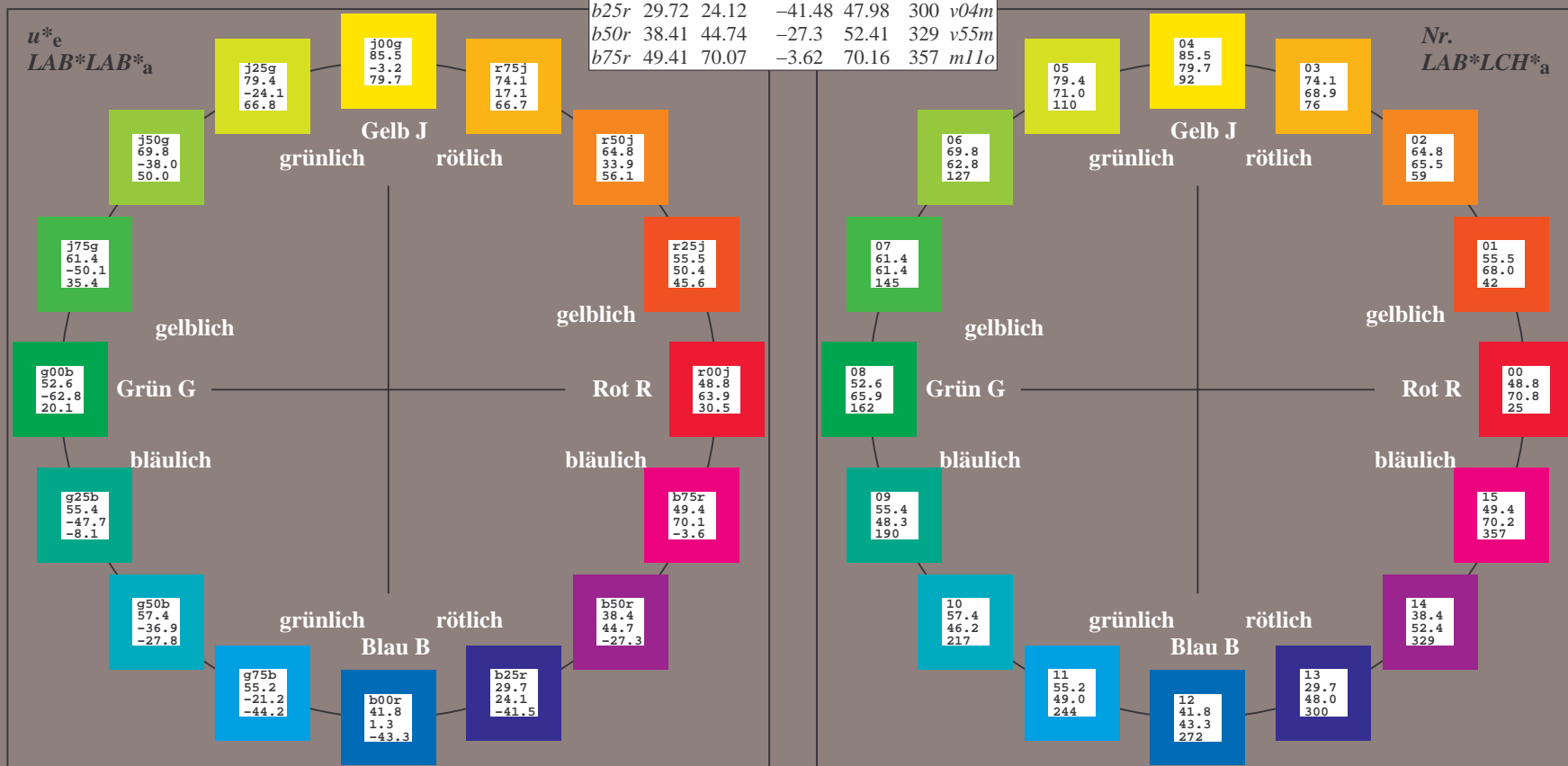
Ein und Ausgabe:
Farbmetrisches Drucker-Reflektiv-System ORS20_95a
Daten für jede Farbe:
 u^*_e und Nummer $Nr.$ = 00 .. 15
Elementar-Bunttontext:
 $u^*_e = 16$ Bunttoene $r00j, r25j, \dots, b75r$
Kontrastreduzierungsfaktor:
 $c_R = 0.96$

ORS20_95a; adaptierte CIELAB-Daten						
u^*_e	$L^*=L^*_a$	a^*_a	b^*_a	$C^*_{ab,a}$	$h^*_{ab,a}$	u^*_d
$r00j$	48.83	63.91	30.45	70.79	25	$m84o$
$r25j$	55.53	50.37	45.65	67.97	42	$o17y$
$r50j$	64.76	33.86	56.12	65.55	59	$o42y$
$r75j$	74.12	17.13	66.74	68.9	76	$o67y$
$j00g$	85.5	-3.22	79.65	79.72	92	$o92y$
$j25g$	79.45	-24.05	66.85	71.04	110	$y20l$
$j50g$	69.75	-38.03	49.98	62.8	127	$y46l$
$j75g$	61.38	-50.1	35.41	61.35	145	$y72l$
$g00b$	52.6	-62.77	20.12	65.92	162	$y99l$
$g25b$	55.39	-47.66	-8.06	48.34	190	$l36c$
$g50b$	57.43	-36.92	-27.8	46.22	217	$l72c$
$g75b$	55.19	-21.2	-44.17	48.99	244	$c11v$
$b00r$	41.84	1.31	-43.28	43.3	272	$c56v$
$b25r$	29.72	24.12	-41.48	47.98	300	$v04m$
$b50r$	38.41	44.74	-27.3	52.41	329	$v55m$
$b75r$	49.41	70.07	-3.62	70.16	357	$m11o$



%Umfang
 $u^*_{rel} = 83$
%Regularität
 $g^*_{H,rel} = 72$
 $g^*_{C,rel} = 57$

ORS20_95a; adaptierte CIELAB-Daten					
Name	$L^*=L^*_a$	a^*_a	b^*_a	$C^*_{ab,a}$	$h^*_{ab,a}$
O_{Ma}	48.71	62.56	37.91	73.15	31
Y_{Ma}	89.25	-9.92	83.91	84.49	97
L_{Ma}	52.5	-62.91	19.95	66.0	162
C_{Ma}	59.15	-27.87	-44.43	52.45	238
V_{Ma}	29.13	22.73	-42.44	48.14	298
M_{Ma}	49.51	71.08	-9.19	71.67	353
N_{Ma}	20.0	0.0	0.0	0.0	0
W_{Ma}	95.0	0.0	0.0	0.0	0
R_{CIE}	39.92	58.74	27.99	65.07	25
J_{CIE}	81.26	-2.89	71.56	71.62	92
G_{CIE}	52.23	-42.42	13.6	44.55	162
B_{CIE}	30.57	1.41	-46.47	46.49	272



Ein und Ausgabe: Farbmetrisches Drucker-Reflektiv-System ORS20_95a für relativen CIELAB-Buntton $h^* = lab^*h^* = h_{ab}/360 = 0.071$

Daten für jede Farbe:

lab^*tch^* und lab^*icu^*

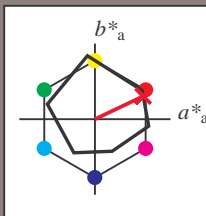
Bunttontexte:

$u^*_e = r00j$ $u^*_d = m84o$

Kontrastreduzierungsfaktor:

$c_R = 0.96$

Dreiecks-Helligkeit i^*



ORS20_95a; adaptierte CIELAB-Daten

u^*_e	$L^*=L^*_a$	a^*_a	b^*_a	$C^*_{ab,a}$	$h^*_{ab,a}$
O _{Ma}	48.71	62.56	37.91	73.15	31
Y _{Ma}	89.25	-9.92	83.91	84.49	97
L _{Ma}	52.5	-62.91	19.95	66.0	162
C _{Ma}	59.15	-27.87	-44.43	52.45	238
V _{Ma}	29.13	22.73	-42.44	48.14	298
M _{Ma}	49.51	71.08	-9.19	71.67	353
N _{Ma}	20.0	0.0	0.0	0.0	0
W _{Ma}	95.0	0.0	0.0	0.0	0
R _{Ma}	39.92	58.74	27.99	65.07	25
J _{Ma}	81.26	-2.89	71.56	71.62	92
G _{Ma}	52.23	-42.42	13.6	44.55	162
B _{Ma}	30.57	1.41	-46.47	46.49	272

Daten für Maximalfarbe (Ma):

$LAB^*LAB^*_{Ma}$: 49 64 30

$LAB^*LCH^*_{Ma}$: 49 71 25

$lab^*rgb^*_{Ma}$: 1.0 0.0 0.0

$lab^*olv^*_{Ma}$: 1.0 0.0 0.15

Dreiecks-Helligkeit i^*

%Umfang

$u^*_{rel} = 83$

%Regularität

$g^*_{H,rel} = 72$

$g^*_{C,rel} = 57$

ORS20_95a; adaptierte CIELAB-Daten

u^*_e	$L^*=L^*_a$	a^*_a	b^*_a	$C^*_{ab,a}$	$h^*_{ab,a}$	u^*_d
r00j	48.83	63.91	30.45	70.79	25	m84o
r25j	55.53	50.37	45.65	67.97	42	o17y
r50j	64.76	33.86	56.12	65.55	59	o42y
r75j	74.12	17.13	66.74	68.9	76	o67y
j00g	85.5	-3.22	79.65	79.72	92	o92y
j25g	79.45	-24.05	66.85	71.04	110	y20l
j50g	69.75	-38.03	49.98	62.8	127	y46l
j75g	61.38	-50.1	35.41	61.35	145	y72l
g00b	52.6	-62.77	20.12	65.92	162	y99l
g25b	55.39	-47.66	-8.06	48.34	190	l36c
g50b	57.43	-36.92	-27.8	46.22	217	l72c
g75b	55.19	-21.2	-44.17	48.99	244	c11v
b00r	41.84	1.31	-43.28	43.3	272	c56v
b25r	29.72	24.12	-41.48	47.98	300	v04m
b50r	38.41	44.74	-27.3	52.41	329	v55m
b75r	49.41	70.07	-3.62	70.16	357	m11o

$LAB^*LAB^*_{a}$

$i^* = 1.00$

Brillantheit i^*

$i^* = 0.80$

$i^* = 0.60$

$i^* = 0.40$

$i^* = 0.20$

Ein und Ausgabe: Farbmetrisches Drucker-Reflektiv-System ORS20_95a für relativen CIELAB-Buntton $h^* = lab^*h^* = h_{ab}/360 = 0.117$

Daten für jede Farbe:

lab^*tch^* und lab^*icu^*

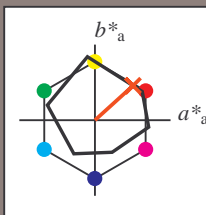
Bunttontexte:

$u^*_e = r25j$ $u^*_d = o17y$

Kontrastreduzierungsfaktor:

$c_R = 0.96$

Dreiecks-Helligkeit i^*



ORS20_95a; adaptierte CIELAB-Daten

u^*_e	$L^*=L^*_a$	a^*_a	b^*_a	$C^*_{ab,a}$	$h^*_{ab,a}$
O _{Ma}	48.71	62.56	37.91	73.15	31
Y _{Ma}	89.25	-9.92	83.91	84.49	97
L _{Ma}	52.5	-62.91	19.95	66.0	162
C _{Ma}	59.15	-27.87	-44.43	52.45	238
V _{Ma}	29.13	22.73	-42.44	48.14	298
M _{Ma}	49.51	71.08	-9.19	71.67	353
N _{Ma}	20.0	0.0	0.0	0.0	0
W _{Ma}	95.0	0.0	0.0	0.0	0
R _{Ma}	39.92	58.74	27.99	65.07	25
J _{Ma}	81.26	-2.89	71.56	71.62	92
G _{Ma}	52.23	-42.42	13.6	44.55	162
B _{Ma}	30.57	1.41	-46.47	46.49	272

Daten für Maximalfarbe (Ma):

$LAB^*LAB^*_{Ma}$: 56 50 46

$LAB^*LCH^*_{Ma}$: 56 68 42

$lab^*rgb^*_{Ma}$: 1.0 0.25 0.0

$lab^*olv^*_{Ma}$: 1.0 0.17 0.0

Dreiecks-Helligkeit i^*

%Umfang

$u^*_{rel} = 83$

%Regularität

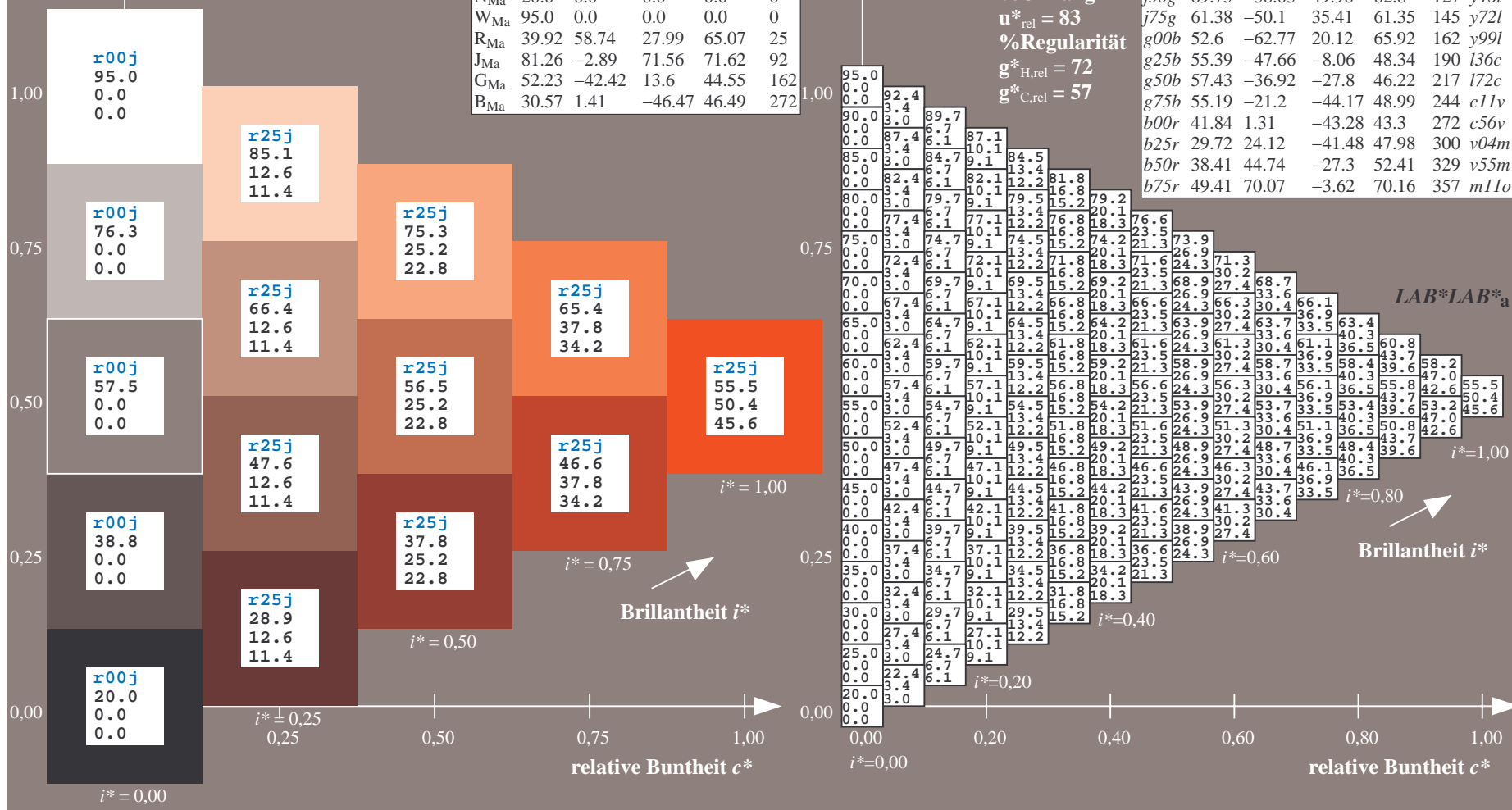
$g^*_{H,rel} = 72$

$g^*_{C,rel} = 57$

ORS20_95a; adaptierte CIELAB-Daten

u^*_e	$L^*=L^*_a$	a^*_a	b^*_a	$C^*_{ab,a}$	$h^*_{ab,a}$	u^*_d
r00j	48.83	63.91	30.45	70.79	25	m84o
r25j	55.53	50.37	45.65	67.97	42	o17y
r50j	64.76	33.86	56.12	65.55	59	o42y
r75j	74.12	17.13	66.74	68.9	76	o67y
j00g	85.5	-3.22	79.65	79.72	92	o92y
j25g	79.45	-24.05	66.85	71.04	110	y20l
j50g	69.75	-38.03	49.98	62.8	127	y46l
j75g	61.38	-50.1	35.41	61.35	145	y72l
g00b	52.6	-62.77	20.12	65.92	162	y99l
g25b	55.39	-47.66	-8.06	48.34	190	l36c
g50b	57.43	-36.92	-27.8	46.22	217	l72c
g75b	55.19	-21.2	-44.17	48.99	244	c11v
b00r	41.84	1.31	-43.28	43.3	272	c56v
b25r	29.72	24.12	-41.48	47.98	300	v04m
b50r	38.41	44.74	-27.3	52.41	329	v55m
b75r	49.41	70.07	-3.62	70.16	357	m11o

$u^*_e = r25j$
 $LAB^*LAB^*_a$



Ein und Ausgabe: Farbmetrisches Drucker-Reflektiv-System ORS20_95a für relativen CIELAB-Buntton $h^* = lab^*h^* = h_{ab}/360 = 0.164$

Daten für jede Farbe:

lab^*ch^* und lab^*icu^*

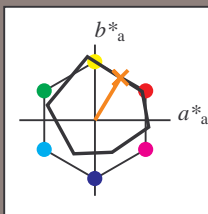
Bunttontexte:

$u^*_e = r50j$ $u^*_d = o42y$

Kontrastreduzierungsfaktor:

$c_R = 0.96$

Dreiecks-Helligkeit i^*



ORS20_95a; adaptierte CIELAB-Daten

u^*_e	$L^*=L^*_a$	a^*_a	b^*_a	$C^*_{ab,a}$	$h^*_{ab,a}$
O _{Ma}	48.71	62.56	37.91	73.15	31
Y _{Ma}	89.25	-9.92	83.91	84.49	97
L _{Ma}	52.5	-62.91	19.95	66.0	162
C _{Ma}	59.15	-27.87	-44.43	52.45	238
V _{Ma}	29.13	22.73	-42.44	48.14	298
M _{Ma}	49.51	71.08	-9.19	71.67	353
N _{Ma}	20.0	0.0	0.0	0.0	0
W _{Ma}	95.0	0.0	0.0	0.0	0
R _{Ma}	39.92	58.74	27.99	65.07	25
J _{Ma}	81.26	-2.89	71.56	71.62	92
G _{Ma}	52.23	-42.42	13.6	44.55	162
B _{Ma}	30.57	1.41	-46.47	46.49	272

Daten für Maximalfarbe (Ma):

$LAB^*LAB^*_{Ma}$: 65 34 56

$LAB^*LCH^*_{Ma}$: 65 66 58

$lab^*rgb^*_{Ma}$: 1.0 0.5 0.0

$lab^*olv^*_{Ma}$: 1.0 0.42 0.0

Dreiecks-Helligkeit i^*

%Umfang

$u^*_{rel} = 83$

%Regularität

$g^*_{H,rel} = 72$

$g^*_{C,rel} = 57$

ORS20_95a; adaptierte CIELAB-Daten

u^*_e	$L^*=L^*_a$	a^*_a	b^*_a	$C^*_{ab,a}$	$h^*_{ab,a}$	u^*_d
r00j	48.83	63.91	30.45	70.79	25	m84o
r25j	55.53	50.37	45.65	67.97	42	o17y
r50j	64.76	33.86	56.12	65.55	59	o42y
r75j	74.12	17.13	66.74	68.9	76	o67y
j00g	85.5	-3.22	79.65	79.72	92	o92y
j25g	79.45	-24.05	66.85	71.04	110	y20l
j50g	69.75	-38.03	49.98	62.8	127	y46l
j75g	61.38	-50.1	35.41	61.35	145	y72l
g00b	52.6	-62.77	20.12	65.92	162	y99l
g25b	55.39	-47.66	-8.06	48.34	190	l36c
g50b	57.43	-36.92	-27.8	46.22	217	l72c
g75b	55.19	-21.2	-44.17	48.99	244	c11v
b00r	41.84	1.31	-43.28	43.3	272	c56v
b25r	29.72	24.12	-41.48	47.98	300	v04m
b50r	38.41	44.74	-27.3	52.41	329	v55m
b75r	49.41	70.07	-3.62	70.16	357	m11o

$u^*_e = r50j$
 $LAB^*LAB^*_a$

$LAB^*LAB^*_a$

$i^* = 1.00$

Brillantheit i^*

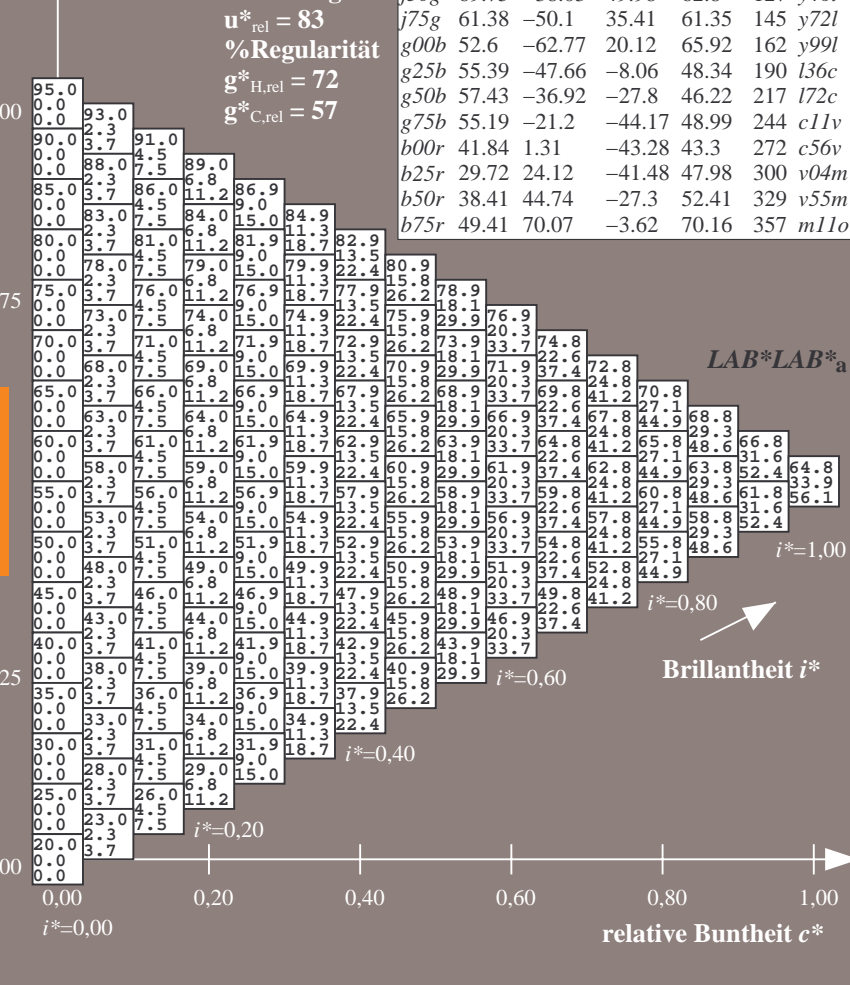
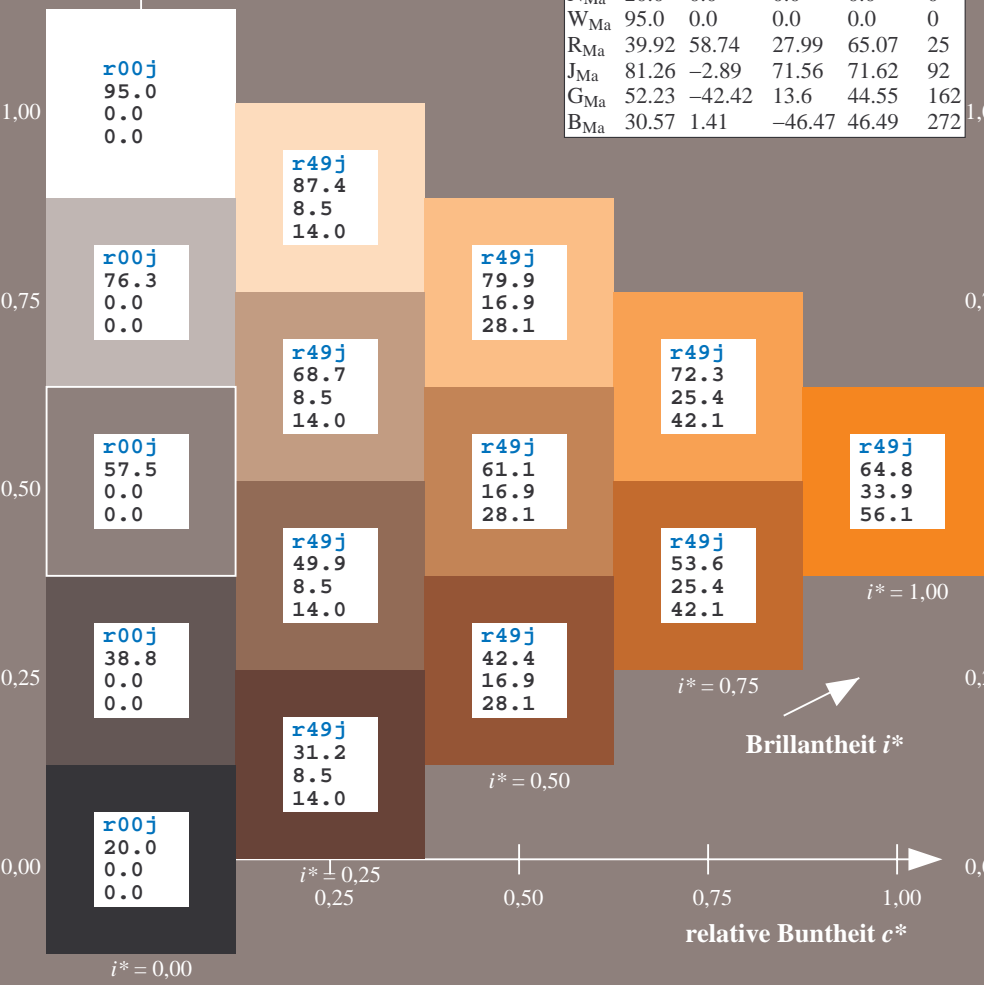
$i^* = 0.80$

$i^* = 0.60$

$i^* = 0.40$

$i^* = 0.20$

$i^* = 0.00$



Ein und Ausgabe: Farbmetrisches Drucker-Reflektiv-System ORS20_95a für relativen CIELAB-Buntton $h^* = lab^*h^* = h_{ab}/360 = 0.21$

Daten für jede Farbe:

lab^*tch^* und lab^*icu^*

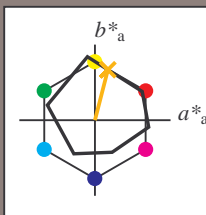
Bunttontexte:

$u^*_e = r75j$ $u^*_d = o67y$

Kontrastreduzierungsfaktor:

$c_R = 0.96$

Dreiecks-Helligkeit i^*



ORS20_95a; adaptierte CIELAB-Daten

	u^*_e	$L^*=L^*_a$	a^*_a	b^*_a	$C^*_{ab,a}$	$h^*_{ab,a}$
O _{Ma}	48.71	62.56	37.91	73.15	31	
Y _{Ma}	89.25	-9.92	83.91	84.49	97	
L _{Ma}	52.5	-62.91	19.95	66.0	162	
C _{Ma}	59.15	-27.87	-44.43	52.45	238	
V _{Ma}	29.13	22.73	-42.44	48.14	298	
M _{Ma}	49.51	71.08	-9.19	71.67	353	
N _{Ma}	20.0	0.0	0.0	0.0	0	
W _{Ma}	95.0	0.0	0.0	0.0	0	
R _{Ma}	39.92	58.74	27.99	65.07	25	
J _{Ma}	81.26	-2.89	71.56	71.62	92	
G _{Ma}	52.23	-42.42	13.6	44.55	162	
B _{Ma}	30.57	1.41	-46.47	46.49	272	

Daten für Maximalfarbe (Ma):

$LAB^*LAB^*_{Ma}$: 74 17 67

$LAB^*LCH^*_{Ma}$: 74 69 75

$lab^*rgb^*_{Ma}$: 1.0 0.75 0.0

$lab^*olv^*_{Ma}$: 1.0 0.68 0.0

Dreiecks-Helligkeit i^*

%Umfang

$u^*_{rel} = 83$

%Regularität

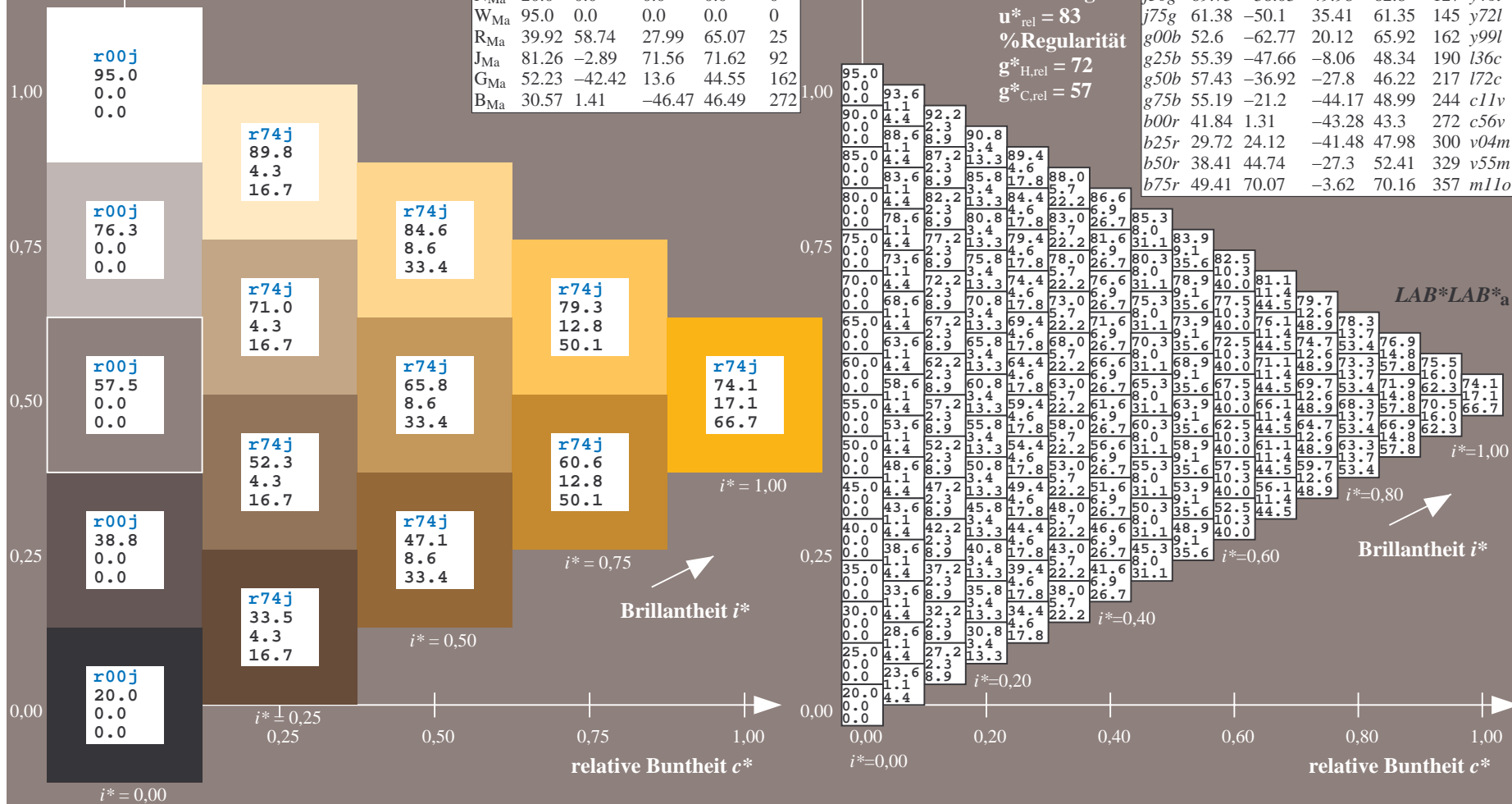
$g^*_{H,rel} = 72$

$g^*_{C,rel} = 57$

ORS20_95a; adaptierte CIELAB-Daten

	u^*_e	$L^*=L^*_a$	a^*_a	b^*_a	$C^*_{ab,a}$	$h^*_{ab,a}$	u^*_d
r00j	48.83	63.91	30.45	70.79	25	m84o	
r25j	55.53	50.37	45.65	67.97	42	o17y	
r50j	64.76	33.86	56.12	65.55	59	o42y	
r75j	74.12	17.13	66.74	68.9	76	o67y	
j00g	85.5	-3.22	79.65	79.72	92	o92y	
j25g	79.45	-24.05	66.85	71.04	110	y20l	
j50g	69.75	-38.03	49.98	62.8	127	y46l	
j75g	61.38	-50.1	35.41	61.35	145	y72l	
g00b	52.6	-62.77	20.12	65.92	162	y99l	
g25b	55.39	-47.66	-8.06	48.34	190	l36c	
g50b	57.43	-36.92	-27.8	46.22	217	l72c	
g75b	55.19	-21.2	-44.17	48.99	244	c11v	
b00r	41.84	1.31	-43.28	43.3	272	c56v	
b25r	29.72	24.12	-41.48	47.98	300	v04m	
b50r	38.41	44.74	-27.3	52.41	329	v55m	
b75r	49.41	70.07	-3.62	70.16	357	m11o	

$u^*_e = r75j$
 $LAB^*LAB^*_a$



Ein und Ausgabe: Farbmetrisches Drucker-Reflektiv-System ORS20_95a für relativen CIELAB-Buntton $h^* = lab^*h^* = h_{ab}/360 = 0.256$

Daten für jede Farbe:

lab^*tch^* und lab^*icu^*

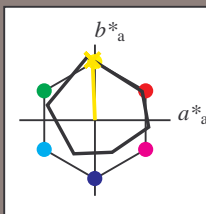
Bunttontexte:

$u^*_e = j00g$ $u^*_d = o92y$

Kontrastreduzierungsfaktor:

$c_R = 0.96$

Dreiecks-Helligkeit i^*



ORS20_95a; adaptierte CIELAB-Daten

	u^*_e	$L^*=L^*_a$	a^*_a	b^*_a	$C^*_{ab,a}$	$h^*_{ab,a}$
O _{Ma}	48.71	62.56	37.91	73.15	31	
Y _{Ma}	89.25	-9.92	83.91	84.49	97	
L _{Ma}	52.5	-62.91	19.95	66.0	162	
C _{Ma}	59.15	-27.87	-44.43	52.45	238	
V _{Ma}	29.13	22.73	-42.44	48.14	298	
M _{Ma}	49.51	71.08	-9.19	71.67	353	
N _{Ma}	20.0	0.0	0.0	0.0	0	
W _{Ma}	95.0	0.0	0.0	0.0	0	
R _{Ma}	39.92	58.74	27.99	65.07	25	
J _{Ma}	81.26	-2.89	71.56	71.62	92	
G _{Ma}	52.23	-42.42	13.6	44.55	162	
B _{Ma}	30.57	1.41	-46.47	46.49	272	

Daten für Maximalfarbe (Ma):

$LAB^*LAB^*_{Ma}$: 86 -3 80

$LAB^*LCH^*_{Ma}$: 86 80 92

$lab^*rgb^*_{Ma}$: 1.0 1.0 0.0

$lab^*olv^*_{Ma}$: 1.0 0.93 0.0

Dreiecks-Helligkeit i^*

%Umfang

$u^*_{rel} = 83$

%Regularität

$g^*_{H,rel} = 72$

$g^*_{C,rel} = 57$

ORS20_95a; adaptierte CIELAB-Daten

	u^*_e	$L^*=L^*_a$	a^*_a	b^*_a	$C^*_{ab,a}$	$h^*_{ab,a}$	u^*_d
r00j	48.83	63.91	30.45	70.79	25	m84o	
r25j	55.53	50.37	45.65	67.97	42	o17y	
r50j	64.76	33.86	56.12	65.55	59	o42y	
r75j	74.12	17.13	66.74	68.9	76	o67y	
j00g	85.5	-3.22	79.65	79.72	92	o92y	
j25g	79.45	-24.05	66.85	71.04	110	y20l	
j50g	69.75	-38.03	49.98	62.8	127	y46l	
j75g	61.38	-50.1	35.41	61.35	145	y72l	
g00b	52.6	-62.77	20.12	65.92	162	y99l	
g25b	55.39	-47.66	-8.06	48.34	190	l36c	
g50b	57.43	-36.92	-27.8	46.22	217	l72c	
g75b	55.19	-21.2	-44.17	48.99	244	c11v	
b00r	41.84	1.31	-43.28	43.3	272	c56v	
b25r	29.72	24.12	-41.48	47.98	300	v04m	
b50r	38.41	44.74	-27.3	52.41	329	v55m	
b75r	49.41	70.07	-3.62	70.16	357	m11o	

$LAB^*LAB^*_{Ma}$

$i^*=1.00$

Brillantheit i^*

$i^*=0.80$

$i^*=0.60$

$i^*=0.40$

$i^*=0.20$

$i^*=0.00$

relative Buntheit c^*

relative Buntheit c^*

Ein und Ausgabe: Farbmetrisches Drucker-Reflektiv-System ORS20_95a für relativen CIELAB-Buntton $h^* = lab^*h^* = h_{ab}/360 = 0.305$

Daten für jede Farbe:

lab^*ch^* und lab^*icu^*

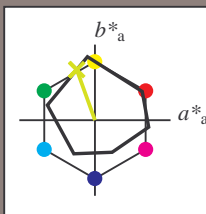
Bunttontexte:

$u^*_e = j25g$ $u^*_d = y20l$

Kontrastreduzierungsfaktor:

$c_R = 0.96$

Dreiecks-Helligkeit i^*



ORS20_95a; adaptierte CIELAB-Daten

u^*_e	$L^*=L^*_a$	a^*_a	b^*_a	$C^*_{ab,a}$	$h^*_{ab,a}$
O _{Ma}	48.71	62.56	37.91	73.15	31
Y _{Ma}	89.25	-9.92	83.91	84.49	97
L _{Ma}	52.5	-62.91	19.95	66.0	162
C _{Ma}	59.15	-27.87	-44.43	52.45	238
V _{Ma}	29.13	22.73	-42.44	48.14	298
M _{Ma}	49.51	71.08	-9.19	71.67	353
N _{Ma}	20.0	0.0	0.0	0.0	0
W _{Ma}	95.0	0.0	0.0	0.0	0
R _{Ma}	39.92	58.74	27.99	65.07	25
J _{Ma}	81.26	-2.89	71.56	71.62	92
G _{Ma}	52.23	-42.42	13.6	44.55	162
B _{Ma}	30.57	1.41	-46.47	46.49	272

Daten für Maximalfarbe (Ma):

$LAB^*LAB^*_{Ma}$: 79 -24 67

$LAB^*LCH^*_{Ma}$: 79 71 109

$lab^*rgb^*_{Ma}$: 0.75 1.0 0.0

$lab^*olv^*_{Ma}$: 0.8 1.0 0.0

Dreiecks-Helligkeit i^*

%Umfang

$u^*_{rel} = 83$

%Regularität

$g^*_{H,rel} = 72$

$g^*_{C,rel} = 57$

ORS20_95a; adaptierte CIELAB-Daten

u^*_e	$L^*=L^*_a$	a^*_a	b^*_a	$C^*_{ab,a}$	$h^*_{ab,a}$	u^*_d
r00j	48.83	63.91	30.45	70.79	25	m84o
r25j	55.53	50.37	45.65	67.97	42	o17y
r50j	64.76	33.86	56.12	65.55	59	o42y
r75j	74.12	17.13	66.74	68.9	76	o67y
j00g	85.5	-3.22	79.65	79.72	92	o92y
j25g	79.45	-24.05	66.85	71.04	110	y20l
j50g	69.75	-38.03	49.98	62.8	127	y46l
j75g	61.38	-50.1	35.41	61.35	145	y72l
g00b	52.6	-62.77	20.12	65.92	162	y99l
g25b	55.39	-47.66	-8.06	48.34	190	l36c
g50b	57.43	-36.92	-27.8	46.22	217	l72c
g75b	55.19	-21.2	-44.17	48.99	244	c11v
b00r	41.84	1.31	-43.28	43.3	272	c56v
b25r	29.72	24.12	-41.48	47.98	300	v04m
b50r	38.41	44.74	-27.3	52.41	329	v55m
b75r	49.41	70.07	-3.62	70.16	357	m11o

$u^*_e = j25g$
 $LAB^*LAB^*_{Ma}$

$LAB^*LAB^*_{Ma}$

$i^* = 1.00$

Brillantheit i^*

$i^* = 0.80$

$i^* = 0.60$

$i^* = 0.40$

$i^* = 0.20$

$i^* = 0.00$

relative Buntheit c^*

relative Buntheit c^*

Ein und Ausgabe: Farbmetrisches Drucker-Reflektiv-System ORS20_95a für relativen CIELAB-Buntton $h^* = lab^*h^* = h_{ab}/360 = 0.354$

Daten für jede Farbe:

lab^*ch^* und lab^*icu^*

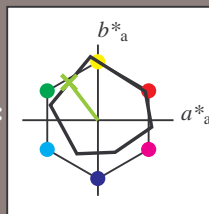
Bunttontexte:

$u^*_e = j50g$ $u^*_d = y46l$

Kontrastreduzierungsfaktor:

$c_R = 0.96$

Dreiecks-Helligkeit i^*



ORS20_95a; adaptierte CIELAB-Daten

	u^*_e	$L^*=L^*_a$	a^*_a	b^*_a	$C^*_{ab,a}$	$h^*_{ab,a}$
O _{Ma}	48.71	62.56	37.91	73.15	31	
Y _{Ma}	89.25	-9.92	83.91	84.49	97	
L _{Ma}	52.5	-62.91	19.95	66.0	162	
C _{Ma}	59.15	-27.87	-44.43	52.45	238	
V _{Ma}	29.13	22.73	-42.44	48.14	298	
M _{Ma}	49.51	71.08	-9.19	71.67	353	
N _{Ma}	20.0	0.0	0.0	0.0	0	
W _{Ma}	95.0	0.0	0.0	0.0	0	
R _{Ma}	39.92	58.74	27.99	65.07	25	
J _{Ma}	81.26	-2.89	71.56	71.62	92	
G _{Ma}	52.23	-42.42	13.6	44.55	162	
B _{Ma}	30.57	1.41	-46.47	46.49	272	

Daten für Maximalfarbe (Ma):

$LAB^*LAB^*_{Ma}$: 70 -38 50

$LAB^*LCH^*_{Ma}$: 70 63 127

$lab^*rgb^*_{Ma}$: 0.5 1.0 0.0

$lab^*olv^*_{Ma}$: 0.54 1.0 0.0

Dreiecks-Helligkeit i^*

%Umfang

$u^*_{rel} = 83$

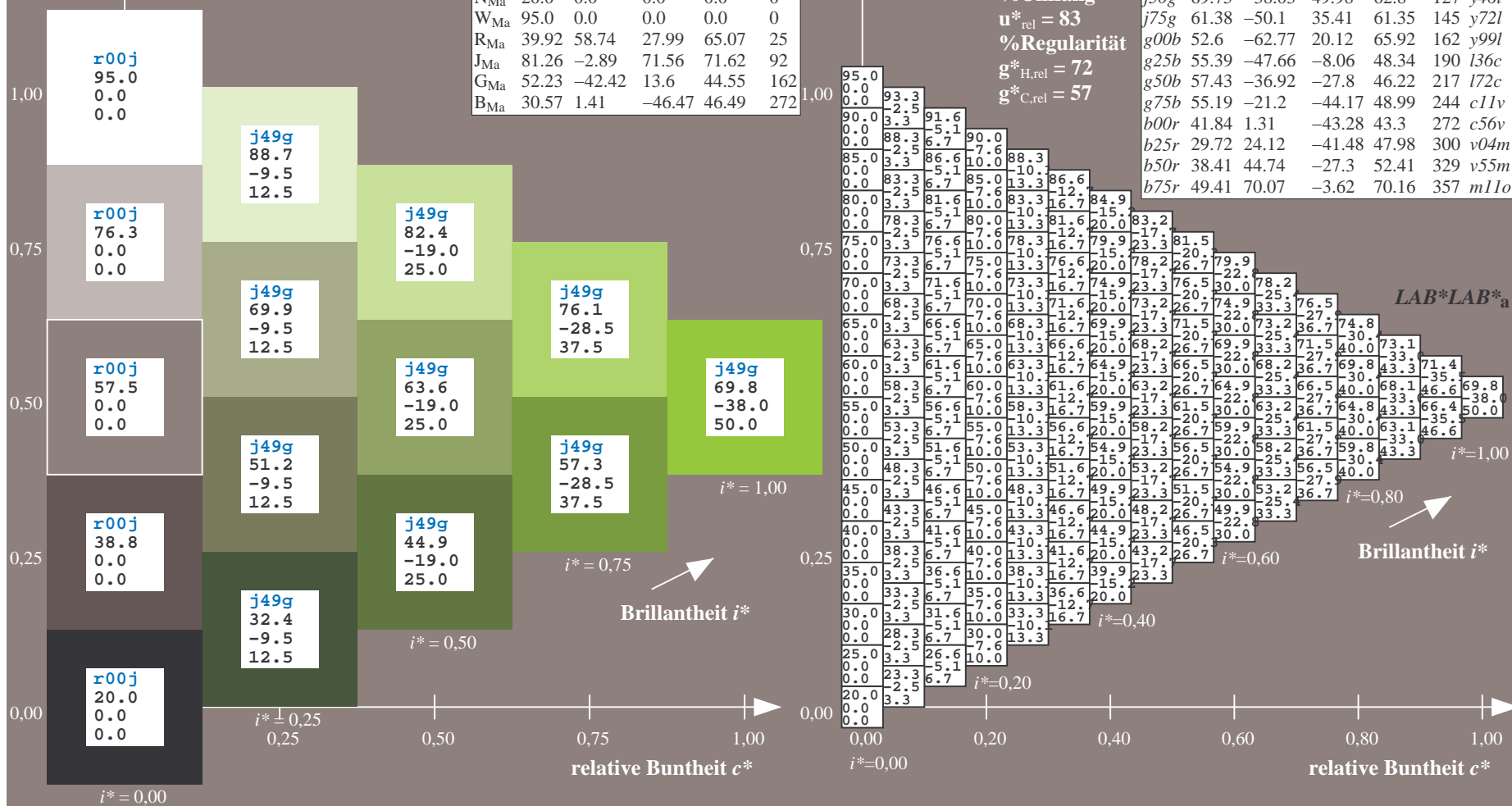
%Regularität

$g^*_{H,rel} = 72$

$g^*_{C,rel} = 57$

ORS20_95a; adaptierte CIELAB-Daten

	u^*_e	$L^*=L^*_a$	a^*_a	b^*_a	$C^*_{ab,a}$	$h^*_{ab,a}$	u^*_d
r00j	48.83	63.91	30.45	70.79	25	m84o	
r25j	55.53	50.37	45.65	67.97	42	o17y	
r50j	64.76	33.86	56.12	65.55	59	o42y	
r75j	74.12	17.13	66.74	68.9	76	o67y	
j00g	85.5	-3.22	79.65	79.72	92	o92y	
j25g	79.45	-24.05	66.85	71.04	110	y20l	
j50g	69.75	-38.03	49.98	62.8	127	y46l	
j75g	61.38	-50.1	35.41	61.35	145	y72l	
g00b	52.6	-62.77	20.12	65.92	162	y99l	
g25b	55.39	-47.66	-8.06	48.34	190	l36c	
g50b	57.43	-36.92	-27.8	46.22	217	l72c	
g75b	55.19	-21.2	-44.17	48.99	244	c11v	
b00r	41.84	1.31	-43.28	43.3	272	c56v	
b25r	29.72	24.12	-41.48	47.98	300	v04m	
b50r	38.41	44.74	-27.3	52.41	329	v55m	
b75r	49.41	70.07	-3.62	70.16	357	m11o	



Ein und Ausgabe: Farbmetrisches Drucker-Reflektiv-System ORS20_95a für relativen CIELAB-Buntton $h^* = lab^*h^* = h_{ab}/360 = 0.402$

Daten für jede Farbe:

lab^*ch^* und lab^*icu^*

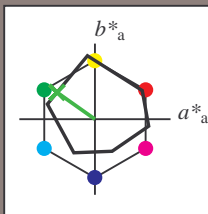
Bunttontexte:

$u^*_e = j75g$ $u^*_d = y72l$

Kontrastreduzierungsfaktor:

$c_R = 0.96$

Dreiecks-Helligkeit i^*



ORS20_95a; adaptierte CIELAB-Daten

u^*_e	$L^*=L^*_a$	a^*_a	b^*_a	$C^*_{ab,a}$	$h^*_{ab,a}$
O _{Ma}	48.71	62.56	37.91	73.15	31
Y _{Ma}	89.25	-9.92	83.91	84.49	97
L _{Ma}	52.5	-62.91	19.95	66.0	162
C _{Ma}	59.15	-27.87	-44.43	52.45	238
V _{Ma}	29.13	22.73	-42.44	48.14	298
M _{Ma}	49.51	71.08	-9.19	71.67	353
N _{Ma}	20.0	0.0	0.0	0.0	0
W _{Ma}	95.0	0.0	0.0	0.0	0
R _{Ma}	39.92	58.74	27.99	65.07	25
J _{Ma}	81.26	-2.89	71.56	71.62	92
G _{Ma}	52.23	-42.42	13.6	44.55	162
B _{Ma}	30.57	1.41	-46.47	46.49	272

Daten für Maximalfarbe (Ma):

$LAB^*LAB^*_{Ma}$: 61 -50 35

$LAB^*LCH^*_{Ma}$: 61 61 144

$lab^*rgb^*_{Ma}$: 0.25 1.0 0.0

$lab^*olv^*_{Ma}$: 0.27 1.0 0.0

Dreiecks-Helligkeit i^*

%Umfang

$u^*_{rel} = 83$

%Regularität

$g^*_{H,rel} = 72$

$g^*_{C,rel} = 57$

ORS20_95a; adaptierte CIELAB-Daten

u^*_e	$L^*=L^*_a$	a^*_a	b^*_a	$C^*_{ab,a}$	$h^*_{ab,a}$	u^*_d
r00j	48.83	63.91	30.45	70.79	25	m84o
r25j	55.53	50.37	45.65	67.97	42	o17y
r50j	64.76	33.86	56.12	65.55	59	o42y
r75j	74.12	17.13	66.74	68.9	76	o67y
j00g	85.5	-3.22	79.65	79.72	92	o92y
j25g	79.45	-24.05	66.85	71.04	110	y20l
j50g	69.75	-38.03	49.98	62.8	127	y46l
j75g	61.38	-50.1	35.41	61.35	145	y72l
g00b	52.6	-62.77	20.12	65.92	162	y99l
g25b	55.39	-47.66	-8.06	48.34	190	l36c
g50b	57.43	-36.92	-27.8	46.22	217	l72c
g75b	55.19	-21.2	-44.17	48.99	244	c11v
b00r	41.84	1.31	-43.28	43.3	272	c56v
b25r	29.72	24.12	-41.48	47.98	300	v04m
b50r	38.41	44.74	-27.3	52.41	329	v55m
b75r	49.41	70.07	-3.62	70.16	357	m11o

$LAB^*LAB^*_{a}$

$i^* = 1.00$

Brillantheit i^*

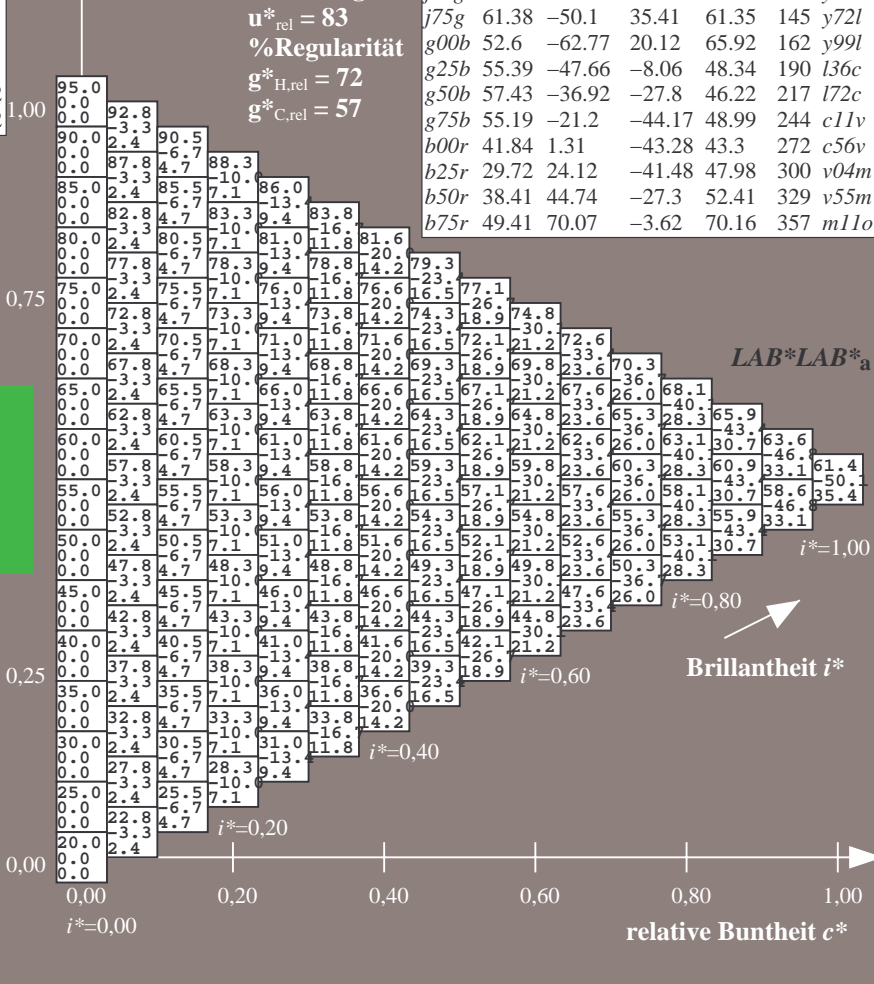
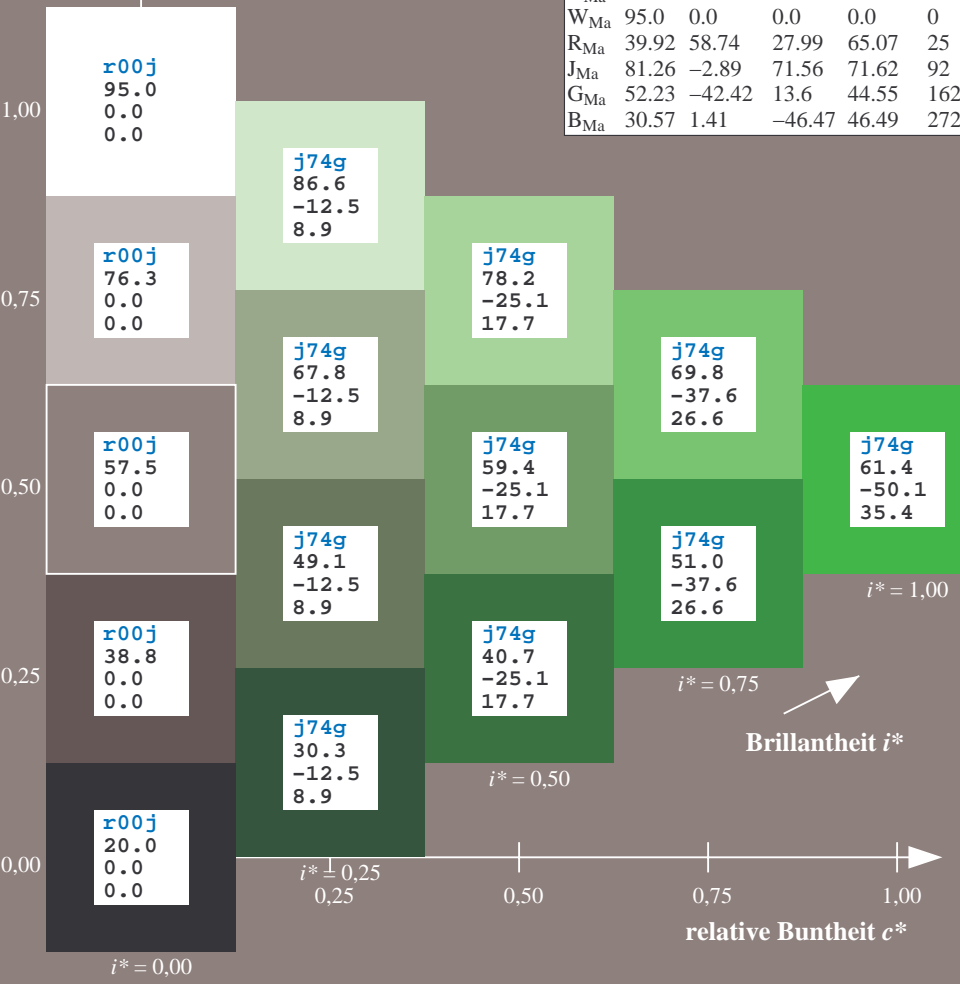
$i^* = 0.80$

$i^* = 0.60$

$i^* = 0.40$

$i^* = 0.20$

$i^* = 0.00$



Ein und Ausgabe: Farbmetrisches Drucker-Reflektiv-System ORS20_95a für relativen CIELAB-Buntton $h^* = lab^*h^* = h_{ab}/360 = 0.451$

Daten für jede Farbe:

lab^*ch^* und lab^*icu^*

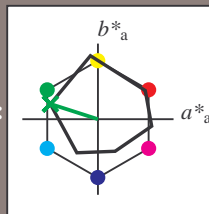
Bunttontexte:

$u^*_e = g00b$ $u^*_d = y99l$

Kontrastreduzierungsfaktor:

$c_R = 0.96$

Dreiecks-Helligkeit i^*



ORS20_95a; adaptierte CIELAB-Daten

u^*_e	$L^*=L^*_a$	a^*_a	b^*_a	$C^*_{ab,a}$	$h^*_{ab,a}$
O _{Ma}	48.71	62.56	37.91	73.15	31
Y _{Ma}	89.25	-9.92	83.91	84.49	97
L _{Ma}	52.5	-62.91	19.95	66.0	162
C _{Ma}	59.15	-27.87	-44.43	52.45	238
V _{Ma}	29.13	22.73	-42.44	48.14	298
M _{Ma}	49.51	71.08	-9.19	71.67	353
N _{Ma}	20.0	0.0	0.0	0.0	0
W _{Ma}	95.0	0.0	0.0	0.0	0
R _{Ma}	39.92	58.74	27.99	65.07	25
J _{Ma}	81.26	-2.89	71.56	71.62	92
G _{Ma}	52.23	-42.42	13.6	44.55	162
B _{Ma}	30.57	1.41	-46.47	46.49	272

Daten für Maximalfarbe (Ma):

$LAB^*LAB^*_{Ma}$: 53 -63 20

$LAB^*LCH^*_{Ma}$: 53 66 162

$lab^*rgb^*_{Ma}$: 0.0 1.0 0.0

$lab^*olv^*_{Ma}$: 0.0 1.0 0.0

Dreiecks-Helligkeit i^*

%Umfang

$u^*_{rel} = 83$

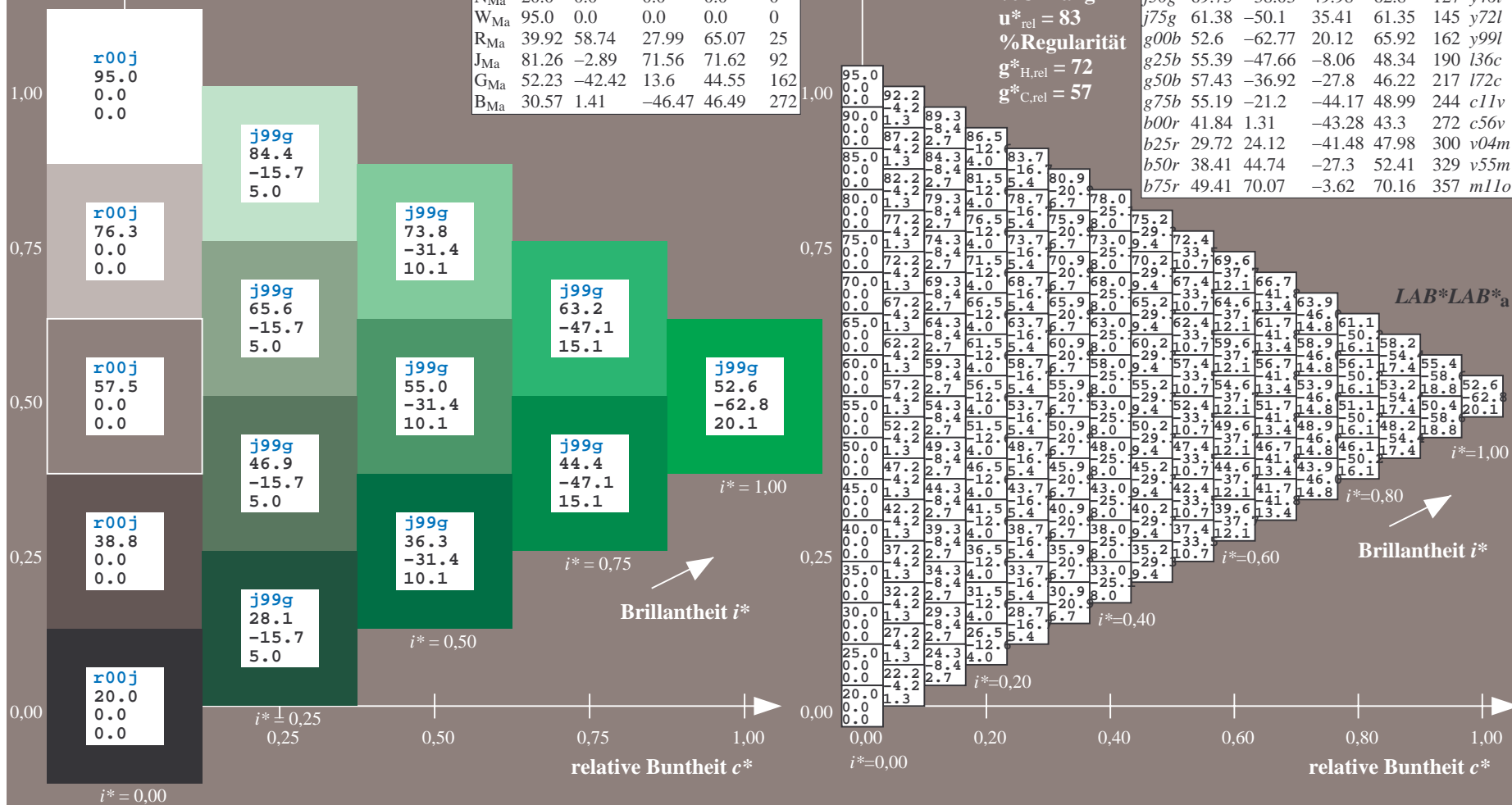
%Regularität

$g^*_{H,rel} = 72$

$g^*_{C,rel} = 57$

ORS20_95a; adaptierte CIELAB-Daten

u^*_e	$L^*=L^*_a$	a^*_a	b^*_a	$C^*_{ab,a}$	$h^*_{ab,a}$	u^*_d
r00j	48.83	63.91	30.45	70.79	25	m84o
r25j	55.53	50.37	45.65	67.97	42	o17y
r50j	64.76	33.86	56.12	65.55	59	o42y
r75j	74.12	17.13	66.74	68.9	76	o67y
j00g	85.5	-3.22	79.65	79.72	92	o92y
j25g	79.45	-24.05	66.85	71.04	110	y20l
j50g	69.75	-38.03	49.98	62.8	127	y46l
j75g	61.38	-50.1	35.41	61.35	145	y72l
g00b	52.6	-62.77	20.12	65.92	162	y99l
g25b	55.39	-47.66	-8.06	48.34	190	l36c
g50b	57.43	-36.92	-27.8	46.22	217	l72c
g75b	55.19	-21.2	-44.17	48.99	244	c11v
b00r	41.84	1.31	-43.28	43.3	272	c56v
b25r	29.72	24.12	-41.48	47.98	300	v04m
b50r	38.41	44.74	-27.3	52.41	329	v55m
b75r	49.41	70.07	-3.62	70.16	357	m11o



Ein und Ausgabe: Farbmetrisches Drucker-Reflektiv-System ORS20_95a für relativen CIELAB-Buntton $h^* = lab^*h^* = h_{ab}/360 = 0.527$

Daten für jede Farbe:

lab^*tch^* und lab^*icu^*

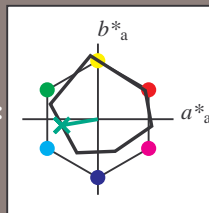
Bunttontexte:

$u^*_e = g25b$ $u^*_d = l36c$

Kontrastreduzierungsfaktor:

$c_R = 0.96$

Dreiecks-Helligkeit i^*



ORS20_95a; adaptierte CIELAB-Daten

u^*_e	$L^*=L^*_a$	a^*_a	b^*_a	$C^*_{ab,a}$	$h^*_{ab,a}$
O _{Ma}	48.71	62.56	37.91	73.15	31
Y _{Ma}	89.25	-9.92	83.91	84.49	97
L _{Ma}	52.5	-62.91	19.95	66.0	162
C _{Ma}	59.15	-27.87	-44.43	52.45	238
V _{Ma}	29.13	22.73	-42.44	48.14	298
M _{Ma}	49.51	71.08	-9.19	71.67	353
N _{Ma}	20.0	0.0	0.0	0.0	0
W _{Ma}	95.0	0.0	0.0	0.0	0
R _{Ma}	39.92	58.74	27.99	65.07	25
J _{Ma}	81.26	-2.89	71.56	71.62	92
G _{Ma}	52.23	-42.42	13.6	44.55	162
B _{Ma}	30.57	1.41	-46.47	46.49	272

Daten für Maximalfarbe (Ma):

$LAB^*LAB^*_{Ma}$: 55 -48 -8

$LAB^*LCH^*_{Ma}$: 55 48 189

$lab^*rgb^*_{Ma}$: 0.0 1.0 0.5

$lab^*olv^*_{Ma}$: 0.0 1.0 0.36

Dreiecks-Helligkeit i^*

%Umfang

$u^*_{rel} = 83$

%Regularität

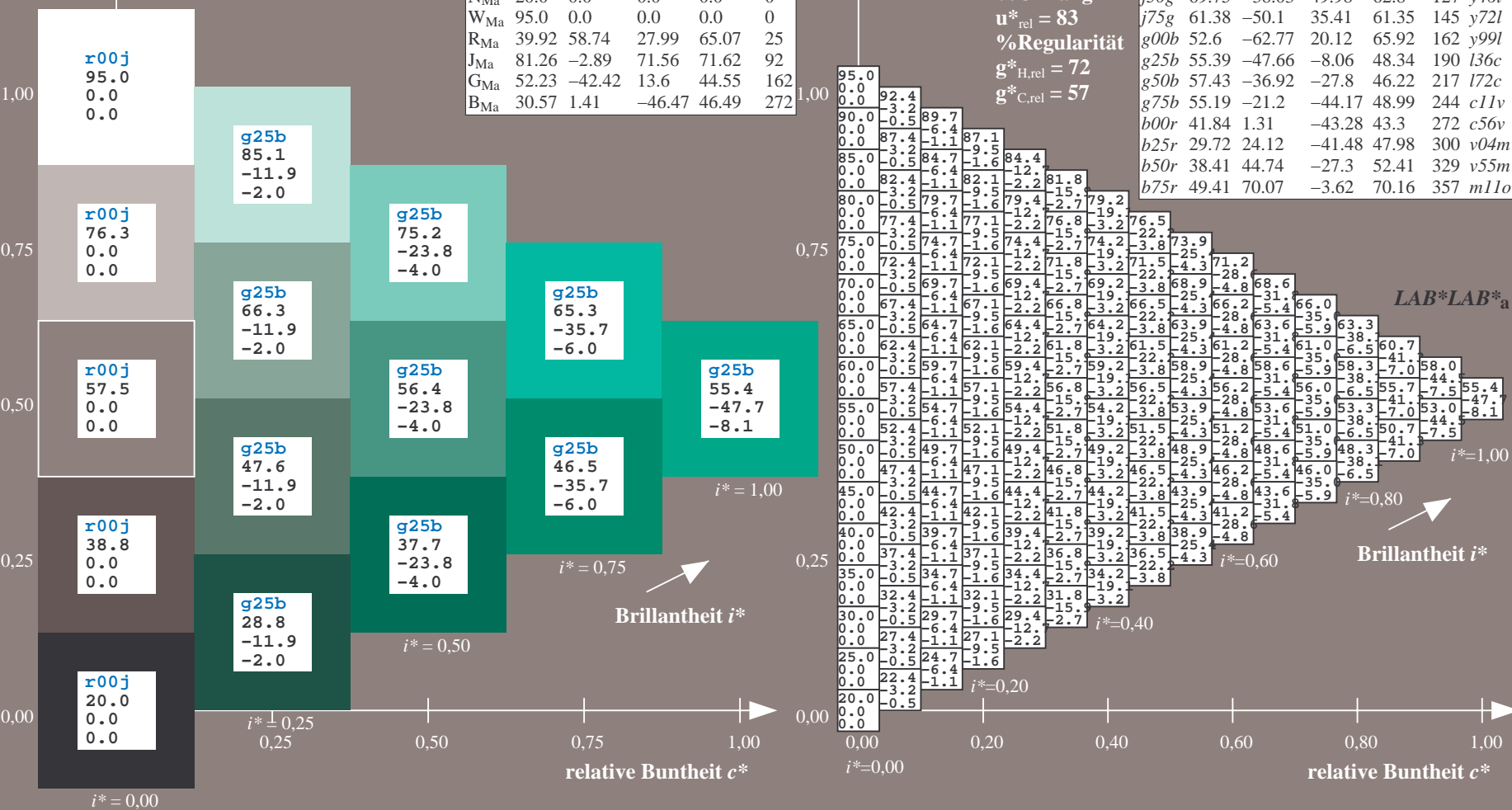
$g^*_{H,rel} = 72$

$g^*_{C,rel} = 57$

ORS20_95a; adaptierte CIELAB-Daten

u^*_e	$L^*=L^*_a$	a^*_a	b^*_a	$C^*_{ab,a}$	$h^*_{ab,a}$	u^*_d
r00j	48.83	63.91	30.45	70.79	25	m84o
r25j	55.53	50.37	45.65	67.97	42	o17y
r50j	64.76	33.86	56.12	65.55	59	o42y
r75j	74.12	17.13	66.74	68.9	76	o67y
j00g	85.5	-3.22	79.65	79.72	92	o92y
j25g	79.45	-24.05	66.85	71.04	110	y20l
j50g	69.75	-38.03	49.98	62.8	127	y46l
j75g	61.38	-50.1	35.41	61.35	145	y72l
g00b	52.6	-62.77	20.12	65.92	162	y99l
g25b	55.39	-47.66	-8.06	48.34	190	l36c
g50b	57.43	-36.92	-27.8	46.22	217	l72c
g75b	55.19	-21.2	-44.17	48.99	244	c11v
b00r	41.84	1.31	-43.28	43.3	272	c56v
b25r	29.72	24.12	-41.48	47.98	300	v04m
b50r	38.41	44.74	-27.3	52.41	329	v55m
b75r	49.41	70.07	-3.62	70.16	357	m11o

$u^*_e = g25b$
 $LAB^*LAB^*_a$



Ein und Ausgabe: Farbmetrisches Drucker-Reflektiv-System ORS20_95a für relativen CIELAB-Buntton $h^* = lab^*h^* = h_{ab}/360 = 0.603$

Daten für jede Farbe:

lab^*tch^* und lab^*icu^*

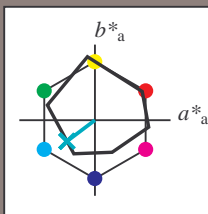
Bunttontexte:

$u^*_e = g50b$ $u^*_d = l72c$

Kontrastreduzierungsfaktor:

$c_R = 0.96$

Dreiecks-Helligkeit i^*



ORS20_95a; adaptierte CIELAB-Daten						
	u^*_e	$L^*=L^*_a$	a^*_a	b^*_a	$C^*_{ab,a}$	$h^*_{ab,a}$
O _{Ma}	48.71	62.56	37.91	73.15	31	
Y _{Ma}	89.25	-9.92	83.91	84.49	97	
L _{Ma}	52.5	-62.91	19.95	66.0	162	
C _{Ma}	59.15	-27.87	-44.43	52.45	238	
V _{Ma}	29.13	22.73	-42.44	48.14	298	
M _{Ma}	49.51	71.08	-9.19	71.67	353	
N _{Ma}	20.0	0.0	0.0	0.0	0	
W _{Ma}	95.0	0.0	0.0	0.0	0	
R _{Ma}	39.92	58.74	27.99	65.07	25	
J _{Ma}	81.26	-2.89	71.56	71.62	92	
G _{Ma}	52.23	-42.42	13.6	44.55	162	
B _{Ma}	30.57	1.41	-46.47	46.49	272	

Daten für Maximalfarbe (Ma):

$LAB^*LAB^*_{Ma}$: 57 -37 -28

$LAB^*LCH^*_{Ma}$: 57 46 216

$lab^*rgb^*_{Ma}$: 0.0 1.0 1.0

$lab^*olv^*_{Ma}$: 0.0 1.0 0.72

Dreiecks-Helligkeit i^*

%Umfang

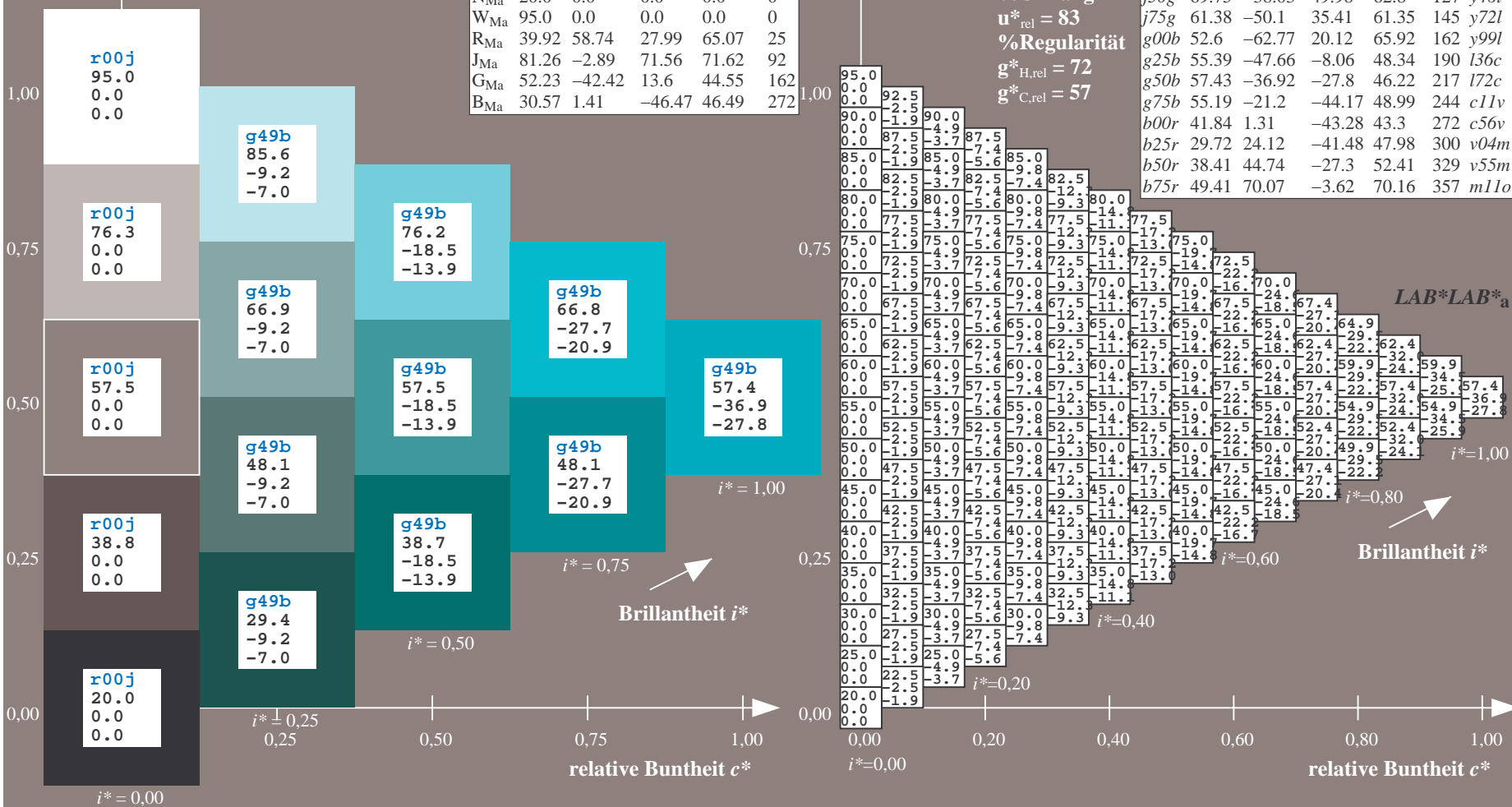
$u^*_{rel} = 83$

%Regularität

$g^*_{H,rel} = 72$

$g^*_{C,rel} = 57$

ORS20_95a; adaptierte CIELAB-Daten						
	u^*_e	$L^*=L^*_a$	a^*_a	b^*_a	$C^*_{ab,a}$	$h^*_{ab,a}$
r00j	48.83	63.91	30.45	70.79	25	m84o
r25j	55.53	50.37	45.65	67.97	42	o17y
r50j	64.76	33.86	56.12	65.55	59	o42y
r75j	74.12	17.13	66.74	68.9	76	o67y
j00g	85.5	-3.22	79.65	79.72	92	o92y
j25g	79.45	-24.05	66.85	71.04	110	y20l
j50g	69.75	-38.03	49.98	62.8	127	y46l
j75g	61.38	-50.1	35.41	61.35	145	y72l
g00b	52.6	-62.77	20.12	65.92	162	y99l
g25b	55.39	-47.66	-8.06	48.34	190	l36c
g50b	57.43	-36.92	-27.8	46.22	217	l72c
g75b	55.19	-21.2	-44.17	48.99	244	c11v
b00r	41.84	1.31	-43.28	43.3	272	c56v
b25r	29.72	24.12	-41.48	47.98	300	v04m
b50r	38.41	44.74	-27.3	52.41	329	v55m
b75r	49.41	70.07	-3.62	70.16	357	m11o



Ein und Ausgabe: Farbmetrisches Drucker-Reflektiv-System ORS20_95a für relativen CIELAB-Buntton $h^* = lab^*h^* = h_{ab}/360 = 0.679$

Daten für jede Farbe:

lab^*tch^* und lab^*icu^*

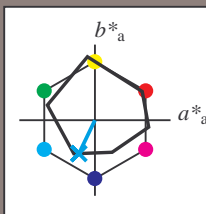
Bunttontexte:

$u^*_e = g75b$ $u^*_d = c11v$

Kontrastreduzierungsfaktor:

$c_R = 0.96$

Dreiecks-Helligkeit i^*



ORS20_95a; adaptierte CIELAB-Daten

	u^*_e	$L^*=L^*_a$	a^*_a	b^*_a	$C^*_{ab,a}$	$h^*_{ab,a}$
O _{Ma}	48.71	62.56	37.91	73.15	31	
Y _{Ma}	89.25	-9.92	83.91	84.49	97	
L _{Ma}	52.5	-62.91	19.95	66.0	162	
C _{Ma}	59.15	-27.87	-44.43	52.45	238	
V _{Ma}	29.13	22.73	-42.44	48.14	298	
M _{Ma}	49.51	71.08	-9.19	71.67	353	
N _{Ma}	20.0	0.0	0.0	0.0	0	
W _{Ma}	95.0	0.0	0.0	0.0	0	
R _{Ma}	39.92	58.74	27.99	65.07	25	
J _{Ma}	81.26	-2.89	71.56	71.62	92	
G _{Ma}	52.23	-42.42	13.6	44.55	162	
B _{Ma}	30.57	1.41	-46.47	46.49	272	

Daten für Maximalfarbe (Ma):

$LAB^*LAB^*_{Ma}$: 55 -21 -44

$LAB^*LCH^*_{Ma}$: 55 49 244

$lab^*rgb^*_{Ma}$: 0.0 0.5 1.0

$lab^*olv^*_{Ma}$: 0.0 0.89 1.0

Dreiecks-Helligkeit i^*

%Umfang

$u^*_{rel} = 83$

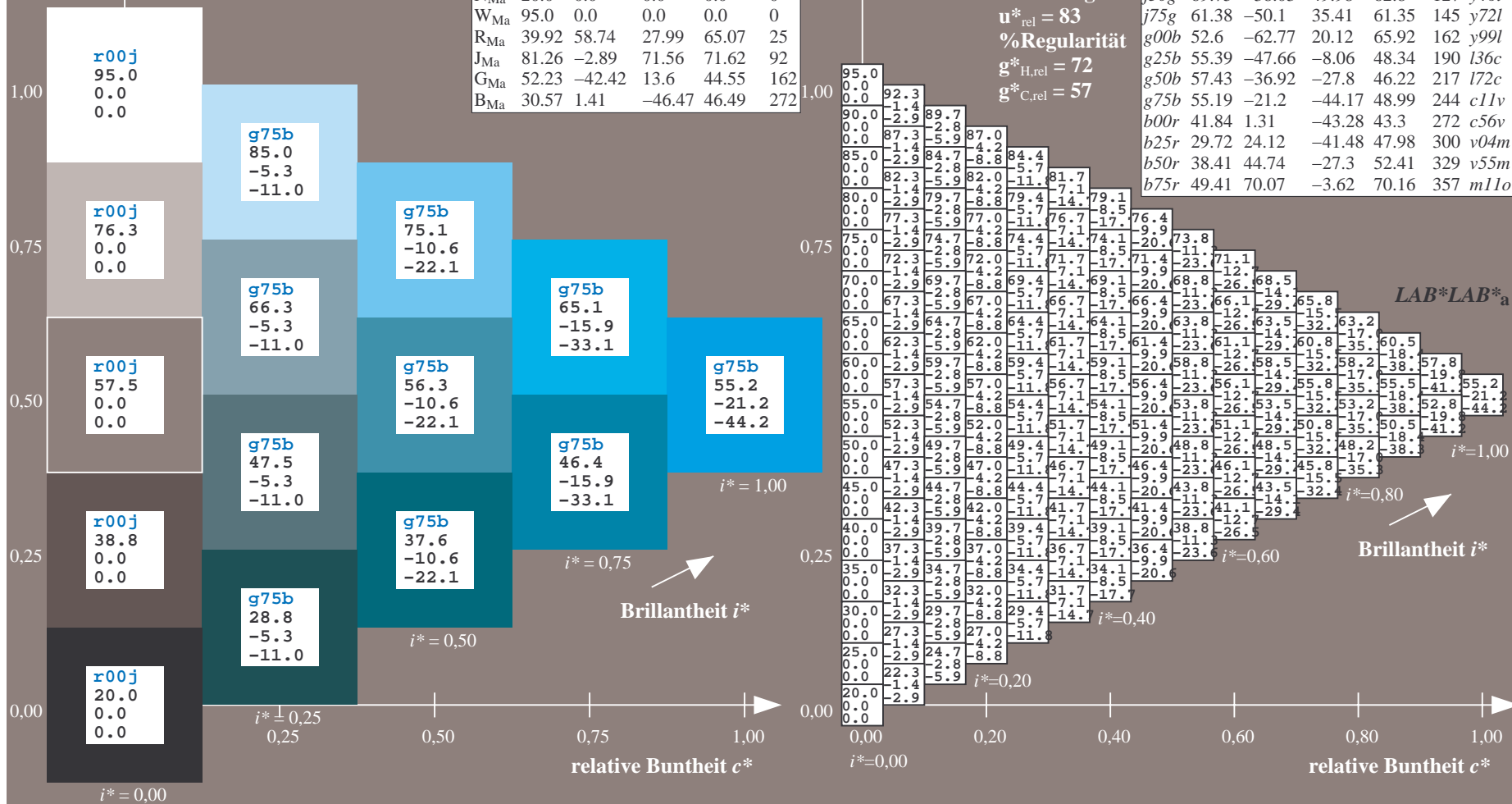
%Regularität

$g^*_{H,rel} = 72$

$g^*_{C,rel} = 57$

ORS20_95a; adaptierte CIELAB-Daten

	u^*_e	$L^*=L^*_a$	a^*_a	b^*_a	$C^*_{ab,a}$	$h^*_{ab,a}$	u^*_d
r00j	48.83	63.91	30.45	70.79	25	m84o	
r25j	55.53	50.37	45.65	67.97	42	o17y	
r50j	64.76	33.86	56.12	65.55	59	o42y	
r75j	74.12	17.13	66.74	68.9	76	o67y	
j00g	85.5	-3.22	79.65	79.72	92	o92y	
j25g	79.45	-24.05	66.85	71.04	110	y20l	
j50g	69.75	-38.03	49.98	62.8	127	y46l	
j75g	61.38	-50.1	35.41	61.35	145	y72l	
g00b	52.6	-62.77	20.12	65.92	162	y99l	
g25b	55.39	-47.66	-8.06	48.34	190	l36c	
g50b	57.43	-36.92	-27.8	46.22	217	l72c	
g75b	55.19	-21.2	-44.17	48.99	244	c11v	
b00r	41.84	1.31	-43.28	43.3	272	c56v	
b25r	29.72	24.12	-41.48	47.98	300	v04m	
b50r	38.41	44.74	-27.3	52.41	329	v55m	
b75r	49.41	70.07	-3.62	70.16	357	m11o	



Ein und Ausgabe: Farbmetrisches Drucker-Reflektiv-System ORS20_95a für relativen CIELAB-Buntton $h^* = lab^*h^* = h_{ab}/360 = 0.755$

Daten für jede Farbe:
 lab^*ch^* und lab^*icu^*

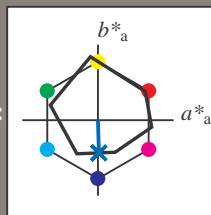
Bunttontexte:

$u^*_e = b00r$ $u^*_d = c56v$

Kontrastreduzierungsfaktor:

$c_R = 0.96$

Dreiecks-Helligkeit i^*



ORS20_95a; adaptierte CIELAB-Daten

u^*_e	$L^*=L^*_a$	a^*_a	b^*_a	$C^*_{ab,a}$	$h^*_{ab,a}$
O _{Ma}	48.71	62.56	37.91	73.15	31
Y _{Ma}	89.25	-9.92	83.91	84.49	97
L _{Ma}	52.5	-62.91	19.95	66.0	162
C _{Ma}	59.15	-27.87	-44.43	52.45	238
V _{Ma}	29.13	22.73	-42.44	48.14	298
M _{Ma}	49.51	71.08	-9.19	71.67	353
N _{Ma}	20.0	0.0	0.0	0.0	0
W _{Ma}	95.0	0.0	0.0	0.0	0
R _{Ma}	39.92	58.74	27.99	65.07	25
J _{Ma}	81.26	-2.89	71.56	71.62	92
G _{Ma}	52.23	-42.42	13.6	44.55	162
B _{Ma}	30.57	1.41	-46.47	46.49	272

Daten für Maximalfarbe (Ma):

$LAB^*LAB^*_{Ma}$: 42 1 -43

$LAB^*LCH^*_{Ma}$: 42 43 271

$lab^*rgb^*_{Ma}$: 0.0 0.0 1.0

$lab^*olv^*_{Ma}$: 0.0 0.44 1.0

Dreiecks-Helligkeit i^*

%Umfang

$u^*_{rel} = 83$

%Regularität

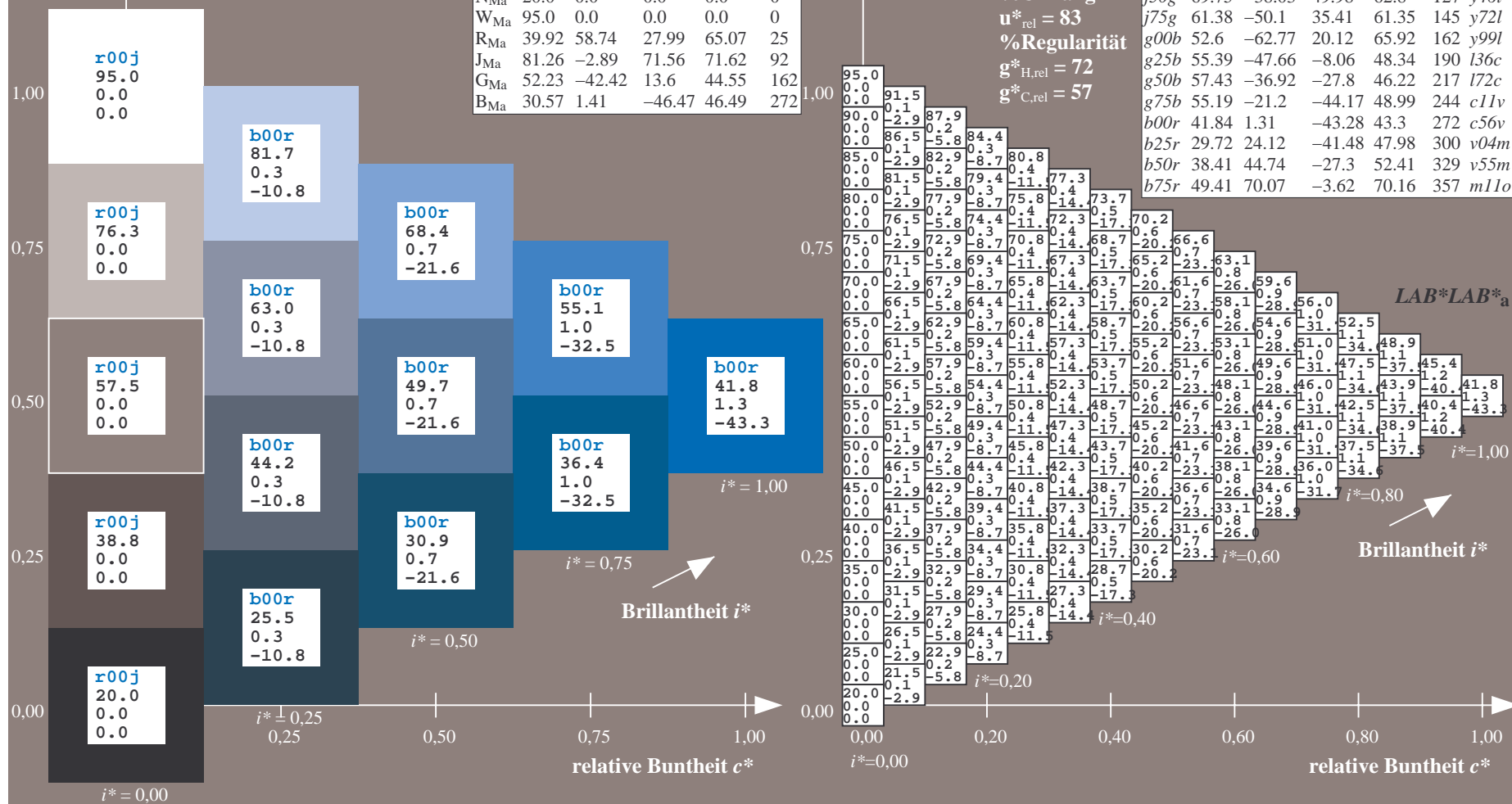
$g^*_{H,rel} = 72$

$g^*_{C,rel} = 57$

ORS20_95a; adaptierte CIELAB-Daten

u^*_e	$L^*=L^*_a$	a^*_a	b^*_a	$C^*_{ab,a}$	$h^*_{ab,a}$	u^*_d
r00j	48.83	63.91	30.45	70.79	25	m84o
r25j	55.53	50.37	45.65	67.97	42	o17y
r50j	64.76	33.86	56.12	65.55	59	o42y
r75j	74.12	17.13	66.74	68.9	76	o67y
j00g	85.5	-3.22	79.65	79.72	92	o92y
j25g	79.45	-24.05	66.85	71.04	110	y20l
j50g	69.75	-38.03	49.98	62.8	127	y46l
j75g	61.38	-50.1	35.41	61.35	145	y72l
g00b	52.6	-62.77	20.12	65.92	162	y99l
g25b	55.39	-47.66	-8.06	48.34	190	l36c
g50b	57.43	-36.92	-27.8	46.22	217	l72c
g75b	55.19	-21.2	-44.17	48.99	244	c11v
b00r	41.84	1.31	-43.28	43.3	272	c56v
b25r	29.72	24.12	-41.48	47.98	300	v04m
b50r	38.41	44.74	-27.3	52.41	329	v55m
b75r	49.41	70.07	-3.62	70.16	357	m11o

$u^*_e = b00r$
 $LAB^*LAB^*_a$



Ein und Ausgabe: Farbmetrisches Drucker-Reflektiv-System ORS20_95a für relativen CIELAB-Buntton $h^* = lab^*h^* = h_{ab}/360 = 0.834$

Daten für jede Farbe:

lab^*ch^* und lab^*icu^*

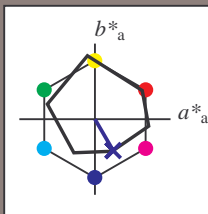
Bunttontexte:

$u^*_e = b25r$ $u^*_d = v04m$

Kontrastreduzierungsfaktor:

$c_R = 0.96$

Dreiecks-Helligkeit i^*



ORS20_95a; adaptierte CIELAB-Daten

u^*_e	$L^*=L^*_a$	a^*_a	b^*_a	$C^*_{ab,a}$	$h^*_{ab,a}$
O _{Ma}	48.71	62.56	37.91	73.15	31
Y _{Ma}	89.25	-9.92	83.91	84.49	97
L _{Ma}	52.5	-62.91	19.95	66.0	162
C _{Ma}	59.15	-27.87	-44.43	52.45	238
V _{Ma}	29.13	22.73	-42.44	48.14	298
M _{Ma}	49.51	71.08	-9.19	71.67	353
N _{Ma}	20.0	0.0	0.0	0.0	0
W _{Ma}	95.0	0.0	0.0	0.0	0
R _{Ma}	39.92	58.74	27.99	65.07	25
J _{Ma}	81.26	-2.89	71.56	71.62	92
G _{Ma}	52.23	-42.42	13.6	44.55	162
B _{Ma}	30.57	1.41	-46.47	46.49	272

Daten für Maximalfarbe (Ma):

$LAB^*LAB^*_{Ma}$: 30 24 -41

$LAB^*LCH^*_{Ma}$: 30 48 300

$lab^*rgb^*_{Ma}$: 0.5 0.0 1.0

$lab^*olv^*_{Ma}$: 0.04 0.0 1.0

Dreiecks-Helligkeit i^*

%Umfang

$u^*_{rel} = 83$

%Regularität

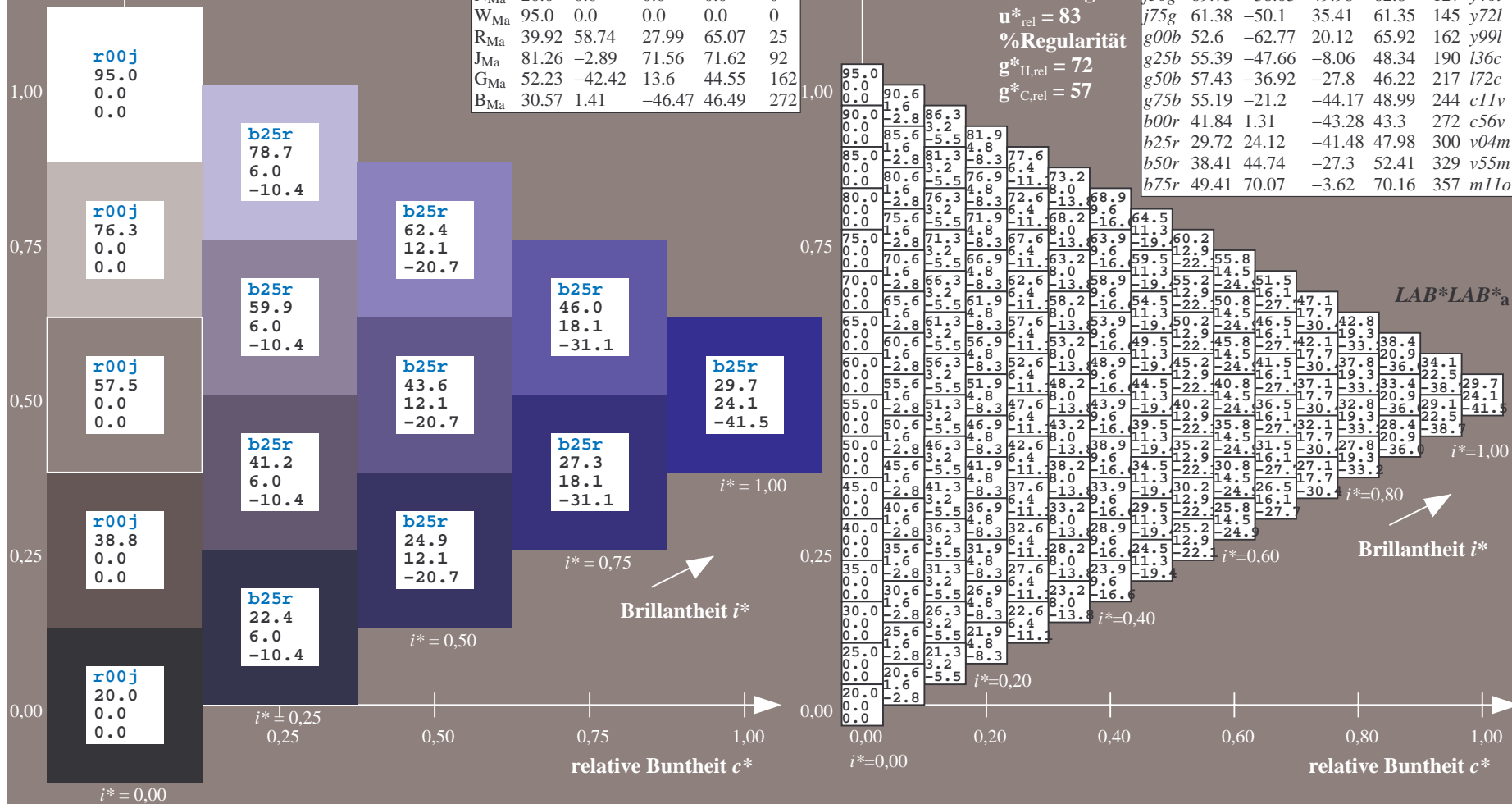
$g^*_{H,rel} = 72$

$g^*_{C,rel} = 57$

ORS20_95a; adaptierte CIELAB-Daten

u^*_e	$L^*=L^*_a$	a^*_a	b^*_a	$C^*_{ab,a}$	$h^*_{ab,a}$	u^*_d
r00j	48.83	63.91	30.45	70.79	25	m84o
r25j	55.53	50.37	45.65	67.97	42	o17y
r50j	64.76	33.86	56.12	65.55	59	o42y
r75j	74.12	17.13	66.74	68.9	76	o67y
j00g	85.5	-3.22	79.65	79.72	92	o92y
j25g	79.45	-24.05	66.85	71.04	110	y20l
j50g	69.75	-38.03	49.98	62.8	127	y46l
j75g	61.38	-50.1	35.41	61.35	145	y72l
g00b	52.6	-62.77	20.12	65.92	162	y99l
g25b	55.39	-47.66	-8.06	48.34	190	l36c
g50b	57.43	-36.92	-27.8	46.22	217	l72c
g75b	55.19	-21.2	-44.17	48.99	244	c11v
b00r	41.84	1.31	-43.28	43.3	272	c56v
b25r	29.72	24.12	-41.48	47.98	300	v04m
b50r	38.41	44.74	-27.3	52.41	329	v55m
b75r	49.41	70.07	-3.62	70.16	357	m11o

$u^*_e = b25r$
 $LAB^*LAB^*_a$



Ein und Ausgabe: Farbmetrisches Drucker-Reflektiv-System ORS20_95a für relativen CIELAB-Buntton $h^* = lab^*h^* = h_{ab}/360 = 0.913$

Daten für jede Farbe:

lab^*tch^* und lab^*icu^*

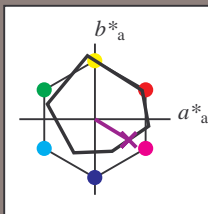
Bunttontexte:

$u^*_e = b50r$ $u^*_d = v55m$

Kontrastreduzierungsfaktor:

$c_R = 0.96$

Dreiecks-Helligkeit i^*



ORS20_95a; adaptierte CIELAB-Daten						
u^*_e	$L^*=L^*_a$	a^*_a	b^*_a	$C^*_{ab,a}$	$h^*_{ab,a}$	u^*_d
O _{Ma}	48.71	62.56	37.91	73.15	31	
Y _{Ma}	89.25	-9.92	83.91	84.49	97	
L _{Ma}	52.5	-62.91	19.95	66.0	162	
C _{Ma}	59.15	-27.87	-44.43	52.45	238	
V _{Ma}	29.13	22.73	-42.44	48.14	298	
M _{Ma}	49.51	71.08	-9.19	71.67	353	
N _{Ma}	20.0	0.0	0.0	0.0	0	
W _{Ma}	95.0	0.0	0.0	0.0	0	
R _{Ma}	39.92	58.74	27.99	65.07	25	
J _{Ma}	81.26	-2.89	71.56	71.62	92	
G _{Ma}	52.23	-42.42	13.6	44.55	162	
B _{Ma}	30.57	1.41	-46.47	46.49	272	

Daten für Maximalfarbe (Ma):

$LAB^*LAB^*_{Ma}$: 38 45 -27

$LAB^*LCH^*_{Ma}$: 38 52 328

$lab^*rgb^*_{Ma}$: 1.0 0.0 1.0

$lab^*olv^*_{Ma}$: 0.56 0.0 1.0

Dreiecks-Helligkeit i^*

%Umfang

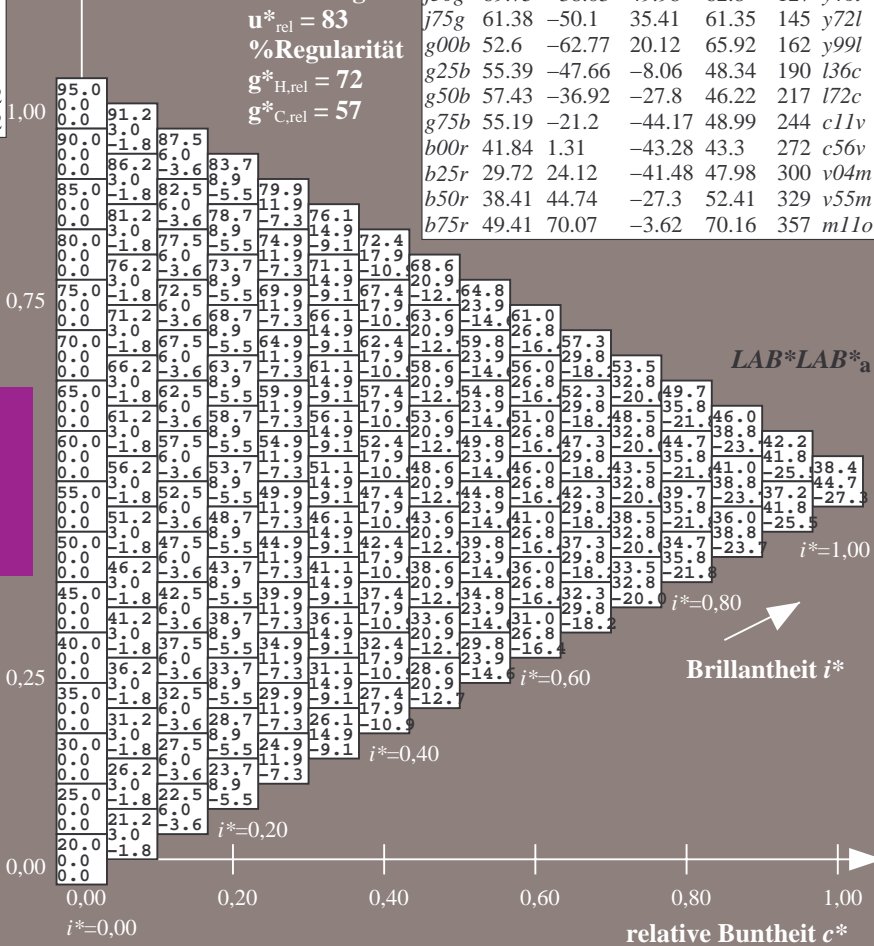
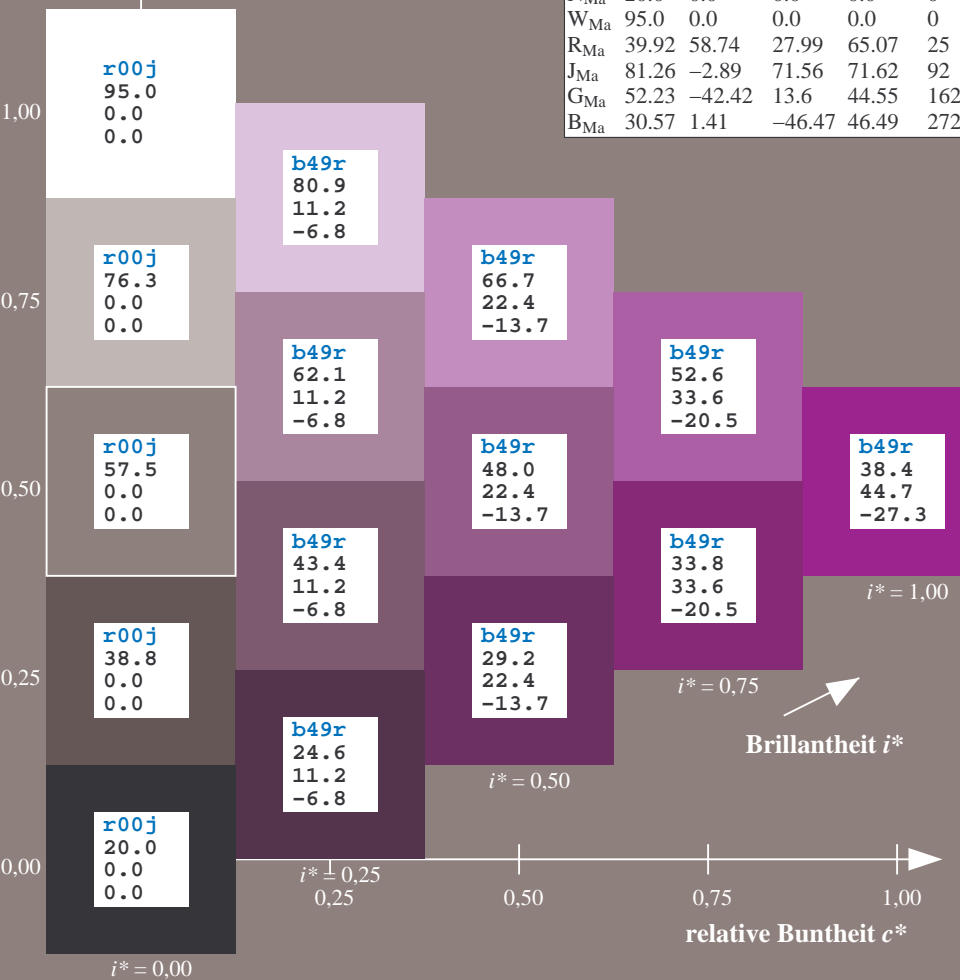
$u^*_{rel} = 83$

%Regularität

$g^*_{H,rel} = 72$

$g^*_{C,rel} = 57$

ORS20_95a; adaptierte CIELAB-Daten						
u^*_e	$L^*=L^*_a$	a^*_a	b^*_a	$C^*_{ab,a}$	$h^*_{ab,a}$	u^*_d
r00j	48.83	63.91	30.45	70.79	25	m84o
r25j	55.53	50.37	45.65	67.97	42	o17y
r50j	64.76	33.86	56.12	65.55	59	o42y
r75j	74.12	17.13	66.74	68.9	76	o67y
j00g	85.5	-3.22	79.65	79.72	92	o92y
j25g	79.45	-24.05	66.85	71.04	110	y20l
j50g	69.75	-38.03	49.98	62.8	127	y46l
j75g	61.38	-50.1	35.41	61.35	145	y72l
g00b	52.6	-62.77	20.12	65.92	162	y99l
g25b	55.39	-47.66	-8.06	48.34	190	l36c
g50b	57.43	-36.92	-27.8	46.22	217	l72c
g75b	55.19	-21.2	-44.17	48.99	244	c11v
b00r	41.84	1.31	-43.28	43.3	272	c56v
b25r	29.72	24.12	-41.48	47.98	300	v04m
b50r	38.41	44.74	-27.3	52.41	329	v55m
b75r	49.41	70.07	-3.62	70.16	357	m11o



Ein und Ausgabe: Farbmetrisches Drucker-Reflektiv-System ORS20_95a für relativen CIELAB-Buntton $h^* = lab^*h^* = h_{ab}/360 = 0.992$

Daten für jede Farbe:

lab^*tch^* und lab^*icu^*

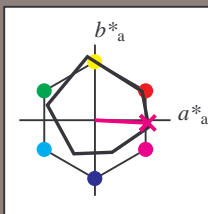
Bunttontexte:

$u^*_e = b75r$ $u^*_d = m11o$

Kontrastreduzierungsfaktor:

$c_R = 0.96$

Dreiecks-Helligkeit i^*



ORS20_95a; adaptierte CIELAB-Daten

u^*_e	$L^*=L^*_a$	a^*_a	b^*_a	$C^*_{ab,a}$	$h^*_{ab,a}$
O _{Ma}	48.71	62.56	37.91	73.15	31
Y _{Ma}	89.25	-9.92	83.91	84.49	97
L _{Ma}	52.5	-62.91	19.95	66.0	162
C _{Ma}	59.15	-27.87	-44.43	52.45	238
V _{Ma}	29.13	22.73	-42.44	48.14	298
M _{Ma}	49.51	71.08	-9.19	71.67	353
N _{Ma}	20.0	0.0	0.0	0.0	0
W _{Ma}	95.0	0.0	0.0	0.0	0
R _{Ma}	39.92	58.74	27.99	65.07	25
J _{Ma}	81.26	-2.89	71.56	71.62	92
G _{Ma}	52.23	-42.42	13.6	44.55	162
B _{Ma}	30.57	1.41	-46.47	46.49	272

Daten für Maximalfarbe (Ma):

$LAB^*LAB^*_{Ma}$: 49 70 -4

$LAB^*LCH^*_{Ma}$: 49 70 357

$lab^*rgb^*_{Ma}$: 1.0 0.0 0.5

$lab^*olv^*_{Ma}$: 1.0 0.0 0.89

Dreiecks-Helligkeit i^*

%Umfang

$u^*_{rel} = 83$

%Regularität

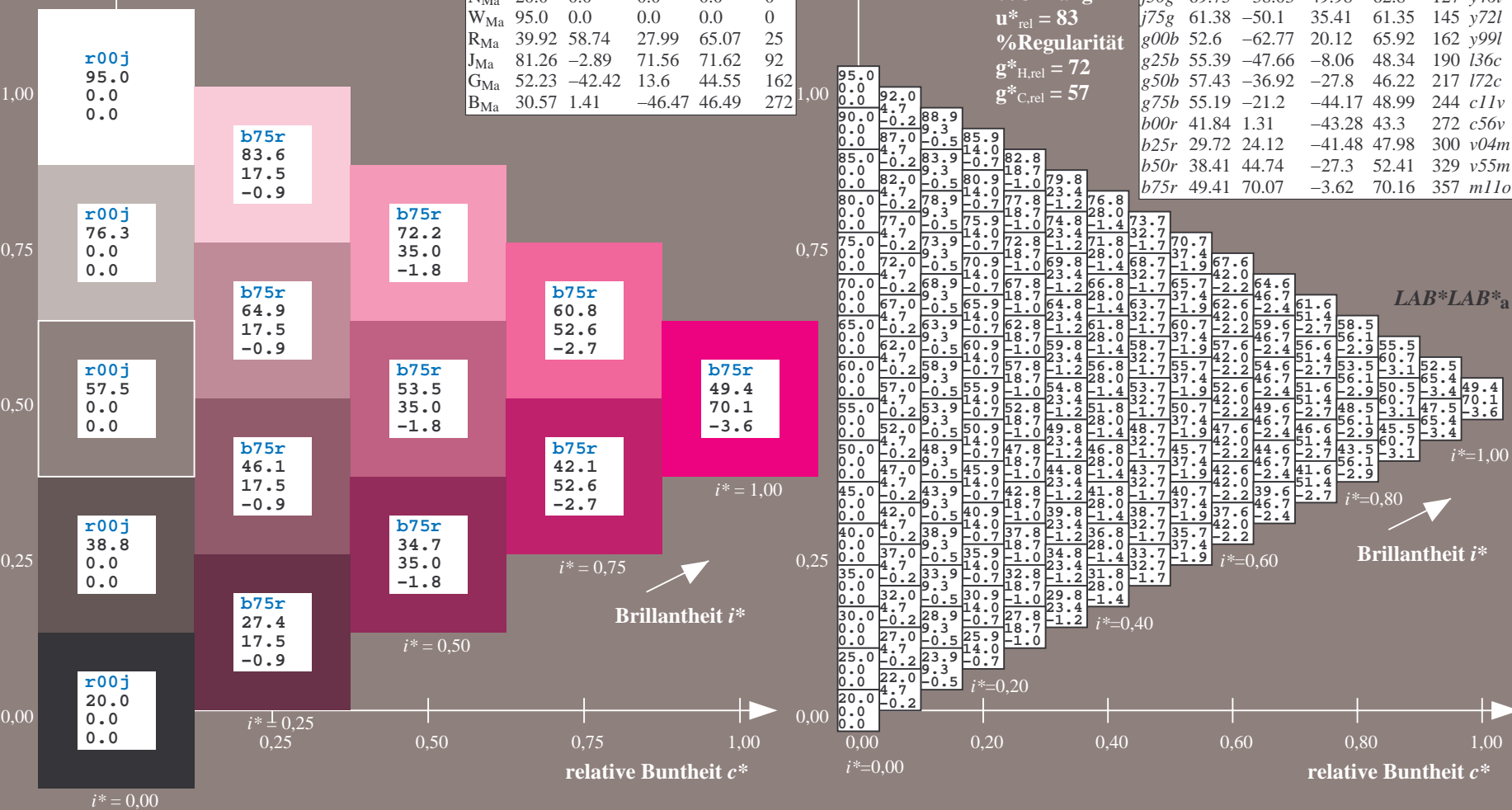
$g^*_{H,rel} = 72$

$g^*_{C,rel} = 57$

ORS20_95a; adaptierte CIELAB-Daten

u^*_e	$L^*=L^*_a$	a^*_a	b^*_a	$C^*_{ab,a}$	$h^*_{ab,a}$	u^*_d
r00j	48.83	63.91	30.45	70.79	25	m84o
r25j	55.53	50.37	45.65	67.97	42	o17y
r50j	64.76	33.86	56.12	65.55	59	o42y
r75j	74.12	17.13	66.74	68.9	76	o67y
j00g	85.5	-3.22	79.65	79.72	92	o92y
j25g	79.45	-24.05	66.85	71.04	110	y20l
j50g	69.75	-38.03	49.98	62.8	127	y46l
j75g	61.38	-50.1	35.41	61.35	145	y72l
g00b	52.6	-62.77	20.12	65.92	162	y99l
g25b	55.39	-47.66	-8.06	48.34	190	l36c
g50b	57.43	-36.92	-27.8	46.22	217	l72c
g75b	55.19	-21.2	-44.17	48.99	244	c11v
b00r	41.84	1.31	-43.28	43.3	272	c56v
b25r	29.72	24.12	-41.48	47.98	300	v04m
b50r	38.41	44.74	-27.3	52.41	329	v55m
b75r	49.41	70.07	-3.62	70.16	357	m11o

$u^*_e = b75r$
 $LAB^*LAB^*_a$



Siehe ähnliche Dateien: <http://www.ps.bam.de/Eg15/>; www.ps.bam.de/Eg15/10L/L15G00NP.PS/.PDF BAM-Material: Code=rh4ta
Technische Information: <http://www.ps.bam.de/Version 2.1, io=1.1, ColSp=0>

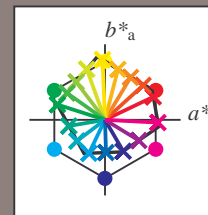
	A	B	C	D	E	F	G	H	I	J	K	L	M	N	O	P	Q	R	S	T	U	V	W	X	Y	Z	a	b	c	d	e	f	g	h	i	j	k	LAB*	LAB*																																																																																																																																																																										
01	20.0	24.1	28.1	32.2	36.2	40.3	44.4	48.4	52.5	56.5	60.6	64.7	68.7	72.8	76.8	80.9	84.9	88.9	92.9	96.9	100.0	104.0	108.0	112.0	116.0	120.0	124.0	128.0	132.0	136.0	140.0	144.0	148.0	152.0	156.0	160.0	164.0	168.0	172.0	176.0	180.0	184.0	188.0	192.0	196.0	200.0																																																																																																																																																																			
02	21.1	24.9	29.1	33.2	37.3	41.4	45.5	49.6	53.7	57.7	61.8	65.9	69.9	74.0	78.1	82.1	86.2	90.2	94.3	98.3	102.4	106.4	110.5	114.5	118.6	122.6	126.7	130.7	134.8	138.8	142.9	146.9	151.0	155.0	159.1	163.1	167.2	171.2	175.3	179.3	183.4	187.4	191.5	195.5	199.6	203.6																																																																																																																																																																			
03	22.3	25.9	29.8	33.9	38.1	42.3	46.6	50.6	54.7	58.7	62.8	66.9	70.9	75.0	79.1	83.1	87.2	91.2	95.3	99.3	103.4	107.4	111.5	115.5	119.6	123.6	127.7	131.7	135.8	139.8	143.9	147.9	152.0	156.0	160.1	164.1	168.2	172.2	176.2	180.3	184.3	188.4	192.4	196.5	200.5	204.5																																																																																																																																																																			
04	23.5	27.1	31.0	34.9	38.8	43.0	47.2	51.3	55.5	59.5	63.6	67.7	71.7	75.8	79.9	83.9	88.0	92.0	96.1	100.1	104.2	108.2	112.3	116.3	120.4	124.4	128.5	132.5	136.6	140.6	144.7	148.7	152.8	156.8	160.9	164.9	169.0	173.0	177.1	181.1	185.2	189.2	193.3	197.3	201.3	205.4																																																																																																																																																																			
05	24.8	28.3	32.1	36.0	40.0	44.1	48.2	52.2	56.3	60.3	64.4	68.4	72.5	76.5	80.6	84.6	88.7	92.7	96.8	100.8	104.9	108.9	112.9	117.0	121.0	125.1	129.1	133.2	137.2	141.3	145.3	149.4	153.4	157.5	161.5	165.6	169.6	173.7	177.7	181.8	185.8	189.9	193.9	198.0	202.0	206.0	210.1																																																																																																																																																																		
06	25.7	29.5	33.0	36.4	40.1	44.0	48.0	52.0	56.0	60.0	64.0	68.0	72.0	76.0	80.0	84.0	88.0	92.0	96.0	100.0	104.0	108.0	112.0	116.0	120.0	124.0	128.0	132.0	136.0	140.0	144.0	148.0	152.0	156.0	160.0	164.0	168.0	172.0	176.0	180.0	184.0	188.0	192.0	196.0	200.0	204.0	208.0																																																																																																																																																																		
07	26.9	30.7	34.2	37.6	41.1	44.9	49.4	53.4	57.6	61.8	65.9	70.0	74.1	78.2	82.3	86.4	90.5	94.6	98.7	102.8	106.8	110.9	115.0	119.1	123.2	127.3	131.4	135.5	139.6	143.7	147.8	151.9	156.0	160.1	164.2	168.3	172.4	176.5	180.6	184.7	188.8	192.9	197.0	201.1	205.2	209.3	213.4																																																																																																																																																																		
08	28.0	31.9	35.5	38.9	42.3	45.8	49.7	54.3	58.3	62.0	66.0	70.1	74.2	78.3	82.4	86.5	90.6	94.7	98.8	102.9	107.0	111.1	115.2	119.3	123.4	127.5	131.6	135.7	139.8	143.9	148.0	152.1	156.2	160.3	164.4	168.5	172.6	176.7	180.8	184.9	189.0	193.1	197.2	201.3	205.4	209.5	213.6																																																																																																																																																																		
09	29.1	33.1	36.7	40.1	43.5	46.9	50.6	54.6	59.1	63.1	67.1	71.1	75.1	79.1	83.1	87.2	91.2	95.3	99.3	103.4	107.4	111.5	115.5	119.6	123.6	127.7	131.7	135.8	139.8	143.9	147.9	152.0	156.0	160.1	164.1	168.2	172.2	176.2	180.3	184.3	188.4	192.4	196.5	200.5	204.5	208.5	212.6																																																																																																																																																																		
10	30.8	35.6	40.1	46.0	48.2	52.4	56.5	60.6	64.7	68.7	72.8	76.8	80.9	84.9	88.9	92.9	96.9	100.9	104.9	108.9	112.9	116.9	120.9	124.9	128.9	132.9	136.9	140.9	144.9	148.9	152.9	156.9	160.9	164.9	168.9	172.9	176.9	180.9	184.9	188.9	192.9	196.9	200.9	204.9	208.9	212.9																																																																																																																																																																			
11	31.0	36.6	41.3	46.7	49.7	53.7	57.8	61.9	66.0	70.1	74.2	78.3	82.4	86.5	90.6	94.7	98.8	102.9	107.0	111.1	115.2	119.3	123.4	127.5	131.6	135.7	139.8	143.9	148.0	152.1	156.2	160.3	164.4	168.5	172.6	176.7	180.8	184.9	189.0	193.1	197.2	201.3	205.4	209.5	213.6	217.7																																																																																																																																																																			
12	31.0	36.7	42.3	47.4	50.9	55.0	59.1	63.3	67.4	71.4	75.5	79.6	83.7	87.8	91.9	96.0	100.1	104.2	108.3	112.4	116.5	120.6	124.7	128.8	132.9	137.0	141.1	145.2	149.3	153.4	157.5	161.6	165.7	169.8	173.9	178.0	182.1	186.2	190.3	194.4	198.5	202.6	206.7	210.8	214.9	219.0																																																																																																																																																																			
13	31.1	36.8	42.4	48.1	52.2	56.2	60.3	64.4	68.4	72.5	76.6	80.7	84.8	88.9	93.0	97.1	101.2	105.3	109.4	113.5	117.6	121.7	125.8	129.9	134.0	138.1	142.2	146.3	150.4	154.5	158.6	162.7	166.8	170.9	175.0	179.1	183.2	187.3	191.4	195.5	199.6	203.7	207.8	211.9	216.0	220.1																																																																																																																																																																			
14	31.2	37.1	43.1	49.3	53.0	57.2	61.3	65.5	69.6	73.8	77.9	82.1	86.3	90.5	94.7	98.9	103.1	107.3	111.5	115.7	119.9	124.1	128.3	132.5	136.7	140.9	145.1	149.3	153.5	157.7	161.9	166.1	170.3	174.5	178.7	182.9	187.1	191.3	195.5	199.7	203.9	208.1	212.3	216.5	220.7	224.9																																																																																																																																																																			
15	32.0	38.0	44.2	50.4	54.0	57.9	62.0	66.2	70.4	74.8	79.0	83.2	87.4	91.6	95.8	100.0	104.2	108.4	112.6	116.8	121.0	125.2	129.4	133.6	137.8	142.0	146.2	150.4	154.6	158.8	163.0	167.2	171.4	175.6	179.8	184.0	188.2	192.4	196.6	200.8	205.0	209.2	213.4	217.6	221.8	226.0																																																																																																																																																																			
16	33.0	39.1	45.3	51.6	55.2	58.7	62.8	66.9	71.1	75.4	79.7	84.0	88.3	92.6	96.9	101.2	105.5	109.8	114.1	118.4	122.7	127.0	131.3	135.6	139.9	144.2	148.5	152.8	157.1	161.4	165.7	170.0	174.3	178.6	182.9	187.2	191.5	195.8	200.1	204.4	208.7	213.0	217.3	221.6	225.9	230.2																																																																																																																																																																			
17	34.1	40.2	46.5	52.7	56.5	59.9	63.4	67.1	71.0	75.0	79.0	83.0	87.0	91.0	95.0	99.0	103.0	107.0	111.0	115.0	119.0	123.0	127.0	131.0	135.0	139.0	143.0	147.0	151.0	155.0	159.0	163.0	167.0	171.0	175.0	179.0	183.0	187.0	191.0	195.0	199.0	203.0	207.0	211.0	215.0	219.0																																																																																																																																																																			
18	35.1	41.3	47.6	53.7	57.1	60.4	63.8	67.2	70.7	74.3	77.9	81.5	85.1	88.7	92.3	95.9	99.5	103.1	106.7	110.3	113.9	117.5	121.1	124.7	128.3	131.9	135.5	139.1	142.7	146.3	150.0	153.6	157.2	160.8	164.4	168.0	171.6	175.2	178.8	182.4	186.0	189.6	193.2	196.8	200.4	204.0	207.6	211.2	214.8	218.4	222.0	225.6	229.2	232.8	236.4	240.0	243.6	247.2	250.8	254.4	258.0	261.6	265.2	268.8	272.4	276.0	279.6	283.2	286.8	290.4	294.0	297.6	301.2	304.8	308.4	312.0	315.6	319.2	322.8	326.4	330.0	333.6	337.2	340.8	344.4	348.0	351.6	355.2	358.8	362.4	366.0	369.6	373.2	376.8	380.4	384.0	387.6	391.2	394.8	398.4	402.0	405.6	409.2	412.8	416.4	420.0	423.6	427.2	430.8	434.4	438.0	441.6	445.2	448.8	452.4	456.0	459.6	463.2	466.8	470.4	474.0	477.6	481.2	484.8	488.4	492.0	495.6	499.2	502.8	506.4	510.0	513.6	517.2	520.8	524.4	528.0	531.6	535.2	538.8	542.4	546.0	549.6	553.2	556.8	560.4	564.0	567.6	571.2	574.8	578.4	582.0	585.6	589.2	592.8	596.4	600.0	603.6	607.2	610.8	614.4	618.0	621.6	625.2	628.8	632.4	636.0	639.6	643.2	646.8	650.4	654.0	657.6	661.2	664.8	668.4	672.0	675.6	679.2	682.8	686.4	690.0	693.6	697.2	700.8	704.4	708.0	711.6	715.2	718.8	722.4	726.0	729.6	733.2	736.8	740.4	744.0	747.6	751.2	754.8	758.4	762.0	765.6	769.2	772.8	776.4	780.0	783.6	787.2	790

Ein und Ausgabe:
Farbmetrisches Drucker-Reflektiv-System ORS20_95a
Daten für jede Farbe:

u^*_e und Nummer $Nr.$ = 00 .. 15
Elementar-Bunttontext:
 $u^*_e = 16$ Bunttoene $r00j, r25j, \dots, b75r$
Kontrastreduzierungsfaktor:
 $c_R = 0.96$

ORS20_95a; adaptierte CIELAB-Daten

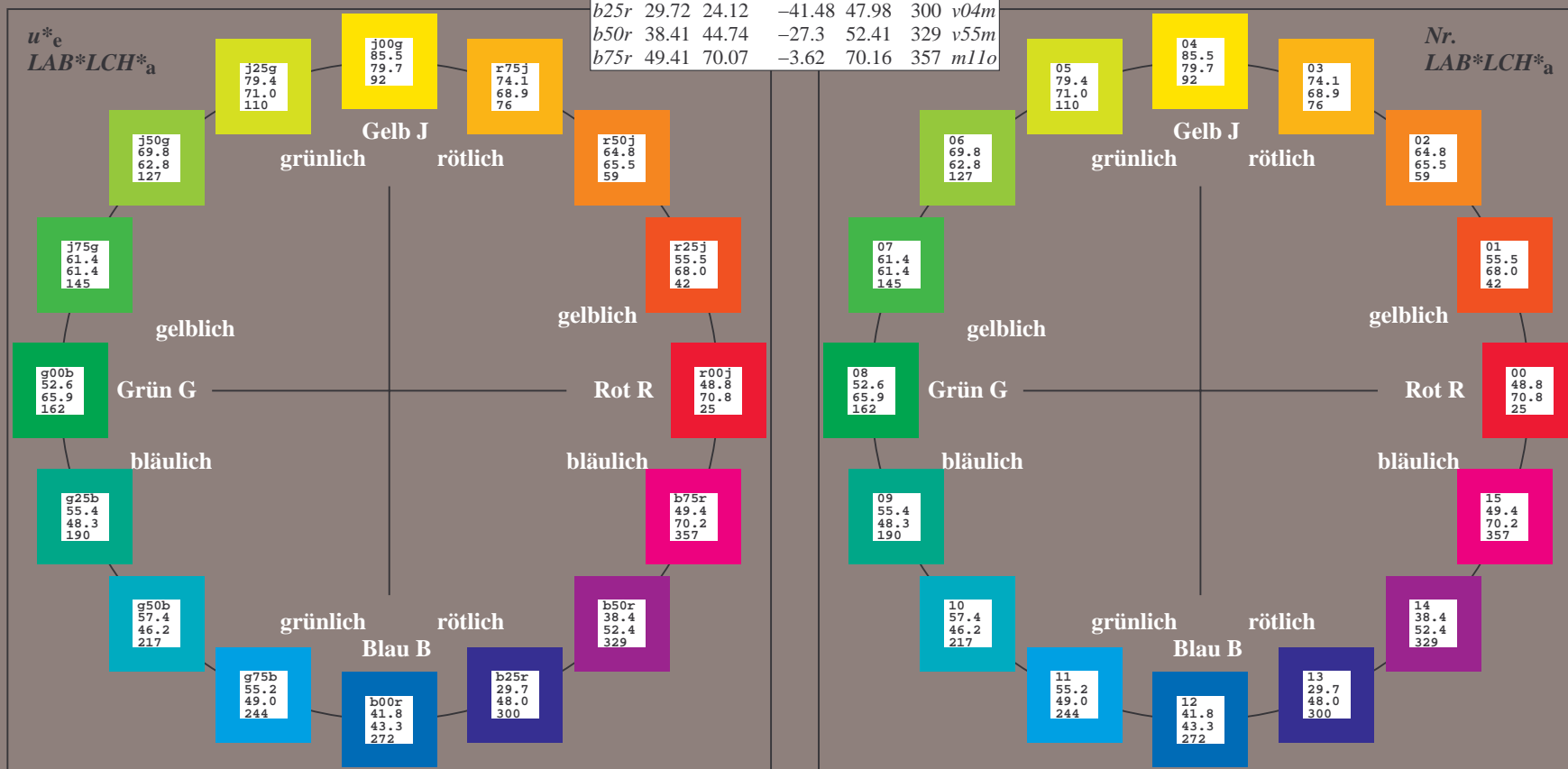
u^*_e	$L^*=L^*_a$	a^*_a	b^*_a	$C^*_{ab,a}$	$h^*_{ab,a}$	u^*_d
$r00j$	48.83	63.91	30.45	70.79	25	$m84o$
$r25j$	55.53	50.37	45.65	67.97	42	$o17y$
$r50j$	64.76	33.86	56.12	65.55	59	$o42y$
$r75j$	74.12	17.13	66.74	68.9	76	$o67y$
$j00g$	85.5	-3.22	79.65	79.72	92	$o92y$
$j25g$	79.45	-24.05	66.85	71.04	110	$y20l$
$j50g$	69.75	-38.03	49.98	62.8	127	$y46l$
$j75g$	61.38	-50.1	35.41	61.35	145	$y72l$
$g00b$	52.6	-62.77	20.12	65.92	162	$y99l$
$g25b$	55.39	-47.66	-8.06	48.34	190	$l36c$
$g50b$	57.43	-36.92	-27.8	46.22	217	$l72c$
$g75b$	55.19	-21.2	-44.17	48.99	244	$c11v$
$b00r$	41.84	1.31	-43.28	43.3	272	$c56v$
$b25r$	29.72	24.12	-41.48	47.98	300	$v04m$
$b50r$	38.41	44.74	-27.3	52.41	329	$v55m$
$b75r$	49.41	70.07	-3.62	70.16	357	$m11o$



%Umfang
 $u^*_{rel} = 83$
%Regularität
 $g^*_{H,rel} = 72$
 $g^*_{C,rel} = 57$

ORS20_95a; adaptierte CIELAB-Daten

Name	$L^*=L^*_a$	a^*_a	b^*_a	$C^*_{ab,a}$	$h^*_{ab,a}$
O_{Ma}	48.71	62.56	37.91	73.15	31
Y_{Ma}	89.25	-9.92	83.91	84.49	97
L_{Ma}	52.5	-62.91	19.95	66.0	162
C_{Ma}	59.15	-27.87	-44.43	52.45	238
V_{Ma}	29.13	22.73	-42.44	48.14	298
M_{Ma}	49.51	71.08	-9.19	71.67	353
N_{Ma}	20.0	0.0	0.0	0.0	0
W_{Ma}	95.0	0.0	0.0	0.0	0
R_{CIE}	39.92	58.74	27.99	65.07	25
J_{CIE}	81.26	-2.89	71.56	71.62	92
G_{CIE}	52.23	-42.42	13.6	44.55	162
B_{CIE}	30.57	1.41	-46.47	46.49	272



Ein und Ausgabe: Farbmetrisches Drucker-Reflektiv-System ORS20_95a für relativen CIELAB-Buntton $h^* = \text{lab}^*h^* = h_{ab}/360 = 0.071$

Daten für jede Farbe:

lab^*tch^* und lab^*icu^*

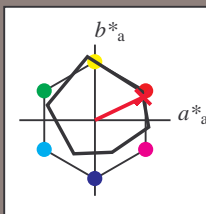
Bunttontexte:

$u^*_e = r00j$ $u^*_d = m84o$

Kontrastreduzierungsfaktor:

$c_R = 0.96$

Dreiecks-Helligkeit i^*



ORS20_95a; adaptierte CIELAB-Daten

u^*_e	$L^*=L^*_a$	a^*_a	b^*_a	$C^*_{ab,a}$	$h^*_{ab,a}$
O _{Ma}	48.71	62.56	37.91	73.15	31
Y _{Ma}	89.25	-9.92	83.91	84.49	97
L _{Ma}	52.5	-62.91	19.95	66.0	162
C _{Ma}	59.15	-27.87	-44.43	52.45	238
V _{Ma}	29.13	22.73	-42.44	48.14	298
M _{Ma}	49.51	71.08	-9.19	71.67	353
N _{Ma}	20.0	0.0	0.0	0.0	0
W _{Ma}	95.0	0.0	0.0	0.0	0
R _{Ma}	39.92	58.74	27.99	65.07	25
J _{Ma}	81.26	-2.89	71.56	71.62	92
G _{Ma}	52.23	-42.42	13.6	44.55	162
B _{Ma}	30.57	1.41	-46.47	46.49	272

Daten für Maximalfarbe (Ma):

$\text{LAB}^*\text{LAB}^*_{\text{Ma}}$: 49 64 30

$\text{LAB}^*\text{LCH}^*_{\text{Ma}}$: 49 71 25

$\text{lab}^*\text{rgb}^*_{\text{Ma}}$: 1.0 0.0 0.0

$\text{lab}^*\text{olv}^*_{\text{Ma}}$: 1.0 0.0 0.15

Dreiecks-Helligkeit i^*

%Umfang

$u^*_{\text{rel}} = 83$

%Regularität

$g^*_{H,\text{rel}} = 72$

$g^*_{C,\text{rel}} = 57$

ORS20_95a; adaptierte CIELAB-Daten

u^*_e	$L^*=L^*_a$	a^*_a	b^*_a	$C^*_{ab,a}$	$h^*_{ab,a}$	u^*_d
r00j	48.83	63.91	30.45	70.79	25	m84o
r25j	55.53	50.37	45.65	67.97	42	o17y
r50j	64.76	33.86	56.12	65.55	59	o42y
r75j	74.12	17.13	66.74	68.9	76	o67y
j00g	85.5	-3.22	79.65	79.72	92	o92y
j25g	79.45	-24.05	66.85	71.04	110	y20l
j50g	69.75	-38.03	49.98	62.8	127	y46l
j75g	61.38	-50.1	35.41	61.35	145	y72l
g00b	52.6	-62.77	20.12	65.92	162	y99l
g25b	55.39	-47.66	-8.06	48.34	190	l36c
g50b	57.43	-36.92	-27.8	46.22	217	l72c
g75b	55.19	-21.2	-44.17	48.99	244	c11v
b00r	41.84	1.31	-43.28	43.3	272	c56v
b25r	29.72	24.12	-41.48	47.98	300	v04m
b50r	38.41	44.74	-27.3	52.41	329	v55m
b75r	49.41	70.07	-3.62	70.16	357	m11o

$\text{LAB}^*\text{LCH}^*_{\text{Ma}}$

$i^* = 1.00$

Brillantheit i^*

$i^* = 0.80$

$i^* = 0.60$

$i^* = 0.40$

$i^* = 0.20$

$i^* = 0.00$

relative Buntheit c^*

Ein und Ausgabe: Farbmetrisches Drucker-Reflektiv-System ORS20_95a für relativen CIELAB-Buntton $h^* = lab^*h^* = h_{ab}/360 = 0.117$

Daten für jede Farbe:

lab^*tch^* und lab^*icu^*

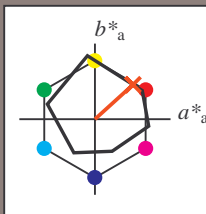
Bunttontexte:

$u^*_e = r25j$ $u^*_d = o17y$

Kontrastreduzierungsfaktor:

$c_R = 0.96$

Dreiecks-Helligkeit i^*



ORS20_95a; adaptierte CIELAB-Daten

	u^*_e	$L^*=L^*_a$	a^*_a	b^*_a	$C^*_{ab,a}$	$h^*_{ab,a}$
O _{Ma}	48.71	62.56	37.91	73.15	31	
Y _{Ma}	89.25	-9.92	83.91	84.49	97	
L _{Ma}	52.5	-62.91	19.95	66.0	162	
C _{Ma}	59.15	-27.87	-44.43	52.45	238	
V _{Ma}	29.13	22.73	-42.44	48.14	298	
M _{Ma}	49.51	71.08	-9.19	71.67	353	
N _{Ma}	20.0	0.0	0.0	0.0	0	
W _{Ma}	95.0	0.0	0.0	0.0	0	
R _{Ma}	39.92	58.74	27.99	65.07	25	
J _{Ma}	81.26	-2.89	71.56	71.62	92	
G _{Ma}	52.23	-42.42	13.6	44.55	162	
B _{Ma}	30.57	1.41	-46.47	46.49	272	

Daten für Maximalfarbe (Ma):

$LAB^*LAB^*_{Ma}$: 56 50 46

$LAB^*LCH^*_{Ma}$: 56 68 42

$lab^*rgb^*_{Ma}$: 1.0 0.25 0.0

$lab^*olv^*_{Ma}$: 1.0 0.17 0.0

Dreiecks-Helligkeit i^*

%Umfang

$u^*_{rel} = 83$

%Regularität

$g^*_{H,rel} = 72$

$g^*_{C,rel} = 57$

ORS20_95a; adaptierte CIELAB-Daten

	u^*_e	$L^*=L^*_a$	a^*_a	b^*_a	$C^*_{ab,a}$	$h^*_{ab,a}$	u^*_d
r00j	48.83	63.91	30.45	70.79	25	m84o	
r25j	55.53	50.37	45.65	67.97	42	o17y	
r50j	64.76	33.86	56.12	65.55	59	o42y	
r75j	74.12	17.13	66.74	68.9	76	o67y	
j00g	85.5	-3.22	79.65	79.72	92	o92y	
j25g	79.45	-24.05	66.85	71.04	110	y20l	
j50g	69.75	-38.03	49.98	62.8	127	y46l	
j75g	61.38	-50.1	35.41	61.35	145	y72l	
g00b	52.6	-62.77	20.12	65.92	162	y99l	
g25b	55.39	-47.66	-8.06	48.34	190	l36c	
g50b	57.43	-36.92	-27.8	46.22	217	l72c	
g75b	55.19	-21.2	-44.17	48.99	244	c11v	
b00r	41.84	1.31	-43.28	43.3	272	c56v	
b25r	29.72	24.12	-41.48	47.98	300	v04m	
b50r	38.41	44.74	-27.3	52.41	329	v55m	
b75r	49.41	70.07	-3.62	70.16	357	m11o	

$LAB^*LCH^*_{Ma}$

$i^* = 1.00$

Brillantheit i^*

$i^* = 0.80$

$i^* = 0.60$

$i^* = 0.40$

$i^* = 0.20$

$i^* = 0.00$

relative Buntheit c^*

relative Buntheit c^*

Ein und Ausgabe: Farbmetrisches Drucker-Reflektiv-System ORS20_95a für relativen CIELAB-Buntton $h^* = lab^*h^* = h_{ab}/360 = 0.164$

Daten für jede Farbe:

lab^*tch^* und lab^*icu^*

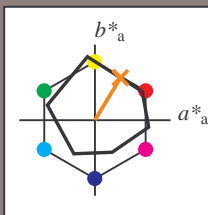
Bunttontexte:

$u^*_e = r50j$ $u^*_d = o42y$

Kontrastreduzierungsfaktor:

$c_R = 0.96$

Dreiecks-Helligkeit i^*



ORS20_95a; adaptierte CIELAB-Daten						
	u^*_e	$L^*=L^*_a$	a^*_a	b^*_a	$C^*_{ab,a}$	$h^*_{ab,a}$
O _{Ma}	48.71	62.56	37.91	73.15	31	
Y _{Ma}	89.25	-9.92	83.91	84.49	97	
L _{Ma}	52.5	-62.91	19.95	66.0	162	
C _{Ma}	59.15	-27.87	-44.43	52.45	238	
V _{Ma}	29.13	22.73	-42.44	48.14	298	
M _{Ma}	49.51	71.08	-9.19	71.67	353	
N _{Ma}	20.0	0.0	0.0	0.0	0	
W _{Ma}	95.0	0.0	0.0	0.0	0	
R _{Ma}	39.92	58.74	27.99	65.07	25	
J _{Ma}	81.26	-2.89	71.56	71.62	92	
G _{Ma}	52.23	-42.42	13.6	44.55	162	
B _{Ma}	30.57	1.41	-46.47	46.49	272	

Daten für Maximalfarbe (Ma):

$LAB^*LAB^*_{Ma}$: 65 34 56

$LAB^*LCH^*_{Ma}$: 65 66 58

$lab^*rgb^*_{Ma}$: 1.0 0.5 0.0

$lab^*olv^*_{Ma}$: 1.0 0.42 0.0

Dreiecks-Helligkeit i^*

%Umfang

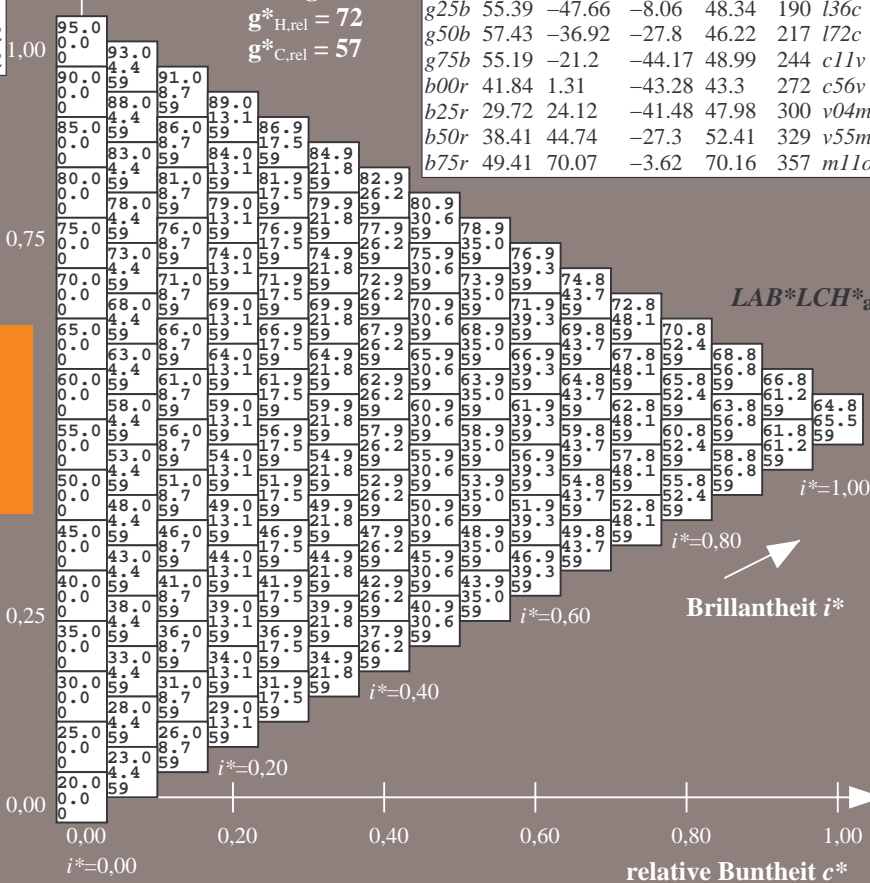
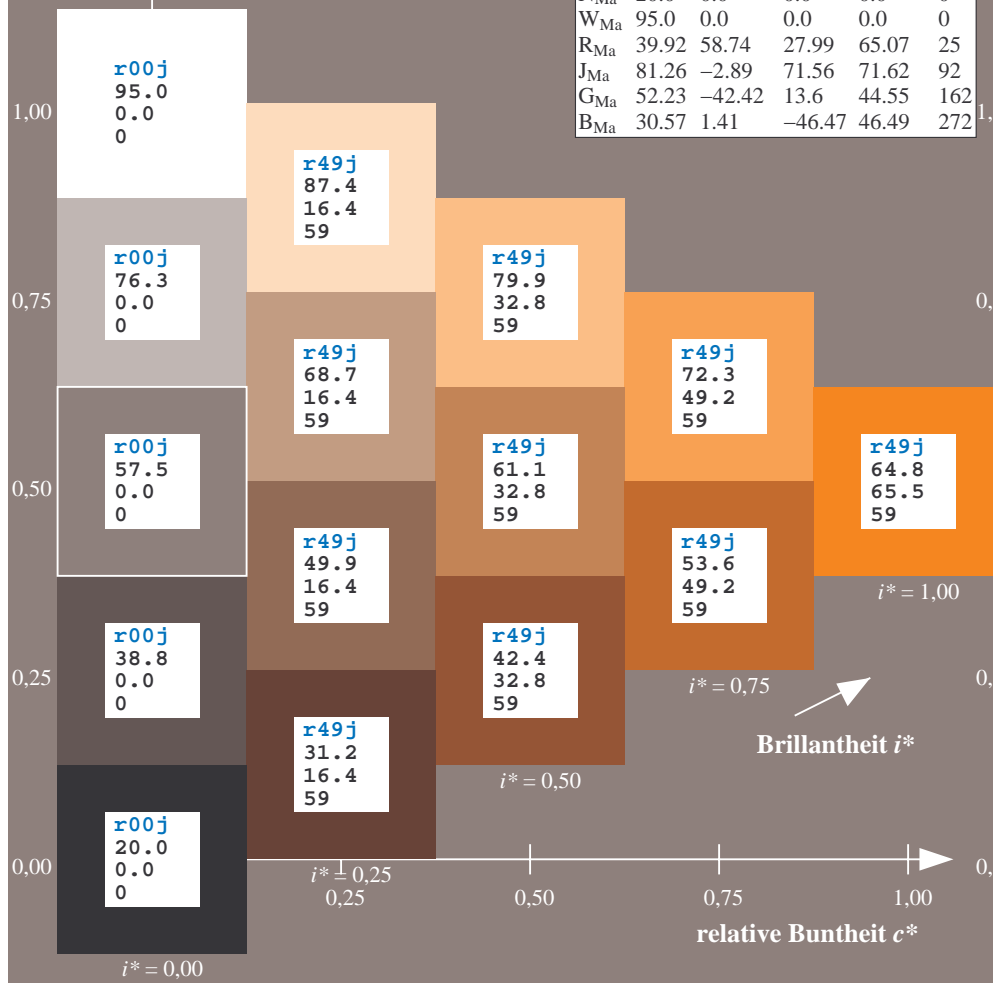
$u^*_{rel} = 83$

%Regularität

$g^*_{H,rel} = 72$

$g^*_{C,rel} = 57$

ORS20_95a; adaptierte CIELAB-Daten						
	u^*_e	$L^*=L^*_a$	a^*_a	b^*_a	$C^*_{ab,a}$	$h^*_{ab,a}$
r00j	48.83	63.91	30.45	70.79	25	m84o
r25j	55.53	50.37	45.65	67.97	42	o17y
r50j	64.76	33.86	56.12	65.55	59	o42y
r75j	74.12	17.13	66.74	68.9	76	o67y
j00g	85.5	-3.22	79.65	79.72	92	o92y
j25g	79.45	-24.05	66.85	71.04	110	y20l
j50g	69.75	-38.03	49.98	62.8	127	y46l
j75g	61.38	-50.1	35.41	61.35	145	y72l
g00b	52.6	-62.77	20.12	65.92	162	y99l
g25b	55.39	-47.66	-8.06	48.34	190	l36c
g50b	57.43	-36.92	-27.8	46.22	217	l72c
g75b	55.19	-21.2	-44.17	48.99	244	c11v
b00r	41.84	1.31	-43.28	43.3	272	c56v
b25r	29.72	24.12	-41.48	47.98	300	v04m
b50r	38.41	44.74	-27.3	52.41	329	v55m
b75r	49.41	70.07	-3.62	70.16	357	m11o



Ein und Ausgabe: Farbmetrisches Drucker-Reflektiv-System ORS20_95a für relativen CIELAB-Buntton $h^* = lab^*h^* = h_{ab}/360 = 0.21$

Daten für jede Farbe:

lab^*tch^* und lab^*icu^*

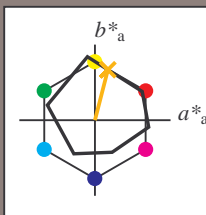
Bunttontexte:

$u^*_e = r75j$ $u^*_d = o67y$

Kontrastreduzierungsfaktor:

$c_R = 0.96$

Dreiecks-Helligkeit t^*



ORS20_95a; adaptierte CIELAB-Daten

	u^*_e	$L^*=L^*_a$	a^*_a	b^*_a	$C^*_{ab,a}$	$h^*_{ab,a}$
O _{Ma}	48.71	62.56	37.91	73.15	31	
Y _{Ma}	89.25	-9.92	83.91	84.49	97	
L _{Ma}	52.5	-62.91	19.95	66.0	162	
C _{Ma}	59.15	-27.87	-44.43	52.45	238	
V _{Ma}	29.13	22.73	-42.44	48.14	298	
M _{Ma}	49.51	71.08	-9.19	71.67	353	
N _{Ma}	20.0	0.0	0.0	0.0	0	
W _{Ma}	95.0	0.0	0.0	0.0	0	
R _{Ma}	39.92	58.74	27.99	65.07	25	
J _{Ma}	81.26	-2.89	71.56	71.62	92	
G _{Ma}	52.23	-42.42	13.6	44.55	162	
B _{Ma}	30.57	1.41	-46.47	46.49	272	

Daten für Maximalfarbe (Ma):

$LAB^*LAB^*_{Ma}$: 74 17 67

$LAB^*LCH^*_{Ma}$: 74 69 75

$lab^*rgb^*_{Ma}$: 1.0 0.75 0.0

$lab^*olv^*_{Ma}$: 1.0 0.68 0.0

Dreiecks-Helligkeit t^*

%Umfang

$u^*_{rel} = 83$

%Regularität

$g^*_{H,rel} = 72$

$g^*_{C,rel} = 57$

ORS20_95a; adaptierte CIELAB-Daten

	u^*_e	$L^*=L^*_a$	a^*_a	b^*_a	$C^*_{ab,a}$	$h^*_{ab,a}$	u^*_d
r00j	48.83	63.91	30.45	70.79	25	m84o	
r25j	55.53	50.37	45.65	67.97	42	o17y	
r50j	64.76	33.86	56.12	65.55	59	o42y	
r75j	74.12	17.13	66.74	68.9	76	o67y	
j00g	85.5	-3.22	79.65	79.72	92	o92y	
j25g	79.45	-24.05	66.85	71.04	110	y20l	
j50g	69.75	-38.03	49.98	62.8	127	y46l	
j75g	61.38	-50.1	35.41	61.35	145	y72l	
g00b	52.6	-62.77	20.12	65.92	162	y99l	
g25b	55.39	-47.66	-8.06	48.34	190	l36c	
g50b	57.43	-36.92	-27.8	46.22	217	l72c	
g75b	55.19	-21.2	-44.17	48.99	244	c11v	
b00r	41.84	1.31	-43.28	43.3	272	c56v	
b25r	29.72	24.12	-41.48	47.98	300	v04m	
b50r	38.41	44.74	-27.3	52.41	329	v55m	
b75r	49.41	70.07	-3.62	70.16	357	m11o	

$u^*_e = r75j$
 $LAB^*LCH^*_{Ma}$

$LAB^*LCH^*_{Ma}$

$i^* = 1.00$

Brillantheit i^*

$i^* = 0.80$

$i^* = 0.60$

$i^* = 0.40$

$i^* = 0.20$

$i^* = 0.00$

relative Bunttheit c^*

Ein und Ausgabe: Farbmetrisches Drucker-Reflektiv-System ORS20_95a für relativen CIELAB-Buntton $h^* = lab^*h^* = h_{ab}/360 = 0.256$

Daten für jede Farbe:

lab^*tch^* und lab^*icu^*

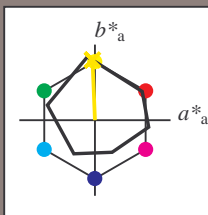
Bunttontexte:

$u^*_e = j00g$ $u^*_d = o92y$

Kontrastreduzierungsfaktor:

$c_R = 0.96$

Dreiecks-Helligkeit i^*



ORS20_95a; adaptierte CIELAB-Daten						
	u^*_e	$L^*=L^*_a$	a^*_a	b^*_a	$C^*_{ab,a}$	$h^*_{ab,a}$
O _{Ma}	48.71	62.56	37.91	73.15	31	
Y _{Ma}	89.25	-9.92	83.91	84.49	97	
L _{Ma}	52.5	-62.91	19.95	66.0	162	
C _{Ma}	59.15	-27.87	-44.43	52.45	238	
V _{Ma}	29.13	22.73	-42.44	48.14	298	
M _{Ma}	49.51	71.08	-9.19	71.67	353	
N _{Ma}	20.0	0.0	0.0	0.0	0	
W _{Ma}	95.0	0.0	0.0	0.0	0	
R _{Ma}	39.92	58.74	27.99	65.07	25	
J _{Ma}	81.26	-2.89	71.56	71.62	92	
G _{Ma}	52.23	-42.42	13.6	44.55	162	
B _{Ma}	30.57	1.41	-46.47	46.49	272	

Daten für Maximalfarbe (Ma):

$LAB^*LAB^*_{Ma}$: 86 -3 80

$LAB^*LCH^*_{Ma}$: 86 80 92

$lab^*rgb^*_{Ma}$: 1.0 1.0 0.0

$lab^*olv^*_{Ma}$: 1.0 0.93 0.0

Dreiecks-Helligkeit i^*

%Umfang

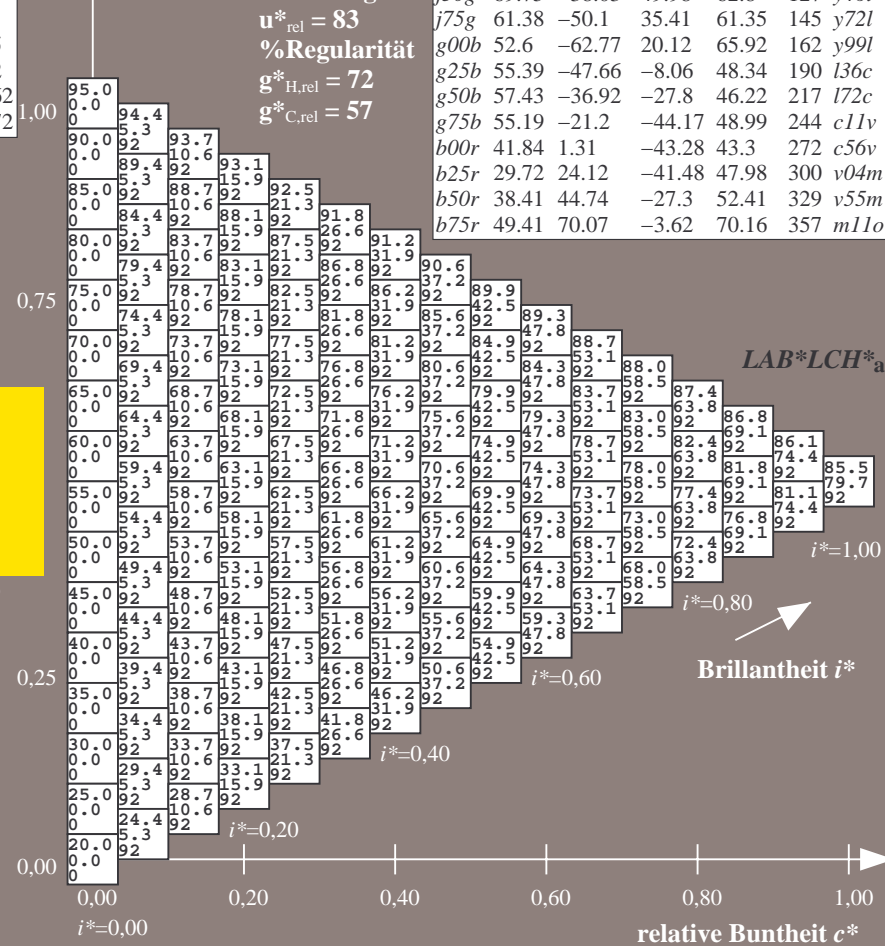
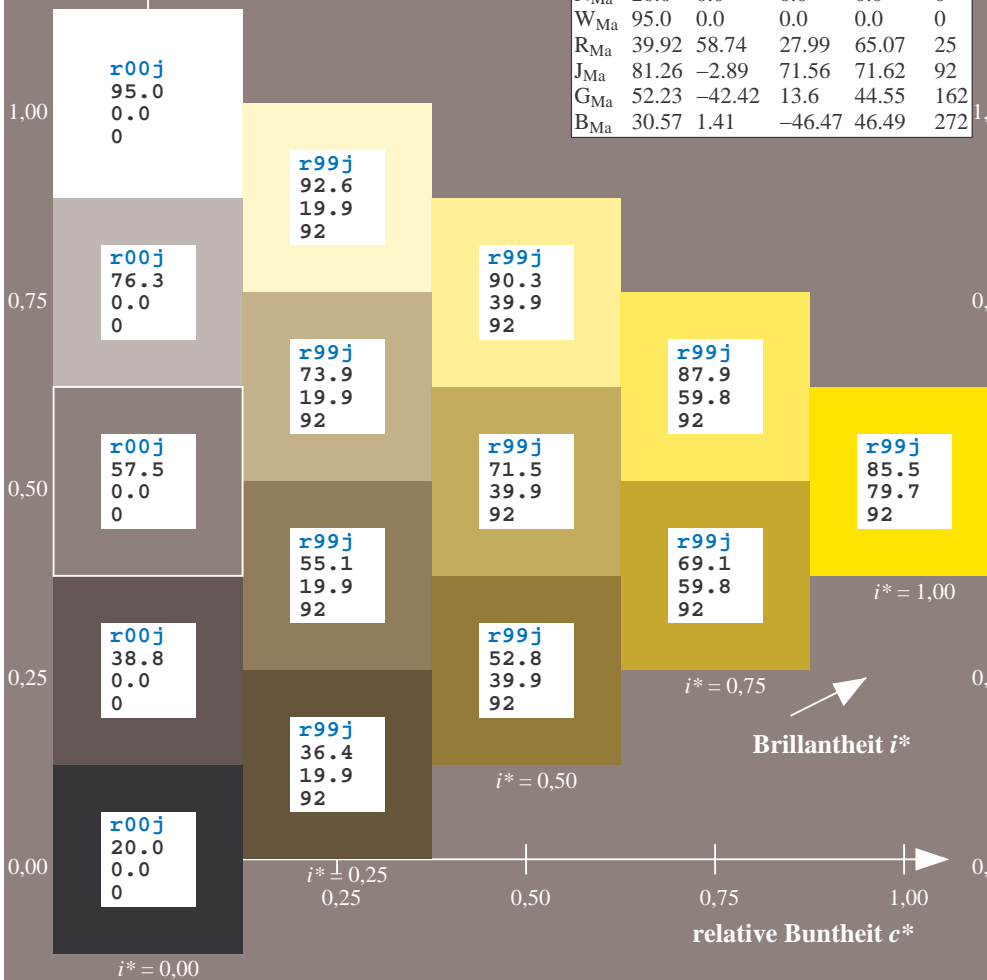
$u^*_{rel} = 83$

%Regularität

$g^*_{H,rel} = 72$

$g^*_{C,rel} = 57$

ORS20_95a; adaptierte CIELAB-Daten						
	u^*_e	$L^*=L^*_a$	a^*_a	b^*_a	$C^*_{ab,a}$	$h^*_{ab,a}$
r00j	48.83	63.91	30.45	70.79	25	m84o
r25j	55.53	50.37	45.65	67.97	42	o17y
r50j	64.76	33.86	56.12	65.55	59	o42y
r75j	74.12	17.13	66.74	68.9	76	o67y
j00g	85.5	-3.22	79.65	79.72	92	o92y
j25g	79.45	-24.05	66.85	71.04	110	y20l
j50g	69.75	-38.03	49.98	62.8	127	y46l
j75g	61.38	-50.1	35.41	61.35	145	y72l
g00b	52.6	-62.77	20.12	65.92	162	y99l
g25b	55.39	-47.66	-8.06	48.34	190	l36c
g50b	57.43	-36.92	-27.8	46.22	217	l72c
g75b	55.19	-21.2	-44.17	48.99	244	c11v
b00r	41.84	1.31	-43.28	43.3	272	c56v
b25r	29.72	24.12	-41.48	47.98	300	v04m
b50r	38.41	44.74	-27.3	52.41	329	v55m
b75r	49.41	70.07	-3.62	70.16	357	m11o



Ein und Ausgabe: Farbmetrisches Drucker-Reflektiv-System ORS20_95a für relativen CIELAB-Buntton $h^* = lab^*h^* = h_{ab}/360 = 0.305$

Daten für jede Farbe:

lab^*tch^* und lab^*icu^*

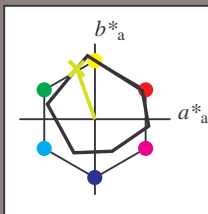
Bunttontexte:

$u^*_e = j25g$ $u^*_d = y20l$

Kontrastreduzierungsfaktor:

$c_R = 0.96$

Dreiecks-Helligkeit i^*



ORS20_95a; adaptierte CIELAB-Daten

u^*_e	$L^*=L^*_a$	a^*_a	b^*_a	$C^*_{ab,a}$	$h^*_{ab,a}$
O _{Ma}	48.71	62.56	37.91	73.15	31
Y _{Ma}	89.25	-9.92	83.91	84.49	97
L _{Ma}	52.5	-62.91	19.95	66.0	162
C _{Ma}	59.15	-27.87	-44.43	52.45	238
V _{Ma}	29.13	22.73	-42.44	48.14	298
M _{Ma}	49.51	71.08	-9.19	71.67	353
N _{Ma}	20.0	0.0	0.0	0.0	0
W _{Ma}	95.0	0.0	0.0	0.0	0
R _{Ma}	39.92	58.74	27.99	65.07	25
J _{Ma}	81.26	-2.89	71.56	71.62	92
G _{Ma}	52.23	-42.42	13.6	44.55	162
B _{Ma}	30.57	1.41	-46.47	46.49	272

Daten für Maximalfarbe (Ma):

$LAB^*LAB^*_{Ma}$: 79 -24 67

$LAB^*LCH^*_{Ma}$: 79 71 109

$lab^*rgb^*_{Ma}$: 0.75 1.0 0.0

$lab^*olv^*_{Ma}$: 0.8 1.0 0.0

Dreiecks-Helligkeit i^*

%Umfang

$u^*_{rel} = 83$

%Regularität

$g^*_{H,rel} = 72$

$g^*_{C,rel} = 57$

ORS20_95a; adaptierte CIELAB-Daten

u^*_e	$L^*=L^*_a$	a^*_a	b^*_a	$C^*_{ab,a}$	$h^*_{ab,a}$	u^*_d
r00j	48.83	63.91	30.45	70.79	25	m84o
r25j	55.53	50.37	45.65	67.97	42	o17y
r50j	64.76	33.86	56.12	65.55	59	o42y
r75j	74.12	17.13	66.74	68.9	76	o67y
j00g	85.5	-3.22	79.65	79.72	92	o92y
j25g	79.45	-24.05	66.85	71.04	110	y20l
j50g	69.75	-38.03	49.98	62.8	127	y46l
j75g	61.38	-50.1	35.41	61.35	145	y72l
g00b	52.6	-62.77	20.12	65.92	162	y99l
g25b	55.39	-47.66	-8.06	48.34	190	l36c
g50b	57.43	-36.92	-27.8	46.22	217	l72c
g75b	55.19	-21.2	-44.17	48.99	244	c11v
b00r	41.84	1.31	-43.28	43.3	272	c56v
b25r	29.72	24.12	-41.48	47.98	300	v04m
b50r	38.41	44.74	-27.3	52.41	329	v55m
b75r	49.41	70.07	-3.62	70.16	357	m11o

$LAB^*LCH^*_{Ma}$

$i^* = 1.00$

Brillantheit i^*

$i^* = 0.80$

$i^* = 0.60$

$i^* = 0.40$

$i^* = 0.20$

$i^* = 0.00$

relative Buntheit c^*

relative Buntheit c^*

Ein und Ausgabe: Farbmetrisches Drucker-Reflektiv-System ORS20_95a für relativen CIELAB-Buntton $h^* = lab^*h^* = h_{ab}/360 = 0.354$

Daten für jede Farbe:

lab^*ch^* und lab^*icu^*

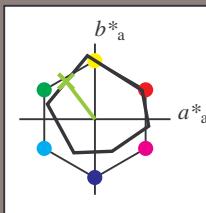
Bunttontexte:

$u^*_e = j50g$ $u^*_d = y46l$

Kontrastreduzierungsfaktor:

$c_R = 0.96$

Dreiecks-Helligkeit i^*



ORS20_95a; adaptierte CIELAB-Daten						
u^*_e	$L^*=L^*_a$	a^*_a	b^*_a	$C^*_{ab,a}$	$h^*_{ab,a}$	
O _{Ma}	48.71	62.56	37.91	73.15	31	
Y _{Ma}	89.25	-9.92	83.91	84.49	97	
L _{Ma}	52.5	-62.91	19.95	66.0	162	
C _{Ma}	59.15	-27.87	-44.43	52.45	238	
V _{Ma}	29.13	22.73	-42.44	48.14	298	
M _{Ma}	49.51	71.08	-9.19	71.67	353	
N _{Ma}	20.0	0.0	0.0	0.0	0	
W _{Ma}	95.0	0.0	0.0	0.0	0	
R _{Ma}	39.92	58.74	27.99	65.07	25	
J _{Ma}	81.26	-2.89	71.56	71.62	92	
G _{Ma}	52.23	-42.42	13.6	44.55	162	
B _{Ma}	30.57	1.41	-46.47	46.49	272	

Daten für Maximalfarbe (Ma):

$LAB^*LAB^*_{Ma}$: 70 -38 50

$LAB^*LCH^*_{Ma}$: 70 63 127

$lab^*rgb^*_{Ma}$: 0.5 1.0 0.0

$lab^*olv^*_{Ma}$: 0.54 1.0 0.0

Dreiecks-Helligkeit i^*

%Umfang

$u^*_{rel} = 83$

%Regularität

$g^*_{H,rel} = 72$

$g^*_{C,rel} = 57$

ORS20_95a; adaptierte CIELAB-Daten						
u^*_e	$L^*=L^*_a$	a^*_a	b^*_a	$C^*_{ab,a}$	$h^*_{ab,a}$	u^*_d
r00j	48.83	63.91	30.45	70.79	25	m84o
r25j	55.53	50.37	45.65	67.97	42	o17y
r50j	64.76	33.86	56.12	65.55	59	o42y
r75j	74.12	17.13	66.74	68.9	76	o67y
j00g	85.5	-3.22	79.65	79.72	92	o92y
j25g	79.45	-24.05	66.85	71.04	110	y20l
j50g	69.75	-38.03	49.98	62.8	127	y46l
j75g	61.38	-50.1	35.41	61.35	145	y72l
g00b	52.6	-62.77	20.12	65.92	162	y99l
g25b	55.39	-47.66	-8.06	48.34	190	l36c
g50b	57.43	-36.92	-27.8	46.22	217	l72c
g75b	55.19	-21.2	-44.17	48.99	244	c11v
b00r	41.84	1.31	-43.28	43.3	272	c56v
b25r	29.72	24.12	-41.48	47.98	300	v04m
b50r	38.41	44.74	-27.3	52.41	329	v55m
b75r	49.41	70.07	-3.62	70.16	357	m11o

$LAB^*LCH^*_{Ma}$

$i^*=1.00$

Brillantheit i^*

$i^*=0.80$

$i^*=0.60$

$i^*=0.40$

$i^*=0.20$

$i^*=0.00$

relative Buntheit c^*

relative Buntheit c^*

Ein und Ausgabe: Farbmetrisches Drucker-Reflektiv-System ORS20_95a für relativen CIELAB-Buntton $h^* = lab^*h^* = h_{ab}/360 = 0.402$

Daten für jede Farbe:

lab^*ch^* und lab^*icu^*

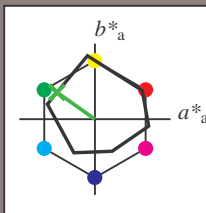
Bunttontexte:

$u^*_e = j75g$ $u^*_d = y72l$

Kontrastreduzierungsfaktor:

$c_R = 0.96$

Dreiecks-Helligkeit i^*



ORS20_95a; adaptierte CIELAB-Daten

u^*_e	$L^*=L^*_a$	a^*_a	b^*_a	$C^*_{ab,a}$	$h^*_{ab,a}$
O _{Ma}	48.71	62.56	37.91	73.15	31
Y _{Ma}	89.25	-9.92	83.91	84.49	97
L _{Ma}	52.5	-62.91	19.95	66.0	162
C _{Ma}	59.15	-27.87	-44.43	52.45	238
V _{Ma}	29.13	22.73	-42.44	48.14	298
M _{Ma}	49.51	71.08	-9.19	71.67	353
N _{Ma}	20.0	0.0	0.0	0.0	0
W _{Ma}	95.0	0.0	0.0	0.0	0
R _{Ma}	39.92	58.74	27.99	65.07	25
J _{Ma}	81.26	-2.89	71.56	71.62	92
G _{Ma}	52.23	-42.42	13.6	44.55	162
B _{Ma}	30.57	1.41	-46.47	46.49	272

Daten für Maximalfarbe (Ma):

$LAB^*LAB^*_{Ma}$: 61 -50 35

$LAB^*LCH^*_{Ma}$: 61 61 144

$lab^*rgb^*_{Ma}$: 0.25 1.0 0.0

$lab^*olv^*_{Ma}$: 0.27 1.0 0.0

Dreiecks-Helligkeit i^*

%Umfang

$u^*_{rel} = 83$

%Regularität

$g^*_{H,rel} = 72$

$g^*_{C,rel} = 57$

ORS20_95a; adaptierte CIELAB-Daten

u^*_e	$L^*=L^*_a$	a^*_a	b^*_a	$C^*_{ab,a}$	$h^*_{ab,a}$	u^*_d
r00j	48.83	63.91	30.45	70.79	25	m84o
r25j	55.53	50.37	45.65	67.97	42	o17y
r50j	64.76	33.86	56.12	65.55	59	o42y
r75j	74.12	17.13	66.74	68.9	76	o67y
j00g	85.5	-3.22	79.65	79.72	92	o92y
j25g	79.45	-24.05	66.85	71.04	110	y20l
j50g	69.75	-38.03	49.98	62.8	127	y46l
j75g	61.38	-50.1	35.41	61.35	145	y72l
g00b	52.6	-62.77	20.12	65.92	162	y99l
g25b	55.39	-47.66	-8.06	48.34	190	l36c
g50b	57.43	-36.92	-27.8	46.22	217	l72c
g75b	55.19	-21.2	-44.17	48.99	244	c11v
b00r	41.84	1.31	-43.28	43.3	272	c56v
b25r	29.72	24.12	-41.48	47.98	300	v04m
b50r	38.41	44.74	-27.3	52.41	329	v55m
b75r	49.41	70.07	-3.62	70.16	357	m11o

$LAB^*LCH^*_{Ma}$

$i^* = 1.00$

Brillantheit i^*

$i^* = 0.80$

$i^* = 0.60$

$i^* = 0.40$

$i^* = 0.20$

$i^* = 0.00$

relative Buntheit c^*

Ein und Ausgabe: Farbmetrisches Drucker-Reflektiv-System ORS20_95a für relativen CIELAB-Buntton $h^* = lab^*h^* = h_{ab}/360 = 0.451$

Daten für jede Farbe:

lab^*ch^* und lab^*icu^*

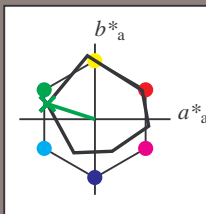
Bunttontexte:

$u^*_e = g00b$ $u^*_d = y99l$

Kontrastreduzierungsfaktor:

$c_R = 0.96$

Dreiecks-Helligkeit i^*



ORS20_95a; adaptierte CIELAB-Daten

u^*_e	$L^*=L^*_a$	a^*_a	b^*_a	$C^*_{ab,a}$	$h^*_{ab,a}$
O _{Ma}	48.71	62.56	37.91	73.15	31
Y _{Ma}	89.25	-9.92	83.91	84.49	97
L _{Ma}	52.5	-62.91	19.95	66.0	162
C _{Ma}	59.15	-27.87	-44.43	52.45	238
V _{Ma}	29.13	22.73	-42.44	48.14	298
M _{Ma}	49.51	71.08	-9.19	71.67	353
N _{Ma}	20.0	0.0	0.0	0.0	0
W _{Ma}	95.0	0.0	0.0	0.0	0
R _{Ma}	39.92	58.74	27.99	65.07	25
J _{Ma}	81.26	-2.89	71.56	71.62	92
G _{Ma}	52.23	-42.42	13.6	44.55	162
B _{Ma}	30.57	1.41	-46.47	46.49	272

Daten für Maximalfarbe (Ma):

$LAB^*LAB^*_{Ma}$: 53 -63 20

$LAB^*LCH^*_{Ma}$: 53 66 162

$lab^*rgb^*_{Ma}$: 0.0 1.0 0.0

$lab^*olv^*_{Ma}$: 0.0 1.0 0.0

Dreiecks-Helligkeit i^*

%Umfang

$u^*_{rel} = 83$

%Regularität

$g^*_{H,rel} = 72$

$g^*_{C,rel} = 57$

ORS20_95a; adaptierte CIELAB-Daten

u^*_e	$L^*=L^*_a$	a^*_a	b^*_a	$C^*_{ab,a}$	$h^*_{ab,a}$	u^*_d
r00j	48.83	63.91	30.45	70.79	25	m84o
r25j	55.53	50.37	45.65	67.97	42	o17y
r50j	64.76	33.86	56.12	65.55	59	o42y
r75j	74.12	17.13	66.74	68.9	76	o67y
j00g	85.5	-3.22	79.65	79.72	92	o92y
j25g	79.45	-24.05	66.85	71.04	110	y20l
j50g	69.75	-38.03	49.98	62.8	127	y46l
j75g	61.38	-50.1	35.41	61.35	145	y72l
g00b	52.6	-62.77	20.12	65.92	162	y99l
g25b	55.39	-47.66	-8.06	48.34	190	l36c
g50b	57.43	-36.92	-27.8	46.22	217	l72c
g75b	55.19	-21.2	-44.17	48.99	244	c11v
b00r	41.84	1.31	-43.28	43.3	272	c56v
b25r	29.72	24.12	-41.48	47.98	300	v04m
b50r	38.41	44.74	-27.3	52.41	329	v55m
b75r	49.41	70.07	-3.62	70.16	357	m11o

$u^*_e = g00b$
 $LAB^*LCH^*_{Ma}$

$LAB^*LCH^*_{Ma}$

$i^* = 1.00$

Brillantheit i^*

$i^* = 0.80$

$i^* = 0.60$

$i^* = 0.40$

$i^* = 0.20$

$i^* = 0.00$

relative Buntheit c^*

Ein und Ausgabe: Farbmetrisches Drucker-Reflektiv-System ORS20_95a für relativen CIELAB-Buntton $h^* = \text{lab}^*h^* = h_{ab}/360 = 0.527$

Daten für jede Farbe:

lab^*tch^* und lab^*icu^*

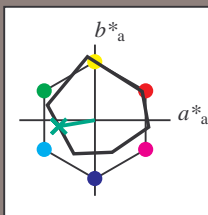
Bunttontexte:

$u^*_e = g25b$ $u^*_d = l36c$

Kontrastreduzierungsfaktor:

$c_R = 0.96$

Dreiecks-Helligkeit i^*



ORS20_95a; adaptierte CIELAB-Daten

u^*_e	$L^*=L^*_a$	a^*_a	b^*_a	$C^*_{ab,a}$	$h^*_{ab,a}$
O _{Ma}	48.71	62.56	37.91	73.15	31
Y _{Ma}	89.25	-9.92	83.91	84.49	97
L _{Ma}	52.5	-62.91	19.95	66.0	162
C _{Ma}	59.15	-27.87	-44.43	52.45	238
V _{Ma}	29.13	22.73	-42.44	48.14	298
M _{Ma}	49.51	71.08	-9.19	71.67	353
N _{Ma}	20.0	0.0	0.0	0.0	0
W _{Ma}	95.0	0.0	0.0	0.0	0
R _{Ma}	39.92	58.74	27.99	65.07	25
J _{Ma}	81.26	-2.89	71.56	71.62	92
G _{Ma}	52.23	-42.42	13.6	44.55	162
B _{Ma}	30.57	1.41	-46.47	46.49	272

Daten für Maximalfarbe (Ma):

$\text{LAB}^*\text{LAB}^*_{\text{Ma}}$: 55 -48 -8

$\text{LAB}^*\text{LCH}^*_{\text{Ma}}$: 55 48 189

$\text{lab}^*\text{rgb}^*_{\text{Ma}}$: 0.0 1.0 0.5

$\text{lab}^*\text{olv}^*_{\text{Ma}}$: 0.0 1.0 0.36

Dreiecks-Helligkeit i^*

%Umfang

$u^*_{\text{rel}} = 83$

%Regularität

$g^*_{H,\text{rel}} = 72$

$g^*_{C,\text{rel}} = 57$

ORS20_95a; adaptierte CIELAB-Daten

u^*_e	$L^*=L^*_a$	a^*_a	b^*_a	$C^*_{ab,a}$	$h^*_{ab,a}$	u^*_d
r00j	48.83	63.91	30.45	70.79	25	m84o
r25j	55.53	50.37	45.65	67.97	42	o17y
r50j	64.76	33.86	56.12	65.55	59	o42y
r75j	74.12	17.13	66.74	68.9	76	o67y
j00g	85.5	-3.22	79.65	79.72	92	o92y
j25g	79.45	-24.05	66.85	71.04	110	y20l
j50g	69.75	-38.03	49.98	62.8	127	y46l
j75g	61.38	-50.1	35.41	61.35	145	y72l
g00b	52.6	-62.77	20.12	65.92	162	y99l
g25b	55.39	-47.66	-8.06	48.34	190	l36c
g50b	57.43	-36.92	-27.8	46.22	217	l72c
g75b	55.19	-21.2	-44.17	48.99	244	c11v
b00r	41.84	1.31	-43.28	43.3	272	c56v
b25r	29.72	24.12	-41.48	47.98	300	v04m
b50r	38.41	44.74	-27.3	52.41	329	v55m
b75r	49.41	70.07	-3.62	70.16	357	m11o

$\text{LAB}^*\text{LCH}^*_{\text{Ma}}$

$i^*=1.00$

Brillantheit i^*

$i^*=0.80$

$i^*=0.60$

$i^*=0.40$

$i^*=0.20$

$i^*=0.00$

relative Buntheit c^*

Ein und Ausgabe: Farbmetrisches Drucker-Reflektiv-System ORS20_95a für relativen CIELAB-Buntton $h^* = lab^*h^* = h_{ab}/360 = 0.603$

Daten für jede Farbe:

lab^*tch^* und lab^*icu^*

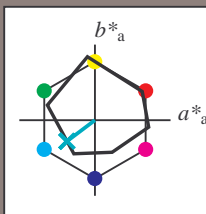
Bunttontexte:

$u^*_e = g50b$ $u^*_d = l72c$

Kontrastreduzierungsfaktor:

$c_R = 0.96$

Dreiecks-Helligkeit i^*



ORS20_95a; adaptierte CIELAB-Daten

u^*_e	$L^*=L^*_a$	a^*_a	b^*_a	$C^*_{ab,a}$	$h^*_{ab,a}$
O _{Ma}	48.71	62.56	37.91	73.15	31
Y _{Ma}	89.25	-9.92	83.91	84.49	97
L _{Ma}	52.5	-62.91	19.95	66.0	162
C _{Ma}	59.15	-27.87	-44.43	52.45	238
V _{Ma}	29.13	22.73	-42.44	48.14	298
M _{Ma}	49.51	71.08	-9.19	71.67	353
N _{Ma}	20.0	0.0	0.0	0.0	0
W _{Ma}	95.0	0.0	0.0	0.0	0
R _{Ma}	39.92	58.74	27.99	65.07	25
J _{Ma}	81.26	-2.89	71.56	71.62	92
G _{Ma}	52.23	-42.42	13.6	44.55	162
B _{Ma}	30.57	1.41	-46.47	46.49	272

Daten für Maximalfarbe (Ma):

$LAB^*LAB^*_{Ma}$: 57 -37 -28

$LAB^*LCH^*_{Ma}$: 57 46 216

$lab^*rgb^*_{Ma}$: 0.0 1.0 1.0

$lab^*olv^*_{Ma}$: 0.0 1.0 0.72

Dreiecks-Helligkeit i^*

%Umfang

$u^*_{rel} = 83$

%Regularität

$g^*_{H,rel} = 72$

$g^*_{C,rel} = 57$

ORS20_95a; adaptierte CIELAB-Daten

u^*_e	$L^*=L^*_a$	a^*_a	b^*_a	$C^*_{ab,a}$	$h^*_{ab,a}$	u^*_d
r00j	48.83	63.91	30.45	70.79	25	m84o
r25j	55.53	50.37	45.65	67.97	42	o17y
r50j	64.76	33.86	56.12	65.55	59	o42y
r75j	74.12	17.13	66.74	68.9	76	o67y
j00g	85.5	-3.22	79.65	79.72	92	o92y
j25g	79.45	-24.05	66.85	71.04	110	y20l
j50g	69.75	-38.03	49.98	62.8	127	y46l
j75g	61.38	-50.1	35.41	61.35	145	y72l
g00b	52.6	-62.77	20.12	65.92	162	y99l
g25b	55.39	-47.66	-8.06	48.34	190	l36c
g50b	57.43	-36.92	-27.8	46.22	217	l72c
g75b	55.19	-21.2	-44.17	48.99	244	c11v
b00r	41.84	1.31	-43.28	43.3	272	c56v
b25r	29.72	24.12	-41.48	47.98	300	v04m
b50r	38.41	44.74	-27.3	52.41	329	v55m
b75r	49.41	70.07	-3.62	70.16	357	m11o

$LAB^*LCH^*_{Ma}$

$i^* = 1.00$

Brillantheit i^*

$i^* = 0.80$

$i^* = 0.60$

$i^* = 0.40$

$i^* = 0.20$

$i^* = 0.00$

relative Buntheit c^*

relative Buntheit c^*

Ein und Ausgabe: Farbmetrisches Drucker-Reflektiv-System ORS20_95a für relativen CIELAB-Buntton $h^* = \text{lab}^*h^* = h_{ab}/360 = 0.679$

Daten für jede Farbe:

lab^*tch^* und lab^*icu^*

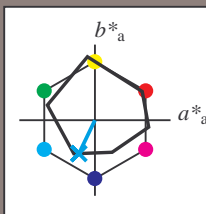
Bunttontexte:

$u^*_e = g75b$ $u^*_d = c11v$

Kontrastreduzierungsfaktor:

$c_R = 0.96$

Dreiecks-Helligkeit i^*



ORS20_95a; adaptierte CIELAB-Daten

	u^*_e	$L^*=L^*_a$	a^*_a	b^*_a	$C^*_{ab,a}$	$h^*_{ab,a}$
O _{Ma}	48.71	62.56	37.91	73.15	31	
Y _{Ma}	89.25	-9.92	83.91	84.49	97	
L _{Ma}	52.5	-62.91	19.95	66.0	162	
C _{Ma}	59.15	-27.87	-44.43	52.45	238	
V _{Ma}	29.13	22.73	-42.44	48.14	298	
M _{Ma}	49.51	71.08	-9.19	71.67	353	
N _{Ma}	20.0	0.0	0.0	0.0	0	
W _{Ma}	95.0	0.0	0.0	0.0	0	
R _{Ma}	39.92	58.74	27.99	65.07	25	
J _{Ma}	81.26	-2.89	71.56	71.62	92	
G _{Ma}	52.23	-42.42	13.6	44.55	162	
B _{Ma}	30.57	1.41	-46.47	46.49	272	

Daten für Maximalfarbe (Ma):

$\text{LAB}^*\text{LAB}^*_{\text{Ma}}$: 55 -21 -44

$\text{LAB}^*\text{LCH}^*_{\text{Ma}}$: 55 49 244

$\text{lab}^*\text{rgb}^*_{\text{Ma}}$: 0.0 0.5 1.0

$\text{lab}^*\text{olv}^*_{\text{Ma}}$: 0.0 0.89 1.0

Dreiecks-Helligkeit i^*

%Umfang

$u^*_{\text{rel}} = 83$

%Regularität

$g^*_{H,\text{rel}} = 72$

$g^*_{C,\text{rel}} = 57$

ORS20_95a; adaptierte CIELAB-Daten

	u^*_e	$L^*=L^*_a$	a^*_a	b^*_a	$C^*_{ab,a}$	$h^*_{ab,a}$	u^*_d
r00j	48.83	63.91	30.45	70.79	25	m84o	
r25j	55.53	50.37	45.65	67.97	42	o17y	
r50j	64.76	33.86	56.12	65.55	59	o42y	
r75j	74.12	17.13	66.74	68.9	76	o67y	
j00g	85.5	-3.22	79.65	79.72	92	o92y	
j25g	79.45	-24.05	66.85	71.04	110	y20l	
j50g	69.75	-38.03	49.98	62.8	127	y46l	
j75g	61.38	-50.1	35.41	61.35	145	y72l	
g00b	52.6	-62.77	20.12	65.92	162	y99l	
g25b	55.39	-47.66	-8.06	48.34	190	l36c	
g50b	57.43	-36.92	-27.8	46.22	217	l72c	
g75b	55.19	-21.2	-44.17	48.99	244	c11v	
b00r	41.84	1.31	-43.28	43.3	272	c56v	
b25r	29.72	24.12	-41.48	47.98	300	v04m	
b50r	38.41	44.74	-27.3	52.41	329	v55m	
b75r	49.41	70.07	-3.62	70.16	357	m11o	

$\text{LAB}^*\text{LCH}^*_a$

$i^*=1.00$

Brillantheit i^*

$i^*=0.80$

$i^*=0.60$

$i^*=0.40$

$i^*=0.20$

$i^*=0.00$

Ein und Ausgabe: Farbmetrisches Drucker-Reflektiv-System ORS20_95a für relativen CIELAB-Buntton $h^* = lab^*h^* = h_{ab}/360 = 0.755$

Daten für jede Farbe:

lab^*ch^* und lab^*icu^*

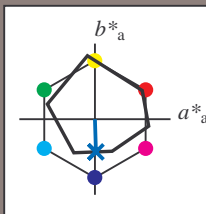
Bunttontexte:

$u^*_e = b00r$ $u^*_d = c56v$

Kontrastreduzierungsfaktor:

$c_R = 0.96$

Dreiecks-Helligkeit i^*



ORS20_95a; adaptierte CIELAB-Daten

u^*_e	$L^*=L^*_a$	a^*_a	b^*_a	$C^*_{ab,a}$	$h^*_{ab,a}$
O _{Ma}	48.71	62.56	37.91	73.15	31
Y _{Ma}	89.25	-9.92	83.91	84.49	97
L _{Ma}	52.5	-62.91	19.95	66.0	162
C _{Ma}	59.15	-27.87	-44.43	52.45	238
V _{Ma}	29.13	22.73	-42.44	48.14	298
M _{Ma}	49.51	71.08	-9.19	71.67	353
N _{Ma}	20.0	0.0	0.0	0.0	0
W _{Ma}	95.0	0.0	0.0	0.0	0
R _{Ma}	39.92	58.74	27.99	65.07	25
J _{Ma}	81.26	-2.89	71.56	71.62	92
G _{Ma}	52.23	-42.42	13.6	44.55	162
B _{Ma}	30.57	1.41	-46.47	46.49	272

Daten für Maximalfarbe (Ma):

$LAB^*LAB^*_{Ma}$: 42 1 -43

$LAB^*LCH^*_{Ma}$: 42 43 271

$lab^*rgb^*_{Ma}$: 0.0 0.0 1.0

$lab^*olv^*_{Ma}$: 0.0 0.44 1.0

Dreiecks-Helligkeit i^*

%Umfang

$u^*_{rel} = 83$

%Regularität

$g^*_{H,rel} = 72$

$g^*_{C,rel} = 57$

ORS20_95a; adaptierte CIELAB-Daten

u^*_e	$L^*=L^*_a$	a^*_a	b^*_a	$C^*_{ab,a}$	$h^*_{ab,a}$	u^*_d
r00j	48.83	63.91	30.45	70.79	25	m84o
r25j	55.53	50.37	45.65	67.97	42	o17y
r50j	64.76	33.86	56.12	65.55	59	o42y
r75j	74.12	17.13	66.74	68.9	76	o67y
j00g	85.5	-3.22	79.65	79.72	92	o92y
j25g	79.45	-24.05	66.85	71.04	110	y20l
j50g	69.75	-38.03	49.98	62.8	127	y46l
j75g	61.38	-50.1	35.41	61.35	145	y72l
g00b	52.6	-62.77	20.12	65.92	162	y99l
g25b	55.39	-47.66	-8.06	48.34	190	l36c
g50b	57.43	-36.92	-27.8	46.22	217	l72c
g75b	55.19	-21.2	-44.17	48.99	244	c11v
b00r	41.84	1.31	-43.28	43.3	272	c56v
b25r	29.72	24.12	-41.48	47.98	300	v04m
b50r	38.41	44.74	-27.3	52.41	329	v55m
b75r	49.41	70.07	-3.62	70.16	357	m11o

$LAB^*LCH^*_{a}$

$i^*=1.00$

Brillantheit i^*

$i^*=0.80$

$i^*=0.60$

$i^*=0.40$

$i^*=0.20$

$i^*=0.00$

relative Buntheit c^*

relative Buntheit c^*

Ein und Ausgabe: Farbmetrisches Drucker-Reflektiv-System ORS20_95a für relativen CIELAB-Buntton $h^* = lab^*h^* = h_{ab}/360 = 0.834$

Daten für jede Farbe:

lab^*ch^* und lab^*icu^*

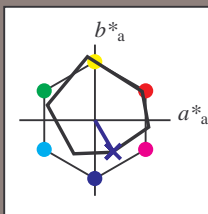
Bunttontexte:

$u^*_e = b25r$ $u^*_d = v04m$

Kontrastreduzierungsfaktor:

$c_R = 0.96$

Dreiecks-Helligkeit i^*



ORS20_95a; adaptierte CIELAB-Daten

	u^*_e	$L^*=L^*_a$	a^*_a	b^*_a	$C^*_{ab,a}$	$h^*_{ab,a}$
O _{Ma}	48.71	62.56	37.91	73.15	31	
Y _{Ma}	89.25	-9.92	83.91	84.49	97	
L _{Ma}	52.5	-62.91	19.95	66.0	162	
C _{Ma}	59.15	-27.87	-44.43	52.45	238	
V _{Ma}	29.13	22.73	-42.44	48.14	298	
M _{Ma}	49.51	71.08	-9.19	71.67	353	
N _{Ma}	20.0	0.0	0.0	0.0	0	
W _{Ma}	95.0	0.0	0.0	0.0	0	
R _{Ma}	39.92	58.74	27.99	65.07	25	
J _{Ma}	81.26	-2.89	71.56	71.62	92	
G _{Ma}	52.23	-42.42	13.6	44.55	162	
B _{Ma}	30.57	1.41	-46.47	46.49	272	

Daten für Maximalfarbe (Ma):

$LAB^*LAB^*_{Ma}$: 30 24 -41

$LAB^*LCH^*_{Ma}$: 30 48 300

$lab^*rgb^*_{Ma}$: 0.5 0.0 1.0

$lab^*olv^*_{Ma}$: 0.04 0.0 1.0

Dreiecks-Helligkeit i^*

%Umfang

$u^*_{rel} = 83$

%Regularität

$g^*_{H,rel} = 72$

$g^*_{C,rel} = 57$

ORS20_95a; adaptierte CIELAB-Daten

	u^*_e	$L^*=L^*_a$	a^*_a	b^*_a	$C^*_{ab,a}$	$h^*_{ab,a}$	u^*_d
r00j	48.83	63.91	30.45	70.79	25	m84o	
r25j	55.53	50.37	45.65	67.97	42	o17y	
r50j	64.76	33.86	56.12	65.55	59	o42y	
r75j	74.12	17.13	66.74	68.9	76	o67y	
j00g	85.5	-3.22	79.65	79.72	92	o92y	
j25g	79.45	-24.05	66.85	71.04	110	y20l	
j50g	69.75	-38.03	49.98	62.8	127	y46l	
j75g	61.38	-50.1	35.41	61.35	145	y72l	
g00b	52.6	-62.77	20.12	65.92	162	y99l	
g25b	55.39	-47.66	-8.06	48.34	190	l36c	
g50b	57.43	-36.92	-27.8	46.22	217	l72c	
g75b	55.19	-21.2	-44.17	48.99	244	c11v	
b00r	41.84	1.31	-43.28	43.3	272	c56v	
b25r	29.72	24.12	-41.48	47.98	300	v04m	
b50r	38.41	44.74	-27.3	52.41	329	v55m	
b75r	49.41	70.07	-3.62	70.16	357	m11o	

$LAB^*LCH^*_{a}$

$i^*=1.00$

Brillantheit i^*

$i^*=0.80$

$i^*=0.60$

$i^*=0.40$

$i^*=0.20$

relative Buntheit c^*

relative Buntheit c^*

Ein und Ausgabe: Farbmetrisches Drucker-Reflektiv-System ORS20_95a für relativen CIELAB-Buntton $h^* = lab^*h^* = h_{ab}/360 = 0.913$

Daten für jede Farbe:

lab^*tch^* und lab^*icu^*

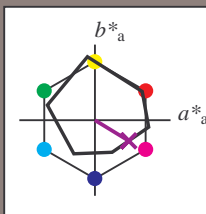
Bunttontexte:

$u^*_e = b50r$ $u^*_d = v55m$

Kontrastreduzierungsfaktor:

$c_R = 0.96$

Dreiecks-Helligkeit i^*



ORS20_95a; adaptierte CIELAB-Daten

	u^*_e	$L^*=L^*_a$	a^*_a	b^*_a	$C^*_{ab,a}$	$h^*_{ab,a}$
O _{Ma}	48.71	62.56	37.91	73.15	31	
Y _{Ma}	89.25	-9.92	83.91	84.49	97	
L _{Ma}	52.5	-62.91	19.95	66.0	162	
C _{Ma}	59.15	-27.87	-44.43	52.45	238	
V _{Ma}	29.13	22.73	-42.44	48.14	298	
M _{Ma}	49.51	71.08	-9.19	71.67	353	
N _{Ma}	20.0	0.0	0.0	0.0	0	
W _{Ma}	95.0	0.0	0.0	0.0	0	
R _{Ma}	39.92	58.74	27.99	65.07	25	
J _{Ma}	81.26	-2.89	71.56	71.62	92	
G _{Ma}	52.23	-42.42	13.6	44.55	162	
B _{Ma}	30.57	1.41	-46.47	46.49	272	

Daten für Maximalfarbe (Ma):

$LAB^*LAB^*_{Ma}$: 38 45 -27

$LAB^*LCH^*_{Ma}$: 38 52 328

$lab^*rgb^*_{Ma}$: 1.0 0.0 1.0

$lab^*olv^*_{Ma}$: 0.56 0.0 1.0

Dreiecks-Helligkeit i^*

%Umfang

$u^*_{rel} = 83$

%Regularität

$g^*_{H,rel} = 72$

$g^*_{C,rel} = 57$

ORS20_95a; adaptierte CIELAB-Daten

	u^*_e	$L^*=L^*_a$	a^*_a	b^*_a	$C^*_{ab,a}$	$h^*_{ab,a}$	u^*_d
r00j	48.83	63.91	30.45	70.79	25	m84o	
r25j	55.53	50.37	45.65	67.97	42	o17y	
r50j	64.76	33.86	56.12	65.55	59	o42y	
r75j	74.12	17.13	66.74	68.9	76	o67y	
j00g	85.5	-3.22	79.65	79.72	92	o92y	
j25g	79.45	-24.05	66.85	71.04	110	y20l	
j50g	69.75	-38.03	49.98	62.8	127	y46l	
j75g	61.38	-50.1	35.41	61.35	145	y72l	
g00b	52.6	-62.77	20.12	65.92	162	y99l	
g25b	55.39	-47.66	-8.06	48.34	190	l36c	
g50b	57.43	-36.92	-27.8	46.22	217	l72c	
g75b	55.19	-21.2	-44.17	48.99	244	c11v	
b00r	41.84	1.31	-43.28	43.3	272	c56v	
b25r	29.72	24.12	-41.48	47.98	300	v04m	
b50r	38.41	44.74	-27.3	52.41	329	v55m	
b75r	49.41	70.07	-3.62	70.16	357	m11o	

$LAB^*LCH^*_{Ma}$

$i^*=1.00$

Brillantheit i^*

$i^*=0.80$

$i^*=0.60$

$i^*=0.40$

$i^*=0.20$

$i^*=0.00$

relative Buntheit c^*

relative Buntheit c^*

Ein und Ausgabe: Farbmetrisches Drucker-Reflektiv-System ORS20_95a für relativen CIELAB-Buntton $h^* = lab^*h^* = h_{ab}/360 = 0.992$

Daten für jede Farbe:

lab^*tch^* und lab^*icu^*

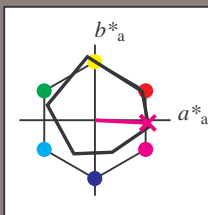
Bunttontexte:

$u^*_e = b75r$ $u^*_d = m11o$

Kontrastreduzierungsfaktor:

$c_R = 0.96$

Dreiecks-Helligkeit i^*



ORS20_95a; adaptierte CIELAB-Daten

u^*_e	$L^*=L^*_a$	a^*_a	b^*_a	$C^*_{ab,a}$	$h^*_{ab,a}$
O _{Ma}	48.71	62.56	37.91	73.15	31
Y _{Ma}	89.25	-9.92	83.91	84.49	97
L _{Ma}	52.5	-62.91	19.95	66.0	162
C _{Ma}	59.15	-27.87	-44.43	52.45	238
V _{Ma}	29.13	22.73	-42.44	48.14	298
M _{Ma}	49.51	71.08	-9.19	71.67	353
N _{Ma}	20.0	0.0	0.0	0.0	0
W _{Ma}	95.0	0.0	0.0	0.0	0
R _{Ma}	39.92	58.74	27.99	65.07	25
J _{Ma}	81.26	-2.89	71.56	71.62	92
G _{Ma}	52.23	-42.42	13.6	44.55	162
B _{Ma}	30.57	1.41	-46.47	46.49	272

Daten für Maximalfarbe (Ma):

$LAB^*LAB^*_{Ma}$: 49 70 -4

$LAB^*LCH^*_{Ma}$: 49 70 357

$lab^*rgb^*_{Ma}$: 1.0 0.0 0.5

$lab^*olv^*_{Ma}$: 1.0 0.0 0.89

Dreiecks-Helligkeit i^*

%Umfang

$u^*_{rel} = 83$

%Regularität

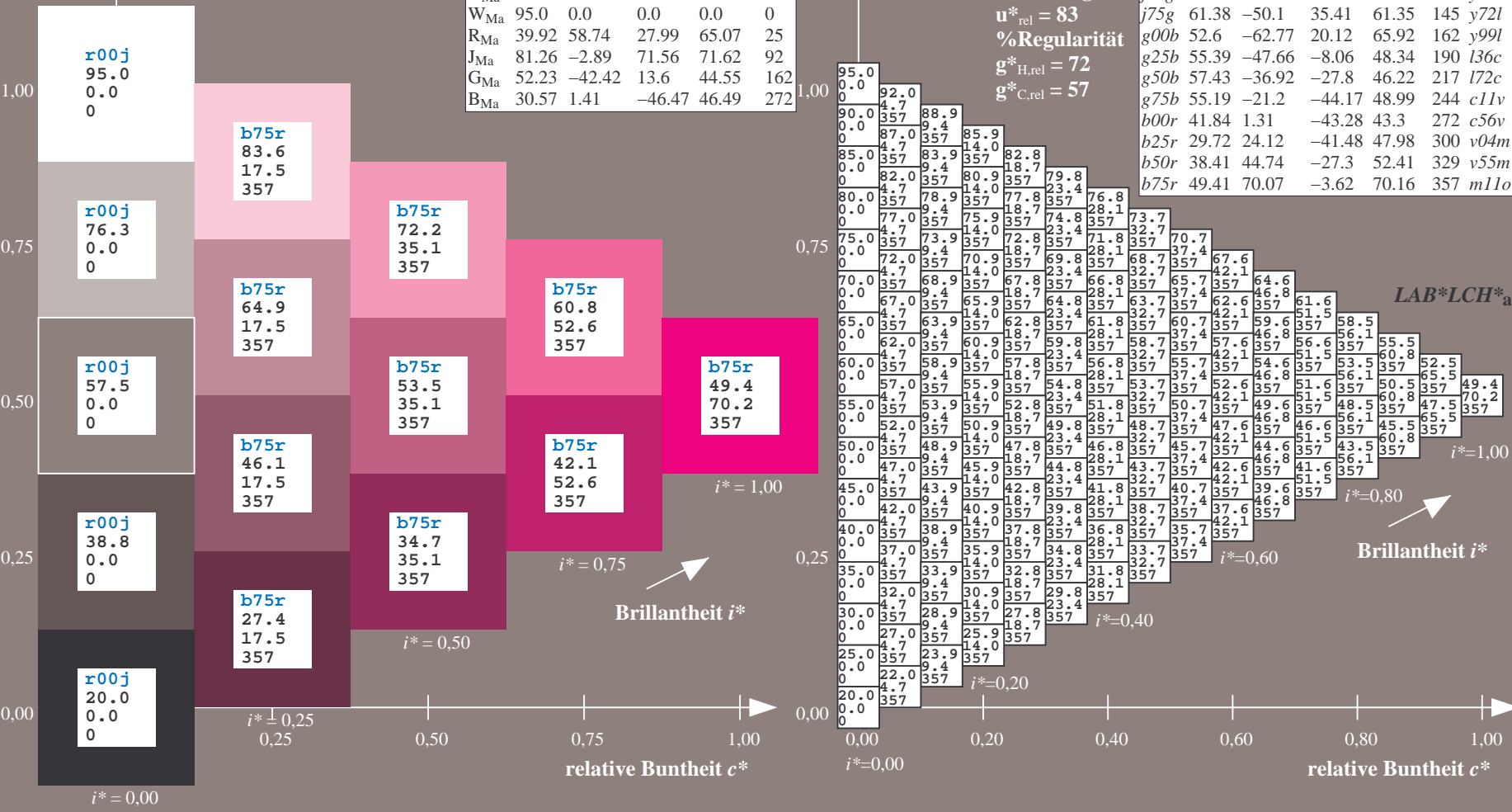
$g^*_{H,rel} = 72$

$g^*_{C,rel} = 57$

ORS20_95a; adaptierte CIELAB-Daten

u^*_e	$L^*=L^*_a$	a^*_a	b^*_a	$C^*_{ab,a}$	$h^*_{ab,a}$	u^*_d
r00j	48.83	63.91	30.45	70.79	25	m84o
r25j	55.53	50.37	45.65	67.97	42	o17y
r50j	64.76	33.86	56.12	65.55	59	o42y
r75j	74.12	17.13	66.74	68.9	76	o67y
j00g	85.5	-3.22	79.65	79.72	92	o92y
j25g	79.45	-24.05	66.85	71.04	110	y20l
j50g	69.75	-38.03	49.98	62.8	127	y46l
j75g	61.38	-50.1	35.41	61.35	145	y72l
g00b	52.6	-62.77	20.12	65.92	162	y99l
g25b	55.39	-47.66	-8.06	48.34	190	l36c
g50b	57.43	-36.92	-27.8	46.22	217	l72c
g75b	55.19	-21.2	-44.17	48.99	244	c11v
b00r	41.84	1.31	-43.28	43.3	272	c56v
b25r	29.72	24.12	-41.48	47.98	300	v04m
b50r	38.41	44.74	-27.3	52.41	329	v55m
b75r	49.41	70.07	-3.62	70.16	357	m11o

$u^*_e = b75r$
 $LAB^*LCH^*_{Ma}$



Siehe ähnliche Dateien: <http://www.ps.bam.de/Eg15/>; www.ps.bam.de/Eg15/10L/L15G00NP.PS/.PDF BAM-Material: Code=rhatha
Technische Information: <http://www.ps.bam.de> Version 2.1, io=1, ColSp=0

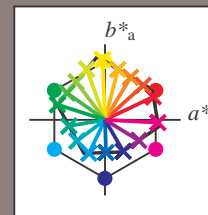
	A	B	C	D	E	F	G	H	I	J	K	L	M	N	O	P	Q	R	S	T	U	V	W	X	Y	Z	a	b	c	d	e	f	g	h	i	j	k	LAB*LCH*	20							
01	20.0	24.1	28.1	32.2	36.2	40.3	44.4	48.4	52.5	56.5	60.6	64.7	68.7	72.8	76.8	80.9	84.9	89.0	93.0	97.1	101.1	105.2	109.2	113.3	117.3	121.3	125.4	129.4	133.4	137.5	141.5	145.6	149.6	153.7	157.7	161.8	165.8	169.9	173.9	178.0	182.0	186.0	190.0	194.0	198.0	202.0
02	21.1	24.9	29.1	33.2	37.3	41.4	45.5	49.6	53.7	57.7	61.8	65.9	69.9	74.0	78.0	82.1	86.1	90.2	94.2	98.3	102.3	106.4	110.4	114.5	118.5	122.6	126.6	130.7	134.7	138.8	142.8	146.9	150.9	154.9	159.0	163.0	167.1	171.1	175.1	179.2	183.2	187.2	191.3	195.3	199.3	203.3
03	22.2	25.9	29.8	33.9	38.1	42.3	46.4	50.6	54.7	58.8	62.9	67.0	71.1	75.2	79.3	83.4	87.5	91.6	95.7	99.8	103.8	107.9	112.0	116.1	120.1	124.2	128.3	132.3	136.4	140.5	144.5	148.6	152.7	156.7	160.8	164.8	168.9	173.0	177.0	181.1	185.1	189.2	193.2	197.3	201.3	
04	23.4	27.1	30.5	34.7	38.8	43.0	47.2	51.3	55.5	59.6	63.7	67.8	71.9	76.0	80.1	84.2	88.3	92.4	96.5	100.6	104.7	108.8	112.9	117.0	121.1	125.1	129.2	133.3	137.4	141.5	145.6	149.7	153.8	157.9	161.9	166.0	170.1	174.2	178.2	182.3	186.3	190.4	194.4	198.5	202.5	
05	24.6	28.3	31.7	35.9	39.6	43.7	47.8	52.0	56.1	60.2	64.3	68.4	72.5	76.6	80.7	84.8	88.9	93.0	97.1	101.2	105.3	109.4	113.5	117.6	121.7	125.8	129.9	134.0	138.1	142.2	146.3	150.4	154.5	158.6	162.7	166.8	170.9	175.0	179.1	183.2	187.2	191.3	195.3	199.3	203.3	
06	25.7	29.5	33.0	36.4	40.1	44.1	48.2	52.3	56.4	60.5	64.6	68.7	72.8	76.9	81.0	85.1	89.2	93.3	97.4	101.5	105.6	109.7	113.8	117.9	122.0	126.1	130.2	134.3	138.4	142.5	146.6	150.7	154.8	158.9	163.0	167.1	171.2	175.3	179.4	183.5	187.6	191.7	195.8	199.9	204.0	
07	26.9	30.7	34.2	37.6	41.1	44.9	48.8	52.9	56.9	61.0	65.1	69.2	73.3	77.4	81.5	85.6	89.7	93.8	97.9	102.0	106.1	110.2	114.3	118.4	122.5	126.6	130.7	134.8	138.9	143.0	147.1	151.2	155.3	159.4	163.5	167.6	171.7	175.8	179.9	184.0	188.1	192.2	196.3	200.4		
08	28.0	31.9	35.5	38.9	42.3	46.4	50.5	54.6	58.7	62.8	66.9	71.0	75.1	79.2	83.3	87.4	91.5	95.6	99.7	103.8	107.9	112.0	116.1	120.2	124.3	128.4	132.5	136.6	140.7	144.8	148.9	153.0	157.1	161.2	165.3	169.4	173.5	177.6	181.7	185.8	189.9	194.0	198.1	202.2		
09	29.1	33.1	36.7	40.1	43.5	46.9	50.6	54.6	59.1	63.1	67.4	71.4	75.7	79.9	84.2	88.5	92.8	97.1	101.4	105.7	110.0	114.3	118.6	122.9	127.2	131.5	135.8	140.1	144.4	148.7	153.0	157.3	161.6	165.9	170.2	174.5	178.8	183.1	187.4	191.7	196.0	200.3	204.6	208.9	213.2	
10	30.8	35.4	40.1	46.0	48.7	52.4	56.6	60.6	64.7	68.7	72.8	76.9	81.0	85.1	89.2	93.3	97.4	101.5	105.6	109.7	113.8	117.9	122.0	126.1	130.2	134.3	138.4	142.5	146.6	150.7	154.8	158.9	163.0	167.1	171.2	175.3	179.4	183.5	187.6	191.7	195.8	199.9	204.0	208.1	212.2	
11	31.9	36.6	41.3	46.7	49.7	53.7	57.8	61.9	66.0	70.1	74.2	78.3	82.4	86.5	90.6	94.7	98.8	102.9	107.0	111.1	115.2	119.3	123.4	127.5	131.6	135.7	139.8	143.9	148.0	152.1	156.2	160.3	164.4	168.5	172.6	176.7	180.8	184.9	189.0	193.1	197.2	201.3	205.4	209.5	213.6	
12	32.9	37.7	42.3	47.6	50.6	54.9	59.1	63.3	67.4	71.5	75.7	79.9	84.1	88.3	92.5	96.7	100.9	105.1	109.3	113.5	117.7	121.9	126.1	130.3	134.5	138.7	142.9	147.1	151.3	155.5	159.7	163.9	168.1	172.3	176.5	180.7	184.9	189.1	193.3	197.5	201.7	205.9	210.1	214.3		
13	33.9	38.7	43.4	48.7	51.7	56.0	60.2	64.4	68.6	72.8	77.0	81.2	85.4	89.6	93.8	98.0	102.2	106.4	110.6	114.8	119.0	123.2	127.4	131.6	135.8	140.0	144.2	148.4	152.6	156.8	161.0	165.2	169.4	173.6	177.8	182.0	186.2	190.4	194.6	198.8	203.0	207.2	211.4	215.6		
14	34.9	39.7	44.4	49.7	52.7	57.0	61.2	65.4	69.6	73.8	78.0	82.2	86.4	90.6	94.8	99.0	103.2	107.4	111.6	115.8	120.0	124.2	128.4	132.6	136.8	141.0	145.2	149.4	153.6	157.8	162.0	166.2	170.4	174.6	178.8	183.0	187.2	191.4	195.6	199.8	204.0	208.2	212.4	216.6		
15	35.9	40.7	45.4	50.7	53.7	58.0	62.2	66.4	70.6	74.8	79.0	83.2	87.4	91.6	95.8	100.0	104.2	108.4	112.6	116.8	121.0	125.2	129.4	133.6	137.8	142.0	146.2	150.4	154.6	158.8	163.0	167.2	171.4	175.6	179.8	184.0	188.2	192.4	196.6	200.8	205.0	209.2	213.4	217.6		
16	36.9	41.7	46.4	51.7	54.7	59.0	63.2	67.4	71.6	75.8	80.0	84.2	88.4	92.6	96.8	101.0	105.2	109.4	113.6	117.8	122.0	126.2	130.4	134.6	138.8	143.0	147.2	151.4	155.6	159.8	164.0	168.2	172.4	176.6	180.8	185.0	189.2	193.4	197.6	201.8	206.0	210.2	214.4	218.6		
17	37.9	42.7	47.4	52.7	55.7	60.0	64.2	68.4	72.6	76.8	81.0	85.2	89.4	93.6	97.8	102.0	106.2	110.4	114.6	118.8	123.0	127.2	131.4	135.6	139.8	144.0	148.2	152.4	156.6	160.8	165.0	169.2	173.4	177.6	181.8	186.0	190.2	194.4	198.6	202.8	207.0	211.2	215.4	219.6		
18	38.9	43.7	48.4	53.7	56.7	61.0	65.2	69.4	73.6	77.8	82.0	86.2	90.4	94.6	98.8	103.0	107.2	111.4	115.6	119.8	124.0	128.2	132.4	136.6	140.8	145.0	149.2	153.4	157.6	161.8	166.0	170.2	174.4	178.6	182.8	187.0	191.2	195.4	199.6	203.8	208.0	212.2	216.4	220.6		
19	39.9	44.7	49.4	54.7	57.7	62.0	66.2	70.4	74.6	78.8	83.0	87.2	91.4	95.6	99.8	104.0	108.2	112.4	116.6	120.8	125.0	129.2	133.4	137.6	141.8	146.0	150.2	154.4	158.6	162.8	167.0	171.2	175.4	179.6	183.8	188.0	192.2	196.4	200.6	204.8	209.0	213.2	217.4	221.6		
20	40.9	45.7	50.4	55.7	58.7	63.0	67.2	71.4	75.6	79.8	84.0	88.2	92.4	96.6	100.8	105.0	109.2	113.4	117.6	121.8	126.0	130.2	134.4	138.6	142.8	147.0	151.2	155.4	159.6	163.8	168.0	172.2	176.4	180.6	184.8	189.0	193.2	197.4	201.6	205.8	210.0	214.2	218.4	222.6		
21	41.9	46.7	51.4	56.7	59.7	64.0	68.2	72.4	76.6	80.8	85.0	89.2	93.4	97.6	101.8	106.0	110.2	114.4	118.6	122.8	127.0	131.2	135.4	139.6	143.8	148.0	152.2	156.4	160.6	164.8	169.0	173.2	177.4	181.6	185.8	190.0	194.2	198.4	202.6	206.8	211.0	215.2	219.4	223.6		
22	42.9	47.7	52.4	57.7	60.7	65.0	69.2	73.4	77.6	81.8	86.0	90.2	94.4	98.6	102.8	107.0	111.2	115.4	119.6	123.8	128.0	132.2	136.4	140.6	144.8	149.0	153.2	157.4	161.6	165.8	170.0	174.2	178.4	182.6	186.8	191.0	195.2	199.4	203.6	207.8	212.0	216.2	220.4	224.6		
23	43.9	48.7	53.4	58.7	61.7	66.0	70.2	74.4	78.6	82.8	87.0	91.2	95.4	99.6	103.8	10																														

Ein und Ausgabe:
Farbmetrisches Drucker-Reflektiv-System ORS20_95a
Daten für jede Farbe:

u_e^* und Nummer $Nr.$ = 00 .. 15
Elementar-Bunttontext:
 $u_e^* = 16$ Bunttoene $r00j, r25j, \dots, b75r$
Kontrastreduzierungsfaktor:
 $c_R = 0.96$

ORS20_95a; adaptierte CIELAB-Daten

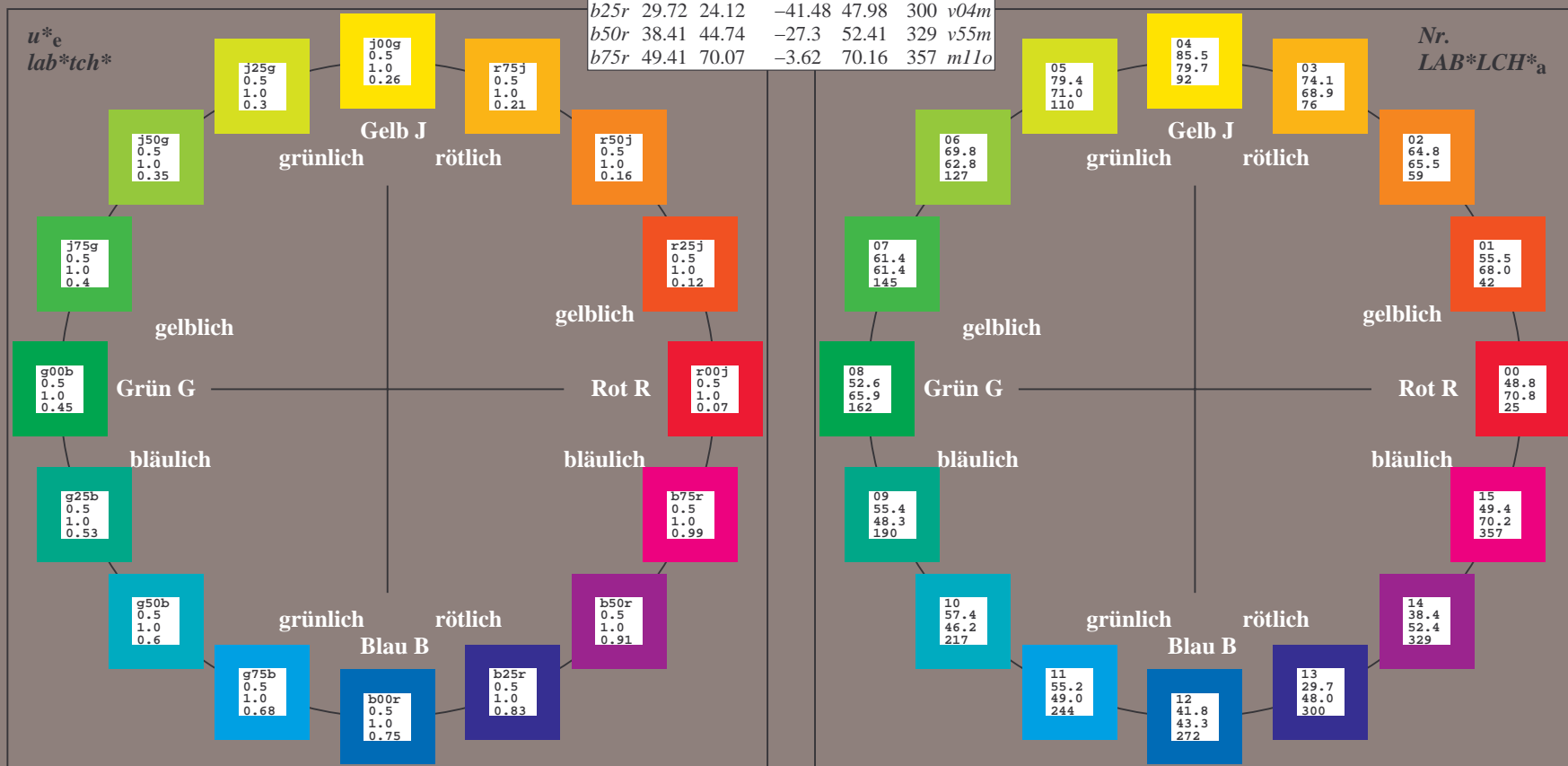
u_e^*	$L^*=L_a^*$	a^*_a	b^*_a	$C^*_{ab,a}$	$h^*_{ab,a}$	u_d^*
$r00j$	48.83	63.91	30.45	70.79	25	$m84o$
$r25j$	55.53	50.37	45.65	67.97	42	$o17y$
$r50j$	64.76	33.86	56.12	65.55	59	$o42y$
$r75j$	74.12	17.13	66.74	68.9	76	$o67y$
$j00g$	85.5	-3.22	79.65	79.72	92	$o92y$
$j25g$	79.45	-24.05	66.85	71.04	110	$y20l$
$j50g$	69.75	-38.03	49.98	62.8	127	$y46l$
$j75g$	61.38	-50.1	35.41	61.35	145	$y72l$
$g00b$	52.6	-62.77	20.12	65.92	162	$y99l$
$g25b$	55.39	-47.66	-8.06	48.34	190	$l36c$
$g50b$	57.43	-36.92	-27.8	46.22	217	$l72c$
$g75b$	55.19	-21.2	-44.17	48.99	244	$c11v$
$b00r$	41.84	1.31	-43.28	43.3	272	$c56v$
$b25r$	29.72	24.12	-41.48	47.98	300	$v04m$
$b50r$	38.41	44.74	-27.3	52.41	329	$v55m$
$b75r$	49.41	70.07	-3.62	70.16	357	$m11o$



%Umfang
 $u_{rel}^* = 83$
%Regularität
 $g_{H,rel}^* = 72$
 $g_{C,rel}^* = 57$

ORS20_95a; adaptierte CIELAB-Daten

Name	$L^*=L_a^*$	a^*_a	b^*_a	$C^*_{ab,a}$	$h^*_{ab,a}$
O_{Ma}	48.71	62.56	37.91	73.15	31
Y_{Ma}	89.25	-9.92	83.91	84.49	97
L_{Ma}	52.5	-62.91	19.95	66.0	162
C_{Ma}	59.15	-27.87	-44.43	52.45	238
V_{Ma}	29.13	22.73	-42.44	48.14	298
M_{Ma}	49.51	71.08	-9.19	71.67	353
N_{Ma}	20.0	0.0	0.0	0.0	0
W_{Ma}	95.0	0.0	0.0	0.0	0
R_{CIE}	39.92	58.74	27.99	65.07	25
J_{CIE}	81.26	-2.89	71.56	71.62	92
G_{CIE}	52.23	-42.42	13.6	44.55	162
B_{CIE}	30.57	1.41	-46.47	46.49	272



Ein und Ausgabe: Farbmetrisches Drucker-Reflektiv-System ORS20_95a für relativen CIELAB-Buntton $h^* = lab^*h^* = h_{ab}/360 = 0.071$

Daten für jede Farbe:

lab^*tch^* und lab^*icu^*

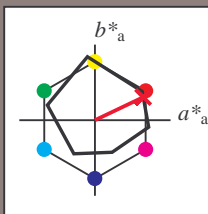
Bunttontexte:

$u^*_e = r00j$ $u^*_d = m84o$

Kontrastreduzierungsfaktor:

$c_R = 0.96$

Dreiecks-Helligkeit i^*



ORS20_95a; adaptierte CIELAB-Daten

u^*_e	$L^*=L^*_a$	a^*_a	b^*_a	$C^*_{ab,a}$	$h^*_{ab,a}$
O _{Ma}	48.71	62.56	37.91	73.15	31
Y _{Ma}	89.25	-9.92	83.91	84.49	97
L _{Ma}	52.5	-62.91	19.95	66.0	162
C _{Ma}	59.15	-27.87	-44.43	52.45	238
V _{Ma}	29.13	22.73	-42.44	48.14	298
M _{Ma}	49.51	71.08	-9.19	71.67	353
N _{Ma}	20.0	0.0	0.0	0.0	0
W _{Ma}	95.0	0.0	0.0	0.0	0
R _{Ma}	39.92	58.74	27.99	65.07	25
J _{Ma}	81.26	-2.89	71.56	71.62	92
G _{Ma}	52.23	-42.42	13.6	44.55	162
B _{Ma}	30.57	1.41	-46.47	46.49	272

Daten für Maximalfarbe (Ma):

$LAB^*LAB^*_{Ma}$: 49 64 30

$LAB^*LCH^*_{Ma}$: 49 71 25

$lab^*rgb^*_{Ma}$: 1.0 0.0 0.0

$lab^*olv^*_{Ma}$: 1.0 0.0 0.15

Dreiecks-Helligkeit i^*

%Umfang

$u^*_{rel} = 83$

%Regularität

$g^*_{H,rel} = 72$

$g^*_{C,rel} = 57$

ORS20_95a; adaptierte CIELAB-Daten

u^*_e	$L^*=L^*_a$	a^*_a	b^*_a	$C^*_{ab,a}$	$h^*_{ab,a}$	u^*_d
r00j	48.83	63.91	30.45	70.79	25	m84o
r25j	55.53	50.37	45.65	67.97	42	o17y
r50j	64.76	33.86	56.12	65.55	59	o42y
r75j	74.12	17.13	66.74	68.9	76	o67y
j00g	85.5	-3.22	79.65	79.72	92	o92y
j25g	79.45	-24.05	66.85	71.04	110	y20l
j50g	69.75	-38.03	49.98	62.8	127	y46l
j75g	61.38	-50.1	35.41	61.35	145	y72l
g00b	52.6	-62.77	20.12	65.92	162	y99l
g25b	55.39	-47.66	-8.06	48.34	190	l36c
g50b	57.43	-36.92	-27.8	46.22	217	l72c
g75b	55.19	-21.2	-44.17	48.99	244	c11v
b00r	41.84	1.31	-43.28	43.3	272	c56v
b25r	29.72	24.12	-41.48	47.98	300	v04m
b50r	38.41	44.74	-27.3	52.41	329	v55m
b75r	49.41	70.07	-3.62	70.16	357	m11o

lab^*tch^*

$i^* = 1.00$

Brillantheit i^*

$i^* = 0.80$

$i^* = 0.60$

$i^* = 0.40$

$i^* = 0.20$

$i^* = 0.00$

relative Bunttheit c^*

relative Bunttheit c^*

Ein und Ausgabe: Farbmetrisches Drucker-Reflektiv-System ORS20_95a für relativen CIELAB-Buntton $h^* = lab^*h^* = h_{ab}/360 = 0.117$

Daten für jede Farbe:

lab^*tch^* und lab^*icu^*

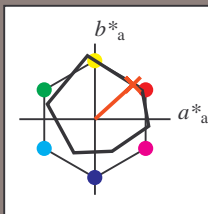
Bunttontexte:

$u^*_e = r25j$ $u^*_d = o17y$

Kontrastreduzierungsfaktor:

$c_R = 0.96$

Dreiecks-Helligkeit i^*



ORS20_95a; adaptierte CIELAB-Daten

	u^*_e	$L^*=L^*_a$	a^*_a	b^*_a	$C^*_{ab,a}$	$h^*_{ab,a}$
O _{Ma}	48.71	62.56	37.91	73.15	31	
Y _{Ma}	89.25	-9.92	83.91	84.49	97	
L _{Ma}	52.5	-62.91	19.95	66.0	162	
C _{Ma}	59.15	-27.87	-44.43	52.45	238	
V _{Ma}	29.13	22.73	-42.44	48.14	298	
M _{Ma}	49.51	71.08	-9.19	71.67	353	
N _{Ma}	20.0	0.0	0.0	0.0	0	
W _{Ma}	95.0	0.0	0.0	0.0	0	
R _{Ma}	39.92	58.74	27.99	65.07	25	
J _{Ma}	81.26	-2.89	71.56	71.62	92	
G _{Ma}	52.23	-42.42	13.6	44.55	162	
B _{Ma}	30.57	1.41	-46.47	46.49	272	

Daten für Maximalfarbe (Ma):

$LAB^*LAB^*_{Ma}$: 56 50 46

$LAB^*LCH^*_{Ma}$: 56 68 42

$lab^*rgb^*_{Ma}$: 1.0 0.25 0.0

$lab^*olv^*_{Ma}$: 1.0 0.17 0.0

Dreiecks-Helligkeit i^*

%Umfang

$u^*_{rel} = 83$

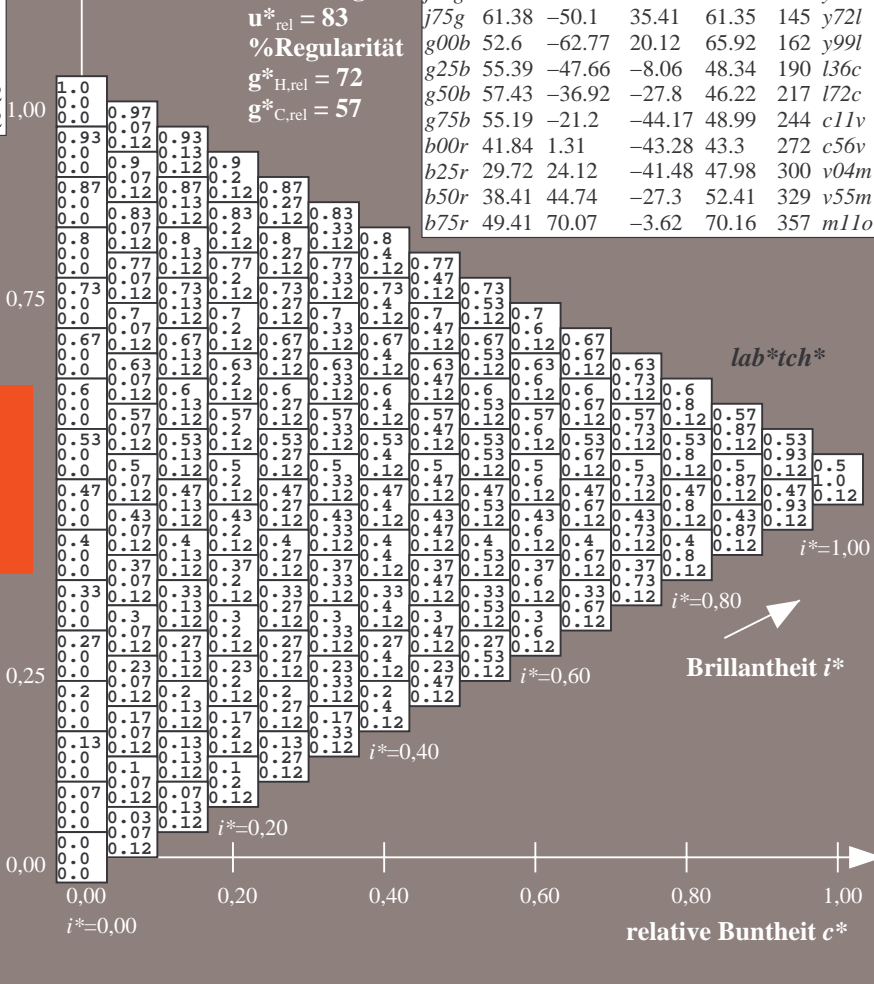
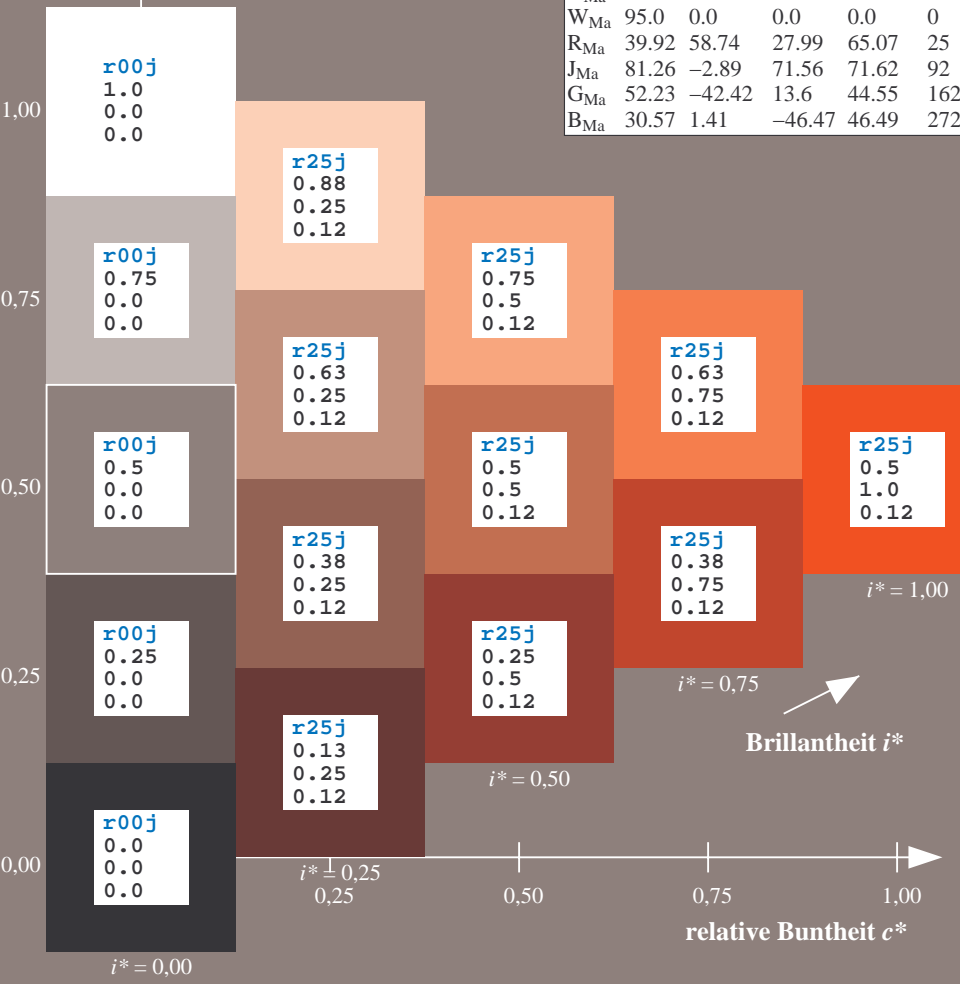
%Regularität

$g^*_{H,rel} = 72$

$g^*_{C,rel} = 57$

ORS20_95a; adaptierte CIELAB-Daten

	u^*_e	$L^*=L^*_a$	a^*_a	b^*_a	$C^*_{ab,a}$	$h^*_{ab,a}$	u^*_d
r00j	48.83	63.91	30.45	70.79	25	m84o	
r25j	55.53	50.37	45.65	67.97	42	o17y	
r50j	64.76	33.86	56.12	65.55	59	o42y	
r75j	74.12	17.13	66.74	68.9	76	o67y	
j00g	85.5	-3.22	79.65	79.72	92	o92y	
j25g	79.45	-24.05	66.85	71.04	110	y20l	
j50g	69.75	-38.03	49.98	62.8	127	y46l	
j75g	61.38	-50.1	35.41	61.35	145	y72l	
g00b	52.6	-62.77	20.12	65.92	162	y99l	
g25b	55.39	-47.66	-8.06	48.34	190	l36c	
g50b	57.43	-36.92	-27.8	46.22	217	l72c	
g75b	55.19	-21.2	-44.17	48.99	244	c11v	
b00r	41.84	1.31	-43.28	43.3	272	c56v	
b25r	29.72	24.12	-41.48	47.98	300	v04m	
b50r	38.41	44.74	-27.3	52.41	329	v55m	
b75r	49.41	70.07	-3.62	70.16	357	m11o	



Ein und Ausgabe: Farbmetrisches Drucker-Reflektiv-System ORS20_95a für relativen CIELAB-Buntton $h^* = lab^*h^* = h_{ab}/360 = 0.164$

Daten für jede Farbe:

lab^*tch^* und lab^*icu^*

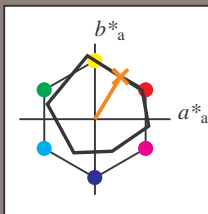
Bunttontexte:

$u^*_e = r50j$ $u^*_d = o42y$

Kontrastreduzierungsfaktor:

$c_R = 0.96$

Dreiecks-Helligkeit i^*



ORS20_95a; adaptierte CIELAB-Daten

	u^*_e	$L^*=L^*_a$	a^*_a	b^*_a	$C^*_{ab,a}$	$h^*_{ab,a}$
O _{Ma}	48.71	62.56	37.91	73.15	31	
Y _{Ma}	89.25	-9.92	83.91	84.49	97	
L _{Ma}	52.5	-62.91	19.95	66.0	162	
C _{Ma}	59.15	-27.87	-44.43	52.45	238	
V _{Ma}	29.13	22.73	-42.44	48.14	298	
M _{Ma}	49.51	71.08	-9.19	71.67	353	
N _{Ma}	20.0	0.0	0.0	0.0	0	
W _{Ma}	95.0	0.0	0.0	0.0	0	
R _{Ma}	39.92	58.74	27.99	65.07	25	
J _{Ma}	81.26	-2.89	71.56	71.62	92	
G _{Ma}	52.23	-42.42	13.6	44.55	162	
B _{Ma}	30.57	1.41	-46.47	46.49	272	

Daten für Maximalfarbe (Ma):

$LAB^*LAB^*_{Ma}$: 65 34 56

$LAB^*LCH^*_{Ma}$: 65 66 58

$lab^*rgb^*_{Ma}$: 1.0 0.5 0.0

$lab^*olv^*_{Ma}$: 1.0 0.42 0.0

Dreiecks-Helligkeit i^*

%Umfang

$u^*_{rel} = 83$

%Regularität

$g^*_{H,rel} = 72$

$g^*_{C,rel} = 57$

ORS20_95a; adaptierte CIELAB-Daten

	u^*_e	$L^*=L^*_a$	a^*_a	b^*_a	$C^*_{ab,a}$	$h^*_{ab,a}$	u^*_d
r00j	48.83	63.91	30.45	70.79	25	m84o	
r25j	55.53	50.37	45.65	67.97	42	o17y	
r50j	64.76	33.86	56.12	65.55	59	o42y	
r75j	74.12	17.13	66.74	68.9	76	o67y	
j00g	85.5	-3.22	79.65	79.72	92	o92y	
j25g	79.45	-24.05	66.85	71.04	110	y20l	
j50g	69.75	-38.03	49.98	62.8	127	y46l	
j75g	61.38	-50.1	35.41	61.35	145	y72l	
g00b	52.6	-62.77	20.12	65.92	162	y99l	
g25b	55.39	-47.66	-8.06	48.34	190	l36c	
g50b	57.43	-36.92	-27.8	46.22	217	l72c	
g75b	55.19	-21.2	-44.17	48.99	244	c11v	
b00r	41.84	1.31	-43.28	43.3	272	c56v	
b25r	29.72	24.12	-41.48	47.98	300	v04m	
b50r	38.41	44.74	-27.3	52.41	329	v55m	
b75r	49.41	70.07	-3.62	70.16	357	m11o	

lab^*tch^*

$i^* = 1.00$

Brillantheit i^*

$i^* = 0.80$

$i^* = 0.60$

$i^* = 0.40$

$i^* = 0.20$

$i^* = 0.00$

Ein und Ausgabe: Farbmetrisches Drucker-Reflektiv-System ORS20_95a für relativen CIELAB-Buntton $h^* = lab^*h^* = h_{ab}/360 = 0.21$

Daten für jede Farbe:

lab^*tch^* und lab^*icu^*

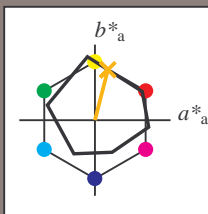
Bunttontexte:

$u^*_e = r75j$ $u^*_d = o67y$

Kontrastreduzierungsfaktor:

$c_R = 0.96$

Dreiecks-Helligkeit i^*



ORS20_95a; adaptierte CIELAB-Daten

	u^*_e	$L^*=L^*_a$	a^*_a	b^*_a	$C^*_{ab,a}$	$h^*_{ab,a}$
O _{Ma}	48.71	62.56	37.91	73.15	31	
Y _{Ma}	89.25	-9.92	83.91	84.49	97	
L _{Ma}	52.5	-62.91	19.95	66.0	162	
C _{Ma}	59.15	-27.87	-44.43	52.45	238	
V _{Ma}	29.13	22.73	-42.44	48.14	298	
M _{Ma}	49.51	71.08	-9.19	71.67	353	
N _{Ma}	20.0	0.0	0.0	0.0	0	
W _{Ma}	95.0	0.0	0.0	0.0	0	
R _{Ma}	39.92	58.74	27.99	65.07	25	
J _{Ma}	81.26	-2.89	71.56	71.62	92	
G _{Ma}	52.23	-42.42	13.6	44.55	162	
B _{Ma}	30.57	1.41	-46.47	46.49	272	

Daten für Maximalfarbe (Ma):

$LAB^*LAB^*_{Ma}$: 74 17 67

$LAB^*LCH^*_{Ma}$: 74 69 75

$lab^*rgb^*_{Ma}$: 1.0 0.75 0.0

$lab^*olv^*_{Ma}$: 1.0 0.68 0.0

Dreiecks-Helligkeit i^*

%Umfang

$u^*_{rel} = 83$

%Regularität

$g^*_{H,rel} = 72$

$g^*_{C,rel} = 57$

ORS20_95a; adaptierte CIELAB-Daten

	u^*_e	$L^*=L^*_a$	a^*_a	b^*_a	$C^*_{ab,a}$	$h^*_{ab,a}$	u^*_d
r00j	48.83	63.91	30.45	70.79	25	m84o	
r25j	55.53	50.37	45.65	67.97	42	o17y	
r50j	64.76	33.86	56.12	65.55	59	o42y	
r75j	74.12	17.13	66.74	68.9	76	o67y	
j00g	85.5	-3.22	79.65	79.72	92	o92y	
j25g	79.45	-24.05	66.85	71.04	110	y20l	
j50g	69.75	-38.03	49.98	62.8	127	y46l	
j75g	61.38	-50.1	35.41	61.35	145	y72l	
g00b	52.6	-62.77	20.12	65.92	162	y99l	
g25b	55.39	-47.66	-8.06	48.34	190	l36c	
g50b	57.43	-36.92	-27.8	46.22	217	l72c	
g75b	55.19	-21.2	-44.17	48.99	244	c11v	
b00r	41.84	1.31	-43.28	43.3	272	c56v	
b25r	29.72	24.12	-41.48	47.98	300	v04m	
b50r	38.41	44.74	-27.3	52.41	329	v55m	
b75r	49.41	70.07	-3.62	70.16	357	m11o	

lab^*tch^*

$i^*=1.00$

Brillantheit i^*

$i^*=0.80$

$i^*=0.60$

$i^*=0.40$

$i^*=0.20$

Ein und Ausgabe: Farbmetrisches Drucker-Reflektiv-System ORS20_95a für relativen CIELAB-Buntton $h^* = lab^*h^* = h_{ab}/360 = 0.256$

Daten für jede Farbe:

lab^*tch^* und lab^*icu^*

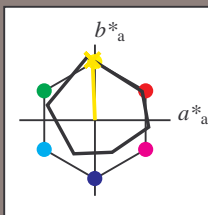
Bunttontexte:

$u^*_e = j00g$ $u^*_d = o92y$

Kontrastreduzierungsfaktor:

$c_R = 0.96$

Dreiecks-Helligkeit i^*



ORS20_95a; adaptierte CIELAB-Daten

u^*_e	$L^*=L^*_a$	a^*_a	b^*_a	$C^*_{ab,a}$	$h^*_{ab,a}$
O _{Ma}	48.71	62.56	37.91	73.15	31
Y _{Ma}	89.25	-9.92	83.91	84.49	97
L _{Ma}	52.5	-62.91	19.95	66.0	162
C _{Ma}	59.15	-27.87	-44.43	52.45	238
V _{Ma}	29.13	22.73	-42.44	48.14	298
M _{Ma}	49.51	71.08	-9.19	71.67	353
N _{Ma}	20.0	0.0	0.0	0.0	0
W _{Ma}	95.0	0.0	0.0	0.0	0
R _{Ma}	39.92	58.74	27.99	65.07	25
J _{Ma}	81.26	-2.89	71.56	71.62	92
G _{Ma}	52.23	-42.42	13.6	44.55	162
B _{Ma}	30.57	1.41	-46.47	46.49	272

Daten für Maximalfarbe (Ma):

$LAB^*LAB^*_{Ma}$: 86 -3 80

$LAB^*LCH^*_{Ma}$: 86 80 92

$lab^*rgb^*_{Ma}$: 1.0 1.0 0.0

$lab^*olv^*_{Ma}$: 1.0 0.93 0.0

Dreiecks-Helligkeit i^*

%Umfang

$u^*_{rel} = 83$

%Regularität

$g^*_{H,rel} = 72$

$g^*_{C,rel} = 57$

ORS20_95a; adaptierte CIELAB-Daten

u^*_e	$L^*=L^*_a$	a^*_a	b^*_a	$C^*_{ab,a}$	$h^*_{ab,a}$	u^*_d
r00j	48.83	63.91	30.45	70.79	25	m84o
r25j	55.53	50.37	45.65	67.97	42	o17y
r50j	64.76	33.86	56.12	65.55	59	o42y
r75j	74.12	17.13	66.74	68.9	76	o67y
j00g	85.5	-3.22	79.65	79.72	92	o92y
j25g	79.45	-24.05	66.85	71.04	110	y20l
j50g	69.75	-38.03	49.98	62.8	127	y46l
j75g	61.38	-50.1	35.41	61.35	145	y72l
g00b	52.6	-62.77	20.12	65.92	162	y99l
g25b	55.39	-47.66	-8.06	48.34	190	l36c
g50b	57.43	-36.92	-27.8	46.22	217	l72c
g75b	55.19	-21.2	-44.17	48.99	244	c11v
b00r	41.84	1.31	-43.28	43.3	272	c56v
b25r	29.72	24.12	-41.48	47.98	300	v04m
b50r	38.41	44.74	-27.3	52.41	329	v55m
b75r	49.41	70.07	-3.62	70.16	357	m11o

lab^*tch^*

$i^* = 1.00$

Brillantheit i^*

$i^* = 0.80$

$i^* = 0.60$

$i^* = 0.40$

$i^* = 0.20$

Ein und Ausgabe: Farbmetrisches Drucker-Reflektiv-System ORS20_95a für relativen CIELAB-Buntton $h^* = lab^*h^* = h_{ab}/360 = 0.305$

Daten für jede Farbe:

lab^*tch^* und lab^*icu^*

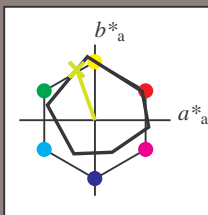
Bunttontexte:

$u^*_e = j25g$ $u^*_d = y20l$

Kontrastreduzierungsfaktor:

$c_R = 0.96$

Dreiecks-Helligkeit i^*



ORS20_95a; adaptierte CIELAB-Daten

u^*_e	$L^*=L^*_a$	a^*_a	b^*_a	$C^*_{ab,a}$	$h^*_{ab,a}$
O _{Ma}	48.71	62.56	37.91	73.15	31
Y _{Ma}	89.25	-9.92	83.91	84.49	97
L _{Ma}	52.5	-62.91	19.95	66.0	162
C _{Ma}	59.15	-27.87	-44.43	52.45	238
V _{Ma}	29.13	22.73	-42.44	48.14	298
M _{Ma}	49.51	71.08	-9.19	71.67	353
N _{Ma}	20.0	0.0	0.0	0.0	0
W _{Ma}	95.0	0.0	0.0	0.0	0
R _{Ma}	39.92	58.74	27.99	65.07	25
J _{Ma}	81.26	-2.89	71.56	71.62	92
G _{Ma}	52.23	-42.42	13.6	44.55	162
B _{Ma}	30.57	1.41	-46.47	46.49	272

Daten für Maximalfarbe (Ma):

$LAB^*LAB^*_{Ma}$: 79 -24 67

$LAB^*LCH^*_{Ma}$: 79 71 109

$lab^*rgb^*_{Ma}$: 0.75 1.0 0.0

$lab^*olv^*_{Ma}$: 0.8 1.0 0.0

Dreiecks-Helligkeit i^*

%Umfang

$u^*_{rel} = 83$

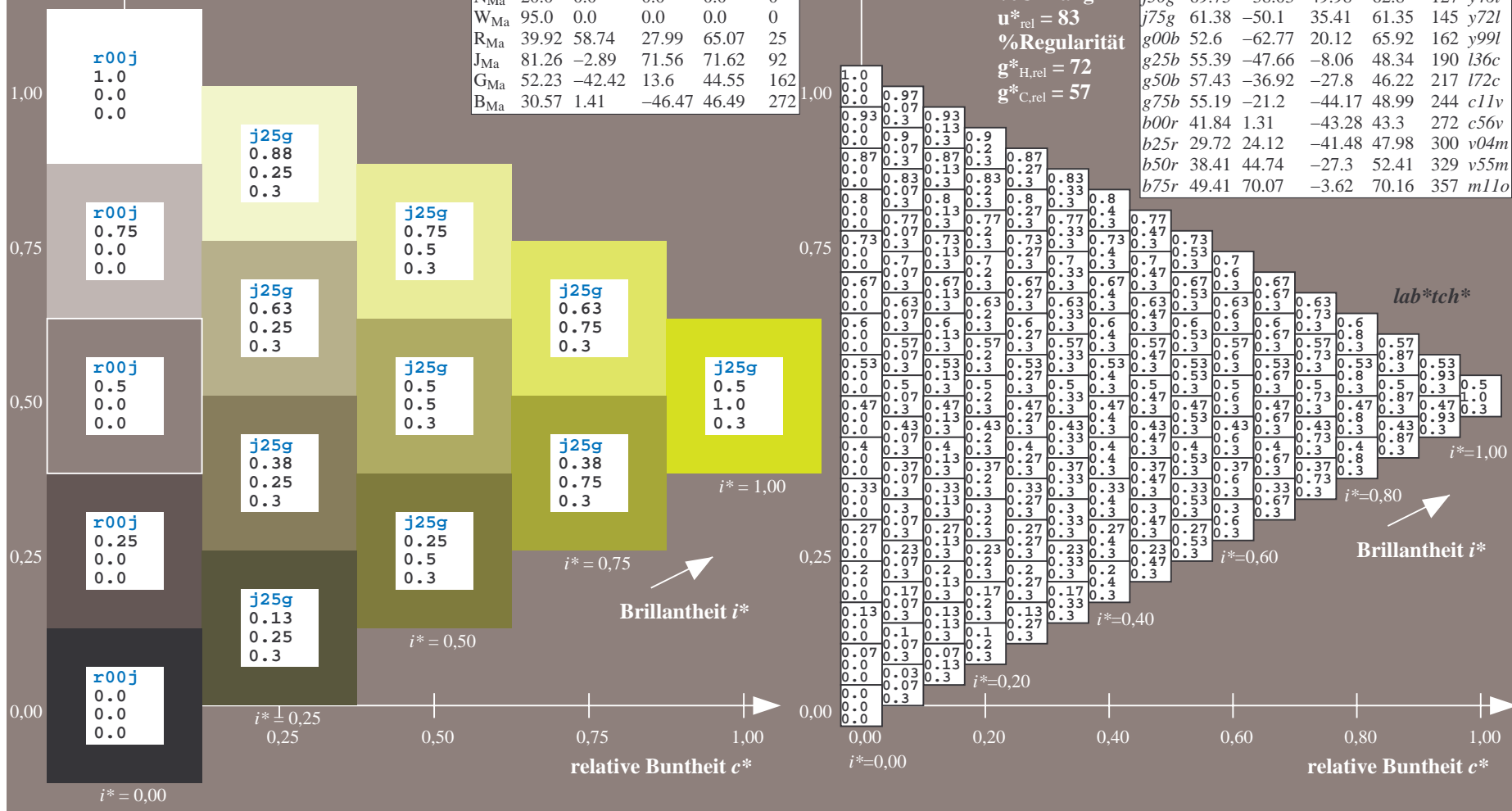
%Regularität

$g^*_{H,rel} = 72$

$g^*_{C,rel} = 57$

ORS20_95a; adaptierte CIELAB-Daten

u^*_e	$L^*=L^*_a$	a^*_a	b^*_a	$C^*_{ab,a}$	$h^*_{ab,a}$	u^*_d
r00j	48.83	63.91	30.45	70.79	25	m84o
r25j	55.53	50.37	45.65	67.97	42	o17y
r50j	64.76	33.86	56.12	65.55	59	o42y
r75j	74.12	17.13	66.74	68.9	76	o67y
j00g	85.5	-3.22	79.65	79.72	92	o92y
j25g	79.45	-24.05	66.85	71.04	110	y20l
j50g	69.75	-38.03	49.98	62.8	127	y46l
j75g	61.38	-50.1	35.41	61.35	145	y72l
g00b	52.6	-62.77	20.12	65.92	162	y99l
g25b	55.39	-47.66	-8.06	48.34	190	l36c
g50b	57.43	-36.92	-27.8	46.22	217	l72c
g75b	55.19	-21.2	-44.17	48.99	244	c11v
b00r	41.84	1.31	-43.28	43.3	272	c56v
b25r	29.72	24.12	-41.48	47.98	300	v04m
b50r	38.41	44.74	-27.3	52.41	329	v55m
b75r	49.41	70.07	-3.62	70.16	357	m11o



Ein und Ausgabe: Farbmetrisches Drucker-Reflektiv-System ORS20_95a für relativen CIELAB-Buntton $h^* = lab^*h^* = h_{ab}/360 = 0.354$

Daten für jede Farbe:

lab^*tch^* und lab^*icu^*

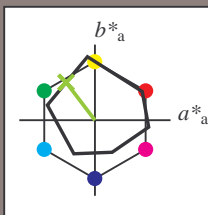
Bunttontexte:

$u^*_e = j50g$ $u^*_d = y46l$

Kontrastreduzierungsfaktor:

$c_R = 0.96$

Dreiecks-Helligkeit i^*



ORS20_95a; adaptierte CIELAB-Daten						
	u^*_e	$L^*=L^*_a$	a^*_a	b^*_a	$C^*_{ab,a}$	$h^*_{ab,a}$
O _{Ma}	48.71	62.56	37.91	73.15	31	
Y _{Ma}	89.25	-9.92	83.91	84.49	97	
L _{Ma}	52.5	-62.91	19.95	66.0	162	
C _{Ma}	59.15	-27.87	-44.43	52.45	238	
V _{Ma}	29.13	22.73	-42.44	48.14	298	
M _{Ma}	49.51	71.08	-9.19	71.67	353	
N _{Ma}	20.0	0.0	0.0	0.0	0	
W _{Ma}	95.0	0.0	0.0	0.0	0	
R _{Ma}	39.92	58.74	27.99	65.07	25	
J _{Ma}	81.26	-2.89	71.56	71.62	92	
G _{Ma}	52.23	-42.42	13.6	44.55	162	
B _{Ma}	30.57	1.41	-46.47	46.49	272	

Daten für Maximalfarbe (Ma):

$LAB^*LAB^*_{Ma}$: 70 -38 50

$LAB^*LCH^*_{Ma}$: 70 63 127

$lab^*rgb^*_{Ma}$: 0.5 1.0 0.0

$lab^*olv^*_{Ma}$: 0.54 1.0 0.0

Dreiecks-Helligkeit i^*

%Umfang

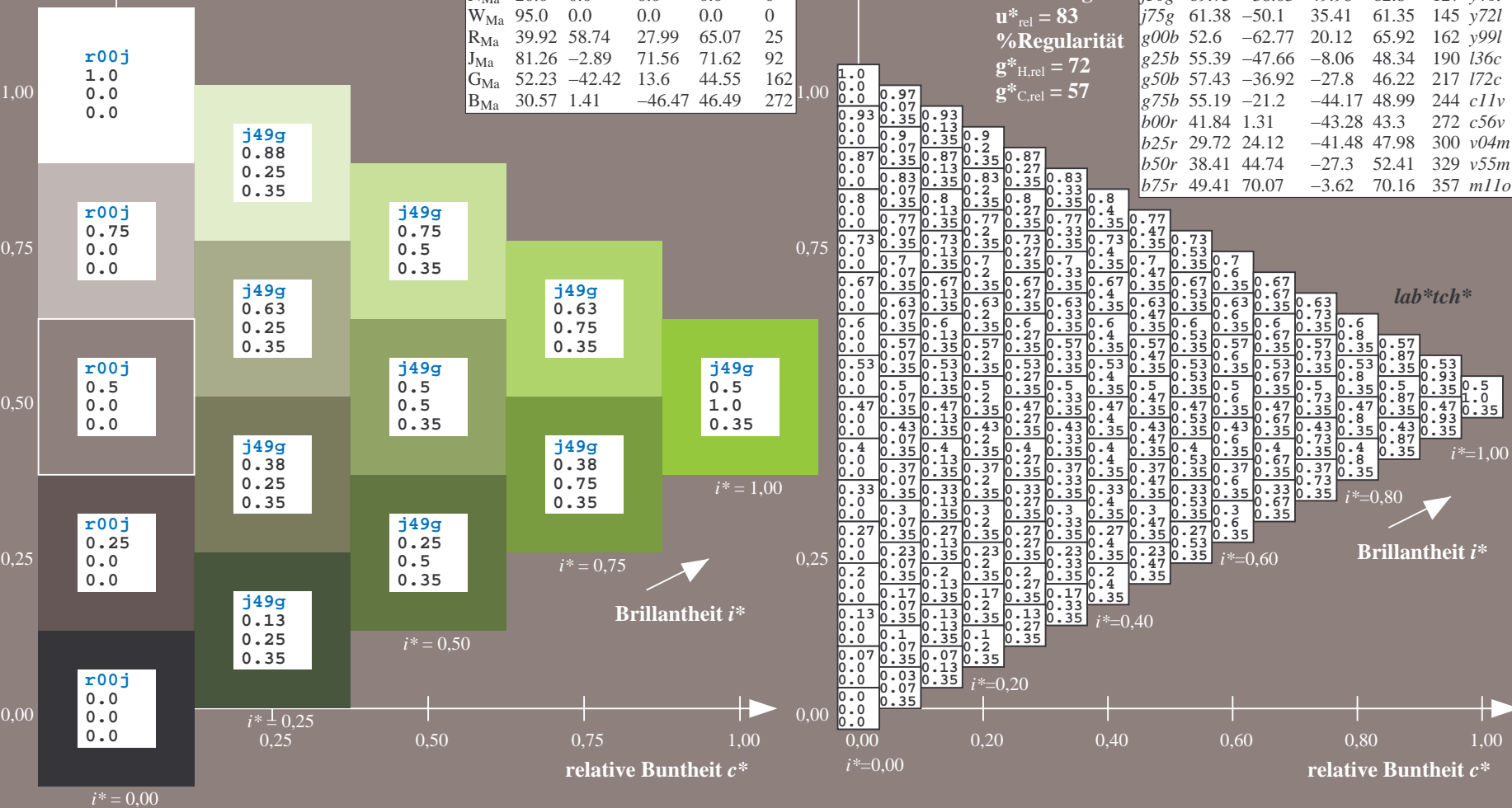
$u^*_{rel} = 83$

%Regularität

$g^*_{H,rel} = 72$

$g^*_{C,rel} = 57$

ORS20_95a; adaptierte CIELAB-Daten						
	u^*_e	$L^*=L^*_a$	a^*_a	b^*_a	$C^*_{ab,a}$	$h^*_{ab,a}$
r00j	48.83	63.91	30.45	70.79	25	m84o
r25j	55.53	50.37	45.65	67.97	42	o17y
r50j	64.76	33.86	56.12	65.55	59	o42y
r75j	74.12	17.13	66.74	68.9	76	o67y
j00g	85.5	-3.22	79.65	79.72	92	o92y
j25g	79.45	-24.05	66.85	71.04	110	y20l
j50g	69.75	-38.03	49.98	62.8	127	y46l
j75g	61.38	-50.1	35.41	61.35	145	y72l
g00b	52.6	-62.77	20.12	65.92	162	y99l
g25b	55.39	-47.66	-8.06	48.34	190	l36c
g50b	57.43	-36.92	-27.8	46.22	217	l72c
g75b	55.19	-21.2	-44.17	48.99	244	c11v
b00r	41.84	1.31	-43.28	43.3	272	c56v
b25r	29.72	24.12	-41.48	47.98	300	v04m
b50r	38.41	44.74	-27.3	52.41	329	v55m
b75r	49.41	70.07	-3.62	70.16	357	m11o



Ein und Ausgabe: Farbmetrisches Drucker-Reflektiv-System ORS20_95a für relativen CIELAB-Buntton $h^* = lab^*h^* = h_{ab}/360 = 0.402$

Daten für jede Farbe:

lab^*tch^* und lab^*icu^*

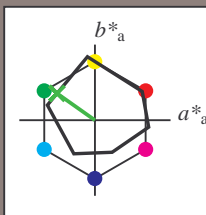
Bunttontexte:

$u^*_e = j75g$ $u^*_d = y72l$

Kontrastreduzierungsfaktor:

$c_R = 0.96$

Dreiecks-Helligkeit i^*



ORS20_95a; adaptierte CIELAB-Daten					
u^*_e	$L^*=L^*_a$	a^*_a	b^*_a	$C^*_{ab,a}$	$h^*_{ab,a}$
O _{Ma}	48.71	62.56	37.91	73.15	31
Y _{Ma}	89.25	-9.92	83.91	84.49	97
L _{Ma}	52.5	-62.91	19.95	66.0	162
C _{Ma}	59.15	-27.87	-44.43	52.45	238
V _{Ma}	29.13	22.73	-42.44	48.14	298
M _{Ma}	49.51	71.08	-9.19	71.67	353
N _{Ma}	20.0	0.0	0.0	0.0	0
W _{Ma}	95.0	0.0	0.0	0.0	0
R _{Ma}	39.92	58.74	27.99	65.07	25
J _{Ma}	81.26	-2.89	71.56	71.62	92
G _{Ma}	52.23	-42.42	13.6	44.55	162
B _{Ma}	30.57	1.41	-46.47	46.49	272

Daten für Maximalfarbe (Ma):

$LAB^*LAB^*_{Ma}$: 61 -50 35

$LAB^*LCH^*_{Ma}$: 61 61 144

$lab^*rgb^*_{Ma}$: 0.25 1.0 0.0

$lab^*olv^*_{Ma}$: 0.27 1.0 0.0

Dreiecks-Helligkeit i^*

%Umfang

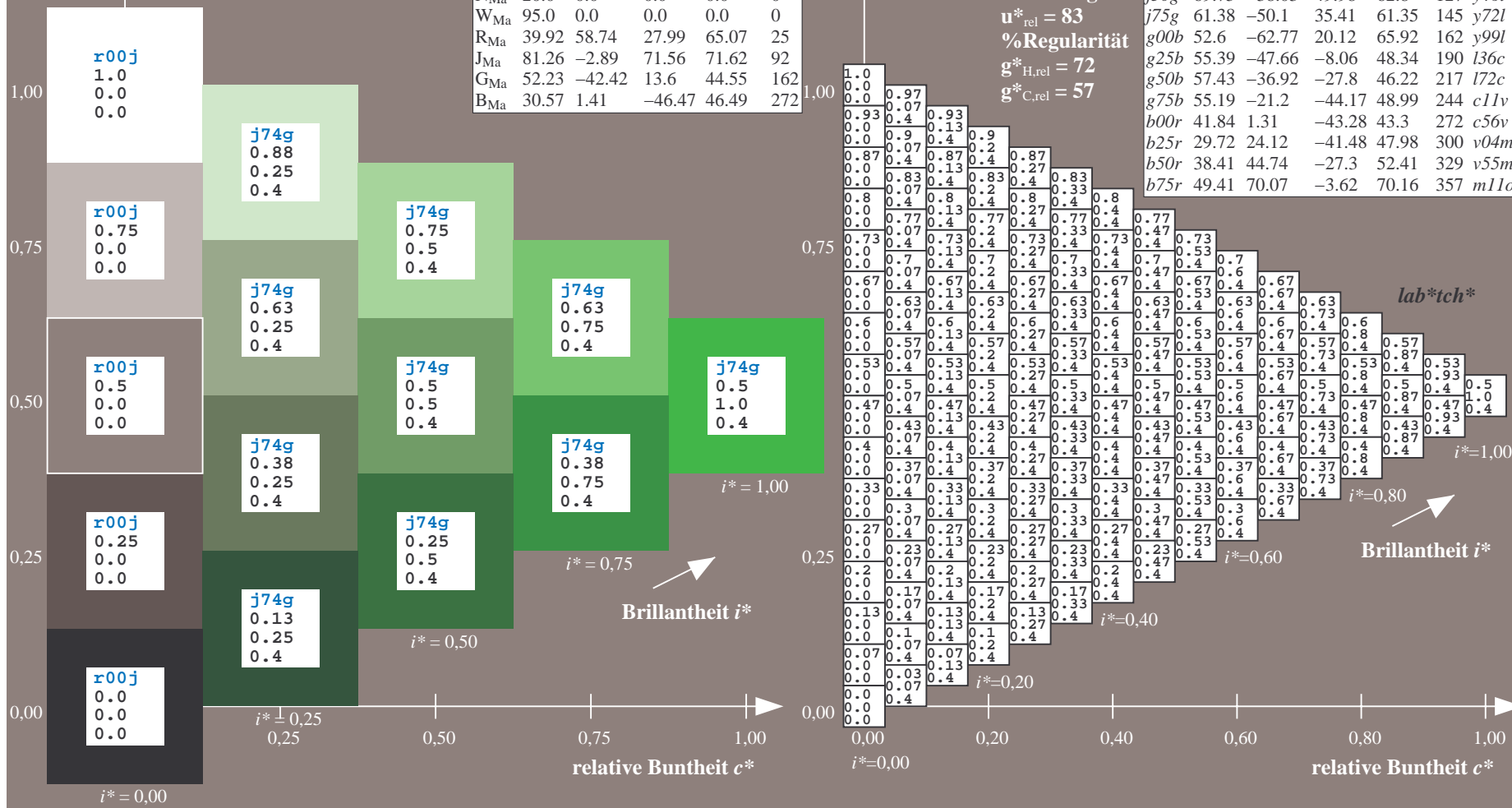
$u^*_{rel} = 83$

%Regularität

$g^*_{H,rel} = 72$

$g^*_{C,rel} = 57$

ORS20_95a; adaptierte CIELAB-Daten						$u^*_e = j75g$ lab^*tch^*	
u^*_e	$L^*=L^*_a$	a^*_a	b^*_a	$C^*_{ab,a}$	$h^*_{ab,a}$	u^*_d	
r00j	48.83	63.91	30.45	70.79	25	m84o	
r25j	55.53	50.37	45.65	67.97	42	o17y	
r50j	64.76	33.86	56.12	65.55	59	o42y	
r75j	74.12	17.13	66.74	68.9	76	o67y	
j00g	85.5	-3.22	79.65	79.72	92	o92y	
j25g	79.45	-24.05	66.85	71.04	110	y20l	
j50g	69.75	-38.03	49.98	62.8	127	y46l	
j75g	61.38	-50.1	35.41	61.35	145	y72l	
g00b	52.6	-62.77	20.12	65.92	162	y99l	
g25b	55.39	-47.66	-8.06	48.34	190	l36c	
g50b	57.43	-36.92	-27.8	46.22	217	l72c	
g75b	55.19	-21.2	-44.17	48.99	244	c11v	
b00r	41.84	1.31	-43.28	43.3	272	c56v	
b25r	29.72	24.12	-41.48	47.98	300	v04m	
b50r	38.41	44.74	-27.3	52.41	329	v55m	
b75r	49.41	70.07	-3.62	70.16	357	m11o	



Ein und Ausgabe: Farbmetrisches Drucker-Reflektiv-System ORS20_95a für relativen CIELAB-Buntton $h^* = lab^*h^* = h_{ab}/360 = 0.451$

Daten für jede Farbe:

lab^*tch^* und lab^*icu^*

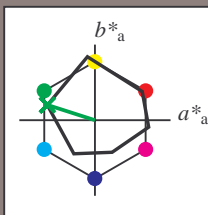
Bunttontexte:

$u^*_e = g00b$ $u^*_d = y99l$

Kontrastreduzierungsfaktor:

$c_R = 0.96$

Dreiecks-Helligkeit i^*



ORS20_95a; adaptierte CIELAB-Daten					
u^*_e	$L^*=L^*_a$	a^*_a	b^*_a	$C^*_{ab,a}$	$h^*_{ab,a}$
O _{Ma}	48.71	62.56	37.91	73.15	31
Y _{Ma}	89.25	-9.92	83.91	84.49	97
L _{Ma}	52.5	-62.91	19.95	66.0	162
C _{Ma}	59.15	-27.87	-44.43	52.45	238
V _{Ma}	29.13	22.73	-42.44	48.14	298
M _{Ma}	49.51	71.08	-9.19	71.67	353
N _{Ma}	20.0	0.0	0.0	0.0	0
W _{Ma}	95.0	0.0	0.0	0.0	0
R _{Ma}	39.92	58.74	27.99	65.07	25
J _{Ma}	81.26	-2.89	71.56	71.62	92
G _{Ma}	52.23	-42.42	13.6	44.55	162
B _{Ma}	30.57	1.41	-46.47	46.49	272

Daten für Maximalfarbe (Ma):

$LAB^*LAB^*_{Ma}$: 53 -63 20

$LAB^*LCH^*_{Ma}$: 53 66 162

$lab^*rgb^*_{Ma}$: 0.0 1.0 0.0

$lab^*olv^*_{Ma}$: 0.0 1.0 0.0

Dreiecks-Helligkeit i^*

%Umfang

$u^*_{rel} = 83$

%Regularität

$g^*_{H,rel} = 72$

$g^*_{C,rel} = 57$

ORS20_95a; adaptierte CIELAB-Daten					
u^*_e	$L^*=L^*_a$	a^*_a	b^*_a	$C^*_{ab,a}$	$h^*_{ab,a}$
r00j	48.83	63.91	30.45	70.79	25
r25j	55.53	50.37	45.65	67.97	42
r50j	64.76	33.86	56.12	65.55	59
r75j	74.12	17.13	66.74	68.9	76
j00g	85.5	-3.22	79.65	79.72	92
j25g	79.45	-24.05	66.85	71.04	110
j50g	69.75	-38.03	49.98	62.8	127
j75g	61.38	-50.1	35.41	61.35	145
g00b	52.6	-62.77	20.12	65.92	162
g25b	55.39	-47.66	-8.06	48.34	190
g50b	57.43	-36.92	-27.8	46.22	217
g75b	55.19	-21.2	-44.17	48.99	244
b00r	41.84	1.31	-43.28	43.3	272
b25r	29.72	24.12	-41.48	47.98	300
b50r	38.41	44.74	-27.3	52.41	329
b75r	49.41	70.07	-3.62	70.16	357

lab^*tch^*

$i^*=1.00$

Brillantheit i^*

$i^*=0.80$

$i^*=0.60$

$i^*=0.40$

$i^*=0.20$

$i^*=0.00$

Ein und Ausgabe: Farbmetrisches Drucker-Reflektiv-System ORS20_95a für relativen CIELAB-Buntton $h^* = lab^*h^* = h_{ab}/360 = 0.527$

Daten für jede Farbe:

lab^*tch^* und lab^*icu^*

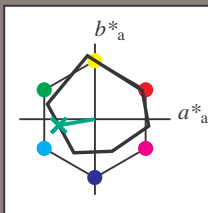
Bunttontexte:

$u^*_e = g25b$ $u^*_d = l36c$

Kontrastreduzierungsfaktor:

$c_R = 0.96$

Dreiecks-Helligkeit i^*



ORS20_95a; adaptierte CIELAB-Daten

	u^*_e	$L^*=L^*_a$	a^*_a	b^*_a	$C^*_{ab,a}$	$h^*_{ab,a}$
O _{Ma}	48.71	62.56	37.91	73.15	31	
Y _{Ma}	89.25	-9.92	83.91	84.49	97	
L _{Ma}	52.5	-62.91	19.95	66.0	162	
C _{Ma}	59.15	-27.87	-44.43	52.45	238	
V _{Ma}	29.13	22.73	-42.44	48.14	298	
M _{Ma}	49.51	71.08	-9.19	71.67	353	
N _{Ma}	20.0	0.0	0.0	0.0	0	
W _{Ma}	95.0	0.0	0.0	0.0	0	
R _{Ma}	39.92	58.74	27.99	65.07	25	
J _{Ma}	81.26	-2.89	71.56	71.62	92	
G _{Ma}	52.23	-42.42	13.6	44.55	162	
B _{Ma}	30.57	1.41	-46.47	46.49	272	

Daten für Maximalfarbe (Ma):

$LAB^*LAB^*_{Ma}$: 55 -48 -8

$LAB^*LCH^*_{Ma}$: 55 48 189

$lab^*rgb^*_{Ma}$: 0.0 1.0 0.5

$lab^*olv^*_{Ma}$: 0.0 1.0 0.36

Dreiecks-Helligkeit i^*

%Umfang

$u^*_{rel} = 83$

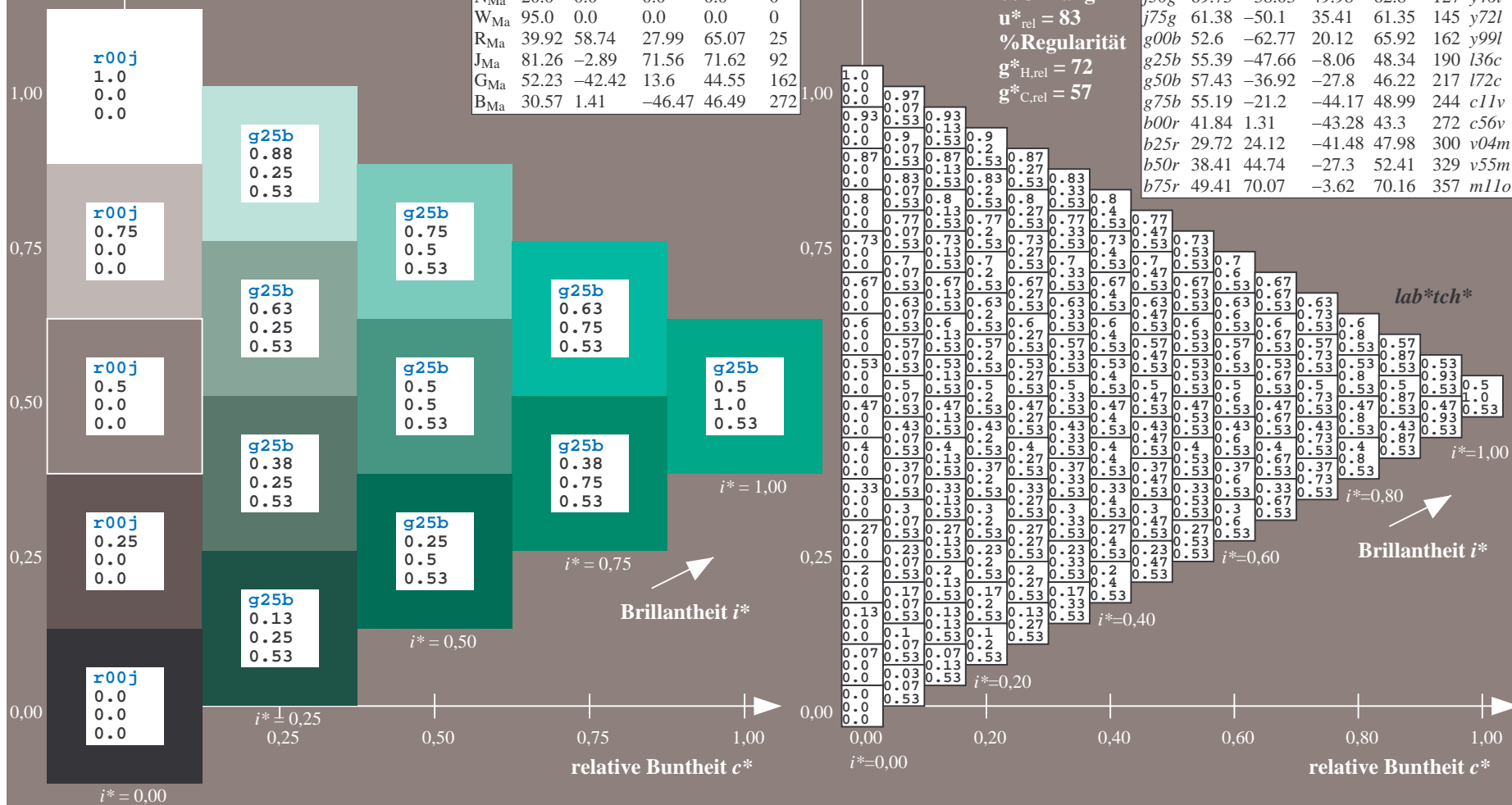
%Regularität

$g^*_{H,rel} = 72$

$g^*_{C,rel} = 57$

ORS20_95a; adaptierte CIELAB-Daten

	u^*_e	$L^*=L^*_a$	a^*_a	b^*_a	$C^*_{ab,a}$	$h^*_{ab,a}$	u^*_d
r00j	48.83	63.91	30.45	70.79	25	m84o	
r25j	55.53	50.37	45.65	67.97	42	o17y	
r50j	64.76	33.86	56.12	65.55	59	o42y	
r75j	74.12	17.13	66.74	68.9	76	o67y	
j00g	85.5	-3.22	79.65	79.72	92	o92y	
j25g	79.45	-24.05	66.85	71.04	110	y20l	
j50g	69.75	-38.03	49.98	62.8	127	y46l	
j75g	61.38	-50.1	35.41	61.35	145	y72l	
g00b	52.6	-62.77	20.12	65.92	162	y99l	
g25b	55.39	-47.66	-8.06	48.34	190	l36c	
g50b	57.43	-36.92	-27.8	46.22	217	l72c	
g75b	55.19	-21.2	-44.17	48.99	244	c11v	
b00r	41.84	1.31	-43.28	43.3	272	c56v	
b25r	29.72	24.12	-41.48	47.98	300	v04m	
b50r	38.41	44.74	-27.3	52.41	329	v55m	
b75r	49.41	70.07	-3.62	70.16	357	m11o	



Ein und Ausgabe: Farbmetrisches Drucker-Reflektiv-System ORS20_95a für relativen CIELAB-Buntton $h^* = lab^*h^* = h_{ab}/360 = 0.603$

Daten für jede Farbe:

lab^*tch^* und lab^*icu^*

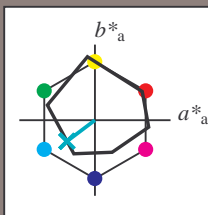
Bunttontexte:

$u^*_e = g50b$ $u^*_d = l72c$

Kontrastreduzierungsfaktor:

$c_R = 0.96$

Dreiecks-Helligkeit i^*



ORS20_95a; adaptierte CIELAB-Daten

	u^*_e	$L^*=L^*_a$	a^*_a	b^*_a	$C^*_{ab,a}$	$h^*_{ab,a}$
O _{Ma}	48.71	62.56	37.91	73.15	31	
Y _{Ma}	89.25	-9.92	83.91	84.49	97	
L _{Ma}	52.5	-62.91	19.95	66.0	162	
C _{Ma}	59.15	-27.87	-44.43	52.45	238	
V _{Ma}	29.13	22.73	-42.44	48.14	298	
M _{Ma}	49.51	71.08	-9.19	71.67	353	
N _{Ma}	20.0	0.0	0.0	0.0	0	
W _{Ma}	95.0	0.0	0.0	0.0	0	
R _{Ma}	39.92	58.74	27.99	65.07	25	
J _{Ma}	81.26	-2.89	71.56	71.62	92	
G _{Ma}	52.23	-42.42	13.6	44.55	162	
B _{Ma}	30.57	1.41	-46.47	46.49	272	

Daten für Maximalfarbe (Ma):

$LAB^*LAB^*_{Ma}$: 57 -37 -28

$LAB^*LCH^*_{Ma}$: 57 46 216

$lab^*rgb^*_{Ma}$: 0.0 1.0 1.0

$lab^*olv^*_{Ma}$: 0.0 1.0 0.72

Dreiecks-Helligkeit i^*

%Umfang

$u^*_{rel} = 83$

%Regularität

$g^*_{H,rel} = 72$

$g^*_{C,rel} = 57$

ORS20_95a; adaptierte CIELAB-Daten

	u^*_e	$L^*=L^*_a$	a^*_a	b^*_a	$C^*_{ab,a}$	$h^*_{ab,a}$	u^*_d
r00j	48.83	63.91	30.45	70.79	25	m84o	
r25j	55.53	50.37	45.65	67.97	42	o17y	
r50j	64.76	33.86	56.12	65.55	59	o42y	
r75j	74.12	17.13	66.74	68.9	76	o67y	
j00g	85.5	-3.22	79.65	79.72	92	o92y	
j25g	79.45	-24.05	66.85	71.04	110	y20l	
j50g	69.75	-38.03	49.98	62.8	127	y46l	
j75g	61.38	-50.1	35.41	61.35	145	y72l	
g00b	52.6	-62.77	20.12	65.92	162	y99l	
g25b	55.39	-47.66	-8.06	48.34	190	l36c	
g50b	57.43	-36.92	-27.8	46.22	217	l72c	
g75b	55.19	-21.2	-44.17	48.99	244	c11v	
b00r	41.84	1.31	-43.28	43.3	272	c56v	
b25r	29.72	24.12	-41.48	47.98	300	v04m	
b50r	38.41	44.74	-27.3	52.41	329	v55m	
b75r	49.41	70.07	-3.62	70.16	357	m11o	

lab^*tch^*

$i^* = 1.00$

Brillantheit i^*

$i^* = 0.80$

$i^* = 0.60$

$i^* = 0.40$

$i^* = 0.20$

$i^* = 0.00$

relative Buntheit c^*

relative Buntheit c^*

Ein und Ausgabe: Farbmetrisches Drucker-Reflektiv-System ORS20_95a für relativen CIELAB-Buntton $h^* = lab^*h^* = h_{ab}/360 = 0.679$

Daten für jede Farbe:

lab^*tch^* und lab^*icu^*

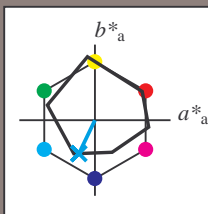
Bunttontexte:

$u^*_e = g75b$ $u^*_d = c11v$

Kontrastreduzierungsfaktor:

$c_R = 0.96$

Dreiecks-Helligkeit i^*



ORS20_95a; adaptierte CIELAB-Daten

	u^*_e	$L^*=L^*_a$	a^*_a	b^*_a	$C^*_{ab,a}$	$h^*_{ab,a}$
O _{Ma}	48.71	62.56	37.91	73.15	31	
Y _{Ma}	89.25	-9.92	83.91	84.49	97	
L _{Ma}	52.5	-62.91	19.95	66.0	162	
C _{Ma}	59.15	-27.87	-44.43	52.45	238	
V _{Ma}	29.13	22.73	-42.44	48.14	298	
M _{Ma}	49.51	71.08	-9.19	71.67	353	
N _{Ma}	20.0	0.0	0.0	0.0	0	
W _{Ma}	95.0	0.0	0.0	0.0	0	
R _{Ma}	39.92	58.74	27.99	65.07	25	
J _{Ma}	81.26	-2.89	71.56	71.62	92	
G _{Ma}	52.23	-42.42	13.6	44.55	162	
B _{Ma}	30.57	1.41	-46.47	46.49	272	

Daten für Maximalfarbe (Ma):

$LAB^*LAB^*_{Ma}$: 55 -21 -44

$LAB^*LCH^*_{Ma}$: 55 49 244

$lab^*rgb^*_{Ma}$: 0.0 0.5 1.0

$lab^*olv^*_{Ma}$: 0.0 0.89 1.0

Dreiecks-Helligkeit i^*

%Umfang

$u^*_{rel} = 83$

%Regularität

$g^*_{H,rel} = 72$

$g^*_{C,rel} = 57$

ORS20_95a; adaptierte CIELAB-Daten

	u^*_e	$L^*=L^*_a$	a^*_a	b^*_a	$C^*_{ab,a}$	$h^*_{ab,a}$	u^*_d
r00j	48.83	63.91	30.45	70.79	25	m84o	
r25j	55.53	50.37	45.65	67.97	42	o17y	
r50j	64.76	33.86	56.12	65.55	59	o42y	
r75j	74.12	17.13	66.74	68.9	76	o67y	
j00g	85.5	-3.22	79.65	79.72	92	o92y	
j25g	79.45	-24.05	66.85	71.04	110	y20l	
j50g	69.75	-38.03	49.98	62.8	127	y46l	
j75g	61.38	-50.1	35.41	61.35	145	y72l	
g00b	52.6	-62.77	20.12	65.92	162	y99l	
g25b	55.39	-47.66	-8.06	48.34	190	l36c	
g50b	57.43	-36.92	-27.8	46.22	217	l72c	
g75b	55.19	-21.2	-44.17	48.99	244	c11v	
b00r	41.84	1.31	-43.28	43.3	272	c56v	
b25r	29.72	24.12	-41.48	47.98	300	v04m	
b50r	38.41	44.74	-27.3	52.41	329	v55m	
b75r	49.41	70.07	-3.62	70.16	357	m11o	

lab^*tch^*

$i^*=1.00$

Brillantheit i^*

$i^*=0.80$

$i^*=0.60$

$i^*=0.40$

$i^*=0.20$

Ein und Ausgabe: Farbmetrisches Drucker-Reflektiv-System ORS20_95a für relativen CIELAB-Buntton $h^* = lab^*h^* = h_{ab}/360 = 0.755$

Daten für jede Farbe:

lab^*tch^* und lab^*icu^*

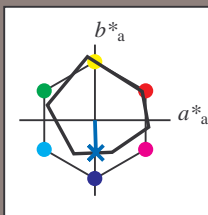
Bunttontexte:

$u^*_e = b00r$ $u^*_d = c56v$

Kontrastreduzierungsfaktor:

$c_R = 0.96$

Dreiecks-Helligkeit i^*



ORS20_95a; adaptierte CIELAB-Daten

	u^*_e	$L^*=L^*_a$	a^*_a	b^*_a	$C^*_{ab,a}$	$h^*_{ab,a}$
O _{Ma}	48.71	62.56	37.91	73.15	31	
Y _{Ma}	89.25	-9.92	83.91	84.49	97	
L _{Ma}	52.5	-62.91	19.95	66.0	162	
C _{Ma}	59.15	-27.87	-44.43	52.45	238	
V _{Ma}	29.13	22.73	-42.44	48.14	298	
M _{Ma}	49.51	71.08	-9.19	71.67	353	
N _{Ma}	20.0	0.0	0.0	0.0	0	
W _{Ma}	95.0	0.0	0.0	0.0	0	
R _{Ma}	39.92	58.74	27.99	65.07	25	
J _{Ma}	81.26	-2.89	71.56	71.62	92	
G _{Ma}	52.23	-42.42	13.6	44.55	162	
B _{Ma}	30.57	1.41	-46.47	46.49	272	

Daten für Maximalfarbe (Ma):

$LAB^*LAB^*_{Ma}$: 42 1 -43

$LAB^*LCH^*_{Ma}$: 42 43 271

$lab^*rgb^*_{Ma}$: 0.0 0.0 1.0

$lab^*olv^*_{Ma}$: 0.0 0.44 1.0

Dreiecks-Helligkeit i^*

%Umfang

$u^*_{rel} = 83$

%Regularität

$g^*_{H,rel} = 72$

$g^*_{C,rel} = 57$

ORS20_95a; adaptierte CIELAB-Daten

	u^*_e	$L^*=L^*_a$	a^*_a	b^*_a	$C^*_{ab,a}$	$h^*_{ab,a}$	u^*_d
r00j	48.83	63.91	30.45	70.79	25	m84o	
r25j	55.53	50.37	45.65	67.97	42	o17y	
r50j	64.76	33.86	56.12	65.55	59	o42y	
r75j	74.12	17.13	66.74	68.9	76	o67y	
j00g	85.5	-3.22	79.65	79.72	92	o92y	
j25g	79.45	-24.05	66.85	71.04	110	y20l	
j50g	69.75	-38.03	49.98	62.8	127	y46l	
j75g	61.38	-50.1	35.41	61.35	145	y72l	
g00b	52.6	-62.77	20.12	65.92	162	y99l	
g25b	55.39	-47.66	-8.06	48.34	190	l36c	
g50b	57.43	-36.92	-27.8	46.22	217	l72c	
g75b	55.19	-21.2	-44.17	48.99	244	c11v	
b00r	41.84	1.31	-43.28	43.3	272	c56v	
b25r	29.72	24.12	-41.48	47.98	300	v04m	
b50r	38.41	44.74	-27.3	52.41	329	v55m	
b75r	49.41	70.07	-3.62	70.16	357	m11o	

lab^*tch^*

$i^*=1.00$

Brillantheit i^*

$i^*=0.80$

$i^*=0.60$

$i^*=0.40$

$i^*=0.20$

Ein und Ausgabe: Farbmetrisches Drucker-Reflektiv-System ORS20_95a für relativen CIELAB-Buntton $h^* = lab^*h^* = h_{ab}/360 = 0.834$

Daten für jede Farbe:

lab^*tch^* und lab^*icu^*

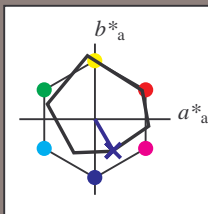
Bunttontexte:

$u^*_e = b25r$ $u^*_d = v04m$

Kontrastreduzierungsfaktor:

$c_R = 0.96$

Dreiecks-Helligkeit i^*



ORS20_95a; adaptierte CIELAB-Daten						
u^*_e	$L^*=L^*_a$	a^*_a	b^*_a	$C^*_{ab,a}$	$h^*_{ab,a}$	
O _{Ma}	48.71	62.56	37.91	73.15	31	
Y _{Ma}	89.25	-9.92	83.91	84.49	97	
L _{Ma}	52.5	-62.91	19.95	66.0	162	
C _{Ma}	59.15	-27.87	-44.43	52.45	238	
V _{Ma}	29.13	22.73	-42.44	48.14	298	
M _{Ma}	49.51	71.08	-9.19	71.67	353	
N _{Ma}	20.0	0.0	0.0	0.0	0	
W _{Ma}	95.0	0.0	0.0	0.0	0	
R _{Ma}	39.92	58.74	27.99	65.07	25	
J _{Ma}	81.26	-2.89	71.56	71.62	92	
G _{Ma}	52.23	-42.42	13.6	44.55	162	
B _{Ma}	30.57	1.41	-46.47	46.49	272	

Daten für Maximalfarbe (Ma):

$LAB^*LAB^*_{Ma}$: 30 24 -41

$LAB^*LCH^*_{Ma}$: 30 48 300

$lab^*rgb^*_{Ma}$: 0.5 0.0 1.0

$lab^*olv^*_{Ma}$: 0.04 0.0 1.0

Dreiecks-Helligkeit i^*

%Umfang

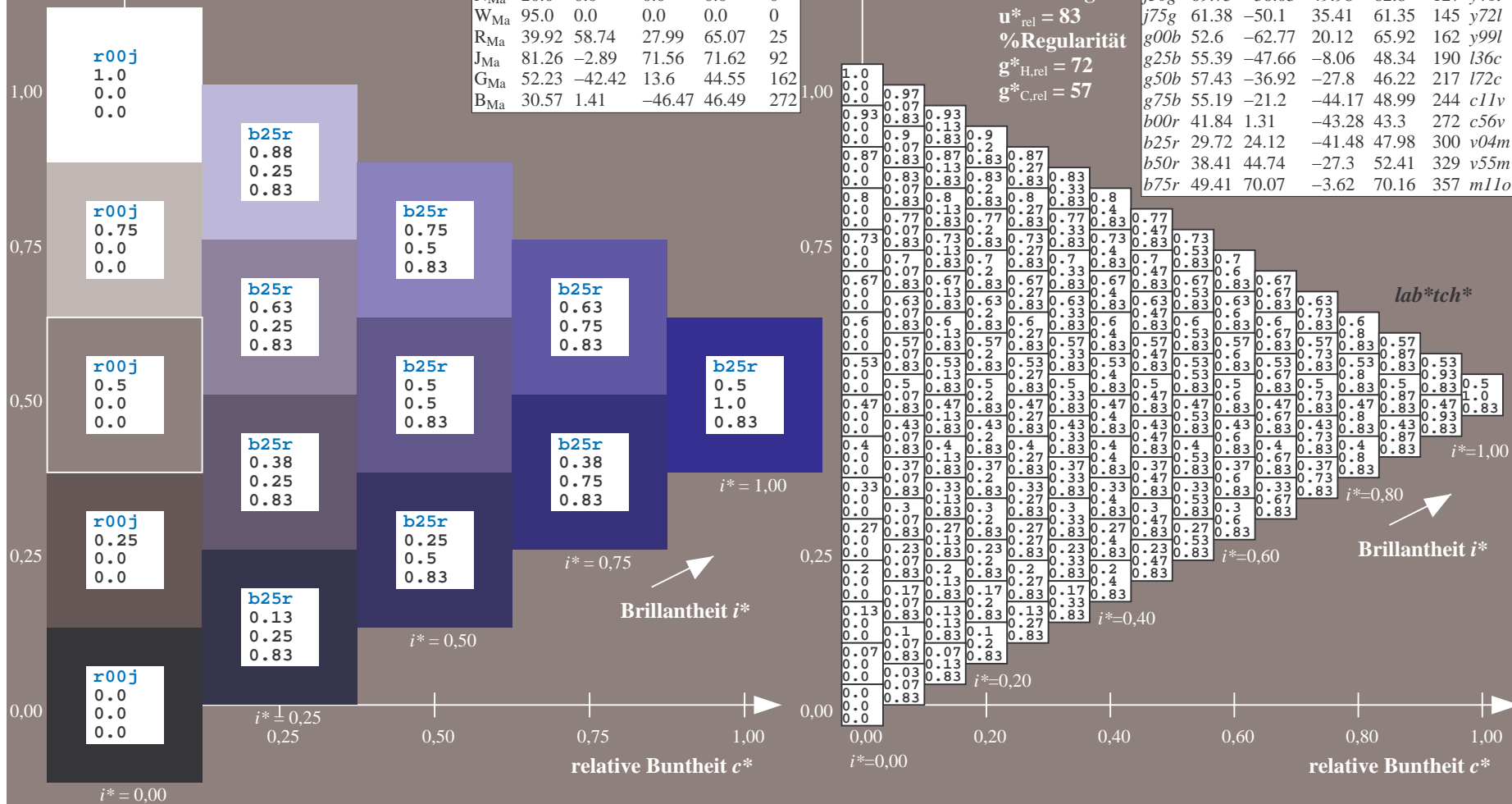
$u^*_{rel} = 83$

%Regularität

$g^*_{H,rel} = 72$

$g^*_{C,rel} = 57$

ORS20_95a; adaptierte CIELAB-Daten						
u^*_e	$L^*=L^*_a$	a^*_a	b^*_a	$C^*_{ab,a}$	$h^*_{ab,a}$	u^*_d
r00j	48.83	63.91	30.45	70.79	25	m84o
r25j	55.53	50.37	45.65	67.97	42	o17y
r50j	64.76	33.86	56.12	65.55	59	o42y
r75j	74.12	17.13	66.74	68.9	76	o67y
j00g	85.5	-3.22	79.65	79.72	92	o92y
j25g	79.45	-24.05	66.85	71.04	110	y20l
j50g	69.75	-38.03	49.98	62.8	127	y46l
j75g	61.38	-50.1	35.41	61.35	145	y72l
g00b	52.6	-62.77	20.12	65.92	162	y99l
g25b	55.39	-47.66	-8.06	48.34	190	l36c
g50b	57.43	-36.92	-27.8	46.22	217	l72c
g75b	55.19	-21.2	-44.17	48.99	244	c11v
b00r	41.84	1.31	-43.28	43.3	272	c56v
b25r	29.72	24.12	-41.48	47.98	300	v04m
b50r	38.41	44.74	-27.3	52.41	329	v55m
b75r	49.41	70.07	-3.62	70.16	357	m11o



Ein und Ausgabe: Farbmetrisches Drucker-Reflektiv-System ORS20_95a für relativen CIELAB-Buntton $h^* = lab^*h^* = h_{ab}/360 = 0.913$

Daten für jede Farbe:

lab^*tch^* und lab^*icu^*

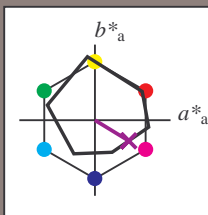
Bunttontexte:

$u^*_e = b50r$ $u^*_d = v55m$

Kontrastreduzierungsfaktor:

$c_R = 0.96$

Dreiecks-Helligkeit i^*



ORS20_95a; adaptierte CIELAB-Daten						
u^*_e	$L^*=L^*_a$	a^*_a	b^*_a	$C^*_{ab,a}$	$h^*_{ab,a}$	
O _{Ma}	48.71	62.56	37.91	73.15	31	
Y _{Ma}	89.25	-9.92	83.91	84.49	97	
L _{Ma}	52.5	-62.91	19.95	66.0	162	
C _{Ma}	59.15	-27.87	-44.43	52.45	238	
V _{Ma}	29.13	22.73	-42.44	48.14	298	
M _{Ma}	49.51	71.08	-9.19	71.67	353	
N _{Ma}	20.0	0.0	0.0	0.0	0	
W _{Ma}	95.0	0.0	0.0	0.0	0	
R _{Ma}	39.92	58.74	27.99	65.07	25	
J _{Ma}	81.26	-2.89	71.56	71.62	92	
G _{Ma}	52.23	-42.42	13.6	44.55	162	
B _{Ma}	30.57	1.41	-46.47	46.49	272	

Daten für Maximalfarbe (Ma):

$LAB^*LAB^*_{Ma}$: 38 45 -27

$LAB^*LCH^*_{Ma}$: 38 52 328

$lab^*rgb^*_{Ma}$: 1.0 0.0 1.0

$lab^*olv^*_{Ma}$: 0.56 0.0 1.0

Dreiecks-Helligkeit i^*

%Umfang

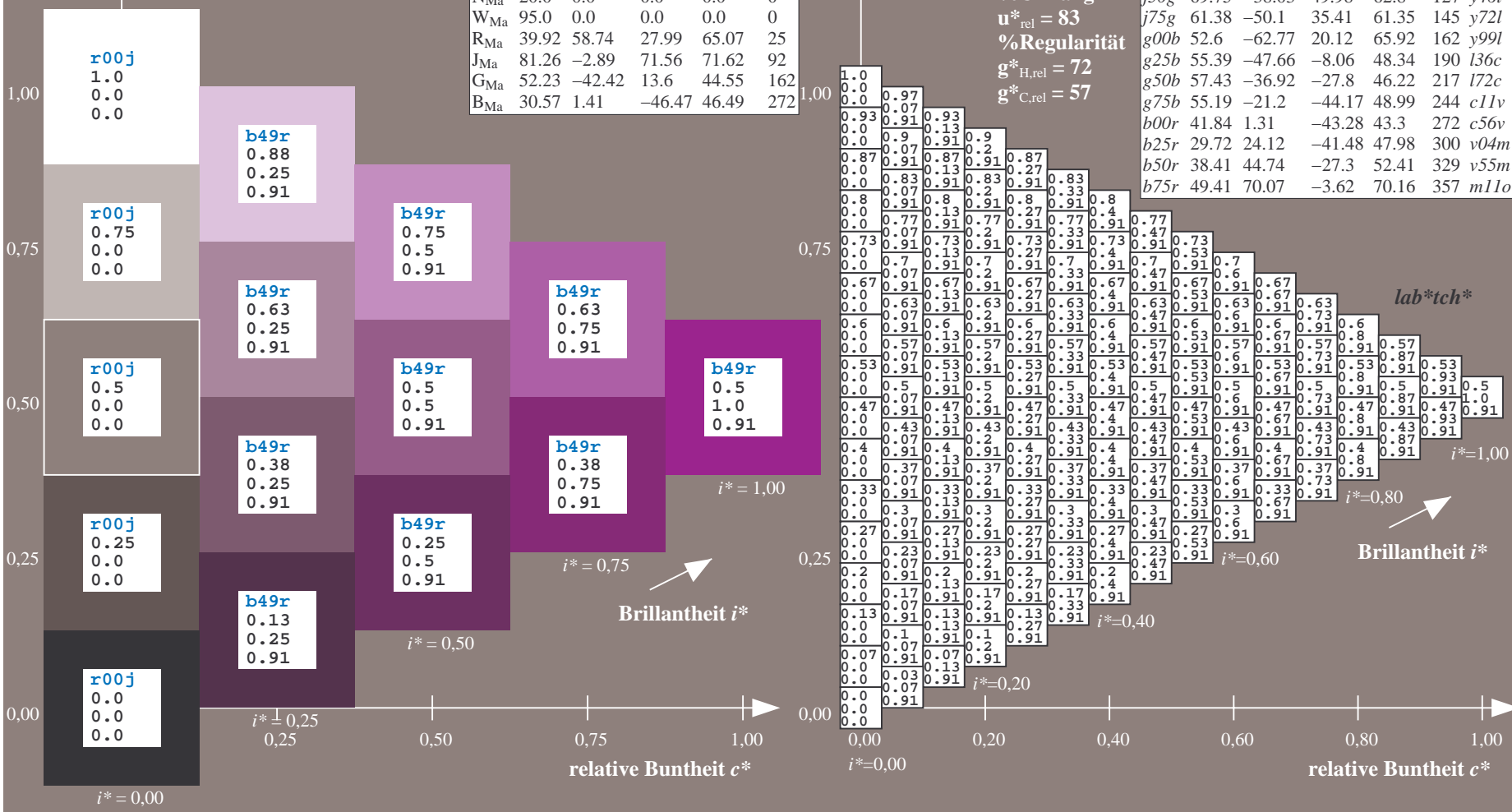
$u^*_{rel} = 83$

%Regularität

$g^*_{H,rel} = 72$

$g^*_{C,rel} = 57$

ORS20_95a; adaptierte CIELAB-Daten						
u^*_e	$L^*=L^*_a$	a^*_a	b^*_a	$C^*_{ab,a}$	$h^*_{ab,a}$	u^*_d
r00j	48.83	63.91	30.45	70.79	25	m84o
r25j	55.53	50.37	45.65	67.97	42	o17y
r50j	64.76	33.86	56.12	65.55	59	o42y
r75j	74.12	17.13	66.74	68.9	76	o67y
j00g	85.5	-3.22	79.65	79.72	92	o92y
j25g	79.45	-24.05	66.85	71.04	110	y20l
j50g	69.75	-38.03	49.98	62.8	127	y46l
j75g	61.38	-50.1	35.41	61.35	145	y72l
g00b	52.6	-62.77	20.12	65.92	162	y99l
g25b	55.39	-47.66	-8.06	48.34	190	l36c
g50b	57.43	-36.92	-27.8	46.22	217	l72c
g75b	55.19	-21.2	-44.17	48.99	244	c11v
b00r	41.84	1.31	-43.28	43.3	272	c56v
b25r	29.72	24.12	-41.48	47.98	300	v04m
b50r	38.41	44.74	-27.3	52.41	329	v55m
b75r	49.41	70.07	-3.62	70.16	357	m11o



Ein und Ausgabe: Farbmetrisches Drucker-Reflektiv-System ORS20_95a für relativen CIELAB-Buntton $h^* = lab^*h^* = h_{ab}/360 = 0.992$

Daten für jede Farbe:

lab^*tch^* und lab^*icu^*

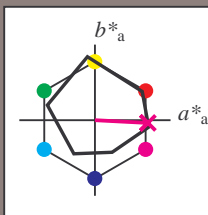
Bunttontexte:

$u^*_e = b75r$ $u^*_d = m11o$

Kontrastreduzierungsfaktor:

$c_R = 0.96$

Dreiecks-Helligkeit i^*



ORS20_95a; adaptierte CIELAB-Daten

	u^*_e	$L^*=L^*_a$	a^*_a	b^*_a	$C^*_{ab,a}$	$h^*_{ab,a}$
O _{Ma}	48.71	62.56	37.91	73.15	31	
Y _{Ma}	89.25	-9.92	83.91	84.49	97	
L _{Ma}	52.5	-62.91	19.95	66.0	162	
C _{Ma}	59.15	-27.87	-44.43	52.45	238	
V _{Ma}	29.13	22.73	-42.44	48.14	298	
M _{Ma}	49.51	71.08	-9.19	71.67	353	
N _{Ma}	20.0	0.0	0.0	0.0	0	
W _{Ma}	95.0	0.0	0.0	0.0	0	
R _{Ma}	39.92	58.74	27.99	65.07	25	
J _{Ma}	81.26	-2.89	71.56	71.62	92	
G _{Ma}	52.23	-42.42	13.6	44.55	162	
B _{Ma}	30.57	1.41	-46.47	46.49	272	

Daten für Maximalfarbe (Ma):

$LAB^*LAB^*_{Ma}$: 49 70 -4

$LAB^*LCH^*_{Ma}$: 49 70 357

$lab^*rgb^*_{Ma}$: 1.0 0.0 0.5

$lab^*olv^*_{Ma}$: 1.0 0.0 0.89

Dreiecks-Helligkeit i^*

%Umfang

$u^*_{rel} = 83$

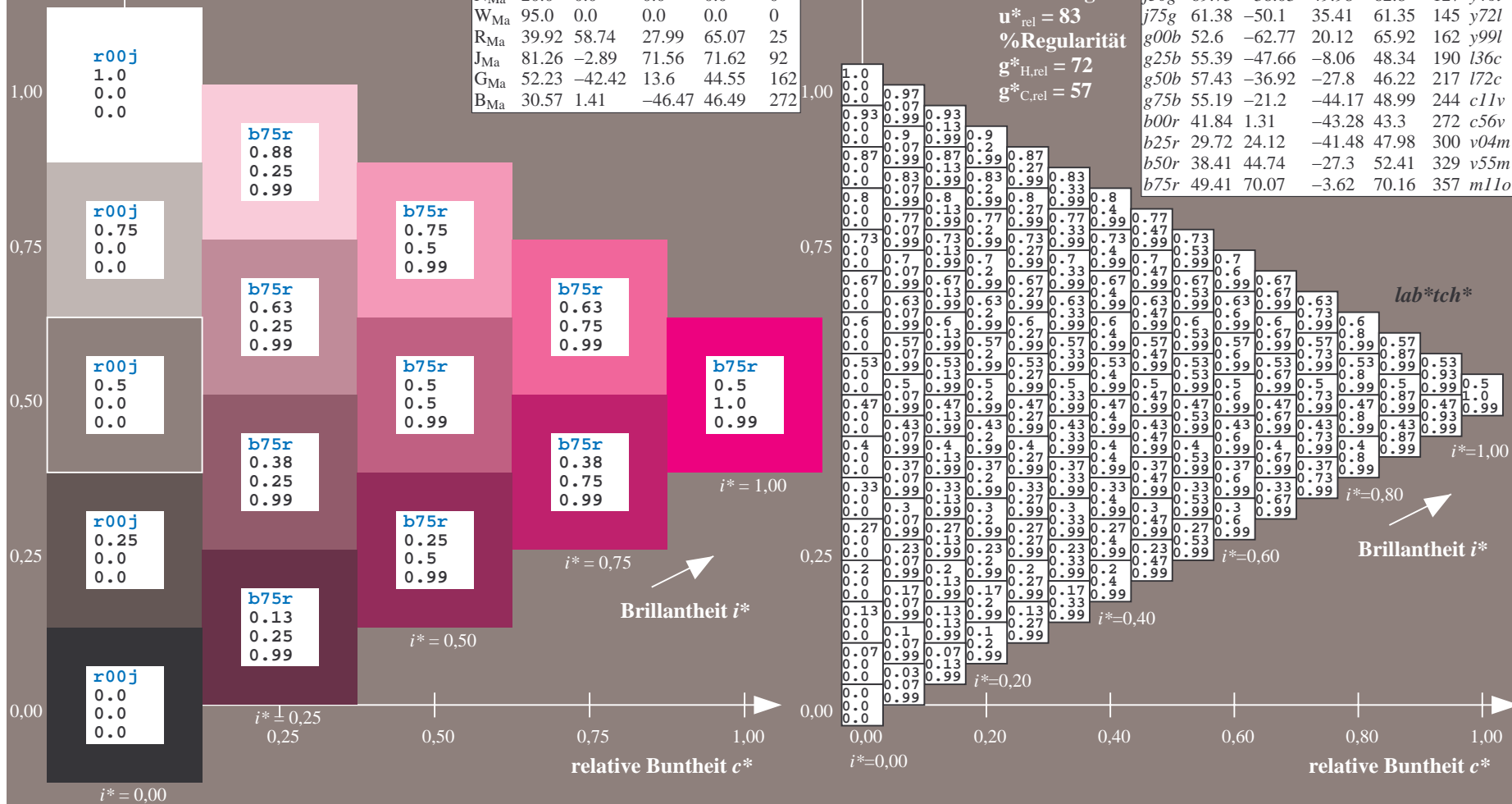
%Regularität

$g^*_{H,rel} = 72$

$g^*_{C,rel} = 57$

ORS20_95a; adaptierte CIELAB-Daten

	u^*_e	$L^*=L^*_a$	a^*_a	b^*_a	$C^*_{ab,a}$	$h^*_{ab,a}$	u^*_d
r00j	48.83	63.91	30.45	70.79	25	m84o	
r25j	55.53	50.37	45.65	67.97	42	o17y	
r50j	64.76	33.86	56.12	65.55	59	o42y	
r75j	74.12	17.13	66.74	68.9	76	o67y	
j00g	85.5	-3.22	79.65	79.72	92	o92y	
j25g	79.45	-24.05	66.85	71.04	110	y20l	
j50g	69.75	-38.03	49.98	62.8	127	y46l	
j75g	61.38	-50.1	35.41	61.35	145	y72l	
g00b	52.6	-62.77	20.12	65.92	162	y99l	
g25b	55.39	-47.66	-8.06	48.34	190	l36c	
g50b	57.43	-36.92	-27.8	46.22	217	l72c	
g75b	55.19	-21.2	-44.17	48.99	244	c11v	
b00r	41.84	1.31	-43.28	43.3	272	c56v	
b25r	29.72	24.12	-41.48	47.98	300	v04m	
b50r	38.41	44.74	-27.3	52.41	329	v55m	
b75r	49.41	70.07	-3.62	70.16	357	m11o	



BAM-Registrierung: 20081001-Eg15/10/L13G00NP.PS/.PDF: BAM-Materialanwendung für Beurteilung und Messung von Drucker- oder Monitorssystemen

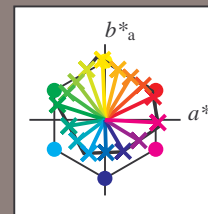
BAM-Prüfvorlage Eg15; Farbmimetrik-Systeme, Seite 198/270 Eingabe: *000n / w / nnn0 / www set*
 3 Separationen, 9 Datentabellen für 16 Bunttöne *r00j* bis *b75r* Ausgabe: *->cmY0* setcmYcolor*

Ein und Ausgabe:
Farbmetrisches Drucker-Reflektiv-System ORS20_95a
Daten für jede Farbe:

u^*_e und Nummer $Nr.$ = 00 .. 15
Elementar-Bunttontext:
 $u^*_e = 16$ Bunttoene $r00j, r25j, \dots, b75r$
Kontrastreduzierungsfaktor:
 $c_R = 0.96$

ORS20_95a; adaptierte CIELAB-Daten

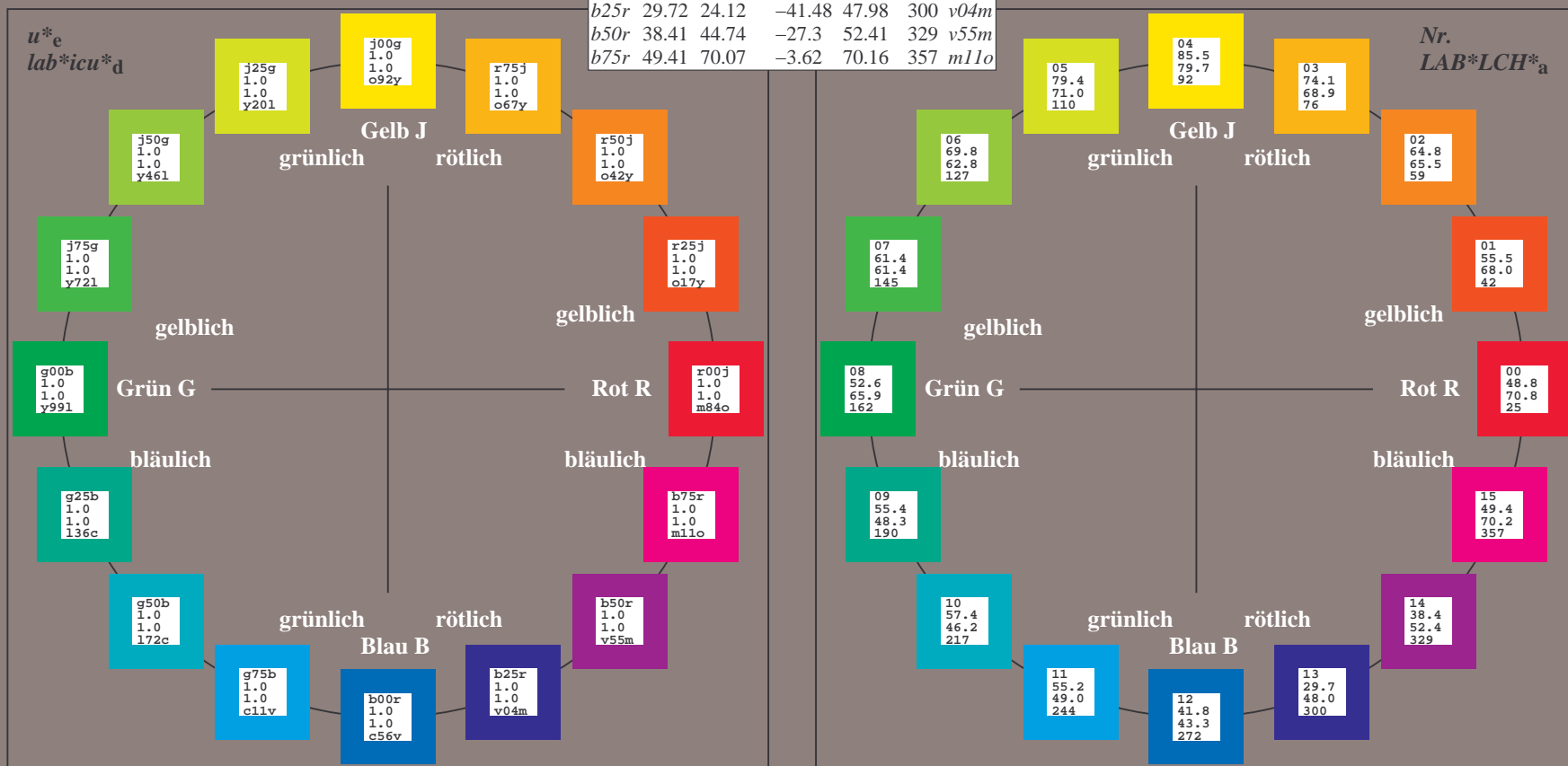
u^*_e	$L^*=L^*_a$	a^*_a	b^*_a	$C^*_{ab,a}$	$h^*_{ab,a}$	u^*_d
$r00j$	48.83	63.91	30.45	70.79	25	$m84o$
$r25j$	55.53	50.37	45.65	67.97	42	$o17y$
$r50j$	64.76	33.86	56.12	65.55	59	$o42y$
$r75j$	74.12	17.13	66.74	68.9	76	$o67y$
$j00g$	85.5	-3.22	79.65	79.72	92	$o92y$
$j25g$	79.45	-24.05	66.85	71.04	110	$y20l$
$j50g$	69.75	-38.03	49.98	62.8	127	$y46l$
$j75g$	61.38	-50.1	35.41	61.35	145	$y72l$
$g00b$	52.6	-62.77	20.12	65.92	162	$y99l$
$g25b$	55.39	-47.66	-8.06	48.34	190	$l36c$
$g50b$	57.43	-36.92	-27.8	46.22	217	$l72c$
$g75b$	55.19	-21.2	-44.17	48.99	244	$c11v$
$b00r$	41.84	1.31	-43.28	43.3	272	$c56v$
$b25r$	29.72	24.12	-41.48	47.98	300	$v04m$
$b50r$	38.41	44.74	-27.3	52.41	329	$v55m$
$b75r$	49.41	70.07	-3.62	70.16	357	$m11o$



%Umfang
 $u^*_{rel} = 83$
%Regularität
 $g^*_{H,rel} = 72$
 $g^*_{C,rel} = 57$

ORS20_95a; adaptierte CIELAB-Daten

Name	$L^*=L^*_a$	a^*_a	b^*_a	$C^*_{ab,a}$	$h^*_{ab,a}$
O_{Ma}	48.71	62.56	37.91	73.15	31
Y_{Ma}	89.25	-9.92	83.91	84.49	97
L_{Ma}	52.5	-62.91	19.95	66.0	162
C_{Ma}	59.15	-27.87	-44.43	52.45	238
V_{Ma}	29.13	22.73	-42.44	48.14	298
M_{Ma}	49.51	71.08	-9.19	71.67	353
N_{Ma}	20.0	0.0	0.0	0.0	0
W_{Ma}	95.0	0.0	0.0	0.0	0
R_{CIE}	39.92	58.74	27.99	65.07	25
J_{CIE}	81.26	-2.89	71.56	71.62	92
G_{CIE}	52.23	-42.42	13.6	44.55	162
B_{CIE}	30.57	1.41	-46.47	46.49	272



Ein und Ausgabe: Farbmetrisches Drucker-Reflektiv-System ORS20_95a für relativen CIELAB-Buntton $h^* = \text{lab}^*h^* = h_{ab}/360 = 0.071$

Daten für jede Farbe:

lab^*tch^* und lab^*icu^*

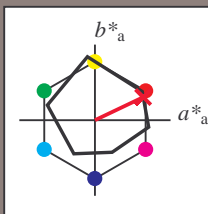
Bunttontexte:

$u^*_e = r00j$ $u^*_d = m84o$

Kontrastreduzierungsfaktor:

$c_R = 0.96$

Dreiecks-Helligkeit i^*



ORS20_95a; adaptierte CIELAB-Daten

u^*_e	$L^*=L^*_a$	a^*_a	b^*_a	$C^*_{ab,a}$	$h^*_{ab,a}$
O _{Ma}	48.71	62.56	37.91	73.15	31
Y _{Ma}	89.25	-9.92	83.91	84.49	97
L _{Ma}	52.5	-62.91	19.95	66.0	162
C _{Ma}	59.15	-27.87	-44.43	52.45	238
V _{Ma}	29.13	22.73	-42.44	48.14	298
M _{Ma}	49.51	71.08	-9.19	71.67	353
N _{Ma}	20.0	0.0	0.0	0.0	0
W _{Ma}	95.0	0.0	0.0	0.0	0
R _{Ma}	39.92	58.74	27.99	65.07	25
J _{Ma}	81.26	-2.89	71.56	71.62	92
G _{Ma}	52.23	-42.42	13.6	44.55	162
B _{Ma}	30.57	1.41	-46.47	46.49	272

Daten für Maximalfarbe (Ma):

$\text{LAB}^*\text{LAB}^*_{\text{Ma}}$: 49 64 30

$\text{LAB}^*\text{LCH}^*_{\text{Ma}}$: 49 71 25

$\text{lab}^*\text{rgb}^*_{\text{Ma}}$: 1.0 0.0 0.0

$\text{lab}^*\text{olv}^*_{\text{Ma}}$: 1.0 0.0 0.15

Dreiecks-Helligkeit i^*

%Umfang

$u^*_{\text{rel}} = 83$

%Regularität

$g^*_{H,\text{rel}} = 72$

$g^*_{C,\text{rel}} = 57$

ORS20_95a; adaptierte CIELAB-Daten

u^*_e	$L^*=L^*_a$	a^*_a	b^*_a	$C^*_{ab,a}$	$h^*_{ab,a}$	u^*_d
r00j	48.83	63.91	30.45	70.79	25	m84o
r25j	55.53	50.37	45.65	67.97	42	o17y
r50j	64.76	33.86	56.12	65.55	59	o42y
r75j	74.12	17.13	66.74	68.9	76	o67y
j00g	85.5	-3.22	79.65	79.72	92	o92y
j25g	79.45	-24.05	66.85	71.04	110	y20l
j50g	69.75	-38.03	49.98	62.8	127	y46l
j75g	61.38	-50.1	35.41	61.35	145	y72l
g00b	52.6	-62.77	20.12	65.92	162	y99l
g25b	55.39	-47.66	-8.06	48.34	190	l36c
g50b	57.43	-36.92	-27.8	46.22	217	l72c
g75b	55.19	-21.2	-44.17	48.99	244	c11v
b00r	41.84	1.31	-43.28	43.3	272	c56v
b25r	29.72	24.12	-41.48	47.98	300	v04m
b50r	38.41	44.74	-27.3	52.41	329	v55m
b75r	49.41	70.07	-3.62	70.16	357	m11o

$\text{lab}^*\text{icu}^*_d$

$i^* = 1.00$

Brillantheit i^*

$i^* = 0.80$

$i^* = 0.60$

$i^* = 0.40$

$i^* = 0.20$

$i^* = 0.00$

relative Buntheit c^*

relative Buntheit c^*

Ein und Ausgabe: Farbmetrisches Drucker-Reflektiv-System ORS20_95a für relativen CIELAB-Buntton $h^* = lab^*h^* = h_{ab}/360 = 0.117$

Daten für jede Farbe:

lab^*ch^* und lab^*icu^*

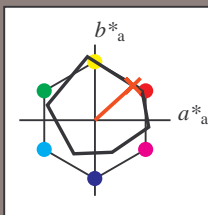
Bunttontexte:

$u^*_e = r25j$ $u^*_d = o17y$

Kontrastreduzierungsfaktor:

$c_R = 0.96$

Dreiecks-Helligkeit i^*



ORS20_95a; adaptierte CIELAB-Daten						
u^*_e	$L^*=L^*_a$	a^*_a	b^*_a	$C^*_{ab,a}$	$h^*_{ab,a}$	
O _{Ma}	48.71	62.56	37.91	73.15	31	
Y _{Ma}	89.25	-9.92	83.91	84.49	97	
L _{Ma}	52.5	-62.91	19.95	66.0	162	
C _{Ma}	59.15	-27.87	-44.43	52.45	238	
V _{Ma}	29.13	22.73	-42.44	48.14	298	
M _{Ma}	49.51	71.08	-9.19	71.67	353	
N _{Ma}	20.0	0.0	0.0	0.0	0	
W _{Ma}	95.0	0.0	0.0	0.0	0	
R _{Ma}	39.92	58.74	27.99	65.07	25	
J _{Ma}	81.26	-2.89	71.56	71.62	92	
G _{Ma}	52.23	-42.42	13.6	44.55	162	
B _{Ma}	30.57	1.41	-46.47	46.49	272	

Daten für Maximalfarbe (Ma):

$LAB^*LAB^*_{Ma}$: 56 50 46

$LAB^*LCH^*_{Ma}$: 56 68 42

$lab^*rgb^*_{Ma}$: 1.0 0.25 0.0

$lab^*olv^*_{Ma}$: 1.0 0.17 0.0

Dreiecks-Helligkeit i^*

%Umfang

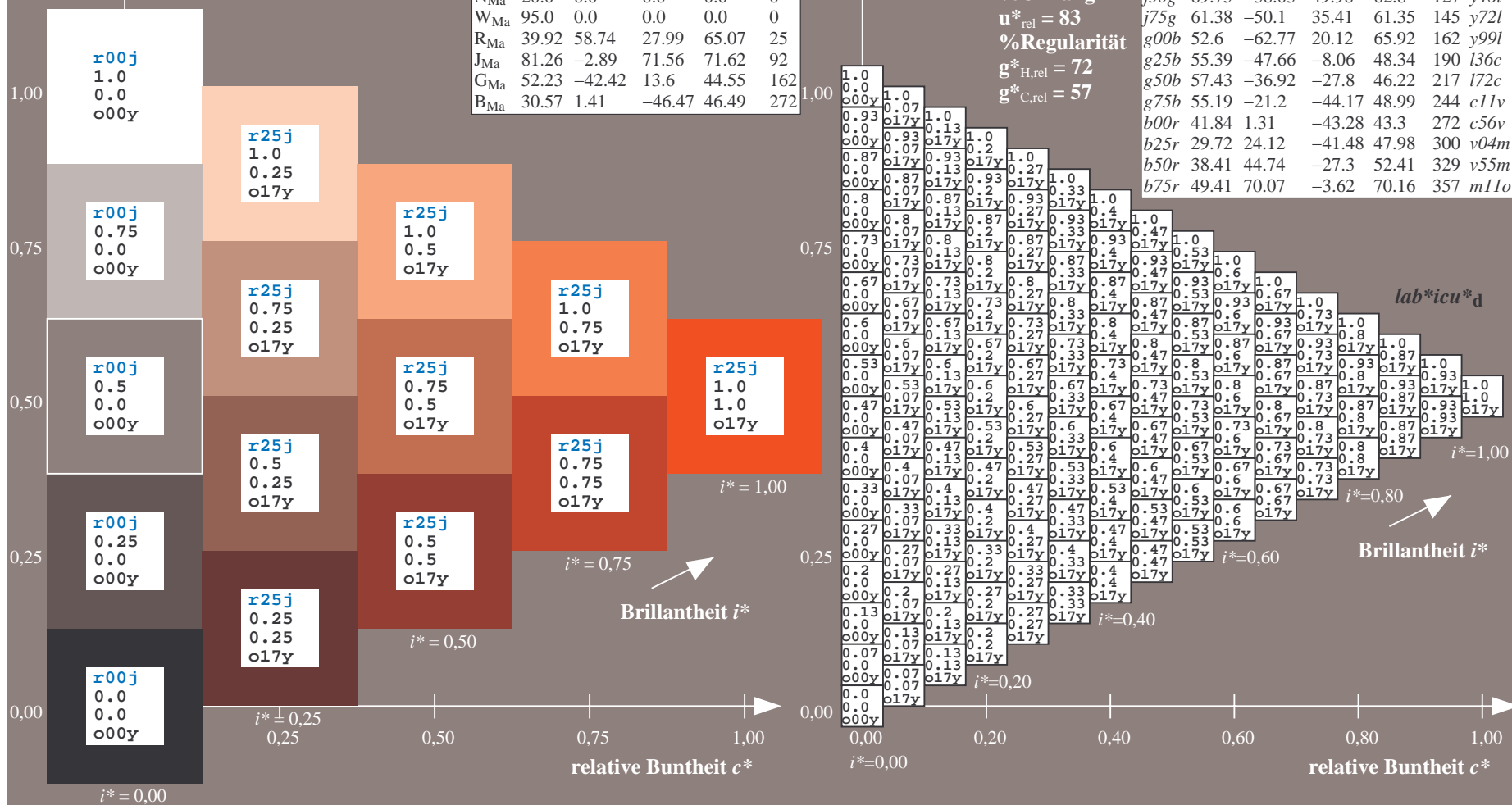
$u^*_{rel} = 83$

%Regularität

$g^*_{H,rel} = 72$

$g^*_{C,rel} = 57$

ORS20_95a; adaptierte CIELAB-Daten						
u^*_e	$L^*=L^*_a$	a^*_a	b^*_a	$C^*_{ab,a}$	$h^*_{ab,a}$	u^*_d
r00j	48.83	63.91	30.45	70.79	25	m84o
r25j	55.53	50.37	45.65	67.97	42	o17y
r50j	64.76	33.86	56.12	65.55	59	o42y
r75j	74.12	17.13	66.74	68.9	76	o67y
j00g	85.5	-3.22	79.65	79.72	92	o92y
j25g	79.45	-24.05	66.85	71.04	110	y20l
j50g	69.75	-38.03	49.98	62.8	127	y46l
j75g	61.38	-50.1	35.41	61.35	145	y72l
g00b	52.6	-62.77	20.12	65.92	162	y99l
g25b	55.39	-47.66	-8.06	48.34	190	l36c
g50b	57.43	-36.92	-27.8	46.22	217	l72c
g75b	55.19	-21.2	-44.17	48.99	244	c11v
b00r	41.84	1.31	-43.28	43.3	272	c56v
b25r	29.72	24.12	-41.48	47.98	300	v04m
b50r	38.41	44.74	-27.3	52.41	329	v55m
b75r	49.41	70.07	-3.62	70.16	357	m11o



Ein und Ausgabe: Farbmétrisches Drucker-Reflektiv-System ORS20_95a für relativen CIELAB-Buntton $h^* = lab^*h^* = h_{ab}/360 = 0.164$

Daten für jede Farbe:

*lab*tch** und *lab*icu**

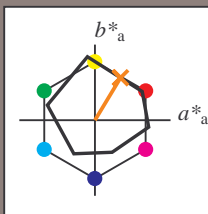
Bunttexte:

$$u^*_e = r50j \quad u^*_d = o42y$$

Kontrastreduzierungsfaktor:

 $c_D = 0.96$

K Dreiecks-Helligkeit t^*



ORS20 95a; adaptierte CIELAB-Daten						
u_e^*	$L^*=L_a^*$	a^*_a	b^*_a	$C^*_{ab,a}$	$h^*_{ab,a}$	
O _{Ma}	48.71	62.56	37.91	73.15	31	
Y _{Ma}	89.25	-9.92	83.91	84.49	97	
L _{Ma}	52.5	-62.91	19.95	66.0	162	
C _{Ma}	59.15	-27.87	-44.43	52.45	238	
V _{Ma}	29.13	22.73	-42.44	48.14	298	
M _{Ma}	49.51	71.08	-9.19	71.67	353	
N _{Ma}	20.0	0.0	0.0	0.0	0	
W _{Ma}	95.0	0.0	0.0	0.0	0	
R _{Ma}	39.92	58.74	27.99	65.07	25	
J _{Ma}	81.26	-2.89	71.56	71.62	92	
G _{Ma}	52.23	-42.42	13.6	44.55	162	
B _{Ma}	30.57	1.41	-46.47	46.49	272	

Daten für Maximalfarbe (Ma):

LAB*LAB*Mo: 65 34 56

LAD*LCII* 65 66 59

LAB*LCH*Ma: 65 66 58

*lab*rgb*_{Ma}: 1.0 0.5 0.0

*lab*olv**_{Ma}: 1.0 0.42 0.0

Dreiecks-Helligkeit t^*

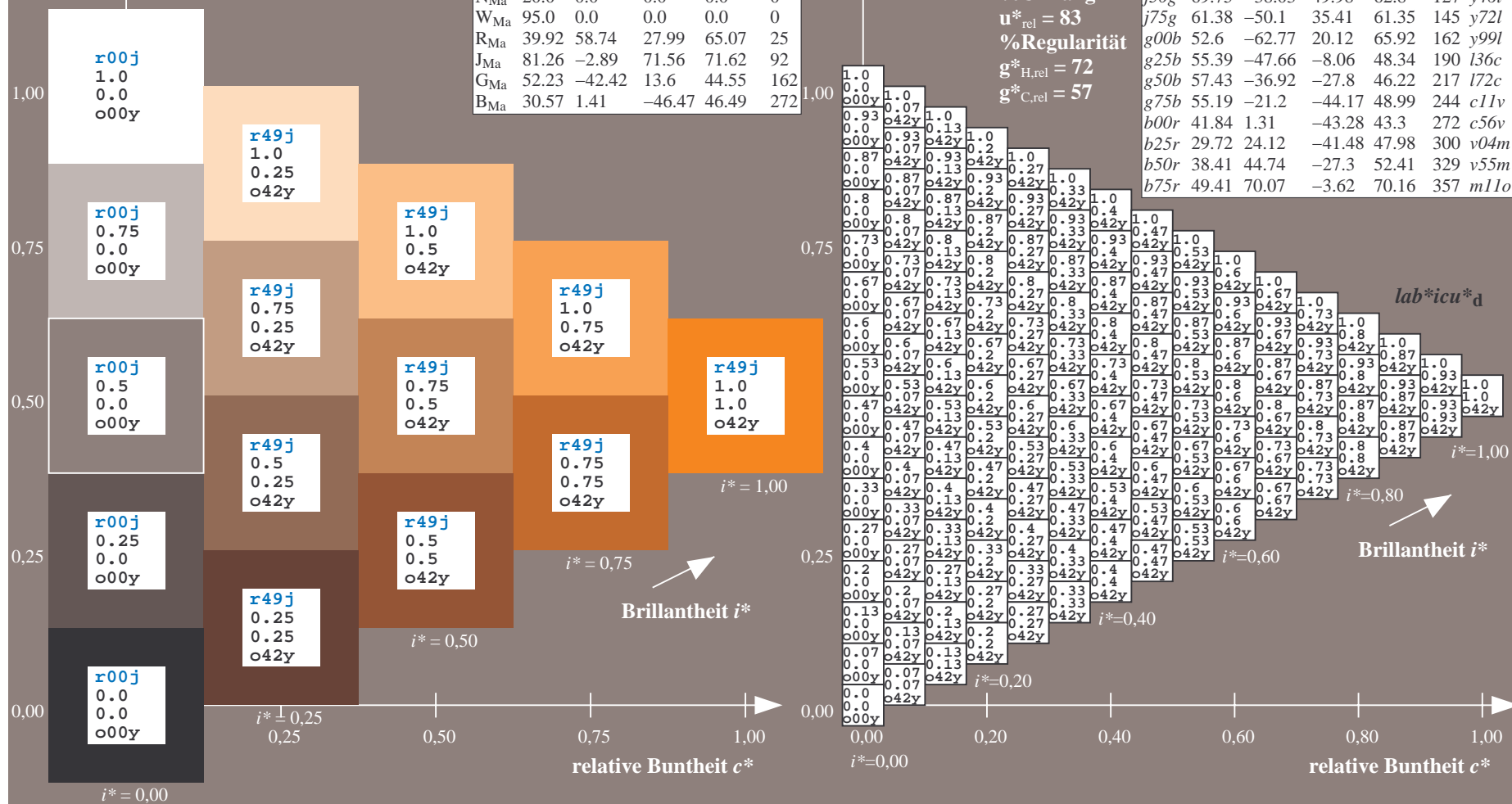
%Umfang

$$\mathbf{u}_{\text{rel}}^* = 83$$

%Regularität

$$g^*_{H,rel} = 72$$
$$g^*_{C,rel} = 57$$

ORS20_95a; adaptierte CIELAB-Daten						
u_e^*	$L^*=L_a^*$	a_a^*	b_a^*	$C_{ab,a}^*$	$h_{ab,a}^*$	u_d^*
<i>r00j</i>	48.83	63.91	30.45	70.79	25	<i>m84d</i>
<i>r25j</i>	55.53	50.37	45.65	67.97	42	<i>o17y</i>
<i>r50j</i>	64.76	33.86	56.12	65.55	59	<i>o42y</i>
<i>r75j</i>	74.12	17.13	66.74	68.9	76	<i>o67y</i>
<i>j00g</i>	85.5	-3.22	79.65	79.72	92	<i>o92y</i>
<i>j25g</i>	79.45	-24.05	66.85	71.04	110	<i>y20l</i>
<i>j50g</i>	69.75	-38.03	49.98	62.8	127	<i>y46l</i>
<i>j75g</i>	61.38	-50.1	35.41	61.35	145	<i>y72l</i>
<i>g00b</i>	52.6	-62.77	20.12	65.92	162	<i>y99l</i>
<i>g25b</i>	55.39	-47.66	-8.06	48.34	190	<i>l36c</i>
<i>g50b</i>	57.43	-36.92	-27.8	46.22	217	<i>l72c</i>
<i>g75b</i>	55.19	-21.2	-44.17	48.99	244	<i>c11v</i>
<i>b00r</i>	41.84	1.31	-43.28	43.3	272	<i>c56v</i>
<i>b25r</i>	29.72	24.12	-41.48	47.98	300	<i>v04m</i>
<i>b50r</i>	38.41	44.74	-27.3	52.41	329	<i>v55m</i>
<i>b75r</i>	49.41	70.07	-3.62	70.16	357	<i>m11o</i>



BAM-Prüfvorlage Eg15; Farbmatrik-Systeme, Seite 202/270 Eingabe: 000n / w / nnn0 / www set...
3 Separationen, 9 Datentabellen für 16 Bunttöne r00j bis b75r Ausgabe: ->cmY0* setcmykcolor

BAM-Registrierung: 20081001-Eg15/10/L15G00NP.PS/.PDF BAM-Material: Code=rha4ta
+ Anwendung für Beurteilung und Messung von Drucker- oder Monitorsystemen

Ein und Ausgabe: Farbmetrisches Drucker-Reflektiv-System ORS20_95a für relativen CIELAB-Buntton $h^* = lab^*h^* = h_{ab}/360 = 0.21$

Daten für jede Farbe:

lab^*ch^* und lab^*icu^*

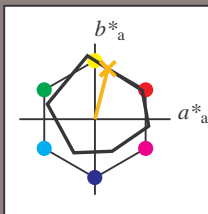
Bunttontexte:

$u^*_e = r75j$ $u^*_d = o67y$

Kontrastreduzierungsfaktor:

$c_R = 0.96$

Dreiecks-Helligkeit i^*



ORS20_95a; adaptierte CIELAB-Daten

	u^*_e	$L^*=L^*_a$	a^*_a	b^*_a	$C^*_{ab,a}$	$h^*_{ab,a}$
O _{Ma}	48.71	62.56	37.91	73.15	31	
Y _{Ma}	89.25	-9.92	83.91	84.49	97	
L _{Ma}	52.5	-62.91	19.95	66.0	162	
C _{Ma}	59.15	-27.87	-44.43	52.45	238	
V _{Ma}	29.13	22.73	-42.44	48.14	298	
M _{Ma}	49.51	71.08	-9.19	71.67	353	
N _{Ma}	20.0	0.0	0.0	0.0	0	
W _{Ma}	95.0	0.0	0.0	0.0	0	
R _{Ma}	39.92	58.74	27.99	65.07	25	
J _{Ma}	81.26	-2.89	71.56	71.62	92	
G _{Ma}	52.23	-42.42	13.6	44.55	162	
B _{Ma}	30.57	1.41	-46.47	46.49	272	

Daten für Maximalfarbe (Ma):

$LAB^*LAB^*_{Ma}$: 74 17 67

$LAB^*LCH^*_{Ma}$: 74 69 75

$lab^*rgb^*_{Ma}$: 1.0 0.75 0.0

$lab^*olv^*_{Ma}$: 1.0 0.68 0.0

Dreiecks-Helligkeit i^*

%Umfang

$u^*_{rel} = 83$

%Regularität

$g^*_{H,rel} = 72$

$g^*_{C,rel} = 57$

ORS20_95a; adaptierte CIELAB-Daten

	u^*_e	$L^*=L^*_a$	a^*_a	b^*_a	$C^*_{ab,a}$	$h^*_{ab,a}$	u^*_d
r00j	48.83	63.91	30.45	70.79	25	m84o	
r25j	55.53	50.37	45.65	67.97	42	o17y	
r50j	64.76	33.86	56.12	65.55	59	o42y	
r75j	74.12	17.13	66.74	68.9	76	o67y	
j00g	85.5	-3.22	79.65	79.72	92	o92y	
j25g	79.45	-24.05	66.85	71.04	110	y20l	
j50g	69.75	-38.03	49.98	62.8	127	y46l	
j75g	61.38	-50.1	35.41	61.35	145	y72l	
g00b	52.6	-62.77	20.12	65.92	162	y99l	
g25b	55.39	-47.66	-8.06	48.34	190	l36c	
g50b	57.43	-36.92	-27.8	46.22	217	l72c	
g75b	55.19	-21.2	-44.17	48.99	244	c11v	
b00r	41.84	1.31	-43.28	43.3	272	c56v	
b25r	29.72	24.12	-41.48	47.98	300	v04m	
b50r	38.41	44.74	-27.3	52.41	329	v55m	
b75r	49.41	70.07	-3.62	70.16	357	m11o	

$lab^*icu^*_d$

$i^* = 1.00$

Brillantheit i^*

$i^* = 0.80$

$i^* = 0.60$

$i^* = 0.40$

$i^* = 0.20$

$i^* = 0.00$

Ein und Ausgabe: Farbmetrisches Drucker-Reflektiv-System ORS20_95a für relativen CIELAB-Buntton $h^* = lab^*h^* = h_{ab}/360 = 0.256$

Daten für jede Farbe:

lab^*ch^* und lab^*icu^*

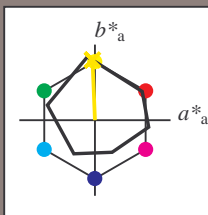
Bunttontexte:

$u^*_e = j00g$ $u^*_d = o92y$

Kontrastreduzierungsfaktor:

$c_R = 0.96$

Dreiecks-Helligkeit i^*



ORS20_95a; adaptierte CIELAB-Daten						
u^*_e	$L^*=L^*_a$	a^*_a	b^*_a	$C^*_{ab,a}$	$h^*_{ab,a}$	
O _{Ma}	48.71	62.56	37.91	73.15	31	
Y _{Ma}	89.25	-9.92	83.91	84.49	97	
L _{Ma}	52.5	-62.91	19.95	66.0	162	
C _{Ma}	59.15	-27.87	-44.43	52.45	238	
V _{Ma}	29.13	22.73	-42.44	48.14	298	
M _{Ma}	49.51	71.08	-9.19	71.67	353	
N _{Ma}	20.0	0.0	0.0	0.0	0	
W _{Ma}	95.0	0.0	0.0	0.0	0	
R _{Ma}	39.92	58.74	27.99	65.07	25	
J _{Ma}	81.26	-2.89	71.56	71.62	92	
G _{Ma}	52.23	-42.42	13.6	44.55	162	
B _{Ma}	30.57	1.41	-46.47	46.49	272	

Daten für Maximalfarbe (Ma):

$LAB^*LAB^*_{Ma}$: 86 -3 80

$LAB^*LCH^*_{Ma}$: 86 80 92

$lab^*rgb^*_{Ma}$: 1.0 1.0 0.0

$lab^*olv^*_{Ma}$: 1.0 0.93 0.0

Dreiecks-Helligkeit i^*

%Umfang

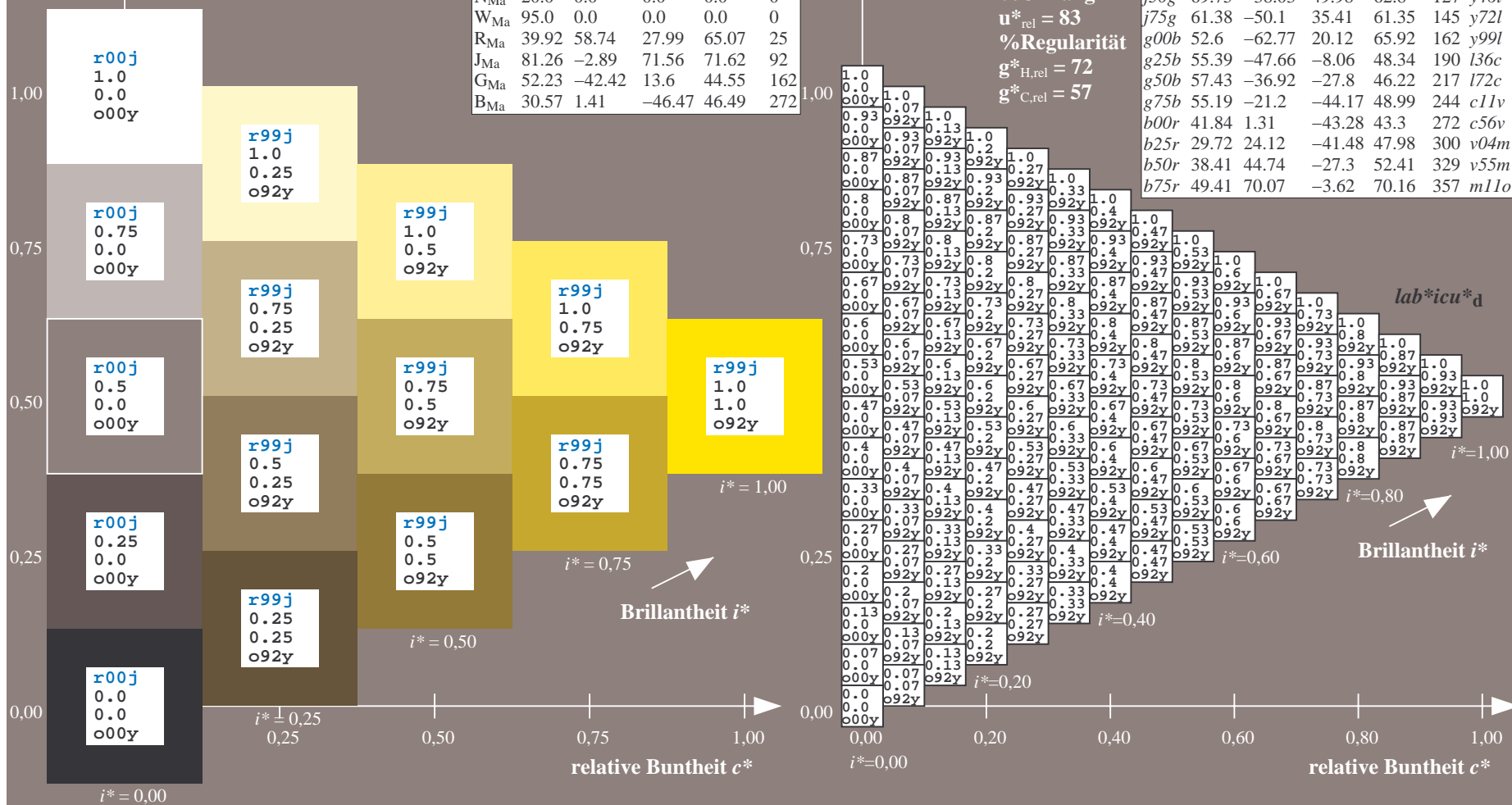
$u^*_{rel} = 83$

%Regularität

$g^*_{H,rel} = 72$

$g^*_{C,rel} = 57$

ORS20_95a; adaptierte CIELAB-Daten						
u^*_e	$L^*=L^*_a$	a^*_a	b^*_a	$C^*_{ab,a}$	$h^*_{ab,a}$	u^*_d
r00j	48.83	63.91	30.45	70.79	25	m84o
r25j	55.53	50.37	45.65	67.97	42	o17y
r50j	64.76	33.86	56.12	65.55	59	o42y
r75j	74.12	17.13	66.74	68.9	76	o67y
j00g	85.5	-3.22	79.65	79.72	92	o92y
j25g	79.45	-24.05	66.85	71.04	110	y20l
j50g	69.75	-38.03	49.98	62.8	127	y46l
j75g	61.38	-50.1	35.41	61.35	145	y72l
g00b	52.6	-62.77	20.12	65.92	162	y99l
g25b	55.39	-47.66	-8.06	48.34	190	l36c
g50b	57.43	-36.92	-27.8	46.22	217	l72c
g75b	55.19	-21.2	-44.17	48.99	244	c11v
b00r	41.84	1.31	-43.28	43.3	272	c56v
b25r	29.72	24.12	-41.48	47.98	300	v04m
b50r	38.41	44.74	-27.3	52.41	329	v55m
b75r	49.41	70.07	-3.62	70.16	357	m11o



Ein und Ausgabe: Farbmetrisches Drucker-Reflektiv-System ORS20_95a für relativen CIELAB-Buntton $h^* = \text{lab}^*h^* = h_{ab}/360 = 0.305$

Daten für jede Farbe:

lab^*tch^* und lab^*icu^*

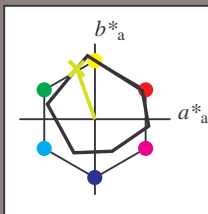
Bunttontexte:

$u^*_e = j25g$ $u^*_d = y20l$

Kontrastreduzierungsfaktor:

$c_R = 0.96$

Dreiecks-Helligkeit i^*



ORS20_95a; adaptierte CIELAB-Daten

u^*_e	$L^*=L^*_a$	a^*_a	b^*_a	$C^*_{ab,a}$	$h^*_{ab,a}$
O _{Ma}	48.71	62.56	37.91	73.15	31
Y _{Ma}	89.25	-9.92	83.91	84.49	97
L _{Ma}	52.5	-62.91	19.95	66.0	162
C _{Ma}	59.15	-27.87	-44.43	52.45	238
V _{Ma}	29.13	22.73	-42.44	48.14	298
M _{Ma}	49.51	71.08	-9.19	71.67	353
N _{Ma}	20.0	0.0	0.0	0.0	0
W _{Ma}	95.0	0.0	0.0	0.0	0
R _{Ma}	39.92	58.74	27.99	65.07	25
J _{Ma}	81.26	-2.89	71.56	71.62	92
G _{Ma}	52.23	-42.42	13.6	44.55	162
B _{Ma}	30.57	1.41	-46.47	46.49	272

Daten für Maximalfarbe (Ma):

$\text{LAB}^*\text{LAB}^*_{\text{Ma}}$: 79 -24 67

$\text{LAB}^*\text{LCH}^*_{\text{Ma}}$: 79 71 109

$\text{lab}^*\text{rgb}^*_{\text{Ma}}$: 0.75 1.0 0.0

$\text{lab}^*\text{olv}^*_{\text{Ma}}$: 0.8 1.0 0.0

Dreiecks-Helligkeit i^*

%Umfang

$u^*_{\text{rel}} = 83$

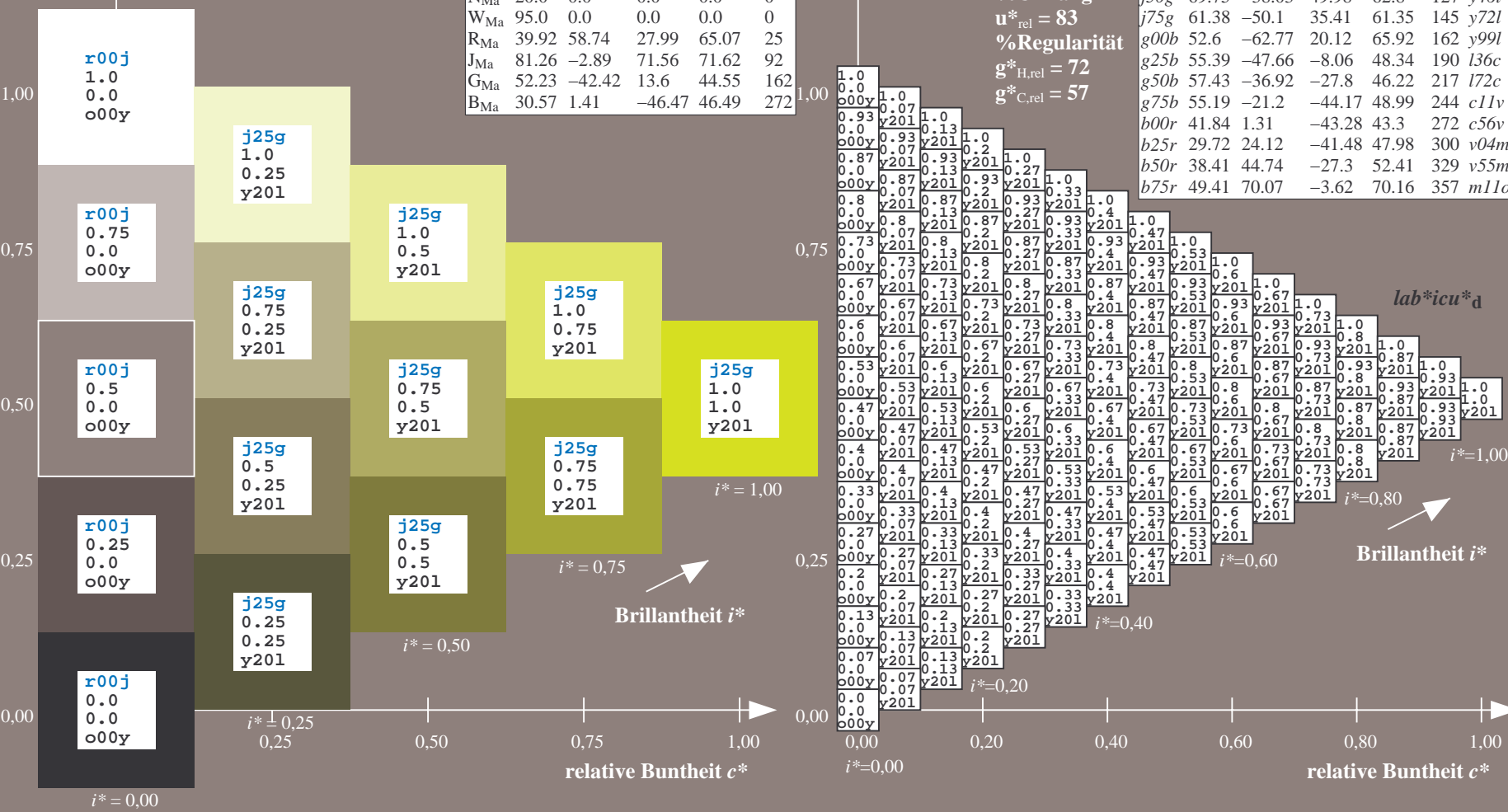
%Regularität

$g^*_{H,\text{rel}} = 72$

$g^*_{C,\text{rel}} = 57$

ORS20_95a; adaptierte CIELAB-Daten

u^*_e	$L^*=L^*_a$	a^*_a	b^*_a	$C^*_{ab,a}$	$h^*_{ab,a}$	u^*_d
r00j	48.83	63.91	30.45	70.79	25	m84o
r25j	55.53	50.37	45.65	67.97	42	o17y
r50j	64.76	33.86	56.12	65.55	59	o42y
r75j	74.12	17.13	66.74	68.9	76	o67y
j00g	85.5	-3.22	79.65	79.72	92	o92y
j25g	79.45	-24.05	66.85	71.04	110	y20l
j50g	69.75	-38.03	49.98	62.8	127	y46l
j75g	61.38	-50.1	35.41	61.35	145	y72l
g00b	52.6	-62.77	20.12	65.92	162	y99l
g25b	55.39	-47.66	-8.06	48.34	190	l36c
g50b	57.43	-36.92	-27.8	46.22	217	l72c
g75b	55.19	-21.2	-44.17	48.99	244	c11v
b00r	41.84	1.31	-43.28	43.3	272	c56v
b25r	29.72	24.12	-41.48	47.98	300	v04m
b50r	38.41	44.74	-27.3	52.41	329	v55m
b75r	49.41	70.07	-3.62	70.16	357	m11o



Ein und Ausgabe: Farbmetrisches Drucker-Reflektiv-System ORS20_95a für relativen CIELAB-Buntton $h^* = \text{lab}^*h^* = h_{ab}/360 = 0.354$

Daten für jede Farbe:

lab^*tch^* und lab^*icu^*

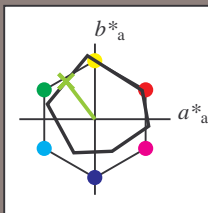
Bunttontexte:

$u^*_e = j50g$ $u^*_d = y46l$

Kontrastreduzierungsfaktor:

$c_R = 0.96$

Dreiecks-Helligkeit i^*



ORS20_95a; adaptierte CIELAB-Daten

	u^*_e	$L^*=L^*_a$	a^*_a	b^*_a	$C^*_{ab,a}$	$h^*_{ab,a}$
O _{Ma}	48.71	62.56	37.91	73.15	31	
Y _{Ma}	89.25	-9.92	83.91	84.49	97	
L _{Ma}	52.5	-62.91	19.95	66.0	162	
C _{Ma}	59.15	-27.87	-44.43	52.45	238	
V _{Ma}	29.13	22.73	-42.44	48.14	298	
M _{Ma}	49.51	71.08	-9.19	71.67	353	
N _{Ma}	20.0	0.0	0.0	0.0	0	
W _{Ma}	95.0	0.0	0.0	0.0	0	
R _{Ma}	39.92	58.74	27.99	65.07	25	
J _{Ma}	81.26	-2.89	71.56	71.62	92	
G _{Ma}	52.23	-42.42	13.6	44.55	162	
B _{Ma}	30.57	1.41	-46.47	46.49	272	

Daten für Maximalfarbe (Ma):

$\text{LAB}^*\text{LAB}^*_{\text{Ma}}$: 70 -38 50

$\text{LAB}^*\text{LCH}^*_{\text{Ma}}$: 70 63 127

$\text{lab}^*\text{rgb}^*_{\text{Ma}}$: 0.5 1.0 0.0

$\text{lab}^*\text{olv}^*_{\text{Ma}}$: 0.54 1.0 0.0

Dreiecks-Helligkeit i^*

%Umfang

$u^*_{\text{rel}} = 83$

%Regularität

$g^*_{H,\text{rel}} = 72$

$g^*_{C,\text{rel}} = 57$

ORS20_95a; adaptierte CIELAB-Daten

	u^*_e	$L^*=L^*_a$	a^*_a	b^*_a	$C^*_{ab,a}$	$h^*_{ab,a}$	u^*_d
r00j	48.83	63.91	30.45	70.79	25	m84o	
r25j	55.53	50.37	45.65	67.97	42	o17y	
r50j	64.76	33.86	56.12	65.55	59	o42y	
r75j	74.12	17.13	66.74	68.9	76	o67y	
j00g	85.5	-3.22	79.65	79.72	92	o92y	
j25g	79.45	-24.05	66.85	71.04	110	y20l	
j50g	69.75	-38.03	49.98	62.8	127	y46l	
j75g	61.38	-50.1	35.41	61.35	145	y72l	
g00b	52.6	-62.77	20.12	65.92	162	y99l	
g25b	55.39	-47.66	-8.06	48.34	190	l36c	
g50b	57.43	-36.92	-27.8	46.22	217	l72c	
g75b	55.19	-21.2	-44.17	48.99	244	c11v	
b00r	41.84	1.31	-43.28	43.3	272	c56v	
b25r	29.72	24.12	-41.48	47.98	300	v04m	
b50r	38.41	44.74	-27.3	52.41	329	v55m	
b75r	49.41	70.07	-3.62	70.16	357	m11o	

$\text{lab}^*\text{icu}^*_d$

$i^* = 1.00$

Brillantheit i^*

$i^* = 0.80$

$i^* = 0.60$

$i^* = 0.40$

$i^* = 0.20$

$i^* = 0.00$

relative Bunttheit c^*

relative Bunttheit c^*

Ein und Ausgabe: Farbmetrisches Drucker-Reflektiv-System ORS20_95a für relativen CIELAB-Buntton $h^* = \text{lab}^*h^* = h_{ab}/360 = 0.402$

Daten für jede Farbe:

lab^*tch^* und lab^*icu^*

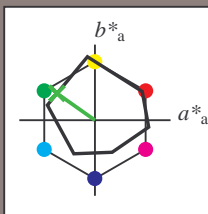
Bunttontexte:

$u^*_e = j75g$ $u^*_d = y72l$

Kontrastreduzierungsfaktor:

$c_R = 0.96$

Dreiecks-Helligkeit i^*



ORS20_95a; adaptierte CIELAB-Daten

	u^*_e	$L^*=L^*_a$	a^*_a	b^*_a	$C^*_{ab,a}$	$h^*_{ab,a}$
O _{Ma}	48.71	62.56	37.91	73.15	31	
Y _{Ma}	89.25	-9.92	83.91	84.49	97	
L _{Ma}	52.5	-62.91	19.95	66.0	162	
C _{Ma}	59.15	-27.87	-44.43	52.45	238	
V _{Ma}	29.13	22.73	-42.44	48.14	298	
M _{Ma}	49.51	71.08	-9.19	71.67	353	
N _{Ma}	20.0	0.0	0.0	0.0	0	
W _{Ma}	95.0	0.0	0.0	0.0	0	
R _{Ma}	39.92	58.74	27.99	65.07	25	
J _{Ma}	81.26	-2.89	71.56	71.62	92	
G _{Ma}	52.23	-42.42	13.6	44.55	162	
B _{Ma}	30.57	1.41	-46.47	46.49	272	

Daten für Maximalfarbe (Ma):

$\text{LAB}^*\text{LAB}^*_{\text{Ma}}$: 61 -50 35

$\text{LAB}^*\text{LCH}^*_{\text{Ma}}$: 61 61 144

$\text{lab}^*\text{rgb}^*_{\text{Ma}}$: 0.25 1.0 0.0

$\text{lab}^*\text{olv}^*_{\text{Ma}}$: 0.27 1.0 0.0

Dreiecks-Helligkeit i^*

%Umfang

$u^*_{\text{rel}} = 83$

%Regularität

$g^*_{H,\text{rel}} = 72$

$g^*_{C,\text{rel}} = 57$

ORS20_95a; adaptierte CIELAB-Daten

	u^*_e	$L^*=L^*_a$	a^*_a	b^*_a	$C^*_{ab,a}$	$h^*_{ab,a}$	u^*_d
r00j	48.83	63.91	30.45	70.79	25	m84o	
r25j	55.53	50.37	45.65	67.97	42	o17y	
r50j	64.76	33.86	56.12	65.55	59	o42y	
r75j	74.12	17.13	66.74	68.9	76	o67y	
j00g	85.5	-3.22	79.65	79.72	92	o92y	
j25g	79.45	-24.05	66.85	71.04	110	y20l	
j50g	69.75	-38.03	49.98	62.8	127	y46l	
j75g	61.38	-50.1	35.41	61.35	145	y72l	
g00b	52.6	-62.77	20.12	65.92	162	y99l	
g25b	55.39	-47.66	-8.06	48.34	190	l36c	
g50b	57.43	-36.92	-27.8	46.22	217	l72c	
g75b	55.19	-21.2	-44.17	48.99	244	c11v	
b00r	41.84	1.31	-43.28	43.3	272	c56v	
b25r	29.72	24.12	-41.48	47.98	300	v04m	
b50r	38.41	44.74	-27.3	52.41	329	v55m	
b75r	49.41	70.07	-3.62	70.16	357	m11o	

$\text{lab}^*\text{icu}^*_d$

$i^* = 1.00$

Brillantheit i^*

$i^* = 0.80$

$i^* = 0.60$

$i^* = 0.40$

$i^* = 0.20$

$i^* = 0.00$

relative Buntheit c^*

Ein und Ausgabe: Farbmetrisches Drucker-Reflektiv-System ORS20_95a für relativen CIELAB-Buntton $h^* = lab^*h^* = h_{ab}/360 = 0.451$

Daten für jede Farbe:

lab^*tch^* und lab^*icu^*

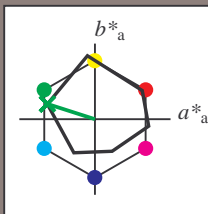
Bunttontexte:

$u^*_e = g00b$ $u^*_d = y99l$

Kontrastreduzierungsfaktor:

$c_R = 0.96$

Dreiecks-Helligkeit i^*



ORS20_95a; adaptierte CIELAB-Daten						
u^*_e	$L^*=L^*_a$	a^*_a	b^*_a	$C^*_{ab,a}$	$h^*_{ab,a}$	
O _{Ma}	48.71	62.56	37.91	73.15	31	
Y _{Ma}	89.25	-9.92	83.91	84.49	97	
L _{Ma}	52.5	-62.91	19.95	66.0	162	
C _{Ma}	59.15	-27.87	-44.43	52.45	238	
V _{Ma}	29.13	22.73	-42.44	48.14	298	
M _{Ma}	49.51	71.08	-9.19	71.67	353	
N _{Ma}	20.0	0.0	0.0	0.0	0	
W _{Ma}	95.0	0.0	0.0	0.0	0	
R _{Ma}	39.92	58.74	27.99	65.07	25	
J _{Ma}	81.26	-2.89	71.56	71.62	92	
G _{Ma}	52.23	-42.42	13.6	44.55	162	
B _{Ma}	30.57	1.41	-46.47	46.49	272	

Daten für Maximalfarbe (Ma):

$LAB^*LAB^*_{Ma}$: 53 -63 20

$LAB^*LCH^*_{Ma}$: 53 66 162

$lab^*rgb^*_{Ma}$: 0.0 1.0 0.0

$lab^*olv^*_{Ma}$: 0.0 1.0 0.0

Dreiecks-Helligkeit i^*

%Umfang

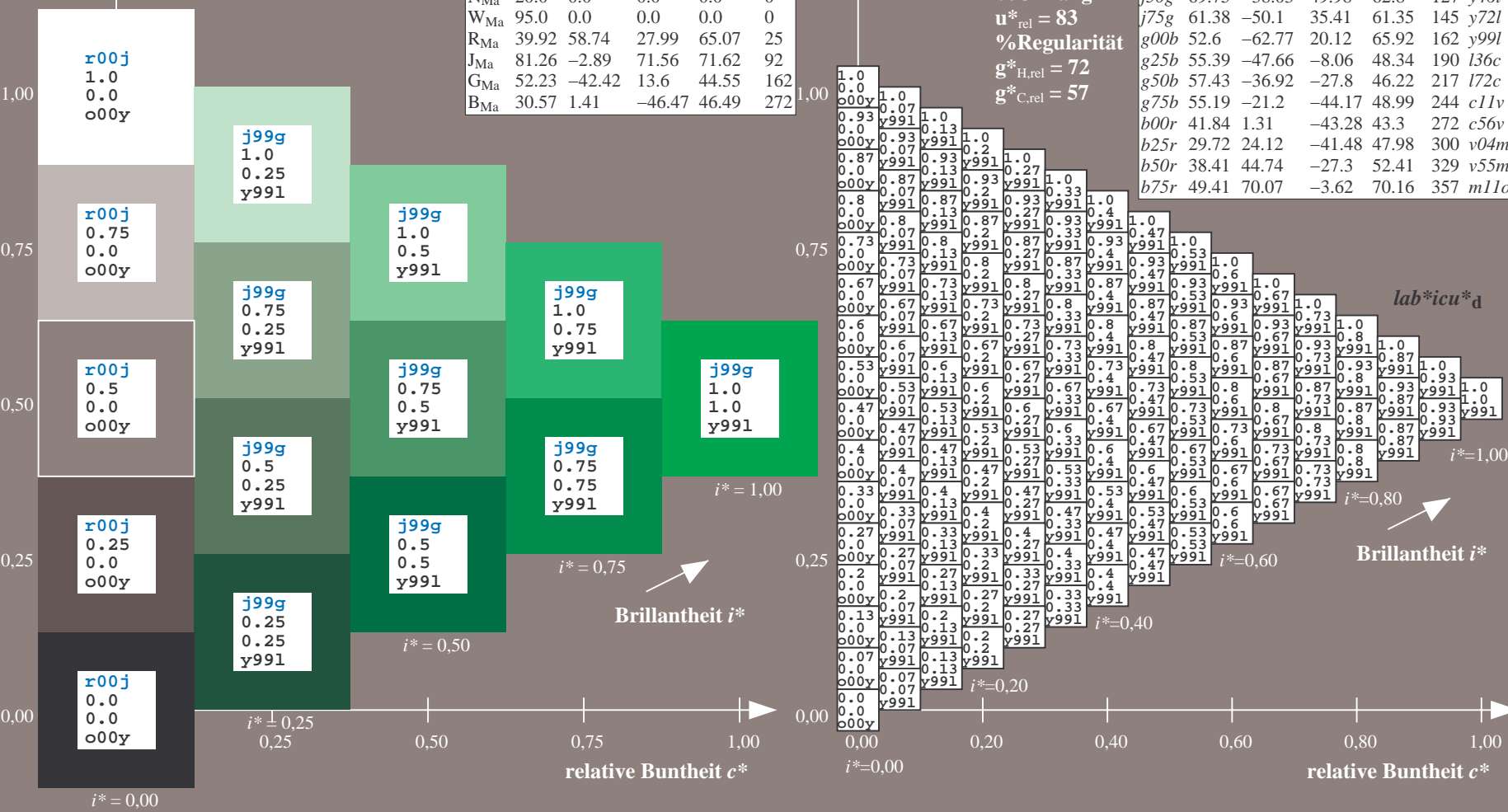
$u^*_{rel} = 83$

%Regularität

$g^*_{H,rel} = 72$

$g^*_{C,rel} = 57$

ORS20_95a; adaptierte CIELAB-Daten						
u^*_e	$L^*=L^*_a$	a^*_a	b^*_a	$C^*_{ab,a}$	$h^*_{ab,a}$	u^*_d
r00j	48.83	63.91	30.45	70.79	25	m84o
r25j	55.53	50.37	45.65	67.97	42	o17y
r50j	64.76	33.86	56.12	65.55	59	o42y
r75j	74.12	17.13	66.74	68.9	76	o67y
j00g	85.5	-3.22	79.65	79.72	92	o92y
j25g	79.45	-24.05	66.85	71.04	110	y20l
j50g	69.75	-38.03	49.98	62.8	127	y46l
j75g	61.38	-50.1	35.41	61.35	145	y72l
g00b	52.6	-62.77	20.12	65.92	162	y99l
g25b	55.39	-47.66	-8.06	48.34	190	l36c
g50b	57.43	-36.92	-27.8	46.22	217	l72c
g75b	55.19	-21.2	-44.17	48.99	244	c11v
b00r	41.84	1.31	-43.28	43.3	272	c56v
b25r	29.72	24.12	-41.48	47.98	300	v04m
b50r	38.41	44.74	-27.3	52.41	329	v55m
b75r	49.41	70.07	-3.62	70.16	357	m11o



Ein und Ausgabe: Farbmetrisches Drucker-Reflektiv-System ORS20_95a für relativen CIELAB-Buntton $h^* = lab^*h^* = h_{ab}/360 = 0.527$

Daten für jede Farbe:

lab^*ch^* und lab^*icu^*

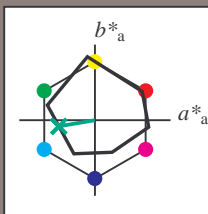
Bunttontexte:

$u^*_e = g25b$ $u^*_d = l36c$

Kontrastreduzierungsfaktor:

$c_R = 0.96$

Dreiecks-Helligkeit i^*



ORS20_95a; adaptierte CIELAB-Daten

u^*_e	$L^*=L^*_a$	a^*_a	b^*_a	$C^*_{ab,a}$	$h^*_{ab,a}$
O _{Ma}	48.71	62.56	37.91	73.15	31
Y _{Ma}	89.25	-9.92	83.91	84.49	97
L _{Ma}	52.5	-62.91	19.95	66.0	162
C _{Ma}	59.15	-27.87	-44.43	52.45	238
V _{Ma}	29.13	22.73	-42.44	48.14	298
M _{Ma}	49.51	71.08	-9.19	71.67	353
W _{Ma}	20.0	0.0	0.0	0.0	0
N _{Ma}	95.0	0.0	0.0	0.0	0
R _{Ma}	39.92	58.74	27.99	65.07	25
J _{Ma}	81.26	-2.89	71.56	71.62	92
G _{Ma}	52.23	-42.42	13.6	44.55	162
B _{Ma}	30.57	1.41	-46.47	46.49	272

Daten für Maximalfarbe (Ma):

$LAB^*LAB^*_{Ma}$: 55 -48 -8

$LAB^*LCH^*_{Ma}$: 55 48 189

$lab^*rgb^*_{Ma}$: 0.0 1.0 0.5

$lab^*olv^*_{Ma}$: 0.0 1.0 0.36

Dreiecks-Helligkeit i^*

%Umfang

$u^*_{rel} = 83$

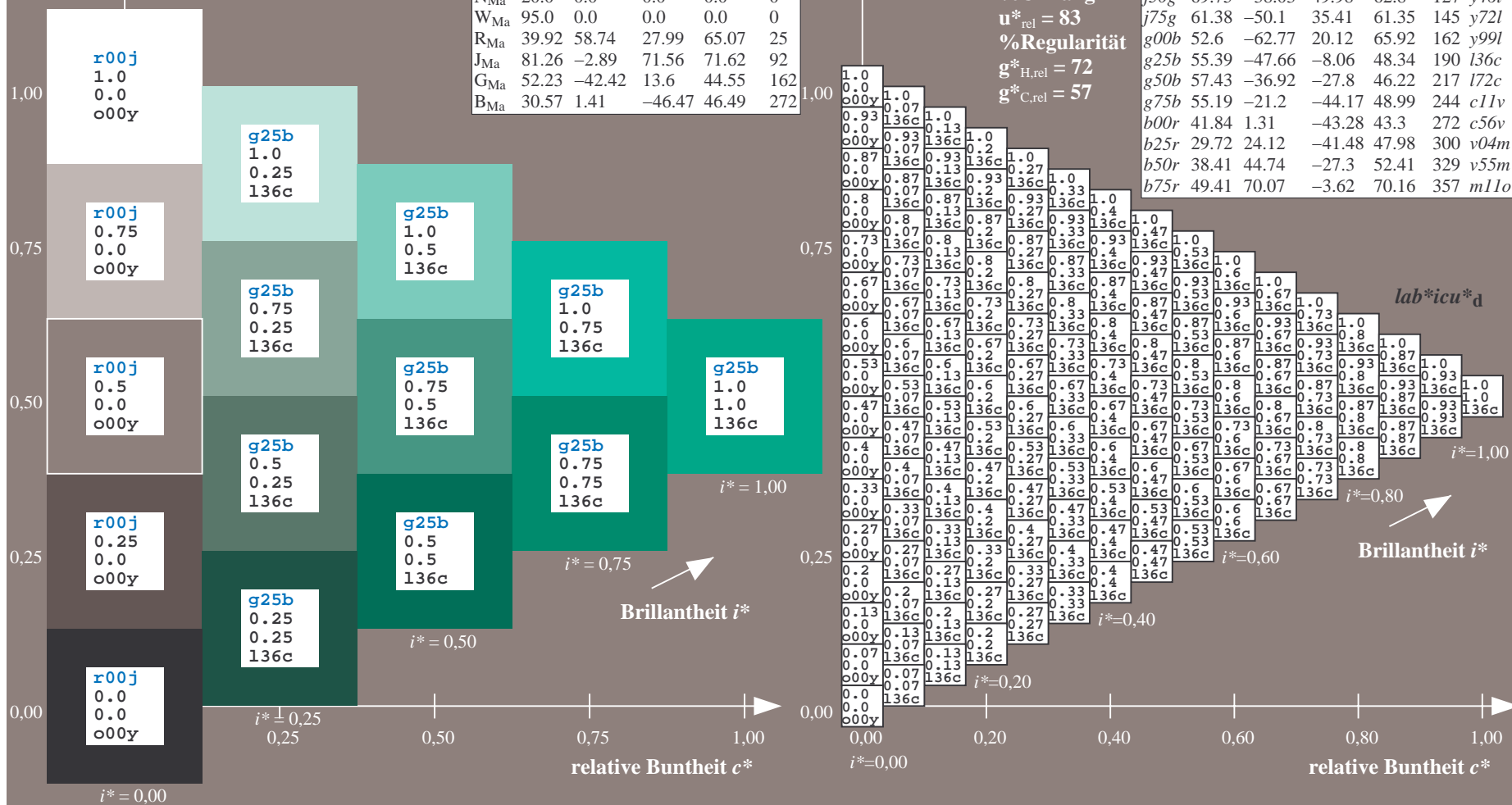
%Regularität

$g^*_{H,rel} = 72$

$g^*_{C,rel} = 57$

ORS20_95a; adaptierte CIELAB-Daten

u^*_e	$L^*=L^*_a$	a^*_a	b^*_a	$C^*_{ab,a}$	$h^*_{ab,a}$	u^*_d
r00j	48.83	63.91	30.45	70.79	25	m84o
r25j	55.53	50.37	45.65	67.97	42	o17y
r50j	64.76	33.86	56.12	65.55	59	o42y
r75j	74.12	17.13	66.74	68.9	76	o67y
j00g	85.5	-3.22	79.65	79.72	92	o92y
j25g	79.45	-24.05	66.85	71.04	110	y20l
j50g	69.75	-38.03	49.98	62.8	127	y46l
j75g	61.38	-50.1	35.41	61.35	145	y72l
g00b	52.6	-62.77	20.12	65.92	162	y99l
g25b	55.39	-47.66	-8.06	48.34	190	l36c
g50b	57.43	-36.92	-27.8	46.22	217	l72c
g75b	55.19	-21.2	-44.17	48.99	244	c11v
b00r	41.84	1.31	-43.28	43.3	272	c56v
b25r	29.72	24.12	-41.48	47.98	300	v04m
b50r	38.41	44.74	-27.3	52.41	329	v55m
b75r	49.41	70.07	-3.62	70.16	357	m11o



Ein und Ausgabe: Farbmetrisches Drucker-Reflektiv-System ORS20_95a für relativen CIELAB-Buntton $h^* = lab^*h^* = h_{ab}/360 = 0.603$

Daten für jede Farbe:

lab^*tch^* und lab^*icu^*

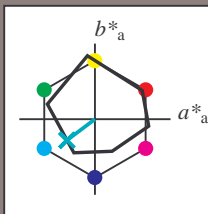
Bunttontexte:

$u^*_e = g50b$ $u^*_d = l72c$

Kontrastreduzierungsfaktor:

$c_R = 0.96$

Dreiecks-Helligkeit i^*



ORS20_95a; adaptierte CIELAB-Daten

	u^*_e	$L^*=L^*_a$	a^*_a	b^*_a	$C^*_{ab,a}$	$h^*_{ab,a}$
O _{Ma}	48.71	62.56	37.91	73.15	31	
Y _{Ma}	89.25	-9.92	83.91	84.49	97	
L _{Ma}	52.5	-62.91	19.95	66.0	162	
C _{Ma}	59.15	-27.87	-44.43	52.45	238	
V _{Ma}	29.13	22.73	-42.44	48.14	298	
M _{Ma}	49.51	71.08	-9.19	71.67	353	
N _{Ma}	20.0	0.0	0.0	0.0	0	
W _{Ma}	95.0	0.0	0.0	0.0	0	
R _{Ma}	39.92	58.74	27.99	65.07	25	
J _{Ma}	81.26	-2.89	71.56	71.62	92	
G _{Ma}	52.23	-42.42	13.6	44.55	162	
B _{Ma}	30.57	1.41	-46.47	46.49	272	

Daten für Maximalfarbe (Ma):

$LAB^*LAB^*_{Ma}$: 57 -37 -28

$LAB^*LCH^*_{Ma}$: 57 46 216

$lab^*rgb^*_{Ma}$: 0.0 1.0 1.0

$lab^*olv^*_{Ma}$: 0.0 1.0 0.72

Dreiecks-Helligkeit i^*

%Umfang

$u^*_{rel} = 83$

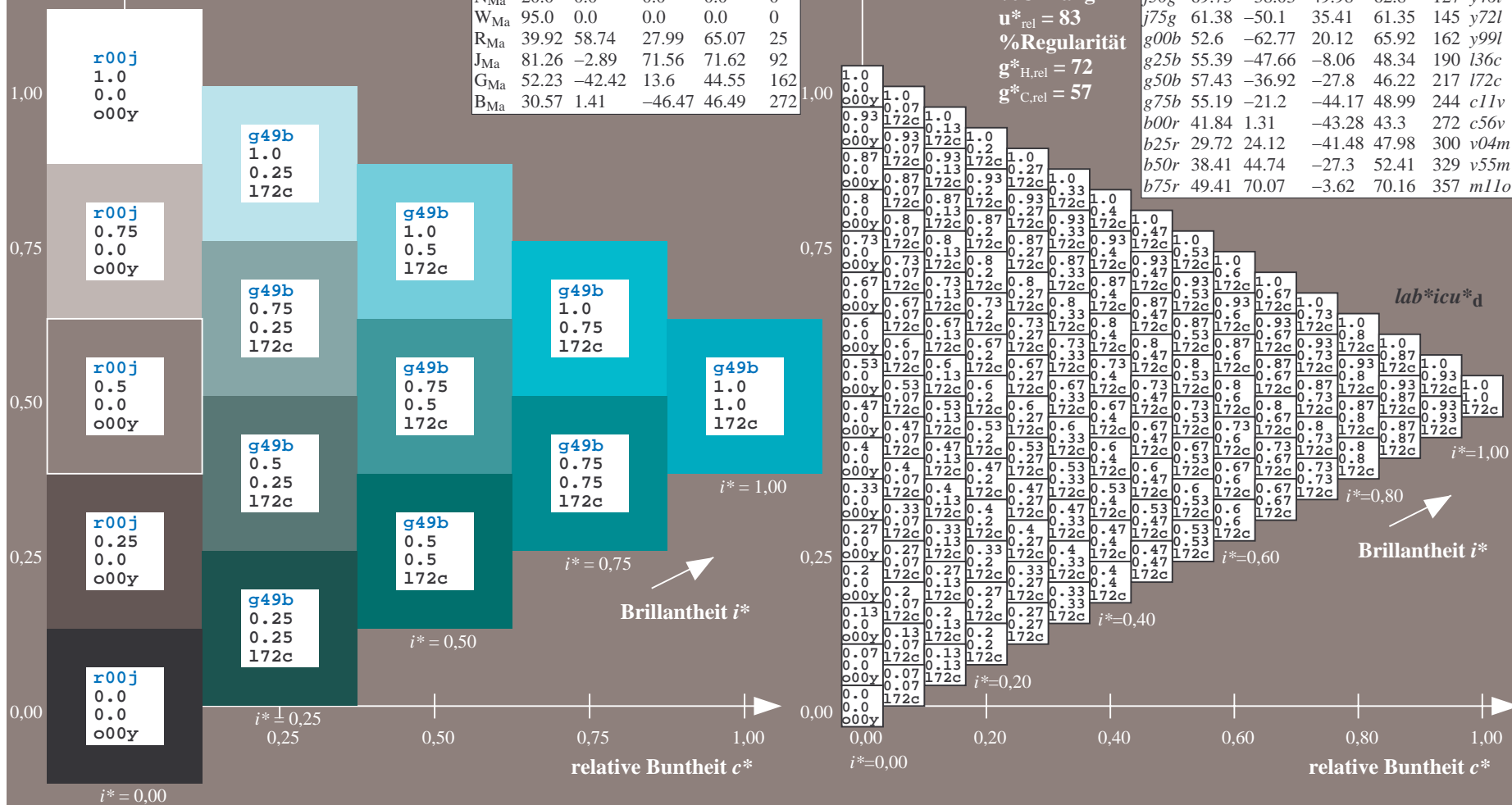
%Regularität

$g^*_{H,rel} = 72$

$g^*_{C,rel} = 57$

ORS20_95a; adaptierte CIELAB-Daten

	u^*_e	$L^*=L^*_a$	a^*_a	b^*_a	$C^*_{ab,a}$	$h^*_{ab,a}$	u^*_d
r00j	48.83	63.91	30.45	70.79	25	m84o	
r25j	55.53	50.37	45.65	67.97	42	o17y	
r50j	64.76	33.86	56.12	65.55	59	o42y	
r75j	74.12	17.13	66.74	68.9	76	o67y	
j00g	85.5	-3.22	79.65	79.72	92	o92y	
j25g	79.45	-24.05	66.85	71.04	110	y20l	
j50g	69.75	-38.03	49.98	62.8	127	y46l	
j75g	61.38	-50.1	35.41	61.35	145	y72l	
g00b	52.6	-62.77	20.12	65.92	162	y99l	
g25b	55.39	-47.66	-8.06	48.34	190	l36c	
g50b	57.43	-36.92	-27.8	46.22	217	l72c	
g75b	55.19	-21.2	-44.17	48.99	244	c11v	
b00r	41.84	1.31	-43.28	43.3	272	c56v	
b25r	29.72	24.12	-41.48	47.98	300	v04m	
b50r	38.41	44.74	-27.3	52.41	329	v55m	
b75r	49.41	70.07	-3.62	70.16	357	m11o	



Ein und Ausgabe: Farbmetrisches Drucker-Reflektiv-System ORS20_95a für relativen CIELAB-Buntton $h^* = \text{lab}^*h^* = h_{ab}/360 = 0.679$

Daten für jede Farbe:

lab^*tch^* und lab^*icu^*

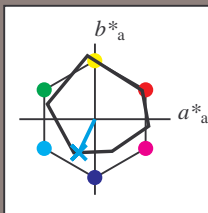
Bunttontexte:

$u^*_e = g75b$ $u^*_d = c11v$

Kontrastreduzierungsfaktor:

$c_R = 0.96$

Dreiecks-Helligkeit i^*



ORS20_95a; adaptierte CIELAB-Daten

	u^*_e	$L^*=L^*_a$	a^*_a	b^*_a	$C^*_{ab,a}$	$h^*_{ab,a}$
O _{Ma}	48.71	62.56	37.91	73.15	31	
Y _{Ma}	89.25	-9.92	83.91	84.49	97	
L _{Ma}	52.5	-62.91	19.95	66.0	162	
C _{Ma}	59.15	-27.87	-44.43	52.45	238	
V _{Ma}	29.13	22.73	-42.44	48.14	298	
M _{Ma}	49.51	71.08	-9.19	71.67	353	
N _{Ma}	20.0	0.0	0.0	0.0	0	
W _{Ma}	95.0	0.0	0.0	0.0	0	
R _{Ma}	39.92	58.74	27.99	65.07	25	
J _{Ma}	81.26	-2.89	71.56	71.62	92	
G _{Ma}	52.23	-42.42	13.6	44.55	162	
B _{Ma}	30.57	1.41	-46.47	46.49	272	

Daten für Maximalfarbe (Ma):

$\text{LAB}^*\text{LAB}^*_{\text{Ma}}$: 55 -21 -44

$\text{LAB}^*\text{LCH}^*_{\text{Ma}}$: 55 49 244

$\text{lab}^*\text{rgb}^*_{\text{Ma}}$: 0.0 0.5 1.0

$\text{lab}^*\text{olv}^*_{\text{Ma}}$: 0.0 0.89 1.0

Dreiecks-Helligkeit i^*

%Umfang

$u^*_{\text{rel}} = 83$

%Regularität

$g^*_{H,\text{rel}} = 72$

$g^*_{C,\text{rel}} = 57$

ORS20_95a; adaptierte CIELAB-Daten

	u^*_e	$L^*=L^*_a$	a^*_a	b^*_a	$C^*_{ab,a}$	$h^*_{ab,a}$	u^*_d
r00j	48.83	63.91	30.45	70.79	25	m84o	
r25j	55.53	50.37	45.65	67.97	42	o17y	
r50j	64.76	33.86	56.12	65.55	59	o42y	
r75j	74.12	17.13	66.74	68.9	76	o67y	
j00g	85.5	-3.22	79.65	79.72	92	o92y	
j25g	79.45	-24.05	66.85	71.04	110	y20l	
j50g	69.75	-38.03	49.98	62.8	127	y46l	
j75g	61.38	-50.1	35.41	61.35	145	y72l	
g00b	52.6	-62.77	20.12	65.92	162	y99l	
g25b	55.39	-47.66	-8.06	48.34	190	l36c	
g50b	57.43	-36.92	-27.8	46.22	217	l72c	
g75b	55.19	-21.2	-44.17	48.99	244	c11v	
b00r	41.84	1.31	-43.28	43.3	272	c56v	
b25r	29.72	24.12	-41.48	47.98	300	v04m	
b50r	38.41	44.74	-27.3	52.41	329	v55m	
b75r	49.41	70.07	-3.62	70.16	357	m11o	

$\text{lab}^*\text{icu}^*_d$

$i^* = 1.00$

Brillantheit i^*

$i^* = 0.80$

$i^* = 0.60$

$i^* = 0.40$

$i^* = 0.20$

$i^* = 0.00$

relative Buntheit c^*

relative Buntheit c^*

Ein und Ausgabe: Farbmetrisches Drucker-Reflektiv-System ORS20_95a für relativen CIELAB-Buntton $h^* = lab^*h^* = h_{ab}/360 = 0.755$

Daten für jede Farbe:

lab^*tch^* und lab^*icu^*

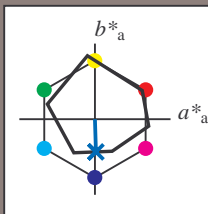
Bunttontexte:

$u^*_e = b00r$ $u^*_d = c56v$

Kontrastreduzierungsfaktor:

$c_R = 0.96$

Dreiecks-Helligkeit i^*



ORS20_95a; adaptierte CIELAB-Daten

u^*_e	$L^*=L^*_a$	a^*_a	b^*_a	$C^*_{ab,a}$	$h^*_{ab,a}$
O _{Ma}	48.71	62.56	37.91	73.15	31
Y _{Ma}	89.25	-9.92	83.91	84.49	97
L _{Ma}	52.5	-62.91	19.95	66.0	162
C _{Ma}	59.15	-27.87	-44.43	52.45	238
V _{Ma}	29.13	22.73	-42.44	48.14	298
M _{Ma}	49.51	71.08	-9.19	71.67	353
N _{Ma}	20.0	0.0	0.0	0.0	0
W _{Ma}	95.0	0.0	0.0	0.0	0
R _{Ma}	39.92	58.74	27.99	65.07	25
J _{Ma}	81.26	-2.89	71.56	71.62	92
G _{Ma}	52.23	-42.42	13.6	44.55	162
B _{Ma}	30.57	1.41	-46.47	46.49	272

Daten für Maximalfarbe (Ma):

$LAB^*LAB^*_{Ma}$: 42 1 -43

$LAB^*LCH^*_{Ma}$: 42 43 271

$lab^*rgb^*_{Ma}$: 0.0 0.0 1.0

$lab^*olv^*_{Ma}$: 0.0 0.44 1.0

Dreiecks-Helligkeit i^*

%Umfang

$u^*_{rel} = 83$

%Regularität

$g^*_{H,rel} = 72$

$g^*_{C,rel} = 57$

ORS20_95a; adaptierte CIELAB-Daten

u^*_e	$L^*=L^*_a$	a^*_a	b^*_a	$C^*_{ab,a}$	$h^*_{ab,a}$	u^*_d
r00j	48.83	63.91	30.45	70.79	25	m84o
r25j	55.53	50.37	45.65	67.97	42	o17y
r50j	64.76	33.86	56.12	65.55	59	o42y
r75j	74.12	17.13	66.74	68.9	76	o67y
j00g	85.5	-3.22	79.65	79.72	92	o92y
j25g	79.45	-24.05	66.85	71.04	110	y20l
j50g	69.75	-38.03	49.98	62.8	127	y46l
j75g	61.38	-50.1	35.41	61.35	145	y72l
g00b	52.6	-62.77	20.12	65.92	162	y99l
g25b	55.39	-47.66	-8.06	48.34	190	l36c
g50b	57.43	-36.92	-27.8	46.22	217	l72c
g75b	55.19	-21.2	-44.17	48.99	244	c11v
b00r	41.84	1.31	-43.28	43.3	272	c56v
b25r	29.72	24.12	-41.48	47.98	300	v04m
b50r	38.41	44.74	-27.3	52.41	329	v55m
b75r	49.41	70.07	-3.62	70.16	357	m11o

$lab^*icu^*_d$

$i^* = 1.00$

Brillantheit i^*

$i^* = 0.80$

$i^* = 0.60$

$i^* = 0.40$

$i^* = 0.20$

$i^* = 0.00$

relative Buntheit c^*

relative Buntheit c^*

Ein und Ausgabe: Farbmetrisches Drucker-Reflektiv-System ORS20_95a für relativen CIELAB-Buntton $h^* = lab^*h^* = h_{ab}/360 = 0.834$

Daten für jede Farbe:

lab^*ch^* und lab^*icu^*

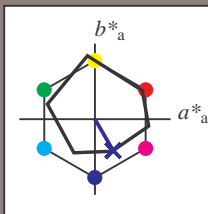
Bunttontexte:

$u^*_e = b25r$ $u^*_d = v04m$

Kontrastreduzierungsfaktor:

$c_R = 0.96$

Dreiecks-Helligkeit i^*



ORS20_95a; adaptierte CIELAB-Daten

	u^*_e	$L^*=L^*_a$	a^*_a	b^*_a	$C^*_{ab,a}$	$h^*_{ab,a}$
O _{Ma}	48.71	62.56	37.91	73.15	31	
Y _{Ma}	89.25	-9.92	83.91	84.49	97	
L _{Ma}	52.5	-62.91	19.95	66.0	162	
C _{Ma}	59.15	-27.87	-44.43	52.45	238	
V _{Ma}	29.13	22.73	-42.44	48.14	298	
M _{Ma}	49.51	71.08	-9.19	71.67	353	
N _{Ma}	20.0	0.0	0.0	0.0	0	
W _{Ma}	95.0	0.0	0.0	0.0	0	
R _{Ma}	39.92	58.74	27.99	65.07	25	
J _{Ma}	81.26	-2.89	71.56	71.62	92	
G _{Ma}	52.23	-42.42	13.6	44.55	162	
B _{Ma}	30.57	1.41	-46.47	46.49	272	

Daten für Maximalfarbe (Ma):

$LAB^*LAB^*_{Ma}$: 30 24 -41

$LAB^*LCH^*_{Ma}$: 30 48 300

$lab^*rgb^*_{Ma}$: 0.5 0.0 1.0

$lab^*olv^*_{Ma}$: 0.04 0.0 1.0

Dreiecks-Helligkeit i^*

%Umfang

$u^*_{rel} = 83$

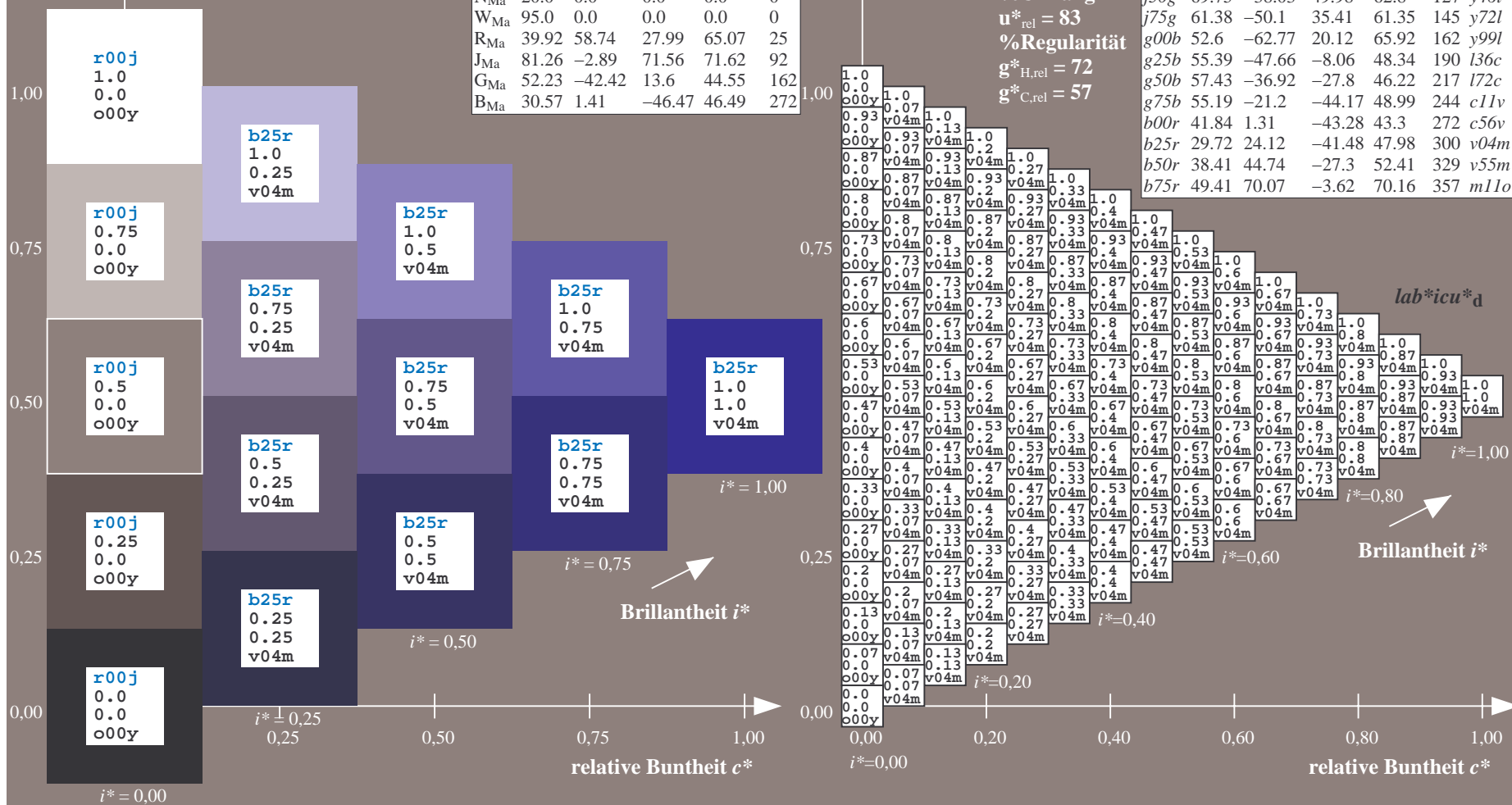
%Regularität

$g^*_{H,rel} = 72$

$g^*_{C,rel} = 57$

ORS20_95a; adaptierte CIELAB-Daten

	u^*_e	$L^*=L^*_a$	a^*_a	b^*_a	$C^*_{ab,a}$	$h^*_{ab,a}$	u^*_d
r00j	48.83	63.91	30.45	70.79	25	m84o	
r25j	55.53	50.37	45.65	67.97	42	o17y	
r50j	64.76	33.86	56.12	65.55	59	o42y	
r75j	74.12	17.13	66.74	68.9	76	o67y	
j00g	85.5	-3.22	79.65	79.72	92	o92y	
j25g	79.45	-24.05	66.85	71.04	110	y20l	
j50g	69.75	-38.03	49.98	62.8	127	y46l	
j75g	61.38	-50.1	35.41	61.35	145	y72l	
g00b	52.6	-62.77	20.12	65.92	162	y99l	
g25b	55.39	-47.66	-8.06	48.34	190	l36c	
g50b	57.43	-36.92	-27.8	46.22	217	l72c	
g75b	55.19	-21.2	-44.17	48.99	244	c11v	
b00r	41.84	1.31	-43.28	43.3	272	c56v	
b25r	29.72	24.12	-41.48	47.98	300	v04m	
b50r	38.41	44.74	-27.3	52.41	329	v55m	
b75r	49.41	70.07	-3.62	70.16	357	m11o	



Ein und Ausgabe: Farbmetrisches Drucker-Reflektiv-System ORS20_95a für relativen CIELAB-Buntton $h^* = lab^*h^* = h_{ab}/360 = 0.913$

Daten für jede Farbe:

lab^*ch^* und lab^*icu^*

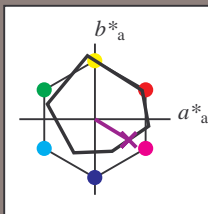
Bunttontexte:

$u^*_e = b50r$ $u^*_d = v55m$

Kontrastreduzierungsfaktor:

$c_R = 0.96$

Dreiecks-Helligkeit i^*



ORS20_95a; adaptierte CIELAB-Daten

u^*_e	$L^*=L^*_a$	a^*_a	b^*_a	$C^*_{ab,a}$	$h^*_{ab,a}$
O _{Ma}	48.71	62.56	37.91	73.15	31
Y _{Ma}	89.25	-9.92	83.91	84.49	97
L _{Ma}	52.5	-62.91	19.95	66.0	162
C _{Ma}	59.15	-27.87	-44.43	52.45	238
V _{Ma}	29.13	22.73	-42.44	48.14	298
M _{Ma}	49.51	71.08	-9.19	71.67	353
N _{Ma}	20.0	0.0	0.0	0.0	0
W _{Ma}	95.0	0.0	0.0	0.0	0
R _{Ma}	39.92	58.74	27.99	65.07	25
J _{Ma}	81.26	-2.89	71.56	71.62	92
G _{Ma}	52.23	-42.42	13.6	44.55	162
B _{Ma}	30.57	1.41	-46.47	46.49	272

Daten für Maximalfarbe (Ma):

$LAB^*LAB^*_{Ma}$: 38 45 -27

$LAB^*LCH^*_{Ma}$: 38 52 328

$lab^*rgb^*_{Ma}$: 1.0 0.0 1.0

$lab^*olv^*_{Ma}$: 0.56 0.0 1.0

Dreiecks-Helligkeit i^*

%Umfang

$u^*_{rel} = 83$

%Regularität

$g^*_{H,rel} = 72$

$g^*_{C,rel} = 57$

ORS20_95a; adaptierte CIELAB-Daten

u^*_e	$L^*=L^*_a$	a^*_a	b^*_a	$C^*_{ab,a}$	$h^*_{ab,a}$	u^*_d
r00j	48.83	63.91	30.45	70.79	25	m84o
r25j	55.53	50.37	45.65	67.97	42	o17y
r50j	64.76	33.86	56.12	65.55	59	o42y
r75j	74.12	17.13	66.74	68.9	76	o67y
j00g	85.5	-3.22	79.65	79.72	92	o92y
j25g	79.45	-24.05	66.85	71.04	110	y20l
j50g	69.75	-38.03	49.98	62.8	127	y46l
j75g	61.38	-50.1	35.41	61.35	145	y72l
g00b	52.6	-62.77	20.12	65.92	162	y99l
g25b	55.39	-47.66	-8.06	48.34	190	l36c
g50b	57.43	-36.92	-27.8	46.22	217	l72c
g75b	55.19	-21.2	-44.17	48.99	244	c11v
b00r	41.84	1.31	-43.28	43.3	272	c56v
b25r	29.72	24.12	-41.48	47.98	300	v04m
b50r	38.41	44.74	-27.3	52.41	329	v55m
b75r	49.41	70.07	-3.62	70.16	357	m11o

$lab^*icu^*_d$

$i^* = 1.00$

Brillantheit i^*

$i^* = 0.80$

$i^* = 0.60$

$i^* = 0.40$

$i^* = 0.20$

$i^* = 0.00$

relative Buntheit c^*

Ein und Ausgabe: Farbmetrisches Drucker-Reflektiv-System ORS20_95a für relativen CIELAB-Buntton $h^* = \text{lab}^*h^* = h_{ab}/360 = 0.992$

Daten für jede Farbe:

lab^*tch^* und lab^*icu^*

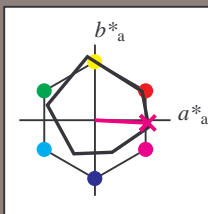
Bunttontexte:

$u^*_e = b75r$ $u^*_d = m11o$

Kontrastreduzierungsfaktor:

$c_R = 0.96$

Dreiecks-Helligkeit t^*



ORS20_95a; adaptierte CIELAB-Daten

u^*_e	$L^*=L^*_a$	a^*_a	b^*_a	$C^*_{ab,a}$	$h^*_{ab,a}$
O _{Ma}	48.71	62.56	37.91	73.15	31
Y _{Ma}	89.25	-9.92	83.91	84.49	97
L _{Ma}	52.5	-62.91	19.95	66.0	162
C _{Ma}	59.15	-27.87	-44.43	52.45	238
V _{Ma}	29.13	22.73	-42.44	48.14	298
M _{Ma}	49.51	71.08	-9.19	71.67	353
N _{Ma}	20.0	0.0	0.0	0.0	0
W _{Ma}	95.0	0.0	0.0	0.0	0
R _{Ma}	39.92	58.74	27.99	65.07	25
J _{Ma}	81.26	-2.89	71.56	71.62	92
G _{Ma}	52.23	-42.42	13.6	44.55	162
B _{Ma}	30.57	1.41	-46.47	46.49	272

Daten für Maximalfarbe (Ma):

$\text{LAB}^*\text{LAB}^*_{\text{Ma}}$: 49 70 -4

$\text{LAB}^*\text{LCH}^*_{\text{Ma}}$: 49 70 357

$\text{lab}^*\text{rgb}^*_{\text{Ma}}$: 1.0 0.0 0.5

$\text{lab}^*\text{olv}^*_{\text{Ma}}$: 1.0 0.0 0.89

Dreiecks-Helligkeit t^*

%Umfang

$u^*_{\text{rel}} = 83$

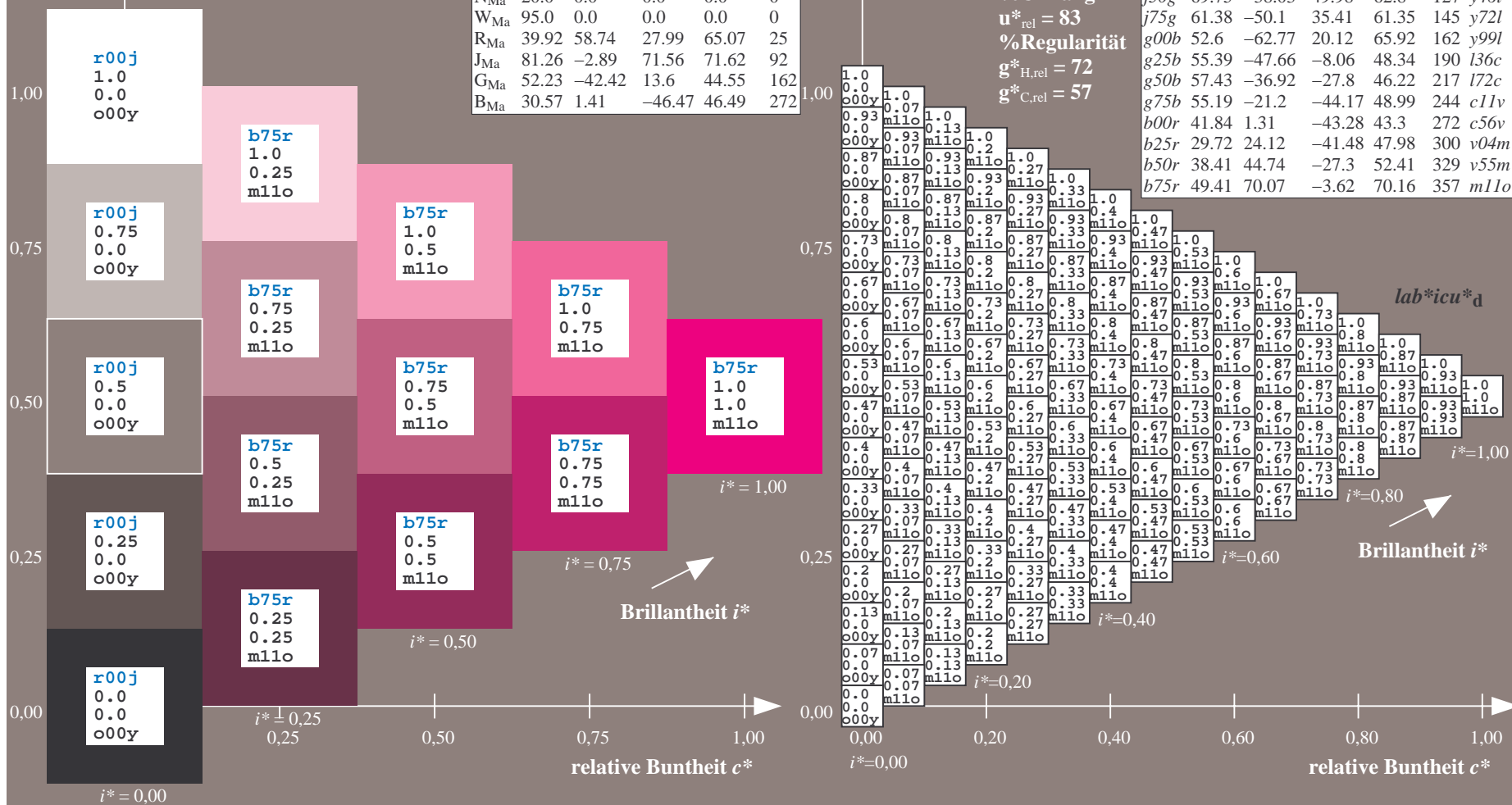
%Regularität

$g^*_{H,\text{rel}} = 72$

$g^*_{C,\text{rel}} = 57$

ORS20_95a; adaptierte CIELAB-Daten

u^*_e	$L^*=L^*_a$	a^*_a	b^*_a	$C^*_{ab,a}$	$h^*_{ab,a}$	u^*_d
r00j	48.83	63.91	30.45	70.79	25	m84o
r25j	55.53	50.37	45.65	67.97	42	o17y
r50j	64.76	33.86	56.12	65.55	59	o42y
r75j	74.12	17.13	66.74	68.9	76	o67y
j00g	85.5	-3.22	79.65	79.72	92	o92y
j25g	79.45	-24.05	66.85	71.04	110	y20l
j50g	69.75	-38.03	49.98	62.8	127	y46l
j75g	61.38	-50.1	35.41	61.35	145	y72l
g00b	52.6	-62.77	20.12	65.92	162	y99l
g25b	55.39	-47.66	-8.06	48.34	190	l36c
g50b	57.43	-36.92	-27.8	46.22	217	l72c
g75b	55.19	-21.2	-44.17	48.99	244	c11v
b00r	41.84	1.31	-43.28	43.3	272	c56v
b25r	29.72	24.12	-41.48	47.98	300	v04m
b50r	38.41	44.74	-27.3	52.41	329	v55m
b75r	49.41	70.07	-3.62	70.16	357	m11o



Siehe ähnliche Dateien: <http://www.ps.bam.de/Eg15/>; www.ps.bam.de/Eg15/10L/L15G00NP.PS/.PDF
Technische Information: <http://www.ps.bam.de/Version2.1,io=1.1,ColSp=0>

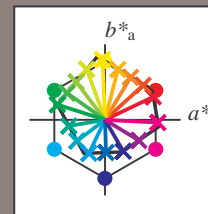
	A	B	C	D	E	F	G	H	I	J	K	L	M	N	O	P	Q	R	S	T	U	V	W	X	Y	Z	a	b	c	d	e	f	g	h	i	j	k	lab*icu*d																																																																																																																																																																																																																																																																																																																																																																																																																																																																																																																																																																																																																																																																																																																																																																																																																																																																																																																																																																																																	
01	0.0	0.13	0.25	0.38	0.5	0.63	0.75	0.88	1.0	1.13	1.25	1.38	1.5	1.63	1.75	1.88	2.0	2.13	2.25	2.38	2.5	2.63	2.75	2.88	3.0	3.13	3.25	3.38	3.5	3.63	3.75	3.88	4.0	4.13	4.25	4.38	4.5	4.63	4.75	4.88	5.0	5.13	5.25	5.38	5.5	5.63	5.75	5.88	6.0	6.13	6.25	6.38	6.5	6.63	6.75	6.88	7.0	7.13	7.25	7.38	7.5	7.63	7.75	7.88	8.0	8.13	8.25	8.38	8.5	8.63	8.75	8.88	9.0	9.13	9.25	9.38	9.5	9.63	9.75	9.88	10.0	10.13	10.25	10.38	10.5	10.63	10.75	10.88	11.0	11.13	11.25	11.38	11.5	11.63	11.75	11.88	12.0	12.13	12.25	12.38	12.5	12.63	12.75	12.88	13.0	13.13	13.25	13.38	13.5	13.63	13.75	13.88	14.0	14.13	14.25	14.38	14.5	14.63	14.75	14.88	15.0	15.13	15.25	15.38	15.5	15.63	15.75	15.88	16.0	16.13	16.25	16.38	16.5	16.63	16.75	16.88	17.0	17.13	17.25	17.38	17.5	17.63	17.75	17.88	18.0	18.13	18.25	18.38	18.5	18.63	18.75	18.88	19.0	19.13	19.25	19.38	19.5	19.63	19.75	19.88	20.0	20.13	20.25	20.38	20.5	20.63	20.75	20.88	21.0	21.13	21.25	21.38	21.5	21.63	21.75	21.88	22.0	22.13	22.25	22.38	22.5	22.63	22.75	22.88	23.0	23.13	23.25	23.38	23.5	23.63	23.75	23.88	24.0	24.13	24.25	24.38	24.5	24.63	24.75	24.88	25.0	25.13	25.25	25.38	25.5	25.63	25.75	25.88	26.0	26.13	26.25	26.38	26.5	26.63	26.75	26.88	27.0	27.13	27.25	27.38	27.5	27.63	27.75	27.88	28.0	28.13	28.25	28.38	28.5	28.63	28.75	28.88	29.0	29.13	29.25	29.38	29.5	29.63	29.75	29.88	30.0	30.13	30.25	30.38	30.5	30.63	30.75	30.88	31.0	31.13	31.25	31.38	31.5	31.63	31.75	31.88	32.0	32.13	32.25	32.38	32.5	32.63	32.75	32.88	33.0	33.13	33.25	33.38	33.5	33.63	33.75	33.88	34.0	34.13	34.25	34.38	34.5	34.63	34.75	34.88	35.0	35.13	35.25	35.38	35.5	35.63	35.75	35.88	36.0	36.13	36.25	36.38	36.5	36.63	36.75	36.88	37.0	37.13	37.25	37.38	37.5	37.63	37.75	37.88	38.0	38.13	38.25	38.38	38.5	38.63	38.75	38.88	39.0	39.13	39.25	39.38	39.5	39.63	39.75	39.88	40.0	40.13	40.25	40.38	40.5	40.63	40.75	40.88	41.0	41.13	41.25	41.38	41.5	41.63	41.75	41.88	42.0	42.13	42.25	42.38	42.5	42.63	42.75	42.88	43.0	43.13	43.25	43.38	43.5	43.63	43.75	43.88	44.0	44.13	44.25	44.38	44.5	44.63	44.75	44.88	45.0	45.13	45.25	45.38	45.5	45.63	45.75	45.88	46.0	46.13	46.25	46.38	46.5	46.63	46.75	46.88	47.0	47.13	47.25	47.38	47.5	47.63	47.75	47.88	48.0	48.13	48.25	48.38	48.5	48.63	48.75	48.88	49.0	49.13	49.25	49.38	49.5	49.63	49.75	49.88	50.0	50.13	50.25	50.38	50.5	50.63	50.75	50.88	51.0	51.13	51.25	51.38	51.5	51.63	51.75	51.88	52.0	52.13	52.25	52.38	52.5	52.63	52.75	52.88	53.0	53.13	53.25	53.38	53.5	53.63	53.75	53.88	54.0	54.13	54.25	54.38	54.5	54.63	54.75	54.88	55.0	55.13	55.25	55.38	55.5	55.63	55.75	55.88	56.0	56.13	56.25	56.38	56.5	56.63	56.75	56.88	57.0	57.13	57.25	57.38	57.5	57.63	57.75	57.88	58.0	58.13	58.25	58.38	58.5	58.63	58.75	58.88	59.0	59.13	59.25	59.38	59.5	59.63	59.75	59.88	60.0	60.13	60.25	60.38	60.5	60.63	60.75	60.88	61.0	61.13	61.25	61.38	61.5	61.63	61.75	61.88	62.0	62.13	62.25	62.38	62.5	62.63	62.75	62.88	63.0	63.13	63.25	63.38	63.5	63.63	63.75	63.88	64.0	64.13	64.25	64.38	64.5	64.63	64.75	64.88	65.0	65.13	65.25	65.38	65.5	65.63	65.75	65.88	66.0	66.13	66.25	66.38	66.5	66.63	66.75	66.88	67.0	67.13	67.25	67.38	67.5	67.63	67.75	67.88	68.0	68.13	68.25	68.38	68.5	68.63	68.75	68.88	69.0	69.13	69.25	69.38	69.5	69.63	69.75	69.88	70.0	70.13	70.25	70.38	70.5	70.63	70.75	70.88	71.0	71.13	71.25	71.38	71.5	71.63	71.75	71.88	72.0	72.13	72.25	72.38	72.5	72.63	72.75	72.88	73.0	73.13	73.25	73.38	73.5	73.63	73.75	73.88	74.0	74.13	74.25	74.38	74.5	74.63	74.75	74.88	75.0	75.13	75.25	75.38	75.5	75.63	75.75	75.88	76.0	76.13	76.25	76.38	76.5	76.63	76.75	76.88	77.0	77.13	77.25	77.38	77.5	77.63	77.75	77.88	78.0	78.13	78.25	78.38	78.5	78.63	78.75	78.88	79.0	79.13	79.25	79.38	79.5	79.63	79.75	79.88	80.0	80.13	80.25	80.38	80.5	80.63	80.75	80.88	81.0	81.13	81.25	81.38	81.5	81.63	81.75	81.88	82.0	82.13	82.25	82.38	82.5	82.63	82.75	82.88	83.0	83.13	83.25	83.38	83.5	83.63	83.75	83.88	84.0	84.13	84.25	84.38	84.5	84.63	84.75	84.88	85.0	85.13	85.25	85.38	85.5	85.63	85.75	85.88	86.0	86.13	86.25	86.38	86.5	86.63	86.75	86.88	87.0	87.13	87.25	87.38	87.5	87.63	87.75	87.88	88.0	88.13	88.25	88.38	88.5	88.63	88.75	88.88	89.0	89.13	89.25	89.38	89.5	89.63	89.75	89.88	90.0	90.13	90.25	90.38	90.5	90.63	90.75	90.88	91.0	91.13	91.25	91.38	91.5	91.63	91.75	91.88	92.0	92.13	92.25	92.38	92.5	92.63	92.75	92.88	93.0	93.13	93.25	93.38	93.5	93.63	93.75	93.88	94.0	94.13	94.25	94.38	94.5	94.63	94.75	94.88	95.0	95.13	95.25	95.38	95.5	95.63	95.75	95.88	96.0	96.13	96.25	96.38	96.5	96.63	96.75	96.88	97.0	97.13	97.25	97.38	97.5	97.63	97.75	97.88	98.0	98.13	98.25	98.38	98.5	98.63	98.75	98.88	99.0	99.13	99.25	99.38	99.5	99.63	99.75	99.88	100.0	100.13	100.25	100.38	100.5	100.63	100.75	100.88	101.0	101.13	101.25	101.38	101.5	101.63	101.75	101.88	102.0	102.13	102.25	102.38	102.5	102.63	102.75	102.88	103.0	103.13	103.25	103.38	103.5	103.63	103.75	103.88	104.0	104.13	104.25	104.38	104.5	104.63	104.75	104.88	105.0	105.13	105.25	105.38	105.5	105.63	105.75	105.88	106.0	106.13	106.25	106.38	106.5	106.63	106.75	106.88	107.0	107.13	107.25	107.38	107.5	107.63	107.75	107.88	108.0	108.13	108.25	108.38	108.5	108.63	108.75	108.88	109.0	109.13	109.25	109.38	109.5	109.63	109.75	109.88	110.0	110.13	110.25	110.38	110.5	110.63	110.75	110.88	111.0	111.13	111.25	111.38	111.5	111.63	111.75	111.88	112.0	112.13	112.25	112.38	112.5	112.63	112.75	112.88	113.0	113.13	113.25	113.38	113.5	113.63	113.75	113.88	114.0	114.13	114.25	114.38	114.5	114.63	114.75	114.88	115.0	115.13	115.25	115.38	115.5	115.63	115.75	115.88	116.0	116.13	116.25	116.38	116.5	116.63	116.75	116.88	117.0	117.13	117.25	117.38	117.5	117.63	117.75	117.88	118.0	118.13	118.25	118.38	118.5	118.63	118.75	118.88	119.0	119.13	119.25	119.38	119.5	119.63	119.75	119.88	120.0	120.13	120.25	120.38	120.5	120.63	120.75	120.88	121.0	121.13	121.25	121.38	121.5	121.63	121.75	121.88	122.0	122.13	122.25	122.38	122.5	122.63	122.75	122.88	123.0	123.13	123.25	123.38	123.5	123.63	123.75	123.88	124.0	124.13	124.25	124.38	124.5	124.63	124.7

Ein und Ausgabe:
Farbmimetrisches Drucker-Reflektiv-System ORS20_95a
Daten für jede Farbe:

u^*_e und Nummer $Nr.$ = 00 .. 15
Elementar-Bunttontext:
 $u^*_e = 16$ Bunttoene $r00j, r25j, \dots, b75r$
Kontrastreduzierungsfaktor:
 $c_R = 0.96$

ORS20_95a; adaptierte CIELAB-Daten

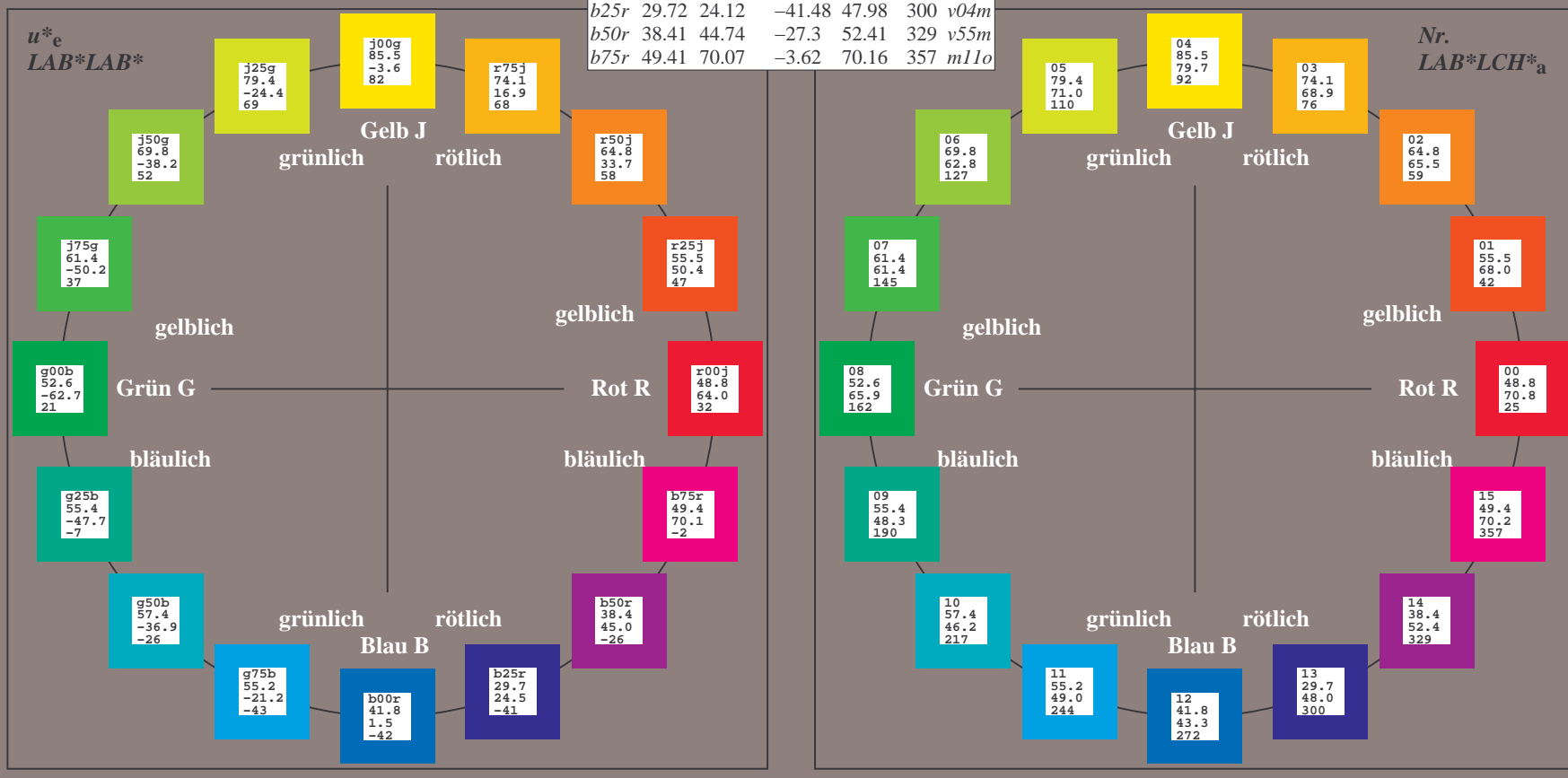
u^*_e	$L^*=L^*_a$	a^*_a	b^*_a	$C^*_{ab,a}$	$h^*_{ab,a}$	u^*_d
$r00j$	48.83	63.91	30.45	70.79	25	$m84o$
$r25j$	55.53	50.37	45.65	67.97	42	$o17y$
$r50j$	64.76	33.86	56.12	65.55	59	$o42y$
$r75j$	74.12	17.13	66.74	68.9	76	$o67y$
$j00g$	85.5	-3.22	79.65	79.72	92	$o92y$
$j25g$	79.45	-24.05	66.85	71.04	110	$y20l$
$j50g$	69.75	-38.03	49.98	62.8	127	$y46l$
$j75g$	61.38	-50.1	35.41	61.35	145	$y72l$
$g00b$	52.6	-62.77	20.12	65.92	162	$y99l$
$g25b$	55.39	-47.66	-8.06	48.34	190	$l36c$
$g50b$	57.43	-36.92	-27.8	46.22	217	$l72c$
$g75b$	55.19	-21.2	-44.17	48.99	244	$c11v$
$b00r$	41.84	1.31	-43.28	43.3	272	$c56v$
$b25r$	29.72	24.12	-41.48	47.98	300	$v04m$
$b50r$	38.41	44.74	-27.3	52.41	329	$v55m$
$b75r$	49.41	70.07	-3.62	70.16	357	$m11o$



%Umfang
 $u^*_{rel} = 83$
%Regularität
 $g^*_{H,rel} = 72$
 $g^*_{C,rel} = 57$

ORS20_95; CIELAB-Daten

Name	$L^*=L^*_a$	a^*_a	b^*_a	C^*_{ab}	h^*_{ab}
O_M	48.71	62.65	39.19	73.89	32
Y_M	89.25	-10.36	85.91	86.53	97
L_M	52.5	-62.88	21.3	66.38	161
C_M	59.15	-27.92	-42.97	51.24	237
V_M	29.13	23.07	-41.51	47.5	299
M_M	49.51	71.15	-7.9	71.59	354
N_M	20.0	0.47	0.76	0.89	58
W_M	95.0	-0.52	2.11	2.17	104
R_{CIE}	39.92	58.74	27.99	65.07	25
J_{CIE}	81.26	-2.89	71.56	71.62	92
G_{CIE}	52.23	-42.42	13.6	44.55	162
B_{CIE}	30.57	1.41	-46.47	46.49	272



Ein und Ausgabe: Farbmetrisches Drucker-Reflektiv-System ORS20_95a für relativen CIELAB-Buntton $h^* = lab^*h^* = h_{ab}/360 = 0.071$

Daten für jede Farbe:

lab^*ch^* und lab^*icu^*

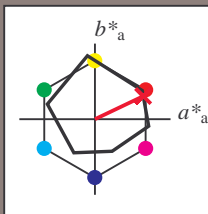
Bunttontexte:

$u^*_e = r00j$ $u^*_d = m84o$

Kontrastreduzierungsfaktor:

$c_R = 0.96$

Dreiecks-Helligkeit i^*



ORS20_95; CIELAB-Daten						
u^*_e	$L^*=L^*_a$	a^*	b^*	C^*_{ab}	h^*_{ab}	
O _M	48.71	62.65	39.19	73.89	32	
Y _M	89.25	-10.36	85.91	86.53	97	
L _M	52.5	-62.88	21.3	66.38	161	
C _M	59.15	-27.92	-42.97	51.24	237	
V _M	29.13	23.07	-41.51	47.5	299	
M _M	49.51	71.15	-7.9	71.59	354	
N _M	20.0	0.47	0.76	0.89	58	
W _M	95.0	-0.52	2.11	2.17	104	
R _M	39.92	58.74	27.99	65.07	25	
J _M	81.26	-2.89	71.56	71.62	92	
G _M	52.23	-42.42	13.6	44.55	162	
B _M	30.57	1.41	-46.47	46.49	272	

Daten für Maximalfarbe (Ma):

LAB^*LAB^*Ma : 49 64 30

LAB^*LCH^*Ma : 49 71 25

lab^*rgb^*Ma : 1.0 0.0 0.0

lab^*olv^*Ma : 1.0 0.0 0.15

Dreiecks-Helligkeit i^*

%Umfang

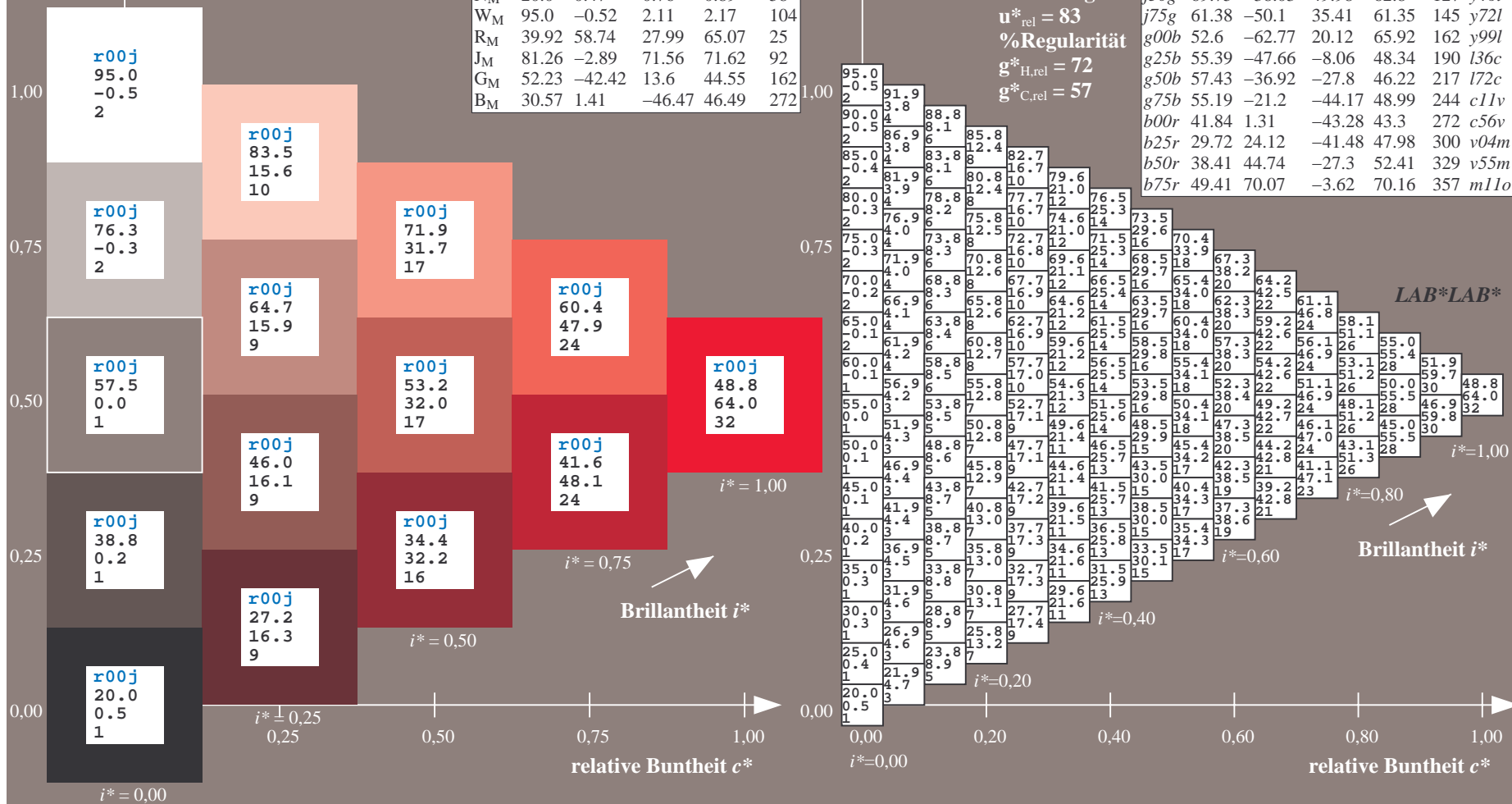
$u^*_{rel} = 83$

%Regularität

$g^*_{H,rel} = 72$

$g^*_{C,rel} = 57$

ORS20_95a; adaptierte CIELAB-Daten							
u^*_e	$L^*=L^*_a$	a^*_a	b^*_a	$C^*_{ab,a}$	$h^*_{ab,a}$	u^*_d	
r00j	48.83	63.91	30.45	70.79	25	m84o	
r25j	55.53	50.37	45.65	67.97	42	o17y	
r50j	64.76	33.86	56.12	65.55	59	o42y	
r75j	74.12	17.13	66.74	68.9	76	o67y	
j00g	85.5	-3.22	79.65	79.72	92	o92y	
j25g	79.45	-24.05	66.85	71.04	110	y20l	
j50g	69.75	-38.03	49.98	62.8	127	y46l	
j75g	61.38	-50.1	35.41	61.35	145	y72l	
g00b	52.6	-62.77	20.12	65.92	162	y99l	
g25b	55.39	-47.66	-8.06	48.34	190	l36c	
g50b	57.43	-36.92	-27.8	46.22	217	l72c	
g75b	55.19	-21.2	-44.17	48.99	244	c11v	
b00r	41.84	1.31	-43.28	43.3	272	c56v	
b25r	29.72	24.12	-41.48	47.98	300	v04m	
b50r	38.41	44.74	-27.3	52.41	329	v55m	
b75r	49.41	70.07	-3.62	70.16	357	m11o	



Ein und Ausgabe: Farbmetrisches Drucker-Reflektiv-System ORS20_95a für relativen CIELAB-Buntton $h^* = \text{lab}^*h^* = h_{ab}/360 = 0.117$

Daten für jede Farbe:

lab^*tch^* und lab^*icu^*

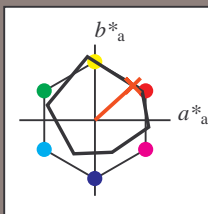
Bunttontexte:

$u^*_e = r25j$ $u^*_d = o17y$

Kontrastreduzierungsfaktor:

$c_R = 0.96$

Dreiecks-Helligkeit i^*



ORS20_95; CIELAB-Daten						
u^*_e	$L^*=L^*$	a^*	b^*	C^*_{ab}	h^*_{ab}	
O _M	48.71	62.65	39.19	73.89	32	
Y _M	89.25	-10.36	85.91	86.53	97	
L _M	52.5	-62.88	21.3	66.38	161	
C _M	59.15	-27.92	-42.97	51.24	237	
V _M	29.13	23.07	-41.51	47.5	299	
M _M	49.51	71.15	-7.9	71.59	354	
N _M	20.0	0.47	0.76	0.89	58	
W _M	95.0	-0.52	2.11	2.17	104	
R _M	39.92	58.74	27.99	65.07	25	
J _M	81.26	-2.89	71.56	71.62	92	
G _M	52.23	-42.42	13.6	44.55	162	
B _M	30.57	1.41	-46.47	46.49	272	

Daten für Maximalfarbe (Ma):

$\text{LAB}^*\text{LAB}^*_{\text{Ma}}$: 56 50 46

$\text{LAB}^*\text{LCH}^*_{\text{Ma}}$: 56 68 42

$\text{lab}^*\text{rgb}^*_{\text{Ma}}$: 1.0 0.25 0.0

$\text{lab}^*\text{olv}^*_{\text{Ma}}$: 1.0 0.17 0.0

Dreiecks-Helligkeit i^*

%Umfang

$u^*_{\text{rel}} = 83$

%Regularität

$g^*_{H,\text{rel}} = 72$

$g^*_{C,\text{rel}} = 57$

ORS20_95a; adaptierte CIELAB-Daten									
u^*_e	$L^*=L^*_a$	a^*_a	b^*_a	$C^*_{ab,a}$	$h^*_{ab,a}$	u^*_d			
r00j	48.83	63.91	30.45	70.79	25	m84o			
r25j	55.53	50.37	45.65	67.97	42	o17y			
r50j	64.76	33.86	56.12	65.55	59	o42y			
r75j	74.12	17.13	66.74	68.9	76	o67y			
j00g	85.5	-3.22	79.65	79.72	92	o92y			
j25g	79.45	-24.05	66.85	71.04	110	y20l			
j50g	69.75	-38.03	49.98	62.8	127	y46l			
j75g	61.38	-50.1	35.41	61.35	145	y72l			
g00b	52.6	-62.77	20.12	65.92	162	y99l			
g25b	55.39	-47.66	-8.06	48.34	190	l36c			
g50b	57.43	-36.92	-27.8	46.22	217	l72c			
g75b	55.19	-21.2	-44.17	48.99	244	c11v			
b00r	41.84	1.31	-43.28	43.3	272	c56v			
b25r	29.72	24.12	-41.48	47.98	300	v04m			
b50r	38.41	44.74	-27.3	52.41	329	v55m			
b75r	49.41	70.07	-3.62	70.16	357	m11o			

LAB^*LAB^*

$i^*=1.00$

Brillantheit i^*

$i^*=0.80$

$i^*=0.60$

$i^*=0.40$

$i^*=0.20$

relative Buntheit c^*

relative Buntheit c^*

Ein und Ausgabe: Farbmetrisches Drucker-Reflektiv-System ORS20_95a für relativen CIELAB-Buntton $h^* = lab^*h^* = h_{ab}/360 = 0.164$

Daten für jede Farbe:

lab^*ch^* und lab^*icu^*

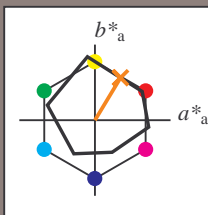
Bunttontexte:

$u^*_e = r50j$ $u^*_d = o42y$

Kontrastreduzierungsfaktor:

$c_R = 0.96$

Dreiecks-Helligkeit i^*



ORS20_95; CIELAB-Daten						
u^*_e	$L^*=L^*$	a^*	b^*	C^*_{ab}	h^*_{ab}	
O _M	48.71	62.65	39.19	73.89	32	
Y _M	89.25	-10.36	85.91	86.53	97	
L _M	52.5	-62.88	21.3	66.38	161	
C _M	59.15	-27.92	-42.97	51.24	237	
V _M	29.13	23.07	-41.51	47.5	299	
M _M	49.51	71.15	-7.9	71.59	354	
N _M	20.0	0.47	0.76	0.89	58	
W _M	95.0	-0.52	2.11	2.17	104	
R _M	39.92	58.74	27.99	65.07	25	
J _M	81.26	-2.89	71.56	71.62	92	
G _M	52.23	-42.42	13.6	44.55	162	
B _M	30.57	1.41	-46.47	46.49	272	

Daten für Maximalfarbe (Ma):

LAB^*LAB^*Ma : 65 34 56

LAB^*LCH^*Ma : 65 66 58

lab^*rgb^*Ma : 1.0 0.5 0.0

lab^*olv^*Ma : 1.0 0.42 0.0

Dreiecks-Helligkeit i^*

%Umfang

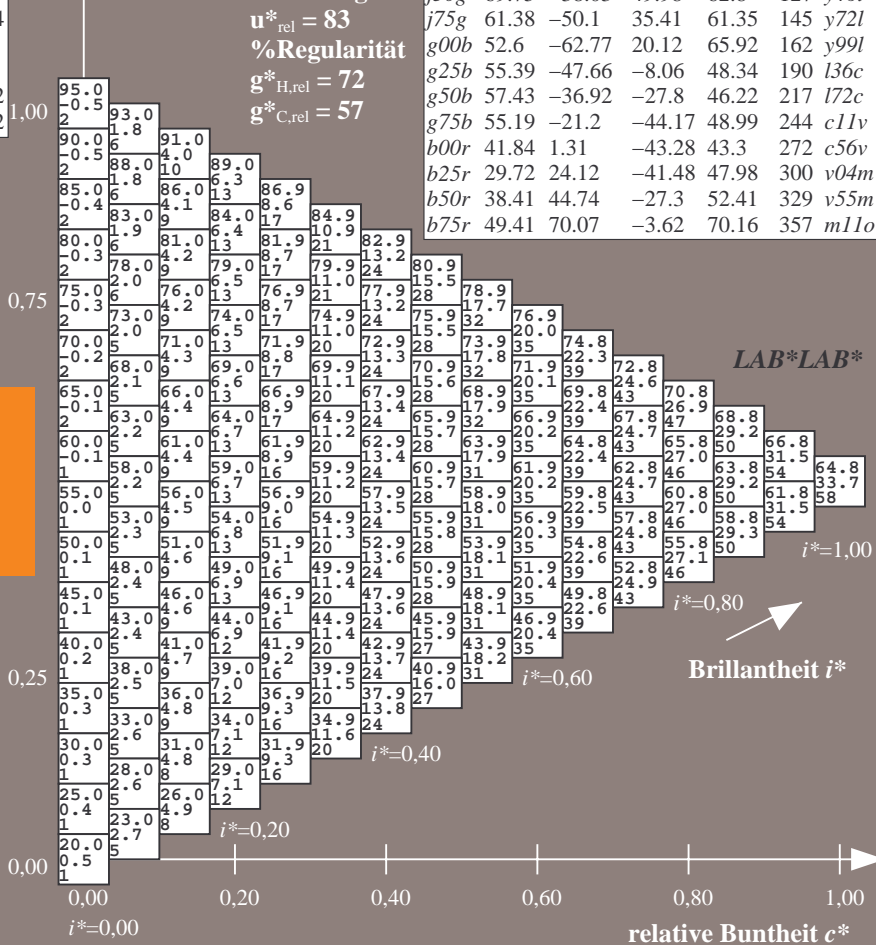
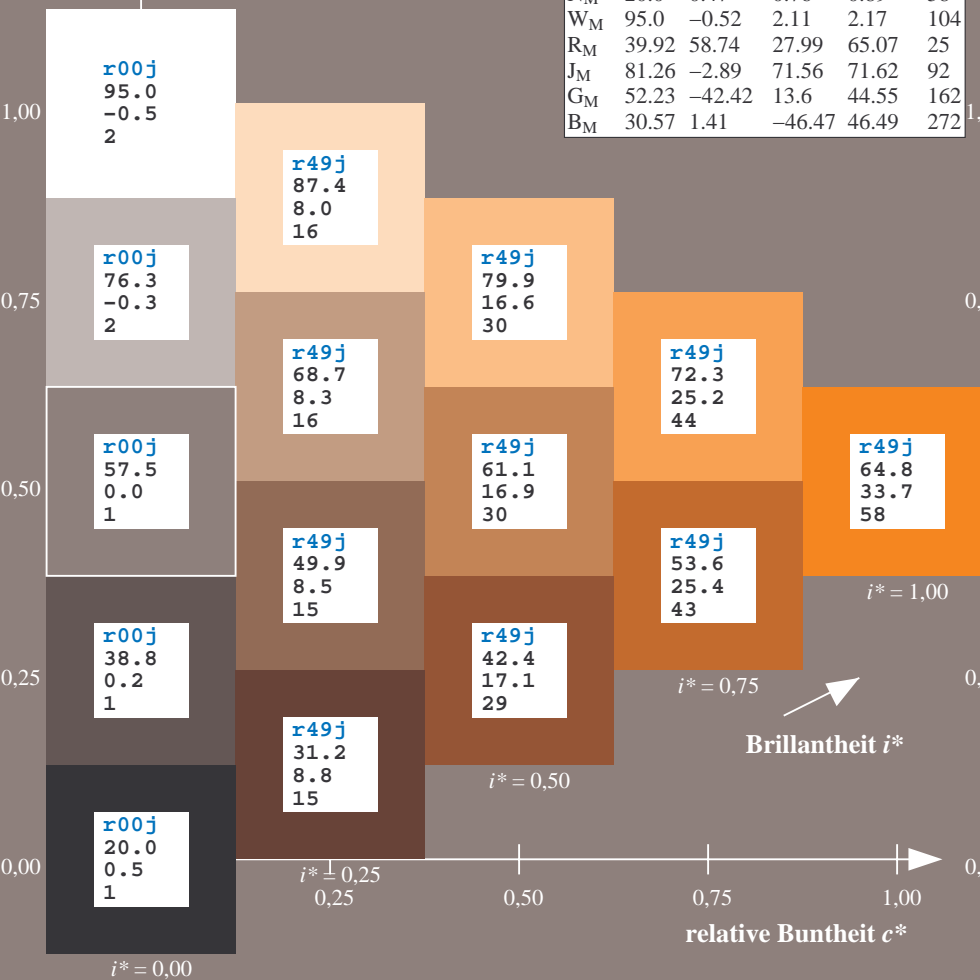
$u^*_{rel} = 83$

%Regularität

$g^*_{H,rel} = 72$

$g^*_{C,rel} = 57$

ORS20_95a; adaptierte CIELAB-Daten									
u^*_e	$L^*=L^*$	a^*_a	b^*_a	$C^*_{ab,a}$	$h^*_{ab,a}$	u^*_d			
r00j	48.83	63.91	30.45	70.79	25	m84o			
r25j	55.53	50.37	45.65	67.97	42	o17y			
r50j	64.76	33.86	56.12	65.55	59	o42y			
r75j	74.12	17.13	66.74	68.9	76	o67y			
j00g	85.5	-3.22	79.65	79.72	92	o92y			
j25g	79.45	-24.05	66.85	71.04	110	y20l			
j50g	69.75	-38.03	49.98	62.8	127	y46l			
j75g	61.38	-50.1	35.41	61.35	145	y72l			
g00b	52.6	-62.77	20.12	65.92	162	y99l			
g25b	55.39	-47.66	-8.06	48.34	190	l36c			
g50b	57.43	-36.92	-27.8	46.22	217	l72c			
g75b	55.19	-21.2	-44.17	48.99	244	c11v			
b00r	41.84	1.31	-43.28	43.3	272	c56v			
b25r	29.72	24.12	-41.48	47.98	300	v04m			
b50r	38.41	44.74	-27.3	52.41	329	v55m			
b75r	49.41	70.07	-3.62	70.16	357	m11o			



Ein und Ausgabe: Farbmetrisches Drucker-Reflektiv-System ORS20_95a für relativen CIELAB-Buntton $h^* = lab^*h^* = h_{ab}/360 = 0.21$

Daten für jede Farbe:

lab^*ch^* und lab^*icu^*

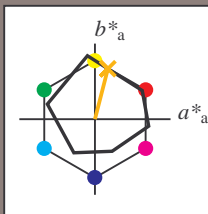
Bunttontexte:

$u^*_e = r75j$ $u^*_d = o67y$

Kontrastreduzierungsfaktor:

$c_R = 0.96$

Dreiecks-Helligkeit i^*



ORS20_95; CIELAB-Daten

u^*_e	$L^*=L^*_a$	a^*	b^*	C^*_{ab}	h^*_{ab}
O _M	48.71	62.65	39.19	73.89	32
Y _M	89.25	-10.36	85.91	86.53	97
L _M	52.5	-62.88	21.3	66.38	161
C _M	59.15	-27.92	-42.97	51.24	237
V _M	29.13	23.07	-41.51	47.5	299
M _M	49.51	71.15	-7.9	71.59	354
N _M	20.0	0.47	0.76	0.89	58
W _M	95.0	-0.52	2.11	2.17	104
R _M	39.92	58.74	27.99	65.07	25
J _M	81.26	-2.89	71.56	71.62	92
G _M	52.23	-42.42	13.6	44.55	162
B _M	30.57	1.41	-46.47	46.49	272

Daten für Maximalfarbe (Ma):

LAB^*LAB^*Ma : 74 17 67

LAB^*LCH^*Ma : 74 69 75

lab^*rgb^*Ma : 1.0 0.75 0.0

lab^*olv^*Ma : 1.0 0.68 0.0

Dreiecks-Helligkeit i^*

%Umfang

$u^*_{rel} = 83$

%Regularität

$g^*_{H,rel} = 72$

$g^*_{C,rel} = 57$

ORS20_95a; adaptierte CIELAB-Daten

u^*_e	$L^*=L^*_a$	a^*_a	b^*_a	$C^*_{ab,a}$	$h^*_{ab,a}$	u^*_d
r00j	48.83	63.91	30.45	70.79	25	m84o
r25j	55.53	50.37	45.65	67.97	42	o17y
r50j	64.76	33.86	56.12	65.55	59	o42y
r75j	74.12	17.13	66.74	68.9	76	o67y
j00g	85.5	-3.22	79.65	79.72	92	o92y
j25g	79.45	-24.05	66.85	71.04	110	y20l
j50g	69.75	-38.03	49.98	62.8	127	y46l
j75g	61.38	-50.1	35.41	61.35	145	y72l
g00b	52.6	-62.77	20.12	65.92	162	y99l
g25b	55.39	-47.66	-8.06	48.34	190	l36c
g50b	57.43	-36.92	-27.8	46.22	217	l72c
g75b	55.19	-21.2	-44.17	48.99	244	c11v
b00r	41.84	1.31	-43.28	43.3	272	c56v
b25r	29.72	24.12	-41.48	47.98	300	v04m
b50r	38.41	44.74	-27.3	52.41	329	v55m
b75r	49.41	70.07	-3.62	70.16	357	m11o

$u^*_e = r75j$
 LAB^*LAB^*

LAB^*LAB^*

$i^* = 1.00$

Brillantheit i^*

$i^* = 0.80$

$i^* = 0.60$

$i^* = 0.40$

$i^* = 0.20$

$i^* = 0.00$

relative Buntheit c^*

Ein und Ausgabe: Farbmetrisches Drucker-Reflektiv-System ORS20_95a für relativen CIELAB-Buntton $h^* = lab^*h^* = h_{ab}/360 = 0.256$

Daten für jede Farbe:

lab^*ch^* und lab^*icu^*

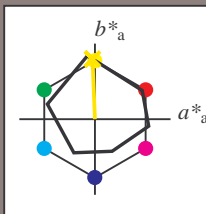
Bunttontexte:

$u^*_e = j00g$ $u^*_d = o92y$

Kontrastreduzierungsfaktor:

$c_R = 0.96$

Dreiecks-Helligkeit i^*



ORS20_95; CIELAB-Daten

u^*_e	$L^*=L^*$	a^*	b^*	C^*_{ab}	h^*_{ab}
O _M	48.71	62.65	39.19	73.89	32
Y _M	89.25	-10.36	85.91	86.53	97
L _M	52.5	-62.88	21.3	66.38	161
C _M	59.15	-27.92	-42.97	51.24	237
V _M	29.13	23.07	-41.51	47.5	299
M _M	49.51	71.15	-7.9	71.59	354
N _M	20.0	0.47	0.76	0.89	58
W _M	95.0	-0.52	2.11	2.17	104
R _M	39.92	58.74	27.99	65.07	25
J _M	81.26	-2.89	71.56	71.62	92
G _M	52.23	-42.42	13.6	44.55	162
B _M	30.57	1.41	-46.47	46.49	272

Daten für Maximalfarbe (Ma):

LAB^*LAB^*Ma : 86 -3 80

LAB^*LCH^*Ma : 86 80 92

lab^*rgb^*Ma : 1.0 1.0 0.0

lab^*olv^*Ma : 1.0 0.93 0.0

Dreiecks-Helligkeit i^*

%Umfang

$u^*_{rel} = 83$

%Regularität

$g^*_{H,rel} = 72$

$g^*_{C,rel} = 57$

ORS20_95a; adaptierte CIELAB-Daten

u^*_e	$L^*=L^*_a$	a^*_a	b^*_a	$C^*_{ab,a}$	$h^*_{ab,a}$	u^*_d
r00j	48.83	63.91	30.45	70.79	25	m84o
r25j	55.53	50.37	45.65	67.97	42	o17y
r50j	64.76	33.86	56.12	65.55	59	o42y
r75j	74.12	17.13	66.74	68.9	76	o67y
j00g	85.5	-3.22	79.65	79.72	92	o92y
j25g	79.45	-24.05	66.85	71.04	110	y20l
j50g	69.75	-38.03	49.98	62.8	127	y46l
j75g	61.38	-50.1	35.41	61.35	145	y72l
g00b	52.6	-62.77	20.12	65.92	162	y99l
g25b	55.39	-47.66	-8.06	48.34	190	l36c
g50b	57.43	-36.92	-27.8	46.22	217	l72c
g75b	55.19	-21.2	-44.17	48.99	244	c11v
b00r	41.84	1.31	-43.28	43.3	272	c56v
b25r	29.72	24.12	-41.48	47.98	300	v04m
b50r	38.41	44.74	-27.3	52.41	329	v55m
b75r	49.41	70.07	-3.62	70.16	357	m11o

LAB^*LAB^*

$i^*=1.00$

Brillantheit i^*

$i^*=0.80$

$i^*=0.60$

$i^*=0.40$

$i^*=0.20$

relative Buntheit c^*

Ein und Ausgabe: Farbmetrisches Drucker-Reflektiv-System ORS20_95a für relativen CIELAB-Buntton $h^* = lab^*h^* = h_{ab}/360 = 0.305$

Daten für jede Farbe:

lab^*tch^* und lab^*icu^*

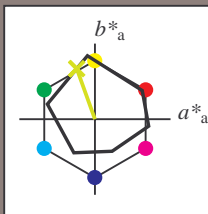
Bunttontexte:

$u^*_e = j25g$ $u^*_d = y20l$

Kontrastreduzierungsfaktor:

$c_R = 0.96$

Dreiecks-Helligkeit i^*



ORS20_95; CIELAB-Daten						
u^*_e	$L^*=L^*$	a^*	b^*	C^*_{ab}	h^*_{ab}	
O _M	48.71	62.65	39.19	73.89	32	
Y _M	89.25	-10.36	85.91	86.53	97	
L _M	52.5	-62.88	21.3	66.38	161	
C _M	59.15	-27.92	-42.97	51.24	237	
V _M	29.13	23.07	-41.51	47.5	299	
M _M	49.51	71.15	-7.9	71.59	354	
N _M	20.0	0.47	0.76	0.89	58	
W _M	95.0	-0.52	2.11	2.17	104	
R _M	39.92	58.74	27.99	65.07	25	
J _M	81.26	-2.89	71.56	71.62	92	
G _M	52.23	-42.42	13.6	44.55	162	
B _M	30.57	1.41	-46.47	46.49	272	

Daten für Maximalfarbe (Ma):

$LAB^*LAB^*Ma: 79 -24 67$

$LAB^*LCH^*Ma: 79 71 109$

$lab^*rgb^*Ma: 0.75 1.0 0.0$

$lab^*olv^*Ma: 0.8 1.0 0.0$

Dreiecks-Helligkeit i^*

%Umfang

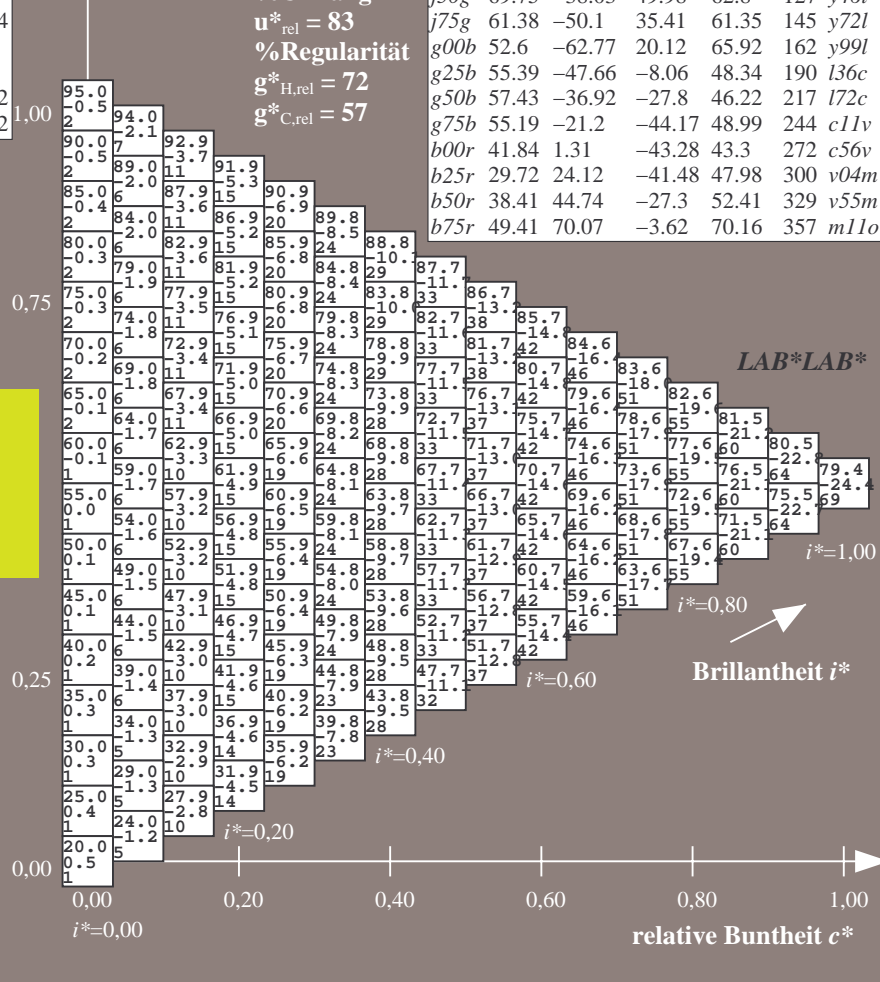
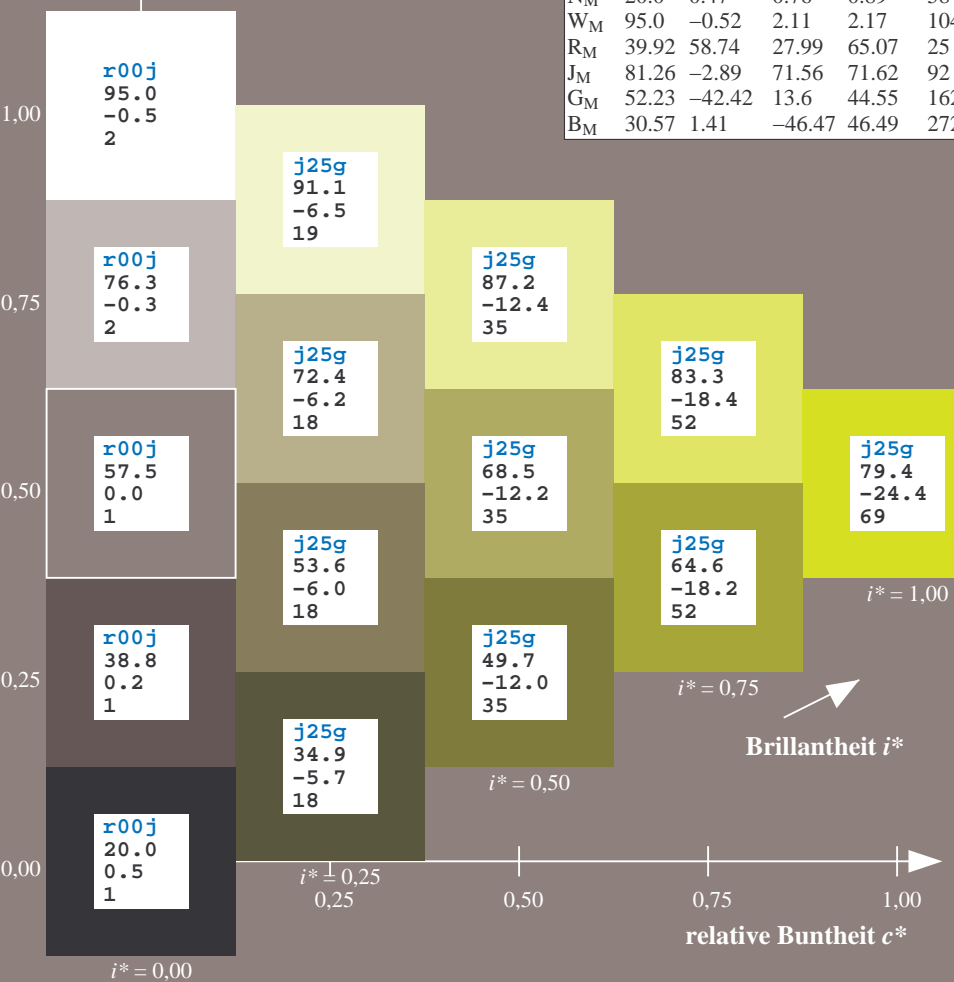
$u^*_{rel} = 83$

%Regularität

$g^*_{H,rel} = 72$

$g^*_{C,rel} = 57$

ORS20_95a; adaptierte CIELAB-Daten									
u^*_e	$L^*=L^*$	a^*_a	b^*_a	$C^*_{ab,a}$	$h^*_{ab,a}$	u^*_d			
r00j	48.83	63.91	30.45	70.79	25	m84o			
r25j	55.53	50.37	45.65	67.97	42	o17y			
r50j	64.76	33.86	56.12	65.55	59	o42y			
r75j	74.12	17.13	66.74	68.9	76	o67y			
j00g	85.5	-3.22	79.65	79.72	92	o92y			
j25g	79.45	-24.05	66.85	71.04	110	y20l			
j50g	69.75	-38.03	49.98	62.8	127	y46l			
j75g	61.38	-50.1	35.41	61.35	145	y72l			
g00b	52.6	-62.77	20.12	65.92	162	y99l			
g25b	55.39	-47.66	-8.06	48.34	190	l36c			
g50b	57.43	-36.92	-27.8	46.22	217	l72c			
g75b	55.19	-21.2	-44.17	48.99	244	c11v			
b00r	41.84	1.31	-43.28	43.3	272	c56v			
b25r	29.72	24.12	-41.48	47.98	300	v04m			
b50r	38.41	44.74	-27.3	52.41	329	v55m			
b75r	49.41	70.07	-3.62	70.16	357	m11o			



Ein und Ausgabe: Farbmetrisches Drucker-Reflektiv-System ORS20_95a für relativen CIELAB-Buntton $h^* = \text{lab}^*h^* = h_{ab}/360 = 0.354$

Daten für jede Farbe:

lab^*ch^* und lab^*icu^*

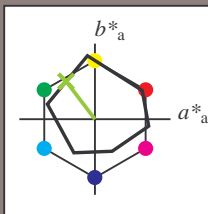
Bunttontexte:

$u^*_e = j50g$ $u^*_d = y46l$

Kontrastreduzierungsfaktor:

$c_R = 0.96$

Dreiecks-Helligkeit i^*



ORS20_95; CIELAB-Daten						
u^*_e	$L^*=L^*_a$	a^*	b^*	C^*_{ab}	h^*_{ab}	
O _M	48.71	62.65	39.19	73.89	32	
Y _M	89.25	-10.36	85.91	86.53	97	
L _M	52.5	-62.88	21.3	66.38	161	
C _M	59.15	-27.92	-42.97	51.24	237	
V _M	29.13	23.07	-41.51	47.5	299	
M _M	49.51	71.15	-7.9	71.59	354	
N _M	20.0	0.47	0.76	0.89	58	
W _M	95.0	-0.52	2.11	2.17	104	
R _M	39.92	58.74	27.99	65.07	25	
J _M	81.26	-2.89	71.56	71.62	92	
G _M	52.23	-42.42	13.6	44.55	162	
B _M	30.57	1.41	-46.47	46.49	272	

Daten für Maximalfarbe (Ma):

$\text{LAB}^*\text{LAB}^*_{\text{Ma}}$: 70 -38 50

$\text{LAB}^*\text{LCH}^*_{\text{Ma}}$: 70 63 127

$\text{lab}^*\text{rgb}^*_{\text{Ma}}$: 0.5 1.0 0.0

$\text{lab}^*\text{olv}^*_{\text{Ma}}$: 0.54 1.0 0.0

Dreiecks-Helligkeit i^*

%Umfang

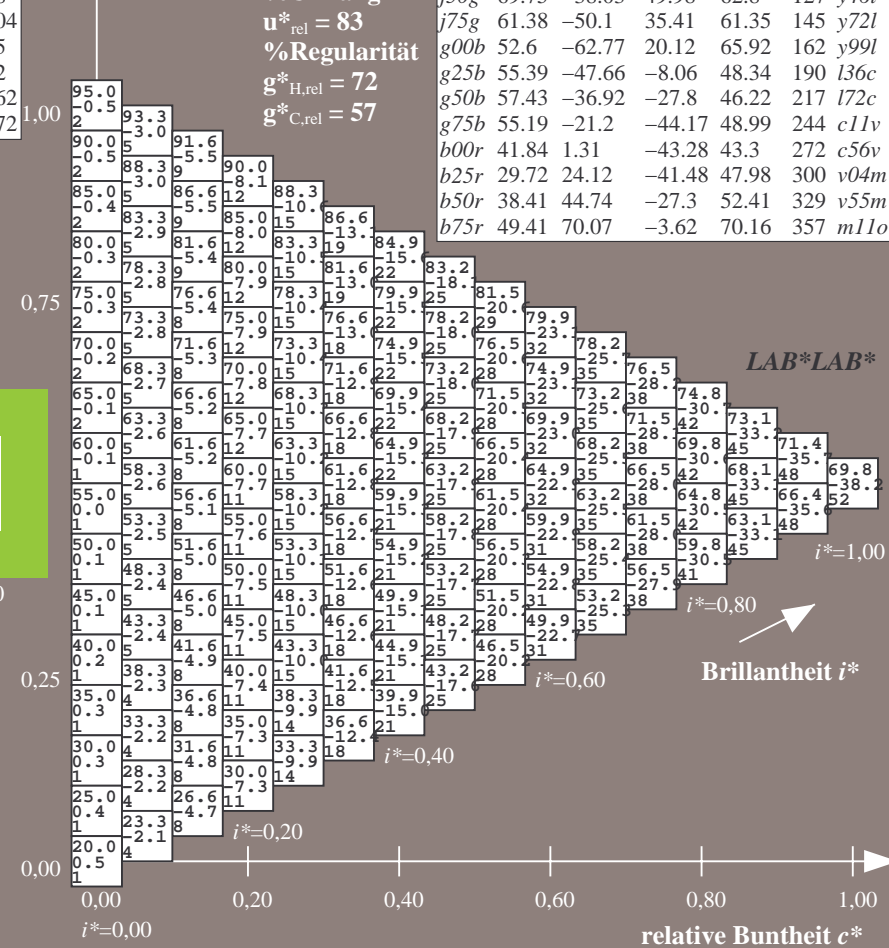
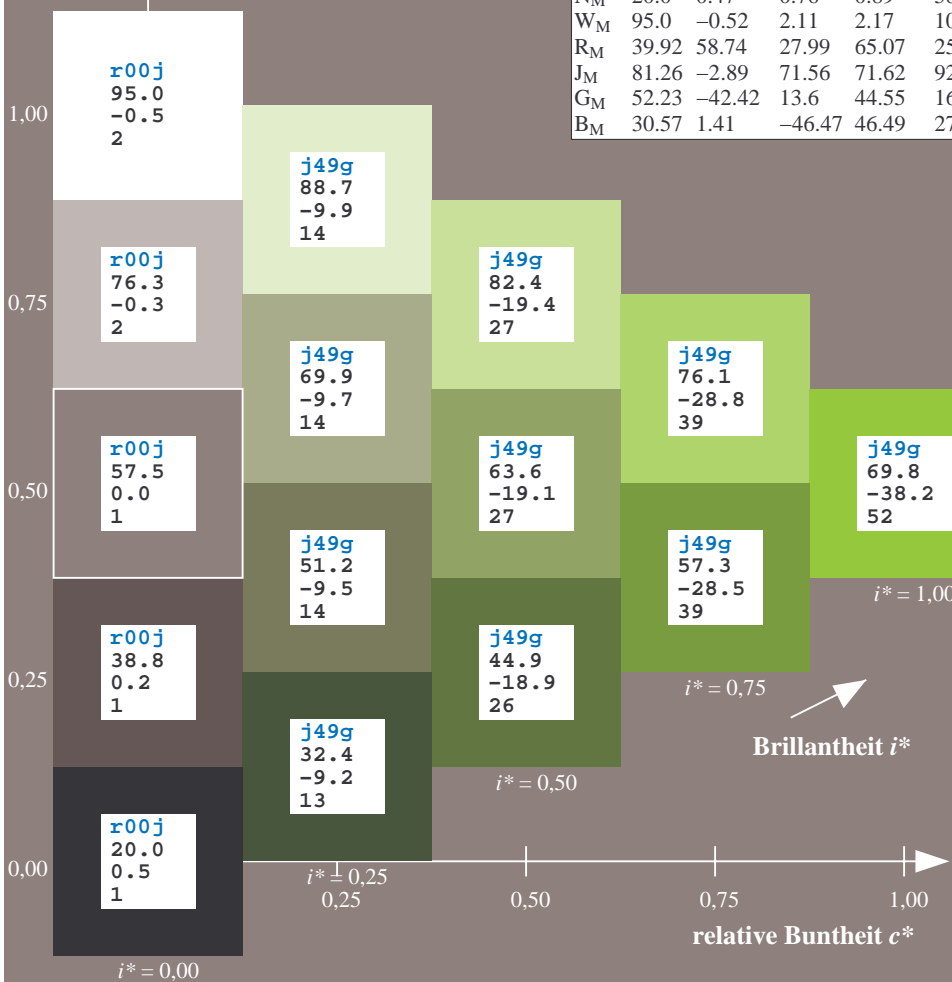
$u^*_{\text{rel}} = 83$

%Regularität

$g^*_{H,\text{rel}} = 72$

$g^*_{C,\text{rel}} = 57$

ORS20_95a; adaptierte CIELAB-Daten									
u^*_e	$L^*=L^*_a$	a^*_a	b^*_a	$C^*_{ab,a}$	$h^*_{ab,a}$	u^*_d			
r00j	48.83	63.91	30.45	70.79	25	m84o			
r25j	55.53	50.37	45.65	67.97	42	o17y			
r50j	64.76	33.86	56.12	65.55	59	o42y			
r75j	74.12	17.13	66.74	68.9	76	o67y			
j00g	85.5	-3.22	79.65	79.72	92	o92y			
j25g	79.45	-24.05	66.85	71.04	110	y20l			
j50g	69.75	-38.03	49.98	62.8	127	y46l			
j75g	61.38	-50.1	35.41	61.35	145	y72l			
g00b	52.6	-62.77	20.12	65.92	162	y99l			
g25b	55.39	-47.66	-8.06	48.34	190	l36c			
g50b	57.43	-36.92	-27.8	46.22	217	l72c			
g75b	55.19	-21.2	-44.17	48.99	244	c11v			
b00r	41.84	1.31	-43.28	43.3	272	c56v			
b25r	29.72	24.12	-41.48	47.98	300	v04m			
b50r	38.41	44.74	-27.3	52.41	329	v55m			
b75r	49.41	70.07	-3.62	70.16	357	m11o			



Ein und Ausgabe: Farbmetrisches Drucker-Reflektiv-System ORS20_95a für relativen CIELAB-Buntton $h^* = lab^*h^* = h_{ab}/360 = 0.402$

Daten für jede Farbe:

lab^*ch^* und lab^*icu^*

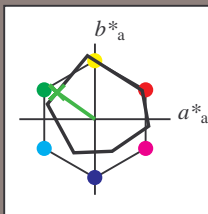
Bunttontexte:

$u^*_e = j75g$ $u^*_d = y72l$

Kontrastreduzierungsfaktor:

$c_R = 0.96$

Dreiecks-Helligkeit i^*



ORS20_95; CIELAB-Daten

u^*_e	$L^*=L^*$	a^*	b^*	C^*_{ab}	h^*_{ab}
O _M	48.71	62.65	39.19	73.89	32
Y _M	89.25	-10.36	85.91	86.53	97
L _M	52.5	-62.88	21.3	66.38	161
C _M	59.15	-27.92	-42.97	51.24	237
V _M	29.13	23.07	-41.51	47.5	299
M _M	49.51	71.15	-7.9	71.59	354
N _M	20.0	0.47	0.76	0.89	58
W _M	95.0	-0.52	2.11	2.17	104
R _M	39.92	58.74	27.99	65.07	25
J _M	81.26	-2.89	71.56	71.62	92
G _M	52.23	-42.42	13.6	44.55	162
B _M	30.57	1.41	-46.47	46.49	272

Daten für Maximalfarbe (Ma):

LAB^*LAB^*Ma : 61 -50 35

LAB^*LCH^*Ma : 61 61 144

lab^*rgb^*Ma : 0.25 1.0 0.0

lab^*olv^*Ma : 0.27 1.0 0.0

Dreiecks-Helligkeit i^*

%Umfang

$u^*_{rel} = 83$

%Regularität

$g^*_{H,rel} = 72$

$g^*_{C,rel} = 57$

ORS20_95a; adaptierte CIELAB-Daten

u^*_e	$L^*=L^*$	a^*_a	b^*_a	$C^*_{ab,a}$	$h^*_{ab,a}$	u^*_d
r00j	48.83	63.91	30.45	70.79	25	m84o
r25j	55.53	50.37	45.65	67.97	42	o17y
r50j	64.76	33.86	56.12	65.55	59	o42y
r75j	74.12	17.13	66.74	68.9	76	o67y
j00g	85.5	-3.22	79.65	79.72	92	o92y
j25g	79.45	-24.05	66.85	71.04	110	y20l
j50g	69.75	-38.03	49.98	62.8	127	y46l
j75g	61.38	-50.1	35.41	61.35	145	y72l
g00b	52.6	-62.77	20.12	65.92	162	y99l
g25b	55.39	-47.66	-8.06	48.34	190	l36c
g50b	57.43	-36.92	-27.8	46.22	217	l72c
g75b	55.19	-21.2	-44.17	48.99	244	c11v
b00r	41.84	1.31	-43.28	43.3	272	c56v
b25r	29.72	24.12	-41.48	47.98	300	v04m
b50r	38.41	44.74	-27.3	52.41	329	v55m
b75r	49.41	70.07	-3.62	70.16	357	m11o

LAB^*LAB^*

$i^*=1.00$

$i^*=0.80$

$i^*=0.60$

$i^*=0.40$

$i^*=0.20$

Brillantheit i^*

relative Buntheit c^*

Ein und Ausgabe: Farbmetrisches Drucker-Reflektiv-System ORS20_95a für relativen CIELAB-Buntton $h^* = lab^*h^* = h_{ab}/360 = 0.451$

Daten für jede Farbe:

lab^*tch^* und lab^*icu^*

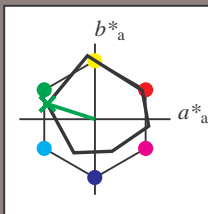
Bunttontexte:

$u^*_e = g00b$ $u^*_d = y99l$

Kontrastreduzierungsfaktor:

$c_R = 0.96$

Dreiecks-Helligkeit i^*



ORS20_95; CIELAB-Daten

u^*_e	$L^*=L^*$	a^*	b^*	C^*_{ab}	h^*_{ab}
O _M	48.71	62.65	39.19	73.89	32
Y _M	89.25	-10.36	85.91	86.53	97
L _M	52.5	-62.88	21.3	66.38	161
C _M	59.15	-27.92	-42.97	51.24	237
V _M	29.13	23.07	-41.51	47.5	299
M _M	49.51	71.15	-7.9	71.59	354
N _M	20.0	0.47	0.76	0.89	58
W _M	95.0	-0.52	2.11	2.17	104
R _M	39.92	58.74	27.99	65.07	25
J _M	81.26	-2.89	71.56	71.62	92
G _M	52.23	-42.42	13.6	44.55	162
B _M	30.57	1.41	-46.47	46.49	272

Daten für Maximalfarbe (Ma):

$LAB^*LAB^*_{Ma}$: 53 -63 20

$LAB^*LCH^*_{Ma}$: 53 66 162

$lab^*rgb^*_{Ma}$: 0.0 1.0 0.0

$lab^*olv^*_{Ma}$: 0.0 1.0 0.0

Dreiecks-Helligkeit i^*

%Umfang

$u^*_{rel} = 83$

%Regularität

$g^*_{H,rel} = 72$

$g^*_{C,rel} = 57$

ORS20_95a; adaptierte CIELAB-Daten

u^*_e	$L^*=L^*_a$	a^*_a	b^*_a	$C^*_{ab,a}$	$h^*_{ab,a}$	u^*_d
r00j	48.83	63.91	30.45	70.79	25	m84o
r25j	55.53	50.37	45.65	67.97	42	o17y
r50j	64.76	33.86	56.12	65.55	59	o42y
r75j	74.12	17.13	66.74	68.9	76	o67y
j00g	85.5	-3.22	79.65	79.72	92	o92y
j25g	79.45	-24.05	66.85	71.04	110	y20l
j50g	69.75	-38.03	49.98	62.8	127	y46l
j75g	61.38	-50.1	35.41	61.35	145	y72l
g00b	52.6	-62.77	20.12	65.92	162	y99l
g25b	55.39	-47.66	-8.06	48.34	190	l36c
g50b	57.43	-36.92	-27.8	46.22	217	l72c
g75b	55.19	-21.2	-44.17	48.99	244	c11v
b00r	41.84	1.31	-43.28	43.3	272	c56v
b25r	29.72	24.12	-41.48	47.98	300	v04m
b50r	38.41	44.74	-27.3	52.41	329	v55m
b75r	49.41	70.07	-3.62	70.16	357	m11o

LAB^*LAB^*

$i^*=1.00$

$i^*=0.80$

$i^*=0.60$

$i^*=0.40$

$i^*=0.20$

Brillantheit i^*

relative Buntheit c^*

relative Buntheit c^*

Ein und Ausgabe: Farbmetrisches Drucker-Reflektiv-System ORS20_95a für relativen CIELAB-Buntton $h^* = lab^*h^* = h_{ab}/360 = 0.527$

Daten für jede Farbe:

lab^*ch^* und lab^*icu^*

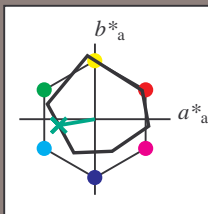
Bunttontexte:

$u^*_e = g25b$ $u^*_d = l36c$

Kontrastreduzierungsfaktor:

$c_R = 0.96$

Dreiecks-Helligkeit i^*



ORS20_95; CIELAB-Daten						
u^*_e	$L^*=L^*_a$	a^*	b^*	C^*_{ab}	h^*_{ab}	
O _M	48.71	62.65	39.19	73.89	32	
Y _M	89.25	-10.36	85.91	86.53	97	
L _M	52.5	-62.88	21.3	66.38	161	
C _M	59.15	-27.92	-42.97	51.24	237	
V _M	29.13	23.07	-41.51	47.5	299	
M _M	49.51	71.15	-7.9	71.59	354	
N _M	20.0	0.47	0.76	0.89	58	
W _M	95.0	-0.52	2.11	2.17	104	
R _M	39.92	58.74	27.99	65.07	25	
J _M	81.26	-2.89	71.56	71.62	92	
G _M	52.23	-42.42	13.6	44.55	162	
B _M	30.57	1.41	-46.47	46.49	272	

Daten für Maximalfarbe (Ma):

$LAB^*LAB^*_{Ma}$: 55 -48 -8

$LAB^*LCH^*_{Ma}$: 55 48 189

$lab^*rgb^*_{Ma}$: 0.0 1.0 0.5

$lab^*olv^*_{Ma}$: 0.0 1.0 0.36

Dreiecks-Helligkeit i^*

%Umfang

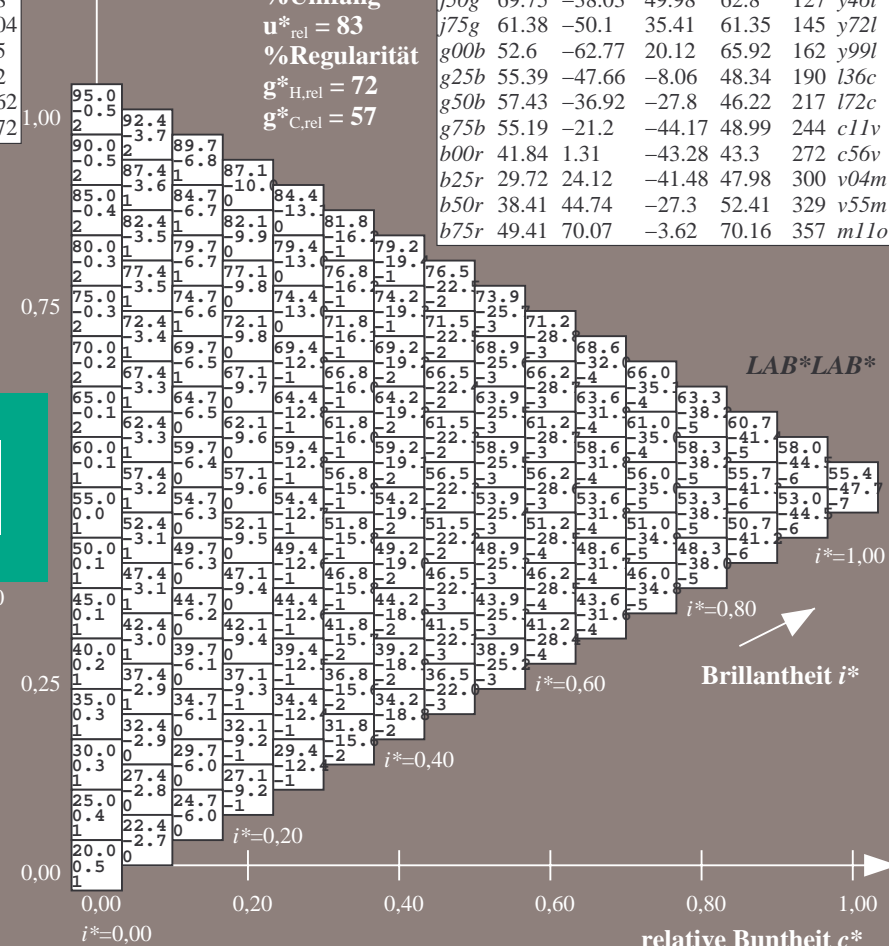
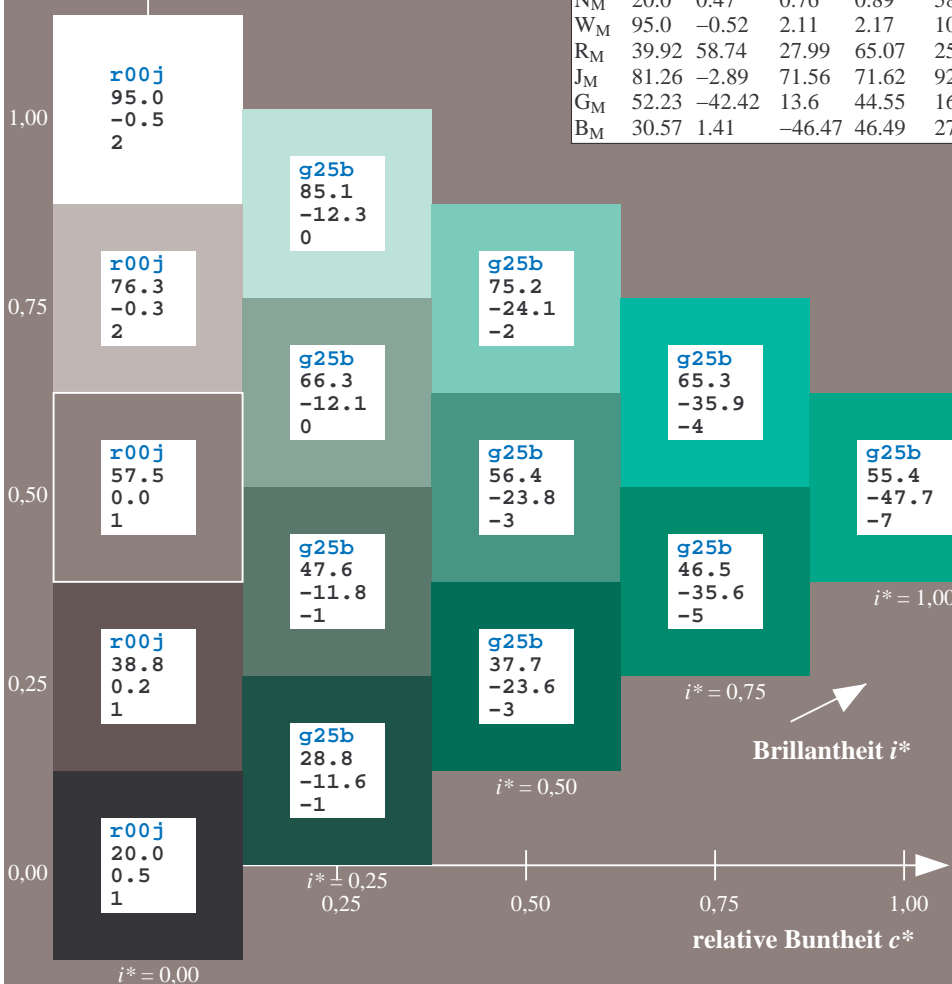
$u^*_{rel} = 83$

%Regularität

$g^*_{H,rel} = 72$

$g^*_{C,rel} = 57$

ORS20_95a; adaptierte CIELAB-Daten									
u^*_e	$L^*=L^*_a$	a^*_a	b^*_a	$C^*_{ab,a}$	$h^*_{ab,a}$	u^*_d			
r00j	48.83	63.91	30.45	70.79	25	m84o			
r25j	55.53	50.37	45.65	67.97	42	o17y			
r50j	64.76	33.86	56.12	65.55	59	o42y			
r75j	74.12	17.13	66.74	68.9	76	o67y			
j00g	85.5	-3.22	79.65	79.72	92	o92y			
j25g	79.45	-24.05	66.85	71.04	110	y20l			
j50g	69.75	-38.03	49.98	62.8	127	y46l			
j75g	61.38	-50.1	35.41	61.35	145	y72l			
g00b	52.6	-62.77	20.12	65.92	162	y99l			
g25b	55.39	-47.66	-8.06	48.34	190	l36c			
g50b	57.43	-36.92	-27.8	46.22	217	l72c			
g75b	55.19	-21.2	-44.17	48.99	244	c11v			
b00r	41.84	1.31	-43.28	43.3	272	c56v			
b25r	29.72	24.12	-41.48	47.98	300	v04m			
b50r	38.41	44.74	-27.3	52.41	329	v55m			
b75r	49.41	70.07	-3.62	70.16	357	m11o			



Ein und Ausgabe: Farbmetrisches Drucker-Reflektiv-System ORS20_95a für relativen CIELAB-Buntton $h^* = lab^*h^* = h_{ab}/360 = 0.603$

Daten für jede Farbe:

lab^*tch^* und lab^*icu^*

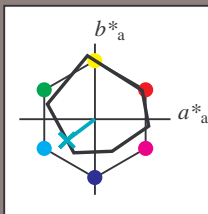
Bunttontexte:

$u^*_e = g50b$ $u^*_d = l72c$

Kontrastreduzierungsfaktor:

$c_R = 0.96$

Dreiecks-Helligkeit i^*



ORS20_95; CIELAB-Daten

u^*_e	$L^*=L^*_a$	a^*	b^*	C^*_{ab}	h^*_{ab}
O _M	48.71	62.65	39.19	73.89	32
Y _M	89.25	-10.36	85.91	86.53	97
L _M	52.5	-62.88	21.3	66.38	161
C _M	59.15	-27.92	-42.97	51.24	237
V _M	29.13	23.07	-41.51	47.5	299
M _M	49.51	71.15	-7.9	71.59	354
N _M	20.0	0.47	0.76	0.89	58
W _M	95.0	-0.52	2.11	2.17	104
R _M	39.92	58.74	27.99	65.07	25
J _M	81.26	-2.89	71.56	71.62	92
G _M	52.23	-42.42	13.6	44.55	162
B _M	30.57	1.41	-46.47	46.49	272

Daten für Maximalfarbe (Ma):

$LAB^*LAB^*_{Ma}$: 57 -37 -28

$LAB^*LCH^*_{Ma}$: 57 46 216

$lab^*rgb^*_{Ma}$: 0.0 1.0 1.0

$lab^*olv^*_{Ma}$: 0.0 1.0 0.72

Dreiecks-Helligkeit i^*

%Umfang

$u^*_{rel} = 83$

%Regularität

$g^*_{H,rel} = 72$

$g^*_{C,rel} = 57$

ORS20_95a; adaptierte CIELAB-Daten

u^*_e	$L^*=L^*_a$	a^*_a	b^*_a	$C^*_{ab,a}$	$h^*_{ab,a}$	u^*_d
r00j	48.83	63.91	30.45	70.79	25	m84o
r25j	55.53	50.37	45.65	67.97	42	o17y
r50j	64.76	33.86	56.12	65.55	59	o42y
r75j	74.12	17.13	66.74	68.9	76	o67y
j00g	85.5	-3.22	79.65	79.72	92	o92y
j25g	79.45	-24.05	66.85	71.04	110	y20l
j50g	69.75	-38.03	49.98	62.8	127	y46l
j75g	61.38	-50.1	35.41	61.35	145	y72l
g00b	52.6	-62.77	20.12	65.92	162	y99l
g25b	55.39	-47.66	-8.06	48.34	190	l36c
g50b	57.43	-36.92	-27.8	46.22	217	l72c
g75b	55.19	-21.2	-44.17	48.99	244	c11v
b00r	41.84	1.31	-43.28	43.3	272	c56v
b25r	29.72	24.12	-41.48	47.98	300	v04m
b50r	38.41	44.74	-27.3	52.41	329	v55m
b75r	49.41	70.07	-3.62	70.16	357	m11o

LAB^*LAB^*

$i^*=1.00$

Brillantheit i^*

$i^*=0.80$

$i^*=0.60$

$i^*=0.40$

$i^*=0.20$

$i^*=0.00$

Ein und Ausgabe: Farbmetrisches Drucker-Reflektiv-System ORS20_95a für relativen CIELAB-Buntton $h^* = lab^*h^* = h_{ab}/360 = 0.679$

Daten für jede Farbe:

lab^*tch^* und lab^*icu^*

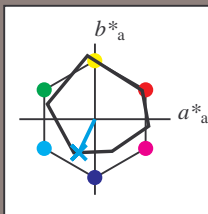
Bunttontexte:

$u^*_e = g75b$ $u^*_d = c11v$

Kontrastreduzierungsfaktor:

$c_R = 0.96$

Dreiecks-Helligkeit i^*



ORS20_95; CIELAB-Daten						
u^*_e	$L^*=L^*_a$	a^*	b^*	C^*_{ab}	h^*_{ab}	
O _M	48.71	62.65	39.19	73.89	32	
Y _M	89.25	-10.36	85.91	86.53	97	
L _M	52.5	-62.88	21.3	66.38	161	
C _M	59.15	-27.92	-42.97	51.24	237	
V _M	29.13	23.07	-41.51	47.5	299	
M _M	49.51	71.15	-7.9	71.59	354	
N _M	20.0	0.47	0.76	0.89	58	
W _M	95.0	-0.52	2.11	2.17	104	
R _M	39.92	58.74	27.99	65.07	25	
J _M	81.26	-2.89	71.56	71.62	92	
G _M	52.23	-42.42	13.6	44.55	162	
B _M	30.57	1.41	-46.47	46.49	272	

Daten für Maximalfarbe (Ma):

$LAB^*LAB^*_{Ma}$: 55 -21 -44

$LAB^*LCH^*_{Ma}$: 55 49 244

$lab^*rgb^*_{Ma}$: 0.0 0.5 1.0

$lab^*olv^*_{Ma}$: 0.0 0.89 1.0

Dreiecks-Helligkeit i^*

%Umfang

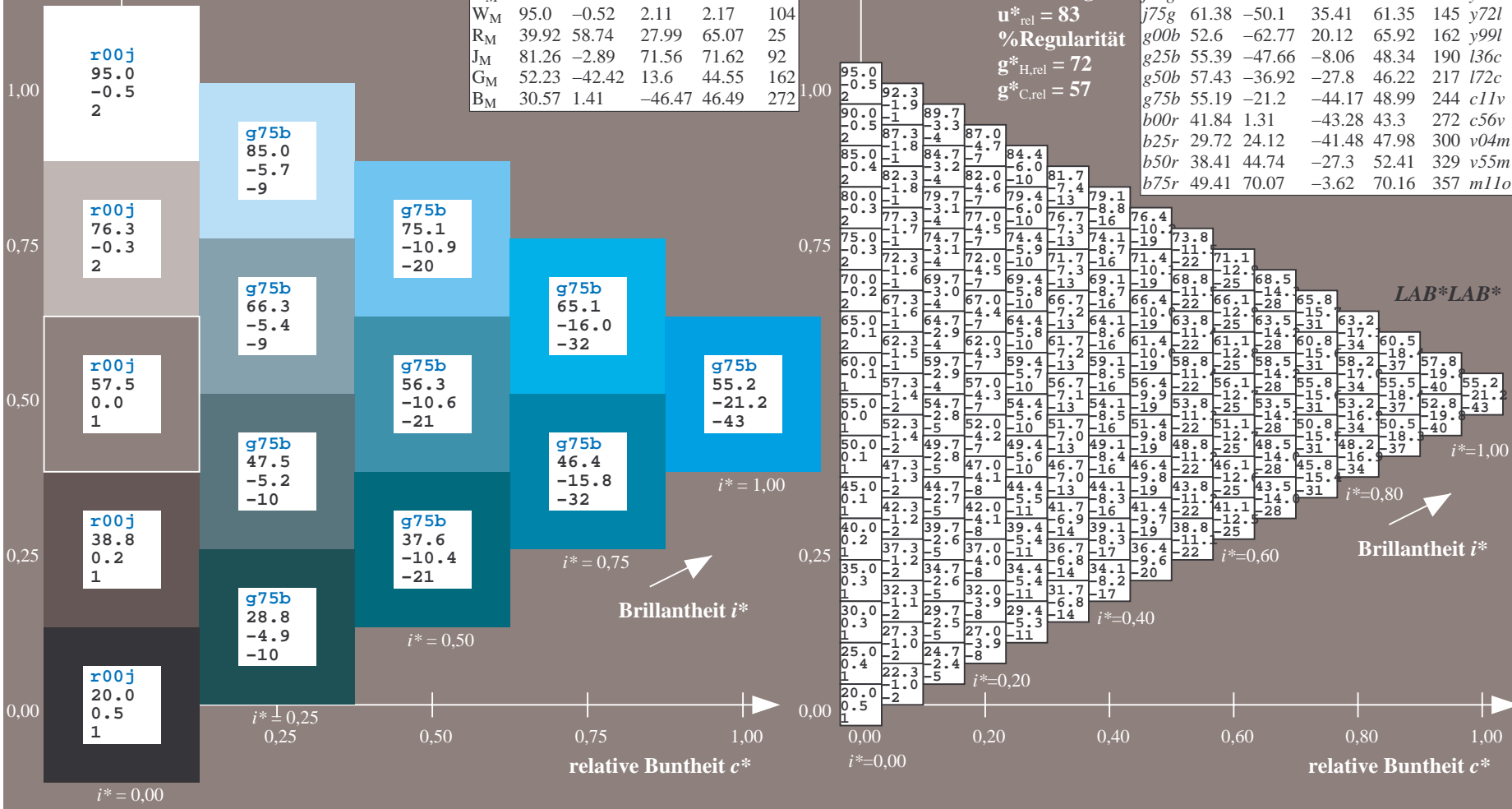
$u^*_{rel} = 83$

%Regularität

$g^*_{H,rel} = 72$

$g^*_{C,rel} = 57$

ORS20_95a; adaptierte CIELAB-Daten							
u^*_e	$L^*=L^*_a$	a^*_a	b^*_a	$C^*_{ab,a}$	$h^*_{ab,a}$	u^*_d	
r00j	48.83	63.91	30.45	70.79	25	m84o	
r25j	55.53	50.37	45.65	67.97	42	o17y	
r50j	64.76	33.86	56.12	65.55	59	o42y	
r75j	74.12	17.13	66.74	68.9	76	o67y	
j00g	85.5	-3.22	79.65	79.72	92	o92y	
j25g	79.45	-24.05	66.85	71.04	110	y20l	
j50g	69.75	-38.03	49.98	62.8	127	y46l	
j75g	61.38	-50.1	35.41	61.35	145	y72l	
g00b	52.6	-62.77	20.12	65.92	162	y99l	
g25b	55.39	-47.66	-8.06	48.34	190	l36c	
g50b	57.43	-36.92	-27.8	46.22	217	l72c	
g75b	55.19	-21.2	-44.17	48.99	244	c11v	
b00r	41.84	1.31	-43.28	43.3	272	c56v	
b25r	29.72	24.12	-41.48	47.98	300	v04m	
b50r	38.41	44.74	-27.3	52.41	329	v55m	
b75r	49.41	70.07	-3.62	70.16	357	m11o	



Ein und Ausgabe: Farbmetrisches Drucker-Reflektiv-System ORS20_95a für relativen CIELAB-Buntton $h^* = lab^*h^* = h_{ab}/360 = 0.755$

Daten für jede Farbe:

lab^*ch^* und lab^*icu^*

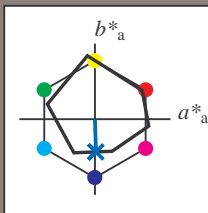
Bunttontexte:

$u^*_e = b00r$ $u^*_d = c56v$

Kontrastreduzierungsfaktor:

$c_R = 0.96$

Dreiecks-Helligkeit i^*



ORS20_95; CIELAB-Daten

u^*_e	$L^*=L^*$	a^*	b^*	C^*_{ab}	h^*_{ab}
O _M	48.71	62.65	39.19	73.89	32
Y _M	89.25	-10.36	85.91	86.53	97
L _M	52.5	-62.88	21.3	66.38	161
C _M	59.15	-27.92	-42.97	51.24	237
V _M	29.13	23.07	-41.51	47.5	299
M _M	49.51	71.15	-7.9	71.59	354
N _M	20.0	0.47	0.76	0.89	58
W _M	95.0	-0.52	2.11	2.17	104
R _M	39.92	58.74	27.99	65.07	25
J _M	81.26	-2.89	71.56	71.62	92
G _M	52.23	-42.42	13.6	44.55	162
B _M	30.57	1.41	-46.47	46.49	272

Daten für Maximalfarbe (Ma):

LAB^*LAB^*Ma : 42 1 -43

LAB^*LCH^*Ma : 42 43 271

lab^*rgb^*Ma : 0.0 0.0 1.0

lab^*olv^*Ma : 0.0 0.44 1.0

Dreiecks-Helligkeit i^*

%Umfang

$u^*_{rel} = 83$

%Regularität

$g^*_{H,rel} = 72$

$g^*_{C,rel} = 57$

ORS20_95a; adaptierte CIELAB-Daten

u^*_e	$L^*=L^*_a$	a^*_a	b^*_a	$C^*_{ab,a}$	$h^*_{ab,a}$	u^*_d
r00j	48.83	63.91	30.45	70.79	25	m84o
r25j	55.53	50.37	45.65	67.97	42	o17y
r50j	64.76	33.86	56.12	65.55	59	o42y
r75j	74.12	17.13	66.74	68.9	76	o67y
j00g	85.5	-3.22	79.65	79.72	92	o92y
j25g	79.45	-24.05	66.85	71.04	110	y20l
j50g	69.75	-38.03	49.98	62.8	127	y46l
j75g	61.38	-50.1	35.41	61.35	145	y72l
g00b	52.6	-62.77	20.12	65.92	162	y99l
g25b	55.39	-47.66	-8.06	48.34	190	l36c
g50b	57.43	-36.92	-27.8	46.22	217	l72c
g75b	55.19	-21.2	-44.17	48.99	244	c11v
b00r	41.84	1.31	-43.28	43.3	272	c56v
b25r	29.72	24.12	-41.48	47.98	300	v04m
b50r	38.41	44.74	-27.3	52.41	329	v55m
b75r	49.41	70.07	-3.62	70.16	357	m11o

LAB^*LAB^*

$i^*=1.00$

$i^*=0.80$

$i^*=0.60$

$i^*=0.40$

$i^*=0.20$

$i^*=0.00$

$i^*=0.00$

$i^*=0.00$

$i^*=0.00$

$i^*=0.00$

$i^*=0.00$

Ein und Ausgabe: Farbmetrisches Drucker-Reflektiv-System ORS20_95a für relativen CIELAB-Buntton $h^* = \text{lab}^*h^* = h_{ab}/360 = 0.834$

Daten für jede Farbe:

lab^*tch^* und lab^*icu^*

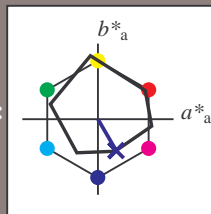
Bunttontexte:

$u^*_e = b25r$ $u^*_d = v04m$

Kontrastreduzierungsfaktor:

$c_R = 0.96$

Dreiecks-Helligkeit i^*



ORS20_95; CIELAB-Daten						
u^*_e	$L^*=L^*_a$	a^*	b^*	C^*_{ab}	h^*_{ab}	
O _M	48.71	62.65	39.19	73.89	32	
Y _M	89.25	-10.36	85.91	86.53	97	
L _M	52.5	-62.88	21.3	66.38	161	
C _M	59.15	-27.92	-42.97	51.24	237	
V _M	29.13	23.07	-41.51	47.5	299	
M _M	49.51	71.15	-7.9	71.59	354	
N _M	20.0	0.47	0.76	0.89	58	
W _M	95.0	-0.52	2.11	2.17	104	
R _M	39.92	58.74	27.99	65.07	25	
J _M	81.26	-2.89	71.56	71.62	92	
G _M	52.23	-42.42	13.6	44.55	162	
B _M	30.57	1.41	-46.47	46.49	272	

Daten für Maximalfarbe (Ma):

$\text{LAB}^*\text{LAB}^*_{\text{Ma}}$: 30 24 -41

$\text{LAB}^*\text{LCH}^*_{\text{Ma}}$: 30 48 300

$\text{lab}^*\text{rgb}^*_{\text{Ma}}$: 0.5 0.0 1.0

$\text{lab}^*\text{olv}^*_{\text{Ma}}$: 0.04 0.0 1.0

Dreiecks-Helligkeit i^*

%Umfang

$u^*_{\text{rel}} = 83$

%Regularität

$g^*_{H,\text{rel}} = 72$

$g^*_{C,\text{rel}} = 57$

ORS20_95a; adaptierte CIELAB-Daten									
u^*_e	$L^*=L^*_a$	a^*_a	b^*_a	$C^*_{ab,a}$	$h^*_{ab,a}$	u^*_d			
r00j	48.83	63.91	30.45	70.79	25	m84o			
r25j	55.53	50.37	45.65	67.97	42	o17y			
r50j	64.76	33.86	56.12	65.55	59	o42y			
r75j	74.12	17.13	66.74	68.9	76	o67y			
j00g	85.5	-3.22	79.65	79.72	92	o92y			
j25g	79.45	-24.05	66.85	71.04	110	y20l			
j50g	69.75	-38.03	49.98	62.8	127	y46l			
j75g	61.38	-50.1	35.41	61.35	145	y72l			
g00b	52.6	-62.77	20.12	65.92	162	y99l			
g25b	55.39	-47.66	-8.06	48.34	190	l36c			
g50b	57.43	-36.92	-27.8	46.22	217	l72c			
g75b	55.19	-21.2	-44.17	48.99	244	c11v			
b00r	41.84	1.31	-43.28	43.3	272	c56v			
b25r	29.72	24.12	-41.48	47.98	300	v04m			
b50r	38.41	44.74	-27.3	52.41	329	v55m			
b75r	49.41	70.07	-3.62	70.16	357	m11o			

LAB^*LAB^*

$i^* = 1.00$

$i^* = 0.80$

Brillantheit i^*

$i^* = 0.60$

$i^* = 0.40$

$i^* = 0.20$

$i^* = 0.00$

relative Bunttheit c^*

relative Bunttheit c^*

Ein und Ausgabe: Farbmetrisches Drucker-Reflektiv-System ORS20_95a für relativen CIELAB-Buntton $h^* = lab^*h^* = h_{ab}/360 = 0.913$

Daten für jede Farbe:

lab^*tch^* und lab^*icu^*

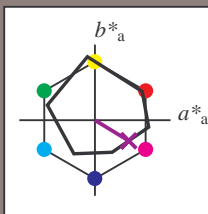
Bunttontexte:

$u^*_e = b50r$ $u^*_d = v55m$

Kontrastreduzierungsfaktor:

$c_R = 0.96$

Dreiecks-Helligkeit i^*



ORS20_95; CIELAB-Daten

u^*_e	$L^*=L^*_a$	a^*	b^*	C^*_{ab}	h^*_{ab}
O _M	48.71	62.65	39.19	73.89	32
Y _M	89.25	-10.36	85.91	86.53	97
L _M	52.5	-62.88	21.3	66.38	161
C _M	59.15	-27.92	-42.97	51.24	237
V _M	29.13	23.07	-41.51	47.5	299
M _M	49.51	71.15	-7.9	71.59	354
N _M	20.0	0.47	0.76	0.89	58
W _M	95.0	-0.52	2.11	2.17	104
R _M	39.92	58.74	27.99	65.07	25
J _M	81.26	-2.89	71.56	71.62	92
G _M	52.23	-42.42	13.6	44.55	162
B _M	30.57	1.41	-46.47	46.49	272

Daten für Maximalfarbe (Ma):

$LAB^*LAB^*_{Ma}$: 38 45 -27

$LAB^*LCH^*_{Ma}$: 38 52 328

$lab^*rgb^*_{Ma}$: 1.0 0.0 1.0

$lab^*olv^*_{Ma}$: 0.56 0.0 1.0

Dreiecks-Helligkeit i^*

%Umfang

$u^*_{rel} = 83$

%Regularität

$g^*_{H,rel} = 72$

$g^*_{C,rel} = 57$

ORS20_95a; adaptierte CIELAB-Daten

u^*_e	$L^*=L^*_a$	a^*_a	b^*_a	$C^*_{ab,a}$	$h^*_{ab,a}$	u^*_d
r00j	48.83	63.91	30.45	70.79	25	m84o
r25j	55.53	50.37	45.65	67.97	42	o17y
r50j	64.76	33.86	56.12	65.55	59	o42y
r75j	74.12	17.13	66.74	68.9	76	o67y
j00g	85.5	-3.22	79.65	79.72	92	o92y
j25g	79.45	-24.05	66.85	71.04	110	y20l
j50g	69.75	-38.03	49.98	62.8	127	y46l
j75g	61.38	-50.1	35.41	61.35	145	y72l
g00b	52.6	-62.77	20.12	65.92	162	y99l
g25b	55.39	-47.66	-8.06	48.34	190	l36c
g50b	57.43	-36.92	-27.8	46.22	217	l72c
g75b	55.19	-21.2	-44.17	48.99	244	c11v
b00r	41.84	1.31	-43.28	43.3	272	c56v
b25r	29.72	24.12	-41.48	47.98	300	v04m
b50r	38.41	44.74	-27.3	52.41	329	v55m
b75r	49.41	70.07	-3.62	70.16	357	m11o

LAB^*LAB^*

$i^*=1.00$

Brillantheit i^*

$i^*=0.80$

$i^*=0.60$

$i^*=0.40$

$i^*=0.20$

$i^*=0.00$

Ein und Ausgabe: Farbmetrisches Drucker-Reflektiv-System ORS20_95a für relativen CIELAB-Buntton $h^* = \text{lab}^*h^* = h_{ab}/360 = 0.992$

Daten für jede Farbe:

lab^*ch^* und lab^*icu^*

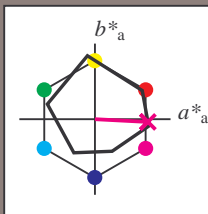
Bunttontexte:

$u^*_e = b75r$ $u^*_d = m11o$

Kontrastreduzierungsfaktor:

$c_R = 0.96$

Dreiecks-Helligkeit i^*



ORS20_95; CIELAB-Daten						
u^*_e	$L^*=L^*_a$	a^*	b^*	C^*_{ab}	h^*_{ab}	
O _M	48.71	62.65	39.19	73.89	32	
Y _M	89.25	-10.36	85.91	86.53	97	
L _M	52.5	-62.88	21.3	66.38	161	
C _M	59.15	-27.92	-42.97	51.24	237	
V _M	29.13	23.07	-41.51	47.5	299	
M _M	49.51	71.15	-7.9	71.59	354	
N _M	20.0	0.47	0.76	0.89	58	
W _M	95.0	-0.52	2.11	2.17	104	
R _M	39.92	58.74	27.99	65.07	25	
J _M	81.26	-2.89	71.56	71.62	92	
G _M	52.23	-42.42	13.6	44.55	162	
B _M	30.57	1.41	-46.47	46.49	272	

Daten für Maximalfarbe (Ma):

$\text{LAB}^*\text{LAB}^*_{\text{Ma}}: 49 \ 70 \ -4$

$\text{LAB}^*\text{LCH}^*_{\text{Ma}}: 49 \ 70 \ 357$

$\text{lab}^*\text{rgb}^*_{\text{Ma}}: 1.0 \ 0.0 \ 0.5$

$\text{lab}^*\text{olv}^*_{\text{Ma}}: 1.0 \ 0.0 \ 0.89$

Dreiecks-Helligkeit i^*

%Umfang

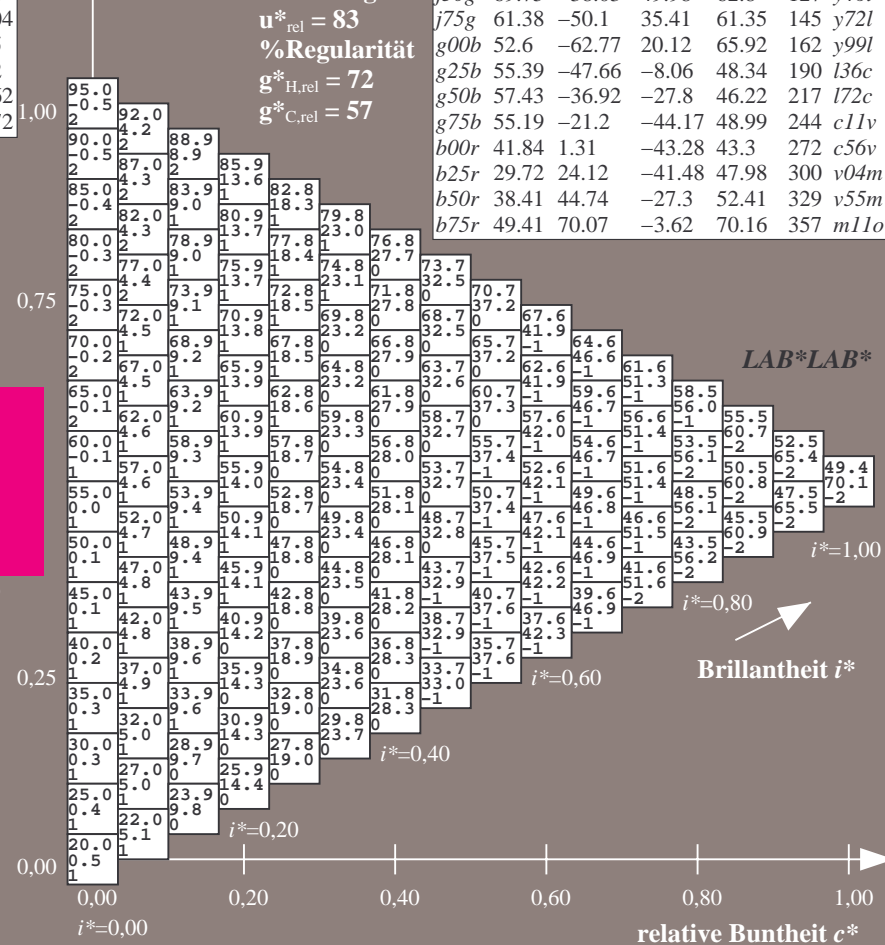
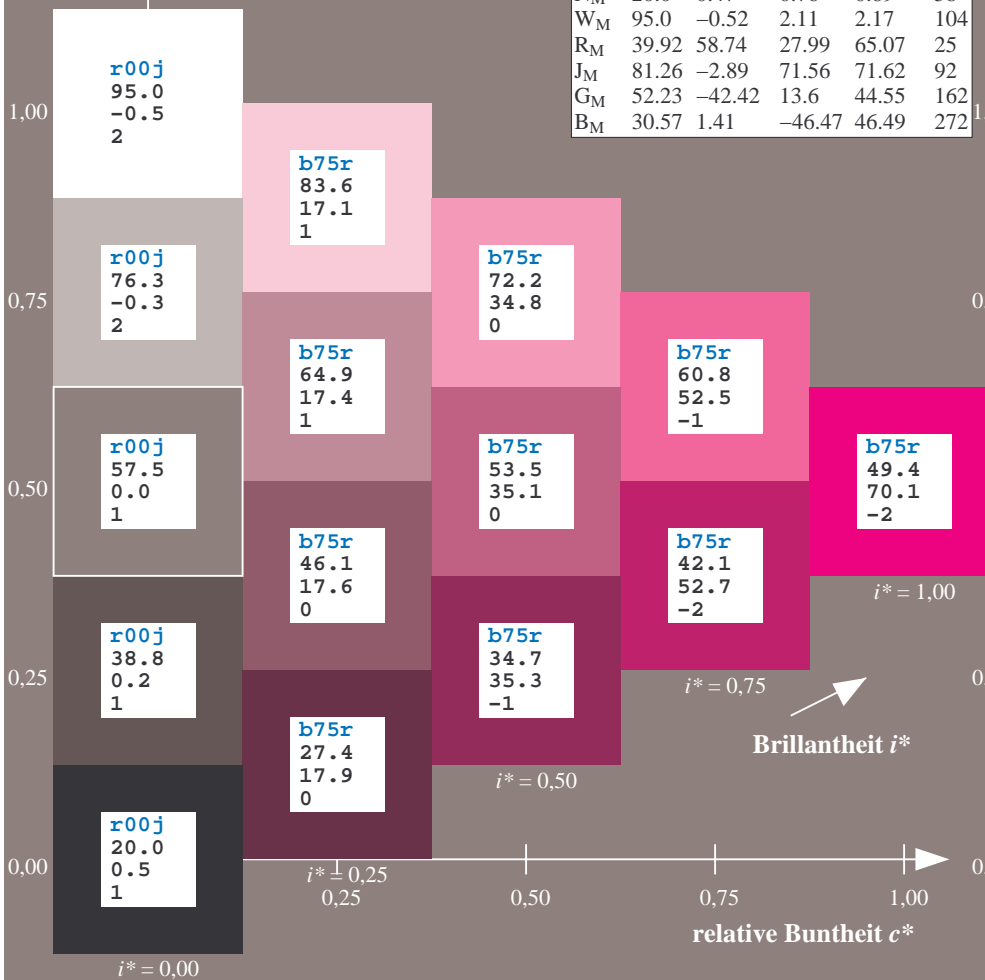
$u^*_{\text{rel}} = 83$

%Regularität

$g^*_{H,\text{rel}} = 72$

$g^*_{C,\text{rel}} = 57$

ORS20_95a; adaptierte CIELAB-Daten									
u^*_e	$L^*=L^*_a$	a^*_a	b^*_a	$C^*_{ab,a}$	$h^*_{ab,a}$	u^*_d			
r00j	48.83	63.91	30.45	70.79	25	m84o			
r25j	55.53	50.37	45.65	67.97	42	o17y			
r50j	64.76	33.86	56.12	65.55	59	o42y			
r75j	74.12	17.13	66.74	68.9	76	o67y			
j00g	85.5	-3.22	79.65	79.72	92	o92y			
j25g	79.45	-24.05	66.85	71.04	110	y20l			
j50g	69.75	-38.03	49.98	62.8	127	y46l			
j75g	61.38	-50.1	35.41	61.35	145	y72l			
g00b	52.6	-62.77	20.12	65.92	162	y99l			
g25b	55.39	-47.66	-8.06	48.34	190	l36c			
g50b	57.43	-36.92	-27.8	46.22	217	l72c			
g75b	55.19	-21.2	-44.17	48.99	244	c11v			
b00r	41.84	1.31	-43.28	43.3	272	c56v			
b25r	29.72	24.12	-41.48	47.98	300	v04m			
b50r	38.41	44.74	-27.3	52.41	329	v55m			
b75r	49.41	70.07	-3.62	70.16	357	m11o			



Siehe ähnliche Dateien: <http://www.ps.bam.de/Eg15/>; www.ps.bam.de/Eg15/10L/L15G00NP.PS/.PDF BAM-Material: Code=rh4ta
Technische Information: [http://www.ps.bam.de/Version 2.1, io=1.1, ColSp=0](http://www.ps.bam.de/Version%202.1,io=1.1,ColSp=0)

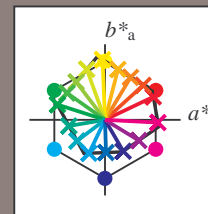
	A	B	C	D	E	F	G	H	I	J	K	L	M	N	O	P	Q	R	S	T	U	V	W	X	Y	Z	a	b	c	d	e	f	g	h	i	j	k	LAB*LAB*																																																																																																																																																																																																																																																																																																																																																																																																																																																																																																																																																																																																																																																																																																																																																																																																																																																													
01	20.0	24.1	28.1	32.2	36.2	40.3	44.4	48.4	52.5	56.6	60.7	64.8	68.9	72.9	77.0	81.1	85.2	89.3	93.4	97.5	101.6	105.7	109.8	113.9	118.0	122.1	126.2	130.3	134.4	138.5	142.6	146.7	150.8	154.9	159.0	163.1	167.2	171.3	175.4	179.5	183.6	187.7	191.8	195.9	200.0																																																																																																																																																																																																																																																																																																																																																																																																																																																																																																																																																																																																																																																																																																																																																																																																																																																						
	0.5	-7.5	-15.4	-23.3	-31.2	-39.1	-47.0	-55.0	-62.9	-70.8	-78.7	-86.6	-94.5	-102.4	-110.3	-118.2	-126.1	-134.0	-141.9	-149.8	-157.7	-165.6	-173.5	-181.4	-189.3	-197.2	-205.1	-213.0	-220.9	-228.8	-236.7	-244.6	-252.5	-260.4	-268.3	-276.2	-284.1	-292.0	-300.0	-307.9	-315.8	-323.7	-331.6	-339.5	-347.4	-355.3	-363.2	-371.1	-379.0	-386.9	-394.8	-402.7	-410.6	-418.5	-426.4	-434.3	-442.2	-450.1	-458.0	-465.9	-473.8	-481.7	-489.6	-497.5	-505.4	-513.3	-521.2	-529.1	-537.0	-544.9	-552.8	-560.7	-568.6	-576.5	-584.4	-592.3	-600.2	-608.1	-616.0	-623.9	-631.8	-639.7	-647.6	-655.5	-663.4	-671.3	-679.2	-687.1	-695.0	-702.9	-710.8	-718.7	-726.6	-734.5	-742.4	-750.3	-758.2	-766.1	-774.0	-781.9	-789.8	-797.7	-805.6	-813.5	-821.4	-829.3	-837.2	-845.1	-853.0	-860.9	-868.8	-876.7	-884.6	-892.5	-900.4	-908.3	-916.2	-924.1	-932.0	-939.9	-947.8	-955.7	-963.6	-971.5	-979.4	-987.3	-995.2	-1003.1	-1011.0	-1018.9	-1026.8	-1034.7	-1042.6	-1050.5	-1058.4	-1066.3	-1074.2	-1082.1	-1090.0	-1097.9	-1105.8	-1113.7	-1121.6	-1129.5	-1137.4	-1145.3	-1153.2	-1161.1	-1169.0	-1176.9	-1184.8	-1192.7	-1200.6	-1208.5	-1216.4	-1224.3	-1232.2	-1240.1	-1248.0	-1255.9	-1263.8	-1271.7	-1279.6	-1287.5	-1295.4	-1303.3	-1311.2	-1319.1	-1327.0	-1334.9	-1342.8	-1350.7	-1358.6	-1366.5	-1374.4	-1382.3	-1390.2	-1398.1	-1406.0	-1413.9	-1421.8	-1429.7	-1437.6	-1445.5	-1453.4	-1461.3	-1469.2	-1477.1	-1485.0	-1492.9	-1500.8	-1508.7	-1516.6	-1524.5	-1532.4	-1540.3	-1548.2	-1556.1	-1564.0	-1571.9	-1579.8	-1587.7	-1595.6	-1603.5	-1611.4	-1619.3	-1627.2	-1635.1	-1643.0	-1650.9	-1658.8	-1666.7	-1674.6	-1682.5	-1690.4	-1698.3	-1706.2	-1714.1	-1722.0	-1729.9	-1737.8	-1745.7	-1753.6	-1761.5	-1769.4	-1777.3	-1785.2	-1793.1	-1801.0	-1808.9	-1816.8	-1824.7	-1832.6	-1840.5	-1848.4	-1856.3	-1864.2	-1872.1	-1880.0	-1887.9	-1895.8	-1903.7	-1911.6	-1919.5	-1927.4	-1935.3	-1943.2	-1951.1	-1959.0	-1966.9	-1974.8	-1982.7	-1990.6	-1998.5	-2006.4	-2014.3	-2022.2	-2030.1	-2038.0	-2045.9	-2053.8	-2061.7	-2069.6	-2077.5	-2085.4	-2093.3	-2101.2	-2109.1	-2117.0	-2124.9	-2132.8	-2140.7	-2148.6	-2156.5	-2164.4	-2172.3	-2180.2	-2188.1	-2196.0	-2203.9	-2211.8	-2219.7	-2227.6	-2235.5	-2243.4	-2251.3	-2259.2	-2267.1	-2275.0	-2282.9	-2290.8	-2298.7	-2306.6	-2314.5	-2322.4	-2330.3	-2338.2	-2346.1	-2354.0	-2361.9	-2369.8	-2377.7	-2385.6	-2393.5	-2401.4	-2409.3	-2417.2	-2425.1	-2433.0	-2440.9	-2448.8	-2456.7	-2464.6	-2472.5	-2480.4	-2488.3	-2496.2	-2504.1	-2512.0	-2519.9	-2527.8	-2535.7	-2543.6	-2551.5	-2559.4	-2567.3	-2575.2	-2583.1	-2591.0	-2598.9	-2606.8	-2614.7	-2622.6	-2630.5	-2638.4	-2646.3	-2654.2	-2662.1	-2670.0	-2677.9	-2685.8	-2693.7	-2701.6	-2709.5	-2717.4	-2725.3	-2733.2	-2741.1	-2749.0	-2756.9	-2764.8	-2772.7	-2780.6	-2788.5	-2796.4	-2804.3	-2812.2	-2820.1	-2828.0	-2835.9	-2843.8	-2851.7	-2859.6	-2867.5	-2875.4	-2883.3	-2891.2	-2899.1	-2907.0	-2914.9	-2922.8	-2930.7	-2938.6	-2946.5	-2954.4	-2962.3	-2970.2	-2978.1	-2986.0	-2993.9	-3001.8	-3009.7	-3017.6	-3025.5	-3033.4	-3041.3	-3049.2	-3057.1	-3065.0	-3072.9	-3080.8	-3088.7	-3096.6	-3104.5	-3112.4	-3120.3	-3128.2	-3136.1	-3144.0	-3151.9	-3159.8	-3167.7	-3175.6	-3183.5	-3191.4	-3199.3	-3207.2	-3215.1	-3223.0	-3230.9	-3238.8	-3246.7	-3254.6	-3262.5	-3270.4	-3278.3	-3286.2	-3294.1	-3302.0	-3309.9	-3317.8	-3325.7	-3333.6	-3341.5	-3349.4	-3357.3	-3365.2	-3373.1	-3381.0	-3388.9	-3396.8	-3404.7	-3412.6	-3420.5	-3428.4	-3436.3	-3444.2	-3452.1	-3460.0	-3467.9	-3475.8	-3483.7	-3491.6	-3499.5	-3507.4	-3515.3	-3523.2	-3531.1	-3539.0	-3546.9	-3554.8	-3562.7	-3570.6	-3578.5	-3586.4	-3594.3	-3602.2	-3610.1	-3618.0	-3625.9	-3633.8	-3641.7	-3649.6	-3657.5	-3665.4	-3673.3	-3681.2	-3689.1	-3697.0	-3704.9	-3712.8	-3720.7	-3728.6	-3736.5	-3744.4	-3752.3	-3760.2	-3768.1	-3776.0	-3783.9	-3791.8	-3799.7	-3807.6	-3815.5	-3823.4	-3831.3	-3839.2	-3847.1	-3855.0	-3862.9	-3870.8	-3878.7	-3886.6	-3894.5	-3902.4	-3910.3	-3918.2	-3926.1	-3934.0	-3941.9	-3949.8	-3957.7	-3965.6	-3973.5	-3981.4	-3989.3	-3997.2	-4005.1	-4013.0	-4020.9	-4028.8	-4036.7	-4044.6	-4052.5	-4060.4	-4068.3	-4076.2	-4084.1	-4092.0	-4100.0	-4107.9	-4115.8	-4123.7	-4131.6	-4139.5	-4147.4	-4155.3	-4163.2	-4171.1	-4179.0	-4186.9	-4194.8	-4202.7	-4210.6	-4218.5	-4226.4	-4234.3	-4242.2	-4250.1	-4258.0	-4265.9	-4273.8	-4281.7	-4289.6	-4297.5	-4305.4	-4313.3	-4321.2	-4329.1	-4337.0	-4344.9	-4352.8	-4360.7	-4368.6	-4376.5	-4384.4	-4392.3	-4400.2	-4408.1	-4416.0	-4423.9	-4431.8	-4439.7	-4447.6	-4455.5	-4463.4	-4471.3	-4479.2	-4487.1	-4495.0	-4502.9	-4510.8	-4518.7	-4526.6	-4534.5	-4542.4	-4550.3	-4558.2	-4566.1	-4574.0	-4581.9	-4589.8	-4597.7	-4605.6	-4613.5	-4621.4	-4629.3	-4637.2	-4645.1	-4653.0	-4660.9	-4668.8	-4676.7	-4684.6	-4692.5	-4700.4	-4708.3	-4716.2	-4724.1	-4732.0	-4739.9	-4747.8	-4755.7	-4763.6	-4771.5	-4779.4	-4787.3	-4795.2	-4803.1	-4811.0	-4818.9	-4826.8	-4834.7	-4842.6	-4850.5	-4858.4	-4866.3	-4874.2	-4882.1	-4890.0	-4897.9	-4905.8	-4913.7	-4921.6	-4929.5	-4937.4	-4945.3	-4953.2	-4961.1	-4969.0	-4976.9	-4984.8	-4992.7	-5000.6	-5008.5	-5016.4	-5024.3	-5032.2	-5040.1	-5048.0	-5055.9	-5063.8	-5071.7	-5079.6	-5087.5	-5095.4	-5103.3	-5111.2	-5119.1	-5127.0	-5134.9	-5142.8	-5150.7	-5158.6	-5166.5	-5174.4	-5182.3	-5190.2	-5198.1	-5206.0	-5213.9	-5221.8	-5229.7	-5237.6	-5245.5	-5253.4	-5261.3	-5269.2	-5277.1	-5285.0	-5292.9	-5300.8	-5308.7	-5316.6	-5324.5	-5332.4	-5340.3	-5348.2	-5356.1	-5364.0	-5371.9	-5379.8	-5387.7	-5395.6	-5403.5	-5411.4	-5419.3	-5427.2	-5435.1	-5443.0	-5450.9	-5458.8	-5466.7	-5474.6	-5482.5	-5490.4	-5498.3	-5506.2	-5514.1	-5522.0	-5529.9	-5537.8	-5545.7	-5553.6	-5561.5	-5569.4	-5577.3	-5585.2	-5593.1	-5601.0	-5608.9	-5616.8	-5624.7	-5632.6	-5640.5	-5648.4	-5656.3	-5664.2	-5672.1	-5680.0	-5687.9	-5695.8	-5703.7	-5711.6	-5719.5	-5727.4	-5735.3	-5743.2	-5751.1	-5759.0	-5766.9	-5774.8	-5782.7	-5790.6	-5798.5	-5806.4	-5814.3	-5822.2	-5830.1	-5838.0	-5845.9	-5853.8	-5861.7	-5869.6	-5877.5	-5885.4	-5893.3	-5901.2	-5909.1	-5917.0	-5924.9	-5932.8	-5940.7	-5948.6	-5956.5	-5964.4	-5972.3	-5980.2	-5988.1	-5996.0	-6003.9	-6011.8	-6019.7	-6027.6	-6035.5	-6043.4	-6051.3	-6059.2	-6067.1	-6075.0	-6082.9	-6090.8	-6098.7	-6106.6	-6114.5	-6122.4	-6130.3	-6138.2	-6146.1	-6154.0	-6161.9	-6169.8	-6177.7	-6185.6	-6193.5	-6201.4	-6209.3	-6217.2	-6225.1	-6233.0	-6240.9	-6248.8	-6256.7	-6264.6	-6272.5	-6280.4	-6288.3	-6296.2	-6304.1	-6312.0	-6319.9	-6327.8	-6335.7	-6343.6	-6351.5	-6359.4	-6367.3	-6375.2	-6383.1	-6391.0	-6398.9	-6406.8	-6414.7	-6422.6	-6430.5	-6438.4	-6446.3	-6454.2	-6462.1	-6470.0	-6477.9	-6485.8	-6493.7	-6501.6	-6509.5	-6517.4	-6525.3	-6533.2	-6541.1	-6549.0	-6556.9	-6564.8	-6572.7	-6580.6	-6588.5	-6596.4	-6604.3	-6612.2	-6620.1	-6628.0	-6635.9	-6643.8	-6651.7	-6659.6	-6667.5	-6675.4	-6683.3	-6691.2	-6699.1	-6707.0	-6714.9	-6722.8	-6730.7	-6738.6	-6746.5	-6754.4	-6762.3	-6770.2	-6778.1	-6786.0	-6793.9	-6801.8	-6809.7	-6817.6	-6825.5	-6833.4	-6848

Ein und Ausgabe:
Farbmetrisches Drucker-Reflektiv-System ORS20_95a
Daten für jede Farbe:

u^*_e und Nummer $Nr.$ = 00 .. 15
Elementar-Bunttontext:
 $u^*_e = 16$ Bunttoene $r00j, r25j, \dots, b75r$
Kontrastreduzierungsfaktor:
 $c_R = 0.96$

ORS20_95a; adaptierte CIELAB-Daten

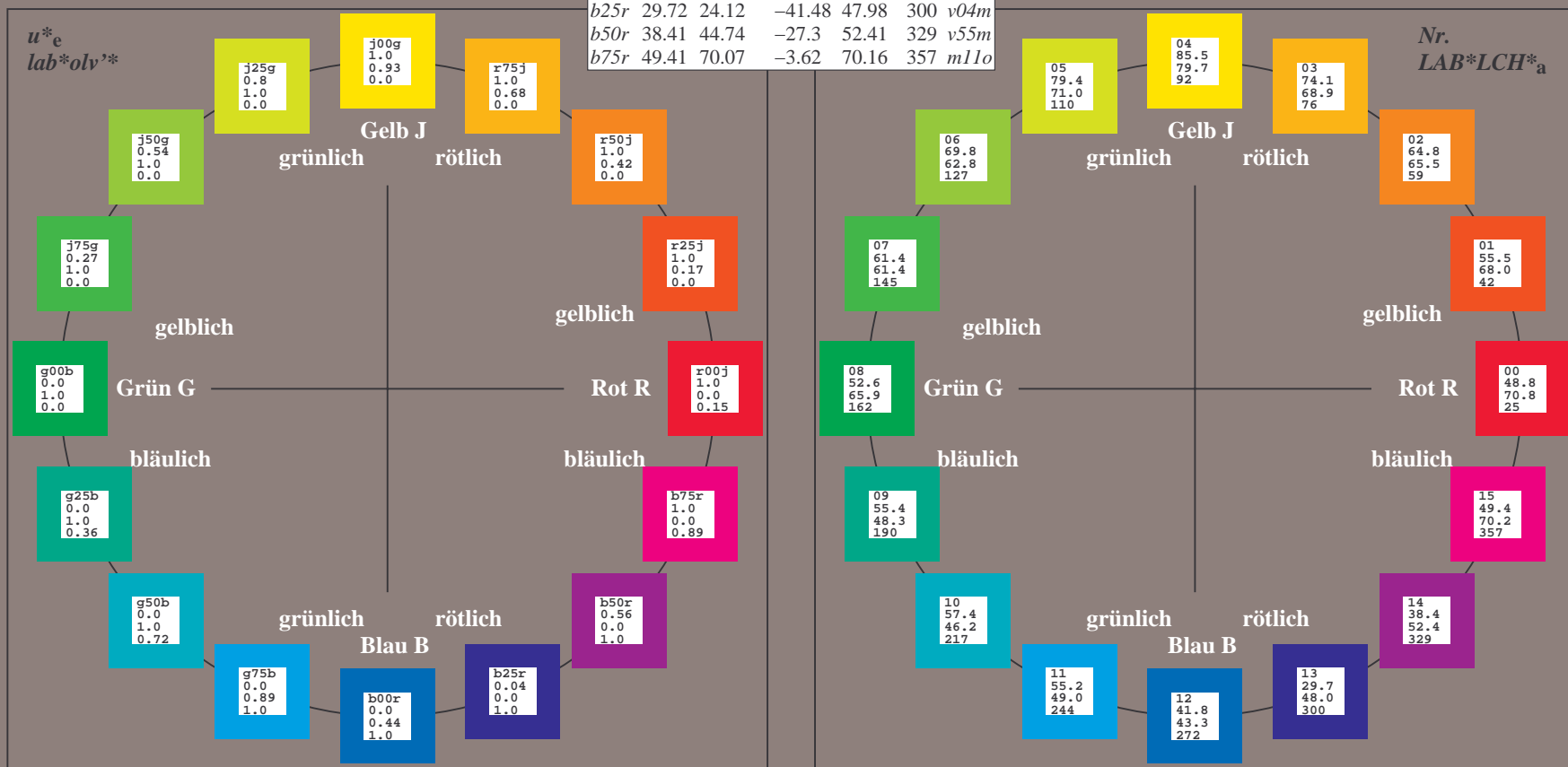
u^*_e	$L^*=L^*_a$	a^*_a	b^*_a	$C^*_{ab,a}$	$h^*_{ab,a}$	u^*_d
$r00j$	48.83	63.91	30.45	70.79	25	$m84o$
$r25j$	55.53	50.37	45.65	67.97	42	$o17y$
$r50j$	64.76	33.86	56.12	65.55	59	$o42y$
$r75j$	74.12	17.13	66.74	68.9	76	$o67y$
$j00g$	85.5	-3.22	79.65	79.72	92	$o92y$
$j25g$	79.45	-24.05	66.85	71.04	110	$y20l$
$j50g$	69.75	-38.03	49.98	62.8	127	$y46l$
$j75g$	61.38	-50.1	35.41	61.35	145	$y72l$
$g00b$	52.6	-62.77	20.12	65.92	162	$y99l$
$g25b$	55.39	-47.66	-8.06	48.34	190	$l36c$
$g50b$	57.43	-36.92	-27.8	46.22	217	$l72c$
$g75b$	55.19	-21.2	-44.17	48.99	244	$c11v$
$b00r$	41.84	1.31	-43.28	43.3	272	$c56v$
$b25r$	29.72	24.12	-41.48	47.98	300	$v04m$
$b50r$	38.41	44.74	-27.3	52.41	329	$v55m$
$b75r$	49.41	70.07	-3.62	70.16	357	$m11o$



%Umfang
 $u^*_{rel} = 83$
%Regularität
 $g^*_{H,rel} = 72$
 $g^*_{C,rel} = 57$

ORS20_95a; CIELAB-Daten

Name	$L^*=L^*_a$	a^*_a	b^*_a	C^*_{ab}	h^*_{ab}
O_M	48.71	62.65	39.19	73.89	32
Y_M	89.25	-10.36	85.91	86.53	97
L_M	52.5	-62.88	21.3	66.38	161
C_M	59.15	-27.92	-42.97	51.24	237
V_M	29.13	23.07	-41.51	47.5	299
M_M	49.51	71.15	-7.9	71.59	354
N_M	20.0	0.47	0.76	0.89	58
W_M	95.0	-0.52	2.11	2.17	104
R_{CIE}	39.92	58.74	27.99	65.07	25
J_{CIE}	81.26	-2.89	71.56	71.62	92
G_{CIE}	52.23	-42.42	13.6	44.55	162
B_{CIE}	30.57	1.41	-46.47	46.49	272



Ein und Ausgabe: Farbmetrisches Drucker-Reflektiv-System ORS20_95a für relativen CIELAB-Buntton $h^* = \text{lab}^*h^* = h_{ab}/360 = 0.071$

Daten für jede Farbe:

lab^*tch^* und lab^*icu^*

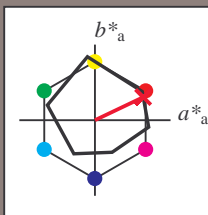
Bunttontexte:

$u^*_e = r00j$ $u^*_d = m84o$

Kontrastreduzierungsfaktor:

$c_R = 0.96$

Dreiecks-Helligkeit i^*



ORS20_95a; CIELAB-Daten

u^*_e	$L^*=L^*_a$	a^*	b^*	C^*_{ab}	h^*_{ab}
O _M	48.71	62.65	39.19	73.89	32
Y _M	89.25	-10.36	85.91	86.53	97
L _M	52.5	-62.88	21.3	66.38	161
C _M	59.15	-27.92	-42.97	51.24	237
V _M	29.13	23.07	-41.51	47.5	299
M _M	49.51	71.15	-7.9	71.59	354
N _M	20.0	0.47	0.76	0.89	58
W _M	95.0	-0.52	2.11	2.17	104
R _M	39.92	58.74	27.99	65.07	25
J _M	81.26	-2.89	71.56	71.62	92
G _M	52.23	-42.42	13.6	44.55	162
B _M	30.57	1.41	-46.47	46.49	272

Daten für Maximalfarbe (Ma):

$\text{LAB}^*\text{LAB}^*_{\text{Ma}}$: 49 64 30

$\text{LAB}^*\text{LCH}^*_{\text{Ma}}$: 49 71 25

$\text{lab}^*\text{rgb}^*_{\text{Ma}}$: 1.0 0.0 0.0

$\text{lab}^*\text{olv}^*_{\text{Ma}}$: 1.0 0.0 0.15

Dreiecks-Helligkeit i^*

%Umfang

$u^*_{\text{rel}} = 83$

%Regularität

$g^*_{H,\text{rel}} = 72$

$g^*_{C,\text{rel}} = 57$

ORS20_95a; adaptierte CIELAB-Daten

u^*_e	$L^*=L^*_a$	a^*_a	b^*_a	$C^*_{ab,a}$	$h^*_{ab,a}$	u^*_d
r00j	48.83	63.91	30.45	70.79	25	m84o
r25j	55.53	50.37	45.65	67.97	42	o17y
r50j	64.76	33.86	56.12	65.55	59	o42y
r75j	74.12	17.13	66.74	68.9	76	o67y
j00g	85.5	-3.22	79.65	79.72	92	o92y
j25g	79.45	-24.05	66.85	71.04	110	y20l
j50g	69.75	-38.03	49.98	62.8	127	y46l
j75g	61.38	-50.1	35.41	61.35	145	y72l
g00b	52.6	-62.77	20.12	65.92	162	y99l
g25b	55.39	-47.66	-8.06	48.34	190	l36c
g50b	57.43	-36.92	-27.8	46.22	217	l72c
g75b	55.19	-21.2	-44.17	48.99	244	c11v
b00r	41.84	1.31	-43.28	43.3	272	c56v
b25r	29.72	24.12	-41.48	47.98	300	v04m
b50r	38.41	44.74	-27.3	52.41	329	v55m
b75r	49.41	70.07	-3.62	70.16	357	m11o

lab^*olv^*

$i^* = 1.00$

Brillantheit i^*

$i^* = 0.80$

$i^* = 0.60$

$i^* = 0.40$

$i^* = 0.20$

$i^* = 0.00$

relative Buntheit c^*

relative Buntheit c^*

Ein und Ausgabe: Farbmetrisches Drucker-Reflektiv-System ORS20_95a für relativen CIELAB-Buntton $h^* = lab^*h^* = h_{ab}/360 = 0.117$

Daten für jede Farbe:

lab^*tch^* und lab^*icu^*

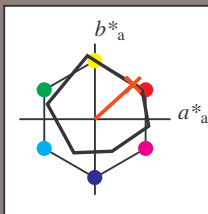
Bunttontexte:

$u^*_e = r25j$ $u^*_d = o17y$

Kontrastreduzierungsfaktor:

$c_R = 0.96$

Dreiecks-Helligkeit i^*



ORS20_95a; CIELAB-Daten						
u^*_e	$L^*=L^*_a$	a^*	b^*	C^*_{ab}	h^*_{ab}	
O _M	48.71	62.65	39.19	73.89	32	
Y _M	89.25	-10.36	85.91	86.53	97	
L _M	52.5	-62.88	21.3	66.38	161	
C _M	59.15	-27.92	-42.97	51.24	237	
V _M	29.13	23.07	-41.51	47.5	299	
M _M	49.51	71.15	-7.9	71.59	354	
N _M	20.0	0.47	0.76	0.89	58	
W _M	95.0	-0.52	2.11	2.17	104	
R _M	39.92	58.74	27.99	65.07	25	
J _M	81.26	-2.89	71.56	71.62	92	
G _M	52.23	-42.42	13.6	44.55	162	
B _M	30.57	1.41	-46.47	46.49	272	

Daten für Maximalfarbe (Ma):

$LAB^*LAB^*_{Ma}$: 56 50 46

$LAB^*LCH^*_{Ma}$: 56 68 42

$lab^*rgb^*_{Ma}$: 1.0 0.25 0.0

$lab^*olv^*_{Ma}$: 1.0 0.17 0.0

Dreiecks-Helligkeit i^*

%Umfang

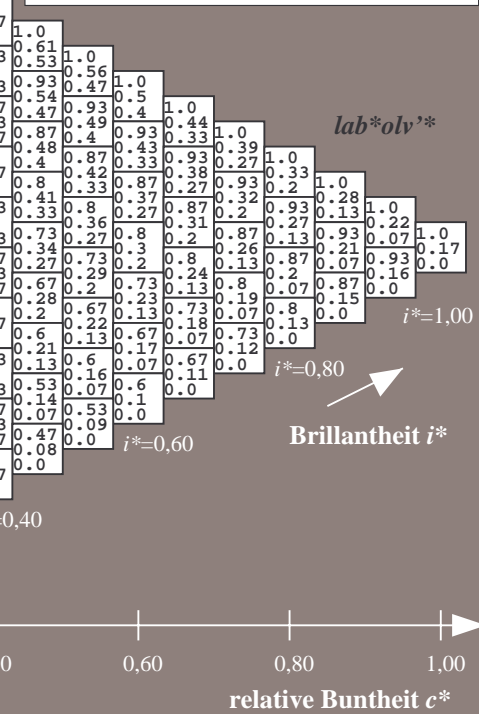
$u^*_{rel} = 83$

%Regularität

$g^*_{H,rel} = 72$

$g^*_{C,rel} = 57$

ORS20_95a; adaptierte CIELAB-Daten									
u^*_e	$L^*=L^*_a$	a^*_a	b^*_a	$C^*_{ab,a}$	$h^*_{ab,a}$	u^*_d			
r00j	48.83	63.91	30.45	70.79	25	m84o			
r25j	55.53	50.37	45.65	67.97	42	o17y			
r50j	64.76	33.86	56.12	65.55	59	o42y			
r75j	74.12	17.13	66.74	68.9	76	o67y			
j00g	85.5	-3.22	79.65	79.72	92	o92y			
j25g	79.45	-24.05	66.85	71.04	110	y20l			
j50g	69.75	-38.03	49.98	62.8	127	y46l			
j75g	61.38	-50.1	35.41	61.35	145	y72l			
g00b	52.6	-62.77	20.12	65.92	162	y99l			
g25b	55.39	-47.66	-8.06	48.34	190	l36c			
g50b	57.43	-36.92	-27.8	46.22	217	l72c			
g75b	55.19	-21.2	-44.17	48.99	244	c11v			
b00r	41.84	1.31	-43.28	43.3	272	c56v			
b25r	29.72	24.12	-41.48	47.98	300	v04m			
b50r	38.41	44.74	-27.3	52.41	329	v55m			
b75r	49.41	70.07	-3.62	70.16	357	m11o			



Ein und Ausgabe: Farbmetrisches Drucker-Reflektiv-System ORS20_95a für relativen CIELAB-Buntton $h^* = lab^*h^* = h_{ab}/360 = 0.164$

Daten für jede Farbe:

lab^*tch^* und lab^*icu^*

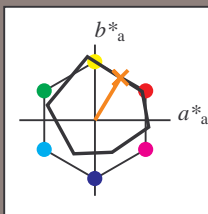
Bunttontexte:

$u^*_e = r50j$ $u^*_d = o42y$

Kontrastreduzierungsfaktor:

$c_R = 0.96$

Dreiecks-Helligkeit i^*



ORS20_95a; CIELAB-Daten

u^*_e	$L^*=L^*_a$	a^*	b^*	C^*_{ab}	h^*_{ab}
O _M	48.71	62.65	39.19	73.89	32
Y _M	89.25	-10.36	85.91	86.53	97
L _M	52.5	-62.88	21.3	66.38	161
C _M	59.15	-27.92	-42.97	51.24	237
V _M	29.13	23.07	-41.51	47.5	299
M _M	49.51	71.15	-7.9	71.59	354
N _M	20.0	0.47	0.76	0.89	58
W _M	95.0	-0.52	2.11	2.17	104
R _M	39.92	58.74	27.99	65.07	25
J _M	81.26	-2.89	71.56	71.62	92
G _M	52.23	-42.42	13.6	44.55	162
B _M	30.57	1.41	-46.47	46.49	272

Daten für Maximalfarbe (Ma):

$LAB^*LAB^*_{Ma}$: 65 34 56

$LAB^*LCH^*_{Ma}$: 65 66 58

$lab^*rgb^*_{Ma}$: 1.0 0.5 0.0

$lab^*olv^*_{Ma}$: 1.0 0.42 0.0

Dreiecks-Helligkeit i^*

%Umfang

$u^*_{rel} = 83$

%Regularität

$g^*_{H,rel} = 72$

$g^*_{C,rel} = 57$

ORS20_95a; adaptierte CIELAB-Daten

u^*_e	$L^*=L^*_a$	a^*_a	b^*_a	$C^*_{ab,a}$	$h^*_{ab,a}$	u^*_d
r00j	48.83	63.91	30.45	70.79	25	m84o
r25j	55.53	50.37	45.65	67.97	42	o17y
r50j	64.76	33.86	56.12	65.55	59	o42y
r75j	74.12	17.13	66.74	68.9	76	o67y
j00g	85.5	-3.22	79.65	79.72	92	o92y
j25g	79.45	-24.05	66.85	71.04	110	y20l
j50g	69.75	-38.03	49.98	62.8	127	y46l
j75g	61.38	-50.1	35.41	61.35	145	y72l
g00b	52.6	-62.77	20.12	65.92	162	y99l
g25b	55.39	-47.66	-8.06	48.34	190	l36c
g50b	57.43	-36.92	-27.8	46.22	217	l72c
g75b	55.19	-21.2	-44.17	48.99	244	c11v
b00r	41.84	1.31	-43.28	43.3	272	c56v
b25r	29.72	24.12	-41.48	47.98	300	v04m
b50r	38.41	44.74	-27.3	52.41	329	v55m
b75r	49.41	70.07	-3.62	70.16	357	m11o

lab^*olv^*

$i^* = 1.00$

Brillantheit i^*

$i^* = 0.80$

$i^* = 0.60$

$i^* = 0.40$

$i^* = 0.20$

$i^* = 0.00$

Ein und Ausgabe: Farbmetrisches Drucker-Reflektiv-System ORS20_95a für relativen CIELAB-Buntton $h^* = lab^*h^* = h_{ab}/360 = 0.21$

Daten für jede Farbe:

lab^*tch^* und lab^*icu^*

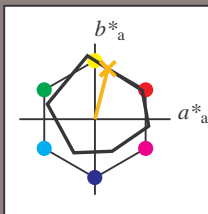
Bunttontexte:

$u^*_e = r75j$ $u^*_d = o67y$

Kontrastreduzierungsfaktor:

$c_R = 0.96$

Dreiecks-Helligkeit i^*



ORS20_95a; CIELAB-Daten

u^*_e	$L^*=L^*_a$	a^*	b^*	C^*_{ab}	h^*_{ab}
O _M	48.71	62.65	39.19	73.89	32
Y _M	89.25	-10.36	85.91	86.53	97
L _M	52.5	-62.88	21.3	66.38	161
C _M	59.15	-27.92	-42.97	51.24	237
V _M	29.13	23.07	-41.51	47.5	299
M _M	49.51	71.15	-7.9	71.59	354
N _M	20.0	0.47	0.76	0.89	58
W _M	95.0	-0.52	2.11	2.17	104
R _M	39.92	58.74	27.99	65.07	25
J _M	81.26	-2.89	71.56	71.62	92
G _M	52.23	-42.42	13.6	44.55	162
B _M	30.57	1.41	-46.47	46.49	272

Daten für Maximalfarbe (Ma):

$LAB^*LAB^*_{Ma}$: 74 17 67

$LAB^*LCH^*_{Ma}$: 74 69 75

$lab^*rgb^*_{Ma}$: 1.0 0.75 0.0

$lab^*olv^*_{Ma}$: 1.0 0.68 0.0

Dreiecks-Helligkeit i^*

%Umfang

$u^*_{rel} = 83$

%Regularität

$g^*_{H,rel} = 72$

$g^*_{C,rel} = 57$

ORS20_95a; adaptierte CIELAB-Daten

u^*_e	$L^*=L^*_a$	a^*_a	b^*_a	$C^*_{ab,a}$	$h^*_{ab,a}$	u^*_d
r00j	48.83	63.91	30.45	70.79	25	m84o
r25j	55.53	50.37	45.65	67.97	42	o17y
r50j	64.76	33.86	56.12	65.55	59	o42y
r75j	74.12	17.13	66.74	68.9	76	o67y
j00g	85.5	-3.22	79.65	79.72	92	o92y
j25g	79.45	-24.05	66.85	71.04	110	y20l
j50g	69.75	-38.03	49.98	62.8	127	y46l
j75g	61.38	-50.1	35.41	61.35	145	y72l
g00b	52.6	-62.77	20.12	65.92	162	y99l
g25b	55.39	-47.66	-8.06	48.34	190	l36c
g50b	57.43	-36.92	-27.8	46.22	217	l72c
g75b	55.19	-21.2	-44.17	48.99	244	c11v
b00r	41.84	1.31	-43.28	43.3	272	c56v
b25r	29.72	24.12	-41.48	47.98	300	v04m
b50r	38.41	44.74	-27.3	52.41	329	v55m
b75r	49.41	70.07	-3.62	70.16	357	m11o

lab^*olv^*

$i^* = 1.00$

Brillantheit i^*

$i^* = 0.80$

$i^* = 0.60$

$i^* = 0.40$

$i^* = 0.20$

$i^* = 0.00$

Ein und Ausgabe: Farbmetrisches Drucker-Reflektiv-System ORS20_95a für relativen CIELAB-Buntton $h^* = lab^*h^* = h_{ab}/360 = 0.305$

Daten für jede Farbe:

lab^*tch^* und lab^*icu^*

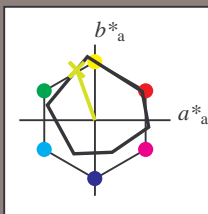
Bunttontexte:

$u^*_e = j25g$ $u^*_d = y20l$

Kontrastreduzierungsfaktor:

$c_R = 0.96$

Dreiecks-Helligkeit i^*



ORS20_95a; CIELAB-Daten

u^*_e	$L^*=L^*_a$	a^*	b^*	C^*_{ab}	h^*_{ab}
O _M	48.71	62.65	39.19	73.89	32
Y _M	89.25	-10.36	85.91	86.53	97
L _M	52.5	-62.88	21.3	66.38	161
C _M	59.15	-27.92	-42.97	51.24	237
V _M	29.13	23.07	-41.51	47.5	299
M _M	49.51	71.15	-7.9	71.59	354
N _M	20.0	0.47	0.76	0.89	58
W _M	95.0	-0.52	2.11	2.17	104
R _M	39.92	58.74	27.99	65.07	25
J _M	81.26	-2.89	71.56	71.62	92
G _M	52.23	-42.42	13.6	44.55	162
B _M	30.57	1.41	-46.47	46.49	272

Daten für Maximalfarbe (Ma):

$LAB^*LAB^*_{Ma}$: 79 -24 67

$LAB^*LCH^*_{Ma}$: 79 71 109

$lab^*rgb^*_{Ma}$: 0.75 1.0 0.0

$lab^*olv^*_{Ma}$: 0.8 1.0 0.0

Dreiecks-Helligkeit i^*

%Umfang

$u^*_{rel} = 83$

%Regularität

$g^*_{H,rel} = 72$

$g^*_{C,rel} = 57$

ORS20_95a; adaptierte CIELAB-Daten

u^*_e	$L^*=L^*_a$	a^*_a	b^*_a	$C^*_{ab,a}$	$h^*_{ab,a}$	u^*_d
r00j	48.83	63.91	30.45	70.79	25	m84o
r25j	55.53	50.37	45.65	67.97	42	o17y
r50j	64.76	33.86	56.12	65.55	59	o42y
r75j	74.12	17.13	66.74	68.9	76	o67y
j00g	85.5	-3.22	79.65	79.72	92	o92y
j25g	79.45	-24.05	66.85	71.04	110	y20l
j50g	69.75	-38.03	49.98	62.8	127	y46l
j75g	61.38	-50.1	35.41	61.35	145	y72l
g00b	52.6	-62.77	20.12	65.92	162	y99l
g25b	55.39	-47.66	-8.06	48.34	190	l36c
g50b	57.43	-36.92	-27.8	46.22	217	l72c
g75b	55.19	-21.2	-44.17	48.99	244	c11v
b00r	41.84	1.31	-43.28	43.3	272	c56v
b25r	29.72	24.12	-41.48	47.98	300	v04m
b50r	38.41	44.74	-27.3	52.41	329	v55m
b75r	49.41	70.07	-3.62	70.16	357	m11o

lab^*olv^*

$i^* = 1.00$

Brillantheit i^*

$i^* = 0.80$

$i^* = 0.60$

$i^* = 0.40$

$i^* = 0.20$

$i^* = 0.00$

relative Buntheit c^*

relative Buntheit c^*

$i^* = 0.00$

Ein und Ausgabe: Farbmetrisches Drucker-Reflektiv-System ORS20_95a für relativen CIELAB-Buntton $h^* = lab^*h^* = h_{ab}/360 = 0.354$

Daten für jede Farbe:

lab^*tch^* und lab^*icu^*

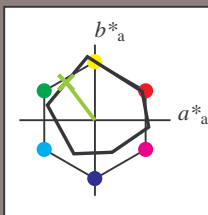
Bunttontexte:

$u^*_e = j50g$ $u^*_d = y46l$

Kontrastreduzierungsfaktor:

$c_R = 0.96$

Dreiecks-Helligkeit i^*



ORS20_95a; CIELAB-Daten						
u^*_e	$L^*=L^*_a$	a^*	b^*	C^*_{ab}	h^*_{ab}	
O _M	48.71	62.65	39.19	73.89	32	
Y _M	89.25	-10.36	85.91	86.53	97	
L _M	52.5	-62.88	21.3	66.38	161	
C _M	59.15	-27.92	-42.97	51.24	237	
V _M	29.13	23.07	-41.51	47.5	299	
M _M	49.51	71.15	-7.9	71.59	354	
N _M	20.0	0.47	0.76	0.89	58	
W _M	95.0	-0.52	2.11	2.17	104	
R _M	39.92	58.74	27.99	65.07	25	
J _M	81.26	-2.89	71.56	71.62	92	
G _M	52.23	-42.42	13.6	44.55	162	
B _M	30.57	1.41	-46.47	46.49	272	

Daten für Maximalfarbe (Ma):

$LAB^*LAB^*_{Ma}$: 70 -38 50

$LAB^*LCH^*_{Ma}$: 70 63 127

$lab^*rgb^*_{Ma}$: 0.5 1.0 0.0

$lab^*olv^*_{Ma}$: 0.54 1.0 0.0

Dreiecks-Helligkeit i^*

%Umfang

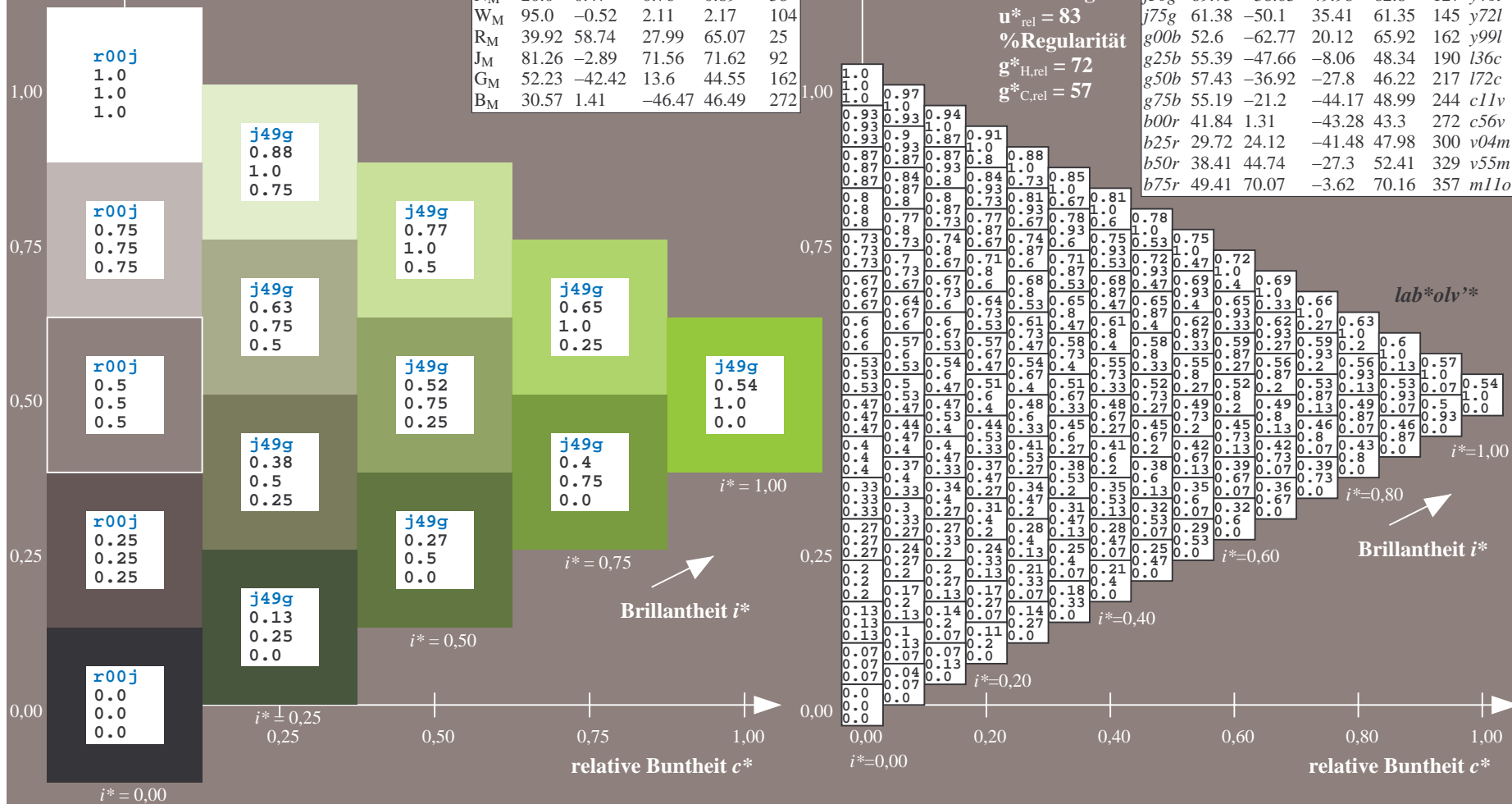
$u^*_{rel} = 83$

%Regularität

$g^*_{H,rel} = 72$

$g^*_{C,rel} = 57$

ORS20_95a; adaptierte CIELAB-Daten									
u^*_e	$L^*=L^*_a$	a^*_a	b^*_a	$C^*_{ab,a}$	$h^*_{ab,a}$	u^*_d			
r00j	48.83	63.91	30.45	70.79	25	m84o			
r25j	55.53	50.37	45.65	67.97	42	o17y			
r50j	64.76	33.86	56.12	65.55	59	o42y			
r75j	74.12	17.13	66.74	68.9	76	o67y			
j00g	85.5	-3.22	79.65	79.72	92	o92y			
j25g	79.45	-24.05	66.85	71.04	110	y20l			
j50g	69.75	-38.03	49.98	62.8	127	y46l			
j75g	61.38	-50.1	35.41	61.35	145	y72l			
g00b	52.6	-62.77	20.12	65.92	162	y99l			
g25b	55.39	-47.66	-8.06	48.34	190	l36c			
g50b	57.43	-36.92	-27.8	46.22	217	l72c			
g75b	55.19	-21.2	-44.17	48.99	244	c11v			
b00r	41.84	1.31	-43.28	43.3	272	c56v			
b25r	29.72	24.12	-41.48	47.98	300	v04m			
b50r	38.41	44.74	-27.3	52.41	329	v55m			
b75r	49.41	70.07	-3.62	70.16	357	m11o			



Ein und Ausgabe: Farbmetrisches Drucker-Reflektiv-System ORS20_95a für relativen CIELAB-Buntton $h^* = lab^*h^* = h_{ab}/360 = 0.402$

Daten für jede Farbe:

lab^*tch^* und lab^*icu^*

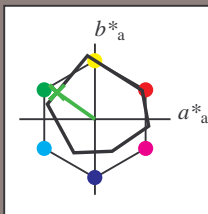
Bunttontexte:

$u^*_e = j75g$ $u^*_d = y72l$

Kontrastreduzierungsfaktor:

$c_R = 0.96$

Dreiecks-Helligkeit i^*



ORS20_95a; CIELAB-Daten						
u^*_e	$L^*=L^*_a$	a^*	b^*	C^*_{ab}	h^*_{ab}	
O _M	48.71	62.65	39.19	73.89	32	
Y _M	89.25	-10.36	85.91	86.53	97	
L _M	52.5	-62.88	21.3	66.38	161	
C _M	59.15	-27.92	-42.97	51.24	237	
V _M	29.13	23.07	-41.51	47.5	299	
M _M	49.51	71.15	-7.9	71.59	354	
N _M	20.0	0.47	0.76	0.89	58	
W _M	95.0	-0.52	2.11	2.17	104	
R _M	39.92	58.74	27.99	65.07	25	
J _M	81.26	-2.89	71.56	71.62	92	
G _M	52.23	-42.42	13.6	44.55	162	
B _M	30.57	1.41	-46.47	46.49	272	

Daten für Maximalfarbe (Ma):

$LAB^*LAB^*_{Ma}$: 61 -50 35

$LAB^*LCH^*_{Ma}$: 61 61 144

$lab^*rgb^*_{Ma}$: 0.25 1.0 0.0

$lab^*olv^*_{Ma}$: 0.27 1.0 0.0

Dreiecks-Helligkeit i^*

%Umfang

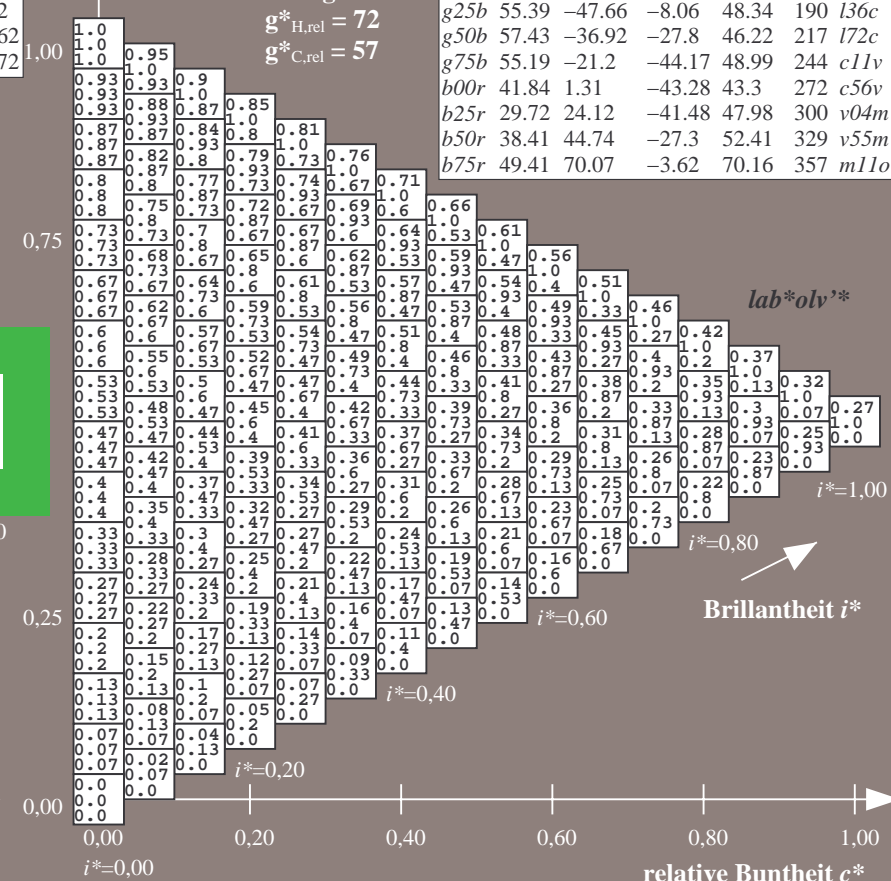
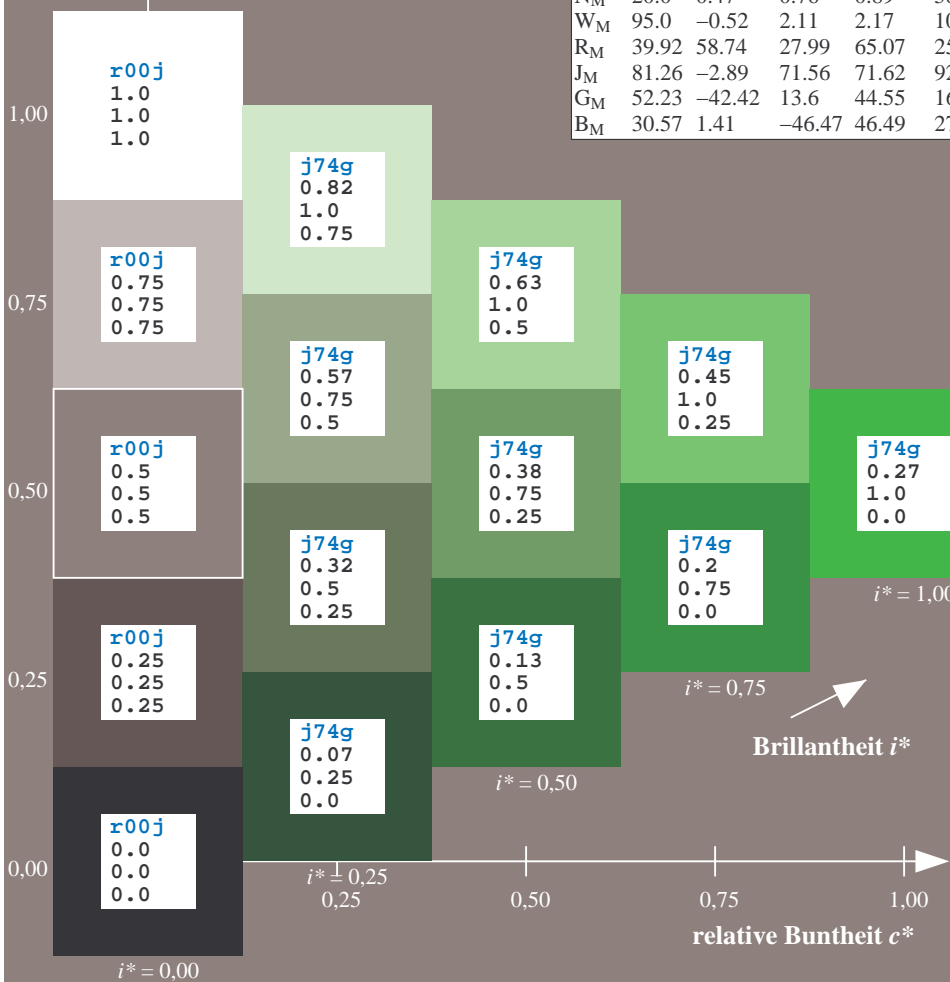
$u^*_{rel} = 83$

%Regularität

$g^*_{H,rel} = 72$

$g^*_{C,rel} = 57$

ORS20_95a; adaptierte CIELAB-Daten									
u^*_e	$L^*=L^*_a$	a^*_a	b^*_a	$C^*_{ab,a}$	$h^*_{ab,a}$	u^*_d			
r00j	48.83	63.91	30.45	70.79	25	m84o			
r25j	55.53	50.37	45.65	67.97	42	o17y			
r50j	64.76	33.86	56.12	65.55	59	o42y			
r75j	74.12	17.13	66.74	68.9	76	o67y			
j00g	85.5	-3.22	79.65	79.72	92	o92y			
j25g	79.45	-24.05	66.85	71.04	110	y20l			
j50g	69.75	-38.03	49.98	62.8	127	y46l			
j75g	61.38	-50.1	35.41	61.35	145	y72l			
g00b	52.6	-62.77	20.12	65.92	162	y99l			
g25b	55.39	-47.66	-8.06	48.34	190	l36c			
g50b	57.43	-36.92	-27.8	46.22	217	l72c			
g75b	55.19	-21.2	-44.17	48.99	244	c11v			
b00r	41.84	1.31	-43.28	43.3	272	c56v			
b25r	29.72	24.12	-41.48	47.98	300	v04m			
b50r	38.41	44.74	-27.3	52.41	329	v55m			
b75r	49.41	70.07	-3.62	70.16	357	m11o			



Ein und Ausgabe: Farbmetrisches Drucker-Reflektiv-System ORS20_95a für relativen CIELAB-Buntton $h^* = lab^*h^* = h_{ab}/360 = 0.451$

Daten für jede Farbe:

lab^*tch^* und lab^*icu^*

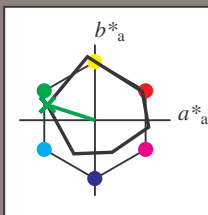
Bunttontexte:

$u^*_e = g00b$ $u^*_d = y99l$

Kontrastreduzierungsfaktor:

$c_R = 0.96$

Dreiecks-Helligkeit i^*



ORS20_95a; CIELAB-Daten						
u^*_e	$L^*=L^*_a$	a^*	b^*	C^*_{ab}	h^*_{ab}	
O _M	48.71	62.65	39.19	73.89	32	
Y _M	89.25	-10.36	85.91	86.53	97	
L _M	52.5	-62.88	21.3	66.38	161	
C _M	59.15	-27.92	-42.97	51.24	237	
V _M	29.13	23.07	-41.51	47.5	299	
M _M	49.51	71.15	-7.9	71.59	354	
N _M	20.0	0.47	0.76	0.89	58	
W _M	95.0	-0.52	2.11	2.17	104	
R _M	39.92	58.74	27.99	65.07	25	
J _M	81.26	-2.89	71.56	71.62	92	
G _M	52.23	-42.42	13.6	44.55	162	
B _M	30.57	1.41	-46.47	46.49	272	

Daten für Maximalfarbe (Ma):

$LAB^*LAB^*_{Ma}$: 53 -63 20

$LAB^*LCH^*_{Ma}$: 53 66 162

$lab^*rgb^*_{Ma}$: 0.0 1.0 0.0

$lab^*olv^*_{Ma}$: 0.0 1.0 0.0

Dreiecks-Helligkeit i^*

%Umfang

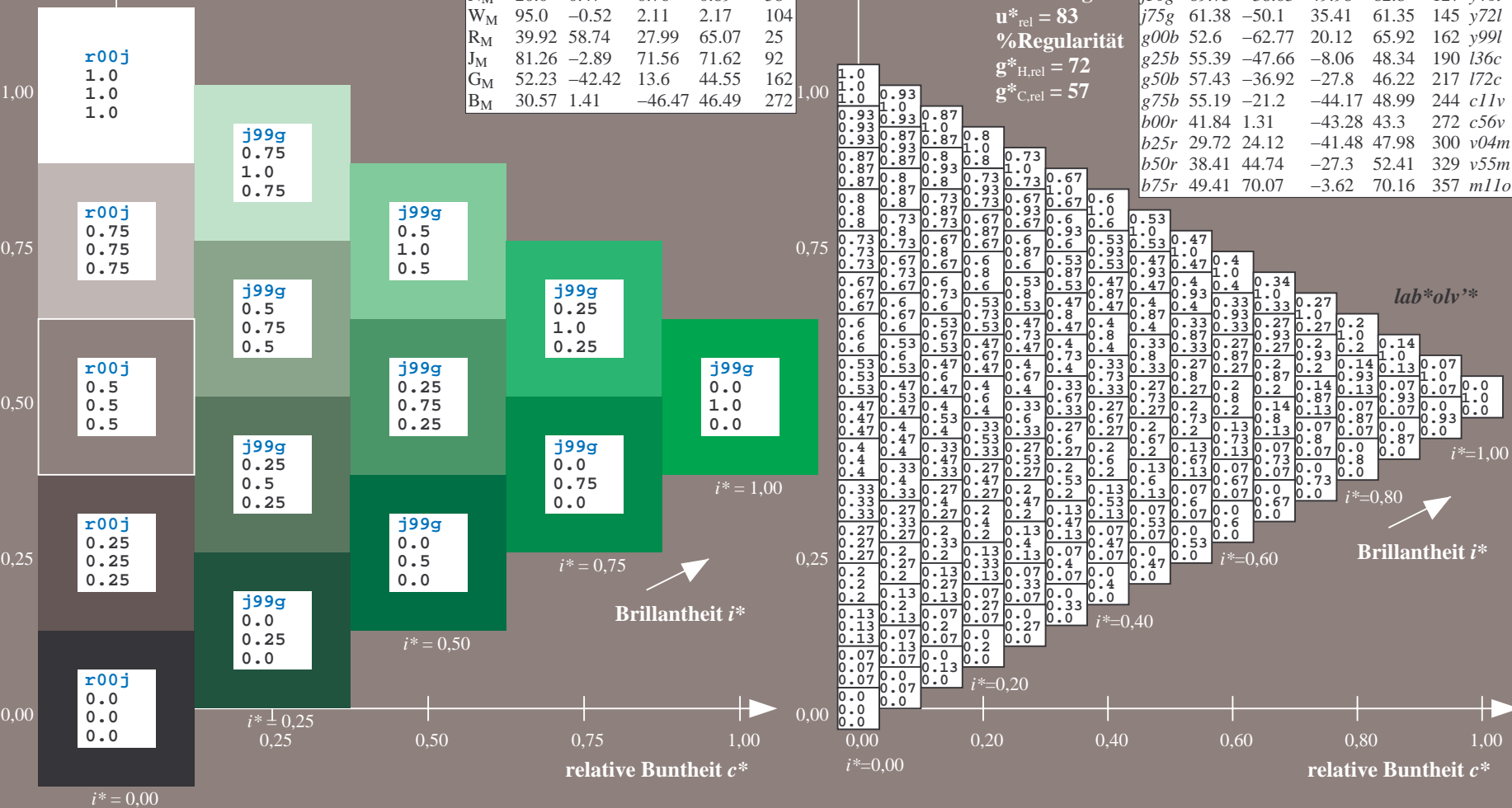
$u^*_{rel} = 83$

%Regularität

$g^*_{H,rel} = 72$

$g^*_{C,rel} = 57$

ORS20_95a; adaptierte CIELAB-Daten									
u^*_e	$L^*=L^*_a$	a^*_a	b^*_a	$C^*_{ab,a}$	$h^*_{ab,a}$	u^*_d			
r00j	48.83	63.91	30.45	70.79	25	m84o			
r25j	55.53	50.37	45.65	67.97	42	o17y			
r50j	64.76	33.86	56.12	65.55	59	o42y			
r75j	74.12	17.13	66.74	68.9	76	o67y			
j00g	85.5	-3.22	79.65	79.72	92	o92y			
j25g	79.45	-24.05	66.85	71.04	110	y20l			
j50g	69.75	-38.03	49.98	62.8	127	y46l			
j75g	61.38	-50.1	35.41	61.35	145	y72l			
g00b	52.6	-62.77	20.12	65.92	162	y99l			
g25b	55.39	-47.66	-8.06	48.34	190	l36c			
g50b	57.43	-36.92	-27.8	46.22	217	l72c			
g75b	55.19	-21.2	-44.17	48.99	244	c11v			
b00r	41.84	1.31	-43.28	43.3	272	c56v			
b25r	29.72	24.12	-41.48	47.98	300	v04m			
b50r	38.41	44.74	-27.3	52.41	329	v55m			
b75r	49.41	70.07	-3.62	70.16	357	m11o			



Ein und Ausgabe: Farbmetrisches Drucker-Reflektiv-System ORS20_95a für relativen CIELAB-Buntton $h^* = lab^*h^* = h_{ab}/360 = 0.527$

Daten für jede Farbe:

lab^*ch^* und lab^*icu^*

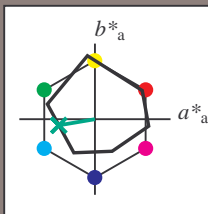
Bunttontexte:

$u^*_e = g25b$ $u^*_d = l36c$

Kontrastreduzierungsfaktor:

$c_R = 0.96$

Dreiecks-Helligkeit i^*



ORS20_95a; CIELAB-Daten						
u^*_e	$L^*=L^*_a$	a^*	b^*	C^*_{ab}	h^*_{ab}	
O _M	48.71	62.65	39.19	73.89	32	
Y _M	89.25	-10.36	85.91	86.53	97	
L _M	52.5	-62.88	21.3	66.38	161	
C _M	59.15	-27.92	-42.97	51.24	237	
V _M	29.13	23.07	-41.51	47.5	299	
M _M	49.51	71.15	-7.9	71.59	354	
N _M	20.0	0.47	0.76	0.89	58	
W _M	95.0	-0.52	2.11	2.17	104	
R _M	39.92	58.74	27.99	65.07	25	
J _M	81.26	-2.89	71.56	71.62	92	
G _M	52.23	-42.42	13.6	44.55	162	
B _M	30.57	1.41	-46.47	46.49	272	

Daten für Maximalfarbe (Ma):

$LAB^*LAB^*_{Ma}$: 55 -48 -8

$LAB^*LCH^*_{Ma}$: 55 48 189

$lab^*rgb^*_{Ma}$: 0.0 1.0 0.5

$lab^*olv^*_{Ma}$: 0.0 1.0 0.36

Dreiecks-Helligkeit i^*

%Umfang

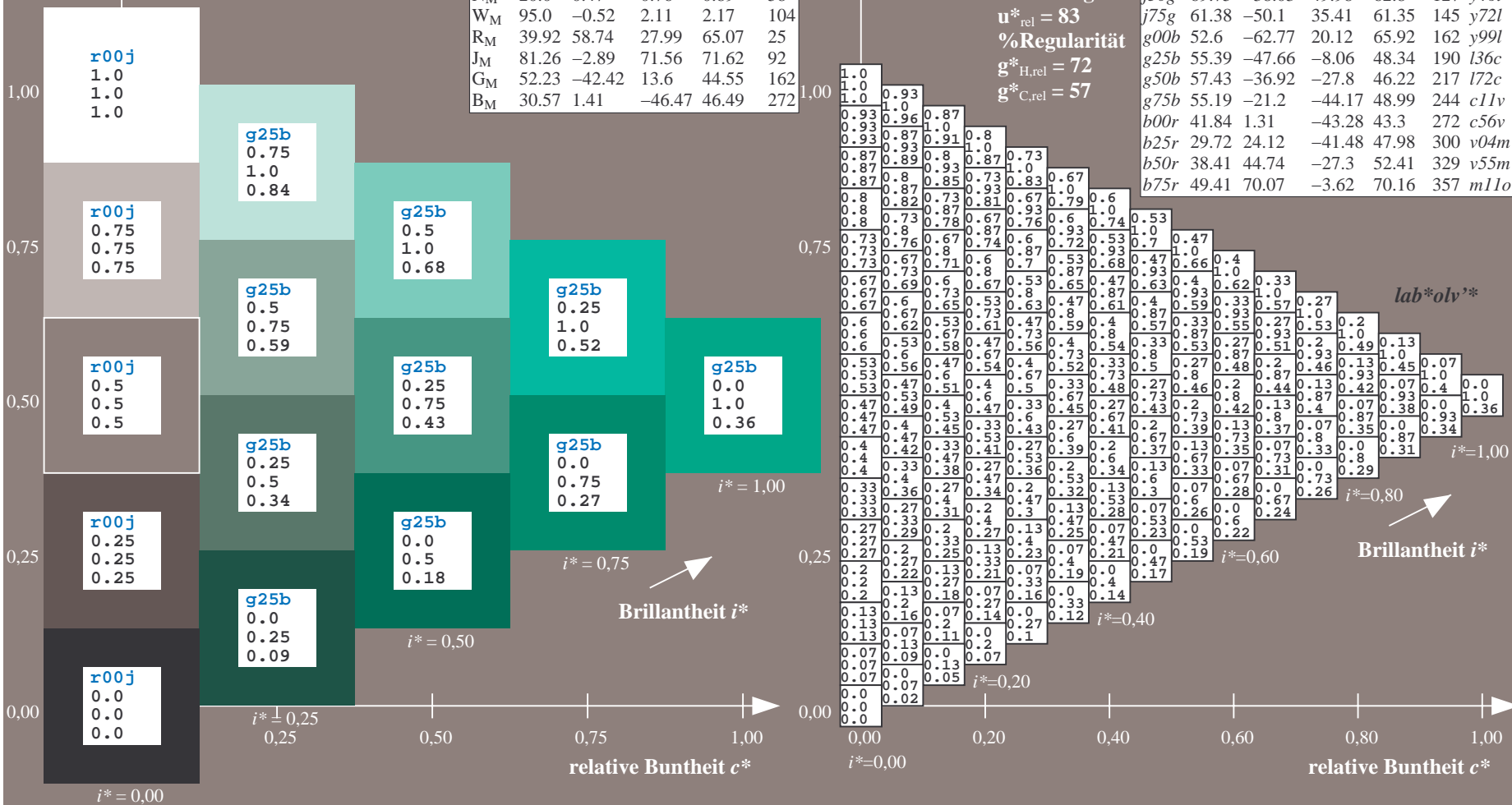
$u^*_{rel} = 83$

%Regularität

$g^*_{H,rel} = 72$

$g^*_{C,rel} = 57$

ORS20_95a; adaptierte CIELAB-Daten									
u^*_e	$L^*=L^*_a$	a^*_a	b^*_a	$C^*_{ab,a}$	$h^*_{ab,a}$	u^*_d			
r00j	48.83	63.91	30.45	70.79	25	m84o			
r25j	55.53	50.37	45.65	67.97	42	o17y			
r50j	64.76	33.86	56.12	65.55	59	o42y			
r75j	74.12	17.13	66.74	68.9	76	o67y			
j00g	85.5	-3.22	79.65	79.72	92	o92y			
j25g	79.45	-24.05	66.85	71.04	110	y20l			
j50g	69.75	-38.03	49.98	62.8	127	y46l			
j75g	61.38	-50.1	35.41	61.35	145	y72l			
g00b	52.6	-62.77	20.12	65.92	162	y99l			
g25b	55.39	-47.66	-8.06	48.34	190	l36c			
g50b	57.43	-36.92	-27.8	46.22	217	l72c			
g75b	55.19	-21.2	-44.17	48.99	244	c11v			
b00r	41.84	1.31	-43.28	43.3	272	c56v			
b25r	29.72	24.12	-41.48	47.98	300	v04m			
b50r	38.41	44.74	-27.3	52.41	329	v55m			
b75r	49.41	70.07	-3.62	70.16	357	m11o			



Ein und Ausgabe: Farbmetrisches Drucker-Reflektiv-System ORS20_95a für relativen CIELAB-Buntton $h^* = lab^*h^* = h_{ab}/360 = 0.603$

Daten für jede Farbe:

lab^*tch^* und lab^*icu^*

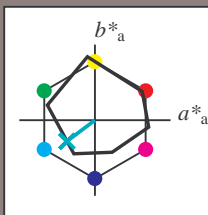
Bunttontexte:

$u^*_e = g50b$ $u^*_d = l72c$

Kontrastreduzierungsfaktor:

$c_R = 0.96$

Dreiecks-Helligkeit i^*



ORS20_95a; CIELAB-Daten

u^*_e	$L^*=L^*_a$	a^*	b^*	C^*_{ab}	h^*_{ab}
O _M	48.71	62.65	39.19	73.89	32
Y _M	89.25	-10.36	85.91	86.53	97
L _M	52.5	-62.88	21.3	66.38	161
C _M	59.15	-27.92	-42.97	51.24	237
V _M	29.13	23.07	-41.51	47.5	299
M _M	49.51	71.15	-7.9	71.59	354
N _M	20.0	0.47	0.76	0.89	58
W _M	95.0	-0.52	2.11	2.17	104
R _M	39.92	58.74	27.99	65.07	25
J _M	81.26	-2.89	71.56	71.62	92
G _M	52.23	-42.42	13.6	44.55	162
B _M	30.57	1.41	-46.47	46.49	272

Daten für Maximalfarbe (Ma):

$LAB^*LAB^*_{Ma}$: 57 -37 -28

$LAB^*LCH^*_{Ma}$: 57 46 216

$lab^*rgb^*_{Ma}$: 0.0 1.0 1.0

$lab^*olv^*_{Ma}$: 0.0 1.0 0.72

Dreiecks-Helligkeit i^*

%Umfang

$u^*_{rel} = 83$

%Regularität

$g^*_{H,rel} = 72$

$g^*_{C,rel} = 57$

ORS20_95a; adaptierte CIELAB-Daten

u^*_e	$L^*=L^*_a$	a^*_a	b^*_a	$C^*_{ab,a}$	$h^*_{ab,a}$	u^*_d
r00j	48.83	63.91	30.45	70.79	25	m84o
r25j	55.53	50.37	45.65	67.97	42	o17y
r50j	64.76	33.86	56.12	65.55	59	o42y
r75j	74.12	17.13	66.74	68.9	76	o67y
j00g	85.5	-3.22	79.65	79.72	92	o92y
j25g	79.45	-24.05	66.85	71.04	110	y20l
j50g	69.75	-38.03	49.98	62.8	127	y46l
j75g	61.38	-50.1	35.41	61.35	145	y72l
g00b	52.6	-62.77	20.12	65.92	162	y99l
g25b	55.39	-47.66	-8.06	48.34	190	l36c
g50b	57.43	-36.92	-27.8	46.22	217	l72c
g75b	55.19	-21.2	-44.17	48.99	244	c11v
b00r	41.84	1.31	-43.28	43.3	272	c56v
b25r	29.72	24.12	-41.48	47.98	300	v04m
b50r	38.41	44.74	-27.3	52.41	329	v55m
b75r	49.41	70.07	-3.62	70.16	357	m11o

lab^*olv^*

$i^* = 1.00$

Brillantheit i^*

$i^* = 0.80$

$i^* = 0.60$

$i^* = 0.40$

$i^* = 0.20$

$i^* = 0.00$

Ein und Ausgabe: Farbmetrisches Drucker-Reflektiv-System ORS20_95a für relativen CIELAB-Buntton $h^* = lab^*h^* = h_{ab}/360 = 0.679$

Daten für jede Farbe:

lab^*tch^* und lab^*icu^*

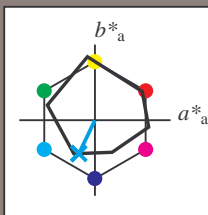
Bunttontexte:

$u^*_e = g75b$ $u^*_d = c11v$

Kontrastreduzierungsfaktor:

$c_R = 0.96$

Dreiecks-Helligkeit i^*



ORS20_95a; CIELAB-Daten						
u^*_e	$L^*=L^*_a$	a^*	b^*	C^*_{ab}	h^*_{ab}	
O _M	48.71	62.65	39.19	73.89	32	
Y _M	89.25	-10.36	85.91	86.53	97	
L _M	52.5	-62.88	21.3	66.38	161	
C _M	59.15	-27.92	-42.97	51.24	237	
V _M	29.13	23.07	-41.51	47.5	299	
M _M	49.51	71.15	-7.9	71.59	354	
N _M	20.0	0.47	0.76	0.89	58	
W _M	95.0	-0.52	2.11	2.17	104	
R _M	39.92	58.74	27.99	65.07	25	
J _M	81.26	-2.89	71.56	71.62	92	
G _M	52.23	-42.42	13.6	44.55	162	
B _M	30.57	1.41	-46.47	46.49	272	

Daten für Maximalfarbe (Ma):

$LAB^*LAB^*_{Ma}$: 55 -21 -44

$LAB^*LCH^*_{Ma}$: 55 49 244

$lab^*rgb^*_{Ma}$: 0.0 0.5 1.0

$lab^*olv^*_{Ma}$: 0.0 0.89 1.0

Dreiecks-Helligkeit i^*

%Umfang

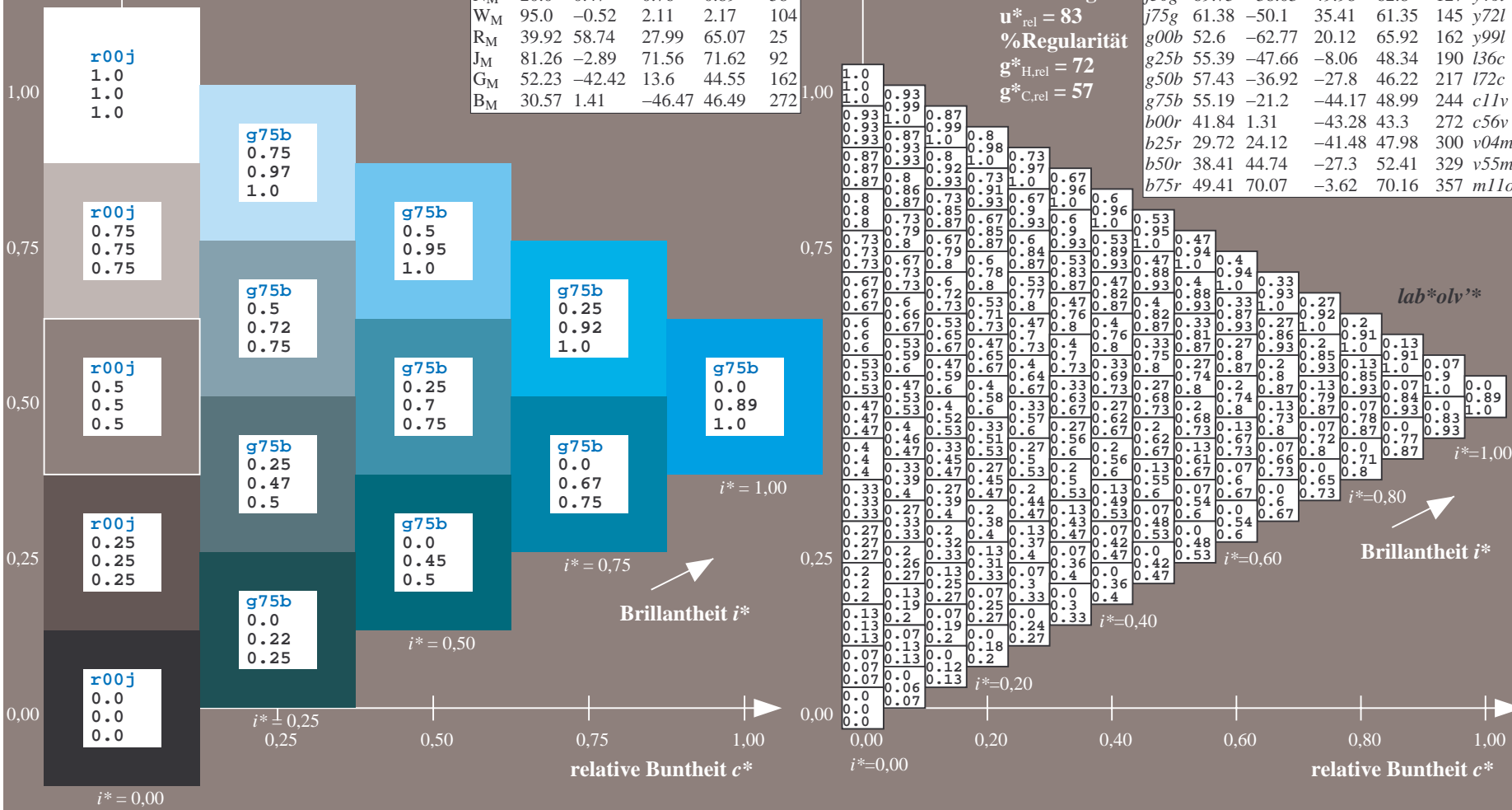
$u^*_{rel} = 83$

%Regularität

$g^*_{H,rel} = 72$

$g^*_{C,rel} = 57$

ORS20_95a; adaptierte CIELAB-Daten									
u^*_e	$L^*=L^*_a$	a^*_a	b^*_a	$C^*_{ab,a}$	$h^*_{ab,a}$	u^*_d			
r00j	48.83	63.91	30.45	70.79	25	m84o			
r25j	55.53	50.37	45.65	67.97	42	o17y			
r50j	64.76	33.86	56.12	65.55	59	o42y			
r75j	74.12	17.13	66.74	68.9	76	o67y			
j00g	85.5	-3.22	79.65	79.72	92	o92y			
j25g	79.45	-24.05	66.85	71.04	110	y20l			
j50g	69.75	-38.03	49.98	62.8	127	y46l			
j75g	61.38	-50.1	35.41	61.35	145	y72l			
g00b	52.6	-62.77	20.12	65.92	162	y99l			
g25b	55.39	-47.66	-8.06	48.34	190	l36c			
g50b	57.43	-36.92	-27.8	46.22	217	l72c			
g75b	55.19	-21.2	-44.17	48.99	244	c11v			
b00r	41.84	1.31	-43.28	43.3	272	c56v			
b25r	29.72	24.12	-41.48	47.98	300	v04m			
b50r	38.41	44.74	-27.3	52.41	329	v55m			
b75r	49.41	70.07	-3.62	70.16	357	m11o			



Ein und Ausgabe: Farbmetrisches Drucker-Reflektiv-System ORS20_95a für relativen CIELAB-Buntton $h^* = lab^*h^* = h_{ab}/360 = 0.755$

Daten für jede Farbe:

lab^*tch^* und lab^*icu^*

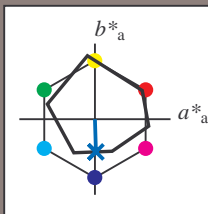
Bunttontexte:

$u^*_e = b00r$ $u^*_d = c56v$

Kontrastreduzierungsfaktor:

$c_R = 0.96$

Dreiecks-Helligkeit i^*



ORS20_95a; CIELAB-Daten						
u^*_e	$L^*=L^*_a$	a^*	b^*	C^*_{ab}	h^*_{ab}	
O _M	48.71	62.65	39.19	73.89	32	
Y _M	89.25	-10.36	85.91	86.53	97	
L _M	52.5	-62.88	21.3	66.38	161	
C _M	59.15	-27.92	-42.97	51.24	237	
V _M	29.13	23.07	-41.51	47.5	299	
M _M	49.51	71.15	-7.9	71.59	354	
N _M	20.0	0.47	0.76	0.89	58	
W _M	95.0	-0.52	2.11	2.17	104	
R _M	39.92	58.74	27.99	65.07	25	
J _M	81.26	-2.89	71.56	71.62	92	
G _M	52.23	-42.42	13.6	44.55	162	
B _M	30.57	1.41	-46.47	46.49	272	

Daten für Maximalfarbe (Ma):

$LAB^*LAB^*_{Ma}$: 42 1 -43

$LAB^*LCH^*_{Ma}$: 42 43 271

$lab^*rgb^*_{Ma}$: 0.0 0.0 1.0

$lab^*olv^*_{Ma}$: 0.0 0.44 1.0

Dreiecks-Helligkeit i^*

%Umfang

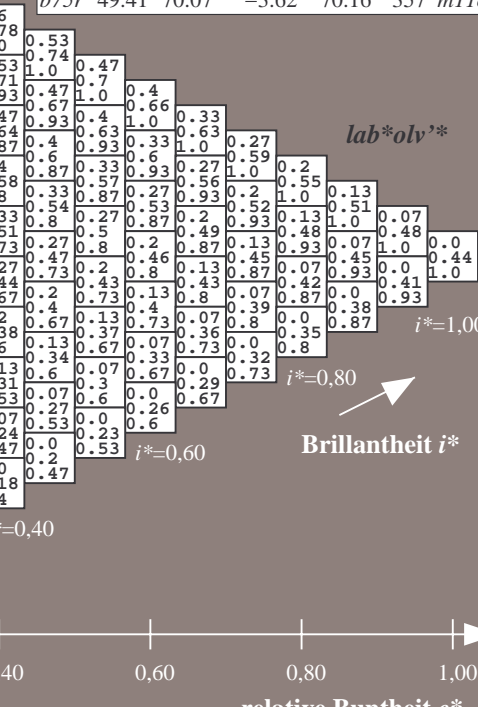
$u^*_{rel} = 83$

%Regularität

$g^*_{H,rel} = 72$

$g^*_{C,rel} = 57$

ORS20_95a; adaptierte CIELAB-Daten									
u^*_e	$L^*=L^*_a$	a^*_a	b^*_a	$C^*_{ab,a}$	$h^*_{ab,a}$	u^*_d			
r00j	48.83	63.91	30.45	70.79	25	m84o			
r25j	55.53	50.37	45.65	67.97	42	o17y			
r50j	64.76	33.86	56.12	65.55	59	o42y			
r75j	74.12	17.13	66.74	68.9	76	o67y			
j00g	85.5	-3.22	79.65	79.72	92	o92y			
j25g	79.45	-24.05	66.85	71.04	110	y20l			
j50g	69.75	-38.03	49.98	62.8	127	y46l			
j75g	61.38	-50.1	35.41	61.35	145	y72l			
g00b	52.6	-62.77	20.12	65.92	162	y99l			
g25b	55.39	-47.66	-8.06	48.34	190	l36c			
g50b	57.43	-36.92	-27.8	46.22	217	l72c			
g75b	55.19	-21.2	-44.17	48.99	244	c11v			
b00r	41.84	1.31	-43.28	43.3	272	c56v			
b25r	29.72	24.12	-41.48	47.98	300	v04m			
b50r	38.41	44.74	-27.3	52.41	329	v55m			
b75r	49.41	70.07	-3.62	70.16	357	m11o			



Ein und Ausgabe: Farbmetrisches Drucker-Reflektiv-System ORS20_95a für relativen CIELAB-Buntton $h^* = lab^*h^* = h_{ab}/360 = 0.834$

Daten für jede Farbe:

lab^*tch^* und lab^*icu^*

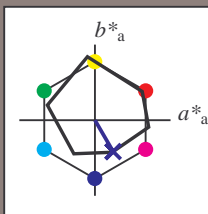
Bunttontexte:

$u^*_e = b25r$ $u^*_d = v04m$

Kontrastreduzierungsfaktor:

$c_R = 0.96$

Dreiecks-Helligkeit i^*



ORS20_95a; CIELAB-Daten						
u^*_e	$L^*=L^*_a$	a^*	b^*	C^*_{ab}	h^*_{ab}	
O _M	48.71	62.65	39.19	73.89	32	
Y _M	89.25	-10.36	85.91	86.53	97	
L _M	52.5	-62.88	21.3	66.38	161	
C _M	59.15	-27.92	-42.97	51.24	237	
V _M	29.13	23.07	-41.51	47.5	299	
M _M	49.51	71.15	-7.9	71.59	354	
N _M	20.0	0.47	0.76	0.89	58	
W _M	95.0	-0.52	2.11	2.17	104	
R _M	39.92	58.74	27.99	65.07	25	
J _M	81.26	-2.89	71.56	71.62	92	
G _M	52.23	-42.42	13.6	44.55	162	
B _M	30.57	1.41	-46.47	46.49	272	

Daten für Maximalfarbe (Ma):

$LAB^*LAB^*_{Ma}$: 30 24 -41

$LAB^*LCH^*_{Ma}$: 30 48 300

$lab^*rgb^*_{Ma}$: 0.5 0.0 1.0

$lab^*olv^*_{Ma}$: 0.04 0.0 1.0

Dreiecks-Helligkeit i^*

%Umfang

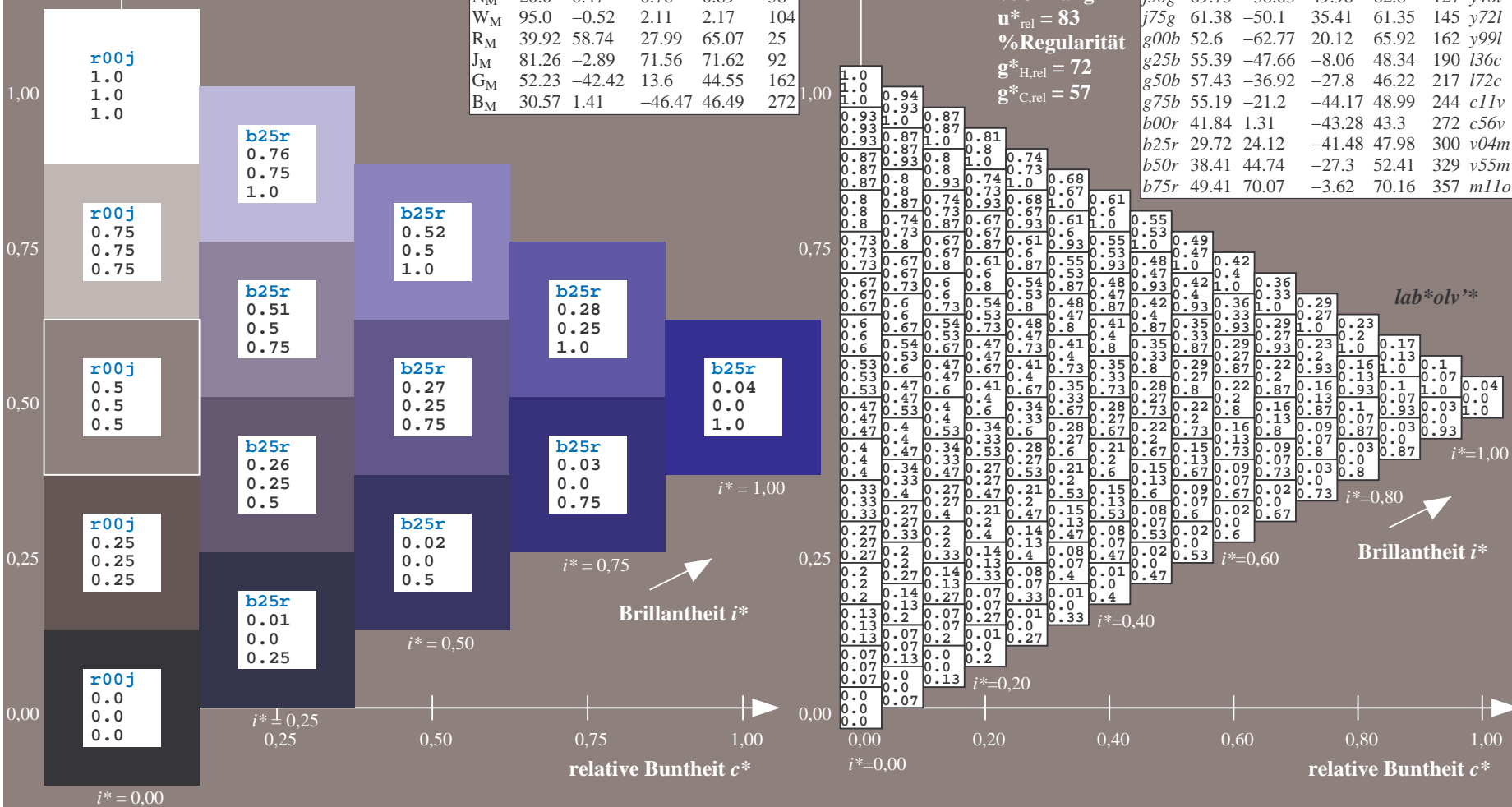
$u^*_{rel} = 83$

%Regularität

$g^*_{H,rel} = 72$

$g^*_{C,rel} = 57$

ORS20_95a; adaptierte CIELAB-Daten									
u^*_e	$L^*=L^*_a$	a^*_a	b^*_a	$C^*_{ab,a}$	$h^*_{ab,a}$	u^*_d			
r00j	48.83	63.91	30.45	70.79	25	m84o			
r25j	55.53	50.37	45.65	67.97	42	o17y			
r50j	64.76	33.86	56.12	65.55	59	o42y			
r75j	74.12	17.13	66.74	68.9	76	o67y			
j00g	85.5	-3.22	79.65	79.72	92	o92y			
j25g	79.45	-24.05	66.85	71.04	110	y20l			
j50g	69.75	-38.03	49.98	62.8	127	y46l			
j75g	61.38	-50.1	35.41	61.35	145	y72l			
g00b	52.6	-62.77	20.12	65.92	162	y99l			
g25b	55.39	-47.66	-8.06	48.34	190	l36c			
g50b	57.43	-36.92	-27.8	46.22	217	l72c			
g75b	55.19	-21.2	-44.17	48.99	244	c11v			
b00r	41.84	1.31	-43.28	43.3	272	c56v			
b25r	29.72	24.12	-41.48	47.98	300	v04m			
b50r	38.41	44.74	-27.3	52.41	329	v55m			
b75r	49.41	70.07	-3.62	70.16	357	m11o			



Ein und Ausgabe: Farbmetrisches Drucker-Reflektiv-System ORS20_95a für relativen CIELAB-Buntton $h^* = lab^*h^* = h_{ab}/360 = 0.913$

Daten für jede Farbe:
 lab^*tch^* und lab^*icu^*

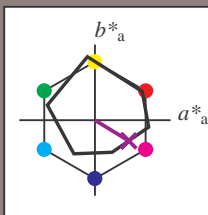
Bunttontexte:

$u^*_e = b50r$ $u^*_d = v55m$

Kontrastreduzierungsfaktor:

$c_R = 0.96$

Dreiecks-Helligkeit i^*



ORS20_95a; CIELAB-Daten						
u^*_e	$L^*=L^*_a$	a^*	b^*	C^*_{ab}	h^*_{ab}	
O _M	48.71	62.65	39.19	73.89	32	
Y _M	89.25	-10.36	85.91	86.53	97	
L _M	52.5	-62.88	21.3	66.38	161	
C _M	59.15	-27.92	-42.97	51.24	237	
V _M	29.13	23.07	-41.51	47.5	299	
M _M	49.51	71.15	-7.9	71.59	354	
N _M	20.0	0.47	0.76	0.89	58	
W _M	95.0	-0.52	2.11	2.17	104	
R _M	39.92	58.74	27.99	65.07	25	
J _M	81.26	-2.89	71.56	71.62	92	
G _M	52.23	-42.42	13.6	44.55	162	
B _M	30.57	1.41	-46.47	46.49	272	

Daten für Maximalfarbe (Ma):

$LAB^*LAB^*_{Ma}$: 38 45 -27

$LAB^*LCH^*_{Ma}$: 38 52 328

$lab^*rgb^*_{Ma}$: 1.0 0.0 1.0

$lab^*olv^*_{Ma}$: 0.56 0.0 1.0

Dreiecks-Helligkeit i^*

%Umfang

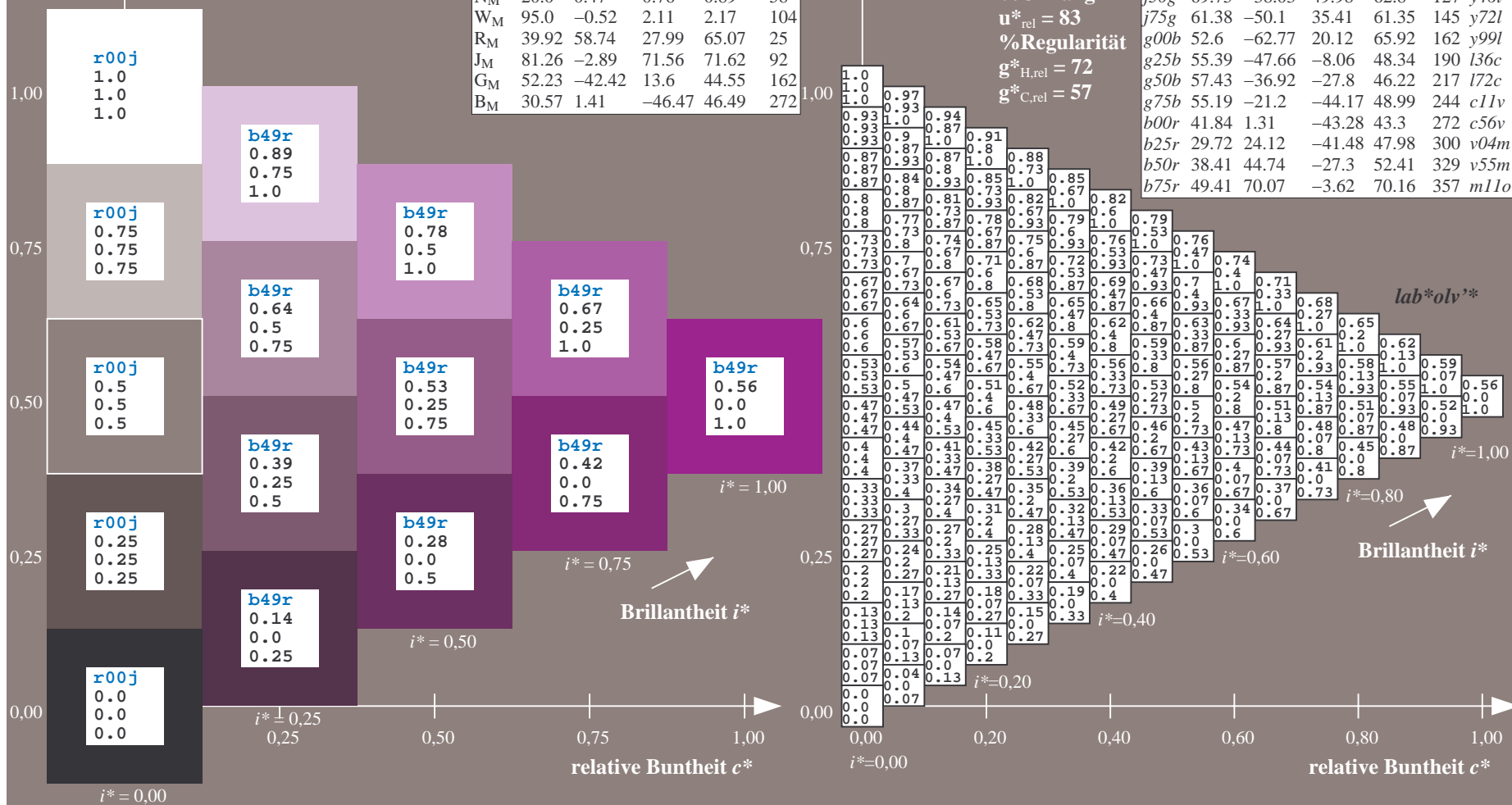
$u^*_{rel} = 83$

%Regularität

$g^*_{H,rel} = 72$

$g^*_{C,rel} = 57$

ORS20_95a; adaptierte CIELAB-Daten									
u^*_e	$L^*=L^*_a$	a^*_a	b^*_a	$C^*_{ab,a}$	$h^*_{ab,a}$	u^*_d			
r00j	48.83	63.91	30.45	70.79	25	m84o			
r25j	55.53	50.37	45.65	67.97	42	o17y			
r50j	64.76	33.86	56.12	65.55	59	o42y			
r75j	74.12	17.13	66.74	68.9	76	o67y			
j00g	85.5	-3.22	79.65	79.72	92	o92y			
j25g	79.45	-24.05	66.85	71.04	110	y20l			
j50g	69.75	-38.03	49.98	62.8	127	y46l			
j75g	61.38	-50.1	35.41	61.35	145	y72l			
g00b	52.6	-62.77	20.12	65.92	162	y99l			
g25b	55.39	-47.66	-8.06	48.34	190	l36c			
g50b	57.43	-36.92	-27.8	46.22	217	l72c			
g75b	55.19	-21.2	-44.17	48.99	244	c11v			
b00r	41.84	1.31	-43.28	43.3	272	c56v			
b25r	29.72	24.12	-41.48	47.98	300	v04m			
b50r	38.41	44.74	-27.3	52.41	329	v55m			
b75r	49.41	70.07	-3.62	70.16	357	m11o			



Ein und Ausgabe: Farbmetrisches Drucker-Reflektiv-System ORS20_95a für relativen CIELAB-Buntton $h^* = lab^*h^* = h_{ab}/360 = 0.992$

Daten für jede Farbe:

lab^*tch^* und lab^*icu^*

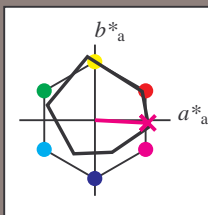
Bunttontexte:

$u^*_e = b75r$ $u^*_d = m11o$

Kontrastreduzierungsfaktor:

$c_R = 0.96$

Dreiecks-Helligkeit i^*



ORS20_95a; CIELAB-Daten						
u^*_e	$L^*=L^*_a$	a^*	b^*	C^*_{ab}	h^*_{ab}	
O _M	48.71	62.65	39.19	73.89	32	
Y _M	89.25	-10.36	85.91	86.53	97	
L _M	52.5	-62.88	21.3	66.38	161	
C _M	59.15	-27.92	-42.97	51.24	237	
V _M	29.13	23.07	-41.51	47.5	299	
M _M	49.51	71.15	-7.9	71.59	354	
N _M	20.0	0.47	0.76	0.89	58	
W _M	95.0	-0.52	2.11	2.17	104	
R _M	39.92	58.74	27.99	65.07	25	
J _M	81.26	-2.89	71.56	71.62	92	
G _M	52.23	-42.42	13.6	44.55	162	
B _M	30.57	1.41	-46.47	46.49	272	

Daten für Maximalfarbe (Ma):

$LAB^*LAB^*_{Ma}$: 49 70 -4

$LAB^*LCH^*_{Ma}$: 49 70 357

$lab^*rgb^*_{Ma}$: 1.0 0.0 0.5

$lab^*olv^*_{Ma}$: 1.0 0.0 0.89

Dreiecks-Helligkeit i^*

%Umfang

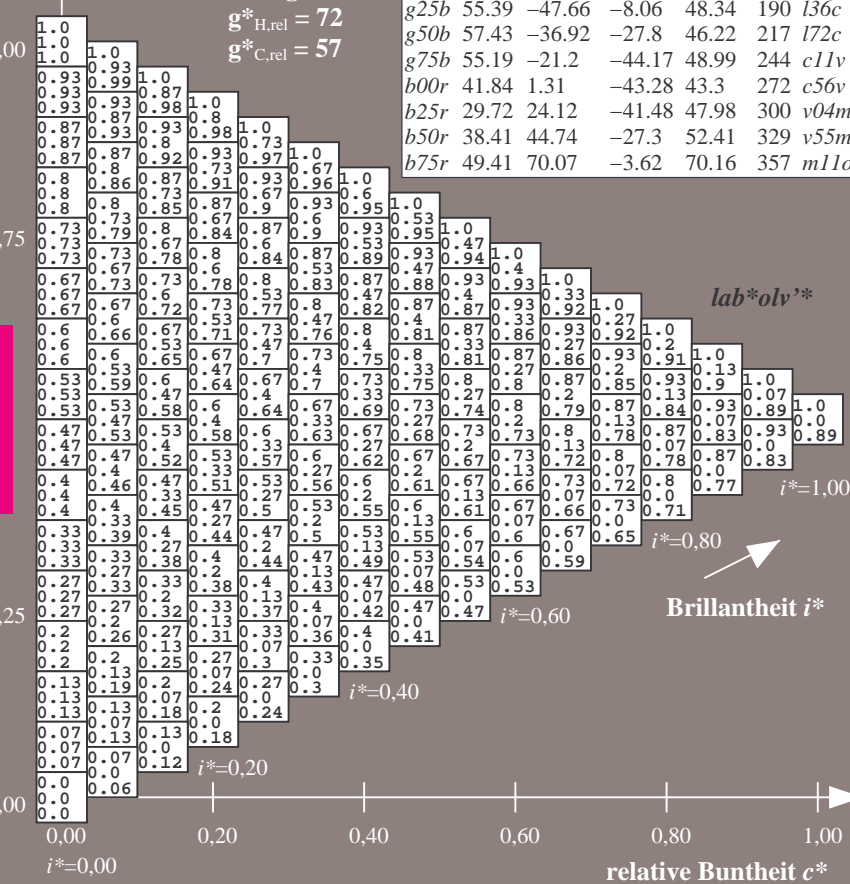
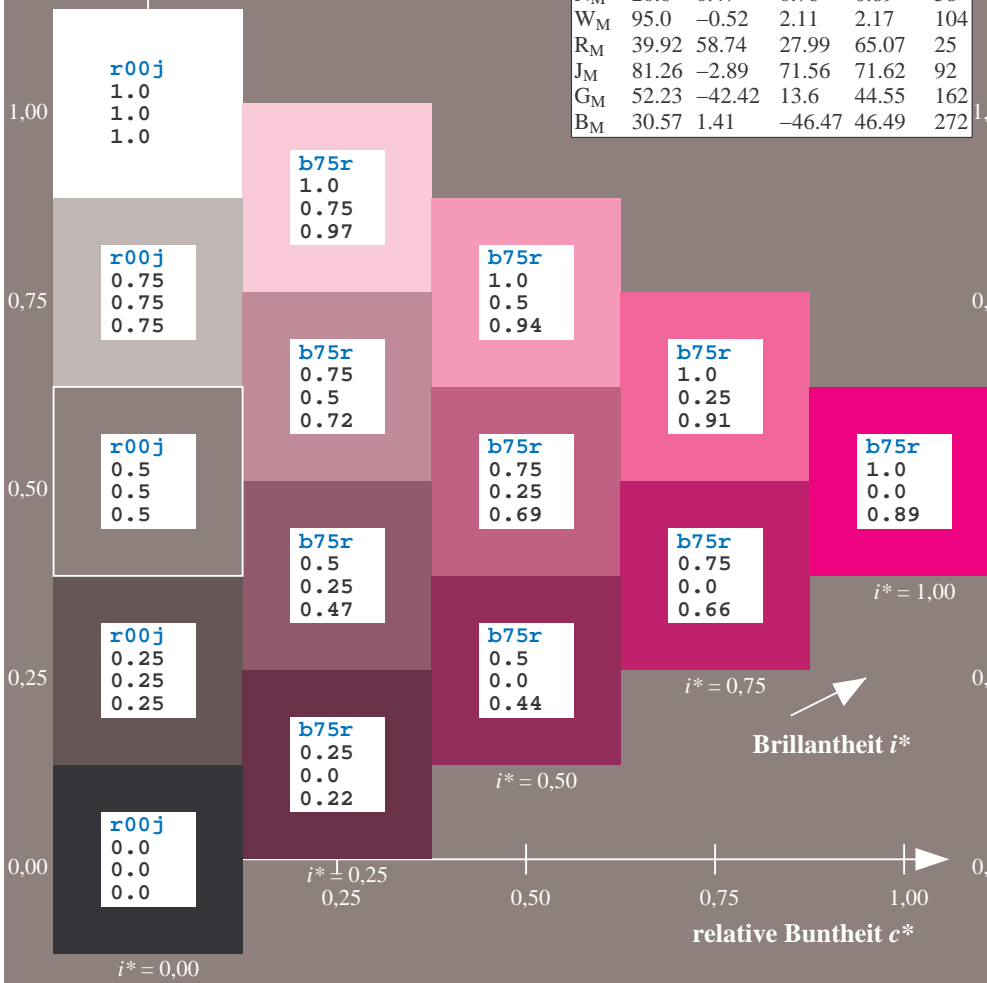
$u^*_{rel} = 83$

%Regularität

$g^*_{H,rel} = 72$

$g^*_{C,rel} = 57$

ORS20_95a; adaptierte CIELAB-Daten									
u^*_e	$L^*=L^*_a$	a^*_a	b^*_a	$C^*_{ab,a}$	$h^*_{ab,a}$	u^*_d			
r00j	48.83	63.91	30.45	70.79	25	m84o			
r25j	55.53	50.37	45.65	67.97	42	o17y			
r50j	64.76	33.86	56.12	65.55	59	o42y			
r75j	74.12	17.13	66.74	68.9	76	o67y			
j00g	85.5	-3.22	79.65	79.72	92	o92y			
j25g	79.45	-24.05	66.85	71.04	110	y20l			
j50g	69.75	-38.03	49.98	62.8	127	y46l			
j75g	61.38	-50.1	35.41	61.35	145	y72l			
g00b	52.6	-62.77	20.12	65.92	162	y99l			
g25b	55.39	-47.66	-8.06	48.34	190	l36c			
g50b	57.43	-36.92	-27.8	46.22	217	l72c			
g75b	55.19	-21.2	-44.17	48.99	244	c11v			
b00r	41.84	1.31	-43.28	43.3	272	c56v			
b25r	29.72	24.12	-41.48	47.98	300	v04m			
b50r	38.41	44.74	-27.3	52.41	329	v55m			
b75r	49.41	70.07	-3.62	70.16	357	m11o			

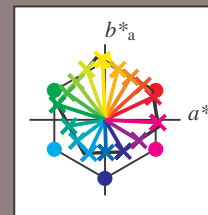


Ein und Ausgabe:
Farbmetrisches Drucker-Reflektiv-System ORS20_95a
Daten für jede Farbe:

u^*_e und Nummer $Nr.$ = 00 .. 15
Elementar-Bunttontext:
 $u^*_e = 16$ Bunttoene $r00j, r25j, \dots, b75r$
Kontrastreduzierungsfaktor:
 $c_R = 0.96$

ORS20_95a; adaptierte CIELAB-Daten

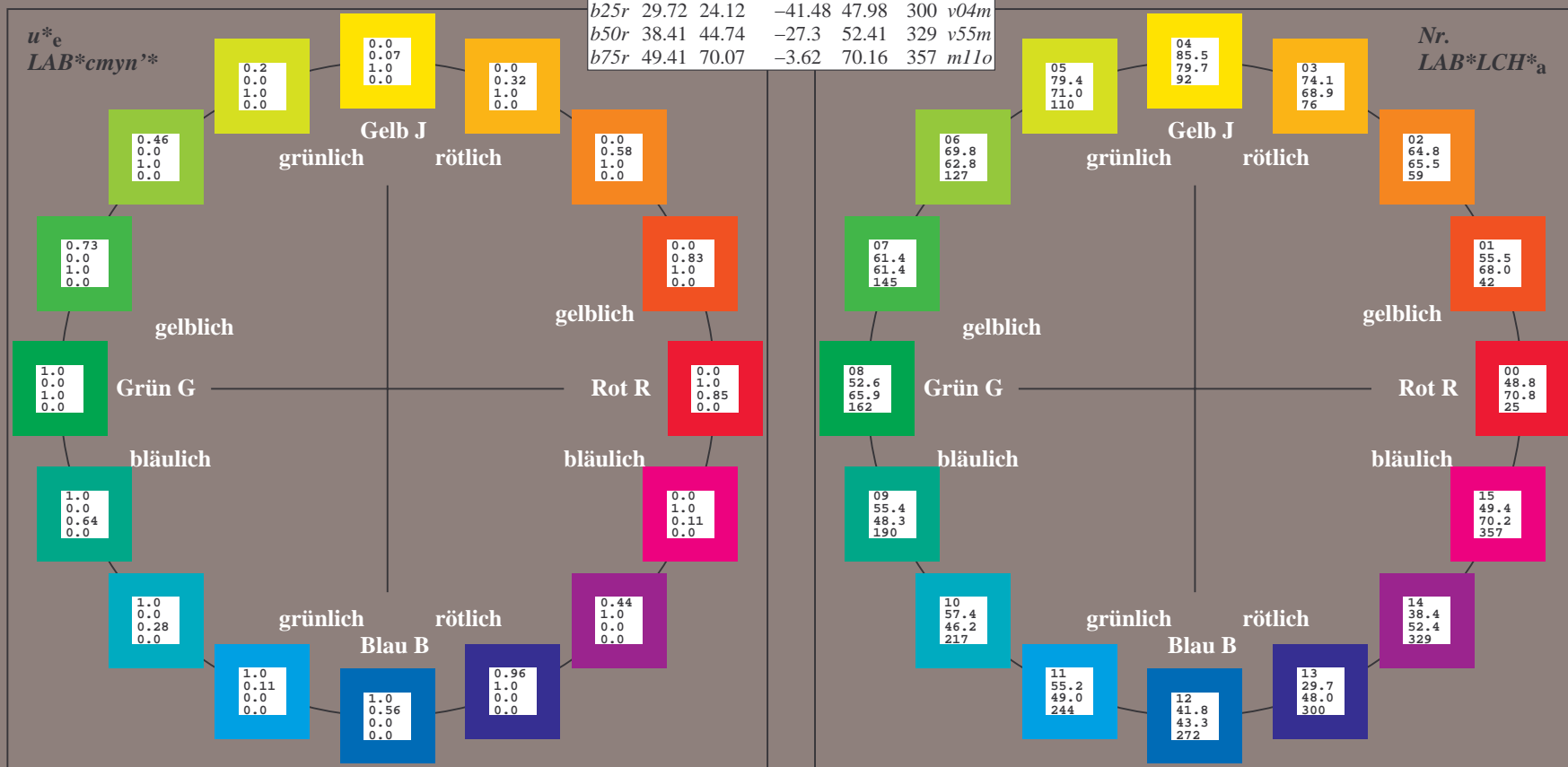
u^*_e	$L^*=L^*_a$	a^*_a	b^*_a	$C^*_{ab,a}$	$h^*_{ab,a}$	u^*_d
$r00j$	48.83	63.91	30.45	70.79	25	$m84o$
$r25j$	55.53	50.37	45.65	67.97	42	$o17y$
$r50j$	64.76	33.86	56.12	65.55	59	$o42y$
$r75j$	74.12	17.13	66.74	68.9	76	$o67y$
$j00g$	85.5	-3.22	79.65	79.72	92	$o92y$
$j25g$	79.45	-24.05	66.85	71.04	110	$y20l$
$j50g$	69.75	-38.03	49.98	62.8	127	$y46l$
$j75g$	61.38	-50.1	35.41	61.35	145	$y72l$
$g00b$	52.6	-62.77	20.12	65.92	162	$y99l$
$g25b$	55.39	-47.66	-8.06	48.34	190	$l36c$
$g50b$	57.43	-36.92	-27.8	46.22	217	$l72c$
$g75b$	55.19	-21.2	-44.17	48.99	244	$c11v$
$b00r$	41.84	1.31	-43.28	43.3	272	$c56v$
$b25r$	29.72	24.12	-41.48	47.98	300	$v04m$
$b50r$	38.41	44.74	-27.3	52.41	329	$v55m$
$b75r$	49.41	70.07	-3.62	70.16	357	$m11o$



%Umfang
 $u^*_{rel} = 83$
%Regularität
 $g^*_{H,rel} = 72$
 $g^*_{C,rel} = 57$

ORS20_95a; CIELAB-Daten

Name	$L^*=L^*$	a^*	b^*	C^*_{ab}	h^*_{ab}
O_M	48.71	62.65	39.19	73.89	32
Y_M	89.25	-10.36	85.91	86.53	97
L_M	52.5	-62.88	21.3	66.38	161
C_M	59.15	-27.92	-42.97	51.24	237
V_M	29.13	23.07	-41.51	47.5	299
M_M	49.51	71.15	-7.9	71.59	354
N_M	20.0	0.47	0.76	0.89	58
W_M	95.0	-0.52	2.11	2.17	104
R_{CIE}	39.92	58.74	27.99	65.07	25
J_{CIE}	81.26	-2.89	71.56	71.62	92
G_{CIE}	52.23	-42.42	13.6	44.55	162
B_{CIE}	30.57	1.41	-46.47	46.49	272



Ein und Ausgabe: Farbmetrisches Drucker-Reflektiv-System ORS20_95a für relativen CIELAB-Buntton $h^* = lab^*h^* = h_{ab}/360 = 0.071$

Daten für jede Farbe:

lab^*tch^* und lab^*icu^*

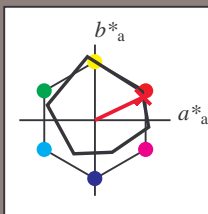
Bunttontexte:

$u^*_e = r00j$ $u^*_d = m84o$

Kontrastreduzierungsfaktor:

$c_R = 0.96$

Dreiecks-Helligkeit t^*



ORS20_95a; CIELAB-Daten

u^*_e	$L^*=L^*$	a^*	b^*	C^*_{ab}	h^*_{ab}
O _M	48.71	62.65	39.19	73.89	32
Y _M	89.25	-10.36	85.91	86.53	97
L _M	52.5	-62.88	21.3	66.38	161
C _M	59.15	-27.92	-42.97	51.24	237
V _M	29.13	23.07	-41.51	47.5	299
M _M	49.51	71.15	-7.9	71.59	354
N _M	20.0	0.47	0.76	0.89	58
W _M	95.0	-0.52	2.11	2.17	104
R _M	39.92	58.74	27.99	65.07	25
J _M	81.26	-2.89	71.56	71.62	92
G _M	52.23	-42.42	13.6	44.55	162
B _M	30.57	1.41	-46.47	46.49	272

Daten für Maximalfarbe (Ma):

$LAB^*LAB^*_{Ma}$: 49 64 30

$LAB^*LCH^*_{Ma}$: 49 71 25

$lab^*rgb^*_{Ma}$: 1.0 0.0 0.0

$lab^*olv^*_{Ma}$: 1.0 0.0 0.15

Dreiecks-Helligkeit t^*

%Umfang

$u^*_{rel} = 83$

%Regularität

$g^*_{H,rel} = 72$

$g^*_{C,rel} = 57$

$u^*_e = r00j$
 LAB^*cmyn^*

ORS20_95a; adaptierte CIELAB-Daten

u^*_e	$L^*=L^*_a$	a^*_a	b^*_a	$C^*_{ab,a}$	$h^*_{ab,a}$	u^*_d
r00j	48.83	63.91	30.45	70.79	25	m84o
r25j	55.53	50.37	45.65	67.97	42	o17y
r50j	64.76	33.86	56.12	65.55	59	o42y
r75j	74.12	17.13	66.74	68.9	76	o67y
j00g	85.5	-3.22	79.65	79.72	92	o92y
j25g	79.45	-24.05	66.85	71.04	110	y20l
j50g	69.75	-38.03	49.98	62.8	127	y46l
j75g	61.38	-50.1	35.41	61.35	145	y72l
g00b	52.6	-62.77	20.12	65.92	162	y99l
g25b	55.39	-47.66	-8.06	48.34	190	l36c
g50b	57.43	-36.92	-27.8	46.22	217	l72c
g75b	55.19	-21.2	-44.17	48.99	244	c11v
b00r	41.84	1.31	-43.28	43.3	272	c56v
b25r	29.72	24.12	-41.48	47.98	300	v04m
b50r	38.41	44.74	-27.3	52.41	329	v55m
b75r	49.41	70.07	-3.62	70.16	357	m11o

LAB^*cmyn^*

$i^* = 1.00$

Brillantheit i^*

$i^* = 0.80$

$i^* = 0.60$

$i^* = 0.40$

$i^* = 0.20$

$i^* = 0.00$

relative Buntheit c^*

relative Buntheit c^*

Ein und Ausgabe: Farbmimetrisches Drucker-Reflektiv-System ORS20_95a für relativen CIELAB-Buntton $h^* = lab^*h^* = h_{ab}/360 = 0.117$

Daten für jede Farbe:

lab^*tch^* und lab^*icu^*

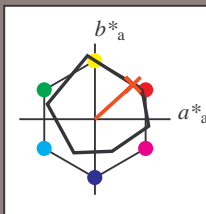
Bunttontexte:

$u^*_e = r25j$ $u^*_d = o17y$

Kontrastreduzierungsfaktor:

$c_R = 0.96$

Dreiecks-Helligkeit i^*



ORS20_95a; CIELAB-Daten

u^*_e	$L^*=L^*_a$	a^*	b^*	C^*_{ab}	h^*_{ab}
O _M	48.71	62.65	39.19	73.89	32
Y _M	89.25	-10.36	85.91	86.53	97
L _M	52.5	-62.88	21.3	66.38	161
C _M	59.15	-27.92	-42.97	51.24	237
V _M	29.13	23.07	-41.51	47.5	299
M _M	49.51	71.15	-7.9	71.59	354
N _M	20.0	0.47	0.76	0.89	58
W _M	95.0	-0.52	2.11	2.17	104
R _M	39.92	58.74	27.99	65.07	25
J _M	81.26	-2.89	71.56	71.62	92
G _M	52.23	-42.42	13.6	44.55	162
B _M	30.57	1.41	-46.47	46.49	272

Daten für Maximalfarbe (Ma):

$LAB^*LAB^*_{Ma}$: 56 50 46

$LAB^*LCH^*_{Ma}$: 56 68 42

$lab^*rgb^*_{Ma}$: 1.0 0.25 0.0

$lab^*olv^*_{Ma}$: 1.0 0.17 0.0

Dreiecks-Helligkeit i^*

%Umfang

$u^*_{rel} = 83$

%Regularität

$g^*_{H,rel} = 72$

$g^*_{C,rel} = 57$

ORS20_95a; adaptierte CIELAB-Daten

u^*_e	$L^*=L^*_a$	a^*_a	b^*_a	$C^*_{ab,a}$	$h^*_{ab,a}$	u^*_d
r00j	48.83	63.91	30.45	70.79	25	m84o
r25j	55.53	50.37	45.65	67.97	42	o17y
r50j	64.76	33.86	56.12	65.55	59	o42y
r75j	74.12	17.13	66.74	68.9	76	o67y
j00g	85.5	-3.22	79.65	79.72	92	o92y
j25g	79.45	-24.05	66.85	71.04	110	y20l
j50g	69.75	-38.03	49.98	62.8	127	y46l
j75g	61.38	-50.1	35.41	61.35	145	y72l
g00b	52.6	-62.77	20.12	65.92	162	y99l
g25b	55.39	-47.66	-8.06	48.34	190	l36c
g50b	57.43	-36.92	-27.8	46.22	217	l72c
g75b	55.19	-21.2	-44.17	48.99	244	c11v
b00r	41.84	1.31	-43.28	43.3	272	c56v
b25r	29.72	24.12	-41.48	47.98	300	v04m
b50r	38.41	44.74	-27.3	52.41	329	v55m
b75r	49.41	70.07	-3.62	70.16	357	m11o

$LAB^*cmy^n^*$

$i^* = 1.00$

$i^* = 0.80$

Brillantheit i^*

$i^* = 0.60$

$i^* = 0.40$

$i^* = 0.20$

$i^* = 0.00$

relative Buntheit c^*

relative Buntheit c^*

Ein und Ausgabe: Farbmetrisches Drucker-Reflektiv-System ORS20_95a für relativen CIELAB-Buntton $h^* = lab^*h^* = h_{ab}/360 = 0.164$

Daten für jede Farbe:

lab^*ch^* und lab^*icu^*

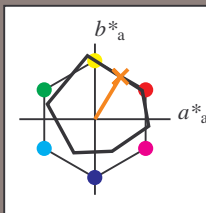
Bunttontexte:

$u^*_e = r50j$ $u^*_d = o42y$

Kontrastreduzierungsfaktor:

$c_R = 0.96$

Dreiecks-Helligkeit i^*



ORS20_95a; CIELAB-Daten

u^*_e	$L^*=L^*$	a^*	b^*	C^*_{ab}	h^*_{ab}
O _M	48.71	62.65	39.19	73.89	32
Y _M	89.25	-10.36	85.91	86.53	97
L _M	52.5	-62.88	21.3	66.38	161
C _M	59.15	-27.92	-42.97	51.24	237
V _M	29.13	23.07	-41.51	47.5	299
M _M	49.51	71.15	-7.9	71.59	354
N _M	20.0	0.47	0.76	0.89	58
W _M	95.0	-0.52	2.11	2.17	104
R _M	39.92	58.74	27.99	65.07	25
J _M	81.26	-2.89	71.56	71.62	92
G _M	52.23	-42.42	13.6	44.55	162
B _M	30.57	1.41	-46.47	46.49	272

Daten für Maximalfarbe (Ma):

$LAB^*LAB^*_{Ma}$: 65 34 56

$LAB^*LCH^*_{Ma}$: 65 66 58

$lab^*rgb^*_{Ma}$: 1.0 0.5 0.0

$lab^*olv^*_{Ma}$: 1.0 0.42 0.0

Dreiecks-Helligkeit i^*

%Umfang

$u^*_{rel} = 83$

%Regularität

$g^*_{H,rel} = 72$

$g^*_{C,rel} = 57$

$u^*_e = r50j$
 LAB^*cmyn^*

ORS20_95a; adaptierte CIELAB-Daten

u^*_e	$L^*=L^*_a$	a^*_a	b^*_a	$C^*_{ab,a}$	$h^*_{ab,a}$	u^*_d
r00j	48.83	63.91	30.45	70.79	25	m84o
r25j	55.53	50.37	45.65	67.97	42	o17y
r50j	64.76	33.86	56.12	65.55	59	o42y
r75j	74.12	17.13	66.74	68.9	76	o67y
j00g	85.5	-3.22	79.65	79.72	92	o92y
j25g	79.45	-24.05	66.85	71.04	110	y20l
j50g	69.75	-38.03	49.98	62.8	127	y46l
j75g	61.38	-50.1	35.41	61.35	145	y72l
g00b	52.6	-62.77	20.12	65.92	162	y99l
g25b	55.39	-47.66	-8.06	48.34	190	l36c
g50b	57.43	-36.92	-27.8	46.22	217	l72c
g75b	55.19	-21.2	-44.17	48.99	244	c11v
b00r	41.84	1.31	-43.28	43.3	272	c56v
b25r	29.72	24.12	-41.48	47.98	300	v04m
b50r	38.41	44.74	-27.3	52.41	329	v55m
b75r	49.41	70.07	-3.62	70.16	357	m11o

LAB^*cmyn^*

$i^* = 1.00$

Brillantheit i^*

$i^* = 0.80$

$i^* = 0.60$

$i^* = 0.40$

$i^* = 0.20$

$i^* = 0.00$

relative Buntheit c^*

Ein und Ausgabe: Farbmetrisches Drucker-Reflektiv-System ORS20_95a für relativen CIELAB-Buntton $h^* = lab^*h^* = h_{ab}/360 = 0.21$

Daten für jede Farbe:

lab^*ch^* und lab^*icu^*

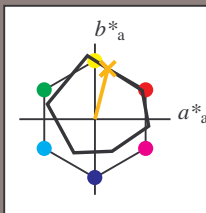
Bunttontexte:

$u^*_e = r75j$ $u^*_d = o67y$

Kontrastreduzierungsfaktor:

$c_R = 0.96$

Dreiecks-Helligkeit i^*



ORS20_95a; CIELAB-Daten

u^*_e	$L^*=L^*$	a^*	b^*	C^*_{ab}	h^*_{ab}
O _M	48.71	62.65	39.19	73.89	32
Y _M	89.25	-10.36	85.91	86.53	97
L _M	52.5	-62.88	21.3	66.38	161
C _M	59.15	-27.92	-42.97	51.24	237
V _M	29.13	23.07	-41.51	47.5	299
M _M	49.51	71.15	-7.9	71.59	354
N _M	20.0	0.47	0.76	0.89	58
W _M	95.0	-0.52	2.11	2.17	104
R _M	39.92	58.74	27.99	65.07	25
J _M	81.26	-2.89	71.56	71.62	92
G _M	52.23	-42.42	13.6	44.55	162
B _M	30.57	1.41	-46.47	46.49	272

Daten für Maximalfarbe (Ma):

$LAB^*LAB^*_{Ma}$: 74 17 67

$LAB^*LCH^*_{Ma}$: 74 69 75

$lab^*rgb^*_{Ma}$: 1.0 0.75 0.0

$lab^*olv^*_{Ma}$: 1.0 0.68 0.0

Dreiecks-Helligkeit i^*

%Umfang

$u^*_{rel} = 83$

%Regularität

$g^*_{H,rel} = 72$

$g^*_{C,rel} = 57$

$u^*_e = r75j$
 LAB^*cmyn^*

ORS20_95a; adaptierte CIELAB-Daten

u^*_e	$L^*=L^*_a$	a^*_a	b^*_a	$C^*_{ab,a}$	$h^*_{ab,a}$	u^*_d
r00j	48.83	63.91	30.45	70.79	25	m84o
r25j	55.53	50.37	45.65	67.97	42	o17y
r50j	64.76	33.86	56.12	65.55	59	o42y
r75j	74.12	17.13	66.74	68.9	76	o67y
j00g	85.5	-3.22	79.65	79.72	92	o92y
j25g	79.45	-24.05	66.85	71.04	110	y20l
j50g	69.75	-38.03	49.98	62.8	127	y46l
j75g	61.38	-50.1	35.41	61.35	145	y72l
g00b	52.6	-62.77	20.12	65.92	162	y99l
g25b	55.39	-47.66	-8.06	48.34	190	l36c
g50b	57.43	-36.92	-27.8	46.22	217	l72c
g75b	55.19	-21.2	-44.17	48.99	244	c11v
b00r	41.84	1.31	-43.28	43.3	272	c56v
b25r	29.72	24.12	-41.48	47.98	300	v04m
b50r	38.41	44.74	-27.3	52.41	329	v55m
b75r	49.41	70.07	-3.62	70.16	357	m11o

LAB^*cmyn^*

$i^*=1.00$

Brillantheit i^*

$i^*=0.80$

$i^*=0.60$

$i^*=0.40$

$i^*=0.20$

$i^*=0.00$

relative Buntheit c^*

relative Buntheit c^*

Ein und Ausgabe: Farbmetrisches Drucker-Reflektiv-System ORS20_95a für relativen CIELAB-Buntton $h^* = lab^*h^* = h_{ab}/360 = 0.256$

Daten für jede Farbe:

lab^*ch^* und lab^*icu^*

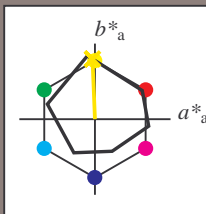
Bunttontexte:

$u^*_e = j00g$ $u^*_d = o92y$

Kontrastreduzierungsfaktor:

$c_R = 0.96$

Dreiecks-Helligkeit i^*



ORS20_95a; CIELAB-Daten						
u^*_e	$L^*=L^*$	a^*	b^*	C^*_{ab}	h^*_{ab}	
O _M	48.71	62.65	39.19	73.89	32	
Y _M	89.25	-10.36	85.91	86.53	97	
L _M	52.5	-62.88	21.3	66.38	161	
C _M	59.15	-27.92	-42.97	51.24	237	
V _M	29.13	23.07	-41.51	47.5	299	
M _M	49.51	71.15	-7.9	71.59	354	
N _M	20.0	0.47	0.76	0.89	58	
W _M	95.0	-0.52	2.11	2.17	104	
R _M	39.92	58.74	27.99	65.07	25	
J _M	81.26	-2.89	71.56	71.62	92	
G _M	52.23	-42.42	13.6	44.55	162	
B _M	30.57	1.41	-46.47	46.49	272	

Daten für Maximalfarbe (Ma):

$LAB^*LAB^*_{Ma}$: 86 -3 80

$LAB^*LCH^*_{Ma}$: 86 80 92

$lab^*rgb^*_{Ma}$: 1.0 1.0 0.0

$lab^*olv^*_{Ma}$: 1.0 0.93 0.0

Dreiecks-Helligkeit i^*

%Umfang

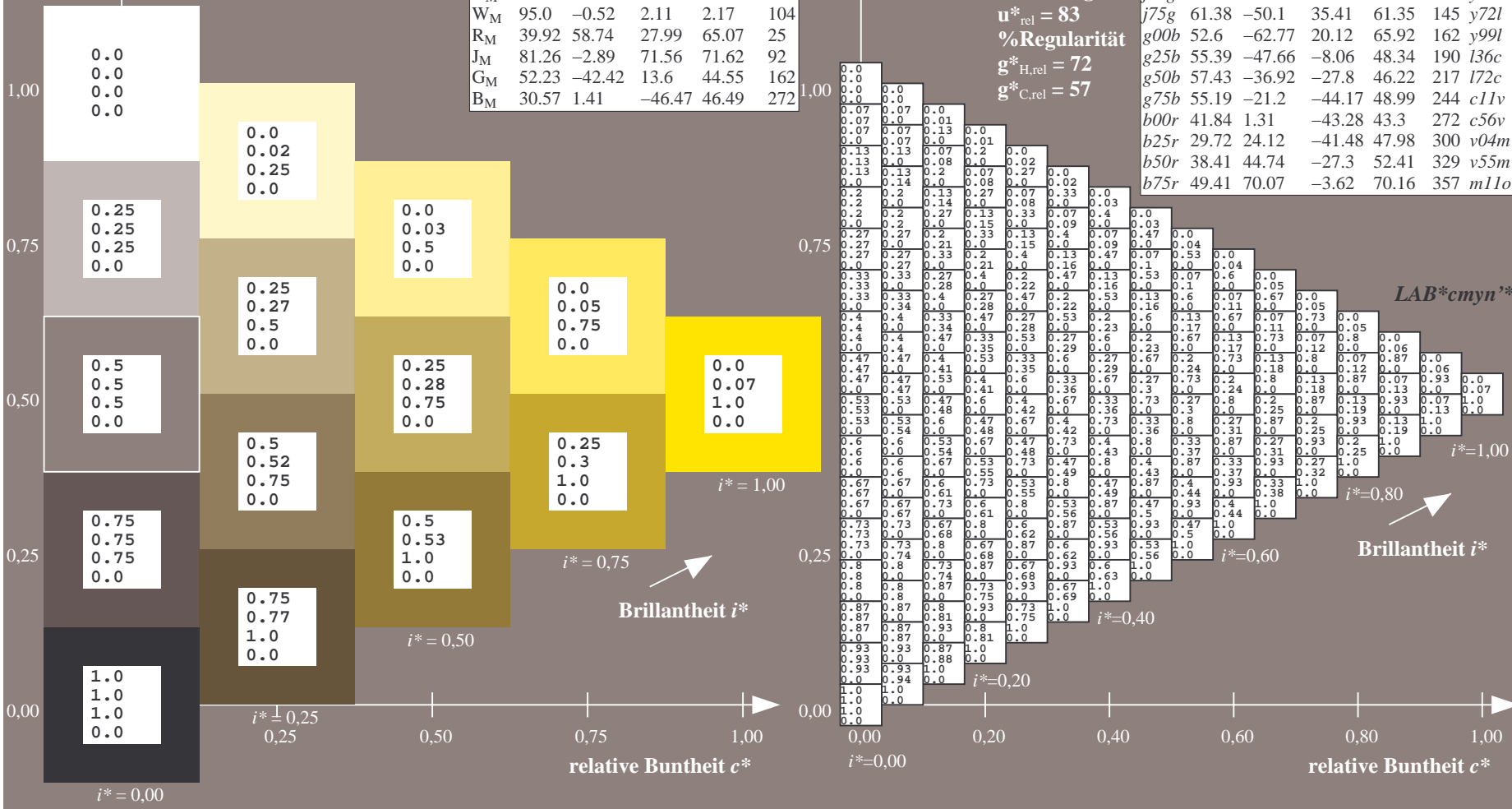
$u^*_{rel} = 83$

%Regularität

$g^*_{H,rel} = 72$

$g^*_{C,rel} = 57$

ORS20_95a; adaptierte CIELAB-Daten							
u^*_e	$L^*=L^*_a$	a^*_a	b^*_a	$C^*_{ab,a}$	$h^*_{ab,a}$	u^*_d	
r00j	48.83	63.91	30.45	70.79	25	m84o	
r25j	55.53	50.37	45.65	67.97	42	o17y	
r50j	64.76	33.86	56.12	65.55	59	o42y	
r75j	74.12	17.13	66.74	68.9	76	o67y	
j00g	85.5	-3.22	79.65	79.72	92	o92y	
j25g	79.45	-24.05	66.85	71.04	110	y20l	
j50g	69.75	-38.03	49.98	62.8	127	y46l	
j75g	61.38	-50.1	35.41	61.35	145	y72l	
g00b	52.6	-62.77	20.12	65.92	162	y99l	
g25b	55.39	-47.66	-8.06	48.34	190	l36c	
g50b	57.43	-36.92	-27.8	46.22	217	l72c	
g75b	55.19	-21.2	-44.17	48.99	244	c11v	
b00r	41.84	1.31	-43.28	43.3	272	c56v	
b25r	29.72	24.12	-41.48	47.98	300	v04m	
b50r	38.41	44.74	-27.3	52.41	329	v55m	
b75r	49.41	70.07	-3.62	70.16	357	m11o	



Ein und Ausgabe: Farbmetrisches Drucker-Reflektiv-System ORS20_95a für relativen CIELAB-Buntton $h^* = lab^*h^* = h_{ab}/360 = 0.305$

Daten für jede Farbe:

lab^*ch^* und lab^*icu^*

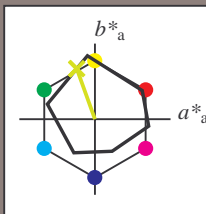
Bunttontexte:

$u^*_e = j25g$ $u^*_d = y20l$

Kontrastreduzierungsfaktor:

$c_R = 0.96$

Dreiecks-Helligkeit i^*



ORS20_95a; CIELAB-Daten						
u^*_e	$L^*=L^*_a$	a^*	b^*	C^*_{ab}	h^*_{ab}	
O _M	48.71	62.65	39.19	73.89	32	
Y _M	89.25	-10.36	85.91	86.53	97	
L _M	52.5	-62.88	21.3	66.38	161	
C _M	59.15	-27.92	-42.97	51.24	237	
V _M	29.13	23.07	-41.51	47.5	299	
M _M	49.51	71.15	-7.9	71.59	354	
N _M	20.0	0.47	0.76	0.89	58	
W _M	95.0	-0.52	2.11	2.17	104	
R _M	39.92	58.74	27.99	65.07	25	
J _M	81.26	-2.89	71.56	71.62	92	
G _M	52.23	-42.42	13.6	44.55	162	
B _M	30.57	1.41	-46.47	46.49	272	

Daten für Maximalfarbe (Ma):

$LAB^*LAB^*_{Ma}$: 79 -24 67

$LAB^*LCH^*_{Ma}$: 79 71 109

$lab^*rgb^*_{Ma}$: 0.75 1.0 0.0

$lab^*olv^*_{Ma}$: 0.8 1.0 0.0

Dreiecks-Helligkeit i^*

%Umfang

$u^*_{rel} = 83$

%Regularität

$g^*_{H,rel} = 72$

$g^*_{C,rel} = 57$

ORS20_95a; adaptierte CIELAB-Daten							
u^*_e	$L^*=L^*_a$	a^*_a	b^*_a	$C^*_{ab,a}$	$h^*_{ab,a}$	u^*_d	
r00j	48.83	63.91	30.45	70.79	25	m84o	
r25j	55.53	50.37	45.65	67.97	42	o17y	
r50j	64.76	33.86	56.12	65.55	59	o42y	
r75j	74.12	17.13	66.74	68.9	76	o67y	
j00g	85.5	-3.22	79.65	79.72	92	o92y	
j25g	79.45	-24.05	66.85	71.04	110	y20l	
j50g	69.75	-38.03	49.98	62.8	127	y46l	
j75g	61.38	-50.1	35.41	61.35	145	y72l	
g00b	52.6	-62.77	20.12	65.92	162	y99l	
g25b	55.39	-47.66	-8.06	48.34	190	l36c	
g50b	57.43	-36.92	-27.8	46.22	217	l72c	
g75b	55.19	-21.2	-44.17	48.99	244	c11v	
b00r	41.84	1.31	-43.28	43.3	272	c56v	
b25r	29.72	24.12	-41.48	47.98	300	v04m	
b50r	38.41	44.74	-27.3	52.41	329	v55m	
b75r	49.41	70.07	-3.62	70.16	357	m11o	

$LAB^*cmy^n^*$

$i^*=1.00$

Brillantheit i^*

$i^*=0.80$

$i^*=0.60$

$i^*=0.40$

$i^*=0.20$

$i^*=0.00$

relative Buntheit c^*

relative Buntheit c^*

Ein und Ausgabe: Farbmetrisches Drucker-Reflektiv-System ORS20_95a für relativen CIELAB-Buntton $h^* = lab^*h^* = h_{ab}/360 = 0.354$

Daten für jede Farbe:

lab^*ch^* und lab^*icu^*

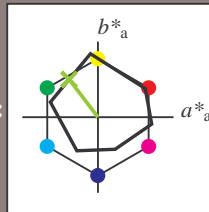
Bunttontexte:

$u^*_e = j50g$ $u^*_d = y46l$

Kontrastreduzierungsfaktor:

$c_R = 0.96$

Dreiecks-Helligkeit i^*



ORS20_95a; CIELAB-Daten						
u^*_e	$L^*=L^*_a$	a^*	b^*	C^*_{ab}	h^*_{ab}	
O _M	48.71	62.65	39.19	73.89	32	
Y _M	89.25	-10.36	85.91	86.53	97	
L _M	52.5	-62.88	21.3	66.38	161	
C _M	59.15	-27.92	-42.97	51.24	237	
V _M	29.13	23.07	-41.51	47.5	299	
M _M	49.51	71.15	-7.9	71.59	354	
N _M	20.0	0.47	0.76	0.89	58	
W _M	95.0	-0.52	2.11	2.17	104	
R _M	39.92	58.74	27.99	65.07	25	
J _M	81.26	-2.89	71.56	71.62	92	
G _M	52.23	-42.42	13.6	44.55	162	
B _M	30.57	1.41	-46.47	46.49	272	

Daten für Maximalfarbe (Ma):

$LAB^*LAB^*_{Ma}$: 70 -38 50

$LAB^*LCH^*_{Ma}$: 70 63 127

$lab^*rgb^*_{Ma}$: 0.5 1.0 0.0

$lab^*olv^*_{Ma}$: 0.54 1.0 0.0

Dreiecks-Helligkeit i^*

%Umfang

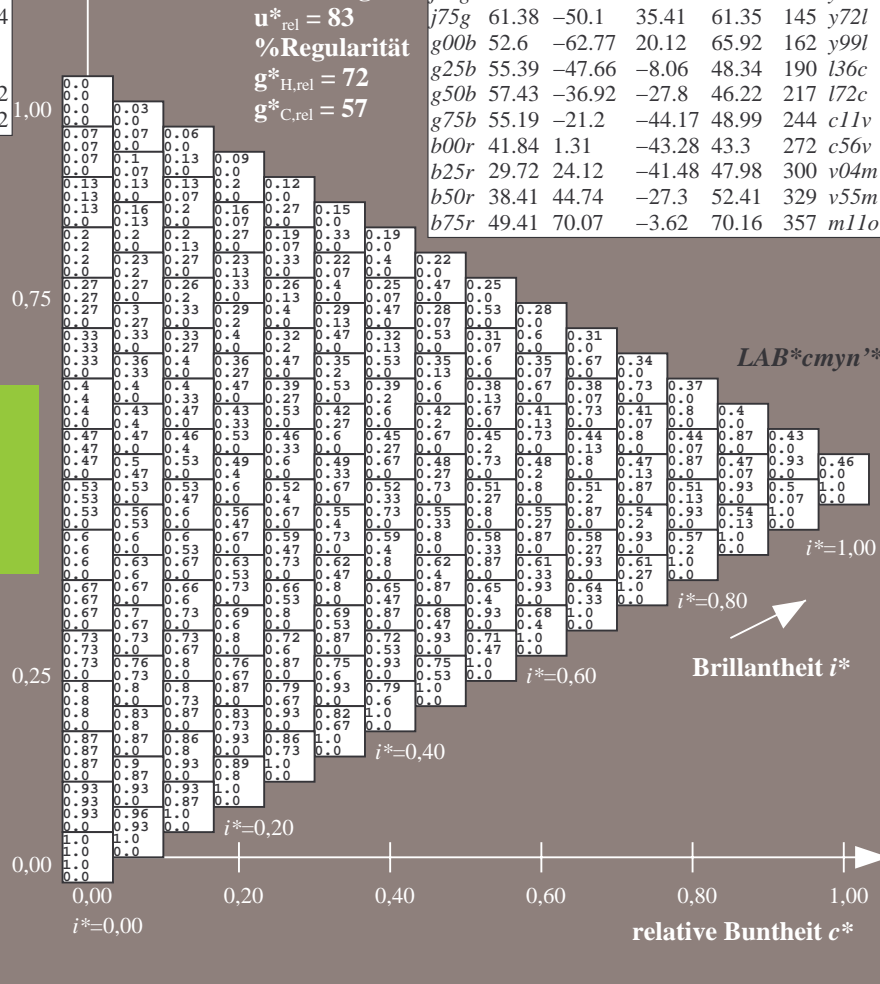
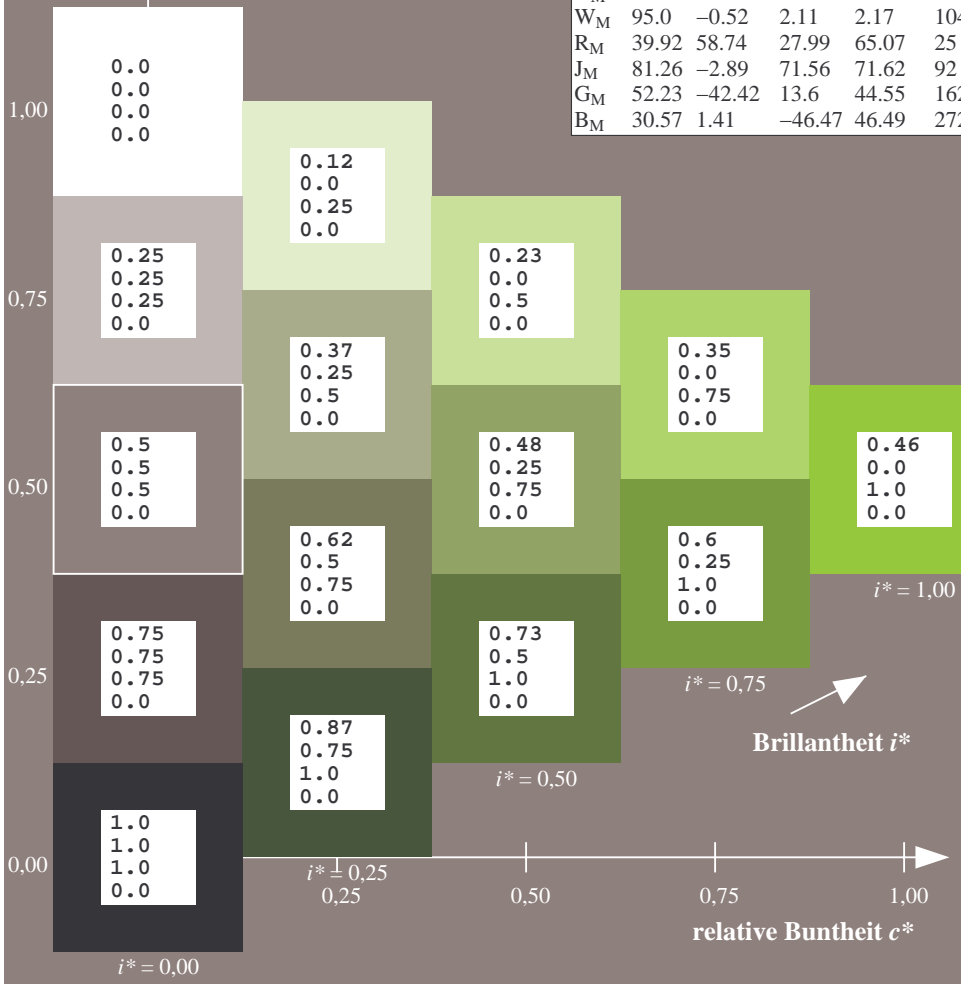
$u^*_{rel} = 83$

%Regularität

$g^*_{H,rel} = 72$

$g^*_{C,rel} = 57$

ORS20_95a; adaptierte CIELAB-Daten							
u^*_e	$L^*=L^*_a$	a^*_a	b^*_a	$C^*_{ab,a}$	$h^*_{ab,a}$	u^*_d	
r00j	48.83	63.91	30.45	70.79	25	m84o	
r25j	55.53	50.37	45.65	67.97	42	o17y	
r50j	64.76	33.86	56.12	65.55	59	o42y	
r75j	74.12	17.13	66.74	68.9	76	o67y	
j00g	85.5	-3.22	79.65	79.72	92	o92y	
j25g	79.45	-24.05	66.85	71.04	110	y20l	
j50g	69.75	-38.03	49.98	62.8	127	y46l	
j75g	61.38	-50.1	35.41	61.35	145	y72l	
g00b	52.6	-62.77	20.12	65.92	162	y99l	
g25b	55.39	-47.66	-8.06	48.34	190	l36c	
g50b	57.43	-36.92	-27.8	46.22	217	l72c	
g75b	55.19	-21.2	-44.17	48.99	244	c11v	
b00r	41.84	1.31	-43.28	43.3	272	c56v	
b25r	29.72	24.12	-41.48	47.98	300	v04m	
b50r	38.41	44.74	-27.3	52.41	329	v55m	
b75r	49.41	70.07	-3.62	70.16	357	m11o	



Ein und Ausgabe: Farbmetrisches Drucker-Reflektiv-System ORS20_95a für relativen CIELAB-Buntton $h^* = lab^*h^* = h_{ab}/360 = 0.402$

Daten für jede Farbe:

lab^*ch^* und lab^*icu^*

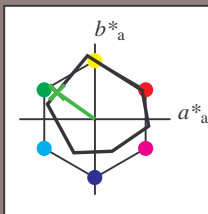
Bunttontexte:

$u^*_e = j75g$ $u^*_d = y72l$

Kontrastreduzierungsfaktor:

$c_R = 0.96$

Dreiecks-Helligkeit i^*



ORS20_95a; CIELAB-Daten

u^*_e	$L^*=L^*$	a^*	b^*	C^*_{ab}	h^*_{ab}
O _M	48.71	62.65	39.19	73.89	32
Y _M	89.25	-10.36	85.91	86.53	97
L _M	52.5	-62.88	21.3	66.38	161
C _M	59.15	-27.92	-42.97	51.24	237
V _M	29.13	23.07	-41.51	47.5	299
M _M	49.51	71.15	-7.9	71.59	354
N _M	20.0	0.47	0.76	0.89	58
W _M	95.0	-0.52	2.11	2.17	104
R _M	39.92	58.74	27.99	65.07	25
J _M	81.26	-2.89	71.56	71.62	92
G _M	52.23	-42.42	13.6	44.55	162
B _M	30.57	1.41	-46.47	46.49	272

Daten für Maximalfarbe (Ma):

$LAB^*LAB^*_{Ma}$: 61 -50 35

$LAB^*LCH^*_{Ma}$: 61 61 144

$lab^*rgb^*_{Ma}$: 0.25 1.0 0.0

$lab^*olv^*_{Ma}$: 0.27 1.0 0.0

Dreiecks-Helligkeit i^*

%Umfang

$u^*_{rel} = 83$

%Regularität

$g^*_{H,rel} = 72$

$g^*_{C,rel} = 57$

ORS20_95a; adaptierte CIELAB-Daten

u^*_e	$L^*=L^*_a$	a^*_a	b^*_a	$C^*_{ab,a}$	$h^*_{ab,a}$	u^*_d
r00j	48.83	63.91	30.45	70.79	25	m84o
r25j	55.53	50.37	45.65	67.97	42	o17y
r50j	64.76	33.86	56.12	65.55	59	o42y
r75j	74.12	17.13	66.74	68.9	76	o67y
j00g	85.5	-3.22	79.65	79.72	92	o92y
j25g	79.45	-24.05	66.85	71.04	110	y20l
j50g	69.75	-38.03	49.98	62.8	127	y46l
j75g	61.38	-50.1	35.41	61.35	145	y72l
g00b	52.6	-62.77	20.12	65.92	162	y99l
g25b	55.39	-47.66	-8.06	48.34	190	l36c
g50b	57.43	-36.92	-27.8	46.22	217	l72c
g75b	55.19	-21.2	-44.17	48.99	244	c11v
b00r	41.84	1.31	-43.28	43.3	272	c56v
b25r	29.72	24.12	-41.48	47.98	300	v04m
b50r	38.41	44.74	-27.3	52.41	329	v55m
b75r	49.41	70.07	-3.62	70.16	357	m11o

LAB^*cmyn^*

$i^*=1.00$

Brillantheit i^*

$i^*=0.80$

$i^*=0.60$

$i^*=0.40$

$i^*=0.20$

$i^*=0.00$

relative Buntheit c^*

Ein und Ausgabe: Farbmetrisches Drucker-Reflektiv-System ORS20_95a für relativen CIELAB-Buntton $h^* = lab^*h^* = h_{ab}/360 = 0.451$

Daten für jede Farbe:

lab^*tch^* und lab^*icu^*

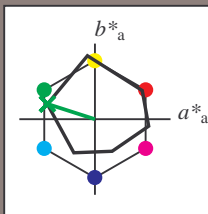
Bunttontexte:

$u^*_e = g00b$ $u^*_d = y99l$

Kontrastreduzierungsfaktor:

$c_R = 0.96$

Dreiecks-Helligkeit i^*



ORS20_95a; CIELAB-Daten						
u^*_e	$L^*=L^*_a$	a^*	b^*	C^*_{ab}	h^*_{ab}	
O _M	48.71	62.65	39.19	73.89	32	
Y _M	89.25	-10.36	85.91	86.53	97	
L _M	52.5	-62.88	21.3	66.38	161	
C _M	59.15	-27.92	-42.97	51.24	237	
V _M	29.13	23.07	-41.51	47.5	299	
M _M	49.51	71.15	-7.9	71.59	354	
N _M	20.0	0.47	0.76	0.89	58	
W _M	95.0	-0.52	2.11	2.17	104	
R _M	39.92	58.74	27.99	65.07	25	
J _M	81.26	-2.89	71.56	71.62	92	
G _M	52.23	-42.42	13.6	44.55	162	
B _M	30.57	1.41	-46.47	46.49	272	

Daten für Maximalfarbe (Ma):

$LAB^*LAB^*_{Ma}$: 53 -63 20

$LAB^*LCH^*_{Ma}$: 53 66 162

$lab^*rgb^*_{Ma}$: 0.0 1.0 0.0

$lab^*olv^*_{Ma}$: 0.0 1.0 0.0

Dreiecks-Helligkeit i^*

%Umfang

$u^*_{rel} = 83$

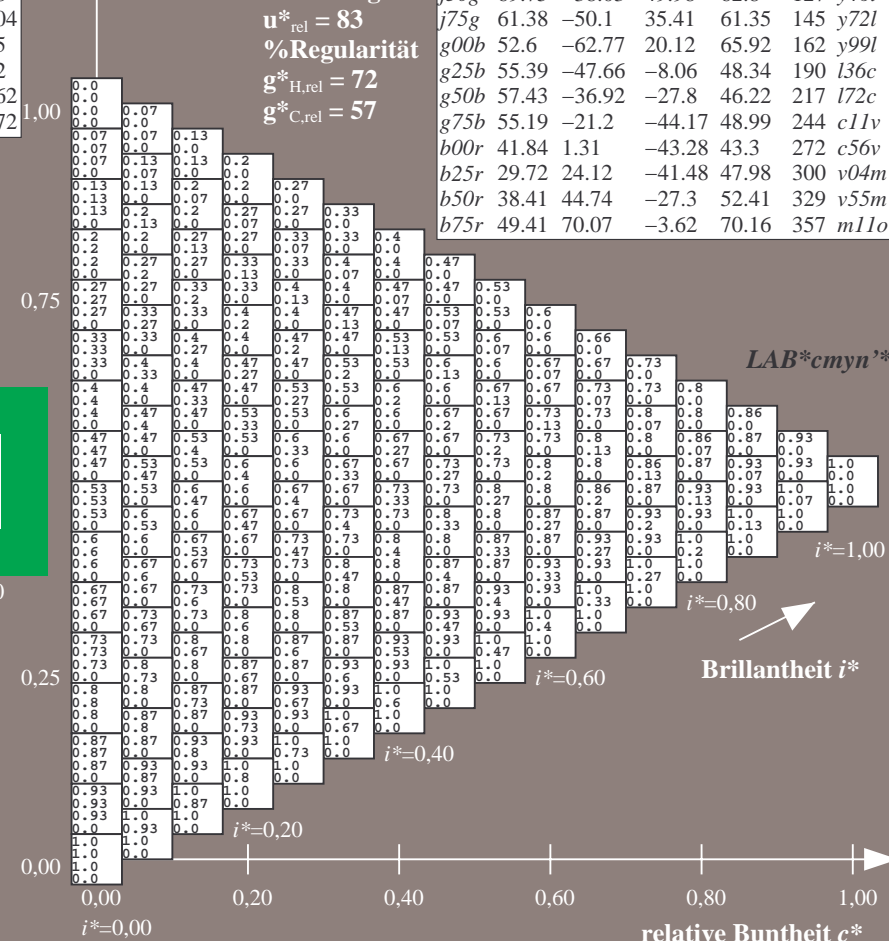
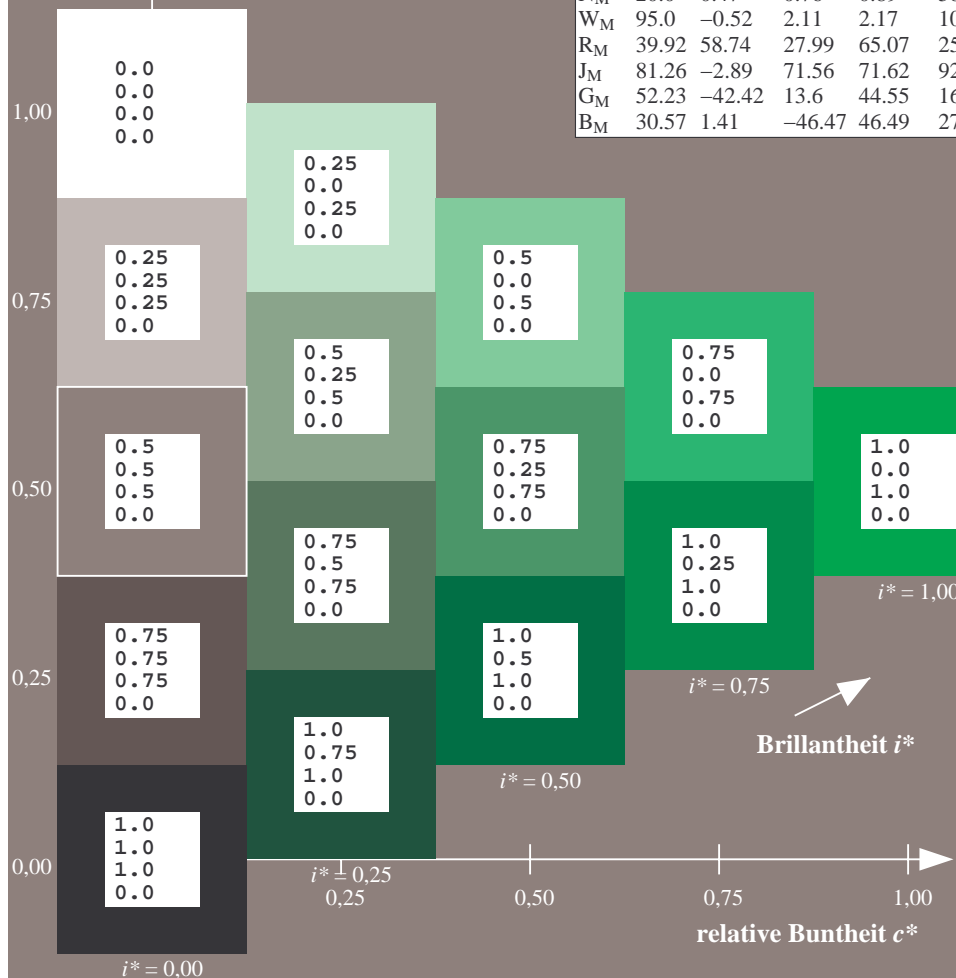
%Regularität

$g^*_{H,rel} = 72$

$g^*_{C,rel} = 57$

$u^*_e = g00b$
 LAB^*cmyn^*

ORS20_95a; adaptierte CIELAB-Daten							
u^*_e	$L^*=L^*_a$	a^*_a	b^*_a	$C^*_{ab,a}$	$h^*_{ab,a}$	u^*_d	
r00j	48.83	63.91	30.45	70.79	25	m84o	
r25j	55.53	50.37	45.65	67.97	42	o17y	
r50j	64.76	33.86	56.12	65.55	59	o42y	
r75j	74.12	17.13	66.74	68.9	76	o67y	
j00g	85.5	-3.22	79.65	79.72	92	o92y	
j25g	79.45	-24.05	66.85	71.04	110	y20l	
j50g	69.75	-38.03	49.98	62.8	127	y46l	
j75g	61.38	-50.1	35.41	61.35	145	y72l	
g00b	52.6	-62.77	20.12	65.92	162	y99l	
g25b	55.39	-47.66	-8.06	48.34	190	l36c	
g50b	57.43	-36.92	-27.8	46.22	217	l72c	
g75b	55.19	-21.2	-44.17	48.99	244	c11v	
b00r	41.84	1.31	-43.28	43.3	272	c56v	
b25r	29.72	24.12	-41.48	47.98	300	v04m	
b50r	38.41	44.74	-27.3	52.41	329	v55m	
b75r	49.41	70.07	-3.62	70.16	357	m11o	



Ein und Ausgabe: Farbmetrisches Drucker-Reflektiv-System ORS20_95a für relativen CIELAB-Buntton $h^* = lab^*h^* = h_{ab}/360 = 0.527$

Daten für jede Farbe:

lab^*tch^* und lab^*icu^*

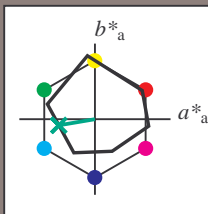
Bunttontexte:

$u^*_e = g25b$ $u^*_d = l36c$

Kontrastreduzierungsfaktor:

$c_R = 0.96$

Dreiecks-Helligkeit i^*



ORS20_95a; CIELAB-Daten						
u^*_e	$L^*=L^*$	a^*	b^*	C^*_{ab}	h^*_{ab}	
O _M	48.71	62.65	39.19	73.89	32	
Y _M	89.25	-10.36	85.91	86.53	97	
L _M	52.5	-62.88	21.3	66.38	161	
C _M	59.15	-27.92	-42.97	51.24	237	
V _M	29.13	23.07	-41.51	47.5	299	
M _M	49.51	71.15	-7.9	71.59	354	
N _M	20.0	0.47	0.76	0.89	58	
W _M	95.0	-0.52	2.11	2.17	104	
R _M	39.92	58.74	27.99	65.07	25	
J _M	81.26	-2.89	71.56	71.62	92	
G _M	52.23	-42.42	13.6	44.55	162	
B _M	30.57	1.41	-46.47	46.49	272	

Daten für Maximalfarbe (Ma):

$LAB^*LAB^*_{Ma}$: 55 -48 -8

$LAB^*LCH^*_{Ma}$: 55 48 189

$lab^*rgb^*_{Ma}$: 0.0 1.0 0.5

$lab^*olv^*_{Ma}$: 0.0 1.0 0.36

Dreiecks-Helligkeit i^*

%Umfang

$u^*_{rel} = 83$

%Regularität

$g^*_{H,rel} = 72$

$g^*_{C,rel} = 57$

ORS20_95a; adaptierte CIELAB-Daten							
u^*_e	$L^*=L^*_a$	a^*_a	b^*_a	$C^*_{ab,a}$	$h^*_{ab,a}$	u^*_d	
r00j	48.83	63.91	30.45	70.79	25	m84o	
r25j	55.53	50.37	45.65	67.97	42	o17y	
r50j	64.76	33.86	56.12	65.55	59	o42y	
r75j	74.12	17.13	66.74	68.9	76	o67y	
j00g	85.5	-3.22	79.65	79.72	92	o92y	
j25g	79.45	-24.05	66.85	71.04	110	y20l	
j50g	69.75	-38.03	49.98	62.8	127	y46l	
j75g	61.38	-50.1	35.41	61.35	145	y72l	
g00b	52.6	-62.77	20.12	65.92	162	y99l	
g25b	55.39	-47.66	-8.06	48.34	190	l36c	
g50b	57.43	-36.92	-27.8	46.22	217	l72c	
g75b	55.19	-21.2	-44.17	48.99	244	c11v	
b00r	41.84	1.31	-43.28	43.3	272	c56v	
b25r	29.72	24.12	-41.48	47.98	300	v04m	
b50r	38.41	44.74	-27.3	52.41	329	v55m	
b75r	49.41	70.07	-3.62	70.16	357	m11o	

$LAB^*cmy^n^*$

$i^*=1.00$

Brillantheit i^*

$i^*=0.80$

$i^*=0.60$

$i^*=0.40$

$i^*=0.20$

$i^*=0.00$

relative Bunttheit c^*

Ein und Ausgabe: Farbmimetrisches Drucker-Reflektiv-System ORS20_95a für relativen CIELAB-Buntton $h^* = lab^*h^* = h_{ab}/360 = 0.679$

Daten für jede Farbe:

lab^*ch^* und lab^*icu^*

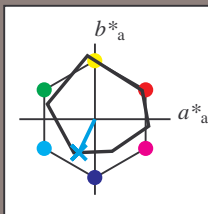
Bunttontexte:

$u^*_e = g75b$ $u^*_d = c11v$

Kontrastreduzierungsfaktor:

$c_R = 0.96$

Dreiecks-Helligkeit i^*



ORS20_95a; CIELAB-Daten						
u^*_e	$L^*=L^*$	a^*	b^*	C^*_{ab}	h^*_{ab}	
O _M	48.71	62.65	39.19	73.89	32	
Y _M	89.25	-10.36	85.91	86.53	97	
L _M	52.5	-62.88	21.3	66.38	161	
C _M	59.15	-27.92	-42.97	51.24	237	
V _M	29.13	23.07	-41.51	47.5	299	
M _M	49.51	71.15	-7.9	71.59	354	
N _M	20.0	0.47	0.76	0.89	58	
W _M	95.0	-0.52	2.11	2.17	104	
R _M	39.92	58.74	27.99	65.07	25	
J _M	81.26	-2.89	71.56	71.62	92	
G _M	52.23	-42.42	13.6	44.55	162	
B _M	30.57	1.41	-46.47	46.49	272	

Daten für Maximalfarbe (Ma):

$LAB^*LAB^*_{Ma}$: 55 -21 -44

$LAB^*LCH^*_{Ma}$: 55 49 244

$lab^*rgb^*_{Ma}$: 0.0 0.5 1.0

$lab^*olv^*_{Ma}$: 0.0 0.89 1.0

Dreiecks-Helligkeit i^*

%Umfang

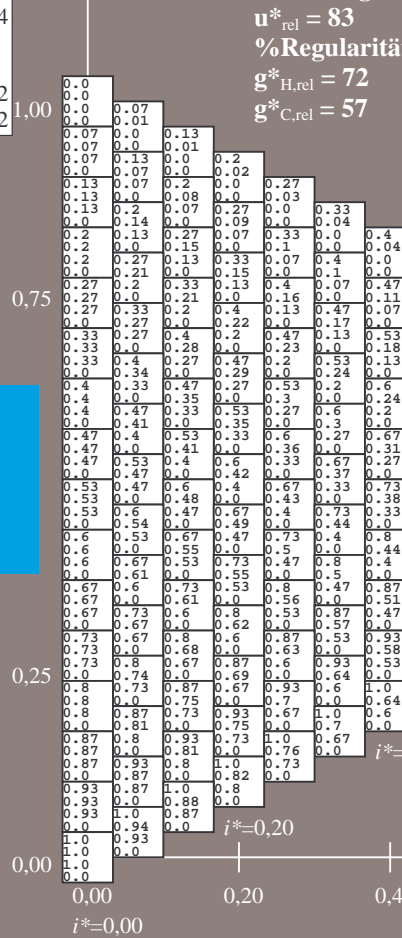
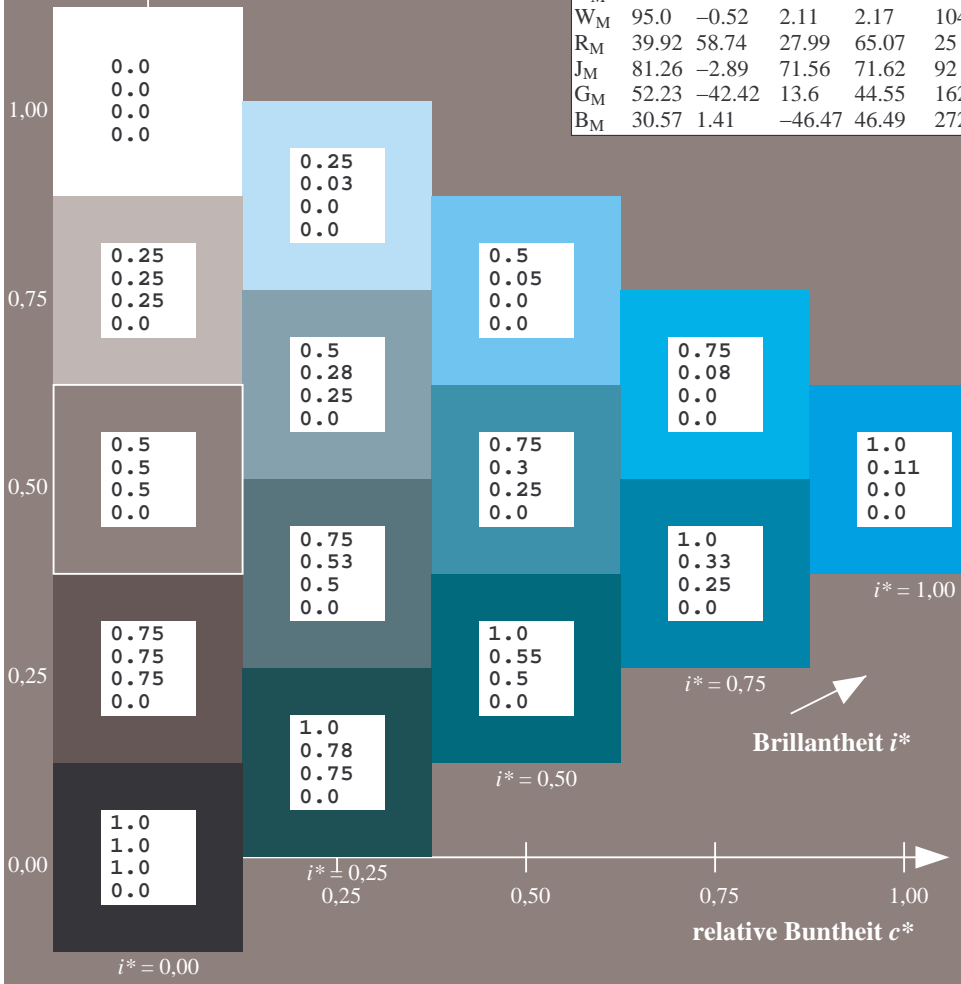
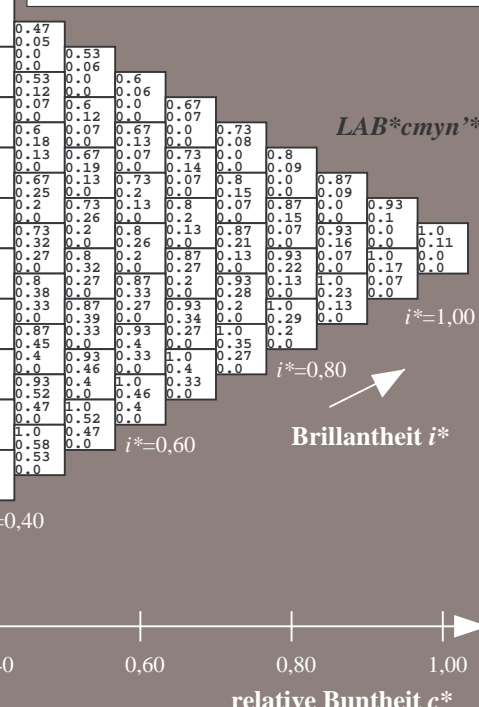
$u^*_{rel} = 83$

%Regularität

$g^*_{H,rel} = 72$

$g^*_{C,rel} = 57$

ORS20_95a; adaptierte CIELAB-Daten							
u^*_e	$L^*=L^*_a$	a^*_a	b^*_a	$C^*_{ab,a}$	$h^*_{ab,a}$	u^*_d	
r00j	48.83	63.91	30.45	70.79	25	m84o	
r25j	55.53	50.37	45.65	67.97	42	o17y	
r50j	64.76	33.86	56.12	65.55	59	o42y	
r75j	74.12	17.13	66.74	68.9	76	o67y	
j00g	85.5	-3.22	79.65	79.72	92	o92y	
j25g	79.45	-24.05	66.85	71.04	110	y20l	
j50g	69.75	-38.03	49.98	62.8	127	y46l	
j75g	61.38	-50.1	35.41	61.35	145	y72l	
g00b	52.6	-62.77	20.12	65.92	162	y99l	
g25b	55.39	-47.66	-8.06	48.34	190	l36c	
g50b	57.43	-36.92	-27.8	46.22	217	l72c	
g75b	55.19	-21.2	-44.17	48.99	244	c11v	
b00r	41.84	1.31	-43.28	43.3	272	c56v	
b25r	29.72	24.12	-41.48	47.98	300	v04m	
b50r	38.41	44.74	-27.3	52.41	329	v55m	
b75r	49.41	70.07	-3.62	70.16	357	m11o	



Ein und Ausgabe: Farbmetrisches Drucker-Reflektiv-System ORS20_95a für relativen CIELAB-Buntton $h^* = lab^*h^* = h_{ab}/360 = 0.755$

Daten für jede Farbe:

lab^*ch^* und lab^*icu^*

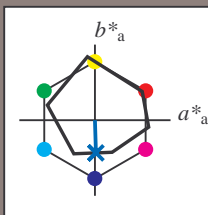
Bunttontexte:

$u^*_e = b00r$ $u^*_d = c56v$

Kontrastreduzierungsfaktor:

$c_R = 0.96$

Dreiecks-Helligkeit i^*



ORS20_95a; CIELAB-Daten						
u^*_e	$L^*=L^*_a$	a^*	b^*	C^*_{ab}	h^*_{ab}	
O _M	48.71	62.65	39.19	73.89	32	
Y _M	89.25	-10.36	85.91	86.53	97	
L _M	52.5	-62.88	21.3	66.38	161	
C _M	59.15	-27.92	-42.97	51.24	237	
V _M	29.13	23.07	-41.51	47.5	299	
M _M	49.51	71.15	-7.9	71.59	354	
N _M	20.0	0.47	0.76	0.89	58	
W _M	95.0	-0.52	2.11	2.17	104	
R _M	39.92	58.74	27.99	65.07	25	
J _M	81.26	-2.89	71.56	71.62	92	
G _M	52.23	-42.42	13.6	44.55	162	
B _M	30.57	1.41	-46.47	46.49	272	

Daten für Maximalfarbe (Ma):

$LAB^*LAB^*_{Ma}$: 42 1 -43

$LAB^*LCH^*_{Ma}$: 42 43 271

$lab^*rgb^*_{Ma}$: 0.0 0.0 1.0

$lab^*olv^*_{Ma}$: 0.0 0.44 1.0

Dreiecks-Helligkeit i^*

%Umfang

$u^*_{rel} = 83$

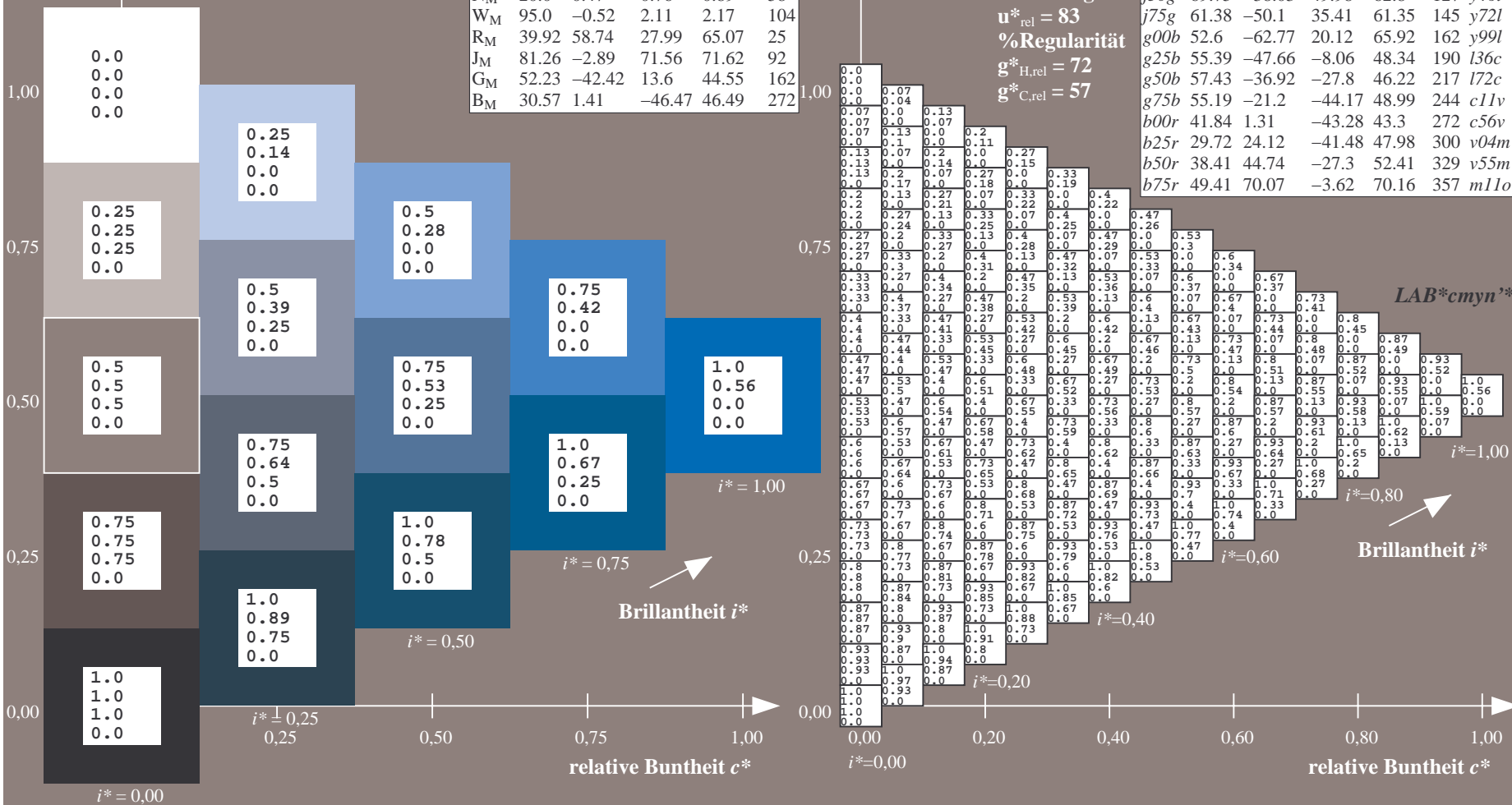
%Regularität

$g^*_{H,rel} = 72$

$g^*_{C,rel} = 57$

$u^*_e = b00r$
 LAB^*cmyn^*

ORS20_95a; adaptierte CIELAB-Daten							
u^*_e	$L^*=L^*_a$	a^*_a	b^*_a	$C^*_{ab,a}$	$h^*_{ab,a}$	u^*_d	
r00j	48.83	63.91	30.45	70.79	25	m84o	
r25j	55.53	50.37	45.65	67.97	42	o17y	
r50j	64.76	33.86	56.12	65.55	59	o42y	
r75j	74.12	17.13	66.74	68.9	76	o67y	
j00g	85.5	-3.22	79.65	79.72	92	o92y	
j25g	79.45	-24.05	66.85	71.04	110	y20l	
j50g	69.75	-38.03	49.98	62.8	127	y46l	
j75g	61.38	-50.1	35.41	61.35	145	y72l	
g00b	52.6	-62.77	20.12	65.92	162	y99l	
g25b	55.39	-47.66	-8.06	48.34	190	l36c	
g50b	57.43	-36.92	-27.8	46.22	217	l72c	
g75b	55.19	-21.2	-44.17	48.99	244	c11v	
b00r	41.84	1.31	-43.28	43.3	272	c56v	
b25r	29.72	24.12	-41.48	47.98	300	v04m	
b50r	38.41	44.74	-27.3	52.41	329	v55m	
b75r	49.41	70.07	-3.62	70.16	357	m11o	



Ein und Ausgabe: Farbmetrisches Drucker-Reflektiv-System ORS20_95a für relativen CIELAB-Buntton $h^* = lab^*h^* = h_{ab}/360 = 0.834$

Daten für jede Farbe:

lab^*ch^* und lab^*icu^*

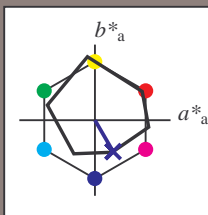
Bunttontexte:

$u^*_e = b25r$ $u^*_d = v04m$

Kontrastreduzierungsfaktor:

$c_R = 0.96$

Dreiecks-Helligkeit i^*



ORS20_95a; CIELAB-Daten

u^*_e	$L^*=L^*$	a^*	b^*	C^*_{ab}	h^*_{ab}
O _M	48.71	62.65	39.19	73.89	32
Y _M	89.25	-10.36	85.91	86.53	97
L _M	52.5	-62.88	21.3	66.38	161
C _M	59.15	-27.92	-42.97	51.24	237
V _M	29.13	23.07	-41.51	47.5	299
M _M	49.51	71.15	-7.9	71.59	354
N _M	20.0	0.47	0.76	0.89	58
W _M	95.0	-0.52	2.11	2.17	104
R _M	39.92	58.74	27.99	65.07	25
J _M	81.26	-2.89	71.56	71.62	92
G _M	52.23	-42.42	13.6	44.55	162
B _M	30.57	1.41	-46.47	46.49	272

Daten für Maximalfarbe (Ma):

$LAB^*LAB^*_{Ma}$: 30 24 -41

$LAB^*LCH^*_{Ma}$: 30 48 300

$lab^*rgb^*_{Ma}$: 0.5 0.0 1.0

$lab^*olv^*_{Ma}$: 0.04 0.0 1.0

Dreiecks-Helligkeit i^*

%Umfang

$u^*_{rel} = 83$

%Regularität

$g^*_{H,rel} = 72$

$g^*_{C,rel} = 57$

ORS20_95a; adaptierte CIELAB-Daten

u^*_e	$L^*=L^*_a$	a^*_a	b^*_a	$C^*_{ab,a}$	$h^*_{ab,a}$	u^*_d
r00j	48.83	63.91	30.45	70.79	25	m84o
r25j	55.53	50.37	45.65	67.97	42	o17y
r50j	64.76	33.86	56.12	65.55	59	o42y
r75j	74.12	17.13	66.74	68.9	76	o67y
j00g	85.5	-3.22	79.65	79.72	92	o92y
j25g	79.45	-24.05	66.85	71.04	110	y20l
j50g	69.75	-38.03	49.98	62.8	127	y46l
j75g	61.38	-50.1	35.41	61.35	145	y72l
g00b	52.6	-62.77	20.12	65.92	162	y99l
g25b	55.39	-47.66	-8.06	48.34	190	l36c
g50b	57.43	-36.92	-27.8	46.22	217	l72c
g75b	55.19	-21.2	-44.17	48.99	244	c11v
b00r	41.84	1.31	-43.28	43.3	272	c56v
b25r	29.72	24.12	-41.48	47.98	300	v04m
b50r	38.41	44.74	-27.3	52.41	329	v55m
b75r	49.41	70.07	-3.62	70.16	357	m11o

$LAB^*cmy^n^*$

$i^*=1.00$

Brillantheit i^*

$i^*=0.80$

$i^*=0.60$

$i^*=0.40$

$i^*=0.20$

$i^*=0.00$

relative Bunttheit c^*

relative Bunttheit c^*

$i^*=0.00$

$i^*=0.25$

$i^*=0.50$

$i^*=0.75$

$i^*=1.00$

Ein und Ausgabe: Farbmetrisches Drucker-Reflektiv-System ORS20_95a für relativen CIELAB-Buntton $h^* = lab^*h^* = h_{ab}/360 = 0.913$

Daten für jede Farbe:

lab^*tch^* und lab^*icu^*

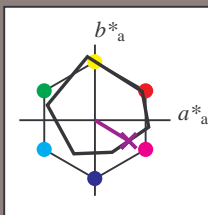
Bunttontexte:

$u^*_e = b50r$ $u^*_d = v55m$

Kontrastreduzierungsfaktor:

$c_R = 0.96$

Dreiecks-Helligkeit i^*



ORS20_95a; CIELAB-Daten						
u^*_e	$L^*=L^*$	a^*	b^*	C^*_{ab}	h^*_{ab}	
O _M	48.71	62.65	39.19	73.89	32	
Y _M	89.25	-10.36	85.91	86.53	97	
L _M	52.5	-62.88	21.3	66.38	161	
C _M	59.15	-27.92	-42.97	51.24	237	
V _M	29.13	23.07	-41.51	47.5	299	
M _M	49.51	71.15	-7.9	71.59	354	
N _M	20.0	0.47	0.76	0.89	58	
W _M	95.0	-0.52	2.11	2.17	104	
R _M	39.92	58.74	27.99	65.07	25	
J _M	81.26	-2.89	71.56	71.62	92	
G _M	52.23	-42.42	13.6	44.55	162	
B _M	30.57	1.41	-46.47	46.49	272	

Daten für Maximalfarbe (Ma):

$LAB^*LAB^*_{Ma}$: 38 45 -27

$LAB^*LCH^*_{Ma}$: 38 52 328

$lab^*rgb^*_{Ma}$: 1.0 0.0 1.0

$lab^*olv^*_{Ma}$: 0.56 0.0 1.0

Dreiecks-Helligkeit i^*

%Umfang

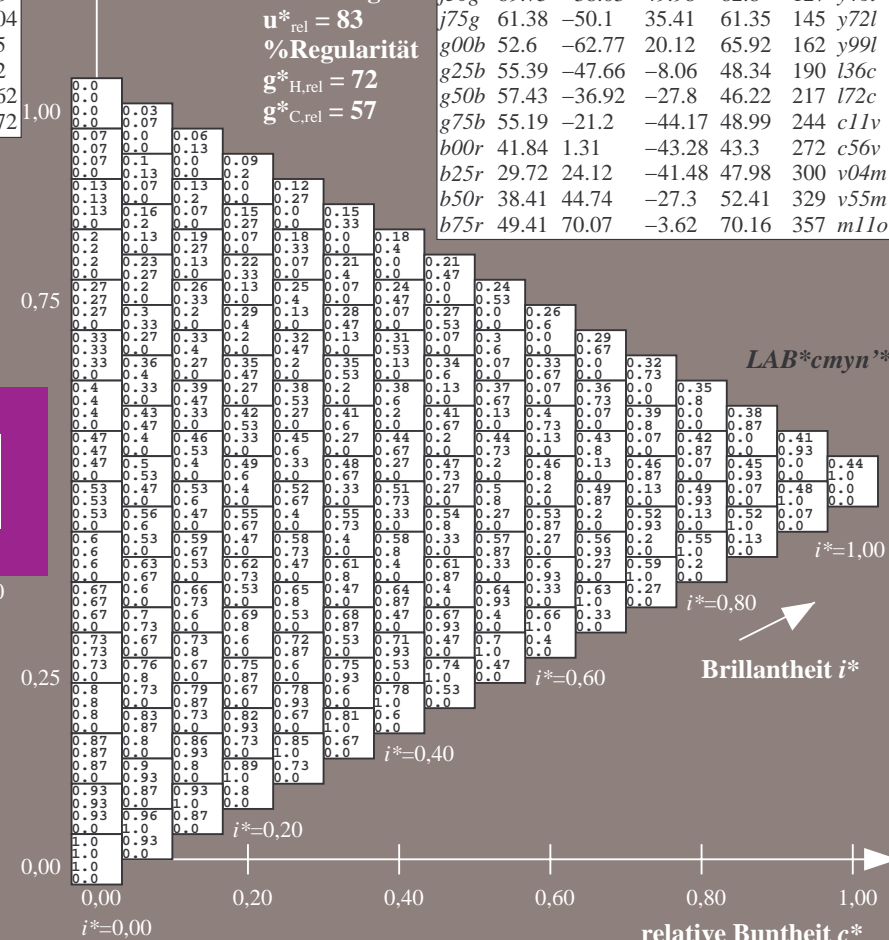
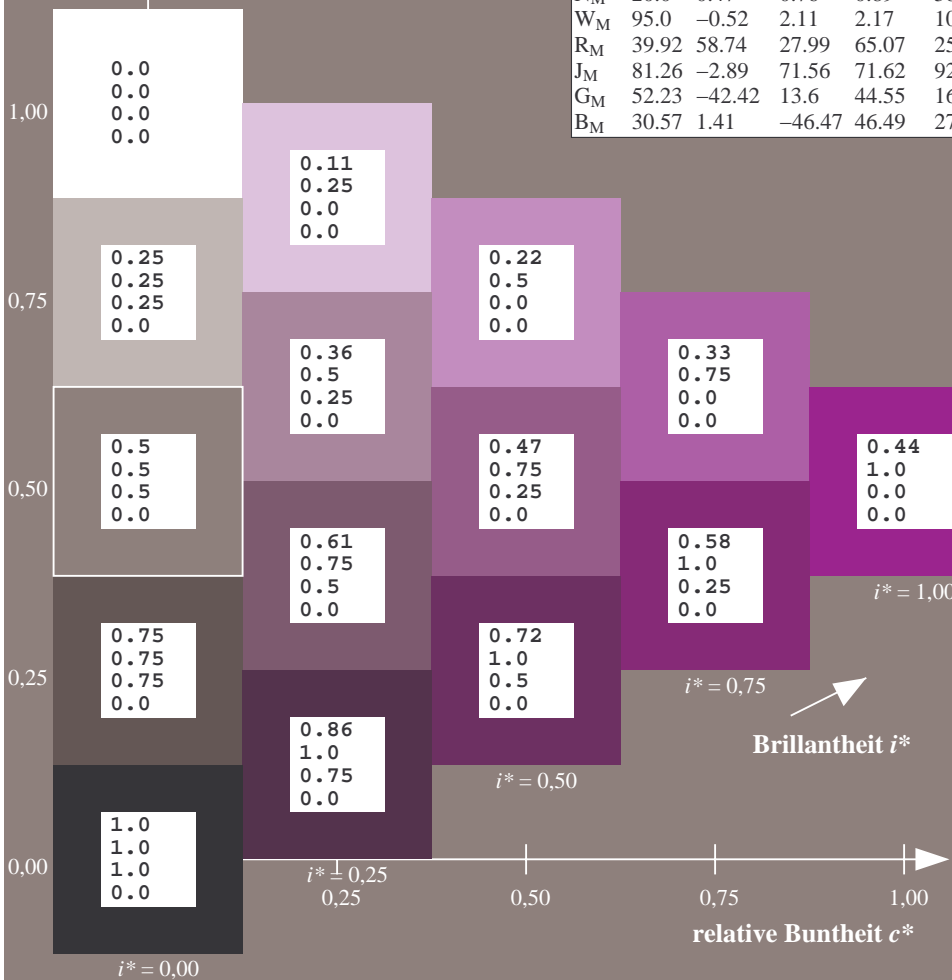
$u^*_{rel} = 83$

%Regularität

$g^*_{H,rel} = 72$

$g^*_{C,rel} = 57$

ORS20_95a; adaptierte CIELAB-Daten									
u^*_e	$L^*=L^*$	a^*_a	b^*_a	$C^*_{ab,a}$	$h^*_{ab,a}$	u^*_d			
r00j	48.83	63.91	30.45	70.79	25	m84o			
r25j	55.53	50.37	45.65	67.97	42	o17y			
r50j	64.76	33.86	56.12	65.55	59	o42y			
r75j	74.12	17.13	66.74	68.9	76	o67y			
j00g	85.5	-3.22	79.65	79.72	92	o92y			
j25g	79.45	-24.05	66.85	71.04	110	y20l			
j50g	69.75	-38.03	49.98	62.8	127	y46l			
j75g	61.38	-50.1	35.41	61.35	145	y72l			
g00b	52.6	-62.77	20.12	65.92	162	y99l			
g25b	55.39	-47.66	-8.06	48.34	190	l36c			
g50b	57.43	-36.92	-27.8	46.22	217	l72c			
g75b	55.19	-21.2	-44.17	48.99	244	c11v			
b00r	41.84	1.31	-43.28	43.3	272	c56v			
b25r	29.72	24.12	-41.48	47.98	300	v04m			
b50r	38.41	44.74	-27.3	52.41	329	v55m			
b75r	49.41	70.07	-3.62	70.16	357	m11o			



Ein und Ausgabe: Farbmetrisches Drucker-Reflektiv-System ORS20_95a für relativen CIELAB-Buntton $h^* = \text{lab}^*h^* = h_{ab}/360 = 0.992$

Daten für jede Farbe:

lab^*tch^* und lab^*icu^*

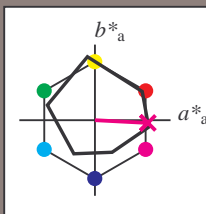
Bunttontexte:

$u^*_e = b75r$ $u^*_d = m11o$

Kontrastreduzierungsfaktor:

$c_R = 0.96$

Dreiecks-Helligkeit t^*



ORS20_95a; CIELAB-Daten

u^*_e	$L^*=L^*_a$	a^*	b^*	C^*_{ab}	h^*_{ab}
O _M	48.71	62.65	39.19	73.89	32
Y _M	89.25	-10.36	85.91	86.53	97
L _M	52.5	-62.88	21.3	66.38	161
C _M	59.15	-27.92	-42.97	51.24	237
V _M	29.13	23.07	-41.51	47.5	299
M _M	49.51	71.15	-7.9	71.59	354
N _M	20.0	0.47	0.76	0.89	58
W _M	95.0	-0.52	2.11	2.17	104
R _M	39.92	58.74	27.99	65.07	25
J _M	81.26	-2.89	71.56	71.62	92
G _M	52.23	-42.42	13.6	44.55	162
B _M	30.57	1.41	-46.47	46.49	272

Daten für Maximalfarbe (Ma):

$\text{LAB}^*\text{LAB}^*_{\text{Ma}}: 49 \ 70 \ -4$

$\text{LAB}^*\text{LCH}^*_{\text{Ma}}: 49 \ 70 \ 357$

$\text{lab}^*\text{rgb}^*_{\text{Ma}}: 1.0 \ 0.0 \ 0.5$

$\text{lab}^*\text{olv}^*_{\text{Ma}}: 1.0 \ 0.0 \ 0.89$

Dreiecks-Helligkeit t^*

%Umfang

$u^*_{\text{rel}} = 83$

%Regularität

$g^*_{H,\text{rel}} = 72$

$g^*_{C,\text{rel}} = 57$

ORS20_95a; adaptierte CIELAB-Daten

u^*_e	$L^*=L^*_a$	a^*_a	b^*_a	$C^*_{ab,a}$	$h^*_{ab,a}$	u^*_d
r00j	48.83	63.91	30.45	70.79	25	m84o
r25j	55.53	50.37	45.65	67.97	42	o17y
r50j	64.76	33.86	56.12	65.55	59	o42y
r75j	74.12	17.13	66.74	68.9	76	o67y
j00g	85.5	-3.22	79.65	79.72	92	o92y
j25g	79.45	-24.05	66.85	71.04	110	y20l
j50g	69.75	-38.03	49.98	62.8	127	y46l
j75g	61.38	-50.1	35.41	61.35	145	y72l
g00b	52.6	-62.77	20.12	65.92	162	y99l
g25b	55.39	-47.66	-8.06	48.34	190	l36c
g50b	57.43	-36.92	-27.8	46.22	217	l72c
g75b	55.19	-21.2	-44.17	48.99	244	c11v
b00r	41.84	1.31	-43.28	43.3	272	c56v
b25r	29.72	24.12	-41.48	47.98	300	v04m
b50r	38.41	44.74	-27.3	52.41	329	v55m
b75r	49.41	70.07	-3.62	70.16	357	m11o

$\text{LAB}^*\text{cmyn}^*$

$i^* = 1.00$

Brillantheit i^*

$i^* = 0.80$

$i^* = 0.60$

$i^* = 0.40$

$i^* = 0.20$

$i^* = 0.00$

relative Buntheit c^*

relative Buntheit c^*

	A	B	C	D	E	F	G	H	I	J	K	L	M	N	O	P	Q	R	S	T	U	V	W	X	Y	Z	a	b	c	d	e	f	g	h	i	j	k	LAB*cmy* ⁹⁹
01	000																																					

Siehe ähnliche Dateien: <http://www.ps.bam.de/Eg15/>; www.ps.bam.de/Eg15.HTM
Technische Information: <http://www.ps.bam.de> Version 2.1, io=1,1, ColSpx=0